

LIVIU ONICIU

**CHIMIE  
FIZICĂ  
ELECTROCHIMIE**

MINISTERUL EDUCAȚIEI  
ȘI ÎNVAȚĂMÎNTULUI

Prof. dr. doc. șt.  
LIVIU ONICIU



# CHIMIE FIZICĂ

---

## ELECTROCHIMIE



EDITURA DIDACTICĂ  
ȘI PEDAGOGICĂ  
BUCUREȘTI



*Referent:*

prof dr. doc. OCTAVIAN RADOVICI

Redactor : ANA GHEORGHIU

Tehnoredactor : ILINCA PROSAN

Grafician : OVIDIU MAGHERAN

*În memoria  
părinților  
mei*

## *Prefață*

*Prezenta lucrare are la origine prelegerile de Cinetică Electrochimică ținute studenților de la facultatea de Chimie a universității clujene, la specialitatea Chimie Fizică și apoi cele de Electrochimie, ținute în cadrul cursului de chimie-fizică generală.*

*Ea constituie al III-lea volum de Chimie Fizică tipărit de Editura didactică și pedagogică din București și este sistematizată în trei părți. Cea dintâi tratează interacțiunile ion-solvent și ion-ion, transportul ionilor în soluție și electronul hidratat. Partea a doua este consacrată transferului de sarcină prin interfața metal-electrolit și conține bazele cineticii electrochimice, metodele de cercetare ale reacțiilor electrochimice și discuția unor procese de electrod mai importante. În partea a treia se abordează câteva capitole speciale, referitoare la electrochimia topiturilor și a gazelor și la conversia electrochimică de energie.*

*Cartea se adresează studenților de la facultățile de Chimie ale universităților și de la facultățile de Chimie Industrială ale institutelor politehnice, precum și specialiștilor din industria electrochimică și doctoranzilor.*

*Materialul bibliografic utilizat la elaborarea manuscrisului, citat la sfârșitul fiecărei secțiuni, a fost selecționat din cele mai recente și verificate izvoare de documentare. Am intenționat prin aceasta să informez cititorul cu tot ceea ce este mai nou în domeniul electro-*

*chimiei, știință interdisciplinară bine conturată și foarte dinamică și să aduc o modestă contribuție la modernizarea învățămîntului universitar românesc.*

*Mulțumesc tuturor celor care prin observațiile lor critice și sugestii au contribuit la îmbunătățirea manuscrisului. Mulțumesc profesorului J. O'M Bockris pentru materialul documentar oferit cu generozitate. De asemenea, voi saluta cu toată gratitudinea orice obiecție făcută prezentei ediții, cu scopul perfecționării ei.*

*Mulțumesc colaboratorilor mei lector dr. E. Schmidt, drd. E. Suciu, asistent M. Lungu, ing. Ș. Agachi și chimist V. Topan pentru ajutorul ce mi l-au dat la efectuarea corecturilor.*

**AUTORUL**

INTRODUCERE	1
<b>PARTEA ÎNȚI</b>	
<b>1. IONII ÎN SOLUȚIE</b>	<b>6</b>
1.1 <i>Interacțiunea ion-solvent. Solvatarea ionilor.</i>	6
1.1.1 Originea ionilor din soluțiile de electroliți	6
1.1.2 Teoria lui Born.	7
1.1.3 Teorii care iau în considerare structura solventului	16
1.1.3.1 Structura apei, solventul cel mai comun	16
1.1.3.2 Modelul ion-dipol	18
1.1.3.3 Modelul ion-cuadrupol	24
1.1.4 Numere de solvatare	30
1.1.5 Constanta dielectrică a lichidelor asociate. Solvatarea ionilor și constanta dielectrică a soluțiilor	33
1.1.6 Interacțiuni ion-solvent-neelectrolit. Efect salin de precipitare și de creștere a solubilității	35
1.2 <i>Interacțiunile ion-ion din soluțiile de electrolit</i>	39
1.2.1 Introducere	39
1.2.2 Teoria lui Debye și Hückel	41
1.2.3 Confruntarea teoriei lui Debye și Hückel cu experiența. Calculul factorului de activitate	50
1.2.4 Perfecționări aduse teoriei lui Debye și Hückel	56
1.2.4.1 Parametrul dimensional $\alpha$	56
1.2.4.2 Rolul solventului în interacțiunile ion-ion	60
1.2.5 Alte modele referitoare la interacțiunea ion-ion. Asociate ionice. Structura de cuasi-rețea a soluțiilor concentrate de electroliți	63
<b>2. TRANSPORTUL IONILOR ÎN SOLUȚII DE ELECTROLIT</b>	<b>72</b>
2.1 <i>Difuzia ionilor</i>	72
2.1.1 Difuzia staționară. Legea întâi a lui Fick	72
2.1.2 Difuzia nestaționară. A doua lege a lui Fick	76

2.2 Conductibilitatea electrică a soluțiilor de electrolit. . . . .	80
2.2.1 Conductivitatea soluțiilor de electroliți. Conductibilitățile echivalentă și molară . . . . .	81
2.2.2 Incursiune în atomismul conductibilității ionice . . . . .	88
2.2.3 Efecte ale interacțiunii dintre ionii aflați în mișcare . . . . .	95
2.2.3.1 Numere de transport . . . . .	95
2.2.3.2 Potențialul de difuzie . . . . .	98
2.2.4 Transportul ionilor în soluție și teoria lui Debye și Hückel . . . .	101
2.2.5 Aspecte legate de conductibilitatea electrică a unor soluții neapoase de electroliți reali . . . . .	107
2.2.6 Determinarea experimentală a conductibilității soluțiilor de electroliți	112
2.2.7 Determinarea numerelor de transport. . . . .	117
<b>3. PROTONUL ÎN SOLUȚIE. ACIZI ȘI BAZE . . . . .</b>	<b>120</b>
3.1 Energetica solvătărilor protonului . . . . .	120
3.2 Cum se explică marea mobilitate a produsului în soluție . . . . .	123
3.3 Teoria acizilor și a bazelor . . . . .	128
3.3.1 Teoria lui Brønsted . . . . .	129
3.3.1.1 Amestecuri tampon. Hidroliză. . . . .	135
3.3.1.2 Indicatori . . . . .	138
3.3.2 Factorii care determină tăria acizilor și a bazelor . . . . .	140
3.3.3 Cîteva categorii speciale de electroliți . . . . .	149
<b>4. ELECTRONUL HIDRATAT . . . . .</b>	<b>152</b>
4.1 Introducere . . . . .	152
4.2 Decelarea electronului hidratat . . . . .	153
4.3 Caracteristici ale electronului hidratat. . . . .	154
4.4 Despre reacțiile electronului hidratat . . . . .	156
4.5 Concluzii . . . . .	159

## PARTEA A DOUA

### TRAVERSAREA INTERFEȚEI METAL-ELECTROLIT

<b>5. BAZELE TERMODINAMICE ȘI CINETICE ALE REACȚIILOR DE ELECTROD . . . .</b>	<b>162</b>
5.1 Potențiale. Electrozi. FEM. . . . .	162
5.1.1 Potențial intern, potențial extern și potențial de suprafață . . . . .	162
5.1.2 Potențial de electrod absolut . . . . .	165
5.1.3 Electrozi și FEM . . . . .	166
5.1.3.1 Ecuația lui Nernst. Potențiale de electrod relative. Electrozi de referință . . . . .	166
5.1.3.2 Potențiale și electrozi redox . . . . .	171
5.1.3.3 Asocieri de electrozi. Determinarea FEM. Termodinamica pilelor galvanice . . . . .	177
5.1.3.4 Pile standard . . . . .	181
* 5.1.3.5 Pile de concentrație . . . . .	182

5.1.3.6	Aplicații ale măsurătorilor de FEM . . . . .	185
5.1.3.6.1	Măsurarea electrometrică a pH-ului. Electrozi indicatori cu membrană . . . . .	185
5.1.3.6.2	Titarea potențimetrică . . . . .	191
5.1.3.6.3	Determinarea produsului de solubilitate . . . . .	196
5.1.3.6.4	Determinarea coeficienților de activitate . . . . .	197
5.2	Stratul dublu electric . . . . .	198
5.2.1	Istoric . . . . .	198
5.2.2	Distribuția ionilor și a moleculelor la interfața electrod-electrolit . . . .	199
5.2.3	Capacitatea stratului dublu . . . . .	203
5.2.4	Stratul dublu și constanta dielectrică . . . . .	206
5.2.5	Dublul strat electric la alte interfețe decât Hg-soluție apoasă . . . . .	207
5.2.6	Fenomene electrocinetice . . . . .	210
5.3	Electrosorbția . . . . .	212
5.3.1	Caracteristicile electrosorbției . . . . .	212
5.3.2	Ecuatii de stare și izoterme de adsorbție . . . . .	213
5.3.2.1	Izoterma lui Langmuir . . . . .	216
5.3.2.2	Izoterma lui Temkin . . . . .	218
5.3.2.3	Izoterma lui Frumkin . . . . .	219
5.3.3	Electrosorbția substanțelor organice . . . . .	221
5.3.4	Caracteristicile electrosorbției ale unor compuși . . . . .	225
5.3.5	Metode de determinare a electrosorbției . . . . .	226
5.3.5.1	Metoda electrocapilară. Potențialul încărcării nule . . . . .	226
5.3.5.2	Metoda capacității . . . . .	232
5.4	Reacții de electrod . . . . .	233
5.4.1	Introducere . . . . .	233
5.4.2	Scurt istoric . . . . .	235
5.4.3	Electroliza și legile electrolizei . . . . .	236
5.4.4	Ecuatia de bază a reacției de electrod . . . . .	240
5.4.5	Interfața în condiții de neechilibru . . . . .	244
5.4.6	Cîteva detalii referitoare la ecuația Butler-Volmer . . . . .	248
5.4.7	Despre transferul electronului prin interfață . . . . .	253
5.4.8	Reacții de electrod în mai multe etape . . . . .	256
5.4.8.1	Generalități . . . . .	257
5.4.8.2	Ecuatia cinetică a unei reacții în mai multe etape . . . . .	257
5.4.8.3	Bariere de energie ale reacțiilor în mai multe etape . . . . .	261
5.4.8.4	Numărul stoichiometric . . . . .	262
5.4.8.5	Ordinul reacțiilor de electrod . . . . .	265
5.5	Cercetarea mecanismului reacțiilor electrochimice . . . . .	269
5.5.1	Generalități . . . . .	269
5.5.2	Interfața în regim de tranziție. Metode de cercetare a interfeței în regim de tranziție . . . . .	270
5.5.3	Metode electrochimice de cercetare a mecanismului de reacție . . . . .	271
5.5.3.1	Metoda polarografică . . . . .	272
5.5.3.1.1	Supratensiunea de concentrație . . . . .	272
5.5.3.1.2	Densitatea de curent limită . . . . .	274
5.5.3.1.3	Electrodul în formă de disc rotitor . . . . .	279



5.5.3.2	Metoda potențiostatică . . . . .	280
5.5.3.3	Metoda galvanostatică . . . . .	285
5.5.3.4	Bazele metodei culostatice . . . . .	291
5.5.4	Metode fizico-chimice de cercetare a mecanismului de reacție . . . . .	292
5.5.4.1	Reflexie totală atenuată . . . . .	292
5.5.4.2	Reflexie externă . . . . .	293
5.5.4.3	Transmisie directă . . . . .	293
5.5.4.4	Elipsometrie . . . . .	294
5.5.4.5	Rezonanță electronică de spin (RES) . . . . .	294
5.5.5	Alte metode . . . . .	295
5.5.6	Folosirea calculatoarelor în studiile de cinetică electrochimică. Perspective . . . . .	296
5.5.7	Electrocataliza . . . . .	297
<b>6.</b>	<b>PROCESE DE ELECTROD IMPORTANTE . . . . .</b>	<b>304</b>
6.1	<i>Electrodepunerea metalelor (Electrocristalizarea)</i> . . . . .	304
6.1.1	Depunerea ionului hidratat . . . . .	305
6.1.2	Determinarea mecanismului de electrodepunere . . . . .	306
6.1.3	Așezarea în rețeaua cristalină a atomilor depuși electrolitic . . . . .	312
6.1.4	Forma fețelor cristalelor . . . . .	314
6.1.5	Efectul difuziei asupra electrocristalizării . . . . .	316
6.1.6	Rolul ionului metalic și al compoziției soluției . . . . .	317
6.1.7	Efectul electrosorbției . . . . .	319
6.1.8	Descărcarea simultană a hidrogenului și a cationilor . . . . .	321
6.1.9	Descărcarea simultană a ionilor metalici . . . . .	325
6.2	<i>Reacția de descărcare a hidrogenului</i> . . . . .	328
6.2.1	Mecanisme de reacție posibile . . . . .	328
6.2.2	Determinarea mecanismului de reacție . . . . .	330
6.3	<i>Reacția de reducere și de degajare a oxigenului</i> . . . . .	334
6.3.1	Despre mecanismul reducerii oxigenului. . . . .	335
6.3.2	Reacții de electrod având valori foarte mici pentru $i_0$ . . . . .	337
6.3.3	Degajarea oxigenului . . . . .	338
6.4	<i>Coroziunea și pasivarea metalelor</i> . . . . .	339
6.4.1	Introducere . . . . .	339
6.4.2	Fenomenologia . . . . .	341
6.4.3	Teoria coroziunii electrochimice . . . . .	343
6.4.3.1	Diagrame Pourbaix . . . . .	344
6.4.3.2	Potențiale mixte . . . . .	345
6.4.3.3	Coroziunea pe suprafețe omogene . . . . .	346
6.4.3.4	Coroziunea pe suprafețe chimice neomogene. Curenți locali . . . . .	348
6.4.4	Pasivarea metalelor . . . . .	350
6.4.4.1	Formarea stratului protector . . . . .	352
6.4.5	Prevenirea coroziunii . . . . .	354
6.4.5.1	Generalități . . . . .	354
6.4.5.2	Metode cinetice . . . . .	355
6.4.5.3	Metode termodinamice . . . . .	358

6.5	<i>Procese de electrod cu substanțe organice</i>	360
6.5.1	Generalități	360
6.5.2	Despre mecanismul electrooxidării substanțelor organice. Reacția Kolbe	363
6.5.3	Progrese realizate în electrosinteza organică	366
6.6	<i>Procese în alte câteva industrii electrochimice</i>	370
6.6.1	Industria clorosodică	370
6.6.2	Fabricarea electrolitică a apei grele	371
6.6.3	Fluorurarea electrochimică.	374
6.6.4	Electrodepunerea vopselelor	376
6.6.5	Electrochimia și fabricarea sticlei	377

## PARTEA A TREIA

### CAPITOLE SPECIALE

7.	<b>ELECTROCHIMIA TOPITURILOR</b>	380
7.1	<i>Generalități</i>	380
7.2	<i>Modele ale lichidelor ionice simple</i>	382
7.2.1	Modele bazate pe structura de rețea cristalină	383
7.2.2	Modele pornind de la starea gazoasă	384
7.3	<i>Fenomene de transport în electrolizi lichizi</i>	385
7.3.1	Autodifuzia și viscozitatea topiturilor saline	386
7.3.2	Conductibilitatea electrolitelor lichizi puri	387
7.3.3	Numere de transport în electrolizi topiți	389
7.4	<i>Potențiale de electrod în topituri</i>	393
7.4.1	Proprietățile electrozilor din topituri saline. Clasificarea electrozilor	393
7.4.1.1	Electrozi metalici	394
7.4.1.2	Electrozi de gaz	394
7.4.1.3	Electrozi micști	395
7.4.1.4	Electrozi cu membrană	396
7.5	<i>Pile galvanice cu electrolit topit</i>	397
7.6	<i>Electroliza în topituri (Electroliza ignee)</i>	400
7.6.1	Generalități	400
7.6.2	Tensiunea de descompunere	402
7.6.3	Randamentul de curent la electroliza ignee. Factori care influențează randamentul de curent	403
7.6.4	Procese de electrod la electroliza ignee a sărurilor. Efectul anodic	411
7.6.5	Cauzele efectului anodic	415
7.6.6	Electroliza sărurilor topite cu anodi solubili. Rafinarea electrolitică a aluminiului	417
7.6.7	Electroliza ignee cu catod metalic lichid	420
7.6.8	Electroliza ignee cu obținerea de metale solide	420
8.	<b>ELECTROCHIMIA GAZELOR</b>	425
8.1	<i>Apariția descărcărilor în gaze</i>	425
8.2	<i>Scnteia. Reacții chimice în scnteie</i>	427

8.3 Descărcarea luminescentă. Reacții chimice în descărcarea luminescentă . . . . .	428
8.4 Descărcarea în arc. Reacții în arc . . . . .	431
8.5 Cinetica electrocracării $CH_4$ . . . . .	433

## 9. CONVERSIA ELECTROCHIMICĂ DE ENERGIE . . . . . 437

9.1 Despre conversia de energie . . . . .	437
9.2 Conversia electrochimică de energie . . . . .	439
9.3 Pile electrochimice primare . . . . .	443
9.3.1 Pile primare uscate . . . . .	443
9.3.2 Pile primare care se pot activa . . . . .	448
9.4 Pile secundare (Acumulatori) . . . . .	449
9.4.1 Sisteme convenționale. . . . .	449
9.4.2 Sisteme neconvenționale. . . . .	456
9.5 Pile de combustie . . . . .	459
9.5.1 Definiție și istoric . . . . .	459
9.5.2 Clasificare. Electroliții și combustibili pilelor de combustie . . . . .	461
9.5.3 Rolul electrozilor poroși . . . . .	464
9.5.4 Concluzii. Relația dintre conversia electrochimică de energie și energia nucleară ca sursă de putere . . . . .	466
9.6 Pile cu membrane semipermeabile. Biocurenți . . . . .	468

$a$	— distanță, distanță minimă de apropiere a ionilor de electrod
$a$	— activitate, constantă
$a$	— parametru structural în teoria lui Bjerrum
$ads$	— în indice, adsorbție, adsorbit
$aq$	— în indice, hidratat
$c$	— concentrație molară
$c^v$	— concentrație molară de volum
$c^s$	— concentrație molară de suprafață
$C$	— capacitate, capacitate diferențială, constanta celulei de conductibilitate.
$C_p, C_v$	— căldură molară izobară, respectiv izocoră
$\bar{d}$	— densitate
$des$	— în indice, descărcare
$D$	— constantă dielectrică, constantă de difuzie, densitate optică
$DC, DE$	— desorbție chimică, desorbție electrochimică
$e_0$	— sarcină elementară
$e^-$	— electron
$e_{aq}^-$	— electron hidratat
$edv$	— etapă determinantă de viteză
$E$	— forță electromotoare, energie
$E^\ddagger$	— energie de activare
$E_B$	— tensiune la borne
$E_M$	— energia electronului în rețeaua metalică
$E_p$	— energie potențială
$Ech$	— punct de echivalență
$ECS$	— electrod de calomel saturat
$EHN$	— electrod de hidrogen normal
$\mathcal{E}$	— intensitatea cîmpului electric
$f$	— factor de activitate
$F$	— forță
$F_D$	— forță de difuzie
$\mathcal{F}$	— numărul lui Faraday
$FEM$	— forță electromotoare
$\Delta G$	— entalpie liberă de reacție
$\Delta G^\ddagger$	— entalpie liberă de activare a unei reacții
$\Delta \bar{G}$	— entalpie liberă electrochimică de reacție

$\Delta_{ads}G$	— entalpie liberă de adsorbție
$\Delta_{ads}\bar{G}$	— entalpie liberă electrochimică de adsorbție
$\Delta_{ads,0}G$	— entalpie liberă de adsorbție la acoperire nulă
$\Delta_{ads,0}G$	— entalpie liberă de adsorbție la o acoperire oarecare
$\Delta_{I,S}G$	— entalpie liberă de solvatare a ionului gazos
$\Delta H$	— entalpie de reacție
$\Delta_{ads}H$	— entalpie de adsorbție
$\Delta_{I,H_2O}H$	— entalpie de hidratare a ionului gazos
$\Delta_{I,S}H$	— entalpie de solvatare a ionului gazos
$\Delta_rH$	— entalpie de rețea
$\Delta_sH$	— entalpie de dizolvare a sării cristaline
$\Delta_{S,aS}H$	— entalpie de solvatare a sării pornind de la ioni gazoși
$\Delta H^\ddagger$	— entalpie de activare
$i$	— densitate de curent
$i_0$	— densitate de curent de schimb
$I$	— intensitate de curent, în indice- ion
$\pm I$	— efect inductiv
$\dot{inc}$	— în indice, încărcare
$IR$	— infra roșu
$j$	— forță ionică
$J_D$	— flux difuziv
$J_{DS}$	— flux de difuzie superficială
$J_i, J_+, J_-$	— flux al ionilor în mișcare
$k, \bar{k}$	— constanta lui B o l t z m a n n
$k_0$	— constantă de viteză chimică
$k_A, k_B$	— constante de aciditate și bazicitate absolute
$k_s$	— constantă S e c e n o v
$K$	— constantă de echilibru, capacitate integrală
$K_A$	— constantă de asociere a ionilor, constantă de aciditate relativă
$K_B$	— constantă de bazicitate relativă
$L_g$	— capacitate masică (Ah/kg)
$L_v$	— capacitate volumică (Ah/l)
$m$	— molalitate
$M$	— molaritate
$M$	— metal
$n$	— număr de moli, de molecule, ordin de reacție, densitate moleculară, indice- nor ionic
$n^v$	— densitate moleculară de volum
$N$	— densitate moleculară, normalitate, număr de ciocniri
$N_c$	— număr de coordinare
$N_h$	— număr de hidratare
$N_s$	— număr de solvatare primar
$\mathcal{N}$	— numărul lui A v o g a d r o
$O$	— forma oxidată a unei specii chimice
$p$	— presiune gazoasă, moment dipolar
$\Delta p$	— diferență de presiune
$P$	— potențial real, pereche ionică, probabilitate
$P_g$	— presiune electrostatică
$P_{XY}$	— produs ionic

$q, Q$	— sarcină electrică
$PHE$	— plan Helmholtz exterior
$PHI$	— plan Helmholtz interior
$r$	— rază ionică, distanță, rețea, randament
$R$	— forma redusă a unei specii chimice
$R$	— constanta generală a gazelor, rezistență electrică
$\pm R$	— efect de conjugare
$RES$	— rezonanță electronică de spin
$RMN$	— rezonanță magnetică nucleară
$s$	— solubilitate, suprafață, aria suprafeței, în indice- solvent, solvata
$sd$	— în indice, strat dublu
$sol$	— în indice, soluție
$S$	— în indice, solvatare
$S$	— entropie
$\Delta S$	— variație de entropie
$\Delta_{I,S}S$	— entropie de solvatare a ionilor gazoși
$Sa$	— sare
$t_+, t_-$	— numere de transport
$tr$	— în indice, transfer
$T$	— temperatură
$u$	— mobilitate sau viteză electroforetică absolută
$u_{abs}$	— mobilitate sau viteză de migrare absolută
$u_+, u_-$	— mobilități sau viteze de migrare electrochimice
$U$	— energie internă, energie potențială, energie de activare a difuziei superficiale
$\vec{v}, \overleftarrow{v}$	— viteze de reacție în sens catodic și anodic
$V$	— volum molar, debit volumetric, potențial
$\bar{V}$	— volum molar parțial
$W$	— lucru
$W_g$	— densitate de energie masică
$W_v$	— densitate de energie volumică
$x$	— distanță, fracție molară
$z$	— număr de electroni schimbați în reacția de electrod, valența ionului metalic
$Z$	— număr de ordine
$\alpha$	— coeficient de transfer, grad de disociere, fază, primul coeficient Townsend, polarizabilitate
$\beta$	— factor de simetrie, coeficient de compresibilitate, al doilea coeficient Townsend
$\gamma$	— gradul de conversie al $CH_4$ în $C_2H_2$
$\Gamma$	— concentrație superficială
$\delta$	— grosimea stratului dublu
$\Delta$	— diferență finită, grad de conversie globală
$\varepsilon$	— potențial de electrod relativ (raportat la $EHN$ )
$\varepsilon_e$	— potențial de echilibru
$\varepsilon_d$	— potențial de difuzie
$\varepsilon_c$	— potențial de curgere
$\varepsilon_m$	— potențial mixt
$\varepsilon_{mb}$	— potențial de membrană
$\varepsilon_s$	— potențial de sedimentare
$\zeta$	— potențial electrocinetic

$\eta$	— supratensiune, coeficient de vîscozitate
$\theta$	— unghi de racord, fracție de acoperire
$\lambda$	— conductivitate, lungime de undă
$\Lambda$	— conductibilitate echivalentă
$\Lambda_M$	— conductibilitate molară
$\Lambda_0$	— conductibilitate echivalentă limită
$\Lambda_+, \Lambda_-$	— conductibilități ionice echivalente (mobilități relative)
$\mu$	— potențial chimic, moment dipolar
$\bar{\mu}$	— potențial electrochimic
$\mu_0$	— coeficient de absorbție molar
$\Delta_{i,I} \mu$	— variația de potențial chimic la interacțiunea ionului $i$ cu ansamblul ionilor învecinați
$\nu$	— număr stoechiometric
$\pi$	— presiune superficială
$\Pi$	— produs
$\rho$	— densitate de sarcină, rezistivitate
$\sigma$	— tensiune superficiale
$\tau$	— timp de creștere a supratensiunii
$\varphi$	— potențial electric intern (G a l v a n i)
$\Phi_e$	— lucru de extracție electronică
$\chi$	— potențial superficial, reciproca razei norului ionic
$\psi$	— potențial electric extern (V o l t a)
$\Delta \psi_d$	— diferență de potențial de difuzie



Știință interdisciplinară, Electrochimia se poate considera izvorînd din chimie și electricitate, deși conținutul ei depășește cu mult noțiunile de chimie a substanțelor și de fizică a cîmpului electric. Electrochimia constituie o ramură de cunoaștere bine definită și foarte dinamică; o parte din teoriile ce se vor expune s-au conturat în ultimele decenii și nu puține din ele vor fi susceptibile de perfecționări în următoarele decenii.

Originile electrochimiei trebuie căutate către sfîrșitul secolului al 18-lea și începutul celui de al 19-lea, cînd experiențele lui *Galvani* (1791) au demonstrat asocierea dintre mișcările musculare și curentul electric și deci legătura dintre fenomenele electrice și cele biologice. Nouă ani mai târziu, *Volta* descoperea conversia energiei chimice în electricitate cu ajutorul pilelor electrochimice și confirma experiențele lui *Galvani*.

A urmat apoi, în 1834, elaborarea de către *Faraday* a legilor electro-lizei, legi ce guvernează masa de substanță formată la trecerea unei cantități determinate de electricitate de-a curmezișul interfeței electrod-electrolit. Legile lui *Faraday* sînt printre cele mai bine verificate în știință și au condus pe *Stoney* (1891) la descoperirea caracterului discontinuu al electricității; atomul sau unitatea de sarcină electrică (negativă) primi numele de electron. Contemporan cu *Faraday*, *Grove* demonstrează posibilitatea conversiei electrochimice de energie sub o formă diferită de cea a lui *Volta* și pune bazele pilelor de combustie, convertizoare de energie cu alimentare continuă în specii reactive. În a doua jumătate a secolului trecut apare și teoria disocierii ionice a lui *Arrhenius* (1887).

În 1905 *Tafel* descoperă legea empirică ce-i poartă numele și care exprimă dependența liniară a logaritmului densității de curent de diferența de potențial la care se desfășoară o reacție dată; aceasta constituie debutul timid al cineticii de electrod. Dezvoltarea ei pe baze cinetice a fost mult frînată de concepția ce-și face loc în electrochimie în primele 5 decenii ale secolului nostru, generată de strălucitoarea analiză termodinamică a reacțiilor chimice de către *Nernst* (1891). Lucrările lui *Nernst* atrag atenția chimiștilor asupra distincției ce trebuie făcută între entalpia de reacție, măsură a variației globale de energie într-o reacție și entalpia liberă de reacție, care măsoară energia maximă sau așa numitul travaliu util maxim ce se poate obține din reacția chimică. Aplicată pilelor considerate în stare de echilibru, teoria lua în considerare numai echilibrul

interfeței, neglijând aspectul cinetic, al scurgerii unui curent net prin interfața electrod-soluție; potențialul se considera dependent de curent, iar tratarea cinetică rațională a transferului de sarcină, cu sublinierea rolului ce-i revine densității de curent, dependentă de potențial, în fixarea vitezei de reacție la interfață, n-a fost consecvent abordată decât începînd cu cel de al 6-lea deceniu al secolului nostru. În acest sens trebuie semnalate lucrările lui B u t l e r, V o l m e r, G u r n e y și H o r i u t i (1924-1940), care încearcă interpretarea cinetică a potențialelor de electrod și în special cele ale școlii sovietice de electrochimie aparținînd lui F r u m k i n.

Cam în aceeași perioadă trebuie relevată dezvoltarea teoriilor referitoare la echilibrul ionic în soluțiile de electroliti, la interacțiunile ion-solvent și ion-ion; teoria lui D e b y e-H ü c k e l elaborată în anul 1923 și care constituie cea dintîi teorie statistic-mecanică a soluțiilor, marchează un succes cantitativ, limitat însă la domeniul concentrațiilor mici.

În sfîrșit, începutul celui de-al 6-lea deceniu al secolului nostru înregistrează o cotitură radicală în dezvoltarea electrochimiei. Cercetarea fundamentală, intens și larg îmbrățișată, este de acum orientată spre domeniul cineticii proceselor la interfață; înțelegerea rolului pe care-l joacă suprațensiunea în cinetica electrochimică, valoarea densității de curent de schimb în reacțiile electrochimice și dezvoltarea metodelor de cercetare a mecanismelor de reacție contribuie din plin la aceasta. Tehnologia zborurilor cosmice adoptă convertizoare electrochimice (pile de combustie) ca surse de energie electrică pe navele trimise în spațiul extraterestru și se construiesc noi tipuri de pile galvanice, dotate cu mare densitate de energie. Își fac apariția 6 reviste de electrochimie, o serie de monografii consacrate analizei proceselor de electrod, este reluată teoria mecanic cuantică a lui G u r n e y referitoare la transferul de sarcină.

Se elaborează teoria electrochimică a celulei biologice (D e l D u c a), se pun la punct metode electrochimice de sinteză a nylonului, iar cîteva din marile preocupări fac cunoscută intenția de a introduce în fabricație electromobile acționate de pile electrochimice.

Studiul electrochimiei cuprinde două mari părți; una se ocupă de echilibrul ionic în soluție, fenomene de transport ionic în soluție, în general cu descrierea ionului în soluție, iar cealaltă cu traversarea de către ioni sau electroni a interfeței metal-electrolit (cinetică de electrod). Electrochimia face apel la cunoștințe aparținînd unor discipline fizico-chimice, cum sînt termodinamica, mecanica statistică, teoria cuantică, cinetica reacțiilor chimice, stările lichidă, solidă și gazoasă, electrostatica și fizica suprafețelor. Considerînd numai partea consacrată transferului de sarcină prin interfață, trebuie menționate și unele capitole speciale cum sînt cristalografia suprafețelor metalice, teoria difuziei, hidrodinamica soluțiilor, metode optice de cercetare a suprafețelor (elipsometrie) etc.

Nu trebuie neglijate nici contribuțiile electrochimiei la dezvoltarea celorlalte științe; astfel, elaborarea teoremei lui N e r n s t sau așa-numitului principiu al III-lea al termodinamicii s-a făcut pe baza unor măsurători de schimb termic între mediul ambiant și unele reacții de pile galvanice și toată fizico-chimia soluțiilor ionice, precum și cinetica reacțiilor ionice din soluții se tratează pe baze electrochimice. Poate mai bine de jumătate din metodele moderne de analiză în soluție se bazează pe procese de

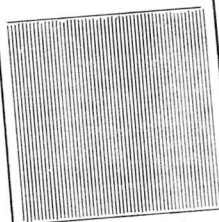
electrod și toată starea coloidă este dependentă de proprietățile interfețelor electrizate.

Metalurgia, indiferent că este vorba de electrodepunerea de metale sau aliaje din soluții apoase, neapoase sau topituri, nu se poate lipsi de electrochimie, al cărei rol, este de altfel, imens în întreaga industrie chimică preparativă.

În organismele animale, energia din alimente este convertită în lucru mecanic, prin intermediul unor procese biochimice, avînd randamente mai mari decît conversia de energie din motoarele termice. Aceasta datorită faptului că mecanismele reacțiilor biochimice implică reacții electrochimice. În mod corespunzător, mecanismul de transmisie al impulsului nervos, și multe din macromoleculele participante la procesele biologice depind de aspecte electrochimice legate de transportul electrochimic de sarcină și de interacțiuni de strat dublu.

Trebuie amintită și activitatea practică de conversie electrochimică de energie și încercările de a o extinde în special la tracțiunea automobilă, cu avantaje considerabile pentru evitarea poluării atmosferei din marile orașe.

Adaosul de inhibitor la lichidul din radiatoarele mașinilor are rolul de-a evita coroziunea electrochimică; menținerea în stare funcțională a sîngelui se concepe tot pe baza unui mecanism electrochimic: potențialul electrochimic la interfața dintre hematii și soluție (ser) trebuie să se păstreze îndeajuns de ridicat.



**PARTEA ÎNȚI**

**ECHILIBRUL  
ȘI TRANS-  
PORTUL  
IONILOR  
ÎN SOLUȚIE**

## IONII IN SOLUȚIE

### 1.1 INTERACȚIUNEA ION-SOLVENT. SOLVATAREA IONILOR

#### 1.1.1 ORIGINEA IONILOR DIN SOLUȚIILE DE ELECTROLIȚI

Un sistem electrochimic (pilă sau celulă de electroliză) constă din două interfețe, unde un conductor electronic, de obicei un metal, mai rar un semiconductor se găsește în contact cu un conductor ionic (fig.1.1). Aceasta din urmă este o soluție care conține sarcini electrice mobile, numite ioni (în grecește, ion = călător). Ionii se obțin prin dizolvarea într-un solvent a unor substanțe numite electroliți, și care au proprietatea de a conține ionii chiar în stare pură (cristal de NaCl) sau de a genera ioni numai după dizolvare (HCl, CH<sub>3</sub>COOH).

În primul caz, forțele care mențin ionii în rețeaua cristalină sînt slăbite în așa măsură prin pătrunderea apei în rețea încît ionii, care nu aveau decît libertatea de-a oscila în jurul poziției de echilibru, dobîndesc un nou grad de libertate și anume cel al mișcării de translație, care conduce la dizolvarea cristalului (ioni Cl<sup>-</sup> și Na<sup>+</sup> solvatați). Slăbirea forțelor coezive din cristallul ionic poate surveni și pe cale termică dacă se furnizează căldură cristalului pînă la topirea lui; în acest caz se obține un electrolit lichid pur, în care mișcarea de translație de care se bucură ionii (Cl<sup>-</sup> și Na<sup>+</sup>) facilitează transportul curentului electric prin topitură.

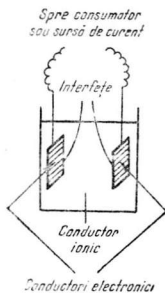


Fig. 1.1. Un sistem electrochimic.

Ionizarea prin dizolvare într-un solvent adecvat este cu totul neașteptată în cazul unor substanțe ca HCl, CH<sub>3</sub>COOH, deoarece atît ele cît și mediul dizolvant (de exemplu apa) conțin ioni într-o concentrație mult mai mică decît soluția obținută după amestecarea lor. Ca exemplu se citează concentrațiile ionilor hidrogen (ioni gram/l), la 25°C, în apă curată: 10<sup>-7</sup>, în acid acetic pur, 10<sup>-6.5</sup> și în soluția apoasă 0,1 N de acid acetic: 10<sup>-3</sup>! Explicația se găsește în reacția de transfer protonic:



în urma căruia se formează ionul hidroniu, H<sub>3</sub>O<sup>+</sup>.

Descompunerea unei substanțe în ioni, în urma uneia din acțiunile de mai sus, poartă numele de *disociere ionică* și a fost descoperită și explicată de

Arrhenius (1887), în urma cercetărilor efectuate asupra conductibilității unor soluții de acizi. Disocierea unei substanțe prin dizolvare într-un solvent sau prin topire, poate fi exprimată cantitativ prin *gradul de disociere*  $\alpha$ , care reprezintă fracțiunea de molecule disociate raportate la numărul total de molecule din soluție. La rîndul său, gradul de disociere depinde de natura substanței, a solventului și de concentrația soluției; cu cît soluția este mai diluată cu atît  $\alpha$  este mai mare, astfel că la diluție infinită  $\alpha = 1$ . Conductibilitatea soluției sau topiturii de electrolit depinde de gradul de disociere și poate fi utilizată la calcularea acestuia.

Teoria lui Arrhenius a fost primită cu neîncredere și numai grație lucrărilor lui Van't Hoff asupra mărimilor coligative ale soluțiilor, publicate cam în aceeași perioadă, a reușit să se impună. Van't Hoff a găsit că directa proporționalitate a mărimii coligative cu concentrația molară a substanței dizolvate este respectată numai la soluțiile electrice neconductoare; la soluțiile conductoare, cum sînt cele de NaCl sau CaCl<sub>2</sub>, valorile mărimilor coligative măsurate reprezintă practic dublul sau respectiv triplul valorii scontate pe baza concentrației molare, tocmai din cauza disocierii electrolitice în 2 și respectiv 3 ioni a substanțelor citate. Abaterea mărimii coligative de la valoarea calculată poate servi la determinarea experimentală a gradului de disociere\*.

Pentru cunoașterea soluțiilor ionice și a proceselor care se desfășoară în acestea este necesară explicarea forțelor care acționează între ioni și solvent pe de-o parte și între ioni și ioni pe de altă parte. Celui dintîi aspect îi este rezervată prezenta secțiune, urmînd ca despre cel de-al doilea să fie vorba în secțiunea următoare.

Exprimarea cantitativă a interacțiunii ion-solvent este posibilă dacă se urmărește variația de entalpie liberă  $\Delta_{I,S}G$  ce însoțește trecerea ionului din starea izolată (vacuum) în stare de soluție (solvatat); în acest mod se obține entalpia liberă a interacțiunii ion-solvent sau entalpia liberă de solvatare:

ion izolat, în vacuum  $\rightarrow$  ion solvatat +  $\Delta_{I,S}G$ .

### 1.1.2 TEORIA LUI BORN

Pentru evaluarea interacțiunii ion-solvent este necesară cunoașterea structurii solventului, care poate fi destul de complexă; în masa de solvent pot exista molecule individuale sau asociate moleculare. Introducerea ionilor în solvent se soldează cu perturbarea structurii solventului în măsură mai mare sau mai mică; ionii pot cauza distrugerea structurii solventului sau pot pătrunde în golurile create prin asocierea moleculelor de solvent.

Deoarece problema este greu de tratat în ansamblul ei, se recurge, ca și în alte cazuri, la modele, care reflectă mai mult sau mai puțin fidel realitatea experimentală. Un asemenea model aproximativ, avînd baze electrostatice, a fost elaborat de Born (1920).

\* L. Oniciu și I. Zsakó, Chimie Fizică. 2, Editura Tehnică, București, 1968, p. 261).

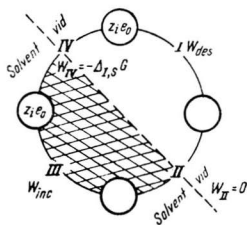


Fig. 1.2. Transformarea ciclică pe baza căreia se poate evalua  $\Delta_{I,S} G$ .

Transformarea ciclică este compusă din următoarele etape: ionul, asimilat cu o sferă de sarcină  $z_i e_0$ , aflat în vid, este descărcat de sarcina sa, când se obține o sferă neîncărcată cheltuindu-se travaliul  $W_{des}$  (I); sfera neîncărcată din vid este transferată în solventul a cărui constantă dielectrică este  $D_s$  (II). Acest proces nu este însoțit de schimb de energie, deoarece interacțiunea sferei neîncărcate cu solventul se consideră nulă; restaurarea sarcinii  $z_i e_0$  pe sfera neîncărcată, aflată în solvent, cheltuindu-se travaliul de încărcare  $W_{inc}$  (III); în sfârșit sfera încărcată este transferată din solvent în vid, când se înregistrează variația de entalpie liberă  $-\Delta_{I,S} G$ , deoarece procesul se desfășoară în sens contrar celui care servește la definirea entalpiei libere de solvatare. Fiindcă:

$$\sum_i W_i = 0, \quad (1.1)$$

rezultă că

$$\Delta_{I,S} G = W_{des} + W_{inc}. \quad (1.2)$$

Adică entalpia liberă de solvatare, după B o r n, se poate evalua prin însumarea travaliilor de descărcare în vid a ionului (sferei) de sarcină  $z_i e_0$  și respectiv de încărcare în soluție la aceeași sarcină  $z_i e_0$  a sferei descărcate.

Pentru a calcula travaliul  $W_{des}$ , să reamintim că potențialul electrostatic  $\varphi_r$  la distanța  $r$  de la o sferă încărcată măsoară lucrul mecanic depus pentru transportul sarcinii pozitive unitare de la infinit pînă la distanța  $r$ . Mărimia lui  $\psi_r$  (travaliul cheltuit cu unitatea de sarcină) este dat de produsul dintre intensitatea cîmpului electric  $\mathcal{E}$  (forța electrică exercitată pe unitatea de sarcină) și distanța  $r$  de-a lungul căreia e transportată:

$$\psi_r = -\mathcal{E}_r \cdot r \quad (1.3)$$

Semnul negativ apare din cauza faptului că travaliul efectuat asupra sarcinii pozitive trebuie să fie pozitiv dacă sfera e încărcată pozitiv. Dar în acest caz forțele electrice ale sferei încărcate acționează în sens contrar (repulsiv)



asupra sarcinii pozitive în cursul deplasării ei către sferă. Pentru a lua în considerare variația cîmpului cu distanța, trebuie să se mai scrie:

$$\psi_{r_i} = - \int_{\infty}^{r_i} \mathcal{E}_r dr, \quad (1.4)$$

limita  $r_i$  s-a introdus pentru a indica faptul că unitatea de sarcină pozitivă se transferă pînă pe suprafața sferei (sau în imediata vecinătate a ionului avînd raza  $r_i$ ). Înlocuind  $\mathcal{E}_r$  cu valoarea ce rezultă din legea lui C o u l o m b,

$$\mathcal{E}_r = \frac{q}{r^2}, \quad (1.5)$$

se mai obține:

$$\psi_{r_i} = - \int_{\infty}^{r_i} \frac{q}{r^2} dr = + \frac{q}{r_i}. \quad (1.6)$$

Deoarece potențialul electrostatic la suprafața unei sfere corespunde travaliului cheltuit cu transportul sarcinii unitare către sferă, rezultă că travaliul reclamat de transportul unei sarcini oarecare  $q$  va fi exprimat de produsul  $\psi_{r_i} \cdot q$ . Ținînd seama de variația potențialului cu sarcina, este necesar ca încărcarea sferei să se facă prin cantități infinit mici  $dq$  și să se integreze travaliile elementare  $dW = \psi_{r_i} dq$  astfel obținute, între limitele 0 (sferă neîncărcată) și  $z_i e_0$ :

$$W_{inc} = \int dW = \int_0^{z_i e_0} \psi_{r_i} dq = \int_{r_i}^{z_i e_0} q dq = \left[ \frac{q^2}{2r_i} \right]_0^{z_i e_0} = \frac{(z_i e_0)^2}{2r_i}. \quad (1.7)$$

Evident, travaliul de descărcare, în vid, este egal și de semn contrar cu travaliul de încărcare, în aceleași condiții. Așadar:

$$W_{desc} = - \frac{(z_i e_0)^2}{2r_i}. \quad (1.8)$$

Ne mai rămîne evaluarea travaliului de încărcare  $W_{inc}$ , în solvenul avînd constanta dielectrică  $D_s$ . Deoarece forța electrică în acest mediu este micșorată de  $D_s$  ori, rezultă:

$$F = \frac{q_1 q_2}{D_s r^2}. \quad (1.9)$$

Cîmpul electric  $\mathcal{E}$ , și potențialul  $\psi$  se vor găsi micșorate în aceeași proporție. De aceea și travaliul de încărcare (respectiv descărcare) în solven va fi de forma:

$$W_{inc} = -W_{desc} = \frac{(z_i e_0)^2}{2D_s r_i}. \quad (1.10)$$

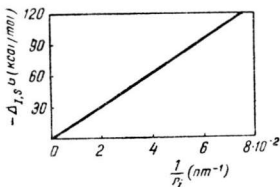


Fig. 1.3. Variația lui  $\Delta_{I,S}G$  cu valoarea inversă a razei ionice  $r_i$ .

Avînd expresiile traviilor  $W_{des}$  și  $W_{inc}$ , evaluate pentru un singur ion, trecerea la entalpia liberă molară de solvatare se face prin înmulțirea cu numărul lui Avogadro:

$$\begin{aligned}\Delta_{I,S}G &= \left( -\frac{(z_i e_0)^2}{2r_i} + \frac{(z_i e_0)^2}{2D_s r_i} \right) \mathfrak{N} = \\ &= -\mathfrak{N} \frac{(z_i e_0)^2}{2r_i} \left( 1 - \frac{1}{D_s} \right).\end{aligned}\quad (1.11)$$

unde  $\mathfrak{N}$  este numărul lui Avogadro.

Să examinăm semnul entalpiei libere de interacțiune ion-solvent  $\Delta_{I,S}G$  din ecuația (1.11); deoarece întotdeauna  $1/D_s < 1$ , se obține  $\Delta_{I,S}G < 0$ . Prin urmare avînd afinitate negativă, procesul de transfer al ionului din vid în solvent, va avea o evoluție spontană; sau, cu alte cuvinte, ionul solvatat este mai stabil (fiind mai sărac în energie) decît ionul în vid. Ecuația lui Born mai prevede scăderea lui  $\Delta_{I,S}G$  cu micșorarea razei ionice  $r_i$  și cu creșterea constantei dielectrice  $D_s$  (fig.1.3).

Înainte de a confrunța teoria lui Born cu experiența, să deducem entropia și entalpia de solvatare; cea din urmă se măsoară experimental atunci cînd se dizolvă cristalele ionice. Pentru aceasta se reamintește că:

$$\left( \frac{\partial \Delta G}{\partial T} \right)_p = -\Delta S. \quad (1.12)$$

Prin urmare derivînd ecuația lui Born, se poate obține entropia de solvatare. La derivare se va lua în considerare faptul că și constanta dielectrică este o mărime variabilă cu temperatura. (v. de exemplu tab. 1.1). Deci:

$$\Delta_{I,S} S = - \left( \frac{\partial \Delta_{I,S} G}{\partial T} \right)_p = \frac{\mathfrak{N}(z_i e_0)^2}{2r_i} \frac{1}{D_s^2} \left( \frac{\partial D_s}{\partial T} \right)_p. \quad (1.13)$$

Tab el ul 1.1

Variația constantel dielectrice  $D_{H_2O}$  cu temperatura

$t^\circ C$	$D_{H_2O}$	$t^\circ C$	$D_{H_2O}$	$t^\circ C$	$D_{H_2O}$
0	87,74	30	76,54	70	63,85
10	83,83	40	73,15	80	61,02
20	80,10	50	69,91	90	58,31
25	78,30	60	66,81	100	55,72

Apoi cu ajutorul ecuației lui Gibbs-Helmholtz:

$$\Delta_{I,S} H = \Delta_{I,S} G + T \Delta_{I,S} S, \quad (1.14)$$

scrisă pentru interacțiunea ion-solvent și cu ecuațiile (1.11) și (1.13), se poate exprima entalpia de solvatare:

$$\Delta_{I,S}H = - \frac{\mathfrak{N}(z_i e_0)^2}{2r_i} \left[ 1 - \frac{1}{D_s} - \frac{T}{D_s^2} \left( \frac{\partial D_s}{\partial T} \right)_p \right]. \quad (1.15)$$

Trebuie să se menționeze că spre deosebire de modelul lui B o r n, imaginat pentru calcularea interacțiunilor individuale ion-solvent, experiența nu oferă decît posibilitatea obținerii de valori corespunzătoare ansamblului de ioni pozitivi și negativi din care este alcătuită sarea. De exemplu, la dizolvarea  $\text{KNO}_3$ , se înregistrează, simultan, atât efectele datorate interacțiunilor  $\text{K}^+$ -solvent cît și a celor  $\text{NO}_3^-$ -solvent. Sîntem puși în fața unei probleme ce se va reedita și în alte ocazii și anume, imposibilitatea separării contribuțiilor datorate unei specii ionice de cele datorate speciei de semn contrar. Este însă oportună menționarea faptului că departe de a fi utilă, separarea efectelor ar fi o sursă de complicații serioase. Într-adevăr, dacă s-ar considera trecerea din vid în solvent a unui fascicul de ioni avînd aceeași sarcină (de exemplu a unui fascicul de ioni  $\text{Na}^+$ ), în urma introducerii acestora în soluție, s-ar obține o soluție încărcată pozitiv și efectul experimental măsurat nu ar corespunde entalpiei de solvatare exprimate de ecuația (1.15), din cauza interacțiunilor suplimentare dintre ion și soluția încărcată electric, neluate în seamă de teorie.

Totuși, dacă se consideră valorile entalpiilor de hidratare calculate după teoria lui B o r n și se compară pentru săruri conținînd aceeași pereche de cationi și anion identic (v. tab. 1.2) se obțin anumite diferențe constante, ceea ce sugerează posibilitatea calculării unor valori experimentale pentru contribuțiile individuale ale ionilor la entalpia de solvatare. O cale oferită de teoria lui B o r n, conform căreia entalpia de solvatare este

Tabelul 1.2

Diferența dintre entalpii de hidratare ale unor săruri  $\Delta_{S_a, H_2O} H$  conținînd aceeași pereche de cationi și avînd anion comun

Sarea	$\Delta_{S_a, H_2O} H (\text{kcal/mol})$	Diferența
LiF	-245,2	-27,4
NaF	-217,8	
LiCl	-211,2	-27,4
NaCl	-183,8	
LiBr	-204,7	-27,4
NaBr	-177,3	
LiI	-194,9	-27,4
NaI	-167,5	
NaCl	-183,8	-20,0
KCl	-163,8	
NaBr	-177,3	-20,0
KBr	-157,3	
NaI	-167,5	-20,0
KI	-147,5	

invers proporțională cu raza ionică, constă în a lua în considerare săruri de tip AB, în care ionul pozitiv să aibă raza egală cu a ionului negativ; în acestea teoria prevede contribuții egale pentru ionii de semn contrar; cota-parte a unei specii reprezintă jumătatea entalpiei de solvatare a sării. Ca sare standard se alege KF, ai cărei ioni au raze sensibil egale (tab.1.3); cunoscând valoarea individuală a unui ion, se pot calcula entalpiile individuale ale altor ioni, prin simpla scădere a contribuției individuale cunoscute din entalpia de solvatare a sării luate în lucru.

Tabelul 1.3

Razele cristalografice ale unor ioni

Ionul	$r_i$ (nm)	Ionul	$r_i$ (nm)	Ionul	$r_i$ (nm)
Li <sup>+</sup>	0,060	Ca <sup>2+</sup>	0,099	Al <sup>3+</sup>	0,050
Na <sup>+</sup>	0,095	Sr <sup>2+</sup>	0,113	Sc <sup>3+</sup>	0,081
K <sup>+</sup>	0,133	Ba <sup>2+</sup>	0,135	La <sup>3+</sup>	0,115
Rb <sup>+</sup>	0,148	Zn <sup>2+</sup>	0,074	Fe <sup>3+</sup>	0,064
Cs <sup>+</sup>	0,169	Mn <sup>2+</sup>	0,080	F <sup>-</sup>	0,136
Ag <sup>+</sup>	0,126	Fe <sup>2+</sup>	0,076	Cl <sup>-</sup>	0,181
Be <sup>2+</sup>	0,031	Co <sup>2+</sup>	0,074	Br <sup>-</sup>	0,195
Mg <sup>2+</sup>	0,061	Ni <sup>2+</sup>	0,072	I <sup>-</sup>	0,216
		Cu <sup>2+</sup>	0,072		

S-au imaginat și alte metode de evaluare a entalpiilor de solvatare ionice, dar toate au același defect: pornesc de la premiza, bazată pe teoria lui Born, că unor raze ionice egale le corespund interacțiuni ion-solvent egale și folosesc valoarea experimentală de solvatare, pe care o împărtășesc la contribuții ionice individuale.

Valoarea experimentală a entalpiei de solvatare se determină prin măsurarea schimbului termic ce însoțește dizolvarea sării într-un solvent dat. Dar, dacă se compară entalpiile de hidratare astfel obținute (v. tab. 1.4)

Tabelul 1.4

Căldura de dizolvare (kcal/mol)  
în apă a unor halogenuri alcaline, la 25°C

Anionul Cationul	F <sup>-</sup>	Cl <sup>-</sup>	Br <sup>-</sup>	I <sup>-</sup>
Li <sup>+</sup>	+1,1	—	—	—
Na <sup>+</sup>	+0,1	+0,9	-0,2	—
K <sup>+</sup>	-4,2	+4,1	+4,8	+4,9
Rb <sup>+</sup>	-6,3	—	+5,2	+6,2
Cs <sup>+</sup>	-9,0	—	—	+7,9

cu valorile entalpiilor de hidratare din tabelul 1.2 se observă o discrepanță care se cifrează la două ordine de mărime (rareori entalpia de dizolvare în apă depășește 10 kcal/mol). Care este explicația acestei diferențe enorme între valorile experimentale și prevederile teoriei lui B o r n? Răspunsul este ușor de dat și are la bază stările inițiale diferite ale ionilor în cele două cazuri: ion în vid (teoria lui B o r n) și ion în rețeaua cristalină (dizolvarea sării). Având în vedere că ionul în rețeaua cristalină este supus unor interacțiuni multiple cu ionii învecinați, dizolvarea și efectul termic ce o însoțește reflectă de fapt rezultanta a două procese suprapuse: distrugerea rețelei și solvatarea ionilor. Pentru a calcula solvatarea ionilor, se cere cunoscută energia care menține ionii în rețea, așa numita energie de rețea, mărime accesibilă experimental și tabelată. Se va recurge la procesul ciclic, în care au loc următoarele etape: ruinarea rețelei cristaline și producerea unor ioni gazeși diluați (așezați la distanțe destul de mari pentru ca interacțiunea dintre ei să fie nulă); energia asociată cu această transformare este tocmai energia de rețea  $\Delta_r H(I)$ ; solvatarea ionilor sării, însoțită de entalpia de solvatare a sării  $\Delta_{sa,s}H$  este procesul următor (II); dacă ionii solvatați sînt extrași din soluție și se grupează în rețeaua lor cristalină ciclul se închide (III) iar energia schimbată este tocmai entalpia de dizolvare cu semn schimbat,  $-\Delta_s H$  (fig. 1.4). Conform principiului conservării energiei,

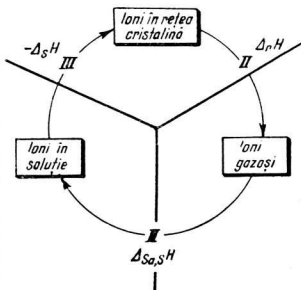


Fig. 1.4. Ciclu termodinamic permițind calcularea entalpiei de solvatare  $\Delta_{sa,s}H$ .

$$\Delta_r H + \Delta_{sa,s}H - \Delta_s H = 0, \quad (1.16)$$

de unde rezultă că:

$$\Delta_{sa,s}H = \Delta_s H - \Delta_r H. \quad (1.17)$$

În tabelul 1.5 sînt date valorile entalpiilor de dizolvare și ale energiilor de rețea pentru unele halogenuri alcaline, obținute experimental. Cu ajutorul lor s-au calculat valori experimentale ale entalpiei de solvatare. Solventul ales a fost apa, iar temperatura de lucru, cea standard. În tabelul 1.6 figurează entalpiile de solvatare individuale ale ionilor, calculate din datele coloanei a 4-a din tabelul 1.5, în presupunere că:

$$\Delta_{F^-, H_2O}H = \Delta_{K^+, H_2O}H = \frac{1}{2} \Delta_{KF, H_2O}H. \quad (1.18)$$

Deși bazată pe un model simplist, teoria lui B o r n reușește să prevadă interacțiuni de solvatare avînd același ordin de mărime cu valorile experimentale. Elaborată într-o perioadă cînd existența ionilor în soluție

**Energii de reșea, entalpii de dizolvare și entalpii  
de hidratare experimentale**

Sarea $\Delta_f H$ (kcal/mol)		$\Delta_s H$ (kcal/mol)	$\Delta_{sa,s} H$ (kcal/mol)
LiF	+246,3	+1,1	-245,2
NaF	+217,9	+0,1	-217,8
KF	+193,6	-4,2	-197,8
RbF	+186,4	-6,3	-192,7
CsF	+177,9	-0,9	-178,8
LiCl	+201,2		-211,2
NaCl	+184,7	+0,9	-183,8
KCl	+167,9	+4,1	-163,8
RbCl	+162		-158,7
CsCl	+154,9		-152,9
LiBr	+191,1		-204,7
NaBr	+177,1	-0,2	-177,3
KBr	+162,1	+4,8	-157,3
RbBr	+157,4	+5,2	-152,2
CsBr	+148,8		-146,4
LiI	+177,5		-194,9
NaI	+164		-167,5
KI	+152,4	+4,9	-147,5
RbI	+148,6	+6,2	-142,4
CsI	+144,5	+7,9	-136,6

Tabelul 1.6

**Valori experimentale ale entalpiilor de hidratare  
ale unor ioni (kcal/mol); presupunind**

$$\Delta_{K^+, H_2O} H = \Delta_{F^-, H_2O} H = \frac{1}{2} \Delta_{KF, H_2O} H$$

Ion	$\Delta_{I, H_2O} H$	Ion	$\Delta_{I, H_2O} H$	Ion	$\Delta_{I, H_2O} H$
Li <sup>+</sup>	-146,3	Rb <sup>+</sup>	-93,8	Cl <sup>-</sup>	-64,9
Na <sup>+</sup>	-118,9	Cs <sup>+</sup>	-88,0	Br <sup>-</sup>	-58,4
K <sup>+</sup>	-98,9	F <sup>-</sup>	-98,9	I <sup>-</sup>	-48,6

era contestată, ea a marcat un progres însemnat și a constituit un argument în favoarea existenței ionilor în soluție.

Compararea entalpiilor de hidratare ale ionilor, calculate cu ecuația (1.15) cu valorile experimentale din tabelul 1.6, conduce la concluzia reproducerii ordinului de mărime, dar că toate valorile calculate sînt sistematic superioare celor măsurate experimental. (v. tab. 1.7). Se constată apoi că nici liniaritatea dintre entalpia de hidratare experimentală și inversul razei ionice nu este respectată. Dezacordurile menționate sugerează introducerea în calcule a unor raze ionice mai mari decît cele cristalografice date în

Tabelul 1.7

Entalpii libere și entalpii de hidratare  
ale unor ioni, calculate după teoria lui Born (25°C)

Ion	$\Delta_{I,H_2O}G(\text{kcal/mol})$	$\Delta_{I,H_2O}H(\text{kcal/mol})$
$\text{Li}^+$	-273,2	-277,7
$\text{Na}^+$	-172,6	-175,5
$\text{K}^+$	-123,2	-125,3
$\text{Rb}^+$	-110,8	-113,1
$\text{Cs}^+$	-97,0	-98,6
$\text{F}^-$	-120,5	-122,6
$\text{Cl}^-$	-90,6	-92,1
$\text{Br}^-$	-84,1	-85,5
$\text{I}^-$	-75,9	-77,2

tabelul 1.3; s-a găsit că adăugînd suplimentul de 0,085 nm la razele cristalografice ale cationilor și 0,01 nm la razele anionilor, discrepanța dintre datele teoretice și experimentale dispăre (v. tab. 1.8).

Tabelul 1.8

Valori  $\Delta_{I,H_2O}H$  calculate cu raze ionice corectate

Ionul	Raza corectată (nm)	$\Delta_{I,H_2O}H(\text{kcal/mol})$
$\text{Li}^+$	0,145	-115,8
$\text{Na}^+$	0,180	-92,6
$\text{K}^+$	0,218	-98,5
$\text{Rb}^+$	0,233	-90,1
$\text{Cs}^+$	0,254	-65,6
$\text{F}^-$	0,146	-114,1
$\text{Cl}^-$	0,191	-87,3
$\text{Br}^-$	0,205	-81,3
$\text{I}^-$	0,226	-73,8

O altă sursă de dezacord dintre teoria lui Born și realitatea experimentală trebuie căutată în valoarea constantei dielectrice introduse în calcul. În loc de a folosi valoarea de volum a lui  $D_s$ , egală de exemplu cu 80,10 pentru apă la 20°C, în preajma ionilor, în cursul procesului de încărcare trebuie să se introducă valoarea efectivă a constantei dielectrice. Cum aceasta este mai mică decît valoarea de volum, (v. secț. 1.1.5), entalpiile de solvatare astfel calculate vor fi mai mici și deci acordul cu determinările experimentale se îmbunătățește.

În sfîrșit, a treia și ultima sursă de neconcordanțe trebuie căutată în neglijarea completă a structurii solventului. Toate aceste constatări duc la concluzia că problema trebuie abordată de pe alte poziții, mai puțin simpliste și mai conforme cu realitatea.



## 1.1.3.1 Structura apei, solventul cel mai comun

Molecula de apă, alcătuită dintr-un atom de oxigen și 2 atomi de hidrogen are o structură unghiulară. Ea rezultă de pe urma hibridării celor 6 electroni  $p$  ai oxigenului cu doi electroni  $s$  ai atomilor de hidrogen. Cei 8 electroni formează 4 perechi de legături hibride de tipul  $sp^3$ , orientate după vîrfurile unui tetraedru și din care două perechi sînt angajate în valențele cu atomii de hidrogen, iar două rămîn neparticipante. Din cauza interacțiunilor reciproce, unghiul de valență este de  $105^\circ$ , în loc de  $109^\circ 28'$  cît prevede teoria pentru tetraedrul regulat. Existența celor două dublete electronice neparticipante este cauza separării centrelor de greutate ale sarcinilor pozitive și negative din moleculă și explică dipolul permanent al apei, avînd un moment de  $1,87 \cdot 10^{-18}$  ues (1,87 debye) în fază gazoasă; valorile sînt mai mari atunci cînd moleculele de  $H_2O$  sînt asociate. Dubletele neparticipante sînt responsabile și pentru formarea asociațelor moleculare  $(H_2O)_n$  prin punți de hidrogen; în gheață ele leagă electrostatic alți 2 atomi de hidrogen, constituind o structură de inele hexagonale încrețite (fig. 1.5), în care fiecare atom de oxigen este coordonat de alți 4 prin intermediul legăturii de hidrogen. Deoarece în legătura de hidrogen poziția nucleului de hidrogen nu este simetrică, rezultă că fiecare atom de oxigen are 2 atomi de hidrogen mai apropiați și 2 mai îndepărtați; lungimea valenței O-H este de  $0,096 - 0,102$  nm, iar a legăturii de hidrogen  $0,174 - 0,180$  nm. Datorită structurii de rețea, moleculele de apă determină goluri interstițiale avînd dimensiuni mai mari decît ale moleculei de apă. Comparată cu structura gheții, structura apei lichide apare mai afînată (v. tab. 1.9); în ea se mențin parțial legăturile tetradrice și structura de rețea a gheții. Alături de moleculele ordonate în rețea, există și o fracțiune de molecule libere, neasociate, care se strecoară printre golurile interstițiale ale rețelei. În tot timpul o parte din moleculele reținute în rețea își schimbă locul cu molecule libere, interstițiale și reciproc, ceea ce conferă modelului un dinamism continuu; o moleculă poate fi, la un moment

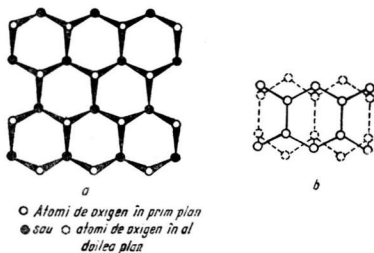


Fig. 1.5. Structura gheții normale:

a — proiecție într-un plan orizontal;  
b — vedere laterală.

Parametri structurali ai apelor lichide și solide

	apă lichidă	gheață
distanța medie O—O	0,292 nm	0,276 nm
numărul atomilor O învecinați	4,4—4,6	4

dat, liberă în interstițiile rețelei și poate deveni, în momentul următor, element constitutiv al rețelei.

Să considerăm acum pătrunderea unui ion în masa de apă. Datorită câmpului electric propriu, ionul va determina orientarea dipolilor apei și scoaterea lor din grupările ordonate structural în care se găseau înainte de apariția ionului. Asimilînd ionii cu sfere încărcate electric și moleculele de apă cu dipoli permanenți, interacțiunea ion-solvent poate primi o nouă bază și anume aceea a forțelor de tip ion-dipol. Orientarea și menținerea în imediata vecinătate a ionului a unui număr determinat de molecule de apă duce, la apariția unei noi entități, constituită din ionul care ocupă o poziție centrală și moleculele de apă care alcătuiesc un înveliș de hidratare (v. fig. 1.6). Deoarece intensitatea câmpului ce se datorează ionului se atenuează cu distanța, la o depărtare suficient de mare efectele câmpului se pot considera nule; în această regiune, numită regiune de volum a solventului, structura lui se păstrează neperturbată. În schimb în zona intermediară, cuprinsă între stratul primar de hidratare, în care moleculele de apă sînt orientate („structurate”) de câmpul ionului și zona de volum a solventului, se vor manifesta simultan ambele influențe: și cea de menținere a structurii apei, și cea de orientare a dipolilor permanenți ai apei. Este o zonă în care moleculele de apă se găsesc într-o situație de compromis, adică nici prea aproape de ion pentru a fi orientate de câmpul acestuia, dar nici îndeajuns de departe pentru a lua parte la organizarea structurală a apei. Cele 3 zone (fig.1.7) au limite diferite conturate: *zona A*, care conține moleculele de solvent bine orientate, imobilizate în jurul ionului și comprimate prin fenomenul de electrostricțiune, este bine definită; *zona B* e mai puțin net conturată, iar *zona C* constituie volumul soluției.

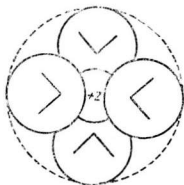


Fig. 1.6. Ionul, înconjurat de un înveliș de hidratare alcătuit din molecule de apă orientate.

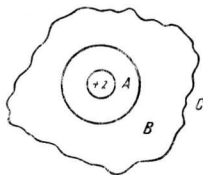


Fig. 1.7. Învelișuri de solvatare ale unui ion.

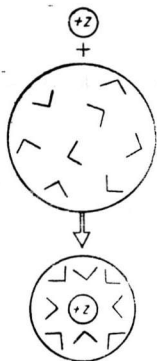


Fig. 1.8. Fenomenul de electrostricțiune.

Electrostricțiunea (fig. 1.8) este o consecință a interacțiunilor dintre ion și dipolii de solvent și se manifestă prin îngheșuirea moleculelor de apă în jurul ionului. La scară macroscopică ea cauzează contracția volumului total, observată aproape totdeauna la dizolvarea unui electrolit în apă.

### 1.1.3.2 Modelul ion-dipol

Interacțiunea ion-solvent tratată de Bernal și Fowler (1933) are la bază modelul de interacțiune ion-dipol. Pentru exprimarea energeticii de solvatare, în locul lui  $\Delta_{I,S}G$  se va folosi entalpia de solvatare  $\Delta_{I,S}H$ , care îi este asociată. Menționăm că procesului îi corespunde și o entropie de solvatare  $\Delta_{I,S}S$ , care este o consecință a variației numărului de grade de libertate (de translație, de rotație și de vibrație) cauzate de scoaterea moleculelor din starea de organizare structurală și atașarea lor la ionul cu care interacționează.

Interacțiunea ion-solvent constă din mai multe contribuții, cum ar fi: interacțiunea dintre ion și moleculele de solvent aflate în zona *A*, energia necesară pentru distrugerea structurii solventului din zona *B* etc; separarea acestor contribuții este irealizabilă practic dar este posibilă în procesul ciclic teoretic, schițat în figura 1.9. El constă din următoarele etape:

— *I.* Din volumul solventului se îndepărtează  $n + 1$  molecule de solvent, pentru a se crea cavitatea în care să pătrundă ionul asociat cu cele  $n$  molecule de solvatare din zona *A* (primul înveliș de solvatare); cele  $n + 1$  molecule vor fi transferate în vid, cu cheltuiala de lucru mecanic  $W_{FC}$ , numit travaliu de formare a cavității.

— *II.* În momentul când părăsesc solventul, cele  $n + 1$  molecule trebuie separate din gruparea lor, pentru a se putea orienta în jurul ionului, în vid; fie  $W_D$  travaliul cheltuit cu disocierea grupării moleculare.

— *III.* Formarea primului inveliș de solvatare, cu  $n$  din cele  $n + 1$  molecule izolate. Energia de interacțiune dintre ioni și dipoli, pentru configurația indicată de figura 1.10 este dată, într-o primă aproximație, de expresia:

$$- \frac{z_i e_0 \mu_s}{(r_i + r_s)^3},$$

unde  $\mu_s$  este momentul dipolar al moleculei de solvent avînd raza  $r_s$ . Deoarece pentru un ion oarecare este vorba de  $n$  asemenea interacțiuni, energia de interacțiune devine de  $n$  ori mai mare; în sfîrșit, dacă se extinde la 1 ion gram, se obține travaliul de interacțiune molar  $W_{I,D}$ :

$$W_{I,D} = - \frac{N n z_i e_0 \mu_s}{(r_i + r_s)^3}. \quad (1.19)$$

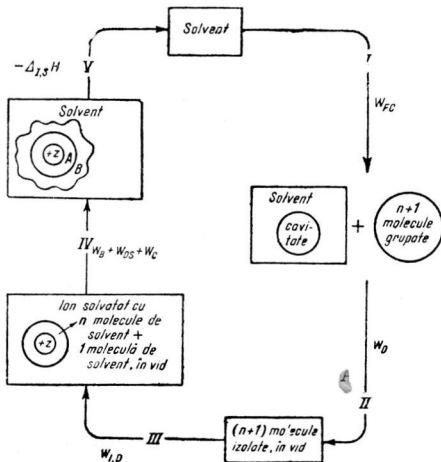


Fig. 1.9. Transformare ciclică imaginată pentru separarea diverselor contribuții ale interacțiunii ion-solvent.

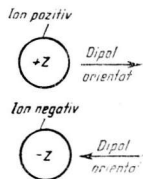


Fig. 1.10. Configurația ion-dipol.

— IV. Etapa următoare constă în transferul ionului solvatat din vid în cavitatea creată în solvent. Pentru evaluarea travaliului asociat cu această etapă să facem apel la teoria lui B o r n și să presupunem că, mai întâi ionul solvatat este descărcat în vid, apoi introdus în cavitatea creată în solvent și, în final, reîncărcat la sarcina sa  $+z = z_0 e_0$ . Dar pe cînd la procesul de încărcare a lui B o r n participau ioni individuali, aici încărcarea o suferă ionul înconjurat de prima sferă de solvatare, ceea ce impune corectarea razei de la valoarea cristalografică  $r_i$  la cea a ionului solvatat, adică  $r_i + 2r_s$ . Raportînd la un mol, se găsește că variația de energie ce însoțește etapa este tocmai căldura B o r n de solvatare; notînd cu  $\bar{W}_B$  (pentru a ne aminti de procesul de încărcare — solvatare B o r n) această contribuție și substituind în ecuația (1.15) raza  $r_i$  cu suma de mai sus, se obține:

$$\bar{W}_B = - \frac{\mathcal{E}(z_0 e_0)^2}{2(r_i + 2r_s)} \left[ 1 - \frac{1}{D_s} - \frac{T}{D_s^2} \left( \frac{\partial D_s}{\partial T} \right)_p \right]. \quad (1.20)$$

Utilizarea unei ecuații din teoria lui B o r n, în cadrul prezentei teorii structurale se justifică prin aceea că raza ansamblului ion-prima sferă de solvatare (mărime echivocă în teoria lui B o r n) este bine definită și că în această etapă solventul din jurul cavității rămîne în stare normală, neperturbată și prin urmare valoarea constantei dielectrice (altă mărime

echivocă în teoria lui B o r n) corespunde valorii de volum. De fapt, introducerea ionului solvatat cu cele  $n$  molecule de apă nu lasă apa înconjurătoare neperturbată ci cauzează o parțială distrugere a ordinii structurale din jurul cavității, soldată cu formarea celui de al doilea înveliș de solvatare,  $B$ ; fie  $W_{DS}$  travaliul de distrugere al structurii apei în învelișul  $B$  de solvatare.

În sfârșit, trebuie luată în considerare și condensarea uneia din cele  $(n + 1)$  molecule extrase din solvent, care nu participă la solvatarea ionului; să se noteze cu  $W_C$  travaliul de condensare molar corespunzător. Închiderea ciclului se face prin revenirea la starea de solvent pur (etapa V), după extragerea ionului din soluție; etapa este însoțită de efectul termic  $-\Delta_{I,S}H$ .

Făcînd bilanțul travaliilor implicate în interacțiunile menționate, se obține:

$$\Delta_{I,S}H = W_{FC} + W_D + W_{I,D} + W_B + W_{DS} + W_C \quad (1.21)$$

sau

$$\Delta_{I,S}H = W - \frac{3\epsilon n z_i e_0}{(r_i + r_s)^2} \mu_s - \frac{3\epsilon (z_i e_0)^2}{2(r_i + 2r_s)} \left[ 1 - \frac{1}{D_s} - \frac{T}{D_s^2} \left( \frac{\partial D_s}{\partial T} \right)_p \right], \quad (1.22)$$

unde

$$W = W_{FC} + W_D + W_{DS} + W_C \quad (1.23)$$

Ultimii doi termeni ai ecuației (1.22) sînt ușor de evaluat, dacă se cunoaște numărul  $n$  al moleculelor de solvent coordonate în zona  $A$  de solvatare, raza  $r_s$  a moleculelor de solvent și valoarea de volum  $D_s$  a constantei dielectrice a solventului. În schimb termenul întîi, constituit la rîndul său din suma a patru contribuții diferite (v.ec. 1.23) cunoscute mai mult sau mai puțin bine, este ceva mai complicat și va fi comentat în cele ce urmează.

Contribuția  $W_D$ , energia de disociere a grupării celor  $(n + 1)$  molecule de solvent este măsurată sau de travaliul de separare a unor dipoli, dacă asocierea se face între dipoli permanenți, sau prin ruperea legăturilor de hidrogen dintre moleculele grupării, așa cum se întîmplă de exemplu la apă. Cunoscînd energia legăturii de hidrogen ( $\approx 5$  kcal/mol) și numărul de molecule ce participă la formarea primului înveliș de hidratare,  $W_D$  este ușor de calculat. Fie, de exemplu,  $n = 4$ ; gruparea conține deci 5 molecule de apă și pentru distrugerea unui mol de grupare este necesară ruperea a 4 moli de legături de hidrogen, adică  $4 \times 5$  kcal/mol.

Termenul  $W_C$  valorează pentru 1 mol de apă circa -10 kcal.

În sfîrșit, celelalte două travalii,  $W_{FC}$  și  $W_{DS}$  nu se pot evalua decît cu aproximație. Atît cel dintîi cît și cel de al doilea corespund ruperii unor legături de hidrogen, dacă solventul este apă. Cunoscînd numărul de legături rupte și înmulțind cu 5 kcal/mol, se obține și suma  $W_{FC} + W_{DS}$ . Considerînd aceeași grupare de  $4 + 1$  molecule de apă și făcînd numărătoarea legăturilor de hidrogen ale grupării aflate în solvent înainte de extragerea ei și apoi după coordinarea a 4 molecule în jurul ionului și reasezarea în solvent, se obține o diferență de două legături hidrogen (fig. 1.11); modificarea orientării relative a moleculelor de apă marcate

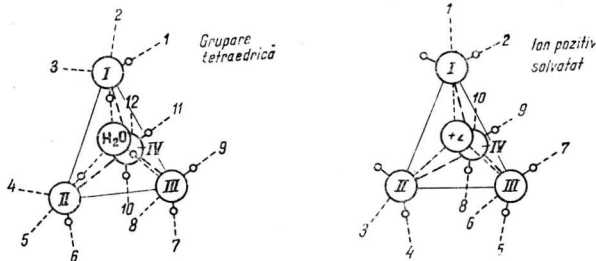


Fig. 1.11. Reorientarea parțială a moleculelor de apă în ionul solvata nu permite refacerea tuturor legăturilor de hidrogen prin care gruparea de  $(n + 1)$  molecule de apă era inițial fixată în volumul de solvent.

pe figură cu I și II, reduce de la 12 la 10, numărul de legături hidrogen, după crearea primei sfere de hidratare. Așadar  $W_{FC} + W_{DS} = 2 \times 5 = 10$  kcal/mol pentru fiecare ion-gram.

Luând în considerare cele de mai sus, putem scrie că travaliul  $W$  pentru ionul pozitiv tetracoordinat cu molecule de apă valorează:

$$W = 20 - 10 + 10 = 20 \text{ kcal/mol.} \quad (1.24)$$

La solvatarea (hidratarea) ionilor negativi cu același număr de molecule de apă în prima sferă, valorile travaliilor  $W_D$  și  $W_C$  rămân neschimbate. În schimb suma  $W_{FC} + W_{DS}$  este net diferită, deoarece din cele 12 legături de hidrogen inițiale, rupte pentru formarea cavității, nu se mai refac decât 8, din cauza acelorași reorientări suferite de o parte din moleculele de apă din zona A de hidratare; cu alte cuvinte orientarea moleculelor de apă din zona B de solvatare este mai puțin compatibilă cu moleculele de apă din zona A de solvatare a anionilor decât cu cele din zona A a cationilor (fig. 1.12).

În consecință, se poate scrie că pentru ionul negativ tetracoordinat,

$$W = 20 - 10 + 20 = 30 \text{ kcal/mol}$$

Introducând în (1.22) valorile astfel calculate pentru  $W$ , se obțin expresiile folosite la calculul entalpiei de solvatare într-o coordinare tetraedrică cu molecule de apă:

$$\Delta H_{I,S} = 20 - \frac{4\mathcal{N}z_i e_0}{(r_i + r_{H_2O})^2} \mu_{H_2O} - \frac{\mathcal{N}(z_i e_0)^2}{2(r_i + r_{H_2O})} \left[ 1 - \frac{1}{D_{H_2O}} - \frac{T}{D_{H_2O}^2} \left( \frac{\partial D_{H_2O}}{\partial T} \right)_p \right] \quad (1.25)$$

pentru ioni pozitivi și

$$\Delta_{I,S} H = 30 - \frac{4\mathcal{N}z_i e_0}{(r_i + r_{H_2O})^2} \mu_{H_2O} - \frac{\mathcal{N}(z_i e_0)^2}{2(r_i + r_{H_2O})} \left[ 1 - \frac{1}{D_{H_2O}} - \frac{T}{D_{H_2O}^2} \left( \frac{\partial D_{H_2O}}{\partial T} \right)_p \right] \quad (1.26)$$

pentru ioni negativi.

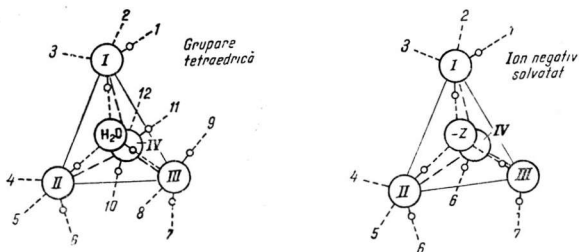


Fig. 1.12. Ion negativ cu 4 molecule de apă. 4 legături de hidrogen rupte după reorientarea moleculelor de apă.

Analizînd structura unui ion octaedric coordinat, se poate stabili expresia căldurii de solvatare, care are termenul liber egal cu 15 (kcal/mol) și coeficientul 6 (în loc de 4) în numărătorul termenului al doilea.

Confruntînd valorile calculate cu egalitățile (1.25) și (1.26) stabilite în cadrul abordării ion-dipol a interacțiunii de solvatare, (v. tab. 1.10) cu cele obținute experimental pe baza scindării în două a entalpiei de hidratare a KF (tab. 1.6), se observă de astă dată o incomparabil mai bună concordanță. Aceasta constituie o dovadă că modelul ion — dipol este mai bun decît modelul rudimentar al sarcinii sferice introduse într-un mediu dielectric continuu conceput de Born, care conduce la valorile din tabelul 1.7 (ultima coloană).

Tabelul 1.10

Comparație între valorile entalpiilor de hidratare calculate cu ecuații de tipul (1.25) și (1.26) și valorile experimentale din tab. 1.6

Ionul	$\Delta_{I,H_2O}H(\text{kcal/mol})$	$\Delta_{I,H_2O}(\text{kcal/mol, tab. 1.6})$
$\text{Li}^+$	-160,1	-146,3
$\text{Na}^+$	-119,2	-118,9
$\text{K}^+$	-90,5	-98,9
$\text{Rb}^+$	-81,9	-93,8
$\text{Cs}^+$	-71,8	-88,0
$\text{F}^-$	-78,6	-98,9
$\text{Cl}^-$	-56,8	-64,9
$\text{Br}^-$	-51,6	-58,4
$\text{I}^-$	-44,7	-48,6

Tabelul 1.11 conține contribuțiile termenilor 2 și 3 din ecuațiile (1.25) și (1.26). Compararea lor cu valorile  $\Delta_{I,H_2O}H$  corespunzătoare din coloana a doua a tabelului 1.10, conduce la concluzia că interacțiunile ion-solvent au o origine pronunțat electrostatică.

Contribuțiile termenilor 2 și 3 din ecuațiile (1.25)  
și (1.26) în kcal/mol la valoarea lui  $\Delta_{I, H_2O}^H$

Ionul	Termenul al 2-lea, kcal/mol (Entalpia interacțiunii ion - dipol)	Termenul al 3-lea, kcal/mol (Entalpia de încărcare Born)
Li <sup>+</sup>	-130,6	-49,6
Na <sup>+</sup>	-94,2	-45,0
K <sup>+</sup>	-69,9	-40,8
Rb <sup>+</sup>	-62,6	-39,3
Cs <sup>+</sup>	-54,3	-37,5
F <sup>-</sup>	-68,1	-40,5
Cl <sup>-</sup>	-50,3	-36,5
Br <sup>-</sup>	-46,2	-35,4
I <sup>-</sup>	-40,8	-33,9

Cu toată abaterea relativ mică, de aproximativ  $\pm 10\%$ , dintre valorile calculate și cele experimentale din tabelul 1.10, cititorul trebuie avertizat că însăși entalpiile de solvatare experimentale sînt mărimi destul de hibride; ele derivă de la standarde ( $\Delta_{K^+, H_2O}^H = \Delta_{F^-, H_2O}^H = \frac{1}{2} \Delta_{s, H_2O}^H$ ) obținute prin aplicarea teoriei lui Born la o mărime experimentală univocă. Prin aceasta se presupune forțat că solvatarea ionilor K<sup>+</sup> și F<sup>-</sup> nu depinde decît de raza ionică și e independentă de semnul sarcinii ionului.

Pentru a pune la îndemînă un termen de comparație total lipsit de ambiguitate, s-a propus o scară relativă de valori bazată pe accepția arbitrară că  $\Delta_{H^+, H_2O}^H = 0$ . Iată modul în care se poate stabili această nouă scară.

Se consideră valoarea experimentală  $\Delta_{HX, H_2O}^H$  ca egală cu entalpia de interacțiune dintre HX și H<sub>2</sub>O și alcătuită din suma:

$$\Delta_{HX, H_2O}^H = \Delta_{H^+, H_2O}^H + \Delta_{X^-, H_2O}^H. \quad (1.28)$$

Pentru că în cele ce urmează ca solvent se va considera numai apa, vom simplifica simbolurile, fără a menționa în indice și „H<sub>2</sub>O”. Entalpia de solvatare relativă  $\Delta_{X-H_{rel}}$  a ionilor X<sup>-</sup>, raportată la cea a ionilor H<sup>+</sup>, va fi definită la relația:

$$\Delta_{X-H_{rel}} = \Delta_{X-H_{abs}} + \Delta_{H^+H_{abs}} = \Delta_{HX}^H, \quad (1.29)$$

întrucît  $\Delta_{H^+H_{abs}} = 0$ . Deoarece  $\Delta_{HX}^H$  este o mărime accesibilă experimental, rezultă și pentru  $\Delta_{X-H_{rel}}$  o valoare experimentală, afectată numai de convenția  $\Delta_{H^+H_{abs}} = 0$ .

Entalpiile de solvatare relative se pot defini și pentru ioni pozitivi. Scriind, de exemplu aditivitatea contribuțiilor ionice ale sării MX la fixarea entalpiei de hidratare a lui MX;  $\Delta_{MX}^H$ , determinabilă experimental,

$$\Delta_{MX}^H = \Delta_{M^+H_{abs}} + \Delta_{X-H_{abs}} \quad (1.30)$$

și substituind valoarea lui  $\Delta_{X-H_{abs}}$  din ecuația (1.29) scrisă în felul următor:

$$\Delta_{X-H_{abs}} = \Delta_{X-H_{rel}} - \Delta_{H^+H_{abs}} \quad (1.31)$$

sau încă

$$\Delta_{X-H_{abs}} = \Delta_{HX}^H - \Delta_{H^+H_{abs}} \quad (1.32)$$



se mai obține :

$$\Delta_{MX}H = \Delta_M + H_{abs} + \Delta_{HX}H - \Delta_H + H_{abs}, \quad (1.33)$$

sau

$$\Delta_M + H_{abs} - \Delta_H + H_{abs} = \Delta_{MX}H - \Delta_{HX}H, \quad (1.33 a)$$

și deoarece  $\Delta_H + H_{abs} = 0$ , rezultă prin definiție

$$\Delta_M + H_{rel} = \Delta_M + H_{abs} - \Delta_H + H_{abs} = \Delta_{MX}H - \Delta_{HX}H, \quad (1.34)$$

unde în membrul drept figurează mărimi univoce, experimentale. Pe baza aceasta se poate stabili seria entalpiilor de hidratare cuprinse în tabelul 1.12; se observă că valorile corespunzătoare unor ioni de semn opus, dar avînd aceeași rază, nu mai sînt egale între ele.

Tabelul 1.12

Entalpii de hidratare relative, calculate  
în presupunerea că  $\Delta_H + H_{abs} = 0$

Ionul	$\Delta_I H_{rel}$ (kcal/mol)
Li <sup>+</sup>	+ 136,34
Na <sup>+</sup>	+ 163,68
K <sup>+</sup>	+ 183,74
Rb <sup>+</sup>	+ 188,80
Cs <sup>+</sup>	+ 194,60
F <sup>-</sup>	- 381,50
Cl <sup>-</sup>	- 347,50
Br <sup>-</sup>	- 341,00
I <sup>-</sup>	- 331,20

### 1.1.3.3 Modelul ion-cuadrupol

Pentru a ameliora și mai mult concordanța între teoria interacțiunii ion-solvent și experiență, s-a produs o reprezentare mai bună a moleculelor de apă. În acest sens, în locul modelului dipolar, ansamblu de două sarcini, se introduce modelul cuadrupolar (Buckingham, 1957), conform căruia apa reunește în molecula ei două centre de sarcini pozitive (protonii) și două centre negative (cele două perechi de electroni neparticipanți. Folosind aceeași transformare ciclică imaginară ca la modelul ion-dipol și examinînd diverșii termeni care intră în alcătuirea entalpiei de hidratare  $\Delta_{I,H_2O}H$  (v. ecuațiile (1.21) și (1.22)), se observă că numai  $W_{I,D}$  este susceptibil de modificare; în locul travaliului  $W_{I,D}$  trebuie evaluată energia de interacțiune ion-cuadrupol,  $W_{I,C}$ . Expresia acesteia se obține în urma unor complicate calcule matematice. Mai simplu este cazul cînd moleculele de apă se consideră orientate simetric față de ion (fig. 1.13) și cînd ea devine :

$$E_{I,C} = - \frac{z_i e_0^4 \mu_{H_2O}}{r^3} \pm \frac{z_i e_0^4 \phi_{H_2O}}{2r^3}. \quad (1.35)$$

unde semnul plus al termenului al doilea se referă la ioni pozitivi;  $p_{H_2O}$  este momentul cuadрупolar al apei ( $3,9 \cdot 10^{-26}$  ues). Termenul întâi al membrului drept este termenul dipolar, iar al doilea se numește termen cuadрупolar; se vede că o dată cu mărirea distanței  $r$  dintre centrele ionului și a moleculei de apă, termenul cuadрупolar devine mai puțin important. Din acest motiv, tratarea interacțiunii ion-solvent pe baza unui model ion-cuadрупol este condiționată de valoarea lui  $r$ ; dacă pentru ioni voluminoși ( $r$  mare) tratarea este preferabilă pe baza modelului ion-dipol, modelul ion-cuadрупol constituie o mai bună aproximare a realității la ioni care au dimensiuni apropiate de molecula de apă.

În cazul cînd ionul este în contact cu moleculele de apă coordonate în prima sferă de hidratare, în locul distanței  $r$  se poate introduce suma razelor  $r_i + r_{H_2O}$ .

$$E_{I,C} = - \frac{z_i e_0 \mu_{H_2O}}{(r_i + r_{H_2O})^2} \pm \frac{z_i e_0 p_{H_2O}}{2(r_i + r_{H_2O})^3}. \quad (1.36)$$

Raportată la un mol, energia devine:

$$W_{I,C} = - \frac{n \mathfrak{N} z_i e_0}{(r_i + r_{H_2O})^2} \mu_{H_2O} \pm \frac{n \mathfrak{N} z_i e_0 p_{H_2O}}{2(r_i + r_{H_2O})^3}, \quad (1.37)$$

unde  $n$  reprezintă numărul de molecule de apă coordonate în sfera  $A$ . Introducînd această nouă valoare a interacțiunii ion-molecule de apă în expresiile entalpiilor de hidratare (1.25) și (1.26), se obțin egalitățile:

$$\Delta_{I,H_2O} H = 20 - \frac{4 \mathfrak{N} z_i e_0 \mu_{H_2O}}{(r_i + r_{H_2O})^2} + \frac{4 \mathfrak{N} z_i e_0 p_{H_2O}}{2(r_i + r_{H_2O})^3} - \frac{\mathfrak{N} (z_i e_0)^2}{2(r_i + r_{H_2O})} \left[ 1 - \frac{1}{D_s} - \frac{T}{D_s^2} \left( \frac{\partial D_s}{\partial T} \right)_p \right], \quad (1.38)$$

pentru ioni pozitivi tetracoordinați și:

$$\Delta_{I,H_2O} H = 30 - \frac{4 \mathfrak{N} z_i e_0 \mu_{H_2O}}{(r_i + r_{H_2O})^2} - \frac{4 \mathfrak{N} z_i e_0 p_{H_2O}}{2(r_i + r_{H_2O})^3} - \frac{\mathfrak{N} (z_i e_0)^2}{2(r_i + r_{H_2O})} \left[ 1 - \frac{1}{D_s} - \frac{T}{D_s^2} \left( \frac{\partial D_s}{\partial T} \right)_p \right], \quad (1.39)$$

pentru ioni negativi tetracoordinați. Ele constituie o mai bună aproximare a realității referitoare la interacțiunea ion-solvent. Dar și acesta este susceptibilă de îmbunătățire, dacă se iau în considerare și momentele dipolare induse  $\mu_{ind}$  în moleculele de apă de către cîmpul electric al ionului. Cum

$$\mu_{ind} = \alpha \mathfrak{E} \quad (1.40)$$

unde  $\mathfrak{E}$  este cîmpul inductor al ionului, iar  $\alpha$  polarizibilitatea moleculei de apă (măsură a capacității de distorsiune de-a lungul axei dipolului

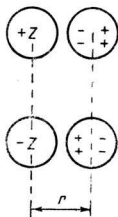


Fig. 1.13. Orientarea simetrică a cuadрупolului față de un ion pozitiv sau negativ.

permanent). Se arată că, dacă se iau în considerare și efectele dipolilor induși, entalpia de hidratare devine:

$$\Delta_{I, H_2O} H = 20 - \frac{4\mathfrak{L}z_i e_0 \mu_{H_2O}}{(r_i + r_{H_2O})^2} + \frac{4\mathfrak{L}z_i e_0 \rho_{H_2O}}{2(r_i + r_{H_2O})^3} - \frac{\mathfrak{L}(z_i e_0)^2}{2(r_i + r_{H_2O})} \left[ 1 - \frac{1}{D_s} - \frac{T}{D_s^2} \left( \frac{\partial D_s}{\partial T} \right)_p \right] - \frac{4\mathfrak{L}(z_i e_0)^2 \alpha}{2(r_i + r_{H_2O})^4}, \quad (1.41)$$

pentru ioni pozitivi și:

$$\Delta_{I, H_2O} H = 30 - \frac{4\mathfrak{L}z_i e_0 \mu_{H_2O}}{(r_i + r_{H_2O})^2} - \frac{4\mathfrak{L}z_i e_0 \rho_{H_2O}}{2(r_i + r_{H_2O})^3} - \frac{\mathfrak{L}(z_i e_0)^2}{2(r_i + r_{H_2O})} \left[ 1 - \frac{1}{D_s} - \frac{T}{D_s^2} \left( \frac{\partial D_s}{\partial T} \right)_p \right] - \frac{4\mathfrak{L}(z_i e_0)^2 \alpha}{2(r_i + r_{H_2O})^4}, \quad (1.42)$$

pentru ioni negativi.

Ajunși la aceste rezultate, să confruntăm teoria cu experiența, oprindu-ne mai întâi la aspectul legat de valorile entalpiilor de hidratare a unor ioni de egală dimensiune, dar avînd sarcini de semn opus, iar apoi compararea valorilor absolute teoretice calculate cu ecuațiile (1.41) și (1.42) cu datele experimentale.

Simpla examinare a ecuațiilor (1.41) și (1.42) ne conduce la concluzia că entalpiile de hidratare a doi ioni de egală mărime, dar încărcăți cu sarcini opuse, nu pot fi identice. Să considerăm  $n = 4$  și să scădem una din alta cele două ecuații: (1.42) din (1.41). Diferența:

$$-10 + \frac{4\mathfrak{L}z_i e_0 \rho_{H_2O}}{(r_i + r_{H_2O})^3}$$

obținută se datorează semnelor opuse pe care le au termenii cuadrupolari în cele două ecuații și valorile diferite ale termenilor liberi. Deci se poate scrie:

$$\Delta_{M_i^+} H_{abs} - \Delta_{X_i^-} H_{abs} = -10 + \frac{4\mathfrak{L}z_i e_0 \rho_{H_2O}}{(r_i + r_{H_2O})^3}, \quad (1.43)$$

combinarea ecuațiilor (1.31) și (1.34) permite exprimarea diferenței (1.43) cu ajutorul mărimilor relative:

$$\Delta_{M_i^+} H_{abs} - \Delta_{X_i^-} H_{abs} = \Delta_{M_i^+} H_{rel} - \Delta_{X_i^-} H_{rel} + 2\Delta_H H_{abs}. \quad (1.44)$$

Combinarea ultimelor două egalități conduce la expresia:

$$\Delta_{M_i^+} H_{rel} - \Delta_{X_i^-} H_{rel} = -2\Delta_H H_{abs} - 10 + \frac{4\mathfrak{L}z_i e_0 \rho_{H_2O}}{(r_i + r_{H_2O})^3}. \quad (1.45)$$

Prin urmare, dacă se reprezintă grafic diferența din membrul întâi al ecuației (1.45) în funcție de  $(r_i + r_{H_2O})^{-3}$ , se obține o dreaptă al cărei

coeficient valorează  $4\pi z_i e_0 \rho_{H_2O}$  (fig. 1.14). Experiența confirmă strălucit prevederile teoretice dacă  $r_i$  nu este mai mic decât 0,13 nm. Dacă dreapta continuă (corespunzătoare domeniului explorat experimental) se prelungește și se extrapolează pentru  $(r_i + r_{H_2O})^{-3} \rightarrow 0$  ordonata la origine obținută este egală cu  $(-2\Delta_H + H_{abs} - 10)$  kcal/mol.

Cum valoarea ordonatei la origine este 522 kcal/mol, rezultă că  $\Delta_H + H_{abs} = -266$  kcal/mol. O dată obținută, această valoare, pe baze mult mai bune decât  $\Delta_{K^+, H_2O} H$  sau  $\Delta_{F^-, H_2O} H$ , se pot calcula și alte entalpii de hidratare ionice (v. tab. 1.13). Aceste valori sînt într-un acord bun cu teoria (v. tab. 1.14).

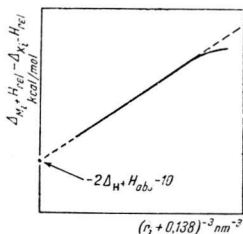


Fig. 1.14. Variația diferenței dintre entalpiile de hidratare ale unor ioni cu semn opus și raze egale, cu suma  $(r_i + r_{H_2O})^{-3}$ .

Tabelul 1.13

Valori absolute cuasi-experimentale ale entalpiilor de hidratare ionice

Ionul	$\Delta_{M_i} + H_{abs}$ (kcal/mol)	Ionul	$\Delta_{X_i} - H_{abs}$ (kcal/mol)
Li <sup>+</sup>	-129,7	F <sup>-</sup>	-115,5
Na <sup>+</sup>	-102,3	Cl <sup>-</sup>	-81,5
K <sup>+</sup>	-82,3	Br <sup>-</sup>	-75,0
Rb <sup>+</sup>	-77,2	I <sup>-</sup>	-65,2
Cs <sup>+</sup>	-71,4		

Tabelul 1.14

Contribuțiile diversilor termeni al entalpiilor de hidratare calculate cu ec. (1.41) și (1.42), în kcal/mol, alături de valoarea totală și abaterea (%) față de căldurile de hidratare experimentale din tabelul 1.13

Ion	Termenul II (dipolar)	Termenul III (cuadrupolar)	Termenul IV (al lui Born)	Termenul V (dipol indus)	Total*	Abaterea (%) față de valorile din tabelul 1.13
Li <sup>+</sup>	-130,5	+69,5	-49,6	-62,4	-153,0	-18
Na <sup>+</sup>	-94,2	+42,6	-45,0	-32,7	-109,3	-6,8
K <sup>+</sup>	-69,7	+27,1	-40,8	-19,2	-82,6	-0,4
Rb <sup>+</sup>	-62,6	+23,1	-39,3	-14,6	-73,4	+5
Cs <sup>+</sup>	-54,3	+18,7	-37,5	-10,5	-63,6	+11
F <sup>-</sup>	-68,1	-26,2	-40,5	-16,5	-121,3	-5
Cl <sup>-</sup>	-50,3	-16,6	-36,5	-9,4	-82,8	-2
Br <sup>-</sup>	-46,2	-14,6	-35,4	-7,9	-74,1	+1,2
I <sup>-</sup>	-40,8	-12,2	-33,9	-6,4	-63,3	+3

\* S-au inclus și termenii liberi

**Entalpii de solvatare ionice cuasi-experimentale (kJ/mol,  
la 25°C) în diverși solvenți. În paranteză figurează  
razele moleculelor de solvent (nm)**

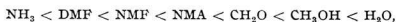
Solvent Ion	NH <sub>3</sub> (0,17)	DMF (0,350)	NMF (0,280)	NMA (0,280)	CH <sub>3</sub> O (0,260)	CH <sub>3</sub> OH (0,19)	H <sub>2</sub> O (0,138)
Li <sup>+</sup>	—	—557	—535	—534	—513	—517	—504
Na <sup>+</sup>	—463	—449	—427	—421	—413	—410	—395
K <sup>+</sup>	—382	—372	—350	—344	—331	—324	—311
Rb <sup>+</sup>	—346	—347	—324	—318	—306	—297	—287
Cs <sup>+</sup>	—320	—311	—288	—282	—272	—260	—254
F <sup>—</sup>	—459	—434	—471	—474	—493	—511	—516
Cl <sup>—</sup>	—354	—334	—355	—357	—373	—377	—378
Br <sup>—</sup>	—326	—320	—329	—330	—344	—347	—344
I <sup>—</sup>	—301	—294	—296	—297	—306	—311	—301

DMF: dimetilformamidă

NMF: N-metilformamidă

NMA: N-metilacetamidă

Folosindu-se ca etalon entalpia ionică de hidratare a ionului Na<sup>+</sup>, arbitrar fixată la —100 kcal/mol (= 418,6 kJ/mol), pe calea descrisă mai sus, s-au calculat entalpiile de solvatare ale ionilor alcalini și halogeni în apă și alți 6 solvenți (S o m s e n, W e e d a, 1971, tab. 1.15). În paranteză, sub numele sau simbolul solventului figurează raza moleculei considerată în direcția dipolului și folosită în calcul. Valorile entalpiilor de solvatare ale cationilor variază, cu mici excepții, crescător în seria:



iar ale anionilor în general, în sens invers, din cauza efectului datorat momentului cuadru-polar. În acest tabel, la calculul entalpiilor de solvatare a ionului Li<sup>+</sup> s-a folosit o valoare a razei  $r_{\text{Li}}$  + puțin diferită (0,068 nm) față de raza introdusă în calcul în tabelele precedente ( $r_{\text{Li}} = 0,060$  nm).

Teoria bazată pe modelul ion-cuadru-pole explică deci bine interacțiunea ion-solvent în cazul ionilor alcalini și halogeni; ea nu mai reflectă la fel de bine realitatea pentru ionii bipozitivi ai metalelor alcalinoteroase și încă mai puțin bine pentru cationii metalelor tranzitionale. O sursă de perturbații pentru aceștia din urmă o constituie norii de densitate ai electronilor  $d$ , care nu au simetrie sferică; se observă (fig. 1.15) că în ionii hidratați hexacoordinați, interacțiunile dintre perechile de electroni neparticipanți ai apei și electronii ionului sînt mult mai pronunțate pentru electronii  $d$  decît pentru electronii  $p$  (fig. 1.15). Din cauza orientării, de-a lungul axelor de coordonate sau între ele, se disting două genuri de electroni  $d$ :  $d_e$  și respectiv  $d_v$  (fig. 1.15) Forța repulsivă a electronilor neparticipanți ai apei acționează mai puternic asupra electronilor din orbitalii  $d_e$  decît asupra celor din orbitalii  $d_v$ . Sub acțiunea moleculelor de apă cele două genuri de orbitali  $d$  (indistinctibili de pildă la ionii în stare gazoasă) se diferențiază; orbitalii  $d_e$  corespund unei energii mai mari

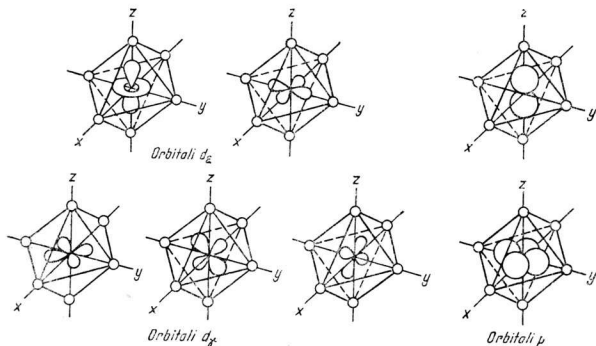
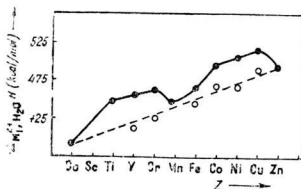


Fig. 1.15. Orientarea spațială a norilor de probabilitate aparținând electronilor  $p$  și  $d$ ; o simbolizează moleculele de apă coordonate octaedric.

decît orbitalii  $d_{xy}$ . Această scindare a orbitalilor are influențe asupra entalpiei de hidratare prin așa numitul efect de stabilizare datorat moleculelor de apă și se manifestă la ionii avînd 1 — 4 sau 6 — 9 electroni în orbitalul  $d$  ( $3d$ ); la ionul  $Mn^{2+}$ , cei 5 electroni  $3d$  se distribuie între cele două nivele scindate, scăderea de energie a celor 3 electroni  $3d_{xy}$  compensînd creșterea datorată celor 2 electroni  $3d_z$ . De aceea, dacă din valorile experimentale ale entalpiilor de hidratare se scad energiile de stabilizare datorate moleculelor de apă se obțin valori care se încadrează în previziunile teoriei bazate pe modelul ion-cuadrupol (fig. 1.16); se amintește că ionul  $Ca^{2+}$  nu posedă electroni  $d$ , iar ionul  $Zn^{2+}$  are configurația  $3d^{10}$ . Aceleași considerații pot fi aplicate cu succes și ionilor tranziționali trivalenți.

Fig. 1.16. Variația entalpiei de hidratare ionice cu numărul atomic.



Deși din punct de vedere matematic forțele electrostatice care își au originea într-un ion, nu se anulează decât la distanță infinită, în realitate efectul lor este neglijabil, practic nul, la distanțe de ordinul nanometrului ( $10^{-9}\text{m}$ ). În interiorul acestei limite, moleculele de solvent sînt supuse unor forțe de atracție, ce le rețin în jurul ionului și participă la așa-numita solvatare a lui; moleculele de solvent astfel fixate determină numărul de solvatare  $N_s$  (sau hidratare în cazul apei.) Determinarea numărului de solvatare nu este o sarcină simplă și datele experimentale obținute sînt de cele mai multe ori neconcordante, așa cum ilustrează valorile următoare, atribuite toate aceluiași ion  $\text{Na}^+$ , dar obținute prin diverse metode :

1 ; 2 ; 2,5 ; 4,5 ; 6,7 ; 16,9 ; 44,5 ; 71.

Bineînțeles că în aceste condiții mărimile obținute își pierd orice valoare dacă nu se încearcă înlăturarea surselor de echivoc, care rezidă în metodele folosite. Pentru aceasta e necesară definirea numărului de solvatare primar, egal cu numărul de molecule de solvent care înconjoară ionul și-l însoțesc în mișcarea lui de translație; aceste molecule de solvent se găsesc orientate în câmpul de forțe al ionului. Definiția oferă și criteriul de alegere al metodelor de determinare a numărului de solvatare; nu vor fi acceptate metodele care nu conduc la aflarea numărului de molecule de solvent ce însoțesc permanent ionul în migrația lui prin masa de solvent. Considerînd numai aceste metode, se ajunge la stabilirea unor numere de solvatare (tab. 1.16) care sînt uneori inferioare numerelor de molecule de solvent

*Tabelul 1.16*

**Numere de hidratare primare**

Ionul	$N_s$	numărul de metode independente folosite
$\text{Li}^+$	$5 \pm 1$	5
$\text{Na}^+$	$5 \pm 1$	5
$\text{K}^+$	$4 \pm 2$	4
$\text{Rb}^+$	$3 \pm 1$	4
$\text{F}^-$	$4 \pm 1$	3
$\text{Cl}^-$	$1 \pm 1$	3
$\text{Br}^-$	$1 \pm 1$	3
$\text{I}^-$	$1 \pm 1$	2

ce se pot afla în contact cu ionul, stabilite pe baze geometrice și care constituie așa numitele numere de coordinare  $N_c$ , ignorate pînă aici de teoria structurală a interacțiunii ion-solvent. Deosebirea ce trebuie să se facă între  $N_s$  și  $N_c$  ne va conduce la modelele dinamice și statice de reprezentare a interacțiunii ion-solvent.

Să ne imaginăm că un ion lipsit de orice înveliș, în cursul mișcării sale în soluție, se oprește la un moment dat. În acel moment, câmpul electric al ionului, ipotetic staționar, va acționa asupra moleculelor de apă (sau solvent) învecinate și forțele care se stabilesc între ion și dipolii

apei vor determina desprinderea acestora din urmă din rețeaua apei (sau a solventului) și atașarea lor la ionul luat în discuție. Dar imaginea aceasta statică nu este de loc reală, deoarece ionii se găsesc într-o permanentă mișcare și de aceea trebuie să se adopte un model dinamic; cel schițat mai jos a fost elaborat de S a m o i l o v (1957).

Să considerăm o moleculă de apă, fixată prin legături de hidrogen în rețeaua apei. Să presupunem că la un moment dat, lângă moleculă apare un ion; dacă forța ce se exercită între ion și molecula de apă depășește forța cu care aceasta din urmă e reținută în rețea, cele două particule se vor asocia, iar molecula de apă va dobîndi o nouă stare de echilibru în jurul ionului, caracterizată printr-o orientare de minimă energie. Mișcarea de reorientare necesită un interval de timp finit  $\tau_{or}$ , care nu va avea o valoare mică ci una medie, deoarece depinde de depărtarea dintre ion și molecula de apă și de poziția reciprocă a celor două particule. Pentru ca reorientarea să aibă loc, este necesar ca și ionul, în mișcarea sa dintr-un punct în altul al masei de solvent, să se oprească un timp destul de lung lângă molecula de apă; să notăm cu  $\tau_{as}$  timpul ce-l petrece ionul pe lângă o moleculă de apă determinată.

Probabilitatea ca ionul să captureze o moleculă de apă depinde de raportul celor două intervale de timp  $\tau_{as}/\tau_{or}$ ; dacă el este mare, ionul va putea fixa în jurul său numărul total de molecule de apă geometric posibil și în aceste circumstanțe  $N_s = N_c$ .

Dacă  $\tau_{as}/\tau_{or}$  este de ordinul unității, probabilitatea capturării apei este subunitară. Din cauza ciocnirii cu molecule de apă ce aparțin rețelei apei, ionul riscă să piardă molecula de apă fixată. Numărul mare de molecule de apă fixate în rețea măresc probabilitatea pierderii de către ion a unei părți din numărul maxim ( $= N_c$ ) ce-l poate reține în jurul său.

În sfîrșit, dacă  $\tau_{as}/\tau_{or} \ll 1$ , se poate întîmpla ca un anumit interval de timp, ionul să nu poată captura nici o moleculă de apă în prima sferă de hidratare. Aceasta nu înseamnă că ionul nu interacționează cu moleculele de apă din jurul său sau că el nu ar avea apă de coordinare; din cauza valorii mici a raportului  $\tau_{as}/\tau_{or}$ , chiar și în eventualitatea fixării unor molecule de apă, ionul le va pierde foarte curînd. Cu alte cuvinte, ionul schimbă atît de repede moleculele de apă cu mediul ambiant încît practic el nu-și transportă sfera de hidratare; numărul de solvatare  $N_s$  este nul, deși  $N_c$  este cel determinat de geometria particulelor.

Modelul dinamic schițat mai sus conduce la concluzia că numărul de solvatare se referă la numărul moleculelor de apă care însoțesc ionul în salturile lui dintr-un punct în altul al mediului; o moleculă de apă dată poate fi atașată un timp oarecare pe lângă un anumit ion, fără a fi „prioritară” pe viață în primul său strat de hidratare.

Dacă sarcina  $z_i$  este constantă numărul de solvatare scade cu creșterea razei ionice, deoarece în paralel cu aceasta crește și distanța de la moleculele de apă și slăbește cîmpul de forță ionic; de aceea  $N_s$  tinde sau poate fi nul în cazul ionilor voluminoși  $I^-$ ,  $Cs^+$  sau  $R_4N^+$  (unde R este un radical alchilic).

Există cazuri cînd, cu totul independent de valoarea raportului  $\tau_{as}/\tau_{or}$ , asocierea ion-moleculă de solvent este imposibilă termodinamic: energia



de interacțiune moleculă de solvent-ion este inferioară energiei de interacțiune dintre moleculele de solvent.

S-au imaginat mai multe metode de determinare a numărului de solvatare, cum ar fi metoda compresibilității, metoda bazată pe măsurători de constante dielectrice, a mobilității etc. Dar nici una din ele nu se bucură de o bună precizie și fiecareia în parte i se pot aduce reproșuri din cauza presupunerilor simplificatoare la care apelează și a ignorării unor efecte. În cele ce urmează va fi prezentată spre ilustrare metoda compresibilității.

Compresibilitatea  $\beta$  se definește prin egalitatea :

$$\beta = -\frac{1}{V} \left( \frac{\partial V}{\partial p} \right)_T. \quad (1.46)$$

Din cauza structurii sale afinate, apa este compresibilă; dacă ea se comprimă structura tetraedrică afinită se năruie și moleculele de apă se vor apropia mai mult una de alta și rezultatul final sesizat la scară macroscopică este scăderea de volum.

Aplicarea unei presiuni exterioare nu este unica posibilitate de comprimare a apei sau a unui solvent dat. S-a menționat mai sus (v. sect. 1.1.3.1) că datorită fenomenului de electrostricțiune, rezultat în urma introducerii de ioni într-o masă de solvent, volumul soluției este mai mic decât al solventului pur. Se presupune că moleculele de solvent din prima sferă de solvatare, supuse deja unei comprimări considerabile în urma electrostricțiunii, nu pot suferi comprimări ulterioare și că prin urmare compresibilitatea soluțiilor de electroliți este inferioară compresibilității solventului pur. Pentru a ajunge la numărul de hidratare, se cere deci calculat raportul compresibilităților solventului și a soluției  $\beta_{\text{solvent}}/\beta_{\text{soluție}}$ .

Fie  $N_h$  numărul de hidratare primar și  $n_i$  numărul de moli de ioni din soluție. Rezultă că în soluție vor exista  $n_i N_h$  moli de apă incompresibili. Dacă  $n_{\text{H}_2\text{O}}$  corespunde volumului total  $V$  al soluției,  $n_i N_h$  moli de apă incompresibilă vor corespunde unui volum  $n_i N_h V/n_{\text{H}_2\text{O}}$ . Definind raportul:

$$y = \frac{n_i N_h}{n_{\text{H}_2\text{O}}}, \quad (1.47)$$

volumul incompresibil mai poate fi exprimat și cu produsul  $yV$ . Acest volum trebuie scăzut din volumul total al soluției ionice, deci:

$$\beta_{\text{soluție}} = -\frac{1}{V} \frac{\partial}{\partial p} (V - yV)_T \quad (1.48)$$

și

$$\beta_{\text{solvent}} = -\frac{1}{V} \left( \frac{\partial}{\partial p} V \right)_T, \quad (1.49)$$

de unde

$$\frac{\beta_{\text{soluție}}}{\beta_{\text{solvent}}} = 1 - y \quad (1.50)$$

sau, după explicitarea lui  $y$ :

$$\frac{\beta_{\text{soluție}}}{\beta_{\text{solvent}}} = 1 - \frac{n_i N_h}{n_{\text{H}_2\text{O}}} \quad (1.51)$$

Rezultă că:

$$N_h = \frac{n_{\text{H}_2\text{O}}}{n_i} \left( 1 - \frac{\beta_{\text{soluție}}}{\beta_{\text{solvent}}} \right) \quad (1.52)$$

Determinarea experimentală a compresibilităților  $\beta_{\text{soluție}}$  și  $\beta_{\text{solvent}}$  se poate face pe diverse căi; una din acestea se bazează pe faptul că undele ultrasonore traversează mediile printr-un proces alternativ de comprimare și destindere și că viteza de propagare a undelor reflectă compresibilitățile mediilor străbătute.

#### 1.1.5 CONSTANTA DIELECTRICĂ A LICHIDELOR ASOCIATE. SOLVATAREA IONILOR ȘI CONSTANTA DIELECTRICĂ A SOLUȚIILOR

Constanta dielectrică a unui solvent polar cum ar fi de exemplu apa, este puternic influențată de asocierea moleculelor sale dipolare. S-a arătat (K i r k w o o d, 1939) că între constanta dielectrică și proprietățile dipolare există următoarea legătură:

$$\frac{(D_s - 1)(2D_s + 1)}{9D_s} = \frac{4\pi N}{3} \left[ \alpha_d + \frac{\mu^2(1 + g \overline{\cos \theta})^2}{3kT} \right], \quad (1.53)$$

unde  $N$  este densitatea moleculelor de solvent deformabile;  $\alpha_d$  — polarizabilitatea de deformare;  $\mu$  — momentul dipolar permanent;  $g$  — numărul de vecini imediați legați cu o moleculă considerată centrală (la apa lichidă e cuprins între 4,4 și 4,6);  $\overline{\cos \theta}$  — valoarea medie a cosinusului unghiului dintre dipolmomentul moleculei centrale și dipolmomentele moleculare învecinate ( $\theta = 109^\circ 28'$  în cazul asocierii tetraedrice ale apei), iar  $k$  — constanta lui B o l t z m a n n.

Ecuția lui K i r k w o o d pentru constanta dielectrică a unui mediu condensat ia în considerare interacțiunile de bătaie scurtă dintre moleculele polare, soldate cu formarea unor grupări moleculare orientate ca un tot unitar sub influența unui câmp electric exterior. Se observă că asocierea moleculelor (factorul  $g$ ) influențează puternic constanta dielectrică a lichidului. Cunoașterea factorului  $g$  condiționează utilizarea ecuației lui K i r k w o o d; el este accesibil din date röntgenografice. În tabelul 1.17 sînt comparate valorile lui  $D_{\text{H}_2\text{O}}$  calculate cu valoarea medie de 4,5 a lui  $g$ , cu acelea experimentale; concordanța este foarte bună în preajma temperaturii de  $25^\circ\text{C}$ .

Pentru ilustrarea efectului datorat asocierii dipolilor asupra constantei dielectrice, se poate recurge la variația constantelor dielectrice în funcție de momentele dipolare ale unor lnhide ce prezintă asociere moleculară

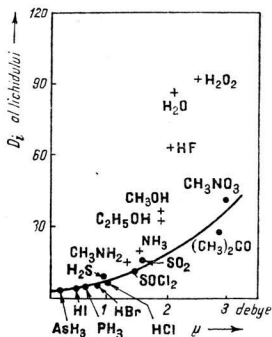


Fig. 1.17. Constantele dielectrice ale unor lichide asociate (+) și neasociate (•) în funcție de momentele lor dipolare.

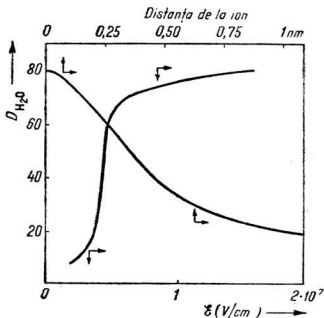


Fig. 1.18. Variația constantei dielectrice a apei în funcție de câmpul electric și distanța de la ionul hidratat.

Tabelul 1.17

Compararea valorilor experimentale ale lui  $D_{H_2O}$  cu acelea calculate cu ecuația (1.53)

$t^{\circ}C$	0	25	62	83
$D_{H_2O, \text{exper}}$	88,0	78,5	66,1	59,9
$D_{H_2O, \text{calc}}$	84,2	78,2	72,5	67,5

și ale altora unde asocierea lipsește (fig. 1.17); se remarcă poziția excentrică a  $H_2O$ ,  $H_2O_2$  și  $HF_{\text{lichid}}$  unde fenomenul de asociere este extrem de intens.

Constanta dielectrică  $D$  a unui mediu depinde de intensitatea câmpului electric aplicat din exterior. Variind invers cu câmpul electric exterior, ne așteptăm ca în apă, constanta dielectrică să înregistreze o modificare sensibilă de la valoarea de volum ( $\sim 80$  la  $20^{\circ}C$ ) la aceea corespunzătoare zonei din vecinătatea ionului, unde câmpul electric poate atinge ordinul de mărime considerabil de  $10^7$  V/cm (v. fig. 1.18). Or, măsurători ale constantelor dielectrice a apei în câmpuri de frecvențe alternative atât de intense încît moleculele de apă să nu se mai poată alinia cu câmpul alternativ aplicat, au condus la valori  $D_{H_2O} = 6$ . Luînd în considerare faptul că în primul înveliș de hidratare al ionilor moleculele de apă sînt fixate atît de puternic încît orientări noi sînt excluse, rezultă că în zona A, apa trebuie să aibă constanta dielectrică egală cu valoarea de mai sus. Din aceleași motive și valoarea constantei dielectrice a apei la supra-

Constanta dielectrică a unor soluții 1 molare  
de electroliti (solvent apă;  $t = 25^\circ\text{C}$ )

Electrolitul	$D_{\text{sol}}$
LiCl	66
NaCl	69
KCl	70
RbCl	70
NaF	68
KF	67
NaI	65
KI	64
MgCl <sub>2</sub>	50
BaCl <sub>2</sub>	52
Na <sub>2</sub> SO <sub>4</sub>	58
LaCl <sub>3</sub>	36

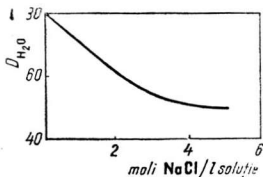


Fig. 1.19. Variația constantei dielectrice a soluției de NaCl cu concentrația sării.

fața unui electrod aflat în contact cu o soluție de electrolit este tot  $\sim 6$  (sect. 5.2). În figura 1.18 este redată și variația constantei dielectrice a apei cu distanța de la ionul hidratat.

Din variația constantei dielectrice cu distanța de la ionul solvatat se degajă concluzia că în comparație cu solventul pur, soluția de electrolit va avea o constantă dielectrică mai mică (tab. 1.18) și dependentă de concentrație așa cum arată figura 1.19.

#### 1.1.6 INTERACȚIUNI ION-SOLVENT-NEELECTROLIT.

##### EFFECT SALIN DE PRECIPITARE ȘI DE CREȘTERE A SOLUBILITĂȚII

Interacțiunile ion-solvent care se soldează cu formarea ionilor solvatați, entități dinamice dotate cu o structură ce diferă energetic de structura de cuasi-rețea a solventului pur, sînt responsabile pentru modificarea solubilității unui neelectrolit eventual prezent în soluția de electrolit. Două efecte au loc atunci cînd soluției saturate de neelectrolit i se adaugă un electrolit: unul, foarte frecvent, de micșorare a solubilității neelectrolitului (efect de precipitare, salting-out), considerat ca un efect normal și altul, mult mai rar, de creștere a solubilității (salting-in), considerat anormal. Efectul de precipitare se explică prin extragerea apei din asociațiile neelectrolit-apă de solvatare de către ionii electrolitului adăugat și constituie baza unei tehnologii de separare deseori utilizată în chimia organică preparativă. În cazuri excepționale, ionii electrolitului pot manifesta preferință față de moleculele de neelectrolit, asociindu-se cu acestea și nu cu molecule de apă (sau solvent), ceea ce macroscopic se traduce prin creșterea de solubilitate a neelectrolitului.

Variațiile de solubilitate ale neelectrolitului, observate experimental, se pot exprima cu ajutorul ecuației lui S e c e n o v :

$$\lg \frac{s}{s_0} = k_s c, \quad (1.54)$$

unde  $s_0$  și  $s$  reprezintă solubilitățile în solventul lipsit și respectiv adionat de electrolit;  $c$  — concentrația molară a electrolitului, iar  $k_s$  — o constantă de proporționalitate. Diferența de solubilitate  $\Delta s = s_0 - s$  este pozitivă în efectul de precipitare și negativă în celălalt caz. La concentrații mici, variația relativă  $\Delta s/s_0$  a solubilității este proporțională cu concentrația molară  $c$ , ceea ce constituie condiția limită a relației (1.54) cu semn schimbat. Într-adevăr, dacă se scrie:

$$-\lg \frac{s}{s_0} = -\lg \frac{s_0 - \Delta s}{s_0} = -\lg \left( 1 - \frac{\Delta s}{s_0} \right) \quad (1.55)$$

și dacă  $\Delta s/s_0 \ll 1$  rezultă că:

$$-\lg \left( 1 - \frac{\Delta s}{s_0} \right) = \frac{\Delta s}{s_0}. \quad (1.56)$$

Variația de solubilitate  $\Delta s$  poate fi calculată cu ușurință dacă se cunoaște numărul de solvatare  $N_s$  din zona A a electrolitului folosit. Trebuie să se menționeze că de astă dată  $N_s$  reprezintă suma numerelor de solvatare a cationului și anionului.

Să presupunem că are loc efectul normal, de micșorare a solubilității și că soluției de neelectrolit i se adaugă o sare în concentrația molară  $c_i$ . După adăugarea celor  $c_i$  moli/l, pentru dizolvarea neelectrolitului rămân doar:  $55,55 - N_s c_i$  moli de apă. Presupunind directă proporționalitate dintre solubilitate și numărul molilor de apă disponibili (situați în afara învelișului de hidratare a ionilor electrolitului), se poate scrie:

$$\frac{s_1}{s_0} = \frac{55,55 - N_s c_i}{55,55}, \quad (1.57)$$

unde  $s_1$  este solubilitatea înregistrată în urma scoaterii din circuit a moleculelor de apă din primul înveliș de hidratare. Transformînd (1.57), mai avem:

$$s_1 = s_0 - \frac{s_0 N_s}{55,55} c_i. \quad (1.58)$$

Scriind diferența  $-\Delta s$ , obținem:

$$s_1 - s_0 = -\Delta s_1 = -\frac{s_0 N_s}{55,55} c_i. \quad (1.59)$$

și, în sfîrșit:

$$\frac{\Delta s_1}{s_0} = \frac{N_s}{55,55} c_i = k_1 c_i, \quad (1.60)$$

unde

$$k_1 = \frac{N_s}{55,55} (\approx k_s). \quad (1.61)$$

Să presupunem că  $N_s = 6$ , iar  $c_i = 1M$ . Rezultă

$$\frac{\Delta s_1}{s_0} = \frac{6}{55,55} \times 1 = 0,108;$$

ar  $s_1/s_0 = 0,892$ . Deci solubilitatea neelectrolitului la adaos de sare în concentrație 1 M este micșorată cu aproximativ 11%. Compararea prevederilor teoretice pentru raportul  $s/s_0$  cu datele experimentale arată că acestea din urmă sînt mai mici, ceea ce demonstrează necesitatea ajustării teoriei. Într-adevăr, concordanța se îmbunătățește dacă în bilanț se includ și moleculele de apă angajate și în cea de-a doua sferă de hidratare (zona B). Ținînd seama de efectul datorat acestor molecule de apă se calculează o nouă contribuție  $\Delta s_2$  la modificarea concentrației neelectrolitului:

$$\Delta s_2 = s_0 - s_2 = \frac{\mathfrak{N} c_i}{1\,000} \left[ \frac{4\pi(z_i e_0)^2(\alpha_{H_2O} - \alpha_{ne})}{D_{sol}^2 k T r_h} \right], \quad (1.62)$$

unde  $\alpha_{H_2O}$  și  $\alpha_{ne}$  sînt polarizabilitățile de orientare ale moleculelor de apă și de neelectrolit;  $D_{sol}$  constanta dielectrică a soluției de neelectrolit (valoare de volum) și  $r_h$  raza primei sfere de hidratare.

Polarizabilitățile de orientare  $\alpha_{H_2O}$  și  $\alpha_{ne}$  depind de patratul momentelor dipolare ale moleculelor respective ( $= \mu_i^2/3kT$ ): or, cum în multe cazuri  $\mu_{H_2O} > \mu_{ne}$ , rezultă că și  $\alpha_{H_2O} > \alpha_{ne}$  și deci  $\Delta s_2 > 0$ ; efectul înregistrat este cel de micșorare a solubilității (precipitare).

Luînd în considerare și corecția datorată celui de al doilea înveliș de hidratare (zona B) rezultă că solubilitatea s a neelectrolitului, în prezența unui electrolit, devine:

$$s = s_0 - \Delta s_1 - \Delta s_2 = s_0 - \Delta s, \quad (1.63)$$

unde  $\Delta s = \Delta s_1 + \Delta s_2$ .

Sau, exprimînd abaterea relativă  $\Delta s/s_0$ , mai avem:

$$\frac{\Delta s}{s_0} = k_1 c_i + k_2 c_i = k_s c_i, \quad (1.64)$$

unde

$$k_2 = \frac{\mathfrak{N}}{1\,000} \left[ \frac{4\pi(z_i e_0)^2(\alpha_{H_2O} - \alpha_{ne})}{D_{sol}^2 k T r_h} \right], \text{ iar } k_s = k_1 + k_2.$$

Relația (1.64) este în bun acord cu experiența la soluții diluate. Se constată condiționarea fenomenului de precipitare de către inegalitatea  $\mu_{ne} < < \mu_{H_2O}$  și a celui de creștere a solubilității în cazul mult mai rar,  $\mu_{ne} > > \mu_{H_2O}$ .

Constanta  $k_s$  poate fi exprimată și cu ajutorul volumelor molare parțiale  $\bar{V}_{ne}$  al neelectrolitului și  $\bar{V}_s$  al sării:

$$k_s = \frac{\bar{V}_{ne}(V_s - \bar{V}_s)}{RT\beta_{solvent}}, \quad (1.65)$$

unde  $V_s$  este volumul molar al sării, iar  $\beta_{\text{solvent}}$  coeficientul de compresibilitate al solventului. Diferența  $V_s - \bar{V}_s$  se corelează cu fenomenul de electrostricțiune și deci cu hidratarea ionilor.

Precipitarea prin adaos de electrolit mult folosită în practică este un exemplu de aplicare a electrochimiei în procesele industriale; solvenți ca eterul se recuperează din apă prin efectul salin provocat de adaosul de NaCl; precipitarea sau separarea prin efect salin constituie etapă intermediară în fabricarea săpunului și a coloranților. Prepararea detergenților, polimerizarea de emulsie (cauciucul) și concentrarea antibioticelor și a vitaminelor din soluții apoase sînt tributare, undeva, pe parcursul procesului lor tehnologic, efectului salin de creștere al solubilității. Dar, aici, efectul salin de creștere al solubilității nu este asociat cu evenimentul rar al inegalității  $\mu_{ne} > \mu_{H_2O}$ , ci cu prezența unor electroliti organici conținînd ioni considerabili, ale căror momente dipolare sînt mai mici decît  $\mu_{H_2O}$ .

Unde trebuie căutată originea acestei comportări anormale? Explicația se poate da luînd în considerare interacțiunile datorate forțelor de dispersie, neglijate pînă aici. Energia  $U$  a forțelor de dispersie este de formă a :

$$U = \frac{h\nu}{2R^6} (\alpha_{d,ion} \cdot \alpha_{d,mol}) \quad (1.66)$$

unde  $\nu$  este frecvența de vibrație a electronului în starea de minimă energie, iar  $\alpha_{d,ion}$  și  $\alpha_{d,mol}$  — polarizabilitățile de deformare ale ionului și moleculei cu care îl interacționează. Spre deosebire de polarizabilitatea de orientare, pomenită mai sus (v. ecuația 1.62), polarizabilitatea de distorsiune e puternic dependentă de dimensiunea particulei; în cazul unor particule avînd simetrie sferică, ea depinde de  $r^3$ , unde  $r$  este raza sferei. Dacă moleculele de neelectrolit depășesc cu mult dimensiunile moleculelor de apă, ceea ce se întîmplă foarte adeseori, rezultă că energia de interacțiune a ionului va fi mai mare cu moleculele de neelectrolit decît cu moleculele de apă. Interacțiunea însă nu trebuie înțeleasă numai prin prisma forțelor dispersive, deoarece în acest caz efectul salin de creștere a solubilității neelectrolitului ar trebui să fie predominant și cel de precipitare doar excepție. Fenomenele trebuie considerate în complexitatea lor și, în bilanțul energetic trebuie incluse concomitent și forțele ion-dipol; după cum în sistem predomină acestea din urmă sau forțele dispersive, se va manifesta efectul de precipitare sau respectiv cel de creștere a solubilității.

S-a menționat că parametrul decisiv în impunerea forțelor dispersive îl constituie dimensiunea moleculei; în același timp însă, trebuie subliniată constatarea că adeseori, în ciuda dimensiunilor considerabil mai mari ale moleculei de neelectrolit, adaosul de sare are ca efect totuși precipitarea lui. Pentru ca efectul anormal să se producă, este necesar ca și ionii sării adăugate să fie mari, deoarece așa cum se vede din ecuația (1.66) la fixarea energiei de dispersie participă polarizabilitățile de deformare ale ambelor molecule, prin produsul lor. Dovada experimentală se poate face urmărind efectele adaosului de săruri de amoniu și de tetraalchil amoniu  $NR_4^+$ , unde  $R$  este  $CH_3$ ,  $C_2H_5$  etc, la soluția apoasă a unui neelectrolit

dat. Dacă neelectrolitul este acidul benzoic (disocierea lui foarte redusă permite asimilarea cu un neelectrolit), efectul salin de precipitare se observă la adaos de sare de amoniu, dar efectul anormal, de creștere a solubilității se constată începînd chiar cu sarea de tetrametilamoniu.

Fenomenul a primit și o explicație cantitativă, concordantă cu experiența, cu tot caracterul aproximativ al ecuației ce servește la calculul energiei dispersive.

Multe din reacțiile chimice fundamentale din organismele vii se desfășoară în sisteme conținînd neelectroliti, apă și ionii unor electroliți. Anumite valori ale energiilor de interacțiune neelectrolit-apă și ion-apă sau ion-neelectrolit, bine determinate, condiționează schimburile de materie de la nivelul membranelor celulelor vii; apa este un participant în etapele hotărîtoare ale fotosintezei. În hemoglobină, o moleculă de apă ocupă cel de-al 6-lea centru de coordinare al Fe(II) din grupa funcțională și poate fi ușor substituită de oxigenul molecular. Dar dacă apa ocupă simultan două centre de coordinare ale Fe(II), așa cum se întîmplă în cazul hemului, compusul este repede oxidat și își pierde capacitatea de transportor al oxigenului de la plămîni spre zonele unde el este necesar proceselor metabolice.

Schimburile chimice din organisme implică transportul ionilor prin membrane, procese puternic dependente de efectele de alterare a structurii apei de către ioni și interfețele membrană-lichid. Organismul este capabil să facă distincție și să mențină un echilibru perfect al unor ioni asemănători cum sînt  $\text{Na}^+$  și  $\text{K}^+$  în interiorul celulelor și în mediul interstițial utilizînd, se pare, printre altele, diferențele de dimensiune dintre ionii hidratați și efectele diferite pe care aceștia le exercită asupra structurii apei.

Dar nu numai membranele ci și biopolimerii se găsesc înconjurați de un înveliș structurat de apă. Orice grupare încărcată electric aparținînd acestora, este hidratată la fel ca ionii liberi; nici „segmentele” lor hidrofobe nu scapă unei hidratări, cu un strat de molecule de apă special orientate față de ele. Restricțiile impuse de aceste învelișuri de hidratare influențează puternic chimismul lor și uneori, se pare, chiar și configurația lor structurală. Dacă acest înveliș de hidratare este distrus prin intervenția unor factori exteriori cum ar fi temperatura sau presiunea, se declanșează interacțiuni intra- și intermoleculare soldate cu coagularea proteinei. Degradarea proteinelor prin adaos de electroliți se explică de asemenea prin facultatea ionilor de a altera structura învelișului de hidratare al proteinei (macromoleculă-neelectrolit).

Procese de transfer de proton sau electron din învelișurile de hidratare structurate ale biopolimerilor pot constitui bazele unor reacții redox înlănțuite și a transmiterii impulsurilor electrice în mușchi și nervi (v. secț. 3 și 9.2.5).

## 1.2 INTERACȚIUNILE ION-ION DIN SOLUȚIILE DE ELECTROLIT

### 1.2.1 INTRODUCERE

Interacțiunile ion-solvent despre care s-a vorbit în secțiunea 1.1 nu epuizează problema ridicată de raportarea ionului la vecinii săi dintr-o soluție apoasă; pentru completare trebuie amintite și forțele ce se manifestă între ioni. Acestea sînt de importanță esențială la fixarea proprietăților de echilibru ale soluțiilor de electrolit și intervin în transportul forțat al ionilor, determinat de aplicarea unui cîmp electric extern.

Mărimea interacțiunii ion-ion depinde de densitatea ionică sau de distanțele medii ce separă ionii din soluție, deoarece cîmpul interionic este dependent de distanță. În condiții identice de concentrație, temperatură și

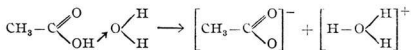


tip de electrolit (mono-monovalent, bi-monovalent etc) și folosind același solvent, densitatea ionică din soluție este dependentă de natura chimică a electrolitului și de gradul său de disociere (egal cu raportul dintre numărul moleculelor disociate și numărul total de molecule).

După capacitatea diferită de a da naștere la ioni, se disting electroliti reali sau ionofori și electroliti potențiali sau ionogeni. În electroliti reali ionii preexistă în rețeaua lor cristalină și este suficientă topirea lor, pentru ca în urma distrugerii structurii de rețea să se obțină lichide cu bune conductibilități ionice. Dizolvarea lor într-un solvent adecvat este însoțită nu numai de distrugerea rețelei ci și de solvatarea ionilor; NaCl, KCl etc. sînt săruri ce aparțin electrolitelor ionofori.

Spre deosebire de sărurile minerale, o mare categorie de substanțe, printre care se numără și acizii organici, nu manifestă în stare lichidă pură decît o conductibilitate ionică neînsemnată. Deosebirea dintre substanțe cum sînt de exemplu CsCl și acidul acetic sau acidul propionic este revelată de studiile de difracție electronică, care conduc la concluzia că ultimii, în stare gazoasă, sînt constituiți din molecule izolate, neutre electric, iar atomii componenți sînt reușiți în molecule prin forțe de natură predominant covalentă, neionică. Identitatea moleculară se păstrează și după condensarea gazului pentru a se obține acid acetic sau propionic lichid. Dacă însă unul din acizii organici menționați este dizolvat în apă, se observă fenomenul, puțin scontat, al conductibilității soluției obținute, din cauza disocierii ionice.

Disocierea ionică a acidului acetic electrolit potențial, are loc prin reacția de transfer protonic, care duce la formarea simultană a anionului  $\text{CH}_3\text{COO}^-$  și a protonului hidratat (ion hidroniu):



Electroliti reali sau ionofori disociază în ioni în urma unei reacții fizice (topire sau interacțiune cu moleculele de solvent) pe cînd electroliti potențiali nu generează ioni decît în urma unei reacții chimice (transfer de proton generator de ioni). Asupra unor aspecte de detaliu referitoare la transferul de proton se va reveni în secțiunea 3.1.

Bazată pe cunoașterea structurii substanțelor, clasificarea electrolitelor în reali și potențiali, este relativ nouă, și nu este bazată pe comportamentul electrolitului într-un anumit solvent, cum se procedează la clasificarea electrolitelor în slabi și tari, după valoarea mică (apropiată de zero) sau mare (apropiată de 1) a gradului lor de disociere  $\alpha$  în apă. Principalul dezavantaj al acestuia din urmă constă în particularizarea la care recurge: o dată cu schimbarea solventului, valoarea lui  $\alpha$  se poate modifica radical, și, din slab sau tare electrolitul poate deveni tare sau respectiv slab. Astfel considerînd ca solvent apa, NaCl se comportă în urma dizolvării în ea, ca un electrolit tare, avînd  $\alpha \simeq 1$  și deci o bună conductibilitate ionică, pe cînd acidul acetic ca un electrolit slab. Alegînd ca solvent amoniacul, lucrurile se schimbă și acidul acetic dobîndește proprietăți de electrolit

tare, ca și NaCl, dovadă conductibilitățile comparabile ale celor două soluții (v. tab. 1.19).

Tabelul 1.19

Conductibilitățile echivalente  $\Lambda$  (Mho. cm<sup>2</sup>) ale NaCl și CH<sub>3</sub>COOH în apă și amoniac lichid

	NaCl	CH <sub>3</sub> COOH
apă	106,7	4,7
amoniac lichid	284,0	216,6

Referindu-ne la apă, solventul cel mai frecvent întâlnit, se poate spune că în general soluțiile electroliților potențiali conțin ioni în concentrație mică ( $\alpha$  mic) și proprietățile lor sînt determinate în principal de poziția echilibrului în reacția de transfer protonic. Dimpotrivă, în soluțiile electroliților reali concentrația ionică este apreciabilă ( $\alpha$  este mare) și dependența de concentrație a multor proprietăți este determinată de interacțiunile dintre ioni.

### 1.2.2 TEORIA LUI DEBYE ȘI HÜCKEL

Pentru a calcula energia de interacțiune dintre ionii aflați în soluție trebuie să se izoleze contribuțiile datorate unor specii  $i$  date. De aceea în locul variației  $\Delta_{i,I}G$ , care ar constitui o măsură a travaliului electrostatic cheltuit cu încărcarea imaginară a unui ansamblu de ioni, considerați inițial în stare descărcată, proces asemănător celui discutat la secțiunea 1.1 în legătură cu evaluarea energiei de solvatare, se preferă evaluarea variației de potențial chimic  $\Delta_{i,I}\mu$  referitoare la interacțiunea speciei ionice  $i$  cu ansamblul ionilor din soluție. Calcularea lui  $\Delta_{i,I}\mu$  impune adoptarea unei stări de referință, care în acest caz este tocmai ionul de specie  $i$ , imaginar considerat în stare descărcată, ceilalți ioni din jurul său fiind în stare încărcată (fig. 1.20). Dacă se notează cu  $W$  travaliul de încărcare al unui ion, produsul  $\Sigma W$  va fi tocmai variația potențialului chimic:

$$\Delta_{i,I}\mu = \Sigma W. \quad (1.67)$$

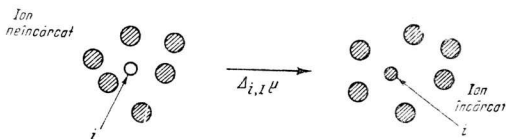


Fig. 1.20. Încărcarea electrostatică a ionului de specie  $i$  (imaginat descărcat în stare inițială).

Reluând modelul sferic al ionului avînd raza  $r_i$ , sarcina  $z_i e_0$  și înconjurat de un mediu avînd constanta dielectrică  $D$ , travaliul  $W$  este dat de relația (1.10); deci:

$$\Delta_{i,r}\mu = \mathfrak{R} \frac{(z_i e_0)^2}{2Dr_i} = \mathfrak{R} \frac{z_i e_0}{2} \psi, \quad (1.68)$$

deoarece  $z_i e_0 / Dr_i$  reprezintă potențialul electrostatic  $\psi$  la suprafața ionului. Se observă că pentru evaluarea variației  $\Delta_{i,r}\mu$  a potențialului chimic trebuie cunoscut potențialul  $\psi$  creat pe ionul de referință de restul ionilor din soluție. Dar cunoașterea lui  $\psi$  presupune cunoașterea distribuției spațiale medii, în timp, a ionilor înconjurători. Problema nu este deloc simplă, dacă se are în vedere numărul imens de ioni ce există într-o soluție de electrolit; de exemplu, într-un  $\text{cm}^3$  de soluție  $10^{-3}M$  de  $\text{NaCl}$ , la temperatura ordinară se vor găsi  $6,023 \cdot 10^{17}$  ioni  $\text{Na}^+$ , același număr de ioni  $\text{Cl}^-$  și vreo  $3 \cdot 10^{22}$  molecule de apă. Rezolvarea a reușit după elaborarea de către Debye și Hückel (1923) a modelului norului ionic, a cărui importanță pentru înțelegerea soluțiilor ionice este comparabilă cu aceea a teoriei lui Maxwell asupra distribuției vitezelor moleculare într-o masă gazoasă. Modelul imaginat de Debye și Hückel pentru soluții diluate de electroliti este simplu, dar în același timp foarte eficient. El își are originile în lucrările Gouy (1910) și Milner (1912), în care pentru prima dată soluția de electrolit se abordează matematic sub aspectul forțelor interionice.

O primă etapă în elaborarea teoriei o constituie alegerea arbitrară a unui ion, care va servi de referință, numit ion central și care posedă o sarcină discretă; apa din jurul lui este asimilată cu un mediu dielectric continuu avînd constanta dielectrică  $D$ , iar restul ionilor se găsesc contopiți într-un nor de sarcină avînd distribuție spațială continuă (fig. 1.21). În norul ionic concentrația ionilor de semn opus ionului central devine local excedentară, astfel ca sarcina netă în el să fie egală cu sarcina ionului central; densitatea de sarcină netă în norul ionic este  $\rho$ , dar în ansamblul său, soluția este electric neutră.

Grație acestui model, problema complicată a distribuției medii în timp a ionilor din soluția de electrolit este redusă la una mult mai simplă din punct de vedere matematic; ea constă în aflarea modului în care densitatea  $\rho$  a excesului de sarcină variază cu distanța  $r$  de la ionul central; ca și potențialul  $\psi$ , și densitatea de sarcină  $\rho$  este o mărime variabilă cu  $r$ . Legătura dintre cele două mărimi se exprimă cu ajutorul ecuației lui Poisson, scrisă pentru o distribuție sferică a sarcinii:

$$\frac{1}{r^2} \frac{d}{dr} \left( r^2 \frac{d\psi}{dr} \right) = - \frac{4\pi}{D} \rho, \quad (1.69)$$

unde  $D$  este constanta dielectrică a mediului continuu în care se găsește ionul central (fig. 1.22). Densitatea de sarcină excedentară din elementul de volum  $dv$  este egală cu produsul dintre numărul de ioni din unitatea de volum și sarcina lor; fie  $n_1$  densitatea ionilor de tipul 1, purtînd fiecare sarcina  $z_1 e_0$ ,  $n_2$  densitatea ionilor de tipul 2, încărcăți  $z_2 e_0$ , ..., și  $n_i$  densi-

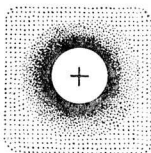


Fig. 1.21. În modelul norului ionic, ionul central este înconjurat de un nor de sarcină având densitatea  $\rho$  și de un mediu dielectric continuu.

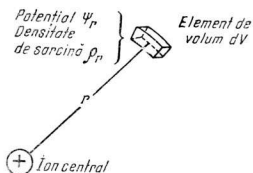


Fig. 1.22. În elementul de volum  $dv$ , situat la distanța  $r$  de la ionul central, potențialul este  $\psi_r$ , iar densitatea de sarcină  $\rho_r$ .

tatea ionilor de tipul  $i$ , având sarcina  $z_i e_0$  ( $z_i$  reprezintă mereu valența ionului, iar  $e_0$  sarcina electronului). Densitatea excesului de sarcină  $\rho_r$  în elementul de volum va fi deci:

$$\rho_r = \sum n_i z_i e_0. \quad (1.70)$$

Pentru a exprima densitățile  $n_i$ , necunoscute, în funcție de mărimi cunoscute, se aplică legea de distribuție a lui Boltzmann din statistica clasică:

$$n_i = n_i^0 \exp(-U/kT), \quad (1.71)$$

unde  $U$  reprezintă variația de energie potențială a particulelor  $i$ , atunci cînd concentrația lor în elementul de volum  $dv$  se schimbă de la valoarea de volum  $n_i^0$  la  $n_i$  sau travaliul ce trebuie efectuat împotriva forțelor electrice și de altă natură ce se exercită între ioni, mediate în timp, pentru a produce modificarea de concentrație  $n_i^0 \rightarrow n_i$ . Fiind legat de media temporală a forțelor interionice,  $U$  se mai numește și potențial al forței medii. În absența forțelor de interacțiune ion-ion  $U = 0$  și  $n_i = n_i^0$ ; dacă forțele sînt atractive  $U < 0$  și  $n_i > n_i^0$ , ceea ce denotă o acumulare locală a ionilor, în exces față de densitatea lor de volum. Dimpotrivă, dacă forțele ion-ion sînt repulsive  $U > 0$  și corespunzător  $n_i < n_i^0$ .

Într-o primă aproximație, teoria neglijează forțele de interacțiune de bătaie scurtă cum ar fi forțele dispersive și ia în considerare numai pe cele coulombiene derivînd dintr-un potențial în  $r^{-1}$ . În cadrul acestei aproximații,  $U$  devine energia potențială coulombiană a ionului de sarcină  $z_i e_0$ , în cîmpul de potențial  $\psi_r$ :

$$U = z_i e_0 \psi_r \quad (1.72)$$

iar legea de distribuție a lui Boltzmann ia forma:

$$n_i = n_i^0 \exp(-z_i e_0 \psi_r / kT). \quad (1.73)$$

Introducând în ecuația (1.70) densitatea  $n_i$  exprimată de ecuația (1.73) densitatea excesului de sarcină  $\rho_r$  devine:

$$\rho_r = \sum_i n_i^v z_i e_0 \exp(-z_i e_0 \psi_r / kT). \quad (1.74)$$

Analiza modelului continuă pentru condiții în care potențialul electrostatic  $\psi_r$  este mic, astfel ca să fie satisfăcute inegalitățile:

$$z_i e_0 \psi_r \ll kT \quad \text{sau} \quad \frac{z_i e_0 \psi_r}{kT} \ll 1. \quad (1.75)$$

În această presupunere exponențiala din ecuația (1.74) se poate dezvolta în serie *Taylor*:

$$e^{-x} = 1 - x + \frac{1}{2} x^2 \dots \quad (1.76)$$

unde  $x = z_i e_0 \psi_r / kT$ . Neglijând termenii de ordin superior ai seriei, ecuația (1.74) ia forma:

$$\rho_r = \sum_i n_i^v z_i e_0 (1 - z_i e_0 \psi_r / kT), \quad (1.77)$$

sau

$$\rho_r = \sum_i n_i^v z_i e_0 - \sum_i (n_i^v z_i^2 e_0^2 \psi_r / kT). \quad (1.77a)$$

Termenul întii al membrului drept este nul, deoarece exprimă sarcina totală din soluția de electrolit, care este electric neutră; densitatea excesului local de sarcină se anulează din cauza faptului că sarcina excedentară pozitivă din preajma unui ion negativ este compensată de excesul de sarcină negativă din jurul unui ion central pozitiv. Deci:

$$\sum_i n_i^v z_i e_0 = 0, \quad (1.78)$$

de unde:

$$\rho_r = - \sum_i (n_i^v z_i^2 e_0^2 \psi_r / kT). \quad (1.79)$$

Ecuația (1.79) exprimă, ca și ecuația lui *Poisson* (1.69) densitatea de sarcină în elementul de volum  $dv$  situat la distanța  $r$  de ionul central. Dacă în (1.69)  $\rho_r$  se exprimă explicit și se compară cu ecuația (1.79), se obține egalitatea:

$$\frac{1}{r^2} \frac{d}{dr} \left( r^2 \frac{d\psi_r}{dr} \right) = \left( \frac{4\pi}{DkT} \sum_i n_i^v z_i^2 e_0^2 \right) \psi_r, \quad (1.80)$$

cunoscută și sub numele de expresia *Poisson-Boltzmann* liniarizată, notînd cu  $\chi^2$  valoarea parantezei din membrul drept, mai avem:

$$\frac{1}{r^2} \frac{d}{dr} \left( r^2 \frac{d\psi_r}{dr} \right) = \chi^2 \psi_r. \quad (1.81)$$

Etapa următoare constă în rezolvarea ecuației diferențiale (1.81). Introducând noua variabilă  $y$ , definită prin relația :

$$\psi_r = \frac{y}{r}, \quad (1.82)$$

derivata potențialului în raport cu distanța devine :

$$\frac{d\psi_r}{dr} = \frac{d}{dr} \frac{y}{r} = -\frac{y}{r^2} + \frac{1}{r} \frac{dy}{dr}. \quad (1.83)$$

Introducerea ei în ecuația (1.81) conduce la :

$$\frac{1}{r^2} \frac{d}{dr} \left( r^2 \frac{d\psi_r}{dr} \right) = \frac{1}{r^2} \frac{d}{dr} \left( -y + r \frac{dy}{dr} \right) = \frac{1}{r^2} \left( -\frac{dy}{dr} + r \frac{d^2y}{dr^2} + \frac{dy}{dr} \right) = \frac{1}{r} \frac{d^2y}{dr^2} \quad (1.84)$$

iar ecuația diferențială (1.81) ia forma :

$$\frac{1}{r} \frac{d^2y}{dr^2} = \chi^2 \frac{y}{r} \quad (1.85)$$

sau

$$\frac{d^2y}{dr^2} = \chi^2 y. \quad (1.86)$$

Soluția generală a ecuației diferențiale (1.86) și deci a ecuației Poisson-Boltzmann liniarizate, este de forma :

$$y = A e^{-\chi r} + B e^{\chi r}, \quad (1.87)$$

unde  $A$  și  $B$  sînt constante ce urmează să se determine. Ținînd seamă de ecuația (1.82), se mai poate scrie :

$$\psi_r = A \frac{\exp(-\chi r)}{r} + B \frac{\exp(\chi r)}{r}, \quad (1.88)$$

constanta  $B$  se determină din condiția limită  $\psi_r \rightarrow 0$  atunci cînd  $r \rightarrow \infty$ . Se observă că ea este satisfăcută pentru  $B = 0$ , deoarece orice valoare finită a lui  $B$  ar conduce la  $\psi_r \rightarrow \infty$  atunci cînd  $r \rightarrow \infty$ , ceea ce este lipsit de sens fizic pentru modelul propus. Rămîne deci :

$$\psi_r = A \frac{\exp(-\chi r)}{r}. \quad (1.89)$$

La determinarea constantei de integrare  $A$  se vor face următoarele presupuneri suplimentare : soluția de electrolit este atît de diluată și în consecință ionii atît de depărtați unul de celălalt încît în medie, între ei, se manifestă un cîmp interionic neglijabil (1) ; ionul central este asimilat cu o sarcină electrică punctiformă și avînd deci o rază neglijabilă față de orice distanță luată în discuție (2). Pe baza acestor presupuneri potențialul  $\psi_r$  în preajma ionului central se poate confunda cu potențialul ionului și exprima prin egalitatea :

$$\psi_r = \psi_I = \frac{z_i e_0}{D r}. \quad (1.90)$$

În soluția de diluție infinită  $n_i^v \rightarrow 0$ , ceea ce atrage și tendința  $\chi \rightarrow 0$  (v. ec. 1.80 și 1.81) și implicit tendința spre unitate a exponențialei din ecuația (1.89):  $\exp(-\chi r) \rightarrow 1$ . Prin urmare:

$$\psi_r = \frac{A}{r}. \quad (1.91)$$

Compararea ultimelor două egalități conduce la următoarea valoare a constantei  $A$ :

$$A = \frac{z_i e_0}{D} \quad (1.92)$$

și la expresia finală a soluției pentru ecuația liniarizată Poisson-Boltzmann:

$$\psi_r = \frac{z_i e_0}{D} \frac{\exp(-\chi r)}{r}. \quad (1.93)$$

Egalitatea (1.93) exprimă variația potențialului electrostatic cu distanța de la ionul ales ca referință.

Compararea ecuației lui Poisson (1.69) cu ecuația (1.81) conduce la egalitatea:

$$\rho_r = -\frac{D}{4\pi} \chi^2 \psi_r \quad (1.94)$$

ce reprezintă o relație liniară între  $\rho_r$  și  $\psi_r$ . Folosind pentru exprimarea acestuia din urmă ecuația (1.93), mai avem:

$$\rho_r = -\frac{z_i e_0}{4\pi} \chi^2 \frac{\exp(-\chi r)}{r}, \quad (1.95)$$

ecuație ce leagă sub o formă exponențială distribuția spațială a densității de sarcină  $\rho_r$  de distanța  $r$  de la ionul central (fig. 1.23). Cunoscând densitatea de sarcină, este posibilă evaluarea sarcinii totale excedentare din norul ionic. Să considerăm pentru aceasta stratul sferic de grosime  $dr$

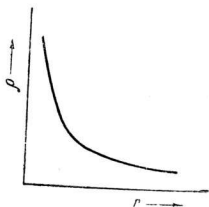


Fig. 1.23. Variația densității de sarcină în funcție de distanța de la ionul central.

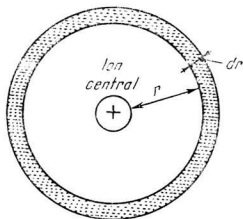


Fig. 1.24. Stratul sferic de grosime  $dr$  situat la distanța  $r$  de ionul central.

situat la distanța  $r$  de ionul central (fig. 1.24). Sarcina elementară  $dq$  din acest strat subțire, este :

$$dq = \rho_r 4\pi r^2 dr. \quad (1.96)$$

Sarcina totală  $q$  se obține prin integrarea sarcinii din volumul definit de valoarea  $r$  minimă ( $r=0$ ), de unde norul ionic începe să se formeze, pînă la valoarea lui  $r$  corespunzătoare marginii norului ionic ( $r=\infty$ , deoarece norul ionic descrește exponențial către volumul soluției și se anulează numai la o distanță  $\infty$  de ionul central). Deci :

$$q = \int_0^{\infty} \rho_r 4\pi r^2 dr. \quad (1.97)$$

Substituind valoarea lui  $\rho_r$  din ecuația (1.95), mai avem :

$$q = - \int_0^{\infty} \frac{z_i e_0}{4\pi} \chi^2 \frac{\exp(-\chi r)}{r} 4\pi r^2 dr, \quad (1.98)$$

sau

$$q = - z_i e_0 \int_0^{\infty} e^{-\chi r} (\chi r) d(\chi r). \quad (1.98a)$$

Integrarea prin părți duce la rezultatul :

$$q_{nor} = - z_i e_0. \quad (1.99)$$

Deci ionul central avînd sarcina  $+z_i e_0$  este înconjurat de un nor în care sarcina totală este  $-z_i e_0$ , ceea ce confirmă starea de electroneutralitate a soluției de electrolit; un ion dat, împreună cu norul său ionic are o sarcină netă nulă.

Valoarea maximă a sarcinii în norul ionic se poate afla prin anularea derivatei  $dq/dr$ . Să revenim la ecuațiile (1.95) și (1.96), folosind-o pe cea dintîi pentru exprimarea lui  $\rho_r$  :

$$dq = - z_i e_0 e^{-\chi r} \chi^2 r dr \quad (1.100)$$

și să exprimăm derivata lui  $q$  în funcție de  $r$  și s-o anulăm :

$$\frac{dq}{dr} = - z_i e_0 \chi^2 e^{-\chi r} r = 0 \quad (1.101)$$

sau

$$- z_i e_0 \chi^2 \frac{d}{dr} (e^{-\chi r} r) = 0. \quad (1.102)$$

Făcînd derivarea în raport cu  $r$ , avem :

$$- z_i e_0 \chi^2 (e^{-\chi r} - r \chi e^{-\chi r}) = 0. \quad (1.103)$$



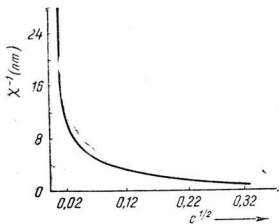


Fig. 1.25. Variația grosimii norului ionic cu concentrația.

dar întrucît produsul  $z_i e_0 \chi^2$  este finit, rezultă că paranteza e nulă:

$$e^{-\chi r} = r \chi e^{-\chi r} \quad (1.104)$$

și că prin urmare

$$r = \chi^{-1}. \quad (1.105)$$

Deci valoarea maximă a sarcinii este atinsă atunci cînd stratul sferic de grosime infinit mică  $dr$ , se va găsi la distanța  $r = \chi^{-1}$  de la ionul de referință. Prin aceasta parametrul  $\chi$  primește un sens fizic bine definit: el este egal cu reciproca razei norului ionic ce înconjoară ionul central. De altfel, analiza dimensională a relației de definiție a lui  $\chi$ :

$$\chi = \left[ \frac{4\pi}{DkT} \sum_i n_i^v z_i^2 e_0^2 \right]^{1/2}, \quad (1.106)$$

(v. ec. 1.80 și 1.81) sau inversa acesteia:

$$\chi^{-1} = \left[ \frac{DkT}{4\pi} \sum_i n_i^v z_i^2 e_0^2 \right]^{1/2}, \quad (1.107)$$

conduce la aceeași concluzie. În figura 1.25 s-a reprezentat variația razei norului ( $\chi^{-1}$ ) în funcție de concentrația electrolitului; se remarcă extinderea norului pe măsură ce concentrația se micșorează. Tabelul 1.20 cuprinde razele atmosferelor ionice la diverse concentrații, pentru săruri de diferite tipuri, la 25°C.

Tabelul 1.20

Grosimea norului ionic (nm) la diverse tipuri de săruri și concentrații; la 25°C

c (moli/l)	tipul de sare			
	1:1	1:2	2:2	1:3
$10^{-4}$	30,4	17,6	15,2	12,4
$10^{-3}$	9,6	5,55	4,81	3,94
$10^{-2}$	3,04	1,76	1,52	1,24
$10^{-1}$	0,96	0,55	0,48	0,39

Pentru a calcula contribuția norului ionic la fixarea potențialului  $\psi_r$ , la distanța  $r$ , se poate aplica legea suprapunerii potențialelor, în virtutea căreia putem scrie:

$$\psi_r = \psi_I + \psi_n, \quad (1.108)$$

$$\psi_n = \psi_r - \psi_I. \quad (1.108 \text{ a})$$

Înlocuind  $\psi_I$  cu valoarea sa din ecuația (1.90) și pe  $\psi_r$  din teoria lui Debye și Hückel (ec. 1.93), se obține:

$$\psi_n = \frac{z_i e_0}{D} \frac{e^{-\chi r}}{r} - \frac{z_i e_0}{Dr} = \frac{z_i e_0}{Dr} (e^{-\chi r} - 1). \quad (1.109)$$

În soluții destul de diluate  $\Sigma n_i^v z_i^2 e_0^2$ , cu care e proporțională  $\chi$ , este îndeajuns de mică pentru ca  $\chi r \ll 1$  și exponențiala  $e^{-\chi r}$  să se poată liniariza prin dezvoltare în serie. Limitându-ne la primii doi termeni, obținem:

$$e^{-\chi r} = 1 - \chi r. \quad (1.110)$$

Rezultă că, pe baza acestei aproximații,

$$\psi_n = - \frac{z_i e_0}{D\chi^{-1}}. \quad (1.111)$$

Introducând ecuația (1.111) și (1.90) în ecuația (1.108), se ajunge la:

$$\psi_r = \frac{z_i e_0}{Dr} - \frac{z_i e_0}{D\chi^{-1}}. \quad (1.112)$$

Termenul al doilea fiind pozitiv și scăzându-se din valoarea termenului întâi din membrul drept, reduce potențialul total la o valoare mai mică decât cea care ar corespunde ionului central în absența norului. Constatarea se găsește în acord cu modelul, deoarece avînd sarcină opusă ionului central, norul trebuie să micșoreze potențialul determinat de ion.

Din egalitatea (1.111) rezultă că  $\psi_n$  are o valoare independentă de  $r$  și corespunzătoare unei sarcini unice egale dar de semn opus sarcinii ionului central, situate la distanța  $\chi^{-1}$  de ionul central.

Rămîne acum să identificăm natura potențialului  $\psi$  din ecuația (1.68), pentru a exprima variația de potențial chimic  $\Delta_{i,I} \mu$  ce se asociază cu interacțiunea ion-ion din soluția de electrolit. Reamintim că în absența unor interacțiuni cauzate, de exemplu, de forțe coulombiene, agitația termică ar distribui ionii în soluție astfel încît  $\rho_r$  ar fi nul și atmosfera ionică inexistentă. De aceea se poate afirma că modelul simplu al norului ionic a raportat nu numai succes în descrierea distribuției ionilor, dar a oferit și calea de calcul a potențialului electrostatic  $\psi_n$  de la suprafața ionului central, datorat interacțiunilor dintre acesta și ionii înconjurători. Prin urmare  $\psi = \psi_n$  și ecuația (1.68) devine:

$$\Delta_{i,I} \mu = - \frac{\mathcal{N}}{2} \frac{(z_i e_0)^2}{D\chi^{-1}}. \quad (1.113)$$

Ajunși la punctul final al teoriei lui Debye și Hückel și posedînd calea teoretică de calcul a interacțiunii ion-ion, nu ne rămîne decît să încercăm confruntarea teoriei cu datele experienței.

### 1.2.3 CONFRUNTAREA TEORIEI LUI DEBYE ȘI HÜCKEL CU EXPERIENȚA. CALCULUL FACTORULUI DE ACTIVITATE

Soluțiile de electroliți se deosebesc de soluțiile de neelectroliți prin prezența unor forțe de interacțiune de bătaie lungă, avînd natură electrostatică. Acestea sînt absente în soluțiile de neelectroliți, în care se manifestă numai interacțiuni de tip dipol-dipol și dispersive, avînd o rază de acțiune mult mai redusă decît interacțiunile coulombiene. De aceea, dacă pentru soluțiile diluate de neelectrolit potențialul chimic  $\mu_i$  este exprimat corect de egalitatea :

$$\mu_i = \mu_i^0 + RT \ln x_i, \quad (1.114)$$

unde  $\mu_i^0$  este potențialul chimic standard iar  $x_i$  fracția molară a speciei  $i$ , în soluțiile de electroliți ea nu mai este valabilă. Adoptînd criteriul respectării sau nerespectării ecuației (1.114), încă înainte de apariția teoriei lui Debye și Hückel, s-au pus bazele unui mod empiric de clasificare a soluțiilor în ideale și respectiv neideale. Pentru a face aplicabilă egalitatea (1.114) și în cazul soluțiilor neideale de electroliți, Lewis propune introducerea unui factor corectiv al concentrației,  $f_{x,i}$ , numit factor de activitate :

$$\mu_i = \mu_i^0 + RT \ln x_i f_{x,i}. \quad (1.115)$$

Produsul  $x_i f_{x,i}$ , concentrația efectivă a speciei  $i$ , a primit numele de activitate (rațională) :

$$a_i = x_i f_{x,i}. \quad (1.116)$$

Evident, în soluții ideale

$$a_i = x_i, \text{ deoarece } f_{x,i} = 1. \quad (1.117)$$

Ecuația (1.115) se mai poate scrie și sub forma :

$$\mu_i = \mu_i^0 + RT \ln x_i + RT \ln f_{x,i}, \quad (1.115 \text{ a})$$

scoțînd astfel în evidență interacțiunile ion-ion care se manifestă în soluția de electrolit. Comparînd între ele ecuațiile (1.114) și (1.115a), se observă că termenul  $RT \ln f_{x,i}$  constituie o măsură a interacțiunilor coulombiene (ion-ion), care fac să difere soluțiile de electrolit (neideale) de soluțiile de neelectrolit considerate ideale. Se poate deci scrie :

$$\Delta_{i,l}\mu = \mu_{\text{sol. electrolit}} - \mu_{\text{sol. neelectrolit}} = RT \ln f_{x,i}. \quad (1.118)$$

Dacă se consideră egalitățile (1.118) și (1.113) se obține :

$$RT \ln f_{x,i} = \frac{\sum (z_i e_0)^2}{2DX^{-1}}, \quad (1.119)$$

care permite calcularea factorului de activitate rațională cu ajutorul teoriei Debye și Hückel.

Se știe că exprimarea concentrației se poate face alegînd și alte unități de măsură decît fracția molară, de exemplu molaritatea sau molalitatea. În mod corespunzător, potențialele chimice ale soluțiilor ideale vor avea forma :

$$\mu_i = \mu_i^0 + RT \ln c_i \quad (1.120)$$

și

$$\mu_i = \mu_i^0 + RT \ln m_i, \quad (1.121)$$

iar potențialele chimice ale soluțiilor neideale (reale) vor fi :

$$\mu_i = \mu_i^0 + RT \ln c_i f_{c,i} \quad (1.222)$$

și

$$\mu_i = \mu_i^0 + RT \ln m_i f_{m,i}, \quad (1.123)$$

unde  $f_{c,i}$  și  $f_{m,i}$  sînt factori de activitate practici, produsul  $c_i f_{c,i}$  numindu-se activitate practică (sau electrochimică). În soluții diluate, valorile numerice ale factorilor de activitate  $f_{x,i}$ ,  $f_{c,i}$  sau  $f_{m,i}$  sînt aproape identice.

Trebuie să se menționeze că, în mod asemănător cu interacțiunea ion-solvent, separarea efectelor individuale, datorate ionilor de un semn, nu este posibilă, experimental măsurîndu-se un efect global,  $\Delta_{i,l}\mu$  (observat la adaosul de sare—electric neutră) raportat la un mol de sare. Altfel, s-ar manifesta și efectul (posibil imaginar, dar practic indezirabil) datorat travaliului electric al interacțiunii dintre specia izolată și soluția încărcată electric.

De exemplu, adăugînd soluției NaCl, împreună cu ionii  $\text{Na}^+$  se introduc și ioni  $\text{Cl}^-$ , în concentrație echivalentă. Aceasta ne duce la concluzia că variația de entalpie liberă  $\Delta_{i,l}\mu$  conține, inseparabile, contribuțiile ambelor sorturi de ioni : și  $\text{Na}^+$ , și  $\text{Cl}^-$ . Nefiind posibilă adăugarea separată a ionilor și fiind măsurat de variația de potențial chimic  $\Delta_{i,l}\mu$  care este un efect global, factorul de activitate  $f_{x,i}$  se va referi la electrolit, în ansamblul său și nu la o specie ionică oarecare. Se va face și aici distincție între factorul de activitate al sării ( $f_{\pm}$ ), singurul accesibil experimental și factorii de activitate ai ionilor individuali ( $f_-$ ,  $f_+$ ) accesibili doar prin calcul teoretic.

Să considerăm un electrolit de tip 1:1 (mono-monovalent), cum ar fi CsCl dizolvat în apă și să exprimăm potențialele chimice ale ionilor  $\text{Cs}^+$  și  $\text{Cl}^-$  din soluția de electrolit :

$$\mu_{\text{Cs}^+} = \mu_{\text{Cs}^+}^0 + RT \ln x_{\text{Cs}^+} + RT \ln f_{x,\text{Cs}^+} \quad (1.124)$$

și

$$\mu_{\text{Cl}^-} = \mu_{\text{Cl}^-}^0 + RT \ln x_{\text{Cl}^-} + RT \ln f_{x,\text{Cl}^-} \quad (1.125)$$

Făcînd suma  $\mu_{\text{Cs}^+} + \mu_{\text{Cl}^-}$  se obține variația de entalpie liberă a sistemului, la adaosul a 2 moli de ioni, conținuți în molul de CsCl electric neutră. Dacă vrem să exprimăm doar contribuția medie raportată la 1 mol de

ioni ( $\text{Cs}^+$  sau  $\text{Cl}^-$ ) va trebui să împărțim la 2 suma celor două potențiale chimice.

$$\frac{\mu_{\text{Cs}^+} + \mu_{\text{Cl}^-}}{2} = \frac{\mu_{\text{Cs}^+}^0 + \mu_{\text{Cl}^-}^0}{2} + RT \ln(x_{\text{Cs}^+} x_{\text{Cl}^-})^{1/2} + RT \ln(f_{x, \text{Cs}^+} f_{x, \text{Cl}^-})^{1/2} \quad (1.126)$$

În ecuația (1.126) se pot defini o serie de mărimi medii:  $\mu_{\pm}$ ,  $\mu_{\pm}^0$ ,  $x_{\pm}$  și  $f_{x, \pm}$ . Primele două sînt medii aritmetice, deoarece contribuțiile potențialelor chimice la valoarea entalpiei libere sînt aditive, iar ultimele două sînt medii geometrice, deoarece efectele fracțiilor molare și ale factorilor de activitate la fixarea entalpiei libere sînt multiplicative. Rezultă că, raportată la molul de ioni, contribuția medie este de forma:

$$\mu_{\pm} = \mu_{\pm}^0 + RT \ln x_{\pm} + RT \ln f_{x, \pm}. \quad (1.127)$$

Deoarece la genul de electrolit ales molul de ion  $\text{Cl}^-$  și  $\text{Cs}^+$  rezultă prin dizolvarea unei jumătăți de mol de sare, se poate scrie că

$$\mu_{\pm} = \frac{1}{2} \mu_{\text{CsCl}}, \quad (1.128)$$

unde  $\mu_{\text{CsCl}}$  este variația de entalpie liberă la dizolvarea unui mol de  $\text{CsCl}$  mărime măsurabilă experimental. Prin urmare:

$$\frac{1}{2} \mu_{\text{CsCl}} = \mu_{\pm} = \mu_{\pm}^0 + RT \ln x_{\pm} + RT \ln f_{x, \pm}. \quad (1.129)$$

În concluzie,  $f_{\pm}$  este o mărime ce se poate determina experimental. Contribuțiile individuale  $f_{+}$  și  $f_{-}$  se pot corela teoretic cu valoarea medie  $f_{\pm}$ , folosind modelul lui Debye și Hückel și compararea mărimilor experimentale cu rezultatele calculelor constituie o verificare a modelului. Pentru aceasta să revenim la relația de definiție a lui  $f_{\pm}$  (nespecificînd unitatea folosită la exprimarea concentrației):

$$f_{\pm} = (f_{+} f_{-})^{1/2} \quad (1.130)$$

și să o extindem la cazul general al unui electrolit care se disociază în  $\nu_{+}$  ioni pozitivi avînd valența  $z_{+}$  și  $\nu_{-}$  anioni de valență  $z_{-}$ . Se poate arăta că în acest caz,

$$f_{\pm} = (f_{+}^{\nu_{+}} f_{-}^{\nu_{-}})^{1/\nu} \quad (1.131)$$

unde  $\nu = \nu_{+} + \nu_{-}$ .

Logaritmînd ecuația (1.131), se obține:

$$\ln f_{\pm} = \frac{1}{\nu} (\nu_{+} \ln f_{+} + \nu_{-} \ln f_{-}). \quad (1.132)$$

Folosind rezultatul teoriei lui Debye și Hückel, exprimat prin egalitatea (1.119) și ecuația (1.132) avem:

$$\ln f_{\pm} = -\frac{1}{\nu} \left[ \frac{\mathcal{N} e_0^2}{2 D R T} \chi (\nu_{+} z_{+}^2 + \nu_{-} z_{-}^2) \right]. \quad (1.133)$$

În virtutea electroneutralității soluției,  $v_+z_+ = v_-z_-$ , ceea ce conduce la :

$$v_+z_+^2 + v_-z_-^2 = v_+z_+z_- + v_-z_+z_- = z_+z_-(v_+ + v_-) = z_+z_-v. \quad (1.134)$$

Introducînd ecuația (1.134) în (1.133), se obține :

$$\ln f_{\pm} = - \frac{\mathcal{N}(z_+z_-)e_0^2}{2DRT} \chi. \quad (1.135)$$

Înainte de a înlocui pe  $\chi$  cu valoarea sa din ecuația (1.106) să introducem ca unitate concentrația molară  $c_i$ ; aceasta din urmă se poate corela cu densitatea moleculară de volum  $n_i^v$  prin egalitatea :

$$n_i^v = \frac{c_i \mathcal{N}}{1000}. \quad (1.136)$$

Rezultă că suma din ecuația (1.106) devine :

$$\sum n_i^v z_i^2 e_0^2 = \frac{\mathcal{N}e_0^2}{1000} \sum c_i z_i^2. \quad (1.137)$$

Încă înainte de apariția teoriei lui Debye și Hückel, semisuma  $\frac{1}{2} \sum c_i z_i^2$  fusese introdusă empiric de către Lewis pentru exprimarea sarcinii dintr-o soluție de electrolit și numită forță ionică ( $j$ ) :

$$j = \frac{1}{2} \sum c_i z_i^2. \quad (1.138)$$

Combinînd (1.106), (1.137) și (1.138),  $\chi$  devine :

$$\chi = \left( \frac{8\pi e_0^2}{1000 DkT} \right)^{1/2} j^{1/2}. \quad (1.139)$$

sau și

$$\chi = Bj^{1/2}. \quad (1.140)$$

Dacă se notează

$$B = \left( \frac{8\pi e_0^2}{1000 DkT} \right). \quad (1.141)$$

Pe baza ecuației (1.140) ecuația (1.135) devine :

$$\ln f_{\pm} = - \frac{\mathcal{N}z_+z_-e_0^2}{2DRT} Bj^{1/2} \quad (1.142)$$

sau, după conversia la logaritmi zecimali :

$$\lg f_{\pm} = - \frac{1}{2,303} \frac{\mathcal{N}e_0^2}{2DRT} Bz_+z_-j^{1/2}. \quad (1.143)$$

Pentru o exprimare mai lapidară, se mai introduce și constante  $A$ , definită de relația :

$$A = \frac{1}{2,303} \frac{\mathcal{N}e_0^2}{2DRT} B, \quad (1.144)$$

cînd ecuația (1.143) ia forma finală :

$$\log f_{\pm} = -A z_+ z_- j^{1/2}. \quad (1.145)$$

În cazul particular al unui electrolit mono-monovalent  $z_+ = z_- = 1$ , iar  $j = c$  și logaritmul factorului de activitate mediu este :

$$\lg f_{\pm} = -A c^{1/2}. \quad (1.146)$$

În tabelul 1.21 sînt cuprinse valorile constantelor B și A, referitoare la apă și la diverse temperaturi.

Tabelul 1.21

Valorile constantelor A și B, pentru apă, la diverse temperaturi

$t(^{\circ}\text{C})$	$10^{-6}B$	A
0	0,3248	0,4918
10	0,3264	0,4989
20	0,3282	0,5070
25	0,3291	0,5115
30	0,3301	0,5161
40	0,3323	0,5262
50	0,3346	0,5373
60	0,3371	0,5494
80	0,3426	0,5767
100	0,3488	0,6086

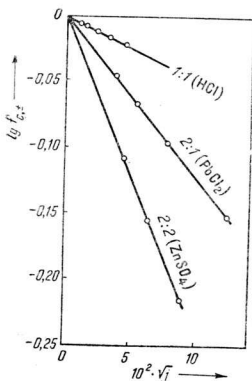


Fig. 1.26. Logaritmul factorului de activitate experimental variază liniar cu  $j^{1/2}$  și se grupează după tipul electrolitului.

Conform egalității (1.145), logaritmul factorului de activitate descrește liniar cu rădăcina patrată a forței ionice; dacă electrolitul este 1 : 1 valent, cu  $c^{1/2}$ . Coeficientul unghiular al dreptei  $\log f_{\pm} - j^{1/2}$  se poate calcula din date fizice fundamentale (constanta A) și produsul  $z_+ z_-$ ; el nu depinde de electrolit ci de tipul de valențe al acestuia (1 : 1, 1 : 2, 2 : 2 etc. v. fig. 1.26). La limita diluției infinite, unde  $c$  sau  $j \rightarrow 0$ ,  $\lg f_{\pm} \rightarrow 0$  și deci  $f_{\pm} \rightarrow 1$ , fiind satisfăcută condiția care cere ca proprietățile soluțiilor de electroliti extrem de diluate să coincidă cu acelea ale soluțiilor de neelectroliti. În tabelul 1.22 sînt date valori experimentale ale factorilor de activitate aparținînd la 3 tipuri diferite de electrolit. Se constată un acord excelent între experiență și teoria lui Debye și Hückel, în domeniul limită al concentrațiilor mici, fapt nu lipsit de valoare, dacă se iau în considerare simplitatea modelului și complexitatea reală a interacțiunilor în joc. De aceea teoria lui Debye și Hückel este considerată ca

**Valori experimentale ale factorului de activitate  
pentru diverși electroliți la câteva concentrații**

1. Electrolit 1:1 (HCL)					
molalitate	$1 \cdot 10^{-4}$	$2 \cdot 10^{-4}$	$5 \cdot 10^{-4}$	$1 \cdot 10^{-3}$	$2 \cdot 10^{-3}$
$f_{m,\pm}$	0,9891	0,9842	0,9752	0,9656	0,9521
2. Electrolit: 2:1 (CaCl <sub>2</sub> )					
molaritate	$1,8 \cdot 10^{-3}$	$6,1 \cdot 10^{-3}$	$9,5 \cdot 10^{-3}$		
$f_{c,\pm}$	0,8588	0,7745	0,7361		
3. Electrolit 2:2 (CdSO <sub>4</sub> )					
molalitate	$5 \cdot 10^{-4}$	$1 \cdot 10^{-3}$	$5 \cdot 10^{-3}$		
$f_{m,\pm}$	0,774	0,697	0,476		

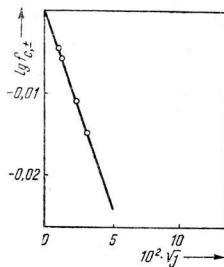
unul din cele mai remarcabile instrumente utilizabile la studiul soluțiilor de electroliți (v. fig. 1.27 și tabelul 1.23).

Tabelul 1.23

**Compararea coeficienților unghiulari ( $\text{tg } \theta$ ) experimentali  
și teoretici (Debye și Hückel) la curbe  $\lg f_{\pm} - \sqrt{j}$  în amestec  
de  $\text{H}_2\text{O} + \text{CH}_3\text{OH}$ , la 25°C**

	$x_{\text{H}_2\text{O}}$ în solvent	$D$	$\text{tg } \theta$	
			experimental	calculat
1. Electrolit 1:1 (Tetranitrodiamino cobaltiat de potasiu)	1,00	78,8	0,50	0,50
	0,80	54,0	0,89	0,89
2. Electrolit 1:2 (Sulfat de potasiu)	1,00	78,8	1,10	1,08
	0,80	54,0	1,74	1,76
3. Electrolit 3:1 (Luteo iodat)	1,00	78,8	1,52	1,51

Fig. 1.27. Compararea valorilor experimentale (punctele din diagramă) cu dreapta teoretică la variația  $\lg f_{\pm}$  în funcție de  $\sqrt{j}$ .





## 1.2.4.1 Parametrul dimensional a

Deoarece un model simplu cum este cel folosit în teoria lui Debye și Hückel rămîne o schematizare a realității, o reflectare trunchiată a complexelor interacțiuni reale, rezultă că el nu va fi niciodată capabil să furnizeze valori în perfect acord cu experiența; în mod fatal, concordanța va fi doar parțială, limitată în acest caz la domeniul soluțiilor diluate; în soluții de concentrație mijlocie și mare, teoria este falimentară (v. fig. 1.28 și tab. 1.24). Ba mai mult, în acest domeniu factorul de activitate depinde nu numai de tipul de valențe ci și de compoziția electrolitului (fig. 1.29). Legea limită a lui Debye și Hückel apare ca o tangentă la curba  $\lg f_{\pm} - \sqrt{f}$  în domeniul unor valori ale lui  $c \leq 0,01$ , pentru electrolizii 1:1. Este deci evident că teoria trebuie perfecționată pentru concentrații mijlocii și mari. În vederea acestui scop, vor trebui reconsiderate aproximațiile făcute în cadrul teoriei.

Tabelul 1.24

Compararea valorilor experimentale și teoretice ale lui  $\lg f_{\pm}$  la NaCl (25°C)

Molalitate	$-\lg f_{m,\pm}$	
	experimental	calculat
$1 \cdot 10^{-3}$	0,0155	0,0162
$2 \cdot 10^{-3}$	0,0214	0,0229
$5 \cdot 10^{-3}$	0,0327	0,0361
$1 \cdot 10^{-2}$	0,0446	0,0510
$2 \cdot 10^{-2}$	0,0599	0,0722

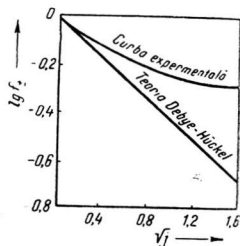


Fig. 1.28. Variația lui  $\lg f_{\pm}$  în funcție de  $\sqrt{f}$  este liniară pentru valori experimentale numai la concentrații foarte mici.

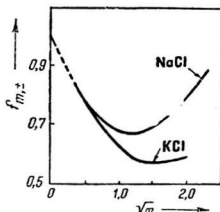


Fig. 1.29. Variația coeficienților de activitate  $\sqrt{m}$  pentru săruri de tipul 1:1, la concentrații mari.

Variația grosimii norului ionic ( $\chi^{-1}$ )<sup>11</sup>  
în funcție de concentrația electrolitului

$\chi^{-1}$ (nm)	10	3	1
concentrația (N)	$10^{-3}$	$10^{-2}$	$10^{-1}$

Fie de exemplu aproximația făcută în legătură cu neglijarea dimensiunilor proprii ale ionului (ion = sarcină punctiformă). Compararea variației lui  $\chi^{-1}$  cu concentrația pentru un electrolit 1:1 (v. tab. 1.25), ne demonstrează că raza norului este de aproximativ 100 de ori mai mare decât raza ionului ( $\sim 0,1$  nm) în soluție  $10^{-3}$  N și numai de circa 10 ori mai mare în soluție  $10^{-1}$  N. Prin urmare, cu cât soluția este mai concentrată, cu atât neglijarea dimensiunilor ionilor apare mai puțin justificată. Dacă se ia în considerare dimensiunea proprie a ionului central, trebuie modificată limita de integrare inferioară din ecuația (1.97), de la zero la o valoare finită, pe care s-o notăm cu  $a$  (parametrul dimensional al ionului). Se arată că în acest caz, expresia potențialului  $\psi_r$  devine:

$$\psi_r = \frac{z_i e_0}{D} \frac{e^{\chi a}}{1 + \chi a} \frac{e^{-\chi r}}{r}, \quad (1.147)$$

iar expresia logaritmului factorului de activitate mediu:

$$\lg f_{\pm} = - \frac{A z_+ z_- \sqrt{j}}{1 + \chi a} \quad (1.148)$$

sau, ținând seama de ecuația (1.140), se mai poate scrie:

$$\lg f_{\pm} = - \frac{A z_+ z_- \sqrt{j}}{1 + B a \sqrt{j}}. \quad (1.149)$$

Dacă se compară ecuațiile (1.145) cu (1.148) se observă că ultima diferă prin suma  $1 + \chi a$  de la numitor. Să aplicăm așa numitul principiu al corespondenței și să vedem dacă varianta mai generală (adică aceea care ia în considerare dimensiunea proprie a ionului) se reduce la varianta aproximativă, în condițiile de aplicabilitate a celei din urmă.

Transcriind ecuația (1.148) sub forma:

$$\lg f_{\pm} = -A(z_+ z_-) \sqrt{j} \frac{1}{1 + \frac{a}{\chi^{-1}}} \quad (1.148 a)$$

și considerînd soluții din ce în ce mai diluate, cînd raza  $\chi^{-1}$  a norului devine din ce în ce mai mare în comparație cu  $a$ , se vede că  $a/\chi^{-1}$  descrește simultan în așa măsură încît devine neglijabil față de unitate:  $a/\chi^{-1} \ll 1$ . Atunci, evident,

$$\frac{1}{1 + \frac{a}{\chi^{-1}}} \approx 1 \quad (1.150)$$

și ecuațiile (1.145) și (1.148) se confundă, iar principiul corespondenței este satisfăcut.

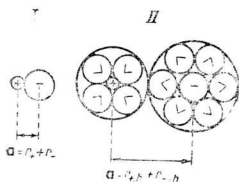


Fig. 1.30. Parametrul dimensional  $a$  este cuprins între suma razelor cristalografice (I) și suma razelor ionilor hidratați (II).

Dificultatea apare atunci când se cer introduse valori numerice pentru  $a$ . Figura 1.30 ne arată cele două limite între care este posibilă variația parametrului  $a$ : minimum suma razelor cristalografice și maximum suma razelor ionilor hidratați. Întrucât învelișurile de hidratare se pot distruge parțial în urma apropierii celor doi ioni hidratați, rezultă că  $a$  trebuie să ia valori cuprinse între cele două limite menționate. Deoarece calculul gradului de distrugere și deci de întrepătrundere a ionilor hidratați este practic o problemă extrem de dificilă, se preferă determinarea experimentală a parametrului dimensional,

pe baza următorului procedeu: se consideră valabilă relația (1.149) la o concentrație dată, se egalează  $\lg f_{\pm}$  cu valoarea obținută experimental la aceeași concentrație și se rezolvă ecuația, calculând valoarea lui  $a$ . Rezultatul este satisfăcător dacă valoarea lui  $a$  astfel determinată reproduce valorile experimentale ale lui  $f_{\pm}$  și la alte concentrații.

Valorile determinate experimental pentru  $a$  sînt rezonabile pentru o serie de electroliți, situîndu-se între 0,3 și 0,5 nm, adică tocmai între suma razelor cristalografice și suma razelor ionilor hidratați (tab. 1.26). Cu valoarea  $a = 0,40$  nm, se calculează pentru NaCl factori de activitate ce sînt în foarte bun acord cu experiența în domeniul de concentrație cuprins între  $1 \cdot 10^{-3}$  și  $2 \cdot 10^{-2}m$  (tab. 1.27).

Tabelul 1.26

Parametrul dimensional  $a$  al  
unor electroliți

$a(\text{nm})$	Electrolitul
0,45	HCl
0,52	HBr
0,43	LiCl
0,40	NaCl
0,36	KCl

Tabelul 1.27

Valori experimentale și teoretice ale lui  $f_{\pm}$   
calculate cu  $a = 0,4$  nm, la  $25^\circ\text{C}$   $f_{\pm}$

Molalitate	experimental	calculat
$1 \cdot 10^{-3}$	0,0155	0,0155
$2 \cdot 10^{-3}$	0,0214	0,0216
$5 \cdot 10^{-3}$	0,0327	0,0330
$1 \cdot 10^{-2}$	0,0446	0,0451
$2 \cdot 10^{-2}$	0,0599	0,0609

Deși capabil să realizeze acordul dintre experiență și teoria Debye — Hückel în domeniul concentrațiilor mijlocii și să exprime specificitatea compoziției sării în variația factorului de activitate cu concentrația,  $a$  rămîne un parametru a cărui introducere în modelul norului ionic are o pronunțată notă de artificialitate; în ultima analiză,  $a$  este o mărime ajustabilă experimental, spre deosebire de toate celelalte constante ce apar în teoria lui Debye și Hückel, calculate fără a recurge la experiență. Cea mai bună dovadă a faptului că  $a$  este o mărime ce trebuie

ajustată, constă în variabilitatea lui pe măsură ce concentrația crește, depășind zona valorilor mijlocii (fig. 1.31). Trebuie amintite, în sfârșit, și valorile absurde ce se obțin tot în zona concentrațiilor mari, la unii electroliți (tab. 1.28).

În fața acestor fapte, se poate conchide că în domeniul concentrațiilor mari efectele ce se fac simțite în soluțiile de electroliți sînt mult mai complexe și, că, singură dimensiunea ionilor, nu poate fi făcută responsabilă pentru ele. Reținem totuși ca un rezultat pozitiv al modelului bazat pe dimensiuni finite ale ionilor, extinderea acordului cu experiența pînă la concentrații 0,1 N.

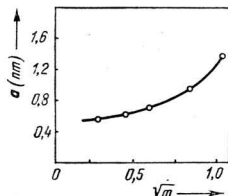


Fig. 1.31. Variația parametrului dimensional  $a$ , cu concentrația NaCl.

Tabelul 1.28

Valori ale parametrului dimensional  $a$ ,  
la concentrații mari

Molalitate	$a_{\text{HCl}}$ (nm)	$a_{\text{LiCl}}$ (nm)
1	1,38	
1,4	2,45	
1,8	8,50	
2	-41,12	4,13
2,5	-2,79	-14,19
3,0	-1,48	-2,64

Înainte de a considera și alte încercări de perfecționare a modelului de interacțiuni ion-ion, să reamintim principalele caracteristici ale teoriei lui Debye și Hückel:

- alegerea ca referință a unui ion (central), în jurul căruia ionii înconjurători se asimilează cu un nor ionic, de sarcină continuă (norul nu conține sarcini discontinue, discrete);

- toți ionii din soluție sînt liberi să contribuie la formarea norului de sarcină, fără ca în soluție să aibă loc împerecheri de ioni care să conducă la cupluri electric neutre;

- pentru interacțiunile ion-ion nu sînt esențiale decît forțele coulombiene de bătaie lungă, forțele de bătaie scurtă, necoulombiene, cum ar fi cele dispersive, de neglijează;

- soluția se consideră destul de diluată pentru ca liniarizarea ecuației lui Boltzmann să fie valabilă și

- unicul rol rezervat apei este acela de mediu dielectric continuu.

#### 1.2.4.2 Rolul solventului în interacțiunile ion-ion

S-a menționat dezacordul dintre valorile experimentale ale factorilor de activitate și cele calculate cu teoria lui Debye și Hückel în soluții de concentrație mijlocie și mare (acordul se menține în domeniul concentrațiilor  $\leq 10^{-2}N$ ). Pe măsură ce concentrația soluției crește, factorul de activitate scade, dar, fapt cu totul curios, numai până la o valoare oarecare a concentrației, după care se înregistrează o creștere a lui (v. fig. 1.29), depășind la un moment dat unitatea, valoare caracteristică pentru starea de referință, lipsită de interacțiune, din soluțiile infinit diluate. Dar lucrurile devin numai aparent anormale dacă se iau în considerare și interacțiunile ion-solvent din soluție. Într-adevăr din numărul total de molecule de apă din soluție, cele care sînt fixate în sfera de hidratare a ionilor aflați deja în soluție, nu vor putea participa la dizolvarea ionilor adăugați ulterior; pe măsură ce concentrația electrolitului crește, numărul efectiv de molecule de solvent, disponibil pentru dizolvare, scade. Paralel cu aceasta, se înregistrează creșterea anormală a factorului de activitate a electrolitului. Reamintim că factorul de activitate este parametrul care multiplică concentrația ionică aparentă, simplă, transformînd-o în concentrație efectivă, adică în activitate. Deoarece hidratarea ionilor reduce cantitatea de solvent liber, concentrația efectivă (sau activitatea) se mărește și deci factorul de activitate trebuie să crească și el, reflectînd împuținarea moleculelor de apă disponibile pentru dizolvare.

Un calcul simplu va facilita înțelegerea lucrurilor. Să considerăm că moleculele din prima sferă de hidratare a ionilor sînt cele care nu mai pot participa la dizolvarea unor adaosuri ulterioare de săruri. În cazul NaBr, acest număr este aproximativ 6 (cf. tab. 1.16). Dacă sarea se găsește în concentrație  $1 \cdot 10^{-2}M$  numărul de moli de apă sustrași din masa de solvent liber va fi de  $6 \cdot 10^{-2}$ , ceea ce nu reprezintă decît circa 1,1%, dacă se raportează la 1 000 g de apă ( $1\,000/18 = 55,55$ ). Prezent în concentrație 1 molală, NaBr imobilizează 6 moli de apă (circa 11% din numărul total de moli  $H_2O$ ) rămînînd numai 49,55 moli de apă liberă. În sfîrșit, dacă soluția de NaBr este 5 molală, se fixează 30 moli de apă, mai mult de jumătate din cei 55,55 moli luați în lucru la prepararea soluției. Pentru a exprima creșterea activității ionilor în ultima soluție, ne așteptăm ca factorul de activitate să înregistreze o creștere corespunzătoare, depășind cu mult unitatea.

Efectele datorate solventului se pot evalua dacă se calculează travaliul care însoțește transferul moleculelor din zona liberă în cea de solvatare; însumîndu-l apoi cu travaliul ce însoțește construirea atmosferelor ionice, (după Debye și Hückel) se ajunge la o mai bună aproximare a factorului de activitate.

Cel dintîi travaliu este alcătuit din două contribuții: travaliul  $RT \ln c_1/c_2$  efectuat la modificarea de concentrație a moleculelor de apă cauzată de adaosul ionilor și un al doilea travaliu de același gen ( $RT \ln c_1/c_2$ ), asociat cu schimbarea de concentrație a ionilor existenți în soluție, cauzată de îndepărtarea apei pentru formarea învelișurilor de hidratare.

Cea dintîi contribuție este ușor de calculat; considerînd că în apa pură, în care nu se manifestă nici o perturbare, activitatea este unitară, iar după

adaosul de electrolit ea se modifică la valoarea  $a_{\text{H}_2\text{O}}$ , travaliul ce însoțește modificarea activității va fi  $RT \ln (a_{\text{H}_2\text{O}}/1)$  pentru 1 mol de apă. Pentru a cunoaște schimbarea de activitate cauzată electrolitului prin modificarea de activitate a apei, travaliul trebuie normalizat la 1 mol de electrolit. Dacă se notează cu  $n_h$  suma molilor de apă din prima sferă de hidratare a ambilor ioni (proveniți de exemplu de la un electrolit de tip 1:1) și cu  $n$  numărul molilor de electrolit, variația de entalpie liberă asociată cu modificarea concentrației apei prin formarea învelișurilor de hidratare, va fi  $-(n_h/n) RT \ln a_{\text{H}_2\text{O}}$  pentru 1 mol de electrolit.

La calcularea variației de entalpie liberă ce însoțește modificarea de concentrație a ionilor, consecință a îndepărtării unor molecule de solvent liber (efectiv), se presupune că soluția manifestă proprietăți ideale. Avantajul ce decurge din această presupunere este acela de a putea exprima variația de entalpie liberă corespunzătoare cu ajutorul concentrațiilor. Ea valorează  $RT \ln x_f/x_i$ , unde  $x_f$  este fracția molară a electrolitului în soluție după transferul apei din stare liberă (de solvent efectiv) în cea de stare solvatată (coordinat în jurul ionilor), iar  $x_i$  înainte de transferul apei din stare liberă în stare solvatată.

Înainte de transfer,

$$x_i = \frac{n}{n_{\text{H}_2\text{O}} + n}, \quad (1.151)$$

unde  $n$  este numărul molilor de electrolit conținut în  $n_{\text{H}_2\text{O}}$  moli de apă, iar după transfer:

$$x_f = \frac{n}{n_{\text{H}_2\text{O}} - n_h + n}. \quad (1.152)$$

Rezultă că variația de entalpie liberă este:

$$RT \ln \frac{n_{\text{H}_2\text{O}} + n}{n_{\text{H}_2\text{O}} - n_h + n}. \quad (1.153)$$

Efectul global datorat solventului, pe care ne propusesem să-l calculăm este:

$$-\frac{n_h}{n} RT \ln a_{\text{H}_2\text{O}} + RT \ln \frac{n_{\text{H}_2\text{O}} + n}{n_{\text{H}_2\text{O}} - n_h + n}, \quad (1.154)$$

iar expresia îmbunătățită a factorului de activitate devine:

$$RT \lg f_{\pm} = -\frac{A\sqrt{c}}{1 + Ba\sqrt{c}} - 2,303 RT \frac{n_h}{n} \lg a_{\text{H}_2\text{O}} + 2,303 RT \lg \frac{n_{\text{H}_2\text{O}} + n}{n_{\text{H}_2\text{O}} - n_h + n}. \quad (1.155)$$

(avem de a face mereu cu un electrolit 1:1)

Se vede că posibilitatea schimbării sensului de variație a factorului de activitate este justificată teoretic; dacă termenul al 3-lea din membrul drept devine predominant,  $\lg f_{\pm}$  poate să devină pozitiv, iar  $f_{\pm}$  să depășească unitatea.

Deoarece  $a_{H_2O} \leq 1$  și  $n_h > n$ , al doilea și al treilea termen din membru drept al ecuației (1.155) sînt pozitivi și deci factorii de activitate calculați cu ea sînt mai mari decît cei calculați pe baza teoriei D e b y e - H ü c k e l originale, care ignoră interacțiunile ion-solvent. Suma celor doi termeni ion-solvent menționați poate depăși termenul coulombian D e b y e - H ü c k e l în  $\sqrt{c}$ , și deci, curba  $\lg f_{\pm} - \sqrt{f}$  poate fi o curbă cu minim, așa cum se observă experimental (v. fig. 1.29 și 1.32).

Pe de altă parte, la diluții crescînde ( $n_{H_2O} + n$ )  $\gg n_h$  sau  $n_{H_2O} + n - n_h \approx n_{H_2O} + n$ , iar  $a_{H_2O} \rightarrow 1$  și ambii termeni tind să se anuleze, indicînd faptul că interacțiunile ion-solvent sînt semnificative pentru teoria coeficientului de activitate numai în soluții concentrate.

Pentru verificarea relației (1.155) trebuie cunoscute  $a_{H_2O}$  și  $n_h$ , dacă se dispune de valoarea parametrului dimensional  $a$ . Deoarece  $a_{H_2O}$  se poate obține din experiențe (tab. 1.29) independente, relația (1.155) poate fi verificată ca o ecuație cu doi parametri ( $n_h$  și  $a$ ), (tab. 1.30). Acordul cu experiența este excelent chiar și în domeniul concentrațiilor mari (de exemplu, pînă la 5M pentru NaCl, fig. 1.32).

Tabelul 1.29

Activitatea apei în soluții de NaCl

Molaritate	$a_{H_2O}$	Molaritate	$a_{H_2O}$
0,1	0,99665	3	0,8932
0,5	0,98355	3,4	0,8769
1,0	0,96686	3,8	0,8600
1,4	0,9532	4,2	0,8428
1,8	0,9389	4,6	0,8250
2,2	0,9242	5,0	0,8068
2,6	0,9089	5,4	0,7883

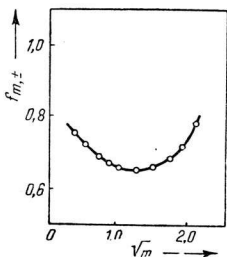


Fig. 1.32. Compararea valorilor lui  $f_{m,\pm}$ , calculate cu ecuația (1.155) pentru  $a = 0,397$  nm și  $n_h = 3,5$  (curba plină) și cele experimentale (punctele).

Tabelul 1.30

Valori ale lui  $n_h$  în soluție 1 M și ale parametrului dimensional  $a$

Electrolitul	$n_h$	$a$ (nm)
HCl	8,0	0,447
HBr	8,6	0,518
NaCl	3,5	0,397
NaBr	4,2	0,424
KCl	1,9	0,363
MgCl <sub>2</sub>	13,7	0,502
MgBr <sub>2</sub>	17,0	0,546

În concluzie, se poate afirma că luarea în considerare a efectelor datorate interacțiunilor ion-solvent, se soldează cu extinderea domeniului de valabilitate a teoriei lui Debye și Hückel și la soluțiile concentrate. Trebuie de asemenea amintit că în afară de aceasta, ecuația (1.155) mai are meritul de a releva și interacțiunile ion-solvent, alături de interacțiunile ion-ion din soluțiile de electroliți, dintre care teoria limită a lui Debye și Hückel nu lua în considerare decât pe cele din urmă.

## 1.2.5 ALTE MODELE REFERITOARE LA INTERACȚIUNEA ION-ION. ASOCIATE IONICE. STRUCTURA DE CUASI-REȚEA A SOLUȚIILOR CONCENTRATE DE ELECTROLIȚI

În modelul norului ionic s-a neglijat posibilitatea formării unor perechi de ioni, în urma apropierii sub o anumită distanță a doi ioni de sarcină contrară. Fiindcă asemenea asociate constituie un dipol ionic avînd sarcina netă nulă, localizarea lor în interiorul norului ionic este cu totul întîmplătoare; manifestîndu-se ca entități lipsite de sarcină, ele scapă de sub influența cîmpului coulombian a ionului central. Probabilitatea de formare a perechilor de ioni depinde de distanță și este redată de curba de variație cu distanța a probabilității,  $P_r$ , de a întîlni un ion de o anumită încărcătură (fig. 1.33). După Bjerrum, autorul teoriei (1926), formarea perechilor de ioni are loc atunci cînd un ion oarecare pătrunde în sfera de rază  $q$  din jurul ionului de semn opus. Din cauza parametrului dimensional  $a$ , care constituie distanța minimă la care se pot apropia doi ioni, formarea perechii este condiționată de inegalitatea  $a < q$ ; dacă  $a > q$  ionii nu se cuplează și rămîn liberi. Probabilitatea de formare a perechilor de ioni este exprimată prin fracția de asociere  $\theta$ , egală cu raportul dintre numărul ionilor de specia  $i$ , asociați și numărul total al ionilor de această specie:

$$\theta = \int_a^q P_r dr = \int_a^q 4\pi n_i^v e^{\lambda/r} r^2 dr, \quad (1.156)$$

unde  $\lambda = \frac{z-z_0 e_0^2}{DkT}$ , iar  $n_i^v$  mereu densitatea de volum a ionilor de specie  $i$ .

Se vede că valoarea integralei din ecuația (1.156) este egală cu aria hașurată din figura 1.33. Se mai remarcă și faptul că dacă  $r > q$ , integrala devine mai mare decît unitatea; cum însă  $\theta$  reprezintă o fracțiune ( $\theta < 1$ ), înseamnă că integrala este divergentă. În această situație, Bjerrum decide în mod arbitrar întreruperea integralei la limita  $r = q$ . Se poate arăta că valoarea  $q$  a minimului este:

$$q = \frac{z+z_0 e_0^2}{2DkT} = \frac{\lambda}{2}. \quad (1.157)$$

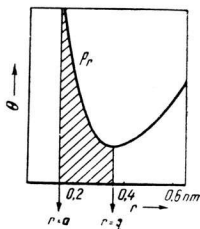


Fig. 1.33. Probabilitatea de formare a perechilor de ioni este măsurată de fracția de asociere  $\theta$ .



Să rearanjăm egalitatea (1.156), punind-o sub forma :

$$\theta = 4\pi n_{\pm}^v \int_a^{\lambda/2} e^{\lambda/r} r^2 dr. \quad (1.158)$$

Pentru calcularea gradului de asociere  $\theta$  în funcție de diversele valori  $a$  și  $q = \lambda/2$ , este convenabilă introducerea unei noi variabile  $y$ , definită de egalitatea :

$$y = \frac{\lambda}{r} = \frac{2q}{r}, \quad (1.159)$$

cu ajutorul căreia, ecuația (1.158) devine :

$$\theta = 4\pi n_{\pm}^v \left( \frac{z+z_0-e_0^2}{DkT} \right)^3 \int_2^b e^y y^{-4} dy, \quad (1.160)$$

unde

$$b = \frac{\lambda}{a} = \frac{z+z_0-e_0^2}{aDkT} = \frac{2q}{a} \quad (1.161)$$

Integrala  $\int_2^b e^y y^{-4} dy$  a fost tabelată de B j e r r u m pentru diverse valori ale lui  $b$  (v. tab. 1.31) ;

cu ajutorul tablei se pot calcula fracțiile de asociere  $\theta$  ale unui electrolit, dacă se cunosc dimensiunile ionilor, constanta dielectrică și concentrația (v. tab. 1.32).

T a b e l a 1.31

Valori ale integralei  $\int_2^b e^y y^{-4} dy (= I)$

$b$	$I$	$b$	$I$
2,0	0	3	0,326
2,1	0,0440	3,5	0,442
2,2	0,0843	4	0,550
2,4	0,156	5	0,771
2,6	0,218	6	1,041
2,8	0,274	10	4,63
		15	93,0

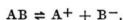
Deși mărimea  $\theta$  permite exprimarea gradului de asociere într-un electrolit dat, totuși calculele ce trebuie efectuate pentru anumite sisteme date, nu sînt comode. De aceea, inspirat din teoria disocierii electrolitice, a lui Arrhenius unde constanta de disociere

$$K = \frac{a_{A^+} a_{B^-}}{a_{AB}}, \quad (1.162)$$

Frația de asociere  $\theta$  a unor ioni monovalenți în apă (18°C)

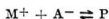
$a$ (nm): $q/a$ :	0,282 2,5	0,235 3	0,176 4	0,101 7	0,070 10	0,047 15
$c$ (moli/l)						
$1 \cdot 10^{-4}$	—	—	—	—	0,001	0,027
$2 \cdot 10^{-4}$	—	—	—	—	0,002	0,049
$5 \cdot 10^{-4}$	—	—	—	0,002	0,006	0,106
$1 \cdot 10^{-3}$	—	0,001	0,001	0,004	0,011	0,177
$2 \cdot 10^{-3}$	0,002	0,002	0,003	0,007	0,021	0,274
$5 \cdot 10^{-3}$	0,002	0,004	0,007	0,016	0,048	0,418
$1 \cdot 10^{-2}$	0,005	0,008	0,012	0,030	0,030	0,529
$2 \cdot 10^{-2}$	0,008	0,013	0,022	0,053	0,137	0,632
$5 \cdot 10^{-2}$	0,017	0,028	0,046	0,105	0,240	0,741
$1 \cdot 10^{-1}$	0,029	0,048	0,072	0,163	0,336	0,804
$2 \cdot 10^{-1}$	0,048	0,079	0,121	0,240	0,437	0,854

constituie o exprimare cantitativă a proporției în care AB este dissociat, conform schemei:



s-a definit și introdus în practică așa numita constantă de asociere  $K_A$  pentru formarea perechilor de ioni.

Astfel, considerînd echilibrul de asociere al ionilor liberi  $M^+$  și  $A^-$  în perechea P:



constanta de asociere  $K_A$  este:

$$K_A = \frac{a_P}{a_{M^+} a_{A^-}}. \quad (1.163)$$

Deoarece  $\theta$  reprezintă fracțiunea de ioni ce se găsește sub formă asociată,  $\theta c$  este concentrația perechilor de ioni, iar  $(1 - \theta)c$  concentrația ionilor liberi. Introducînd aceste mărimi în expresia constantei de asociere, se mai obține:

$$K_A = \frac{\theta c}{(1 - \theta)c(1 - \theta)c} \frac{f_P}{f_+ f_-} = \frac{\theta}{(1 - \theta)^2} \frac{1}{c} \frac{f_P}{f_+ f_-} = \frac{\theta}{(1 - \theta)^2} \frac{1}{c} \frac{f_P}{f_{\pm}^2}. \quad (1.164)$$

Deoarece perechile de ioni nu sînt angajate în interacțiuni electrostatice, avînd sarcină electrică nulă, comportamentul lor se poate considera ideal și deci  $f_P = 1$ .

În soluții diluate, datorită densității ionice mici, formarea perechilor este un eveniment foarte rar, astfel că  $\theta \ll 1$ , iar  $1 - \theta \approx 1$ ; de asemenea  $f_P \rightarrow 1$ . În aceste condiții, expresia constantei de asociere ia forma mult simplificată:

$$K_A = \frac{\theta}{c}. \quad (1.165)$$

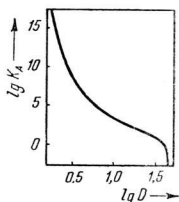


Fig. 1.34. Variația constantei de asociere cu constanta dielectrică, la electroliți 1:1.

Combinînd (1.160) cu (1.165), avem :

$$K = \frac{4\pi n_i^v}{c} \left( \frac{z_+ z_- e_0^2}{DkT} \right)^3 I \quad (1.166)$$

$$\text{unde } I = \int_2^b e^y y^{-4} dy.$$

Dar cum

$$n_i^v = \frac{c \mathfrak{N}}{1\,000}, \quad (1.167)$$

se mai obține :

$$K_A = \frac{4\pi \mathfrak{N}}{1\,000} \left( \frac{z_+ z_- e_0^2}{DkT} \right)^3 I. \quad (1.168)$$

$K_A$  oferă un criteriu de apreciere al asocierii ionice ; cu cît valoarea sa e mai mare, cu atît mai pronunțată este asocierea ionilor (tab. 1.33). Se vede (ec. 1.168) că valori mari ale constantei de asociere  $K_A$  sînt favorizate de constante dielectrice mici (1, v. fig. 1.34) raze ionice mici, care duc la valori mici ale parametrului dimensional  $a$  și deci la valori mari ale limitei superioare  $b$  a integralei  $I(2)$  și valențe  $z_+$  și  $z_-$  mari (3). Calculele efectuate cu ecuația (1.168) conduc la concluzia că, în apă, asocierea ionică la electroliți de tipul 1:1 este un fenomen rar, dar poate deveni important la electroliții 2:2.

Tab el ul 1.33

#### Constante de asociere ionică

Electrolit	Solvent	$t(^{\circ}\text{C})$	$D$	$K_A$
KBr	acid acetic	30	6,20	$9,09 \cdot 10^6$
KBr	amoniac	-34	22	$5,29 \cdot 10^3$
CsCl	etanol	25	24,30	$1,51 \cdot 10^3$
KI	acetona	25	20,70	$1,25 \cdot 10^3$
KI	piridină	25	12,0	$4,76 \cdot 10^3$

Fiindcă nu posedă sarcini electrice nete perechile ionice rezultate prin asociere, nu joacă nici un rol direct în teoria factorului de activitate a lui Debye și Hückel. Aceasta nu denotă însă că în prezența asocierii ionice răspunsul dat de teorie va fi concordant cu rezultatul experimental, deoarece formarea perechilor ionice se soldează cu modificarea concentrației ionilor în norul ionic ; prin scăderea fracției  $\theta$ , din concentrația totală de ioni, în soluție se manifestă doar  $(1 - \theta)c$  moli de ioni/l de soluție și teoria va trebui aplicată numai lor. Pe lîngă corecția de concentrație, expresia Debye-Hückel pentru factorul de activitate (ec. 1.149) trebuie îndreptată și în privința parametrului dimensional  $a$  : distanța minimă

dintre ionii liberi devine  $q$  și nu  $a$ . Cu aceste modificări logaritmul factorului de activitate devine:

$$\lg f_{\pm} = - \frac{A(z_+z_-)\sqrt{(1-\theta)c}}{1+Bq\sqrt{(1-\theta)c}}. \quad (1.169)$$

Coeficientul mediu de activitate astfel calculat se corelează cu cel experimental observat  $f_{\pm, \text{exper}}$  prin egalitatea:

$$f_{\pm, \text{exper}} = (1-\theta)f_{\pm}, \quad (1.170)$$

sau, după logaritmare,

$$\lg f_{\pm, \text{exper}} = \lg f_{\pm} + \lg(1-\theta) = - \frac{A(z_+z_-)\sqrt{(1-\theta)c}}{1+Bq\sqrt{(1-\theta)c}} + \lg(1-\theta). \quad (1.171)$$

Cu tot acordul bun ce se constată la confruntarea cu experiența, teoria formării de asociate ionice a lui Bjerrum este susceptibilă de critici serioase. În primul rând se reproșează faptul că identifică toți ionii aflați la distanțe  $r < q$  cu perechi ionice, chiar dacă ionii nu sînt în contact fizic; în al doilea rând se citează modul arbitrar în care se postulează limita superioară a integralei de probabilitate, adică distanța  $r = q$  unde funcția  $P$ , trece prin minim. Referitor la cel de-al doilea defect, nu este clar suportul fizic al alegerii distanței  $r = q$  dintre centrele ionilor, ca valoare maximă pînă la care formarea perechilor e posibilă.

Acestea au fost considerentele care l-au determinat pe Fuoss (1933-34) să elaboreze o definiție mult mai directă a formării perechilor de ioni. El consideră ca esențial contactul dintre ioni de-a lungul unui interval de timp dat; indiferent de intervalul de timp, ionii de semn contrar aflați în contact, vor funcționa ca un dipol, neutru în ansamblu, definit ca pereche ionică, în care distanța  $r = a$  separă centrele celor doi ioni. Abordarea lui Fuoss a formării perechilor de ioni conduce la următoarea expresie a constantei de asociere ionică:

$$K_A = \frac{4\pi}{3} \frac{\mathcal{N}}{1000} a^3 e^b, \quad (1.172)$$

unde  $a$  este distanța dată care separă centrele ionilor în contact, iar  $b = \frac{z_+z_-e_0^2}{aDkT}$ ; ea este diferită de egalitatea (1.168) stabilită de Bjerrum pentru  $K_A$ . Teoria lui Bjerrum a fost verificată în soluții ale căror constante dielectrice au asemenea valori înalt

$$b = \frac{z_+z_-e_0^2}{aDkT} = \frac{2q}{a} > 2;$$

în aceste condiții, în ecuația (1.168) se poate face următoarea aproximare:

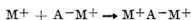
$$\left(\frac{z_+z_-e_0^2}{DkT}\right)^3 \int_2^b e^y y^{-4} dy \approx a^3 \frac{e^b}{b}. \quad (1.173)$$

Introducînd-o în ecuația (1.168), se mai obține:

$$K_A = \frac{4\pi}{1000} \frac{\mathcal{N}}{1000} a^3 \frac{e^b}{b}. \quad (1.174)$$

O dată cu schimbarea constantei dielectrice a soluției,  $b$  se modifică, dar modificarea lui  $b$  este surclasată de variația termenului  $e^b$ . În această situație este dificilă distingerea dintre dependența lui  $K_A$  de  $e^b$  (teoria lui F u o s s) și dependența lui  $K_A$  de termenul  $e^b/b$ . Avînd însă o bază mai simplă și mai puțin arbitrară, abordarea lui F u o s s este preferată.

Forța de atracție coulombiană, exprimată de raportul  $z_+ z_- e_0^2/Dr^2$  este apreciable atunci cînd constanta dielectrică este mică. În soluții neapoase, caracterizate prin valori  $10 \leq D \leq 15$  se pot forma asocieri de 3 ioni, în urma atracției exercitate asupra ionilor de către dipol:



sau



Scăderea constantei dielectrice sub 10 poate facilita formarea unor asocieri încă și mai mari, în care sînt reunite 4,5 sau chiar mai mulți ioni.

Examinarea atentă a modelului norului ionic al lui D e b y e și H ü c k e l conduce la concluzia că pe măsură ce concentrația soluției crește, imaginea despre continuitatea sarcinii în norul ionic devine din ce în ce mai puțin valabilă și norul se manifestă din ce în ce mai net sub un aspect discontinuu discret. Calculele arată că de exemplu, în soluții avînd  $c = 10^{-8}$  moli/l, circa 50% din efectul norului ionic asupra ionului central este exercitat de un număr de 474 ioni. Pentru a realiza acest efect, cei 474 ioni se găsesc grupați în jurul ionului central într-o regiune sferică avînd raza imensă de circa 2 100 nm. În schimb, în soluții ce conțin  $10^{-2}$  moli/l, același efect asupra ionului central este exercitat de un singur ion, a cărui sarcină se cere presupusă ca distribuită continuu într-o sferă avînd raza de cca 2,5 nm. Or, dacă la diluția extrem de mare ce corespunde concentrației de  $10^{-8} M$  imaginea distribuției continue a sarcinii în norul ionic se poate accepta fără discuție, la concentrația  $10^{-2} M$  acest lucru este imposibil, discontinuitatea este flagrant demonstrată.

Pentru a stabili limitele de aplicabilitate a modelului norului ionic, s-a propus compararea dintre distanța medie  $\bar{l}$  care separă ionii dintr-o soluție dată și raza norului ionic, exprimată de  $\chi^{-1}$  (F r a n k, T h o m s o n, 1959).

Distanța medie  $\bar{l}$  se obține astfel: dacă  $c$  moli de electrolit 1 : 1 se găsesc în 1 000 cm<sup>3</sup>, în urma disocierii se vor găsi  $2\mathfrak{N}c$  ioni în același volum. Volumul ce revine unui singur ion fiind 1 000/ $2\mathfrak{N}c$ , rezultă că distanța medie  $\bar{l}$  ce separă 2 ioni se obține extrăgînd rădăcina cubică din raportul de mai sus:

$$\bar{l} = \left( \frac{1\,000}{2\mathfrak{N}c} \right)^{1/3}. \quad (1.175)$$

Dacă  $\chi^{-1} > \bar{l}$ , interacțiunile la mare distanță predomină în comparație cu cele de scurtă distanță, norul este „fin granulat” și deci continuitatea este acceptabilă. Dacă însă  $\chi^{-1} < \bar{l}$ , norul nu mai poate fi considerat

continuu, deoarece nu conține în medie ionul cel mai apropiat. La 25°C, într-un electrolit de tip 1 : 1, dizolvat în apă,

$$\chi = \left( \frac{8\pi \mathfrak{N} c x_i^2 e_0^2}{1000 kT} \right)^{1/2} c^{1/2} = 0,3043 c^{1/2} \text{ nm}, \quad (1.176)$$

și

$$\bar{l} = \left( \frac{1000}{2 \mathfrak{N} c} \right)^{1/3} = 0,9398 c^{1/3} \text{ nm}. \quad (1.177)$$

Reprezentând curbele  $\chi^{-1} \cdot c^{1/2}$  și  $\bar{l} - c^{1/2}$  (fig. 1.35), se observă că ele se intersectează la o valoare  $c = c_{lim} = 10^{-3}M$ , care se poate considera limita de valabilitate a modelului norului ionic.

Introducerea parametrului  $\bar{l}$  care amintește constanta de rețea din starea cristalină, a sugerat analogia dintre starea cristalină și soluțiile concentrate de electrolit. Teoriile elaborate în acest sens au la bază presupunerea unei structuri de cuasi-rețea a soluției concentrate de electrolit și au legături cu modelele structurale imaginate pentru electroliti lichizi puri (topituri saline).

Un argument în favoarea modelului structural îl constituie variația liniară a lui  $\lg f_{\pm}$  în funcție de  $c^{1/3}$ , la concentrații mai mari decât  $10^{-3}M$  (fig. 1.36). S-ar părea că la concentrații moderate, considerarea soluțiilor de electrolit în stare de cuasi-rețea (și care conduce la legea în  $c^{1/3}$  a lui  $\lg f_{\pm}$ ) poate constitui o bază mai reală pentru exprimarea abaterilor de la idealitate (Frank și Thomson, 1959; Desnoyers și Conway, 1964), decât modificările teoriei lui Debye și Hückel, arătate mai sus.

Trebuie menționate, în sfârșit și abordările pe baze mecanic-statistice (Mayer, 1950), folosindu-se teoria grupărilor de molecule de la gazele neideale și adaptându-se soluțiilor de electroliti. Calculele efectuate pentru electroliti de tip 1 : 1, 2 : 1, 3 : 1 și 2 : 2 sînt în bun acord cu experiența și fapt deosebit de valoros, teoria prevede minimul de pe curba  $\lg f_{\pm} \cdot c^{1/2}$ , fără a face apel la modele de hidratare și la efectele perturbatoare ce însoțesc hidratarea.

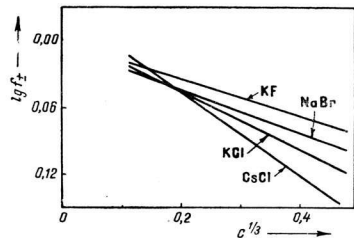


Fig. 1.36. Variația lui  $\lg f_{\pm}$  în funcție de  $c^{1/3}$ .

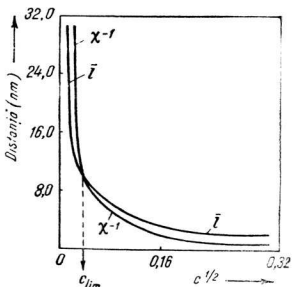


Fig. 1.35. Variația lui  $\chi^{-1}$  și  $\bar{l}$  cu rădăcina patrată a concentrației molare.

Informații extrem de utile asupra constituției soluțiilor de electroliti se obțin cu ajutorul spectroscopiei

de absorbție, în domeniile u.v sau vizibil și a spectroscopiei Raman, de rezonanță electronică de spin. Multiplele interacțiuni dintre radiația electromagnetică sau cimpul magnetic exterior ce traversează soluția și consistența ei se găsesc reflectate în radiația emergentă, a cărei analiză relevă existența fie a ionilor liberi, fie a celor în stare asociată sau angajați în complecși chimici.

Metodelor spectroscopice li se pot adăuga metode termodinamice (determinări de *FEM* în pile reversibile conducind la constanta de disociere, determinări de solubilitate a unor săruri foarte greu solubile, în prezența unor electroliți străini) și conductometrice (conductivitatea soluției este afectată direct de asocierea ionică).

În tabelul 1.34 sînt date valorile coeficienților de activitate medii  $f_{m,\pm}$  ale unor electroliți, în soluție apoasă la 25°C.

Tabelul 1.34

Valorile coeficienților de activitate medii,  $f_{m,\pm}$   
ale unor electroliți, în soluție apoasă, la 25°C

Electrolitul	Molalitatea						
	0,005	0,01	0,05	0,1	0,2	0,5	1,0
AgNO <sub>3</sub>	0,925	0,897	0,793	0,734	0,657	0,536	0,429
Al <sub>2</sub> (SO <sub>4</sub> ) <sub>3</sub>				0,035	0,023	0,014	0,018
BaCl <sub>2</sub>				0,508	0,450	0,403	0,401
Ba(OH) <sub>2</sub>	0,773	0,712	0,526	0,443	0,370		
CaCl <sub>2</sub>	0,789	0,731	0,583	0,518	0,472	0,448	0,500
Ca(ClO <sub>4</sub> ) <sub>2</sub>				0,557	0,532	0,564	0,743
CdCl <sub>2</sub>	0,623	0,524	0,304	0,228	0,164	0,101	0,067
CuCl <sub>2</sub>	0,783	0,723	0,577	0,508	0,455	0,411	0,417
CuSO <sub>4</sub>	0,573	0,438	0,217	0,154	0,104	0,062	0,043
HCl	0,928	0,904	0,830	0,796	0,767	0,757	0,809
H <sub>2</sub> SO <sub>4</sub>	0,639	0,544	0,340	0,265	0,209	0,156	0,132
HClO <sub>4</sub>				0,803	0,778	0,769	0,823
KCl	0,927	0,902	0,816	0,770	0,718	0,649	0,604
KNO <sub>3</sub>	0,926	0,898	0,799	0,739	0,663	0,545	0,443
K <sub>2</sub> SO <sub>4</sub>	0,777	0,711	0,525	0,441	0,360	0,264	
KOH			0,824	0,798	0,760	0,732	0,756
MgCl <sub>2</sub>				0,529	0,489	0,481	0,570
NH <sub>4</sub> NO <sub>3</sub>	0,925	0,897	0,799	0,740	0,677	0,582	0,504
NaCl	0,928	0,903	0,822	0,778	0,735	0,681	0,657
NaClO <sub>4</sub>				0,775	0,729	0,668	0,629
NaNO <sub>3</sub>	0,929	0,905	0,821	0,762	0,703	0,617	0,548
Na <sub>2</sub> SO <sub>4</sub>	0,778	0,714	0,536	0,445	0,365	0,266	0,201
NaOH		0,905	0,818	0,766	0,727	0,690	0,678
NiCl <sub>2</sub>				0,522	0,479	0,464	0,536
ZnCl <sub>2</sub>	0,77	0,71	0,56	0,515	0,462	0,394	0,339
ZnSO <sub>4</sub>	0,477	0,387	0,202	0,105	0,104	0,063	0,043

# ***Bibliografie***

1. J. O'M. Bockris și A. K. N. Reddy. *Modern Electrochemistry*, Plenum Press, New York, 1970, vol. 1, cap. 2 și 3
2. J. E. Desnoyers și C. Jolicoeur, *Hydration Effects and Thermodynamic properties of ions*. In *Modern Aspects of Electrochemistry*, **5**, 1, 1969
3. H. Eyring, D. Henderson și W. Jost (ed.), *Physical Chemistry*, vol. IX a, Electrochemistry, Academic Press, New York, London, 1970, cap. 1
4. S. R. Erlander, *Science J.*, Nov. 1969, p. 60
5. R. A. Horne. *Survey of Progress in Chemistry*, **4**, 2, 1968
6. G. Somsen, *Rec. Trav. Chim.*, **85**, 517, 1966
7. G. Somsen și L. Weeda. *J. Electroanal. Chem.*, **29**, 375, 1971



## 2.

### TRANSPORTUL IONILOR ÎN SOLUȚIE DE ELECTROLIT

Mișcarea ionilor în soluția de electrolit poate avea 3 cauze principale: un gradient de concentrație, care conduce la deplasarea lor prin difuzie; o diferență de potențial între două puncte ale soluției, care poate provoca scurgerea ionilor în sensul câmpului electric, numită migrare sau conducibilitate; în sfârșit, o diferență de temperatură, presiune sau densitate care poate fi responsabilă pentru o scurgere hidrodinamică. În secțiunea prezentă ne vom ocupa cu primele două genuri de transport ionic, cel de al treilea nefiind specific soluțiilor de electroliți ci fluidelor în general, deci, și lichidelor, și gazelor.

#### 2.1 DIFUZIA IONILOR

##### 2.1.1 DIFUZIA STAȚIONARĂ. LEGEA ÎNTÂI A LUI FICK

Fie direcția  $x$  după care concentrația speciei ionice  $i$  variază și direcțiile  $y, z$  după care concentrația este constantă. Diversele planuri imaginare  $yz$  (fig. 2.1) sînt echimolare sau echinormale ( $c_i = \text{constant}$ ). Considerînd soluția îndeajuns de diluată pentru a folosi concentrația la exprimarea potențialului chimic al speciei  $i$ , avem  $\mu_i = \mu_i^0 + RT \ln c_i$ . Deoarece concentrația  $c_i$  variază de-a lungul axei  $x$ , rezultă că și  $\mu$  este variabil după aceeași direcție și că planurilor de egală concentrație le corespund și potențiale chimice egale.

Transferînd 1 mol de specie  $i$  de la concentrația inițială  $c_{i,i}$ , corespunzătoare distanței  $x_i$ , la concentrația  $c_{i,f}$  de la  $x_f$ , variația de potențial chimic va fi:

$$\Delta\mu = \mu_{i,f} - \mu_{i,i} = RT \ln \frac{c_{i,f}}{c_{i,i}} \quad (2.1)$$

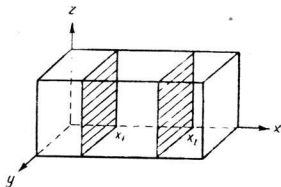


Fig. 2.1. Suprafețe de egală concentrație.

În analogie cu forța gravitațională  $F \left( = - \frac{dE_p}{dx} \right)$ , unde  $dE_p$  este energia potențială investită pentru deplasarea unei mase împotriva atracției gravitaționale de-a lungul parcursului  $dx$  și cu forța electrostatică  $\mathcal{E} \left( = \frac{-d\psi}{dx} \right)$ , unde  $d\psi$  este diferența de potențial între două puncte separate prin distanța  $dx$ , se definește și forța difuzională  $F_D$  prin egalitatea :

$$F_D = - \frac{d\mu_i}{dx} . \quad (2.2)$$

Ea este un gradient al potențialului chimic și apare în mișcarea de difuzie a ionilor dintr-o regiune avînd concentrația mai mare, într-una cu concentrație inferioară. Forța de difuzie  $F_D$  produce un flux de difuzie (sau flux difuziv)  $J_D$ , exprimat prin numărul de moli de specie  $i$  care străbat unitatea de suprafață normală la flux, în unitatea de timp. Dacă  $F_D$  este îndeajuns de mic, se poate scrie directă proporționalitate între  $J_D$  și  $F_D$  :

$$J_D = AF_D, \quad (2.3)$$

unde  $A$  este o constantă.

Comparînd ecuațiile (2.2) și (2.3) mai putem scrie că :

$$J_D = -A \frac{d\mu_i}{dx} . \quad (2.4)$$

Relația (2.2) definește forța difuzională pentru 1 mol de ioni ; dacă însă concentrația în soluția care difuzează este de  $c_i$  moli/l, fluxul de difuzie devine :

$$J_D = -Ac_i \frac{d\mu_i}{dx} . \quad (2.5)$$

Luînd în considerare modul de exprimare al potențialului chimic în soluții ideale ( $\mu_i = \mu_i^0 + RT \ln c_i$ ), se obține relația :

$$J_D = -Ac_i \frac{RT}{c_i} \frac{dc_i}{dx} = -ART \frac{dc_i}{dx} = -D \frac{dc_i}{dx} , \quad (2.6)$$

unde  $D (= ART)$  este constanta de difuzie și are dimensiunile  $\text{cm}^2 \text{s}^{-1}$ . (Trebuie menționat că în ec. (2.6) concentrația se exprimă în moli/ $\text{cm}^3$  și nu în moli/l). Relația exprimă legătura dintre fluxul de difuzie în regim staționar și gradientul de concentrație și e cunoscută din 1855, cînd Fick a elaborat-o empiric ; fluxul  $J_D$  și gradientul de concentrație sînt mărimi vectoriale orientate în sens contrar și astfel se explică semnul negativ din membrul drept. În tabelul 2.1 sînt dați coeficienții de difuzie ai unor ioni ;  $\text{H}^+$  și  $\text{OH}^-$  se remarcă prin valori maxime.

Coeficienții de difuzie ai unor ioni în soluție apoasă, la 25°C

Ion	$D(\text{cm}^2\text{s}^{-1})$	Ion	$D(\text{cm}^2\text{s}^{-1})$
$\text{H}^+$	$9,34 \cdot 10^{-5}$	$\text{OH}^-$	$5,23 \cdot 10^{-5}$
$\text{Li}^+$	$1,04 \cdot 10^{-5}$	$\text{Cl}^-$	$2,03 \cdot 10^{-5}$
$\text{Na}^+$	$1,35 \cdot 10^{-5}$	$\text{Br}^-$	$2,08 \cdot 10^{-5}$
$\text{K}^+$	$1,98 \cdot 10^{-5}$	$\text{CH}_3\text{COO}^-$	$1,09 \cdot 10^{-5}$
$\text{Pb}^{2+}$	$0,98 \cdot 10^{-5}$	$\text{SO}_4^{2-}$	$1,08 \cdot 10^{-5}$
$\text{Cu}^{2+}$	$0,72 \cdot 10^{-5}$	$\text{CrO}_4^{2-}$	$1,07 \cdot 10^{-5}$
$\text{Ni}^{2+}$	$0,69 \cdot 10^{-5}$		
$\text{Zn}^{2+}$	$0,72 \cdot 10^{-5}$		

La temperatură dată,  $D$  este o mărime constantă numai în soluții ideale. Se poate arăta că în soluții reale, din cauza intervenției factorului de activitate  $D$  nu mai este o mărime riguros constantă ci ușor variabilă cu concentrația. Pentru aceasta să considerăm soluția reală, al cărei potențial chimic se exprimă în funcție de activitate:  $\mu_i = \mu_i^0 + RT \ln c_i f_{c,i}$ . În acest caz avem:

$$\begin{aligned}
 J_i &= -A c_i \frac{d}{dx} (\mu_i^0 + RT \ln c_i f_{c,i}) = -A c_i \frac{RT}{f_{c,i} c_i} \frac{d}{dx} (f_{c,i} c_i) = \\
 &= -A RT \frac{1}{f_{c,i}} \left[ f_{c,i} \frac{dc_i}{dx} + c_i \frac{df_{c,i}}{dx} \right] = -A RT \frac{dc_i}{dx} - A RT \frac{c_i}{f_{c,i}} \frac{df_{c,i}}{dx} = \\
 &= -A RT \frac{dc_i}{dx} - A RT \frac{c_i}{f_{c,i}} \frac{df_{c,i}}{dc_i} \frac{dc_i}{dx} = -A RT \frac{dc_i}{dx} \left( 1 + \frac{d \ln f_{c,i}}{d \ln c_i} \right). \quad (2.7)
 \end{aligned}$$

Comparînd cu ecuația (2.6) rezultă că:

$$D = A RT \left( 1 + \frac{d \ln f_{c,i}}{d \ln c_i} \right). \quad (2.8)$$

Din datele tabelului 2.2 se observă că de fapt influența concentrației asupra coeficientului de difuzie este destul de mică și practic, dacă diferența de concentrație care cauzează difuzia nu este prea mare, raportul  $d \ln f_{c,i} / d \ln c_i$

Tabelul 2.2

Variația coeficientului de difuzie cu concentrația electrolitului (25°C)

Electrolit	Concentrația (moli/l)			
	0,05	0,1	0,2	0,5
	$D(\text{cm}^2\text{s}^{-1}) \times 10^5$			
HCl	3,07	3,05	3,06	3,18
LiCl	1,28	1,27	1,27	1,28
NaCl	1,51	1,48	1,48	1,47

fiind mult mai mic decât unitatea,  $D$  poate fi presupus independent de concentrație.

O mai bună înțelegere a fenomenului de difuzie și o imagine fizică mai completă a coeficientului de difuzie sînt posibile prin completarea abordării fenomenologice, macroscopice, de pînă aici, cu o incursiune în intimitatea atomică a fenomenului. Pentru aceasta se reamintesc că ionii din masa soluției sînt animați de o mișcare permanentă și dezordonată, a cărei intensitate crește cu temperatura (mișcare browniană). Teoria fenomenului conduce la definirea unei distanțe patrice medii  $\bar{x}^2$ , egală cu media pătratelor tuturor deplasărilor (în zig-zag) pe care le efectuează ionul în mișcarea sa dezordonată, raportate la un reper imaginar. O caracteristică esențială a mișcării dezordonate a ionilor este proporționalitatea directă dintre  $\bar{x}^2$  și timp.

Să încercăm analizarea mișcării ionilor cu ajutorul schemei din figura 2.2. Planul  $T$ , normal pe direcția  $x$  în care are loc difuzia ionilor, se poate considera separat prin distanța  $(\bar{x}^2)^{1/2}$  de planurile  $P_1$  și  $P_2$  situate la stînga și la dreapta lui. Planul  $T$ , ales ca referință și considerat plan de tranziție, delimitează împreună cu planurile  $P_1$  și  $P_2$ , două compartimente în care concentrațiile ionilor sînt diferite ( $c_1 \neq c_2$ ); concentrația se presupune constantă în planurile  $P_1$ ,  $T$  și  $P_2$ , dar variabilă de-a lungul perpendicularei pe planuri.

În timpul de  $t$  sec., ionii parcurg în mișcarea lor dezordonată o distanță patritică medie  $\bar{x}^2$  sau distanța medie  $\sqrt{\bar{x}^2}$ . Prin urmare, toți ionii din compartimentul stîng vor traversa planul  $T$  în timpul  $t$ , dacă ei se mișcă în sensul săgeții  $a$  (fig. 2.2). Considerînd în compartimentul 1 volumul unei prisme avînd bază de  $1 \text{ cm}^2$  și înălțimea  $\sqrt{\bar{x}^2}$ , numărul total al molilor de ioni cuprins în acesta va fi  $c_1 \sqrt{\bar{x}^2}$ . Dar deoarece mișcarea ionilor este dezordonată, probabilitatea mișcării în sensul indicat de săgeata  $a$  este egală cu probabilitatea mișcării în sens contrar, astfel că numărul molilor de ioni care traversează planul  $T$  în timpul  $t$ , venind din compartimentul 1 este  $\frac{1}{2} c_1 \sqrt{\bar{x}^2}$ , iar al celor care-l traversează într-o secundă este  $\frac{1}{2} c_1 \sqrt{\bar{x}^2}/t$ . În mod analog, numărul de moli de ioni care traversează planul  $T$  în sensul săgeții  $b$ , venind din compartimentul (2), în timp de o secundă este  $\frac{1}{2} c_2 \sqrt{\bar{x}^2}/t$ .

Rezultă că fluxul de difuzie al ionilor de-a curmezișul planului  $T$  de la stînga la dreapta, va fi:

$$J_D = \frac{1}{2} \frac{\sqrt{\bar{x}^2}}{t} (c_1 - c_2). \quad (2.7)$$

Ecuția (2.7) scoate în evidență că difuzia, considerată la scară atomică este condiționată de diferența dintre densitățile ionice din cele două compartimente între care are loc difuzia; asupra particulelor nu se manifestă nici o forță specială (difuzivă) în timpul transportului lor. Gradientul de potențial chimic (v. ec. 2.2) constituie doar formal echivalentul unei forțe, deoarece efectul său se limitează numai la abordarea macroscopică a difuziei; analogia cu forța electrică sau intensitatea  $\mathcal{E}$  a cîmpului electric, care acționează asupra unității de sarcină electrică, nu poate fi extinsă la scară microscopică.

Exprimînd gradientul de concentrație în sensul săgeții  $(a)$ , avem:

$$\frac{dc}{dx} = \frac{c_2 - c_1}{\sqrt{\bar{x}^2}} = - \frac{c_1 - c_2}{\sqrt{\bar{x}^2}} \quad (2.8)$$

sau

$$c_1 - c_2 = - \sqrt{\bar{x}^2} \frac{dc}{dx}. \quad (2.9)$$

Introducînd ecuația (2.9) în egalitatea (2.7), se obține:

$$J_D = - \frac{1}{2} \frac{\bar{x}^2}{t} \frac{dc}{dx}. \quad (2.10)$$

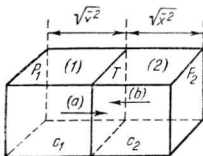


Fig. 2.2. Planul de tranziție  $T$  imaginat dintre compartimentele în care  $c_1 \neq c_2$ .

Comparind ecuația (2.1) cu prima lege a lui Fick (ec. 2.6), se vede că

$$D = \frac{\bar{x}^2}{2t} \quad (2.11)$$

sau

$$\bar{x}^2 = 2Dt. \quad (2.11 a)$$

Ecuația (2.11a) este relația lui Einstein-Smoluchovski care stabilește o punte de legătură între aspectul microscopic al mișcării dezordonate a ionilor și coeficientul de difuzie din legea întâi a lui Fick, stabilită macroscopic. Coeficientul 2 rezultă din presupunerea simplificatoare despre mișcarea dezordonată într-o singură dimensiune (înainte și înapoi) a ionilor. O considerare mai riguroasă (mișcare după cele 3 axe de coordonate ale unui sistem spațial) ar fi condus la valoarea 6 a coeficientului.

## 2.1.2 DIFUZIA NESTAȚIONARĂ. A DOUA LEGE A LUI FICK

În secțiunea precedentă ne-am ocupat de difuzia în condiții staționare, caracterizată prin constanța în timp a fluxului  $J_D$  și a forței motoare  $F_D$  a difuziei. Bineînțeles, regimul staționar nu se atinge instantaneu ci într-un interval de timp, în care concentrația (sau difuzia în ultimă instanță) sînt dependente de timp. Modul în care variază concentrația cu timpul este arătat de cea de-a doua lege a lui Fick, pentru a cărei demonstrare să considerăm experiența imaginară schițată în figura 2.3. Paralelipipedul schițat în figură are baza unitară și lungimea  $dx$ , iar ionii difuzează prin el, venind dinspre stînga ( $P_{st}$ ) și ieșind prin fața laterală din dreapta ( $P_{dr}$ ). Să presupunem concentrația ionilor o funcție continuă de  $x$ . Dacă prin  $c$  se notează concentrația pe fața laterală din stînga, valoarea ei pe fața laterală din dreapta este:

$$c + \frac{dc}{dx} dx.$$

Folosind prima lege a lui Fick pentru a exprima fluxul de ioni ce pătrunde prin  $P_{st}$  și iese prin planul  $P_{dr}$ , se obține:

$$J_{D,st} = -D \frac{dc}{dx} \quad (2.12)$$

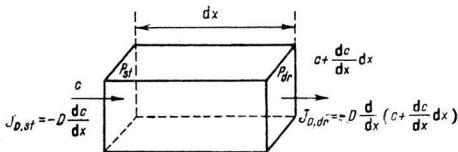


Fig. 2.3. Paralelipipedul folosit în experiența pentru demonstrarea celei de a doua legi a lui Fick.

și respectiv

$$\begin{aligned} J_{D,dr} &= -D \frac{d}{dx} \left( c + \frac{dc}{dx} dx \right) \\ &= -D \frac{dc}{dx} - D \frac{d^2c}{dx^2} dx. \end{aligned} \quad (2.13)$$

Valoarea netă a fluxului ce iese din elementul de volum  $dx$  va fi :

$$J_{D,st} - J_{D,dr} = +D \frac{d^2c}{dx^2} dx. \quad (2.14)$$

Fluxul net pe unitatea de volum și în unitatea de timp este  $Dd^2c/dx^2$  și reprezintă tocmai variația în unitatea de timp a fluxului de ioni, emergent din paralelipipedul elementar, adică tocmai variația  $\frac{dc}{dt}$  a concentrației cu timpul. Deoarece concentrația  $c$  depinde și de distanța  $x$  și de timpul  $t$ , în ecuație trebuie introduse derivatele parțiale :

$$\left( \frac{\partial c}{\partial t} \right)_x = D \frac{\partial^2 c}{\partial x^2}. \quad (2.15)$$

Această ecuație cu derivate parțiale este cunoscută sub numele de a doua lege a lui Fick și constituie baza de abordare a multor probleme de electrochimie în care apare difuzia dependentă de timp.

Deoarece rezolvarea funcției  $c = f(x, t)$  exprimată de ecuația (2.15), ca de altfel a tuturor ecuațiilor diferențiale cu derivate parțiale, este mult mai dificilă decât a unor ecuații cu derivate totale (cum este de exemplu ecuația liniarizată a lui Poisson-Boltzmann), se preferă transformarea celor dintii în al doilea tip, folosind metoda de transformare a lui Laplace. Aplicată la o funcție oarecare  $y = f(z)$ , metoda constă din următoarele două etape : înmulțirea funcției  $y = f(z)$  cu  $e^{-pz}$ , unde  $p$  este o mărime pozitivă, independentă de  $z$  și integrarea produsului  $ye^{-pz} (= f(z)e^{-pz})$  în raport cu  $z$ , între limitele 0 și  $\infty$ . Deci : transformata Laplace a funcției  $y = f(z)$  este :

$$\bar{y} = \int_0^{\infty} e^{-pz} y dz \quad \text{sau} \quad \int_0^{\infty} e^{-pz} f(z) dz. \quad (2.16)$$

Să aplicăm metoda de transformare la ecuația (2.15), când se obține :

$$p\bar{c} - c_{t=0} = D \frac{d^2\bar{c}}{dx^2}, \quad (2.17)$$

unde  $\bar{c} = \int_0^{\infty} e^{-pt} c dt$  este transformata Laplace a concentrației ;  $p$  este mărimea pozitivă independentă de timp, iar  $c_{t=0}$  valoarea la  $t=0$  a concentrației. Ecuația (2.17) este o ecuație cu derivată totală, deoarece conține o singură variabilă,  $x$ .

Se știe că rezolvarea ecuațiilor diferențiale constă în aflarea funcțiilor primitive; în cazul legii a doua a lui Fick, primitiva este o funcție oarecare de forma  $c = f(x, t)$ . De asemenea, este cunoscut faptul că în operația de derivare constantele se anulează; având în vedere că la ecuația (2.15) se ajunge după derivarea triplă a funcției primitivei, se conchide că în funcția  $c = f(x, t)$  care exprimă o dependență bine precizată a concentrației, caracteristică unui caz particular de difuzie nestaționară, se elimină 3 constante sau caracteristici.

Cele 3 caracteristici sau condiții, cum se mai numesc, ale unui proces de difuzie particular, nu se pot descoperi pe cale pur matematică. Pentru aceasta trebuie să se aprofundeze sensul fizic al procesului de difuzie, ceea ce se va încerca în exemplul de mai jos, care constituie o problemă de difuzie electrochimică tipică.

Să considerăm o celulă de electroliză, în care se găsesc doi electrozi inerti, legați la polii unei surse de curent continuu. Prin închiderea circuitului la electrozi se declanșează reacții de electrod care consumă specie activă din soluție. Din cauza aceasta concentrația soluției se modifică în preajma electrodului și astfel ia naștere un gradient de concentrație, care determină fluxul de ioni (specie activă) dinspre volumul soluției spre electrod. Prin urmare, curentul controlat din exterior cauzează un flux de difuzie în interiorul soluției. În aceste condiții, difuzia este guvernată de a doua lege a lui Fick (ec. 2.15 sau 2.17). Pentru rezolvarea ecuației diferențiale (2.15) trebuie stabilite cele 3 condiții de care am pomenit mai înainte.

Natura uneia din ele reiese clar din termenul  $c_{t=0}$  din transformata Laplace (ec. 2.17). Deoarece el se referă la perioada de timp ce precede declanșarea procesului de electroliză și deci înainte de inițierea difuziei, nu poate fi vorba de cât despre concentrația de volum  $c^v$  a soluției neperturbate. Deci:

$$c_{t=0} = c^v. \quad (2.18)$$

Celelalte două condiții se referă la soluția în care difuzia ionilor a fost deja declanșată; ele se referă la limitele sistemului și de aceea, spre deosebire de precedentă, numită condiție inițială, acestea se vor numi condiții limită.

Una din ele se referă la zona foarte depărtată de locul în care s-a declanșat difuzia; acolo, specia care difuzează este practic neperturbată și concentrația ei rămâne neschimbată ca în condiția inițială. Deci:

$$c_{x \rightarrow \infty} = c_{t=0} = c^v. \quad (2.19)$$

Concentrația speciei care difuzează este aceeași, indiferent că se referă la orice valoare  $x$  corespunzătoare la  $t = 0$  sau la orice valoare a lui  $t$  corespunzătoare la  $x = \infty$ ; aceasta este variabilă aproape în orice problemă de difuzie electrochimică în care la  $t = 0$  se închide circuitul și se pornește reacția de transfer de sarcină de la interfața electrod-electrolit.

Ceea ce este însă caracteristic unui proces de difuzie electrochimică oarecare și îl distinge de toate celelalte, este natura fluxului difuziv declanșat la  $t = 0$ . Acesta determină un curent electric constant, ceea ce denotă că speciile difuzive sînt consumate cu viteză constantă la interfață și de

asemenea, că speciile difuzează cu viteză constantă. Cu alte cuvinte, fluxul speciei difuzive este constant la limita  $x = 0$  a soluției.

Din multe puncte de vedere este convenabil să se presupună că valoarea constantă a fluxului este 1, adică 1 mol de specie difuzează prin interfața electrod-electrolit de 1 cm<sup>2</sup>, în timpul de 1 sec. Această unitate de flux corespunde unei densități de curent de 1 A/cm<sup>2</sup>. Normalizarea de mai sus a fluxului nu afectează aproape de loc generalitatea discuției, deoarece în orice sistem, răspunsul de concentrație la un flux arbitrar se poate obține ușor din răspunsul de concentrație la unitatea de flux.

Rezultă deci, că, la  $t < 0$ ,  $J_D = 0$ , iar la  $t > 0$ ,  $J_D = \text{const.} = 1$ ; variația teoretică, în timp a lui  $J_D$  la  $t = 0$ , este bruscă, în formă de treaptă.

La orice moment, fluxul constant la limita soluției ( $x = 0$ ) este corelat cu gradientul de concentrație prin legea înțîi a lui Fick:

$$J_{D,x=0} = 1 = -D \left( \frac{\partial c}{\partial x} \right)_{x=0} \quad (2.20)$$

Condiția (2.20) alături de celelalte două (2.18) și (2.19), descriu fenomenul difuziei cu flux constant. Ele servesc la rezolvarea celei de-a doua legi a lui Fick, a cărei soluție este:

$$c = c^v - \frac{1}{D^{1/2}} \left[ \frac{2t^{1/2}}{\pi^{1/2}} \exp \left( -\frac{x^2}{4Dt} \right) - \frac{x}{D^{1/2}} \operatorname{erfc} \left( \frac{x^2}{4Dt} \right)^{1/2} \right], \quad (2.21)$$

unde  $\operatorname{erfc}(y) = 1 - \operatorname{erf}(y)$  reprezintă complementul funcției de eroare

$$\operatorname{erf}(y) \text{ (v. fig. 2.4)}; y = \left( \frac{x^2}{4Dt} \right)^{1/2}, \text{ iar } \operatorname{erf}(y) = \frac{2}{\sqrt{\pi}} \int_0^y e^{-u^2} du.$$

Ecuția (2.21) arată modul în care variază concentrația speciei care difuzează cu distanța de la interfața electrod-electrolit și cu timpul scurs de la declanșarea fluxului unitar constant. De asemenea, ea descrie răspunsul de difuzie al soluției de electrolit la intervenția unor stimuli de flux.

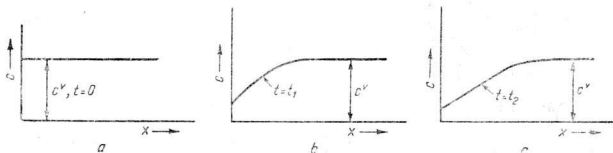


Fig. 2.5. Variația concentrației cu distanța de la electrod;  $t_2 > t_1 > t = 0$ . De reținut că la  $t > 0$ ,  $(dc/dx)_{x=0} = \text{const.}$ , cum ar reieși din problema difuziei la flux constant.

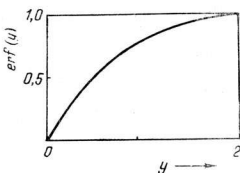


Fig. 2.4. Variația  $\operatorname{erf}(y)$  cu argumentul  $y$ .



Natura răspunsului se poate aprecia mai bine din profilul de variație al concentrației cu  $x$ , la diverse timpuri (fig. 2.5,  $a$ ,  $b$  și  $c$ ).

Ecuția (2.21) are mare valoare în descrierea răspunsului unui sistem electrochimic la o densitate de curent care variază sub formă de trepte. Acest răspuns caracteristic de concentrație, constituie baza unei tehnici electroanalitice importante (v. secț. 5.5.3.1.).

## 2.2 CONDUCTIBILITATEA ELECTRICĂ A SOLUȚIILOR DE ELECTROLIT

Crearea unui câmp electric într-o soluție de electrolit întrerupe mișcarea dezordonată a ionilor și declanșează o mișcare ordonată soldată cu transportul ionilor spre cei doi electrozi; această mișcare orientată se numește migrare și constituie baza conductibilității electrice a soluțiilor de electrolit. Ionii pozitivi migrează spre catod, motiv pentru care se numesc și cationi, iar ionii negativi migrează spre anod și din acest motiv primesc și numele de anioni. La prima vedere, s-ar părea că din cauza câmpului electric din soluție și a migrării ionilor se petrece o separare a sarcinilor și electroneutralitatea din soluție, existentă la distanțe superioare grosimii norului ionic ( $\lambda^{-1}$ ) înainte de stabilirea câmpului electric, ar fi de acum suprimată. Separarea sarcinilor s-ar solda apoi cu apariția unui câmp propriu al ionilor, opus ca sens câmpului aplicat; în momentul în care intensitatea câmpului electric aplicat, ar egala câmpul ionilor migrarea lor, s-ar opri și conductibilitatea n-ar mai fi posibilă. Și totuși experiența atestă existența conductibilității ionice a soluțiilor de electroliti. Pentru reconcilierea contradicției ne vom adresa la interfețele electrod-electrolit din celula de electroliză, sedii ale unor reacții de electrod soldate cu transfer de sarcină și anume: acceptarea de electroni (de la anioni) la electrodul pozitiv și de furnizare de electroni (cationilor) la electrodul negativ. La anod are deci loc oxidarea ionilor, iar la catod reducerea lor. În regim de curent staționar, trebuie

să existe continuitate între curentul ionic  $I_i$  din soluție și cel electronic  $I_e$  care încheie circuitul celulei de electroliză (fig. 2.6) și conform legii lui Kirchhoff, care spune că suma algebrică a curenților la orice joncțiune trebuie să fie nulă,

$$I_i = I_e. \quad (2.22)$$

Considerînd că scurgerea curentului are loc în timpul  $t$ , mai avem:

$$I_i t = Q_i = I_e t = Q_e. \quad (2.23)$$

Prin urmare cantitatea de electricitate transportată de electroni este egală cu aceea transportată de ioni în soluție. Cu alte cuvinte numărul de electroni transferați anodului va

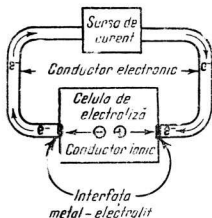


Fig. 2.6. Circuitul unei celule de electroliză alcătuit dintr-un conductor electronic și un conductor ionic.

fi egal cu numărul electronilor furnizați ionilor la catod și astfel electro-neutralitatea soluției nu este afectată, iar câmpul electric aplicat își poate exercita forța motoare necesară pentru migrarea ionilor.

## 2.2.1 CONDUCTIVITATEA SOLUȚIILOR DE ELECTROLIȚI. CONDUCTIBILITĂȚILE ECHIVALENTĂ ȘI MOLARĂ

Ca și în cazul difuziei, la valori mici ale câmpului electric  $\mathcal{E}$  (care joacă rolul forței motoare) se poate scrie proporționalitatea dintre fluxul staționar de ioni  $J_i$  și  $\mathcal{E}$

$$J_i = B\mathcal{E}, \quad (2.24)$$

$J_i$  reprezintă numărul de moli de ioni care traversează unitatea de suprafață în unitatea de timp. Dacă  $J_i$  se înmulțește cu sarcina  $zF$  ce revine unui mol de ioni ( $z = z_-e_0$  sau  $z_+e_0$ ), se obține densitatea de curent  $i$ , care este intensitatea de curent raportată la unitatea de suprafață sau așa numitul flux de sarcină:

$$J_i z F = i = z F B \mathcal{E}. \quad (2.25)$$

Dacă se notează  $zFB = \lambda$ , unde  $\lambda$  este o constantă la temperatură dată și la un electrolit de concentrație determinată, se mai poate scrie:

$$\mathcal{E} = \frac{i}{\lambda}. \quad (2.26)$$

Pe de altă parte, câmpul electric  $\mathcal{E}$  se poate exprima în funcție de tensiunea  $E_B$  la bornele celulei de electroliză

$$\mathcal{E} = \frac{E_B}{l}, \quad (2.27)$$

unde  $l$  este distanța care separă electrozii.

Compararea ultimelor două egalități duce la:

$$\frac{E_B}{l} = \frac{i}{\lambda}, \quad (2.28)$$

sau

$$E_B = \frac{l}{\lambda s} I, \quad (2.29)$$

dacă se introduce intensitatea de curent,

$$I = is, \quad (2.30)$$

Se observă că în ecuația (2.29) care exprimă legea lui *Ohm*, raportul  $l/\lambda s$  determină rezistența  $R$  a soluției

$$\frac{l}{\lambda s} = R. \quad (2.31)$$

Comparația cu egalitatea care exprimă rezistența unui rezistor avînd lungimea  $l$ , secțiunea  $s$  și rezistivitatea  $\rho$ ,

$$R = \rho \frac{l}{s}, \quad (2.32)$$

ne face să conchidem că:

$$\lambda = \frac{1}{\rho}, \quad (2.33)$$

este conductibilitatea specifică sau conductivitatea soluției de electrolit (v. tab. 2.3).

*Tabelul 2.3*

**Conductivitățile unor soluții de electroliți alături  
de conductivitățile unor metale și ale unor neelectroliți**

Conductorul	Tip de conductor	$\lambda$ (Mho $^{-1}$ cm $^{-1}$ )	$t$ (°C)
Fier	metalic	$1,1 \cdot 10^5$	0
Plumb	metalic	$4,9 \cdot 10^5$	0
Cupru	metalic	$5,8 \cdot 10^5$	20
KCl, sol. 0,1 M	ionic	$1,3 \cdot 10^{-2}$	25
H <sub>2</sub> SO <sub>4</sub> , sol. 4 M	ionic	$7,5 \cdot 10^{-1}$	18
H <sub>2</sub> O	neelectrolit	$3,84 \cdot 10^{-8}$	18
Xilen	neelectrolit	$1 \cdot 10^{-19}$	25

Analog cu un rezistor, și rezistența celulei de electroliză în curent continuu este direct proporțională cu lungimea coloanei de lichid dintre electrozi și invers proporțională cu secțiunea coloanei de lichid. Rearanjînd ecuația (2.31) sub forma:

$$\lambda = \frac{1}{R} \cdot \frac{l}{s}, \quad (2.31 \text{ a})$$

se observă că  $\lambda$  reprezintă conductibilitatea  $\frac{1}{R}$  a unei coloane de soluție electrolitică avînd lungimea de 1 cm și secțiunea de 1 cm<sup>2</sup> și are dimensiunile  $\Omega^{-1}\text{cm}^{-1}$  (= Mho  $\cdot$  cm $^{-1}$ ).

Spre deosebire de metale, care se mai numesc și conductori de specia întâi, soluțiile de electroliți se consideră și conductori de specia a doua; este încă o modalitate de a face distincție între conductibilitatea electrică asigurată de un flux de electroni și cea datorată unui flux de ioni.

Datorită variației cu concentrația ionilor în soluție, definirea macroscopică a conductibilității electrolitice numai pe baza normalizării volumului de electrolit cum s-a făcut la definirea lui  $\lambda$ , nu este suficientă. Iar unul și același electrolit la temperatură constantă, conductivitatea nu este aceeași atunci cînd concentrația variază (v. tab. 2.4). De aceea o nouă normali-

Variația conductibilității cu concentrația soluției de electrolit

Concentrația g KCl/1 000 g soluție	$\lambda$ (Mho $\text{cm}^{-1}$ )		
	0°C	18°C	25°C
1,0	$651 \cdot 10^{-4}$	$97,79 \cdot 10^{-3}$	$111,87 \cdot 10^{-3}$
0,1	$71,344 \cdot 10^{-4}$	$11,161 \cdot 10^{-3}$	$12,896 \cdot 10^{-3}$
0,01	$7,733 \cdot 10^{-4}$	$1,22 \cdot 10^{-3}$	$1,427 \cdot 10^{-3}$

zare este necesară pentru a face comparabile conductibilitățile a două soluții de electroliti diferiți; noua normalizare este definită de relația:

$$\Lambda_M = \frac{\lambda}{c} = \lambda V \quad (2.34)$$

unde  $c$  este mereu concentrația molară;  $V$  — volumul, în  $\text{cm}^3$ , care conține 1 mol de substanță, iar  $\Lambda_M$  — așa numita conductibilitate molară. Se vede că  $\Lambda_M$ , care are dimensiunile  $\text{Mho} \cdot \text{cm}^2$ , reprezintă conductibilitatea unui mol de electrolit, conținut într-o prismă care ar avea suprafața bazei unitară și lungimea astfel încât să se obțină volumul  $V$ , în care se găsește 1 mol. De exemplu, la o soluție 1  $M$ ,  $V = 10^3 \text{ cm}^3$ , la una 0,01  $M$ ,  $V = 10^5 \text{ cm}^3$ , iar la una 10  $M$ ,  $V = 10^2 \text{ cm}^3$ . Tabelul 2.5 conține conductibilitățile molare ale câtorva soluții de electroliti de diverse tipuri (1:1, 2:1 și 1:2). Se pune întrebarea dacă este sau nu justificată compararea conductibilităților molare corespunzătoare unor săruri de diverse tipuri, deoarece ionii nu transportă aceeași sarcină în toate cazurile. Într-adevăr, este mult mai potrivită compararea conductibilității datorate unor cantități echivalente de sarcină. Pentru aceasta însă, valorile  $\Lambda_M$  trebuie raportate la unitatea de sarcină, ceea ce revine la împărțirea conductibilității molare cu  $z$ , sarcina (sau valența) ionului:

$$\Lambda = \frac{\Lambda_M}{z} = \frac{\lambda}{cz} = \frac{\lambda}{z} V, \quad (2.35)$$

unde  $\Lambda$  este conductibilitatea echivalentă.

Tabelul 2.5

Conductibilitățile molare ale unor soluții de electrolit la 25°C;  $c = 10^{-2} M$ .

Electrolitul	$\Lambda_M (\text{Mho} \cdot \text{cm}^2)$
KCl	141,3
NaCl	118,51
$\text{MgCl}_2$	229,2
$\text{Na}_2\text{SO}_4$	224,8

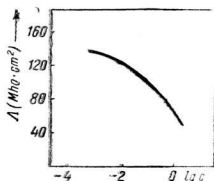


Fig. 2.7. Variația conductibilității echivalente cu concentrația  $\text{CaCl}_2$  la 25°C.

Tabelul 2.6

Conductibilitățile echivalente  $\Lambda$  (Mho  $\text{cm}^2$ ) ale unor soluții de electroliți, la 3 concentrații și două temperaturi diferite

Electrolitul	Concentrația					
	$10^{-3}N$		$10^{-2}N$		$10^{-1}N$	
	18°C	25°C	18°C	25°C	18°C	25°C
HCl	377	421,36	370	412,0	351	392,32
HNO <sub>3</sub>	375	—	360	—	301	—
H <sub>2</sub> SO <sub>4</sub>	361	—	309	—	233	—
CH <sub>3</sub> COOH	41	—	14,3	—	4,6	5,2
LiCl	96,5	112,4	92,1	107,32	82,4	100,11
LiNO <sub>3</sub>	92,9	—	88,6	—	79,2	—
Li <sub>2</sub> SO <sub>4</sub>	96,4	—	86,85	—	68,2	—
NaOH	208	244,71	200	283,3	183	—
NaCl	106,5	123,74	101,95	118,51	92,0	111,06
NaNO <sub>3</sub>	102,85	—	98,2	—	87,2	—
CH <sub>3</sub> COONa	75,2	88,5	70,2	83,76	61,1	72,80
Na <sub>2</sub> SO <sub>4</sub>	106,7	124,15	96,8	112,44	78,4	89,98
KBr	129,4	—	124,4	143,43	114,2	131,39
KI	128,2	—	123,4	142,18	114,0	113,11
KNO <sub>3</sub>	123,7	141,84	118,2	132,82	104,8	120,40
CH <sub>3</sub> COOK	98,3	112,79	94	108,16	83,8	—
K <sub>4</sub> [Fe(CN) <sub>6</sub> ]	—	167,24	—	134,83	53	97,87
CsCl	130	—	125,2	—	113,5	—
NH <sub>4</sub> OH	28	—	9,6	—	3,3	—
MgCl <sub>2</sub>	106,35	124,11	98,1	114,55	83,4	97,10
MgSO <sub>4</sub>	99,8	—	76,2	—	49,7	—
CaCl <sub>2</sub>	111,95	130,36	103,4	120,36	88,2	108,47
CaSO <sub>4</sub>	104,3	—	77	—	—	—
LaCl <sub>3</sub>	—	137,0	—	121,8	—	99,1

Conductibilitățile echivalente ale unor soluții de electroliți sînt date în tabelul 2.6. Se vede că la majoritatea electroliților,  $\Lambda$  se situează în jurul valorii de  $(100 \pm 25)$  Mho  $\text{cm}^2$ . De asemenea, tot din tabelul 2.6, precum și din tabelul 2.7, figura 2.7 și figura 2.8 mai rezultă că, în ciuda normalizărilor de mai sus,  $\Lambda$  continuă să varieze cu concentrația și anume, să

Tabelul 2.7

Variația conductibilității echivalente cu concentrația soluției de KCl (25°C)

Concentrația (moli/l)	$\Lambda$ (Mho. $\text{cm}^2$ )
$1 \cdot 10^{-3}$	146,9
$5 \cdot 10^{-3}$	143,5
$1 \cdot 10^{-2}$	141,2
$2 \cdot 10^{-2}$	138,2
$5 \cdot 10^{-2}$	133,3
$1 \cdot 10^{-1}$	128,9

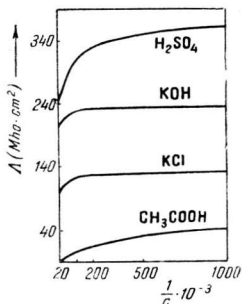


Fig. 2.8. Variația conductibilității echivalente cu diluția la 18°C.

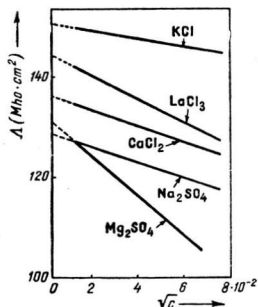


Fig. 2.9. Conductibilitatea echivalentă variază liniar cu  $\sqrt{c}$ .

crească pe măsură ce aceasta din urmă scade. În figura 2.8 variația conductibilității echivalente este reprezentată în funcție de diluția ( $= \frac{1}{c}$ ) soluției, la 18°C.

Cercetarea variației lui  $\Lambda$  cu concentrația (sau diluția) arată că  $\Lambda$  tinde spre o valoare maximă limită în soluție de diluție infinită. Deoarece în condiții de mare diluție (echivalente unor concentrații foarte mici) efectele interacțiunilor ionice sînt practic nule, valoarea limită  $\Lambda_0$  a conductibilității echivalente poate constitui o bună bază de comparație a capacității electroconductoare a diverșilor electroliți. Se remarcă faptul că și în cazul migrării (sau al conductibilității ionice) proces ireversibil, de neechilibru, starea de extremă diluție constituie stare de referință, întocmai ca și la tratarea echilibrului interionic din soluție (secț. 1).

Valorile conductibilităților echivalente la diluție limită (v. tab. 2.8) pentru electroliții reali se obțin prin reprezentarea lui  $\Lambda$  în funcție de  $\sqrt{c}$  și extrapolarea dreptei obținute la  $c = 0$  (fig. 2.9).

Tabelul 2.8

Valori ale lui  $\Lambda_0$  (Mho.cm<sup>2</sup>) pentru cîțiva electroliți la 25°C

	K <sup>+</sup>	Na <sup>+</sup>	Li <sup>+</sup>	Tl <sup>+</sup>	H <sup>+</sup>	Ca <sup>2+</sup>
Cl <sup>-</sup>	149,87	126,46	115,03	151,25	426,0	135,7
NO <sub>3</sub> <sup>-</sup>	144,96	121,55	110,12	146,34	421,2	—
F <sup>-</sup>	128,92	105,51	—	130,3	—	—
OH <sup>-</sup>	271,1	247,9	—	—	—	—
Fe(CN) <sub>6</sub> <sup>4-</sup>	183,9	—	—	—	—	—
SO <sub>4</sub> <sup>2-</sup>	—	—	—	—	429,8	—

Variația liniară a conductibilității echivalente cu  $\sqrt{c}$ , conduce la relația :

$$\Lambda = \Lambda_0 - A \sqrt{c}, \quad (2.36)$$

cunoscută sub numele de legea lui Kohlrausch care a demonstrat-o empiric. Fundamentarea ei teoretică a venit vreo 40 ani mai târziu, pe baza teoriei lui Debye și Hückel. Relația (2.36) este valabilă nu numai în mediu apos ci și în solvenți neapoși. Trebuie relevat faptul că variația experimentală a lui  $\Lambda$  în funcție de  $\sqrt{c}$  nu depinde atât de natura particulară a electrolitului cît mai ales de tipul acestuia (1:1, 2:1, 3:1 etc.).

Bazele teoretice ale ecuației lui Kohlrausch vor fi prezentate în secțiunea 2.2.2, după o prealabilă incursiune în atomismul fenomenului de conductibilitate ionică. Pînă atunci ne vom mulțumi să menționăm că valoarea conductibilității echivalente limită,  $\Lambda_0$ , se compune aditiv din contribuțiile ionilor care alcătuiesc electrolitul (legea migrației independente a ionilor) :

$$\Lambda_0 = \Lambda_{0,+} + \Lambda_{0,-}. \quad (2.37)$$

Aditivitatea la  $\Lambda_0$  este ușor de înțeles, dacă presupunem că în soluție extrem de diluată contribuțiile ionice  $i_+$  și  $i_-$  la fixarea densității de curent totale  $i$ , se adună, ca și cînd ionii ar migra independent, neîntreținându-se reciproc :

$$i = i_+ + i_-. \quad (2.38)$$

Deoarece

$$i = \lambda \mathcal{E}, \quad (2.26)$$

iar  $\mathcal{E}$  este mărime vectorială, rezultă că și  $i$  este de asemenea o mărime vectorială. Prin urmare :

$$\vec{i} = \vec{i}_+ + \vec{i}_- \quad (2.38 a)$$

(fluxul  $\vec{J}_+$  al ionilor pozitivi dă naștere componentei  $\vec{i}_+$ , iar fluxul  $\vec{J}_-$  de sens contrar al ionilor negativi, corespunde componentei  $\vec{i}_-$ . Prin convenție sensul pozitiv al curentului este cel al scurgerii sarcinilor pozitive sau sensul contrar scurgerii sarcinilor negative. De aceea, fluxul de ioni pozitivi  $\vec{J}_+$  corespunde unui curent orientat către electrodul negativ  $\vec{i}_+$ , iar fluxul ionilor negativi  $\vec{J}_-$  corespunde densității de curent  $\vec{i}_-$ , orientată în același sens ca  $\vec{i}_+$ ).

Combinarea ecuațiilor (2.26) și (2.38a) conduce la :

$$\lambda = \lambda_+ + \lambda_-, \quad (2.39)$$

dacă se notează

$$\frac{\vec{i}_+}{\mathcal{E}} = \lambda_+ \quad \text{și} \quad \frac{\vec{i}_-}{\mathcal{E}} = \lambda_-. \quad (2.40)$$

Introducând specificarea corespunzătoare diluției infinite și conductibilitatea echivalentă, rezultă legea migrației independente a lui Kohlrausch:

$$\Lambda_0 = \Lambda_{0,+} + \Lambda_{0,-}, \quad (2.37)$$

conductibilitatea echivalentă la diluție infinită a unei soluții de electrolit este egală cu suma conductibilităților echivalente ale ionilor constitutivi, în aceleași condiții de diluție. În tabelul 2.9 sînt date conductibilități

Tabela 2.9

Conductibilități ionice echivalente limită, în soluții apoase

Cationul	$\Lambda_{0,+}$		Anionul	$\Lambda_{0,-}$	
	18°C	25°C		18°C	25°C
$H^+$	315	349,8	$OH^-$	174	197,6
$D^+$	—	242,4			
$Li^+$	32,55	38,69	$OD^-$	—	119
$Na^+$	42,6	50,11	$F^-$	47,6	55,4
$K^+$	63,65	73,50	$Cl^-$	66,3	76,34
$Rb^+$	66,3	77,8	$Br^-$	68,2	78,14
$Cs^+$	66,8	77,3	$I^-$	66,8	76,97
$NH_4^+$	63,6	73,4	$CN^-$	—	82
$Ag^+$	53,25	61,92	$CNS^-$	57,4	66
$Tl^+$	64,8	74,7	$NO_3^-$	62,6	71,44
$1/2 Be^{2+}$		45	$ClO_4^-$	59,1	67,4
$1/2 Mg^{2+}$	44,6	53,06	$IO_3^-$	34,8	40,7
$1/2 Ca^{2+}$	50,4	59,50	$BrO_3^-$	49,0	55,7
$1/2 Sr^{2+}$	50,6	59,46	$ClO_3^-$	55,8	64,6
$1/2 Ba^{2+}$	54,35	63,64	$IO_4^-$	49	54,5
$1/2 Cu^{2+}$	45,3	56,6	$MnO_4^-$	53	61
$1/2 Zn^{2+}$	45,0	52,8	$HCO_3^-$	—	44,5
$1/2 Cd^{2+}$	45,1	54	$H_2PO_4^-$	28	36
$1/2 Pb^{2+}$	60,5	70	$HS^-$	57	65
$1/2 Mn^{2+}$	44,5	53,5	$HSO_4^-$	—	52
$1/2 Fe^{2+}$	~ 44,5	~ 53,5	$1/2 CO_3^{2-}$	60,5	69,3
$1/3 Fe^{3+}$	—	68	$1/2 SO_4^{2-}$	68,7	80
$1/3 Cr^{3+}$	—	67	$1/2 CrO_4^{2-}$	72	83
$1/3 La^{3+}$	—	69,8	$1/3 PO_4^{3-}$	—	92,8
$1/3 Sc^{3+}$	—	64,7	$1/3 Fe(CN)_6^{3-}$	—	99,1
$1/3 Co(NH_3)_6^{3+}$	—	99,2	$1/4 Fe(CN)_6^{4-}$	—	111
$N(CH_3)_4^+$	—	44,92	$CH_3COO^-$	35	40,9



ionice echivalente (sau mobilități relative) la diluție infinită (sau la limită) în soluții apoase; se remarcă valorile deosebit de mari pe care le au ionii  $H^+$  și  $OH^-$  în soluții apoase.

## 2.2.2 INCURSIUNE ÎN ATOMISMUL CONDUCTIBILITĂȚII IONICE

S-a menționat că aplicarea unui câmp electric exterior într-o soluție de electrolit modifică natura mișcării ionilor; din dezordonată, ea devine ordonată, orientată. Forța cu care acționează câmpul electric determină accelerarea ionilor spre electrozii aflați în soluție. Din cauza numărului mare al particulelor din soluție (ioni, molecule de solvent) mișcarea orientată a ionilor nu este continuă ci întreruptă de mulțimea ciocnirilor cu particulele întâlnite în cale; ciocnirile multiple imprimă discontinuitate în viteza și direcția de deplasarea a ionilor.

Fie  $F$  forța directoare aplicată asupra ionilor. Conform legii lui *N e w t o n*, raportul  $F/m$  reprezintă accelerația ionului de masă  $m$ :

$$\frac{F}{m} = \frac{dv}{dt}. \quad (2.41)$$

Deoarece timpul dintre două ciocniri succesive este o mărime statistic valabilă, se introduce valoarea ei medie  $\tau$ . Dacă în timpul  $t$  au loc  $N$  ciocniri, rezultă că

$$\tau = \frac{t}{N}. \quad (2.42)$$

Înmulțind accelerația imprimată ionului (ec.2.41) cu timpul mediu  $\tau$ , se poate exprima viteza de mișcare  $v$  a ionului în câmpul forței  $F$ :

$$v = \frac{F}{m} \tau. \quad (2.43)$$

Dacă egalitatea (2.43) se înmulțește cu concentrația ionilor, în membrul stâng se obține fluxul  $J_i$  al ionilor. Se poate scrie deci proporționalitatea:

$$J_i \propto F. \quad (2.44)$$

În sfârșit, dacă  $F$  este câmpul electric care stimulează migrația (conductibilitatea ionilor), se regăsește relația (2.24) folosită la exprimarea microscopică a fenomenului de conductibilitate, în câmpuri electrice slabe.

Raportul  $\tau/m$  din ecuația (2.43) are o mare importanță în discuția transportului ionic și se va numi viteză sau mobilitate absolută, simbolizată prin  $u_{abs}$ . Se vede că:

$$u_{abs} = \frac{\tau}{m} = \frac{v}{F} \quad (2.45)$$

și reprezintă viteza corespunzătoare forței unitare. Dacă forța se exprimă în dyne, iar viteza în cm/s, dimensiunile lui  $u_{abs}$  sînt  $cm \cdot s^{-1} dyn^{-1}$ .

De exemplu, într-un câmp de  $0,05 \text{ V/cm}$  se observă o viteză  $v = 2 \cdot 10^{-5} \text{ cm s}^{-1}$ . Forța care operează asupra ionului se obține prin înmulțirea câmpului cu sarcina  $z_i e_0$  a ionului:

$$F = \mathcal{E} z_i e_0 \frac{1}{300} = 0,05 \times 4,8 \cdot 10^{-10} \times \frac{1}{300} \text{ dyne}, \quad (2.46)$$

pentru ionul monovalent ( $z_i = 1$ ). Factorul  $1/300$  provine de pe urma conversiei voltului în u.e.s ( $300\text{V} = 1 \text{ u.e.s.}$ ).

Valoarea vitezei absolute  $u_{abs}$  se obține prin raportarea lui  $v$  la  $F$ :

$$u_{abs} = \frac{2 \cdot 10^{-5} \times 300}{0,05 \times 4,8 \cdot 10^{-10}} \approx 10^8 \text{ cm} \cdot \text{s}^{-1} \text{ dyn}^{-1}. \quad (2.47)$$

În electrochimie sînt mult mai familiare vitezele sau mobilitățile electrochimice, convenționale (sau și viteze de migrare) definite prin egalitatea:

$$u = \frac{v}{\mathcal{E}} \quad (2.48)$$

și care reprezintă viteza de deplasare a ionului în câmpul electric unitar. Dimensiunile mobilității electrochimice sînt  $\text{cm}^2 \text{s}^{-1} \text{V}^{-1}$ .

Făcînd raportul egalităților (2.48) și (2.45), se obține relația

$$\frac{u}{u_{abs}} = \frac{F}{\mathcal{E}} = z_i e_0 \frac{1}{300} \quad (2.49)$$

sau

$$u = u_{abs} \cdot z_i e_0 \frac{1}{300}, \quad (2.49 a)$$

dacă  $\mathcal{E}$  se exprimă în  $\text{V cm}^{-1}$ . Se vede că mobilitatea electrochimică este proporțională cu mobilitatea absolută. În exemplul citat mai sus,

$$u = \frac{2 \cdot 10^{-5}}{0,05} = 4 \cdot 10^{-4} \text{ cm}^2 \text{s}^{-1} \text{V}^{-1}. \quad (2.50)$$

Spre deosebire de  $u_{abs}$ , noțiune mult mai generală deoarece poate fi utilizată pentru orice forță capabilă să imprime mișcarea dirijată a ionilor, mobilitatea electrochimică  $u$  se folosește numai în câmpul electric.

Să încercăm să corelăm mobilitățile electrochimice ale ionilor cu  $\Lambda$  și  $\Lambda_M$ , mărimi macroscopice de conductibilitate a soluțiilor de electroliți.

Pentru aceasta să ne imaginăm că în soluția de electrolit, în care s-a stabilit un câmp electric, există un plan median  $P$ , paralel cu electrozii, pe care îl străbat atît cationii cît și anionii (fig. 2.10). Prin secțiunea de  $1 \text{ cm}^2$ , în timpul de o secundă vor străbate toți ionii cuprinși în prismele situate de cele două părți ale planului  $P$  și avînd

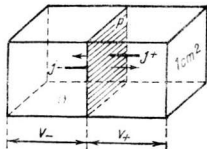


Fig. 2.10. Planul median străbătut de fluxul de ioni pozitivi și negativi.

înălțimile  $v_+$  și respectiv  $v_-$ . Dacă se notează concentrația ionilor pozitivi cu  $c_+$  și a ionilor negativi prin  $c_-$  fluxurile ionice  $J_+$  și  $J_-$  vor fi:

$$J_+ = c_+ v_+ \quad \text{și} \quad J_- = c_- v_-, \quad (2.51)$$

iar intensitățile de curent corespunzătoare pentru fiecare mol vor fi:

$$i_+ = z_+ \mathcal{F} c_+ v_+ \quad \text{și} \quad i_- = z_- \mathcal{F} c_- v_- \quad (2.52)$$

sau, în general:

$$i_j = z_j \mathcal{F} c_j v_j. \quad (2.52 \text{ a})$$

Curentul total  $i$  se obține prin însumarea contribuției tuturor speciilor ionice:

$$i = \sum_j i_j = \sum_j z_j \mathcal{F} c_j v_j. \quad (2.53)$$

Dacă electrolitul dizolvat este de tipul  $z_+ = z_- (=z)$  valent, iar concentrația este  $c_+ = c_- = c$ , densitatea de curent globală devine:

$$i = z \mathcal{F} c (v_+ + v_-). \quad (2.54)$$

Deoarece vitezele ionilor sînt corelate cu mobilitățile electrochimice prin ecuația (2.48), se deduce importanța pe care o are ecuația (2.53) în exprimarea conductivității și a conductibilităților echivalente și moleculare.

Substituind în ecuația (2.53) valoarea lui  $v_j$  dată de ecuația (2.48), se obține:

$$i = \sum_j z_j \mathcal{F} c_j u_j \mathcal{E}, \quad (2.55)$$

sau, ținînd seama de ecuația (2.26),

$$\frac{i}{\mathcal{E}} = \lambda = \sum_j z_j \mathcal{F} c_j u_j. \quad (2.56)$$

Dacă electrolitul este  $z:z$  valent, mai avem:

$$\lambda = z \mathcal{F} c (u_+ + u_-) \quad (2.57)$$

Expresia (2.56) demonstrează că spre deosebire de metale, conductivitatea soluțiilor de electrolit este o mărime dependentă de concentrație, întrucît numărul ionilor din unitatea de volum poate varia în soluția de electrolit.

Folosind ecuațiile (2.34) și (2.35), se pot calcula apoi conductibilitățile  $\Lambda_M$  și  $\Lambda$ :

$$\Lambda_M = \frac{\lambda}{c} = z \mathcal{F} (u_+ + u_-) \quad (2.58)$$

și

$$\Lambda = \frac{\Lambda_M}{z} = \mathcal{F} (u_+ + u_-). \quad (2.59)$$

Relația (2.59), ca și (2.58) de altfel, arată că  $\Lambda$ , respectiv  $\Lambda_M$  sînt mărimi independente de concentrație dacă și mobilitățile electrochimice  $u_+$  și  $u_-$

sînt independente de concentrație. Dar, așa cum se arată mai departe (v. secț. 2.2.4) în soluții concentrate, interacțiunile dintre ioni determină dependența de concentrație a mobilităților electrochimice, astfel că și conductibilitatea echivalentă devine variabilă cu concentrația. La limita diluției infinite, interacțiunile dintre ioni sînt practic nule și conductibilitatea echivalentă ia valoarea limită  $\Lambda_0$ , alcătuită din contribuțiile  $\Lambda_{0,+}$  și  $\Lambda_{0,-}$  ale ionilor ce alcătuiesc electrolitul:

$$\Lambda_0 = \mathcal{F}(u_+ + u_-)_{c=0} = \Lambda_{0,+} + \Lambda_{0,-}, \quad (2.60)$$

regăsindu-se legea migrației independente a lui Kohlrausch.

Conductibilitatea ionilor sau mișcarea lor ordonată într-un cîmp de forțe electric poate fi corelată cu mișcarea dezordonată a ionilor, peste care se suprapune. Lui Einstein îi revine meritul de a fi dedus legătura dintre mobilitatea ionilor, parametru cantitativ caracteristic mișcării dirijate și coeficientul de difuzie  $D$ , care servește la caracterizarea cantitativă a mișcării dezordonate a ionilor.

Tratarea problemei nu se poate face pe baze termodinamice, aplicînd principiile echilibrului, deoarece atît conductibilitatea cît și difuzia sînt fenomene net ireversibile, de neechilibru. Totuși, este posibilă imaginarea unei situații în sistem, în care efectele celor două procese se opun și se echilibrează reciproc, obținîndu-se o stare de pseudo-echilibru.

Să presupunem o soluție de electrolit oarecare, în care tendința de difuzie a ionilor, sub acțiunea unui gradient de concentrație, să fie echilibrată de cîmpul electric aplicat, opus ca sens gradientului de concentrație (fig. 2.11). În acest caz suma fluxurilor de difuzie  $J_D$  și de conductibilitate (sau de migrație)  $J_c$  va fi nulă:

$$J_D + J_c = 0. \quad (2.61)$$

Fluxul de difuzie se exprimă cu ajutorul primei legi a lui Fick (ec. 2.6), iar fluxul ionic de conductibilitate cu ajutorul ecuației (2.51).

$$-D \frac{dc}{dx} + cv = 0, \quad (2.62)$$

$c$  se exprimă prin numărul de moli/cm<sup>3</sup>.

Introducînd în ecuația (2.62) mobilitatea electrochimică (ec. 2.48) și rearanjînd, se mai obține:

$$\frac{dc}{dx} = \frac{c}{D} u \mathcal{E}. \quad (2.63)$$

Variația concentrației  $c$  cu distanța  $x$  se poate exprima cu ajutorul legii lui Boltzmann:

$$c = c_0 \exp(-U/kT), \quad (2.64)$$

unde  $c_0$  este concentrația în zona unde energia potențială  $U$  a ionului este nulă. Derivînd ecuația (2.64) în raport cu  $x$ , se obține:

$$\begin{aligned} \frac{dc}{dx} &= -c_0 \exp(-U/kT) \frac{1}{kT} \frac{dU}{dx} \\ &= -\frac{c}{kT} \frac{dU}{dx}. \end{aligned} \quad (2.65)$$

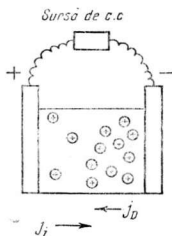


Fig. 2.11. Echilibrarea fluxului de difuzie de către fluxul de conductibilitate. (Pentru simplitate s-au imaginat numai cationii electrolitului).

$$-\frac{dU}{dx} = F, \quad (2.66)$$

mai rezultă că :

$$\frac{dc}{dx} = \frac{c}{kT} F. \quad (2.67)$$

Compararea ecuațiilor (2.63) și (2.67) conduce la relația :

$$\frac{u}{D} \mathfrak{S} = \frac{F}{kT}. \quad (2.68)$$

Dacă se ia în considerare și relația (2.49) dintre  $F$  și  $\mathfrak{S}$  pe de-o parte și  $u$  și  $u_{abs}$  pe de altă parte se obține :

$$D = u k T \frac{300}{z_i e_0}, \quad (2.69)$$

au

$$D = u_{abs} k T. \quad (2.70)$$

Relația (2.69), echivalentă cu ecuația (2.70), reprezintă ecuația lui Einstein, dintre coeficientul de difuzie și mobilitatea electrochimică (sau absolută) a ionilor.

Revenind la expresia (2.6), în care se definește pe baze fenomenologice constanta de difuzie  $D$ , se mai poate scrie :

$$AR = u_{abs} k. \quad (2.71)$$

Egalitatea permite explicitarea constantei  $A$  :

$$A = u_{abs} \frac{k}{R} = \frac{u_{abs}}{\mathfrak{S}}, \quad (2.72)$$

sau

$$A = \frac{300 u}{\mathfrak{S} z_i e_0}. \quad (2.73)$$

Relația lui Einstein, permite stabilirea unor legături între coeficientul de difuzie și viscozitatea electrolitului în care se mișcă ionii, pe de-o parte și conductibilitatea echivalentă pe de altă parte.

Asimilind ionii cu sfere de rază  $r$  și soluția de electrolit cu un mediu continuu, avind coeficientul de viscozitate  $\eta$ , forța viscoasă ce se opune mișcării ionilor este dată de relația lui Stokes :

$$F = 6\pi\eta rv, \quad (2.74)$$

unde  $v$  este viteza staționară a ionilor. Ea se opune mișcării de difuzie, imprimată de forța motoare difuzivă  $-d\mu/dx$ . La echilibrarea celor două forțe se poate scrie :

$$-\frac{d\mu}{dx} = 6\pi\eta rv. \quad (2.75)$$

Raportind viteza  $v$  la unitatea de forță motoare, se obține mobilitatea absolută  $u_{abs}$  a ionilor :

$$u_{abs} = \frac{v}{-d\mu/dx} = \frac{v}{6\pi\eta rv} = \frac{1}{6\pi\eta r} \quad (2.76)$$

Eliminând  $u_{abs}$  între ecuațiile (2.76) și (2.70), avem:

$$D = \frac{kT}{6\pi r\eta}. \quad (2.77)$$

Relația (2.77) se numește ecuația lui Stokes-Einstein; ea exprimă legătura dintre coeficientul de difuzie  $D$  și cel de viscozitate  $\eta$  ce caracterizează mișcarea ionului într-o soluție de electrolit și a fost utilizată în lucrările clasice ale lui J. Perrin, consacrate determinării numărului lui Avogadro.

Folosind relația (2.76) și ecuația (2.49), se poate stabili și legătura dintre  $\eta$  și  $u$ :

$$u = \frac{ze_0}{1800\pi r\eta}. \quad (2.78)$$

În sfârșit, pentru corelarea conductibilității echivalente cu proprietățile difuzive ale soluției de electrolit, se pornește de la relația (2.59)

$$\Lambda = \mathcal{F}(u_+ + u_-). \quad (2.59)$$

Folosind relația (2.69) pentru exprimarea mobilităților electrochimice  $u_+$  și  $u_-$  din ecuația (2.59), se obține:

$$\Lambda = \frac{ze_0\mathcal{F}}{300kT}(D_+ + D_-) \quad (2.79)$$

sau, după amplificarea cu  $\mathcal{N}$ :

$$\Lambda = \frac{z\mathcal{F}^2}{300RT}(D_+ + D_-) \quad (2.79 \text{ a})$$

unde  $D_+$  și  $D_-$  reprezintă coeficienții de difuzie ai cationului și respectiv anionului, iar produsul  $\mathcal{N}e_0 = \mathcal{F}$  (numărul lui Faraday) este sarcina corespunzătoare unui mol de electroni, sau unui mol de ioni monovalenți. Ecuația (2.79) este cunoscută sub numele de relația lui Nernst-Einstein și arată că particulele implicate în procesul de difuzie sînt responsabile și de conductibilitatea soluției, ceea ce nu este întotdeauna adevărat. De exemplu, perechile de ioni ce se formează în soluțiile de electrolit, neavînd sarcină, nu participă la conductibilitate. Efectul, deosebit de important în solvenți neapoși, poate provoca o abatere de pînă la 20% de la lege.

O altă importanță limitată a relației lui Nernst-Einstein este cauzată de faptul că în mod riguros, coeficientul de difuzie  $D$  nu este constant, ci variabil cu concentrația:

$$D = ART \left( 1 + \frac{d \ln f}{d \ln c} \right). \quad (2.8)$$

Dacă soluția se comportă ideal,  $f = 1$  și evident

$$D = ART = D_0 \quad (2.80)$$

Aceasta permite transcrierea ecuației (2.8) sub forma:

$$D = D_0 \left( 1 + c \frac{d \ln f}{dc} \right) \quad (2.81)$$

și exprimînd sub forma concisă

$$\lg f = -Ac^{1/2}, \quad (1.146)$$

relația dintre factorul de activitate și concentrație, mai rezultă

$$D = D_0 \left( 1 - \frac{1}{2} Ac^{1/2} \right) \quad (2.82)$$

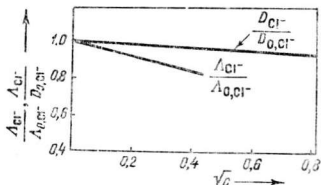


Fig. 2.12. Variația coeficientului de difuzie și a conductibilității echivalente cu concentrația.

Ecuatia (2.82) arată dependența coeficientului de difuzie de concentrație; comparind-o cu ecuația lui Kohlrausch (ec. 2.36),

$$\Lambda = \Lambda_0 - A \sqrt{c}, \quad (2.36)$$

se observă că  $D$  și  $\Lambda$  nu variază la fel cu concentrația (fig. 2.12), deoarece interacțiunile ion-ion din soluția de electrolit au influențe diferite asupra lor. Pe măsură ce concentrația se apropie de zero, diferențele se estompează din ce în ce mai mult și ecuația (2.79) dobîndește o mai bună aplicabilitate.

Atît ecuația lui Nernst-Einstein (2.79 a) cit și ecuația lui Stokes-Einstein (2.77) conțin explicit coeficientul de difuzie. Eliminîndu-l din acestea și presupunînd că soluția este foarte diluată, se poate ajunge la o relație aproximativ verificată experimental, numită regula lui Walden:

$$\frac{kT}{6\pi\eta r} = \frac{300 RT}{z \mathcal{F}^2} \Lambda_0. \quad (2.83)$$

Făcînd să apară produsul  $\Lambda_0 \eta$ , se obține:

$$\Lambda_0 \eta = \frac{z \mathcal{F}^2 k}{1800 \pi r} \quad (2.84)$$

sau mai luînd în considerare că  $\mathcal{F} = e_0 \mathcal{N}$  și că  $R = k \mathcal{N}$ ,

$$\Lambda_0 \eta = \frac{z \mathcal{F} e_0}{1800 \pi} \cdot \frac{1}{r} \quad (2.85)$$

Dacă și raza ionului solvatat în mișcare, se poate considera invariabilă în solvenți avînd diverse vîscozități, ceea ce de fapt este o aproximație grosieră, se obține regula lui Walden:

$$\Lambda_0 \eta = \text{const.} \quad (2.86)$$

Tabelul 2.10 ilustrează regula lui Walden pentru un electrolit anorganic (KI), iar tabelul 2.11 pentru o serie de electroliti organici, dizolvați în apă și solvenți organici. Regula are o apli-

Tabelul 2.10

Ilustrarea regulii lui Walden, cu KI, dizolvată în diverși solvenți la 25°C

Solventul	$\Lambda_0$	$\eta 10^{-3}$	$\Lambda \eta$
Bioxid de sulf (0°C)	265	3,94	1,044
Acetonitril	198,2	3,45	0,684
Acetonă	185,2	3,16	0,586
Nitrometan	124,0	6,11	0,758
Metanol	114,8	5,46	0,627
Piridină (20°C)	71,3	9,58	0,682
Etanol	50,9	10,96	0,560
Furfural	43,1	14,90	0,642
Acetofenonă	39,8	16,20	0,644

**Ilustrarea regulii lui Walden cu cîțiva pierați dizolvați  
în diverși solvenți, la 25°C**

Solventul	Picrat de			
	$(\text{CH}_3)_4\text{N}$	$(\text{C}_2\text{H}_5)_4\text{N}$	$(n\text{C}_4\text{H}_9)_4\text{N}$	$(\text{C}_6\text{H}_{11})_4\text{N}$
Apă	0,686	0,563	0,486	0,486
Fenol (50°C)	0,590	0,562	0,487	0,487
Acetonă	0,591	0,563	0,500	0,500
Metil etil cetonă	0,579	0,561	0,503	0,503
Acetonitril	0,586	0,563	0,501	0,501
Clorură de etilen	0,587	0,563	0,489	0,489
Nitrometan	0,604	0,586	0,515	0,515
Piridină	0,666	0,635	0,652	0,652

cabilitate mulțumitoare la soluții neapoase de electroliți organici. Comparînd produsul  $\Lambda \cdot \eta$  corespunzător soluției apoase cu produsele pentru solvenți organici, se constată discrepanțe mari (tab. 2.12). Faptul nu constituie o surpriză și e chiar previzibil, dacă se iau în considerare diferențele dintre razele ionilor solvatați, ca urmare a diferențelor dintre energiile de interacțiune ion-solvent pentru solvenți diferiți.

Tabelul 2.12

**Produsul  $\Lambda_0 \eta$  pentru cîteva săruri dizolvate în apă, metanol și etanol (25°C)**

Solventul	NaCl	KI	$(\text{C}_2\text{H}_5)_4\text{NI}$	$(\text{C}_4\text{H}_9)_4\text{NCl}$
Apa	1,131	1,354	0,981	0,911
Metanol	0,529	0,627	0,678	0,683
Etanol	0,466	0,560	0,586	0,626

## 2.2.3 EFECTE ALE INTERACȚIUNII DINTRE IONII AFLAȚI ÎN MIȘCARE

### 2.2.3.1 Numere de transport

Difuzia și conductibilitatea ionică au fost tratate pînă aici într-o manieră simplistă, valabilă pentru soluții de electrolit foarte diluate ; numai în acestea este acceptabilă presupunerea că migrarea unei specii ionice nu este perturbată de celelalte specii prezente în soluția de electrolit. La tratarea generală a problemei, aceste interferențe se cer luate în considerare pentru a se evalua consecințele lor asupra parametrilor ce caracterizează sistemul din punct de vedere fenomenologic.



O abordare a problemei ne-o oferă analizarea ecuației (2.78), care exprimă mobilitatea electrochimică sau viteza de migrare  $u$  în funcție de sarcina și dimensiunea ionului și viscozitatea soluției.

$$u = \frac{z_i e_0}{1800 \pi \tau \eta} . \quad (2.78)$$

Chiar în același solvent și avînd aceeași sarcină, la concentrație și temperatură date, diverșii ioni posedă raze  $r$  diferite și deci mobilități electrochimice  $u$  specifice, deoarece interacțiunile ion-solvent sînt și ele specifice.

O primă consecință a inegalității mobilităților electrochimice o constituie inegalitatea curenților vehiculați de cationi ( $i_+$ ) și anioni ( $i_-$ ). S-a văzut că densitatea de curent  $i_j$  datorată unei specii ionice  $j$  este:

$$i_j = z_j F c_j u_j \mathbb{S}, \quad (2.55 \text{ a})$$

considerînd că în soluția de electrolit  $z:z$  valent ( $z_+ = z_- = z$ ) avînd concentrația  $c (= c_+ = c_-)$  cîmpul este  $\mathbb{S} = 1$ , rezultă că:

$$i_+ \neq i_-, \quad (2.87)$$

deoarece  $u_+ \neq u_-$ ; chiar dacă se găsesc în număr egal, cele două specii ionice contribuie diferit la transportul curentului global,<sup>\*</sup> deoarece mobilitățile lor electrochimice sînt diferite. Pentru a exprima cantitativ contribuția fiecărei specii ionice la transportul curentului, s-au introdus așa numitele numere de transport  $t_+$  și  $t_-$ , definite prin fracțiunea  $i_+$  sau  $i_-$  din curentul total  $i$ , transportată de o specie:

$$t_+ = \frac{i_+}{i} \quad \text{și} \quad t_- = \frac{i_-}{i} . \quad (2.88)$$

Deoarece curentul total  $i$  rezultă prin însumarea tuturor curenților parțiali,

$$i = \Sigma i_j, \quad (2.89)$$

mai rezultă că

$$\Sigma t_j = \frac{\Sigma i_j}{i} = 1. \quad (2.90)$$

Într-o soluție ce conține dizolvate de exemplu KI și LiBr, curentul vehiculat de ionul  $K^+$  depinde de fracțiunile ce revin și celorlalți ioni din soluție. Constatarea este o ilustrare a interferențelor care se manifestă între diversele specii ionice prezente în soluție.

Folosind mereu ecuația (2.52a) pentru exprimarea explicită a densităților de curent  $i_j$ , rezultă că:

$$t_+ = \frac{u_+}{u_+ + u_-} \quad (2.91)$$

și

$$t_- = \frac{u_-}{u_+ + u_-}, \quad (2.92)$$

Numere de transport ale unor cationi;  
la 25°C, în soluții apoase 0,1N

Electrolitul	$t_+$
HCl	0,83
LiCl	0,32
NaCl	0,39
KCl	0,49
KNO <sub>3</sub>	0,51
AgNO <sub>3</sub>	0,47
BaCl <sub>2</sub>	0,43

dacă  $z_+ = z_-$  și  $c_+ = c_-$ . În tabelul 2.13 sînt date numerele de transport ale cationilor unor săruri, în soluții apoase, 0,1N, la 20°C.

Să luăm ca exemplu soluția 0,1N de HCl, la 25°C, cînd mobilitățile electrochimice sînt

$$u_{H^+} = 3,371 \cdot 10^{-3} \text{ cm}^2 \cdot \text{s}^{-1} \text{ V}^{-1},$$

$$u_{Cl^-} = 6,84 \cdot 10^{-4} \text{ cm}^2 \cdot \text{s}^{-1} \text{ V}^{-1}.$$

Cu aceste valori se calculează următoarele numere de transport:  $t_{H^+} =$

$= 0,83$  și  $t_{Cl^-} = 1 - 0,83 = 0,17$ . Prin urmare covîrșitoarea majoritate (mai mult de 4/5) din curentul total este transportată de ionul  $H^+$ , de aproape 5 ori mai mobil decît ionul  $Cl^-$ . Să realizăm un amestec de 2 electroliți: HCl, în concentrație mult mai mică ( $c = 10^{-4}N$ ) și LiCl în mare exces ( $c = 1N$ ). De astă dată, la calcularea numerelor de transport ale ionilor din amestec ( $H^+$ ,  $Li^+$ ,  $Cl^-$ ) se iau în considerare și concentrațiile lor:

$$t_{H^+} = \frac{u_{H^+} c_{H^+}}{u_{H^+} c_{H^+} + u_{Cl^-} c_{Cl^-} + u_{Li^+} c_{Li^+}} = \frac{u_{H^+} c_{H^+}}{\sum u_i c_i},$$

$$t_{Li^+} = \frac{u_{Li^+} c_{Li^+}}{\sum u_i c_i}.$$

ș.a.m.d.

Pentru a vedea proporția relativă în care ionii  $H^+$  și  $Li^+$  participă la transportul curentului, se exprimă raportul  $t_{H^+}/t_{Li^+}$  din amestec:

$$\frac{t_{H^+}}{t_{Li^+}} = \frac{u_{H^+} c_{H^+}}{u_{Li^+} c_{Li^+}} = \frac{3,371 \cdot 10^{-3} \times 10^{-4}}{3,5 \cdot 10^{-4} \times 1} \approx 1 \cdot 10^{-3}.$$

Deși mai mobil decît ionul  $Li^+$  de aproape 10 ori, ionul  $H^+$  nu transportă în soluție decît aproximativ a mia parte din cantitatea transportată de ionul  $Li^+$ , din cauza concentrației sale extrem de mici. Participarea unei specii date la conductibilitate este dependentă de concentrația celorlalte specii ionice prezente.

Întocmai ca în exemplul luat în discuție, în orice amestec de electroliți unde unul se găsește în mare exces față de ceilalți, numerele de transport ale speciilor aflate în concentrație mică devin disparente și, practic, ionii în cauză nu participă la transportul curentului. Păstrînd diferența de potențial între anumite limite, se poate realiza situația în care, pentru menținerea electroneutralității soluției, la transferul de sarcină să participe totuși componenți ale căror numere de transport sînt practic nule. Valoarea  $t_j \approx 0$  denotă că specia  $j$  nu se deplasează în electrolit prin migrare (sub influența unui cîmp electric) ci prin difuzie (stimulat de un gradient de concentrație). Procesului i se poate da următoarea explicație cantitativă:

Fiindcă transportul ionilor în soluție este posibil atât prin migrare cât și prin difuzie, fluxul total  $J_j$  al ionilor este dat de suma:

$$J_j = J_C + J_D. \quad (2.93)$$

Folosind ecuațiile (2.51) și (2.52) termenul  $J_C$  se exprimă prin egalitatea

$$J_C = \frac{i_j}{z_j \mathcal{F}} = \frac{t_j i}{z_j \mathcal{F}}, \quad (2.94)$$

iar  $J_D$  cu ajutorul primei legi a lui Fick. Deci:

$$J_j = \frac{t_j i}{z_j \mathcal{F}} - D_j \frac{dc_j}{dx}. \quad (2.95)$$

Din ecuația (2.95) rezultă că și în cazul unui număr de transport nul, ( $t_j = 0$ ), fluxul de ioni de specie  $j$  este susținut prin difuzia stimulată de gradientul de concentrație generat de reacția de transfer de sarcină de la electrod (care poate consuma sau furniza specia  $j$ ). Situația este exploatată în polarografie, tehnică electroanalitică de mare importanță; prin adăugarea unui fond electrolitic (soluție de bază) în mare exces, destinat conducției, transportul speciei de analizat se realizează numai prin difuzie.

Din ecuația (2.95) se poate deduce o definiție mai completă a numărului de transport. Știind că  $dc/dx \rightarrow 0$  atunci când și  $du/dx \rightarrow 0$ , rezultă că

$$t_j = \left( \frac{z_j \mathcal{F} J_j}{i} \right)_{\frac{du}{dx} = 0} = \frac{i_j}{i}. \quad (2.96)$$

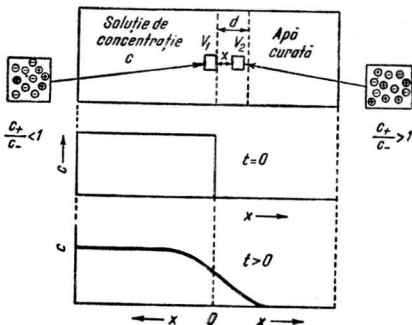
Numărul de transport se referă exclusiv la fluxul de conductibilitate adică la fluxul determinat de un câmp electric.

## Potențialul de difuzie

Să considerăm că o soluție apoasă de electrolit avînd concentrația  $c$ , este pusă în contact cu apă curată; din cauza gradientului de concentrație, ionii electrolitului (de exemplu de tip 1:1 valent) vor năvăli în apa curată. Deoarece în general  $u_+ \neq u_-$ , rezultă că anionii și cationii nu vor difuza cu aceeași viteză. Dacă  $u_+ > u_-$ , într-un interval de timp dat, în apă vor pătrunde mai mulți cationi, iar în soluție vor rămîne mai mulți anioni; raportul  $c_+/c_-$  nu mai este unitar în cele două medii și asistăm la o separare a sarcinilor, soldată cu suprimarea electroneutralității. Dar acolo unde separarea spațială a sarcinilor electrice devine posibilă, ia naștere o diferență de potențial. Această diferență de potențial se numește potențial de difuzie și este localizată la zona interfazică și se menține atîta vreme cît are loc difuzia ionilor de-a curmezișul planului interfazic. În funcție de natura regiunii interfazice, potențialul de difuzie poartă și denumiri particulare. Astfel, în cazul pilelor de concentrație (v. secț. 5.4.8.5) el se mai numește și potențial de joncțiune lichidă sau simplu, potențial de joncțiune.

Dacă ia naștere în membrana separatoare a celor două faze, potențialul de difuzie se mai numește și potențial de membrană (v. secț. 9.2.5) și

Fig. 2.13. Punerea în contact a soluției de electrolit cu apa curată ( $t = 0$ ) se soldează cu difuzia ionilor electrolitului în apă ( $t > 0$ ). Sînt indicate profilurile concentrației de-a lungul parcursului de difuzie și separarea ionilor, în presupunerea  $u_+ > u_-$ .



tratarea acestuia este o chestiune mai complicată, deoarece, pe de o parte, existența unei diferențe de presiune poate produce o scurgere hidrodinamică dintr-o parte în cealaltă a membranei, iar pe de altă parte, existența unor grupări încărcate, dintre care unele sînt fixe și altele se pot schimba cu ionii soluției de electrolit (membrană schimbătoare de ioni), creează o situație echivalentă cu o sursă de ioni în interiorul membranei.

Pentru calculul potențialului de difuzie să folosim modelul schițat în figura 2.13. Datorită mobilităților ionice diferite, ionii vor tinde să se separe de-a lungul parcursului de difuzie și în cele două unități de volum considerate, așezate la distanța  $x$  una de cealaltă, centrul sarcinilor pozitive nu mai coincide cu centrul sarcinilor negative. Separarea sarcinilor generează apariția unei diferențe de potențial între cele două volume unitare  $V_1$  și  $V_2$ ; diferența de potențial sau potențialul de difuzie se va opune tendinței ulterioare de separare a sarcinilor. Efectul acesta, numit efect al cîmpului electroneutru, va determina frînarea ionilor rapizi și accelerarea ionilor mai lînji, încercînd restabilirea electroneutralității în cele două zone considerate. Atunci cînd s-a atins regimul staționar accelerarea ionilor negativi mai lînji și decelerarea ionilor pozitivi inițial mai rapizi, compensează diferența dintre mobilitățile ionilor. Cîmpul electroneutru are deci rol nivelator asupra vitezelor de deplasare a ionilor.

Folosind ipoteza lui T h o m s o n, potrivit căreia principiile echilibrului termodinamic se pot aplica etapei staționare dintr-un proces ireversibil, de neechilibru, calculul potențialului de difuzie se poate efectua în felul următor.

În regim staționar, fluxul de difuzie este echilibrat de fluxul electric și deci concentrația, ca și potențialul electrostatic în zona interfazică ( $x=0$ ) nu vor varia în timp. Pe această bază, suma travaliului electric și al travaliului de difuzie efectuat de ionii transportați prin regiunea interfazică de grosime  $dx$ , este nulă. Travaliul electric corespunzător unui echivalent de sarcină (pozitivă sau negativă) este  $\int d\psi$ , unde  $d\psi$  este căderea de poten-

țial (de difuzie) de-a lungul distanței  $dx$ . Avînd în vedere că echivalentul de sarcină electrică este alcătuit din  $t_+/z_+$  moli de ioni pozitivi și  $t_-/z_-$  moli de ioni negativi, traviile de difuzie vor fi de forma :

$$\frac{t_+}{z_+} d\mu_+ \text{ și respectiv } \frac{t_-}{z_-} d\mu_-$$

Deci :

$$\mathcal{E} d\psi + \frac{t_+}{z_+} d\mu_+ + \frac{t_-}{z_-} d\mu_- = 0 \quad (2.97)$$

sau, generalizînd :

$$\mathcal{E} d\psi + \sum \frac{t_i}{z_i} d\mu_i = 0, \quad (2.98)$$

Exprimînd explicit potențialul chimic (sau traviul de difuzie), se mai obține :

$$-d\psi = \frac{RT}{\mathcal{E}} \sum \frac{t_i}{z_i} d\ln a_i. \quad (2.99)$$

Pentru aflarea căderii de potențial din regiunea interfazică de grosime  $d$ , ecuația diferențială (2.99) trebuie integrată între limitele  $x = 0$  și  $x = d$ .

$$-\int_{x=0}^{x=d} d\psi = -\Delta\psi_d = \frac{RT}{\mathcal{E}} \sum \int_{x=0}^{x=d} \frac{t_i}{z_i} \frac{d\ln a_i}{dx} dx, \quad (2.100)$$

sau

$$-\Delta\psi_d = \frac{RT}{\mathcal{E}} \sum \int_{x=0}^{x=d} \frac{t_i}{z_i} \cdot \frac{1}{f_{c,i} c_i} \frac{d(f_{c,i} c_i)}{dx} dx. \quad (2.101)$$

Rezolvarea integralei este condiționată de cunoașterea modului în care concentrația variază cu  $x$  în zona de tranziție (interfazică), de felul în care depinde factorul de activitate  $f_{c,i}$  de concentrația  $c_i$  și în sfîrșit de felul în care variază numărul de transport  $t_i$  cu concentrația  $c_i$ .

Deoarece rezolvarea matematică este extrem de dificilă în cazul general, se recurge la cîteva presupuneri simplificatoare, cum sînt : considerarea factorului de activitate  $f_{c,i} = 1$  (condiții ideale), a numărului de transport constant și a unei variații liniare a concentrației cu distanța. Această din urmă condiție se exprimă prin egalitatea :

$$c_{i,x} = c_{i,0} + k_i x, \quad (2.102)$$

unde  $k_i$  este o constantă. Derivata ecuației (2.102) este :

$$\frac{dc}{dx} = \text{const.} = k_i = \frac{c_{i,d} - c_{i,0}}{d}. \quad (2.103)$$

Introducând aceste condiții în integrala ecuației (2.101), se obține :

$$-\Delta\psi_d = \frac{RT}{\mathcal{F}} \sum \frac{t_i}{z_i} \int_{x=0}^{x=d} \frac{k_i dx}{c_{i,0} + k_i x}. \quad (2.104)$$

Să observăm că numărătorul raportului de sub semnul integralei se mai poate exprima și în felul următor :

$$k_i dx = d(c_{i,0} + k_i x), \quad (2.105)$$

cînd integrala devine imediată :

$$-\Delta\psi_d = \frac{RT}{\mathcal{F}} \sum \frac{t_i}{z_i} \int_{x=0}^{x=d} \frac{d(c_{i,0} + k_i x)}{c_{i,0} + k_i x} = \frac{RT}{\mathcal{F}} \sum \frac{t_i}{z_i} [\ln(c_{i,0} + k_i x)]_0^d, \quad (2.106)$$

sau

$$-\Delta\psi_d = \frac{RT}{\mathcal{F}} \sum \frac{t_i}{z_i} \ln \frac{c_{i,d}}{c_{i,0}}. \quad (2.107)$$

Aceasta este ecuația lui P l a n c k-H e n d e r s o n, folosită pentru calcularea potențialului de difuzie sau de joncțiune lichid-lichid ; în cazul particular al unui electrolit de tip 1 : 1, ea se reduce la forma :

$$-\Delta\psi_d = \frac{RT}{\mathcal{F}} (t_+ - t_-) \ln \frac{c_{i,d}}{c_{i,0}}, \quad (2.108)$$

sau

$$-\Delta\psi_d = \frac{RT}{\mathcal{F}} (2t_+ - 1) \ln \frac{c_{i,d}}{c_{i,0}}, \quad (2.108 \ a)$$

deoarece  $t_+ + t_- = 1$  sau și

$$\Delta\psi_d = \frac{RT}{\mathcal{F}} (2t_+ - 1) \ln \frac{c_{i,d}}{c_{i,0}}. \quad (2.108 \ b)$$

Ecuația P l a n c k-H e n d e r s o n este relativ bine verificată în practică, în soluții nu prea concentrate.

## 2.2.4 TRANSPORTUL IONILOR ÎN SOLUȚIE ȘI TEORIA LUI D E B Y E ȘI H Ü C K E L

De multe ori în tratarea problemelor legate de migrarea ionilor s-au neglijat interacțiunile care determină apariția norului ionic în jurul ionului central. Aproximarea este numai atunci justificată cînd densitatea ionilor în nor este atît de redusă încît efectele lor asupra ionului central sînt disparente. Pe de altă parte, atunci cînd s-a schițat teoria lui D e b y e și H ü c k e l s-a trecut cu vederea mișcarea proprie a ionului central, și în scopul analizării situației, nu s-au luat în considerare decît proprietățile de echilibru ale ansamblului ion central-nor ionic. Este clar că o bună reflectare a realității se obține numai dacă ansamblul ion-nor ionic se

tratează ca un tot unitar, deoarece atmosfera sau norul ionic însoțește ionul central în tot timpul voiajului său în soluția de electrolit, indiferent de forța motoare care-l animă. Pe această cale se poate explica dependența de concentrație a conductibilității și a unor mărimi ce servesc la exprimarea ei. Dependența de concentrație a conductibilității se poate exprima cu ajutorul legii lui Kohlrausch

$$\Lambda = \Lambda_0 - A\sqrt{c}, \quad (2.36)$$

iar conductibilitatea echivalentă  $\Lambda$  poate fi exprimată și prin intermediul mobilităților electrochimice  $u_+$  și  $u_-$ :

$$\Lambda = \mathcal{F}(u_+ + u_-). \quad (2.59)$$

Nu există nici un motiv care să ne împiedice a considera că și  $\Lambda_0$  se poate exprima printr-o egalitate similară:

$$\Lambda_0 = \mathcal{F}(u_{0,+} + u_{0,-}). \quad (2.109)$$

Combinarea ecuațiilor (2.36), (2.59) și (2.109) conduce la egalitatea:

$$(u_+ + u_-) = (u_{0,+} + u_{0,-}) - \frac{A}{\mathcal{F}} \frac{1}{2} (\sqrt{c_+} + \sqrt{c_-}), \quad (2.110)$$

dacă electrolitul este de tip  $z : z$  valent. Ecuația (2.110) se poate descompune astfel încât să se evidențieze contribuțiile ionilor de un anumit semn:

$$u_+ = u_{0,+} - B\sqrt{c_+} \quad (2.111)$$

și

$$u_- = u_{0,-} - B\sqrt{c_-}, \quad (2.112)$$

unde  $B = \frac{A}{2\mathcal{F}}$ .

Ecuațiile (2.111) și (2.112) exprimă, empiric, efectul concentrației asupra mobilităților electrochimice. Ele arată că influența concentrației asupra vitezelor de migrare este cu atât mai pronunțată cu cât este mai mare concentrația electrolitului. Or, creșterea concentrației atrage după sine înțetirea interacțiunilor ion-ion. De aceea, pentru a înțelege dependența conductibilității de concentrație, trebuie analizate efectele ion-atmosferă ionică și încorporate în abordarea atomistă a conductibilității ionice. Pe această cale se ajunge la efectul câmpului de relaxare și efectul electroforetic, două condiționări principale pentru dependența de concentrație a conductibilității.

Să ne ocupăm mai întâi de efectul câmpului de relaxare.

În absența vreunei forțe motoare aplicate din exterior, simetria norului ionic este sferică, deoarece câmpul coulombian se caracterizează printr-o asemenea simetrie. Intervenția unei forțe exterioare (prin aplicarea unui câmp electric sau a unui câmp de potențial chimic) distruge simetria sferică și introduce o direcție privilegiată în spațiu și anume, direcția de deplasare a fluxului ionic de conductibilitate sau de difuzie. Funcția de distribuție, care măsoară probabilitatea de localizare a unui anumit ion într-un element de volum dat, devine asimetrică; probabilitatea încetează să depin-

dă numai de distanță, devenind dependentă și de direcția în care se găsește elementul de volum față de direcția de mișcare a ionului. Problema tratării distribuției ionice asimetrice și prevederea implicațiilor pe care le are aceasta asupra câmpului electric din jurul ionului în mișcare, este dificilă din punct de vedere matematic. De aceea se va alege o cale mai simplă, oferită de metoda relaxării, care constă în analiza răspunsului dependent de timp pe care-l dă sistemul care a fost deranjat dintr-o stare oarecare de echilibru, prin aplicarea unui stimulente oarecare, exterior. Metoda are o largă utilizare în tehnica de cercetare a cineticii de electrod (v. secț. 5).

Să considerăm ionul central deplasat la un moment dat din poziția sa. Simetria sferică inițială a norului se restaurează numai dacă ionii și moleculele de apă din nor se regrupează imediat în jurul noii poziții a ionului central. Evident, acest lucru este posibil numai dacă mișcările pentru refacerea norului sferic sînt instantanee, lipsite de rezistențe de frecare, ceea ce în realitate nu se întîmplă; restabilirea simetriei sferice este un proces caracterizat printr-o viteză oarecare finită și prin urmare necesită un timp finit (cca  $10^{-6}$ s în soluție diluată). Din cauza aceasta se înregistrează o rămînere în urmă a norului; în trena ionului central norul se destramă din cauza agitației termice, care nu mai este contracarată de câmpul electrostatic al ionului central dezeror, pe cînd în frontul de mișcare al ionului, norul se construiește mereu. O primă consecință este apariția norului de simetrie ovoidă (fig. 2.14), în care centrul sarcinilor pozitive nu mai coincide cu acela al sarcinilor negative și care este responsabil de apariția unui câmp electrostatic între ion și norul ionic. Deoarece câmpul acesta provine de pe urma relaxării (sau destrămării) norului în urma ionului în mișcare și continuă lui refacere în fața ionului, el se mai numește și câmp de relaxare. Orientarea lui este pe direcția de deplasare a ionului, dar în sens contrar, astfel că efectul său direct asupra ionului constă în întîrzierea mișcării lui.

Cîmpul electric exterior acționează nu numai asupra ionului central ci și asupra norului avînd sarcină opusă; din acest motiv, ionul și norul vor manifesta tendința de a se mișca în sens contrar. În mișcarea sa, norul ionic va încerca să antreneze tot ansamblul de molecule de solvent și chiar ionul central, ceea ce produce asupra acestuia din urmă un al doilea efect de frînare, numit efect electroforetic, amintind migrarea într-un câmp electric a particulelor coloide ale căror dimensiuni ( $1 - 1\,000$  nm) sînt comparabile cu dimensiunile unor nori ionici din soluții de diluție mijlocie ( $10^{-3}M$ :  $r \cong 10$  nm).

Prin urmare, la tratarea riguroasă a migrării ionilor într-un câmp electric, trebuie să se aibă în vedere, pe lîngă forța electrică  $F_0$  derivată din acesta, și forțele electroforetice  $F_E$  și de relaxare  $F_R$ :

$$F = F_0 - (F_E + F_R), \quad (2.113)$$

unde  $F$  este forța rezultantă. Corespunzător, viteza de deplasare netă  $v$  a ionului, va fi

$$v = v_0 - (v_E + v_R). \quad (2.114)$$

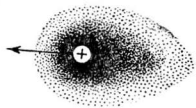


Fig. 2.14. Norul ionic ovoid din jurul ionului în mișcare.



Neglijind forma asimetrică a norului și considerind că ionul „central” este antrenat în mișcarea norului, viteza electroforetică  $v_E$  se calculează pe baza presupunerii că, în regim staționar forța electrostatică  $ze_0 \mathcal{S}/300$  care acționează asupra norului, echilibrează forța Stokes :

$$\frac{ze_0 \mathcal{S}}{300} = 6\pi\eta\chi^{-1}v_E, \quad (2.115)$$

de unde :

$$v_E = \frac{ze_0}{6\pi\eta\chi^{-1}300} \mathcal{S}. \quad (2.116)$$

Calculul forței de relaxare  $F_R$  este mai complicat și nu se reproduce decât expresia finală, obținută de Onsager :

$$F_R = \frac{ze_0^2\chi}{6DkT} \frac{\mathcal{S}}{300} \omega, \quad (2.117)$$

unde

$$\omega = |z_+z_-| \frac{2q}{1 + \sqrt{q}} \quad (2.118)$$

și

$$q = \frac{|z_+z_-|}{z_+ + |z_-|} \cdot \frac{\Lambda_{0,+} + \Lambda_{0,-}}{z_+\Lambda_{0,+} + |z_-|\Lambda_{0,-}}. \quad (2.119)$$

În cazul unui electrolit 1:1 valent,  $q = \frac{1}{2}$ , iar  $\omega = \frac{z^2}{1 + \frac{1}{\sqrt{2}}}$ . Deoarece

conform ecuației (2.45)

$$v_R = u_{0,abs} F_R \quad (2.45 a)$$

unde  $u_{0,abs}$  este mobilitatea absolută în câmpul electric aplicat, se obține :

$$v_R = u_{0,abs} \frac{ze_0^2\chi}{6DkT} \frac{\mathcal{S}}{300} \omega \quad (2.120)$$

și introducînd mobilitatea electrochimică  $u_0$  (v. ec. 2.49), se ajunge la expresia :

$$v_R = \frac{u_0 e_0^2 \chi}{6DkT} \mathcal{S}, \quad (2.121)$$

$u_0$  este mobilitatea electrochimică în absența efectelor electroforetic și de relaxare.

Disponem acum de expresiile vitezelor  $v_E$  și  $v_R$  pe care să le înlocuim în ecuația (2.114) :

$$v = v_0 - \left( \frac{ze_0}{6\pi\eta} + \frac{300 u_0 e_0^2 \omega}{6DkT} \right) \frac{\chi}{300} \mathcal{S}. \quad (2.122)$$

Dacă ecuația (2.122) se împărțește cu  $\mathfrak{S}$ , conform ecuației (2.48) se obțin mobilitățile electrochimice:

$$u = u_0 - \left( \frac{ze_0}{6\pi\eta} + \frac{300u_0e_0^2\omega}{6DkT} \right) \frac{\chi}{300}. \quad (2.123)$$

Relația demonstrează că  $u$  este variabil cu concentrația ( $c^{1/2}$  prin intermediul parametrului  $\chi$ ). Pe măsură ce concentrația tinde spre zero, tinde să se anuleze și  $\chi$ , astfel că la limită avem:

$$\lim_{c \rightarrow 0} u_{c \rightarrow 0} = u_0. \quad (2.124)$$

Deci  $u_0$  apare ca mobilitate electrochimică la diluție infinită (sau concentrație nulă). Variația sa cu rădăcina patrată a concentrației, așa cum se găsisă empiric (v.ec. 2.111 și 2.112), este justificată teoretic. Fiind exprimate nemijlocit cu ajutorul mobilităților electrochimice, și numerele de transport vor înregistra o dependență de concentrație (v.tab. 2.14).

Tabelul 2.14

Variația numerelor de transport  $t_+$  cu concentrația electrolitului, la 25°C

Electrolitul	Concentrația (N)						
	0,01	0,02	0,05	0,1	0,2	0,5	1
HCl	0,825	0,826	0,829	0,831	0,834	—	—
LiCl	0,329	0,326	0,321	0,317	0,311	0,300	0,287
NaCl	0,392	0,390	0,387	0,385	0,382	—	—
KCl	0,490	0,490	0,490	0,490	0,489	0,489	0,488

Scriind ecuația (2.123) pentru specii ionice determinate (cation și anion), se obțin expresiile mobilităților electrochimice  $u_+$  și respectiv  $u_-$ . Înlocuirea lor în ecuația (2.59) permite apoi regăsirea pe cale teoretică, a ecuației, (2.37), empirice, a lui Kohlrausch.

Astfel, pentru un electrolit simetric  $z:z$ , unde  $z_+ = z_- = z$  și  $z_+ + z_- = 2z$ ,

$$\begin{aligned} \Lambda &= \mathfrak{F}(u_+ + u_-) = \\ &= \mathfrak{F}(u_{0,+} + u_{0,-}) - \left[ \frac{ze_0\mathfrak{F}\chi}{900\pi\eta} + \frac{e_0^2\chi\omega}{6DkT} (u_{0,+} + u_{0,-}) \right], \end{aligned} \quad (2.125)$$

comparînd cu ecuația (2.37), rezultă:

$$\Lambda = \Lambda_0 - (A + B\Lambda_0)\sqrt{c} \quad (2.126)$$

sau și:

$$\Lambda = \Lambda_0 - \text{const} \sqrt{c}, \quad (2.126 a)$$

unde s-au notat:

$$\begin{aligned} A &= \frac{ze_0\mathfrak{F}}{900\pi\eta} \left( \frac{\pi z^2 e_0^2 \mathfrak{F}}{125DkT} \right)^{1/2}; \quad B = \frac{e_0^2\omega}{6DkT} \left( \frac{\pi ze_0\mathfrak{F}}{125DkT} \right)^{1/2} \text{ și} \\ \chi &= \left( \frac{8\pi z^2 e_0^2 c}{DkT} \right)^{1/2} \left( \frac{\mathfrak{F}}{1000} \right)^{1/2}. \end{aligned}$$

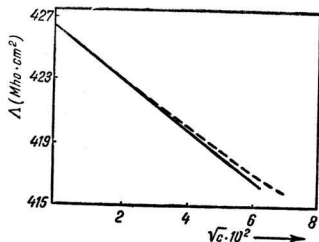
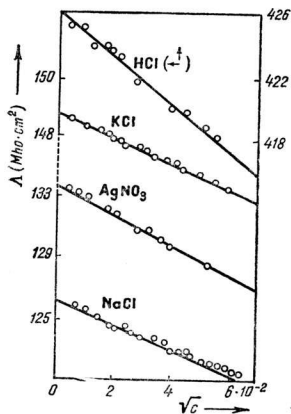


Fig. 2.16. Abaterea de la prevederile ecuației (2.126), pentru variația conductibilității echivalente cu  $\sqrt{c}$ , la HCl (--- măsurători experimentale).

Fig. 2.15. Variația conductibilității echivalente cu  $\sqrt{c}$ , observată experimental (0) și prezisă teoretic (—) de ecuația (2.126).

Ecuția (2.126) este numită și ecuația Debye-Hückel-Onsager; cele două constante  $A$  și  $B$  sînt complet determinate, la un tip de electrolit dat, de temperatura, vîscozitatea și constanta dielectrică a soluției, precum și de constantele universale  $\epsilon_0$  și  $k$ . Confruntată cu un mare număr de soluții apoase, ea a dat o bună satisfacție în domeniul concentrațiilor  $c < 10^{-3}N$  (v.fig. 2.15 și 2.16; v. tab. 2.15). Ecuția lui Debye-Hückel-Onsager

Tabelul 2.15

Comparație între valorile experimentale și cele teoretice ale constantei din ecuația (2.126 a), în soluție apoasă la 25°C.

Electrolitul	Constanta	
	experimentală	calculată
Ba(NO <sub>3</sub> ) <sub>2</sub>	160,7	150,5
MgCl <sub>2</sub>	144,1	145,6
K <sub>2</sub> SO <sub>4</sub>	140,3	159,5
KBr	87,9	80,2
NaNO <sub>3</sub>	82,4	74,3
LiCl	81,1	72,7
CsCl	76,0	80,5

kel-Onsager rămîne o expresie corespunzătoare tangentei în origine la curba experimentală  $\Lambda-\sqrt{c}$ . Tabelul 2.16 cuprinde valorile constantelor

$A$  și  $B$  calculate la temperatura de 25°C, pentru un electrolit 1 : 1 valent în diverși solvenți.

Tabelul 2.16

Constantele  $A$  și  $B$  din ecuația (2.126)  
pentru electrolit 1 : 1 valent, la 25°C

Solventul	$A$	$B$
Metanol	156,1	0,923
Nitrometan	125,1	0,708
Etanol	89,7	1,83
Apă	60,20	0,229
Nitrobenzen	44,2	0,776
Acetonă	32,8	1,63

Teoria lui Debye-Hückel-Onsager se poate folosi pentru explicarea conductibilității soluțiilor de electroliti, dar fiind bazată pe același model ca și teoria lui Debye și Hückel asupra proprietăților de echilibru (de exemplu factor de activitate ș.a.), nu ne putem aștepta la o extindere a valabilității ei dincolo de limita soluțiilor diluate. În soluțiile concentrate, unde distanțele interionice ajung comparabile cu dimensiunile ionilor, ne vedem obligați să apelăm mai degrabă la modele de grupări ionice sau chiar la o cuasi-structură reticulară. O asemenea abordare a problemei conductibilității este întâlnită și la topiturile saline.

## 2.2.5 ASPECTE LEGATE DE CONDUCTIBILITATEA ELECTRICĂ A UNOR SOLUȚII NEAPOASE DE ELECTROLITI REALI

Ecuația lui Debye-Hückel-Onsager nu conține nici o constantă particulară vreunui solvent dat și ne așteptăm ca ea să fie verificată și în soluții neapoase, deși trecerea de la apă la un solvent neapos este însoțită de modificări esențiale ale unor mărimi cum sînt constanta dielectrică, vîscozitatea și raza ionului solvatat. Ca o consecință, mobilitățile ionilor la diluție infinită, valoarea pantei curbei  $\Lambda - \sqrt{c}$  (ec. 2.126a) și concentrația ionilor liberi, neasociați, vor varia atunci cînd se va trece de la o soluție apoasă la una neapoasă. Figura 2.17 ilustrează aplicarea ecuației Debye-Hückel-Onsager la o serie de sulfocianuri alcaline, dizolvate în metanol.

Ca și în soluție apoasă, la diluție infinită, nu se fac simțite efectele

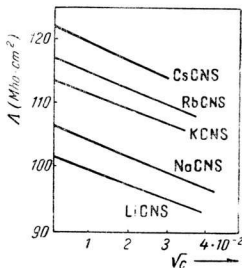


Fig. 2.17. Variația conductibilității echivalente cu concentrația unor sulfocianuri alcaline în metanol.

electroforetic și de relaxare. Dacă raza ionului solvatat nu depinde de solvent, este aplicabilă regula lui *Walden* (v. tab. 2.10 și 2.11).

Uneori, modificările de rază ale ionilor solvatați reflectă schimbările de dimensiune ale moleculelor de solvatare. Acest fapt este evident, de exemplu, în seria de solvenți apă-metanol-etanol, unde efectul razei crescătoare asupra conductibilității limită  $\Lambda_0$  depășește efectul compensator al viscozității (ec. 2.85) astfel că produsul  $\Lambda_0\eta$  scade de la soluția apoasă la cea de etanol (v. tab. 2.12). De aceea, în locul formei simple, exprimate de ecuația (2.85) este mai recomandabilă utilizarea formei generalizate:

$$u_0 r \eta = \text{const.}, \quad (2.127)$$

unde  $r$  este raza ionului solvatat.

Datorită unor constante dielectrice în general mai mici decât a apei, solvenții organici facilitează intensificarea interacțiunilor ion-ion și micșorează valorile conductibilității echivalente  $\Lambda$  sau specifice  $\lambda$  ale aceleiași electrolit, în comparație cu valoarea corespunzătoare soluției apoase (tab. 2.17). Acest fapt constituie un aspect negativ al soluțiilor neapoase, deoarece pierderile prin efect joule la trecerea unui curent de intensitate  $I$  printr-un sistem electrochimic (celulă de electroliză sau pilă galvanică) depind de produsul  $I^2R$ , iar rezistența  $R$  la rîndul ei, variază invers proporțional cu conductivitatea  $\lambda$  a soluției.

Tabela 2.17

Conductivitatea  $\lambda$  (Mho.  $\text{cm}^{-1}$ ) a unor soluții apoase și neapoase, la 25°C

Electrolit	$c(\text{moli/l})$	$\lambda(\text{Mho} \cdot \text{cm}^{-1})$			
		apă	metanol	etanol	n-propanol
HCl	$10^{-1}$	$3,913 \cdot 10^{-2}$	$1,225 \cdot 10^{-2}$	$3,543 \cdot 10^{-3}$	$8,80 \cdot 10^{-4}$
NaCl	$10^{-2}$	$1,185 \cdot 10^{-3}$	$7,67 \cdot 10^{-4}$	—	—
KCl	$10^{-2}$	$1,413 \cdot 10^{-3}$	$8,23 \cdot 10^{-4}$	—	—

Concentrația  $c$  care apare în ecuația Debye-Hückel-Onsager reflectă densitatea ionilor care există în stare liberă, neasociată în soluție apoasă; numai atunci cînd toți ionii din rețeaua cristalină a electrolitului s-au solvatat și stabilizat sub formă de ioni liberi și participă la transportul curentului, concentrația  $c$  este egală cu concentrația analitică  $c_a$  a electrolitului. Dacă în soluții se formează asociate ionice,  $c \neq c_a$ . Dar se știe că formarea perechilor ionice este condiționată de raportul în care stau parametrul dimensional  $a$  și parametrul  $q$  al lui Bjerrum (v. sect. 1.2.5); dacă  $a < q$  este satisfăcută condiția formării perechilor de ioni, iar dacă  $a > q$ , ionii rămîn neasociați. Cum  $q$  depinde invers proporțional de constanta dielectrică  $D$ , rezultă că înlocuirea apei cu un solvent organic, favorizează creșterea parametrului  $q$ . Cum parametrul dimensional  $a$  nu crește întotdeauna în aceeași măsură, rezultă condiții favorabile pentru asocierea ionică și micșorarea simultană a densității ionilor liberi duce în final la micșorarea

rarea conductibilității. Pentru corelarea conductibilității cu asocierea ionilor se poate pleca de la expresia constantei de asociere (ec. 1.164):

$$K_A = \frac{\theta}{(1 - \theta)^2} \frac{1}{c_a} \frac{f_P}{f_{\pm}^2},$$

unde  $\theta$  este fracția de asociere. Întrucît perechile ionice neutre nu sînt angajate în interacțiunile ion-ion, responsabile pentru abaterea de la unitate a factorului de activitate, nu este hazardată presupunerea  $f_P \approx 1$ . Pe baza ei, ecuația (1.164) ia forma simplificată:

$$K_A = \frac{\theta}{(1 - \theta)^2} \frac{1}{f_{\pm}^2 c_a}. \quad (2.128)$$

Să exprimăm, cu ajutorul ecuației (2.57) conductivitatea soluției neapoase:

$$\lambda = z \mathcal{F} (u_+ + u_-) c \quad (2.57)$$

și să înmulțim membrul drept cu raportul  $c_a/c_a$ :

$$\lambda = z \mathcal{F} (u_+ + u_-) \frac{c}{c_a} c_a \quad (2.58)$$

Să introducem relația dintre fracția de ioni liberi  $c/c_a$  și fracția de asociere  $\theta$ :

$$\frac{c}{c_a} = 1 - \theta. \quad (2.129)$$

Înlocuind astfel fracția de ioni liberi în ecuația (2.58), se obține:

$$\lambda = z \mathcal{F} (u_+ + u_-) (1 - \theta) c_a. \quad (2.130)$$

sau

$$\Lambda = \frac{\lambda}{z c_a} = \mathcal{F} (u_+ + u_-) (1 - \theta). \quad (2.131)$$

În lipsa asocierii ( $\theta = 0$ ), se poate defini mărimea:

$$\Lambda_{\theta=0} = \mathcal{F} (u_+ + u_-). \quad (2.132)$$

Făcînd raportul ultimelor două ecuații, se obține:

$$\frac{\Lambda}{\Lambda_{\theta=0}} = 1 - \theta \quad (2.133)$$

și gradul de asociere este:

$$\theta = 1 - \frac{\Lambda}{\Lambda_{\theta=0}}. \quad (2.134)$$

Folosind egalitățile (2.133) și (2.134) pentru înlocuirea diferenței  $1 - \theta$  și a lui  $\theta$  în ecuația (2.128), după rearanjarea acestora avem:

$$\frac{1}{\Lambda} = \frac{1}{\Lambda_{\theta=0}} + \frac{K_A f_{\pm}^2}{\Lambda_{\theta=0}^2} \cdot \Lambda c_a. \quad (2.135)$$

Ecuția (2.135) corelează conductibilitatea echivalentă cu concentrația analitică, dar conține mărimea nedeterminată  $\Lambda_{\theta=0}$ . Eliminarea ei este posibilă prin combinarea relațiilor (2.130) și (2.132):

$$\Lambda_{\theta=0} = \frac{\lambda}{z[(1-\theta)c_a]} \quad (2.136)$$

Deci  $\Lambda_{\theta=0}$  reprezintă conductibilitatea echivalentă a unei soluții care are concentrația  $c_a(1-\theta)$ , în loc de  $c$ . La concentrații mici, conductibilitatea echivalentă poate fi exprimată cu ecuația Debye-Hückel-Onsager, introducând însă în locul concentrației  $c$ , produsul  $c_a(1-\theta)$ :

$$\Lambda_{\theta=0} = \Lambda_0 - (A + B\Lambda_0) \sqrt{(1-\theta)c_a} \quad (2.137)$$

Se poate demonstra că

$$\Lambda_{\theta=0} = \Lambda_0 Z, \quad (2.138)$$

unde

$$Z = 1 - z\{1 - z[1 - z(\dots)^{-1/2}]^{-1/2}\}^{-1/2}, \quad (2.139)$$

cu

$$Z = \frac{(A + B\Lambda_0) \sqrt{c_a(1-\theta)}}{\Lambda_0^{3/2}} \quad (2.140)$$

Introducând în (2.135) valoarea lui  $\Lambda_{\theta=0}$  dată de ecuația (2.138), se obține relația:

$$\frac{Z}{\Lambda} = \frac{1}{\Lambda_0} + \frac{K_A}{\Lambda_0^2} \frac{\Lambda f_{\pm}^2}{Z} \cdot c_a \quad (2.141)$$

Rezultatul este vrednic de subliniat, deoarece în locul unei variații liniare în  $c^{1/2}$ , cum găsisese deja Kohlrausch pentru soluțiile apoase,

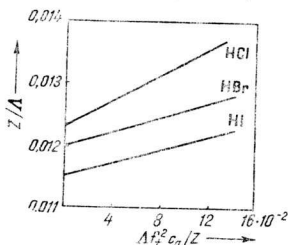


Fig. 2.18. Variația liniară a raportului  $Z/\Lambda$  în funcție de  $f_{\pm}^2 c_a / Z$  la soluții neapoase de electroliti (ec. 2.141).

$\Lambda$  soluțiilor neapoase variază liniar cu concentrația  $c$ ; panta curbei este  $K_A/\Lambda_0^2$ , iar ordonata la origine  $\Lambda^{-1}_0$ , dacă se folosește pentru reprezentare un sistem  $Z/\Lambda$  în funcție de  $\Lambda f_{\pm}^2 c_a / Z$ . Figura 2.18 ilustrează relația (2.141) pentru soluțiile a trei acizi halogenhidrici în etanol.

Dacă valoarea constantei dielectrice coboară sub 10, se creează condiții favorabile pentru formarea nu numai a perechilor ci și a tripleților ionici; pe măsură ce concentrația crește, conductibilitatea în asemenea soluții scade treptat, atinge un minim și devine din nou crescătoare, trecând

printr-un maxim (fig.2.19). Formarea perechilor, electric neutre și deci neparticipante la conducția curentului este responsabilă pentru scăderea inițială de conductibilitate. Pe măsură ce concentrația crește, formarea perechilor este treptat înlocuită de constituirea unor tripleți ionici, care posedă sarcină, participă la transportul curentului prin soluție și măresc conductibilitatea soluției. Atingerea unui maxim și scăderea ulterioară de conductibilitate înregistrată la concentrații și mai mari se datorează probabil formării unor asociate superioare (de ex. cuadrupleți). În tabelul 2.18 sînt date constantele dielectrice și temperaturile de fierbere ale unor solvenți neapoși. În general, la trecerea de la soluții apoase la soluțiile neapoase ale electroliților reali, se constată o scădere substanțială a conductivității  $\lambda$  și o scădere mai puțin pronunțată a conductibilității echivalente limită  $\Lambda_0$ .

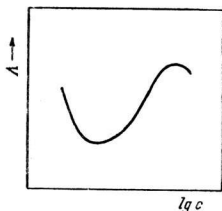


Fig. 2.19. Variația neașteptată a conductibilității în solvenți neapoși avînd constantă dielectrică mică ( $<10$ ).

Tabelul 2.18

Constantele dielectrice și temperaturile de fierbere ale unor solvenți neapoși

Solventul	$D$	$T_f(^{\circ}C)$	Solventul	$D$	$T_f(^{\circ}C)$	Solventul	$D$	$T_f(^{\circ}C)$
Pentan	1,8	33	Cloroform	4,81	60	Alcool butilic	17,10	118
Ciclohexan	2,02	80	Brombenzen	5,40	154	Alcool propilic	20,10	98
Dioxan	2,21	105	Acetat de etil	6,02	76	Metanol	32,80	65
Toluen	2,38	110	Acid acetic gl.	6,15	118	Sulfat de dimetil	42,60	188
Eter propilic	3,40	90	Piridina	12,3	115	Formamidă	109,50	211

Dacă se are în vedere obținerea unor bune conductivități, în soluții neapoase, este preferabilă alegerea unui electrolit potențial care interacționează chimic cu solventul (v. secț. 2.2.6).

Înainte de a încheia această secțiune, trebuie menționate efectele frecvențelor înalte și a câmpurilor electrostatice intense asupra conductibilității.

Nu mult după elaborarea modelului norului ionic, Debye și Falkenhagen au lansat ipoteza că electroliții ar trebui să manifeste o exaltare de conductibilitate dacă măsurătorile s-ar efectua în curent alternativ de înaltă frecvență, deoarece efectul câmpului de relaxare ar fi mult micșorat. S-a menționat că în soluții diluate timpul necesar pentru refacerea norului ionic este de ordinul microsecundei. Făcînd frecvența curentului alternativ să se apropie de frecvența de oscilație a ionului central,



deformarea atmosferei de sarcină în jurul ionului în mișcare nu se poate desăvârși, iar efectul de întârziere ce i se datorează, este micșorat.

Ipoteza a fost demonstrată experimental; la curenți avînd lungimea de undă de cîțiva cm, efectul cîmpului de relaxare este aproape nul. Aceasta constituie încă o verificare strălucită a teoriei despre interacțiunea ion-ion, dar măsurătorile sînt dificile din cauza efectelor extrem de mici care se măsoară.

Conductibilitatea soluțiilor de electrolit este de asemenea influențată de cîmpuri electrice intense (efect Wien). În cîmpuri de ordinul a  $10^5$  V/cm, ionii care în mod obișnuit sînt stimulați de viteze de cîțiva cm/h, ating viteze de ordinul metrilor pe sec. În aceste condiții brutale, ionul este pur și simplu smuls din atmosfera sa, iar efectul cîmpului de relaxare este suprimat. Onsager și Wilson au arătat că din cauza unui efect remanent electroforetic, destul de mic, conductibilitatea echivalentă (sau mobilitatea ionică relativă), măsurată la concentrații obișnuite, ar trebui să se apropie simțitor de valoarea limită  $\Lambda_0$  sau  $\Lambda_{0,\pm}$ .

Pentru evitarea inconvenientelor generate de căldura ce s-ar degaja prin efect joule în soluția în care s-au creat cîmpuri electrice atît de mari, verificarea s-a făcut folosind curenții obținuți la descărcarea unor condensatori. Mai nou se apelează la tehnica curenților pulsator. Indiferent de tehnica utilizată, rezultatele experimentale au confirmat teoria.

Este interesant că efectul unor cîmpuri electrice foarte intense nu se limitează numai la accelerarea ionilor, ci și la descompunerea unor perechi ionice. De exemplu în asemenea cîmpuri electrice, fracția de asociere în soluții foarte diluate de  $\text{ZnSO}_4$  scade de la 3,1% la numai 6‰. În aceste condiții și factorii de activitate devin practic unitari.

## 2.2.6 DETERMINAREA EXPERIMENTALĂ A CONDUCTIBILITĂȚII SOLUȚIILOR DE ELECTROLIȚI

Conductibilitatea este definită prin valoarea reciprocă a rezistenței și de aceea, măsurătorile de conductibilitate se reduc la măsurători de rezistență. Montajul folosit în acest scop este puntea de rezistență a lui

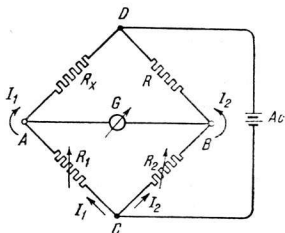


Fig. 2.20. Puntea de rezistențe a lui Wheatstone.

Wheatstone (fig. 2.20), alcătuită din două rezistențe variabile  $R_1$  și  $R_2$ , rezistența etalon  $R$  și rezistența de măsurat  $R_x$ . Aplicînd o diferență de potențial între punctele C și D, prin ramurile CAD și CBD se scurg curenți de intensitate diferită. Galvanometrul  $G$  bransat între punctele A și B servește la echilibrarea punții; indicatorul lui revine la zero atunci cînd punctele A și B se găsesc la aceeași tensiune. În aceste condiții putneae este chilibrată și permite calcularea rezistenței necunoscute  $R_x$ , prin aplicarea legii lui Ohm celor

#### 4 ramuri ale circuitului punții

$$R_1 I_1 = R_2 I_2 \quad (2.142)$$

și

$$R_x I_1 = R I_2 \quad (2.143)$$

Făcînd raportul celor două egalități se obține a patra proporțională  $R_x$ .

$$R_x = R \frac{R_1}{R_2} \quad (2.144)$$

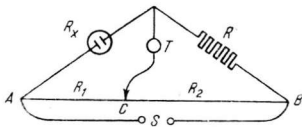


Fig. 2.21. Puntea lui Kohlrausch.

Alimentarea punții cu curent continuu, avantajoasă în cazul conductorilor de specia întâi, nu este indicată la măsurătorile cu soluții de electroliți (conductori de specia a doua), din cauza polarizării electrozilor, soldată cu variația rezistenței. În locul curentului continuu se utilizează curent alternativ avînd frecvența destul de înaltă și nedistorsionată.

În acest caz puntea trebuie echilibrată în raport cu capacitatea și inducția, pentru a realiza curentul nul din galvanometru. Cum în realitate acest lucru nu este realizabil, echilibrul punții este indicat de fapt de un curent minim și nu de valoarea sa nulă. Fiînd sensibile la variațiile de temperatură, măsurătorile de conductibilitate trebuie efectuate în condiții de strictă constanță a temperaturii, utilizîndu-se un termostat.

Figura 2.21 reproduce o modificare a punții lui Wheatstone, datorită lui Kohlrausch, foarte răspîdită în măsurătorile de laborator. Ea constă dintr-un fir calibrat  $AB$ , ale cărui capete se leagă la secundarul  $S$  al unei bobine de inducție sau la un oscilator electronic;  $R_x$  reprezintă celula de conductibilitate, în care se introduce soluția de cercetat, iar  $R$  rezistența etalon. Ca instrument de zero, în locul galvanometrului de curent alternativ se poate utiliza și un telefon  $T$  cu căști; modificarea rezistențelor  $R_1$  și  $R_2$  se obține prin deplasarea cursorului  $C$  al punții cu fir. Punții lui Kohlrausch se pot aduce o serie de îmbunătățiri, pentru a satisface pretențiile unor măsurători de mare precizie.

Celulele sau vasele de conductibilitate au forme variate (fig. 2.22) în funcție de destinație: titrări conductimetrice, măsurători cu soluții mai diluate sau mai concentrate etc. Deoarece distanța interelectrodică, precum și suprafața electrozilor sînt variabile, constanta de rezistență a vasului trebuie determinată în prealabil, cu ajutorul unei soluții de electrolit standard, în condiții de temperatură bine definite. Simbolizînd cu  $s$  secțiunea electrozilor și cu  $l$  distanța care îi

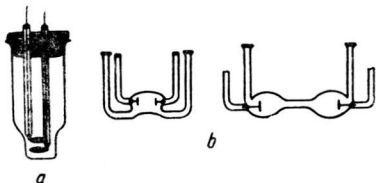


Fig. 2.22. Celule de conductibilitate :

a — pentru măsurători de rutină și b — destinate unor măsurători de precizie.

separă, rezistența coloanei de lichid din volumul determinat de acestea, este :

$$R = \frac{1}{\lambda} \cdot \frac{l}{s} . \quad (2.31)$$

Constanta de rezistență  $C$  a vasului de conductibilitate (sau mai simplu, constanta vasului) se calculează cu ajutorul egalității

$$C = R\lambda_{etalon} , \quad (2.145)$$

unde  $\lambda_{etalon}$  este conductivitatea soluției etalon, iar  $C = l/s$ .

Cunoscînd constanta vasului se poate trece apoi la determinarea conductivității soluției de studiat, a cărei valoare se calculează cu ecuația :

$$\lambda = \frac{C}{R} . \quad (2.146)$$

Conductivitatea  $\lambda$  astfel măsurată însumează conductivitatea apei și a solvatului. Dacă ele diferă în foarte mare măsură, neglijarea celei dintîi nu prejudiciază măsurătorile. În caz contrar se cer efectuate corecțiile necesare, care constau în scăderea conductivității solventului din valoarea  $\lambda$  determinată experimental.

În tabelul 2.19 sînt date valorilor conductivităților și concentrațiile unor soluții de KCl, folosite la etalonarea vaselor de conductivitate, indicîndu-se și domeniul de valori al constantei celei de conductibilitate.

*Tabelul 2.19*

**Conductivitatea soluțiilor de KCl folosite la etalonarea celulelor de conductibilitate**

Concentrație (g/1 000 g soluție)	$\lambda \cdot 10^3$ * (Mho $\cdot \text{cm}^{-1}$ )		Domeniul constantei $C$ a celulei de conductibilitate
	20°C	25°C	
71,3828	102,024	111,733	5 — 200
7,4334	11,6676	12,8862	0,5 — 20
0,7465	1,27572	1,41145	0,05 — 2

\* Corectate cu  $\lambda$  al apei curate

Conductivitatea soluțiilor de electroliți variază cu concentrația în modul arătat în figura 2.23. Existența maximului și a scăderii lui  $\lambda$  la concentrații mari s-ar explica prin fenomenul de asociere ionică.

Existența unor maxime de conductivitate pe curbele  $\lambda$ - $c$ , stă la baza recomandărilor ce se fac referitor la concentrațiile electroliților din pilele galvanice sau de combustie ; pentru a reduce la minim polarizația ohmică, concentrațiile trebuie să fie cele corespunzătoare maximelor de conductivitate (de exemplu în acumulatorul cu plumb, acidul sulfuric are o concentrație  $\sim 7 N$ ).

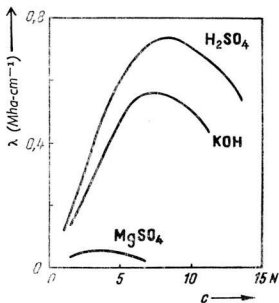


Fig. 2.23. Variația conductivității cu concentrația soluției de electrolit.

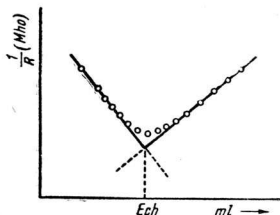


Fig. 2.24. Micile abateri de la liniaritate din zona punctului de echivalență nu afectează precizia determinării acestuia.

Metoda conductometrică este deosebit de apreciată la studiul reacțiilor ionice, în special în soluții foarte diluate. Ea a dat rezultate excelente, de exemplu, la analiza purității apei, la determinarea precisă a vitezelor de hidroliză a esterilor și la măsurarea vitezelor de dizolvare și cristalizare a sărurilor greu solubile.

Titările conductometrice se folosesc în largă măsură grație ușurinței și preciziei cu care se poate determina punctul de echivalență. Pentru a evita eroarea cauzată de diluarea soluției de titrat cu soluția reactivului adăugat, se recurge la corecția de volum a fiecărui nou adaos de reactiv titrant, prin înmulțirea conductibilității, înainte de reprezentarea grafică, cu un factor (egal cu raportul dintre volumul inițial + volumul adăugat/volumul inițial). O altă variantă la care se recurge pentru eliminarea erorii de volum constă în folosirea unui volum mare de soluție de titrat și un volum mult mai mic ( $\sim 1:10$ ) de reactiv titrant, având concentrația mai mare.

Determinarea grafică a punctului de echivalență utilizată în conductometrie constituie un avantaj asupra decelării directe a acestuia în metoda volumetrică, cu indicator, atunci când anumite reacții secundare (cum ar fi de exemplu hidroliza) se suprapun perturbator pe reacția principală; micile abateri de la liniaritate în zona punctului de echivalență *Ech*, nu afectează precizia determinării (fig.2.24). Menționăm apoi utilitatea metodei la titrările în soluții tulburi sau colorate și posibilitatea titrării unor acizi slabi cu baze slabe, aceasta din urmă fiind o performanță neegalată de alte metode analitice obișnuite (fig.2.25, curba 2).

Prezența unor cantități mari de neelectrolit nu produce interferențe supărătoare, dar cantități mari de electrolit indiferent reduc sensibilitatea metodei. Reactivul trebuie astfel adăugat încât să producă variația maximă de conductibilitate, atât în zona care precede cât și în cea următoare punctului de echivalență, pentru ca unghiul dintre ramurile reprezentării grafice

să fie cât mai ascuțit. Aceasta reușește deosebit de bine la titrările unor acizi tari cu baze tari, unde ionul  $H^+$  foarte mobil, este substituit cu un cation (de exemplu  $K^+$ ) mult mai puțin mobil (v. tab. 2.20 și curba 1) din fig.2.25):



Tabelul 2.20

Mobilități electrochimice (viteze de migrare)  
ale unor ioni, în soluție infinit diluată, la 25°C

Cationul	$u_{0,+} \text{ (cm}^2\text{s}^{-1}\text{V}^{-1}\text{)}$	Anionul	$u_{0,-} \text{ (cm}^2\text{s}^{-1}\text{V}^{-1}\text{)}$
$H^+$	$36,25 \cdot 10^{-4}$	$OH^-$	$20,55 \cdot 10^{-4}$
$D^+$	$25,1 \cdot 10^{-4}$	$OD^-$	$12,2 \cdot 10^{-4}$
$Li^+$	$4,00 \cdot 10^{-4}$	$F^-$	$5,74 \cdot 10^{-4}$
$Na^+$	$5,19 \cdot 10^{-4}$	$Cl^-$	$7,92 \cdot 10^{-4}$
$K^+$	$7,62 \cdot 10^{-4}$	$Br^-$	$8,10 \cdot 10^{-4}$
$Rb^+$	$8,06 \cdot 10^{-4}$	$I^-$	$7,97 \cdot 10^{-4}$
$Cs^+$	$8,02 \cdot 10^{-4}$	$NO_3^-$	$7,40 \cdot 10^{-4}$
$Ag^+$	$6,42 \cdot 10^{-4}$	$ClO_4^-$	$6,97 \cdot 10^{-4}$
$Tl^+$	$7,74 \cdot 10^{-4}$	$SO_4^{2-}$	$8,29 \cdot 10^{-4}$
$NH_4^+$	$7,62 \cdot 10^{-4}$	$C_2O_4^{2-}$	$7,67 \cdot 10^{-4}$
$Mg^{2+}$	$4,18 \cdot 10^{-4}$	$Fe(CN)_6^{3-}$	$10,47 \cdot 10^{-4}$
$Ca^{2+}$	$6,16 \cdot 10^{-4}$	$Fe(CN)_6^{4-}$	$11,45 \cdot 10^{-4}$
$Cu^{2+}$	$5,87 \cdot 10^{-4}$	$HCOO^-$	$5,65 \cdot 10^{-4}$
$Zn^{2+}$	$5,48 \cdot 10^{-4}$	$CH_3COO^-$	$4,24 \cdot 10^{-4}$
$N(CH_3)_4^+$	$4,65 \cdot 10^{-4}$	$C_6H_5COO^-$	$3,35 \cdot 10^{-4}$
$N(C_2H_5)_4^+$	$3,38 \cdot 10^{-4}$		

Pentru a ocoli dezavantajul unor intersecții nesatisfăcătoare pe curbele conductibilitate — reactiv, la titrarea unui acid de tărie mijlocie ( $pK = 3 - 4$ ) cu o bază slabă sau tare, se recomandă următoarea metodă ingenioasă: soluției de acid mijlociu i se adaugă în cantitate subechivalentă o bază slabă (amoniac), după care titrarea se continuă cu NaOH (fig. 2.26, curba 2). Punctul A marchează neutralizarea cantității reziduale

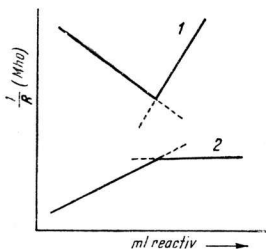


Fig. 2.25. Curbe de titrare conductometrică:  
1 — acid tare cu bază tare; 2 — acid slab cu bază slabă.

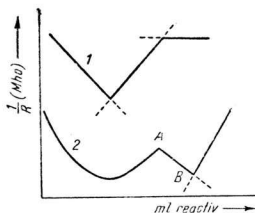


Fig. 2.26. Titrarea amestecului  
1 —  $HCl + CH_3COOH$  cu amoniac și 2 — a unui acid de tărie mijlocie cu NaOH după un prealabil adaos de amoniac.

de acid, iar punctul *B*, foarte net, corespunde echivalenței acidului total, inițial; conductibilitatea scade brusc după depășirea punctului *A*, deoarece ioni mai mobili,  $\text{NH}_4^+$ , sînt deplasați de ioni  $\text{Na}^+$ , mai lînți (v. tab. 2.20). Dacă *pK*-urile lor diferă îndeajuns, este posibilă titrarea succesivă a unor acizi aflați în amestec (curba 7 din fig. 2.26). Metoda poate servi la determinarea conținutului de acid mineral din oțet și la titrarea în trepte a unor acizi polivalenți, avînd *pK*-urile destul de diferite.

Curba 7 din figura 2.26 sugerează aplicarea metodei la titrarea amestecului de sare, puternic hidrolizată, + acid. Folosind de exemplu ca reactiv o soluție de  $\text{NaOH}$  se pot doza ambii constituenți ai amestecului de  $\text{CH}_3\text{COOH} + \text{NH}_4\text{Cl}$ ; curba de titrare este crescătoare în timpul neutralizării  $\text{CH}_3\text{COOH}$ , iar după echivalența acestuia ea devine descrescătoare pînă la titrarea completă a ionului  $\text{NH}_4^+$ ; punctul de echivalență al acestuia din urmă corespunde minimului net de conductibilitate înregistrat.

Deși soldată cu eliminarea unor ioni din faza lichidă și deci avantajoasă sub aspect pur conductometric, titrarea conductometrică de precipitare nu este întotdeauna suficient de precisă, din cauza adsorbției ionilor pe precipitat și uneori datorită vitezei reduse de formare a precipitatului. Acestor factori de perturbare li se mai adaugă și alții, cum ar fi precipitarea de săruri bazice, care interferează neplăcut chiar și în cursul unor reacții de precipitare satisfăcătoare din punct de vedere cinetic. De aceea, în scopuri analitice, se preferă utilizarea unor reacții care să conducă mai de grabă la neelectrolizi sau la complecși solubili decît la precipitare.

## 2.2.7 DETERMINAREA NUMERELOR DE TRANSPORT

Numerele de transport se pot determina prin metode diferite. Una din acestea, elaborată de H i t t o r f în 1857, este încă și azi larg utilizată. Ea se bazează pe variația cantității de electrolit înregistrată în spațiul catodic și cel anodic la electroliza în condiții determinate a soluției de electrolit. Să presupunem că se efectuează electroliza  $\text{AgNO}_3$  cu electrozi de argint (fig. 2.27). Prin trecerea unei cantități de electricitate de  $x\mathcal{F}$ , la anod se vor dizolva *x* echivalenți de argint, trecînd în soluția de  $\text{AgNO}_3$ .

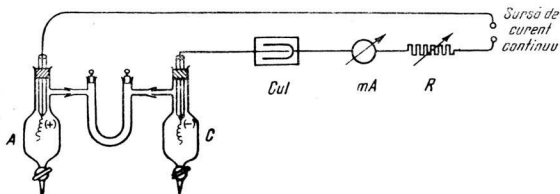


Fig. 2.27. Instalație pentru determinarea numerelor de transport (după H i t t o r f).

Simultan, la catod se vor depune  $x$  echivalenți de argint. Acest transfer de argint este asociat cu transportul a  $96\,490x$  C de sarcină negativă (electroni) prin circuitul exterior de la anod spre catod, pentru neutralizarea argintului depus catodic. Pentru închiderea circuitului,  $x\mathcal{F}$  coulombi de electricitate negativă vor fi transportați în soluție de la catod spre anod, de către ionii  $\text{Ag}^+$  și  $\text{NO}_3^-$ .

După un anumit timp de electroliză, se găsește că soluția din spațiul catodic a fost sărăcită în  $\text{AgNO}_3$ , pe cînd în spațiul anodic se observă o creștere a cantității de  $\text{AgNO}_3$ ; în zona intermediară (tubul în  $U$ ) conținutul de  $\text{AgNO}_3$  se păstrează neschimbat.

Micșorarea cantității de  $\text{AgNO}_3$  din spațiul catodic se datorează reacției catodice și mișcării spre spațiul catodic și în sens contrar a ionilor  $\text{Ag}^+$  și  $\text{NO}_3^-$ . Acești ioni sînt în cantitate egală și transportă sarcini electrice egale și dacă vitezele lor de deplasare în cîmpul electric (mobilitățile electrochimice) ar fi egale, ar transporta și fracțiuni egale de curent. Dar din cauza diferenței de dimensiune, ei întîlnesc rezistențe diferite în mișcarea lor prin soluție și prin urmare vor avea mobilități electrochimice diferite. Implicit, și fracțiunile de curent transportate de cele două specii nu vor fi egale; ele vor fi, conform ecuațiilor (2.91) și (2.92) egale cu  $u_+/(u_+ + u_-)$  pentru  $\text{Ag}^+$  și  $u_-/(u_+ + u_-)$  pentru  $\text{NO}_3^-$ . Prin urmare,  $xu_+/(u_+ + u_-)$  echivalenți gram de ioni  $\text{Ag}^+$  vor pătrunde în spațiul catodic și  $xu_-/(u_+ + u_-)$  echivalenți gram de ioni  $\text{NO}_3^-$  vor părăsi același spațiu. Pierderea în ioni  $\text{NO}_3^-$  din spațiul catodic este însoțită de o echivalentă pierdere de ioni  $\text{Ag}^+$ , prin depunere. Deci:

$$\frac{\text{Pierdere de } \text{AgNO}_3 \text{ la catod}}{\text{Cantitatea de electricitate totală}} = \frac{u_-}{u_+ + u_-} = t_- \quad (2.147)$$

Numărătorul primei fracții se poate determina prin dozarea cantității de azotat de argint din spațiul catodic, înainte și după electroliză, scurgînd soluția prin robinetul  $R$  (fig.2.27). Numitorul fracției se determină cu ajutorul culometrului Cul din circuitul de electroliză (fig. 2.27). Evident,

$$t_+ = 1 - t_- = 1 - \frac{u_-}{u_+ + u_-} \quad (2.148)$$

La construirea aparatului destinat determinărilor de numere de transport, trebuie să se ia în considerare următoarele:

— pentru a se evita amestecarea soluțiilor din diversele zone ale aparatului, se cere fixarea fermă a lui și evitarea vibrațiilor;

— din aceleași motive, dacă în cursul electrolizei se degajă gaze, electrozii trebuie plasați în vîrf;

— pentru evitarea efectelor gravitaționale, atunci cînd soluția devine mai densă, electrozii trebuie plasați în partea inferioară a coloanei de lichid, iar dacă soluția devine mai ușoară electrozii se plasează în partea superioară;

— pentru a evita o încălzire apreciabilă a soluției sau curenții de convecție prea puternici, curentul de electroliză nu trebuie să fie prea mare; pentru ca difuzia să nu afecteze concentrația soluției intermediare, curentul de electroliză nu trebuie să fie nici prea mic.

Condițiile enumerate pot fi satisfăcute cu intensitatea de 10—20 mA și o durată de electroliză de 1—2 ore ; intensitatea curentului se ajustează cu rezistența variabilă  $R$ .

## ***Bibliografie***

1. L. I., Antropov. *Teoreticeskaia Electrohimia*. I-vo V.S., Moskva, 1965, partea II
2. J. O'M., Bockris și A. K. N., Reddy. *Modern Electrochemistry*. Plenum Press New York, 107, cap. 4
3. C. W., Davies. *Electrochemistry*. G. Nownes Ltd., London, 1967, cap. 3,4.
4. H., Eyring, D., Henderson și W., Jost. *Physical Chemistry*, vol. IX a, Electrochemistry, Academic Press, New York, London, 1970. cap. 1
5. G., Milazzo. *Electrochemistry*. Elsevier, Amsterdam, London, New York, 1963, cap. 2
6. G. Niac și E., Schönbberger. *Chimie Fizică 3*, Editura Tehnică, București, 1970, secț. 1, 3.



## PROTONUL ÎN SOLUȚIE. ACIZI ȘI BAZE

Protonul sau atomul de hidrogen ionizat se bucură de o situație cu totul specială în rândul tuturor ionilor. Neavînd înveliș electronic, el se poate apropia de ionii învecinați pînă la distanțe neegale de mici și de aceea se caracterizează prin foarte puține restricții sterice în reacțiile chimice. Dimensiunile sale ( $10^{-15}$  m) sînt cu 5 ordine de mărime mai mici decît dimensiunile ionilor obișnuiți ( $10^{-10}$  m); este cel mai mic și cel mai ușor ion. Protonul este în același timp o particulă elementară, unitate structurală de bază în alcătuirea materiei.

Bineînțeles că un asemenea ion trebuie să posede proprietăți cu totul speciale, care justifică abordarea într-o secțiune aparte a interacțiunii sale cu moleculele de solvent (solvatarea), migrația lui prin masa de solvent și interacțiunile dintre protonul solvatat și alți ioni, capabile să ofere informații despre comportările acizilor și a bazelor.

### 3.1 ENERGETICA SOLVATĂRII PROTONULUI

Marea afinitate a protonului față de electron este demonstrată de valoarea considerabilă a energiei cheltuite pentru ionizarea atomului neutru de hidrogen (tab. 3.1). Aceasta explică tendința hidrogenului de a se lega prin covalență de alți atomi, precum și facultatea de a forma legături de hidrogen cu molecule sau ioni care posedă dublete electronice neparticipante. De aceea, existența protonului în soluție este de neconceput; în momentul următor generării sale, el se solvatează (hidratează). Studii roentgenografice au pus în evidență existența ionului  $H_3O^+$  în rețeaua cristalină a monohidratului  $HClO_4 \cdot H_2O$  ( $H_3O^+ ClO_4^-$ ), care are structură izomorfă cu  $NH_4ClO_4$ . Deoarece rețeaua acestuia din urmă

*Tabelul 3.1*

**Energia de ionizare a hidrogenului,  
comparată cu energia de ionizare a  
metalelor alcaline**

Elementul	Energia de ionizare (kcal/mol)
H	313
Li	124
Na	118
K	100
Rb	96
Cs	90

este constituită din ionii  $\text{ClO}_4^-$  și  $\text{NH}_4^+$ , prin analogie cu ionul amoniu, gruparea ionică  $\text{H}_3\text{O}^+$  a fost „botezată” hidroniu.

Existența ionului hidroniu a fost demonstrată și în fază gazoasă. Supunându-se unor descărcări electrice sub presiune redusă, vaporii de apă suferă disociere ionică; analizînd fluxul de vaporii emergent din tubul de descărcare la un spectrometru de masă, s-a identificat ionul  $\text{H}_3\text{O}^+$ , în concentrație preponderentă, alături de mici cantități de specii polimere, cum sînt:  $\text{H}_5\text{O}_2^+$ ,  $\text{H}_7\text{O}_3^+$ ,  $\text{H}_9\text{O}_4^+$  etc.

Spectroscopia în lumină infra-roșie a evidențiat existența ionului hidroniu și în soluție apoasă lichidă (Falk, Griguère, 1957), iar determinări de refracții molare, în serii izoelectronice de ioni și molecule, au confirmat acest rezultat. Reprezentînd grafic refracția molară,  $R_M$ , proprietate care reflectă dimensiunea și forma moleculei, în serii de ioni și molecule conținînd același număr de electroni, poziția  $\text{H}_3\text{O}^+$  se încadrează în seria  $\text{O}^{2-}$ ,  $\text{OH}^-$ ,  $\text{OH}_2$ ,  $\text{OH}_3^+$  și se situează la aceeași valoare a abscisei ca  $\text{NH}_3$  (fig.3.1).

Structura și parametri structurali ai ionului hidroniu stabiliți prin cercetări de RMN asupra hidraților acizi ( $\text{ClO}_4^- \cdot \text{H}_3\text{O}^+$ ) în fază solidă sînt redați în figura 3.2; piramida trigonală aplatizată conține atomul de oxigen în vîrf, iar atomii de hidrogen în colțurile triunghiului de bază, întocmai ca la molecula  $\text{NH}_3$ .

Reacția de formare a ionului hidroniu este puternic exotermă



Cantitatea apreciabilă de căldură degajată atestă marea afinitate a protonului față de molecula de apă și în același timp este un argument împotriva existenței protonilor liberi în soluție; concentrația lor ipotetică în stare liberă,  $\text{H}^+$ , așa cum rezultă din calcul, ar fi de  $10^{-150}$  ioni g  $\text{H}^+/\text{l}$ , deci practic nulă.

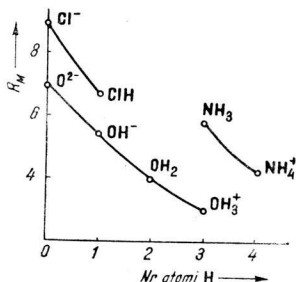
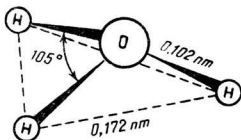


Fig. 3.1. Refracțiile molare ale unor serii izoelectronice de ioni și molecule.

Fig. 3.2. Forme și parametri structurali ai ionului  $\text{H}_3\text{O}^+$ .



Entalpia de solvatare a protonului, care înglobează și entalpia de formare a ionului  $\text{H}_3\text{O}^+$  ( $-170$  kcal/mol), precum și entalpia de hidratare a ionului  $\text{H}_3\text{O}^+$ , valorează  $-266$  kcal/mol. Rezultă că aceasta din urmă se cifrează la  $-96$  kcal/mol, valoare apropiată de entalpia de solvatare a ionului  $\text{K}^+$  (v. tab. 1.13) a căruia rază (ion solvatat!) este comparabilă cu a ionului  $\text{H}_3\text{O}^+$ . Entalpia de hidratare a ionului  $\text{H}_3\text{O}^+$  constituie o dovadă a interacțiunii dintre acesta și moleculele de apă învecinate, solidată cu formarea unor grupări de solvatare stabile. Numărul  $n$  de molecule de apă angajate în învelișul de hidratare (solvatare) al ionului  $\text{H}_3\text{O}^+$  se poate deduce pe baza fenomenului de electrostricțiune, din variația volumului molar parțial al apei cu temperatura, în următoarele două alternative: ionul  $\text{H}_3\text{O}^+$  nu coordonează nici o moleculă de apă sau coordonează un număr oarecare  $n$  de molecule de apă. Confruntarea datelor experimentale cu calculele teoretice arată o bună concordanță pentru  $n = 3$  (fig. 3.3), de unde concluzia că ionul hidroniu este asociat cu 3 molecule de apă, formînd gruparea  $(\text{H}_9\text{O}_4)^+$  pusă în evidență, așa cum s-a menționat mai sus, în stare gazoasă. Simetria coordinării este tetraedrică, ionul  $\text{H}_3\text{O}^+$  legînd prin punți de hidrogen 3 molecule de apă învecinate; al patrulea centru de coordinare interacționează electrostatic cu o moleculă de apă mai îndepărtată (fig. 3.4).

Protonul se solvatează în soluții alcoolice într-un mod asemănător cu soluțiile apoase, avînd de exemplu forma  $\text{ROH}_2^+$  pentru alcoolii primari și structuri corespunzătoare în cazul alcoolilor secundari și terțiari. Afinitatea dintre proton și alcool depinde de structura alcoolului printr-un efect inductiv, iar efectul de solvatare global va fi determinat de factori sterici, ca și la ionizarea altor acizi.

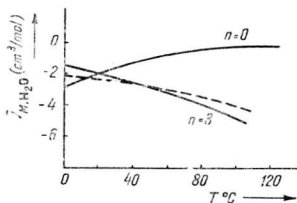


Fig. 3.3. Variația volumului molar parțial al apei cu temperatura, în două alternative:  $n = 0$  și  $n = 3$ . Curba experimentală este întreruptă.

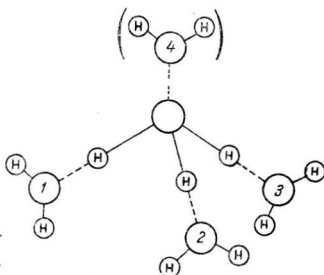


Fig. 3.4. Schema grupării  $\text{H}_9\text{O}_4^+$  și a legăturii electrostatice cu o a 4-a moleculă  $\text{H}_2\text{O}$  mai îndepărtată.

Este vrednic de reținut faptul că structura specială a ionilor de tip „oniu” a fost menționată prima dată în cazul soluțiilor alcoolice de acizi folosite la studiul esterificării catalizate de acizi (G o l d s c h m i d t, 1909).

### 3.2 CUM SE EXPLICĂ MAREA MOBILITATE A PROTONULUI ÎN SOLUȚIE

În secțiunea 2 s-a relevat mobilitatea anormal de mare a protonului în soluții apoase (v. tab. 2.20). În tabelul 3.2 figurează, comparativ mobilitățile protonului în apă și gheață, iar în tabelul 3.3 este ilustrat efectul asupra numărului de transport; pe cînd toți ceilalți cationi au  $t_+ < 0,5$ , hidrogenul transportă peste 80% din curentul total, într-o soluție apoasă de acid.

Tabelul 3.2

Comparație între mobilitățile electrochimice ale protonului și a unor ioni în apă și gheață

Ionul	$u$ ( $\text{cm}^2\text{s}^{-1}\text{V}^{-1}$ )
$\text{K}^+$ în apă	$7,6 \cdot 10^{-4}$
$\text{Li}^+$ în gheață	$\ll 10^{-8}$
$\text{H}^+$ în apă	$3,6 \cdot 10^{-3}$
$\text{H}^+$ în gheață	$10^{-1} - 1$

Comparînd diferența dintre conductibilitățile echivalente limită corespunzătoare unui hidracid ( $\text{HCl}$ ) și unei halogenuri alcaline ( $\text{LiCl}$ ), măsurate în apă, metanol, etanol și  $n$  - propanol, se constată scăderea monotonă a acesteia (fig. 3.5).

Tabelul 3.3

Numere de transport ale unor cationi în soluții  $10^{-2} N$  de cloruri la  $25^\circ\text{C}$

Ionul	$t_+$
$\text{H}^+$	0,8251
$\text{Li}^+$	0,329
$\text{Na}^+$	0,3918
$\text{K}^+$	0,490
$\text{Ba}^{2+}$	0,440
$\text{La}^{3+}$	0,4625

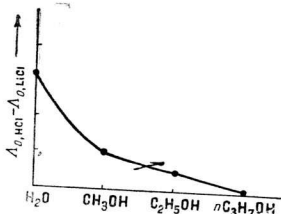


Fig. 3.5. Diferența  $\Delta_{0,\text{HCl}} - \Delta_{0,\text{LiCl}}$  în diverși solvenți, la  $25^\circ\text{C}$ .

Tabelul 3.4

Variația, termică a entalpiei de activare a mobilității electrochimice a ionului  $H^+$

$\Delta T(^{\circ}K)$	$\Delta H^{\ddagger} (kcal/mol)$
273–291	2,8
291–298	2,48
298–323	1,9
323–348	1,4
348–373	0,88

Raportul dintre mobilitățile electrochimice ale hidrogenului și deuteriului (v. tab. 2.20) este mult mai mare decât ne-am putea aștepta din aplicarea relației:

$$u = \frac{e_0 z_i}{1800 \pi \eta \nu}, \quad (2.78)$$

deoarece ionii  $H_3O^+$  și  $D_3O^+$  au practic aceeași rază.

În sfârșit, mai trebuie amintită variația cu temperatura a entalpiei de activare a mobilității protonului

(v. tab. 3.4); majoritatea celorlalți ioni prezintă o singură valoare a energiei de activare într-un domeniu apreciabil de temperatură.

Faptele citate ne obligă să conchidem că în soluții apoase, protonul conduce curentul după un mecanism cu totul original, care este radical diferit de mecanismul de conducție al tuturor celorlalți ioni. Printre altele, mobilitatea electrochimică a protonului nu poate fi prevăzută de ecuația (2.78), bazată pe raza ionului și vîscozitatea mediului în care se mișcă.

Modelul adoptat pentru a explica comportamentul excepțional al protonului este schițat în figura 3.6; grație prezenței în imediata vecinătate a protonului a unor molecule de apă posedînd dublet electronic neparticipant și datorită constrîngerii de a se mișca după direcția și sensul impuse de cîmpul electric exterior, protonul efectuează o serie de salturi de la o moleculă de apă la alta. Rezultatul global sub aspect dinamic este același ca și cel obținut în alternativa unui transport efectiv al entității  $H_3O^+$ , dar viteza transportului poate atinge valori neobișnuit de mari, iar modelul nu prejudiciază existența ionului hidroniu, deoarece așa cum

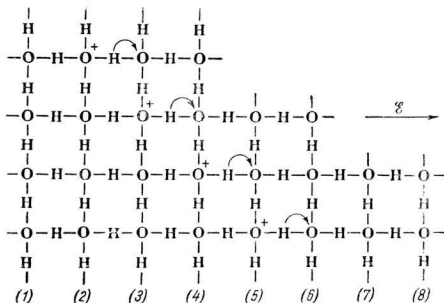


Fig. 3.6. Mecanismul de conducție al protonului în soluție apoasă.

se va vedea, timpul necesar executării saltului este incomparabil mai scurt decât durata de timp cât protonul rămîne atașat de molecula de apă.

Dacă modelul prezentat este valabil, mobilitatea protonului va depinde de viteza cu care se efectuează salturile lui de la o moleculă de apă la alta și o teorie a fenomenului s-ar putea elabora pe baza teoriei vitezelor absolute. În cadrul acesteia se stabilește că pentru efectuarea cu succes a saltului protonul trebuie să escaladeze bariera de energie potențială care măsoară energia de activare a procesului; o dată energia de activare cunoscută, mobilitatea protonului poate fi calculată.

Pentru aflarea energiei de activare se poate alege calea riguroasă, dar mult mai laborioasă, a trasării suprafețelor de energie potențială sau o cale mai aproximativă, bazată pe utilizarea ecuațiilor Morse din spectroscopie. Asimilînd gruparea  $\text{H}_3\text{O}^+$  cu un sistem pseudobiatomic  $\text{H}_2\text{O}-\text{H}^+$ , energia potențială  $U_r$  a lui se poate exprima prin următoarea ecuație Morse:

$$U_r = D\{1 - \exp[-a(r - r_e)]\}^2, \quad (3.1)$$

unde:  $D$  este energia cheltuită pentru disocierea ansamblului  $\text{H}_2\text{O}-\text{H}^+$ ;  $a$  o constantă;  $r_e$  distanța de echilibru, iar  $r$  distanța actuală dintre  $\text{H}_2\text{O}$  și  $\text{H}^+$ . Energia de disociere poate fi egală cu energia totală de solvatare cu semn schimbat (+ 266 kcal/mol), iar  $r_e = 0,098$  nm.

Trasarea curbelor  $U_r$  pentru două sisteme învecinate  $\text{H}_2\text{O}-\text{H}^+$  conduce la curbele Morse, întâlnite deja la spectroscopie. Din cauza simetriei sistemului  $\text{H}_2\text{O}-\text{H}^+-\text{H}_2\text{O}$ , curbele vor fi identice (fig.3.7), iar intersecția lor, raportată la nivelul de energie minimă, măsoară tocmai energia de activare  $\Delta H^\ddagger$  a transferului ionului  $\text{H}^+$  de la o moleculă de apă la alta. Din valoarea acesteia se calculează viteza de transfer, iar mobilitatea obținută final, reproduce ordinul de mărime al mobilității electrochimice experimentale a ionului  $\text{H}^+$ . Dar cu tot acordul dintre mobilitatea prevăzută și cea constatată experimental, teoria nu poate fi acceptată, deoarece la o confruntare mai detaliată este infirmată de experiență; astfel, teoria prevede că  $u_{0,\text{H}_3\text{O}^+}/u_{0,\text{D}_3\text{O}^+}$  are valoarea 14, iar experimental se constată 1,4 și că o ridicare a temperaturii trebuie să se soldeze cu o creștere a energiei de activare (v. fig. 3.7, a) în contradicție cu experiența (v. tab. 3.4).

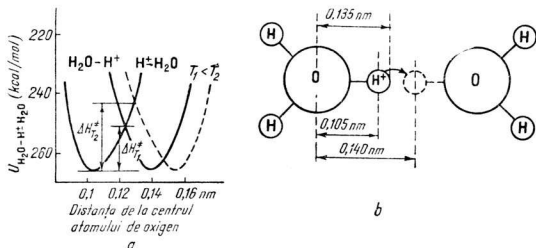


Fig. 3.7. Bariera de energie potențială a protonului:

a — în transferul de la o moleculă de apă la alta și b — distanțele considerate în modelul adoptat.

Sursa contradicției o constituie aplicarea teoriei vitezelor absolute, elaborată pentru ioni și molecule, particule având mase considerabil superioare masei protonului. Folosirea unei teorii clasice, la procesul de transfer al protonului nu este justificată din punctul de vedere al mecanicii ondulatorii, deoarece mișcarea particulelor foarte mici, cum este și protonul, nu este corect descrisă de mecanica clasică ci de mecanica cuantică. În virtutea principiilor acesteia din urmă, localizarea strictă este înlocuită cu probabilitatea de a întâlni particula într-o regiune determinată a spațiului. O consecință directă constă în posibilitatea traversării barierei de energie potențială chiar dacă particula nu posedă energia de activare, prin efect tunel; se arată că viteza cu care are loc efectul tunel crește exponențial cu micșorarea masei. De aici rezultă importanța deosebită a fenomenului de traversare a barierei de energie potențială prin efect tunel pentru particule mici. (Despre efectul tunel al electronilor se va vorbi în sect. 5).

Considerată numai sub aspectul „tunelării” protonului, teoria (B e r n a l, F o w l e r) conduce la un rezultat care este mult mai mare decât cel real; protonul ar fi de vreo sută de ori mai iute decât arată măsurătorile experimentale. Dar de astă dată, nepotrivirea nu mai este principială ci de detaliu și se datorează faptului că s-a neglijat orientarea moleculelor de apă din imediata vecinătate a protonului; sub acest aspect, modelul schițat în figura 3.6 este idealizat și nu reflectă decât parțial realitatea. După cum reiese din figura 3.8, *a*, tunelarea protonului nu este suficientă pentru ca transferul protonului să aibă loc; trebuie să se producă și orientarea moleculei de apă acceptoare. De aceea, pentru a completa teoria și calculele, trebuie evaluată viteza de reorientare a moleculelor de apă după modelul indicat în figura 3.8 *b*. Lucrul nu este simplu, dacă se are în vedere faptul că molecula de apă acceptoare nu se poate considera izolată ci integrată într-o grupare, cu alte molecule de apă, legate între ele prin punți de hidrogen. Analiza atentă a sistemului (C o n w a y și col. 1956) a dus la concluzia că la apropierea protonului, molecula de apă acceptoare poate suferi o reorientare cauzată de câmpul indus într-însa de către proton (la apropierea protonului de dipolul apei, câmpul coulombian al celui dintâi atrage dipolul și-l rotește astfel încât să se realizeze poziția favorabilă transferului). Fiind mult mai lentă decât tunelarea protonului, reorientarea moleculei de apă este etapă determinată de viteză în procesul de transfer protonic. Pe această bază, valoarea calculată pentru viteza de migrare a protonului este egală cu  $28 \cdot 10^{-4} \text{cm}^2 \text{s}^{-1} \text{V}^{-1}$ , destul de apropiată de cea experimentală:  $36 \cdot 10^{-4} \text{cm}^2 \text{s}^{-1} \text{V}^{-1}$ . Pe lângă aceasta,

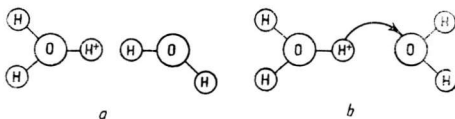


Fig. 3.8. În transferul său de la o moleculă de apă la alta, protonul trebuie să întâlnească perechea neparticipantă a moleculei de apă.

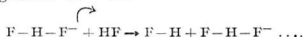
teoria este capabilă să explice scăderea exagerată a energiei de activare a mobilității electrochimice a protonului cu temperatura; cu cât e mai ridicată temperatura, cu atât numărul legăturilor de hidrogen intermoleculare se împuținează și deci reorientarea moleculei de apă acceptoare necesită în medie, ruperea unui număr mai mic de legături de hidrogen.

Teoria explică și scăderea vitezei de migrare a  $H^+$  în amestecul de apă-alcool prin reorientarea mai greoaie a moleculelor de alcool decât a moleculelor de apă, soldată cu micșorarea vitezei globale de transfer a protonului. De asemenea, ea este în măsură să justifice (prin același mecanism de efect tunel — reorientarea moleculei de solvent — transfer) și mobilitățile foarte mari observate la ionul  $OH^-$  în apă și la ionii  $NH_4^+$  și  $NH_2^-$  în amoniac.

Mobilitatea considerabilă a protonului în gheață are la origine numărul foarte mic de ioni  $H_3O^+$  în comparație cu apa lichidă. La  $0^\circ C$ , Bjerrum calculează o concentrație  $[H_3O^+] = 1,5 \cdot 10^{-8}$  ioni g/l. În prezența unui număr atât de redus de protoni, în mecanismul de conducție schițat mai sus, efectul tunel devine etapă determinantă de viteză, pentru că saltul protonului de la un ion  $H_3O^+$  la altul, va găsi practic molecula de apă deja orientată după cum indică schema *b* din figura 3.8.

Mobilitate anormal de mare manifestă ionul  $F^-$  în  $HF$  lichid; valoarea  $\Lambda_{0,F^-} = 350$  Mho. $cm^2$ , în comparație cu  $\Lambda_{0,H^+} = 102$  Mho. $cm^2$ , la  $20^\circ C$ . În acid fluorhidric lichid,  $\Lambda_{0,H^+}$  este depășită și de mobilitățile relative ale ionilor  $K^+$  și  $Na^+$ , care valorează 150 Mho. $cm^2$ .

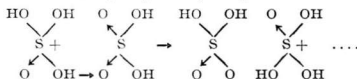
S-a sugerat transferul ionului  $F^-$  de la ionul  $HF_2^-$  la o moleculă  $HF$ , în urma rupei legăturii  $H-F$ :



deși nu este exclus nici mecanismul similar cu conducția ionilor  $OH^-$  în apă; conform acestuia, protonul s-ar transfera de la o moleculă  $HF$  la un ion  $HF_2^-$ , în sens contrar cu deplasarea ionului  $F^-$ :



Asemănător se explică mobilitățile relative anormale ale  $\Lambda_{0,H_2SO_4^+}$  și  $\Lambda_{0,H_2SO_4^-}$  din acidul sulfuric pur (219,2 și respectiv 150 Mho. $cm^2$  la  $25^\circ C$ ):



Transferul protonului de la ionul  $H_3O^+$  la molecula de apă acceptoare ne obligă să considerăm ionul hidroniu ca o entitate avînd viața limitată. Totuși, comparînd timpul consumat în etapa de traversare a barierei de potențial prin efect tunel ( $10^{-14}$  sec) cu timpul cît ionul așteaptă reorientarea moleculei de apă acceptoare ( $2,4 \cdot 10^{-13}$ ), putem conchide că 96% din timpul scurs între două salturi, este petrecut de  $H^+$  sub formă  $H_3O^+$ , astfel că aceasta din urmă se poate caracteriza printr-o existență sau viață efectivă.



### 3.3 TEORIA ACIZILOR ȘI A BAZELOR

Noțiunile de acid și bază au suferit modificări însemnate în cursul anilor și chiar într-o perioadă istorică dată, nu s-au bucurat întotdeauna de o accepție unanimă. Înainte, pe la începuturile chimiei, acizii și bazele erau definite după criterii pur funcționale: acidul (din l. latină, *acidus* = = acru), era substanța avînd gust acru, care înroșește hîrtia albastră de turnesol, produce efervescența pietrei de var și atacă multe metale; baza era substanța avînd gustul leșetic, care înalbăstrește hîrtia roșie de turnesol și neutralizează efectele acizilor.

Mai tîrziu, funcția acidă s-a asociat cu prezența unor elemente, cum au fost oxigenul, ales în mod nefericit de *Lavoisier* sau mai tîrziu hidrogenul, mult mai fericit ales de *Davy* și *Liebig*.

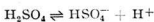
În teoria disocierii ionice a lui *Ostwald* și *Arrhenius* (1880-90) acizii se definesc prin capacitatea de a genera în soluție apoasă ioni de hidrogen, iar bazele prin proprietatea de a genera ioni  $\text{OH}^-$ . Definiția s-a extins repede și la alți solvenți; astfel, în amoniacul lichid, locul ionilor  $\text{H}^+$  este preluat de  $\text{NH}_4^+$ , iar al ionilor hidroxil de către  $\text{NH}_2^-$ .

În discuția din secțiunea prezentă se va folosi definiția acizilor și a bazelor dată în 1923 de *Brönsted*.

În conformitate cu aceasta, acid este orice compus capabil să elibereze protoni, iar bază, compusul acceptor de protoni:



Acidul și baza există întotdeauna sub formă de perechi conjugate, acido — — bazice:



Contemporan cu *Brönsted*, *Lewis* (1923) elaborează o altă teorie și definește acizii și bazele în funcție de proprietatea de a accepta sau ceda perechi electronice capabile de a forma o legătură covalentă donor-acceptoare; baza este donorul, iar acidul acceptorul cuplului electronic. Baza este constituită dintr-un atom, ion sau moleculă care posedă cel puțin o pereche de electroni neparticipantă într-o legătură covalentă, iar acidul este entitatea în care cel puțin unul din atomi are un orbital vacant, pe care să-și găsească loc perechea de electroni donați de bază. Reacția acido-bazică generalizată se scrie:



unde specia  $\text{A} : \text{B}$  se poate numi compus coordinativ, aduct sau complex acido-bazic.

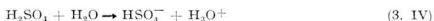
Se observă că protonul este acid și în concepția lui *Lewis*, dar spre deosebire de teoria lui *Brönsted*, el nu constituie decît un caz particular al unui consens mult mai general. De aceea, pentru a face distincția

dintre cele două teorii, pentru acizii lui Brönsted se mai introduce și denumirea de acizi protici (sau protonici) sau pur și simplu acizi, iar pentru ceilalți denumirile de acizi Lewis, sau acizi generalizați.

Uneori pentru B se utilizează și denumirea de ligand, atunci când A este un ion metalic. Când reacția (3.II) este considerată sub aspect cinetic, A se mai numește și specie electrofilă, iar B specie nucleofilă.

### 3.3.1 TEORIA LUI BRÖNSTED

S-a menționat instabilitatea protonului în soluție; din acest motiv, prezența unui generator de protoni trebuie neapărat asociată cu existența unei substanțe acceptoare de protoni (așa numita bază conjugată). De exemplu, în reacțiile:



apa joacă rolul de bază, la fel ca în reacția de transfer protonic ce stă la baza conductibilității ionilor  $\text{H}^+$ :



Acidul acetic, acidul sulfuric și ionul hidroniu sînt donorii de proton, iar apa joacă rolul acceptorului de protoni. Uneori, apa poate deveni donor de protoni, cum se întîmplă în reacția cu molecula  $\text{NH}_3$ :



care duce la formarea ionilor hidroxil, esențiali pentru definiția lui Ostwald-Arrhenius a bazelor. Grație caracterului dublu de generator sau acceptor de protoni, în funcție de caracterul partenerului de reacție, apa este o substanță amfoteră sau amfiprotică, foarte larg folosită ca solvent.

Dar transferul protonului nu este limitat numai la reacțiile din mediu apos. El poate avea loc și în solvenți neapoși, conținînd molecule apte pentru fixarea protonului, cum este de exemplu amoniacul lichid. Dizolvarea acidului acetic în acesta se soldează cu transfer de proton, întocmai ca la dizolvarea în apă:



Acidul acetic face parte din electroliții potențiali și dizolvarea în apă sau amoniac este condiție necesară pentru ionizarea sa; transferul ionic se soldează cu obținerea a doi ioni, pornind de la două molecule neutre.

Transferul de proton nu are loc numai în reacții de genul (3.III), (3.IV), (3.VI) și (3.VII) ci și în reacții de următorul tip:

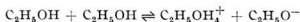
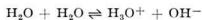


sau



Deosebirea esențială între ele constă în trivaliul electric asociat cu crearea și distrugerea cîmpurilor electrostatice ale speciilor ionice. Această contribuție electrostatică la variația entalpiei libere ce însoțește reacția de transfer va fi discutată mai târziu.

Autodisocierea solvenților constituie o ilustrare a proprietății amfiprotice a solvenților; aceeași moleculă ( $\text{H}_2\text{O}$ ,  $\text{NH}_3$ ,  $\text{ROH}$  etc) poate manifesta simultan proprietăți protofile (sau filoprotonice) sau protogene, ceea ce permite transferul protonului între molecule identice:



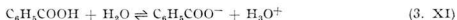
Autodisocierea (v. tab. 3.5) este responsabilă pentru conductibilitatea electrică observată în solvenții puri.

*Tab el ul 3.5*

**Produsele ionice  $P_{AB}$  al unor solvenți puri**

Solventul, reacția	$T(^{\circ}\text{C})$	$-\lg P_{AB}$
$2 \text{ NH}_3 \rightleftharpoons \text{NH}_2^- + \text{NH}_4^+$	-33	22
$2 \text{ CH}_3\text{OH} \rightleftharpoons \text{CH}_3\text{O}^- + \text{CH}_3\text{OH}_2^+$	25	17
$2 \text{ H}_2\text{O} \rightleftharpoons \text{OH}^- + \text{H}_3\text{O}^+$	25	14
$2 \text{ CH}_3\text{COOH} \rightleftharpoons \text{CH}_3\text{COO}^- + \text{CH}_3\text{COOH}_2^+$	25	13
$2 \text{ H}_2\text{SO}_4 \rightleftharpoons \text{HSO}_4^- + \text{H}_3\text{O}^+$	10	4,15
$2 \text{ HNO}_3 \rightleftharpoons \text{NO}_3^- + \text{NO}_2^+ + \text{H}_2\text{O}$	25	1,7

O consecință a definiției acizilor și bazelor după B r ö n s t e d constă în aceea că în urma transferului protonului, orice sistem reactant acido-bazic conduce la formarea sistemului acido-bazic conjugat; ceea ce este valabil pentru constituent, luat separat (ec. 3.I) este aplicabil și la cuplul reactant. Așa, de exemplu, în reacția:



acidul benzoic este compusul protogen ( $\text{A}_1$ ), apa este baza, sau substanța protofilă ( $\text{B}_2$ ), iar ionul benzoat este baza conjugată acidului benzoic (fie simbolizată cu  $\text{B}_1$ ) și ionul hidroniu este acidul  $\text{A}_2$ , a cărei bază conjugată este apa. În general, se poate deci scrie:



sau, după descompunerea în două reacții parțiale:



căroră le corespund constantele de echilibru :

$$k_{A_1} = \frac{a_{B_1} a_{H^+}}{a_{A_1}} \quad (3.2)$$

și respectiv

$$k_{B_2} = \frac{a_{A_2}}{a_{B_2} a_{H^+}} \quad (3.3)$$

Constanta de disociere  $k_{A_1}$  este o măsură absolută a tendinței protogene a lui  $A_1$  și  $k_{B_2}$  măsura absolută a tendinței protofile a lui  $B_2$ ; ele se numesc constante sau tării acide sau respectiv bazice absolute. Avînd în vedere modul în care a fost descompusă reacția (3.XII) rezultă și relația :

$$k_{A_1} k_{B_2} = K, \quad (3.4)$$

unde  $K$  este constanta de echilibru a reacției globale (3.XII). Dacă am dispune de valorile acidității absolute și a bazicității absolute, s-ar putea calcula  $K$  și determina măsura în care echilibrul (3.XII) este deplasat spre stînga sau spre dreapta. Dar cunoașterea lui  $k_{A_1}$  și  $k_{B_2}$  presupune realizarea în practică a reacțiilor parțiale (3.XIII) și (3.XIV), care conțin protonul ca reactant sau ca produs de reacție. Or, în secțiunea 3.1 s-a menționat faptul că, în soluție, concentrația protonilor liberi este atît de mică (de exemplu în apă  $\sim 10^{160}$  ioni g) încît decelarea lor ca parteneri de reacție este imposibilă. Din acest motiv echilibrele parțiale (3.XIII) și (3.XIV) nu sînt experimental realizabile și implicit, constantele de aciditate sau bazicitate absolute (tăriile absolute) inabordabile practic; o scară a acidităților și a bazicităților absolute nu se poate construi.

Experimental se pot studia numai echilibrele de genul (3.XII) ceea ce obligă la acceptarea unei perechi determinate acido-bazice drept standard și raportarea celorlalte reacții la perechea de referință și stabilirea pe această cale a unei ierarhii relative de tării acide și bazice.

Pentru definirea tăriei relative a acidității, se obișnuiește alegerea solventului drept acceptor de proton standard. În cazul apei, reacția (3.XII) se transcrie în felul următor :



iar tăria relativă  $K_A$  a acidului  $A$  este :

$$K_A = k_A \cdot k_{H_2O} = \frac{a_B a_{H_2O^+}}{a_A a_{H_2O}} \quad (3.5)$$

În soluții diluate activitățile pot fi înlocuite cu concentrațiile, deoarece  $f_{\pm,c} \approx 1$ ; acceptînd și aproximația  $a_{H_2O} = 1$ , se obține expresia constantei de disociere acidă,  $K_{c,A}$  (sau constanta de hidroliză acidă) :

$$K_{c,A} = \frac{c_B c_{H_3O^+}}{c_A}, \quad (3.6)$$

care este o măsură cantitativă a puterii acidului de a dona protoni moleculelor de apă.

Deoarece valorile constantelor de disociere acidă se întind pe un interval de vreo 20 de ordine de mărime (v.tab.3.6) se preferă compararea lor pe baza unei scări logaritmice, definite prin relația :

$$-\lg K_A = pK_A. \quad (3.7)$$

În funcție de valorile constantelor sau ale mărimilor  $pK_{c,A}$  corespunzătoare, se pot distinge acizi foarte slabi, slabi, tari și foarte tari. (tab. 3.6).

Tabelul 3.6

Constante de disociere acidă și valorile  $pK_{c,A}$  ce le corespund

Acidul	Baza conjugată	$K_{c,A}$	$pK_{c,A}$
<b>1. Acizi foarte slabi, <math>K_c &lt; 10^{-7}</math></b>			
$\text{HCO}_3^-$	$\text{CO}_3^{2-}$	$4,69 \cdot 10^{-11}$	10,33
$\text{HIO}$	$\text{IO}^-$	$1 \cdot 10^{-11}$	11
$\text{C}_6\text{H}_5\text{OH}$	$\text{C}_6\text{H}_5\text{O}^-$	$1,20 \cdot 10^{-10}$	9,92
$\text{HBrO}$	$\text{BrO}^-$	$2 \cdot 10^{-9}$	8,70
$\text{H}_2\text{PO}_4^-$	$\text{HPO}_4^{2-}$	$6,22 \cdot 10^{-8}$	7,21
<b>2. Acizi slabi, <math>K_c &lt; 10^{-2}</math></b>			
$\text{H}_2\text{CO}_3$	$\text{HCO}_3^-$	$4,5 \cdot 10^{-7}$	6,35
$\text{HClO}$	$\text{ClO}^-$	$9,56 \cdot 10^{-7}$	6,02
$\text{C}(\text{CH}_3)_3\text{COOH}$	$\text{C}(\text{CH}_3)_3\text{COO}^-$	$8,91 \cdot 10^{-6}$	5,03
$\text{CH}_3\text{COOH}$	$\text{CH}_3\text{COO}^-$	$1,75 \cdot 10^{-5}$	4,8
$\text{C}_2\text{H}_5\text{COOH}$	$\text{C}_2\text{H}_5\text{COO}^-$	$1,84 \cdot 10^{-5}$	4,8
$\text{C}_6\text{H}_5\text{COOH}$	$\text{C}_6\text{H}_5\text{COO}^-$	$6,12 \cdot 10^{-5}$	4,2
Acid lactic	$\text{CH}_3\text{CH}(\text{OH})\text{COO}^-$	$1,38 \cdot 10^{-4}$	3,86
$\text{HCOOH}$	$\text{HCOO}^-$	$1,77 \cdot 10^{-4}$	3,75
$\text{CH}_2\text{ClCOOH}$	$\text{CH}_2\text{ClCOO}^-$	$1,34 \cdot 10^{-3}$	2,87
<b>3. Acizi tari, <math>K_c \sim 10^3</math></b>			
$\text{H}_2\text{SO}_4$	$\text{HSO}_4^-$	$10^3$	-3
$\text{HCl}$	$\text{Cl}^-$	$10^3$	-3
$\text{HClO}_3$	$\text{ClO}_3^-$	$10^3$	-3
<b>4. Acizi foarte tari, <math>K_c \sim 10^8</math></b>			
$\text{HClO}_4$	$\text{ClO}_4^-$	$10^8$	-8

Logaritmînd ecuația (3.6) și schimbînd semnul, se obține :

$$pK_A = p\text{H} - \lg \frac{c_B}{c_A}, \quad (3.8)$$

unde  $p\text{H} = -\lg c_{\text{H}_3\text{O}^+}$  (Sørensen, 1909).

$p\text{H}$ -ul este o mărime foarte importantă în electrochimie, a cărei definiție riguroasă se face cu ajutorul activității ionilor  $\text{H}_3\text{O}^+$  :

$$p\text{H} = -\lg a_{\text{H}_3\text{O}^+} \quad (3.9)$$

Cu ajutorul  $p\text{H}$ -ului se pot exprima aciditățile în soluțiile apoase ; în funcție de valoarea  $p\text{H}$ -ului, se disting soluții acide, neutre și bazice :

$p\text{H} = 14$  (NaOH, 1 N) mediu alcalin  $> p\text{H} = 7$  (apă curată)  $>$  mediu acid  $p\text{H} = 0$  (HCl, 1 N)

Determinarea experimentală a  $pH$ -ului se poate face prin orice metodă care permite dozarea ionilor  $H_3O^+$  din soluție; cele mai comune sînt metoda potențimetrică (sect.5) sau metoda bazată pe indicatori. Menținerea lui între anumite limite este necesară pentru desfășurarea unor reacții. Ajustarea  $pH$ -ului se realizează cu ajutorul amestecurilor tampon.

Tabelul 3.7 cuprinde cîteva standarde de  $pH$ , în soluție apoasă, iar tabelul 3.8 valorile  $pH$ -ului unor medii biologice și a unor alimente.

Tabelul 3.7

Standarde de  $pH$  în soluție apoasă, la 25° C

Substanța	Concentrația	$pH$ -ul
Tartrat acid de potasiu	Sol. saturată	3,557
Ftalat acid de potasiu	$5.10^{-2}M$	4,008
Fosfat monosodic +	$2,5.10^{-2}M$	6,865
Fosfat monopotasic	$2,5.10^{-2}M$	
Borax ( $Na_2B_4O_7 \cdot 10 H_2O$ )	$1.10^{-2}M$	9,180
Hidroxid de calciu	Sol. saturată	12,454

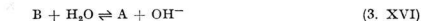
Din ecuația (3.8) rezultă că tăria acidului sau conversia acidului în baza conjugată este cu atît mai pronunțată cu cît propriul său  $pK$  este mai mic (v. tab. 3.6).

Tabelul 3.8

$pH$ -urile unor produse biologice și ale unor alimente

A. Produsul biologic	$pH$	Alimentul	$pH$	Alimentul	$pH$
Sîngele și plasma umană	7,3—7,5	Varza	5,2—5,4	Dovleceii	4,8—5,2
Sîngele de ciine	6,9—7,2	Morcovii	4,9—5,3	Zmeura	3,2—3,6
Saliva umană	6,5—7,5	Brinza	4,8—6,4	Varza acră	3,4—3,6
Sucul gastric	1,0—3,0	Curmalele	6,2—6,4	Vinul	2,8—3,8
Conținutul duodenal	4,8—8,2	Ouăle	7,6—8,0	Spanacul	5,1—5,7
Fecalele (om)	4,6—8,4	Grapefruit	3,0—3,3	Fragile	3,0—3,5
Urina (om)	4,8—8,4	Jeleul de	2,8—3,4	Tomatele	4,0—4,4
Laptele uman	6,6—7,6	fructe		Oțetul	2,4—3,4
Pierea umană	6,8—7,0	Lămîia	2,2—2,4	Apa potabilă	6,5—8,0
Laptele de vacă	6,3—6,6	Măslinile	3,6—3,8		
B. Alimentul		Portocalele	3,0—4,0		
Merele	2,9—3,3	Stridiile	3,6—3,8		
Caisele	3,6—4,0	Piersicile	3,0—4,0		
Bananele	4,5—4,7	Ardeii iuți	6,1—6,6		
Berea	4,0—5,0	Prunele	3,4—3,6		
Murele	3,2—3,6	Cartofii	4,6—5,2		
Pîinea albă	5,0—6,0		2,8—3,0		
Untul	6,1—6,4		5,6—6,0		

Analog se definește tăria relativă a bazelor. De astă dată solventul joacă rolul de donor standard de protoni:



unde A este acidul conjugat bazei B.

Tăria relativă  $K_B$  a bazei B este:

$$K_B = \frac{a_A a_{OH^-}}{a_B a_{H_2O}} \quad (3.10)$$

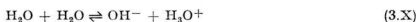
Considerînd soluția destul de diluată pentru a justifica aproximațiile  $f_{c, \pm} = 1$  și  $a_{H_2O} = 1$ , se mai obține:

$$K_{c,B} = \frac{c_A c_{OH^-}}{c_B} \quad (3.11)$$

Amplificînd cu  $c_{H_2O}/c_{H_3O^+}$ , se ajunge la ecuația:

$$K_{c,B} = \frac{1}{K_{c,A}} c_{OH^-} c_{H_3O^+} \quad (3.12)$$

Să introducem produsul ionic al apei  $P_{H_2O} = c_{OH^-} c_{H_3O^+}$ , obținut din constanta de autodisociere a apei:



unde

$$K_{H_2O} = \frac{c_{OH^-} c_{H_3O^+}}{c_{H_2O}^2} \quad (3.13)$$

sau avînd în vedere constanța termenului din numitor,

$$K_{H_2O} \cdot c_{H_2O}^2 = \text{const} = c_{OH^-} c_{H_3O^+} = P_{H_2O} \quad (3.14)$$

După introducerea produsului ionic al apei, ecuația (3.12) devine:

$$K_{c,B} = \frac{P_{H_2O}}{K_{c,A}} \quad (3.15)$$

sau după logaritmare și schimbarea semnului:

$$pK_B = pP_{H_2O} - pK_A \quad (3.16)$$

conform tabelii 3.5, la 25°C,  $pP_{H_2O} = 14^*$ , astfel că la această temperatură mai avem:

$$pK_B = 14 - pK_A \quad (3.17)$$

\* Produsul ionic al apei se poate calcula de exemplu, prin raportarea conductivității apei la conductibilitatea echivalentă limită, la aceeași temperatură. Astfel, la 18°C,  $\lambda = 43,84 \cdot 10^{-8}$  Mho  $\text{cm}^{-1}$ ,  $\Lambda_{0,H_2O} = 481 \text{ } \Omega^{-1} \text{ cm}^2$ , iar  $c_{H_3O^+} = c_{OH^-} = 0,78 \cdot 10^{-10}$  echiv. g/cm<sup>3</sup> =  $0,78 \cdot 10^{-7}$  echiv. g/l. Deci  $P_{H_2O} = 0,61 \cdot 10^{-14}$ .

Cunoscând constanta de aciditate  $K_A$  a acidului conjugat, este posibilă calcularea constantei de bazicitate sau de hidroliză bazică  $K_B$ . De exemplu în reacția



constantă de aciditate a ionului amoniu este  $pK_A = 9,245$ . Cu această valoare, putem calcula tăria bazică a amoniacului:

$$pK_B = 14 - 9,245 = 4,755. \quad (3.18)$$

Tabelul 3.9 conține valorile  $pK_B$  ale unor baze, alături de  $pK_A$  ale acizilor conjugăți.

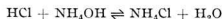
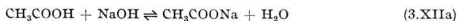
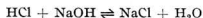
Tabelul 3.9

Valorile  $pK_B$  ale unor baze și  $pK_A$  ale acizilor conjugăți

Baza	$pK_B$	Acidul conjugat	$pK_A$
Difenilamina	13,16	$(\text{C}_6\text{H}_5)_2\text{NH}_2^+$	0,84
Anilina	9,39	$\text{C}_6\text{H}_5\text{NH}_3^+$	4,61
Piridina	8,80	$\text{C}_5\text{H}_5\text{NH}^+$	5,20
Etilendiamina ( $K_1$ )	7,16	$\text{NH}_2\text{CH}_2)_2\text{NH}_3^+$	6,84
Etilendiamina ( $K_2$ )	4,04	$^+\text{NH}_3(\text{CH}_2)_2\text{NH}_3^+$	9,96
Amoniacul	4,76	$\text{NH}_4^+$	9,24
Tribenzilamina	4,63	$(\text{C}_6\text{H}_5\text{CH}_2)_3\text{NH}^+$	9,37
Trimetilamina	4,13	$(\text{CH}_3)_3\text{NH}^+$	9,87
Metilamina	3,30	$\text{CH}_3\text{NH}_3^+$	10,70
Etilamina	3,25	$\text{C}_2\text{H}_5\text{NH}_3^+$	10,75
Trietilamina	3,20	$(\text{C}_2\text{H}_5)_3\text{NH}^+$	10,80
Dimetilamina	3,13	$(\text{CH}_3)_2\text{NH}_2^+$	10,87

### 3.3.1.1 Amestecuri tampon. Hidroliză

Să presupunem că reacția 3.XII se desfășoară în apă și că A reprezintă un acid mai tare decât solventul, iar B o bază mai puternică decât solventul, cum ar fi de exemplu:



Transferul de protoni se soldează cu formarea apei și a sării acidului luat în lucru, se numește reacție de neutralizare și stă la baza acidimetriei din chimia analitică. Urmărind  $pH$ -ul în cursul reacției și reprezentându-l în funcție de volumul de reactiv adăugat, se obține curba de neutralizare (fig. 3.9), a cărei alură depinde de tăriile relative ale acidului și bazei. Se observă că în domeniul ce precede și în cel care urmează după punctul de echivalență  $Ech$ , variația  $pH$ -ului este lentă; indiferent de perechea



acido-bazică, sistemul se caracterizează prin facultatea de a se opune variațiilor de  $pH$ , prin așa numitul efect tampon.

Amestecurile tampon (v. tab. 3.10), realizate în scopul menținerii constante (sau între limite relativ restrânse) a  $pH$ -ului sînt de importanță foarte mare în practica industrială, în determinările de laborator și în biologie. Legătura dintre  $pH$ -ul amestecului tampon și concentrațiile acidului  $c_{acid}$  și a sării  $c_{sare}$  utilizate pentru realizarea lui, se exprimă prin relația (3.19)

$$pH = pK_{acid} + \lg \frac{c_{sare}}{c_{acid}}, \quad (3.19)$$

care derivă din ecuația (3.8). Dacă este vorba de amestecuri tampon destinate mediilor alcaline, este utilă relația:

$$pOH = pK_{bază} + \log \frac{c_{sare}}{c_{bază}}, \quad (3.20)$$

derivată din ecuația (3.11). Conversia de la  $pOH$  la  $pH$  se face ușor, avînd în vedere că, la  $25^{\circ}C$ ,  $pH + pOH = 14$  (v. tab. 3.5).

#### Amestecuri tampon ( $pH$ -ul

A		B		C		D		E	
$pH$	$x$	$pH$	$x$	$pH$	$x$	$pH$	$x$	$pH$	$x$
1,00	67,0	2,20	49,5	4,10	1,3	5,80	3,6	8,00	20,5
1,10	52,8	2,30	45,8	4,20	3,0	5,90	4,6	8,10	19,7
1,20	42,5	2,40	42,2	4,30	4,7	6,00	5,6	8,20	18,8
1,30	33,6	2,50	38,8	4,40	6,6	6,10	6,8	8,30	17,7
1,40	26,6	2,60	35,4	4,50	8,7	6,20	8,1	8,40	16,6
1,50	20,7	2,70	32,1	4,60	11,1	6,30	9,7	8,50	15,2
1,60	16,2	2,80	28,9	4,70	13,6	6,40	11,6	8,60	13,5
1,70	13,0	2,90	25,7	4,80	16,5	6,50	13,9	8,70	11,6
1,80	10,2	3,00	22,3	4,90	19,4	6,60	16,4	8,80	9,6
1,90	8,1	3,10	18,8	5,00	22,6	6,70	19,3	8,90	7,1
2,00	6,5	3,20	15,7	5,10	25,5	6,80	22,4	9,00	4,6
2,10	5,1	3,30	12,9	5,20	28,8	6,90	25,9	9,10	2,0
2,20	3,9	3,40	10,4	5,30	31,6	7,00	29,1		
		3,50	8,2	5,40	34,1	7,10	32,1		
		3,60	6,3	5,50	36,6	7,20	34,7		
		3,70	4,5	5,60	38,8	7,30	37,0		
		3,80	2,9	5,70	40,6	7,40	39,1		
		3,90	1,4	5,80	42,3	7,50	41,1		
		4,00	0,1	5,90	43,7	7,60	42,8		
						7,70	44,2		
						7,80	45,3		
						7,90	46,1		
						8,00	46,7		

A: 25 ml KCl 0,2 M + x ml HCl 0,2 M

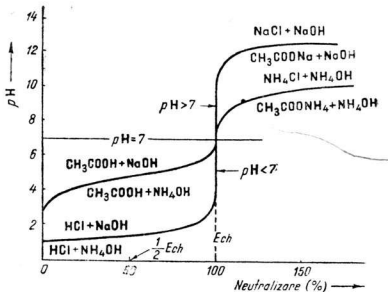
B: 50 ml ftalat acid de potasiu 0,1 M + x ml HCl 0,1 M

C: 50 ml ftalat acid de potasiu 0,1 M + x ml NaOH 0,1 M

D: 50 ml fosfat monopotasic 0,1 M + x ml NaOH 0,1 M

E: 50 ml borax 0,025 M + x ml HCl 0,1 M

Fig. 3.9. Neutralizarea unor soluții 0,1 N de HCl și  $\text{CH}_3\text{COOH}$  cu o bază tare (NaOH) și una slabă ( $\text{NH}_4\text{OH}$ ).



Tabelul 3.10

se referă la 25°C)

F		G		H		I	
pH	x	pH	x	pH	x	pH	x
9,20	0,9	9,60	5,0	10,90	3,3	12,00	6,0
9,30	3,6	9,70	6,2	11,00	4,1	12,10	8,0
9,40	6,2	9,80	7,6	11,10	5,1	12,20	10,2
9,50	8,8	9,90	9,1	11,20	6,3	12,30	12,8
9,60	11,1	10,00	10,7	11,30	7,6	12,40	16,2
9,70	13,1	10,10	12,2	11,40	9,1	12,50	20,4
9,80	15,0	10,20	13,8	11,50	11,1	12,60	25,6
9,90	16,7	10,30	15,2	11,60	13,5	12,70	32,2
10,00	18,3	10,40	16,5	11,70	16,2	12,80	41,2
10,10	19,5	10,50	17,8	11,80	19,4	12,90	53,0
10,20	20,5	10,60	19,1	11,90	23,0	13,00	66,0
10,30	21,3	10,70	20,2	12,00	26,9		
10,40	22,1	10,80	21,2				
10,50	22,7	10,90	22,0				
10,60	23,3	11,00	22,7				
10,70	23,8						
10,80	24,25						

F: 50 ml borax 0,025 M + x ml NaOH 0,1 M

G: 50 ml bicarbonat de sodiu 0,05 M + x ml NaOH 0,1 M

H: 50 ml fosfat disodic 0,05 M + x ml NaOH 0,1 M

I: 25 ml KCl 0,2 M + x ml NaOH 0,2 M

Tabelul 3.11

Amestecuri tampon  $\text{CH}_3\text{COOH}$   
 $0,2 \text{ M} + \text{CH}_3\text{COONa } 0,2 \text{ M}$

% vol. $\text{CH}_3\text{COOH } 0,2 \text{ M}$	pH
90	3,72
80	4,05
70	4,27
60	4,45
50	4,63
40	4,80
30	4,99
20	5,23
10	5,57

Acțiunea tampon se poate ilustra cu amestecul tipic de  $\text{CH}_3\text{COOH} + \text{CH}_3\text{COONa}$  și măsurarea variațiilor de pH înregistrate la adaos de apă și soluții neutre sau de bază tare: adăugarea apei sau a unei soluții neutre lasă pH-ul practic neschimbat; modificarea neînsemnată constatată se explică printr-un efect asupra factorilor de activitate a ionilor  $\text{H}^+$  și  $\text{CH}_3\text{COO}^-$ . Ceea ce este însă mai interesant, pH-ul amestecului nu se modifică simțitor nici la adaos de NaOH. Să considerăm de exemplu că în 10 ml de so-

luție care conține  $\text{CH}_3\text{COOH}$  și  $\text{CH}_3\text{COONa}$  în concentrație egală (0,1 N), se adaugă 0,1 ml de NaOH 0,1 N. Acest adaos se soldează cu neutralizarea unui procent de  $\text{CH}_3\text{COOH}$  și cu modificarea raportului  $\text{CH}_3\text{COO}^-/\text{CH}_3\text{COOH}$  de la unitate la 1,01/0,99, ceea ce echivalează cu o scădere a concentrației ionilor  $\text{H}^+$  de circa 2% sau cu o modificare a pH-ului cu mai puțin de 0,01 unități. Adăugarea aceluiași volum de soluție NaOH 0,1 N unui volum de 10 ml de apă curată sau soluție neutră, netamponată, s-ar solda cu deplasarea pH-ului de la 7 la aproximativ 11. Soluția tampon menționată e capabilă să absoarbă mici cantități de acid tare fără ca pH-ul să se modifice simțitor, deoarece și de această dată raportul  $\text{CH}_3\text{COO}^-/\text{CH}_3\text{COOH}$  nu variază esențial.

Puterea tampon este maximă în amestecurile unde  $c_{\text{sare}} = c_{\text{acid}}$  sau  $c_{\text{sare}} = c_{\text{bază}}$ ; în cazul tamponului acetic el ar corespunde conform relației (3.19), unui pH = 4,77. Bune proprietăți tampon posedă și amestecurile în care raportul  $c_{\text{sare}}/c_{\text{acid}}$  sau  $c_{\text{sare}}/c_{\text{bază}}$  se abate de la unitate. Alegerea unor raporturi  $\text{CH}_3\text{COO}^-/\text{CH}_3\text{COOH}$  potrivite permite realizarea unor amestecuri având pH-ul cuprins între 3,8 și 5,8 (v.tab. 3.11).

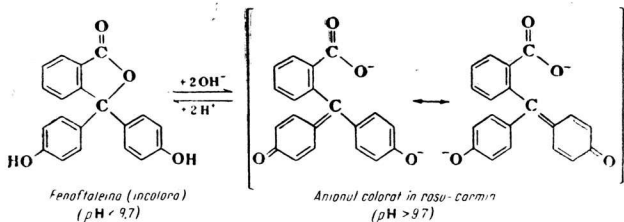
Diferența mare dintre tăria acidului și tăria bazei folosite pentru neutralizarea acidului, este responsabilă pentru abaterea de la neutralitate (pH = 7) a punctului de echivalență, la reacțiile acido-bazice din mediu apos (v. fig. 3.9). Echivalența va fi în domeniul alcalin (pH > 7) la titrarea acidului acetic cu NaOH și dimpotrivă, în domeniu slab acid (pH < 7) la titrarea acidului clorhidric cu  $\text{NH}_4\text{OH}$ ; sărurile care iau naștere în aceste cazuri au reacție alcalină respectiv acidă, din cauza hidrolizei, care este o reacție inversă neutralizării (3.XIII a). În schimb pH-ul de hidroliză este neutru la sărurile provenite de la acizi și baze având tăriile comparabile.

### 3.3.1.2 Indicatori

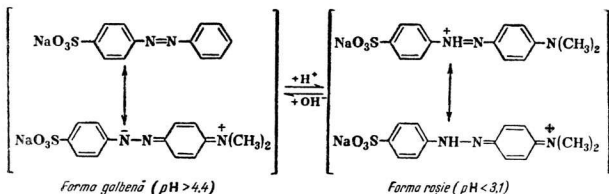
La titrarea cu indicatori a acizilor și bazelor, pH-ul de hidroliză al sării formate este decisiv pentru alegerea indicatorului.

Indicatorii colorimetrici acido-bazici sînt compuși organici la care trans-

ferul protonului este însoțit de schimbări structurale profunde, soldate cu o modificare a domeniului de absorbție a luminii. Echilibrul acido-bazic al acestor substanțe este corelat cu schimbarea de culoare, numită virajul indicatorului. Astfel, fenolftaleina, unul din cei mai comuni indicatori este incoloră în formă de acid nedisociat, dar are anionul colorat în roșu-carmin :



iar metiloranjul (heliantina) este un acid cationic în forma roșie ( $pH \leq 3,1$ ) și un amfion în forma galbenă ( $pH \geq 4,4$ ) :



Deoarece schimbarea de culoare este asociată cu un echilibru acido-bazic, caracterizat printr-un  $pK_A$  determinat, domeniul de utilizare al indicatorului va depinde de  $pK_A$ -ul indicatorului. Curbele de neutralizare ale indicatorilor sînt de tipul acid slab-bază tare (v.fig. 3.9) iar variația accentuată de culoare se situează în domeniul de  $pH = pK_A \pm 1$ . De aceea, dacă fenolftaleina ( $pK = 9,7$ ) este indicată pentru titrarea acidului acetic cu NaOH, metiloranjul va fi inutilizabil pentru acest scop, deoarece avînd  $pK_A = 3,7$  (tab. 3.12), schimbarea intensă de culoare de la roșu la galben se va produce deja la semiechivalența ( $\frac{1}{2} Ech$ ) acidului acetic (v. fig. 3.9) unde conform ecuației (3.19),  $pH = pK_A = 4,77$ .

Indicatorii sînt deosebit de prețioși în determinarea colorimetrică a  $pH$ -ului unor soluții. Făcînd amestecuri de diverși indicatori, și folosind ca termeni de referință serii de amestecuri tampon, care conțin un egal volum de soluție de indicatori,  $pH$ -ul soluției se determină prin simplă

Indicatori colorimetriei uzuali.

Indicatorul	$pK$	Schimbarea culorii	Concentrație, solvent
Albastru de timol	1,7	roșu-galben	0,1 g în 21,5 ml NaOH 0,1 M + 228,5 ml H <sub>2</sub> O
Metiloranj	3,7	roșu-galben	0,01 %, H <sub>2</sub> O
Albastru de bromfenol	4,1	galben-albastru	
Roșu de metil	5,1	roșu-galben	0,02 g în 60 ml EtOH* + 40 ml H <sub>2</sub> O
Purpura de bromcrezol	6,3	roșu-galben	0,1 g în 18,5 ml NaOH 0,01 M + + 231,5ml H <sub>2</sub> O
Albastru de bromtimol	7,0	galben-albastru	0,1 g în 16 ml NaOH 0,01 M + 234 ml H <sub>2</sub> O
<i>p</i> -Nitrofenol	7,2	incolor-galben	0,3% H <sub>2</sub> O
Roșu de fenol	7,9	galben-roșu	0,1 g în 28,2 ml NaOH 0,01 M + 221,8 ml H <sub>2</sub> O
Roșu de crezol	8,3	galben-roșu	0,1% EtOH
Albastru de timol (a doua treaptă)	8,9	galben-albastru	v. mai sus
Fenolftaleina	9,7	incolor-roșu	0,05 g în 50 ml EtOH + 50 ml H <sub>2</sub> O
Galben de alizarină	11,6	incolor-galben	0,01% H <sub>2</sub> O

\* EtOH = etanol

comparare colorimetrică. Se recomandă realizarea acelorasi forțe ionice atît în soluția standard cît și în soluția cercetată. Uneori soluția de indicatori se impregnează pe benzi de hîrtie de filtru, iar compararea se face cu standarde colorate tipărite (indicator universal).

### 3.3.2 FACTORII CARE DETERMINĂ TĂRIA ACIZILOR ȘI A BAZELOR

Deoarece transferul de proton constituie caracteristica esențială și comună a acizilor și bazelor, tăriile relative ale acestora trebuie să fie legate de nivelele energetice ale protonului înainte și după transfer, precum și de înălțimea barierei de energie potențială pe care trebuie s-o escaladeze în cursul transferului.

Să considerăm transferul protonului către molecula de apă, de la doi acizi diferiți, HA<sub>1</sub> și HA<sub>2</sub>; schema barierelor de energie potențială se găsește reprezentată în figura 3.10. Evident, curba Morse a acceptorului de protoni (H<sub>2</sub>O) este comună pentru ambele procese de transfer, dar în general diferită pentru cei doi acizi, deoarece este puțin probabil ca energiile care leagă protonul de bazele conjugate B<sub>1</sub> și B<sub>2</sub> să fie egale. Din aceleași motive, nici minimele curbelor de deprotonare ale acizilor A<sub>1</sub> și A<sub>2</sub> nu se găsesc la același nivel, ceea ce atrage inegalitatea entalpiilor ΔH<sub>1</sub> și ΔH<sub>2</sub> ale reacțiilor de transfer:

$$\Delta H_1 \neq \Delta H_2. \quad (3.21)$$

De asemenea, neegale vor fi și energiile de activare ale transferului protonic.

Luînd în considerare și variațiile (de obicei neglijabile) de entropie ce însoțesc reacțiile de transfer ale protonului, se pot calcula contribuțiile chimice  $\Delta_{ch}G_1^0$  și  $\Delta_{ch}G_2^0$  ale entalpiilor libere standard corespunzătoare,  $\Delta G_1^0$  și  $\Delta G_2^0$ . La acestea se vor adăuga și contribuțiile  $\Delta_{el}G_1^0$  și  $\Delta_{el}G_2^0$ , datorate încărcării și descărcării ionilor apăruiți sau dispăruți în cursul reacției; deci în general, transferul protonului este însoțit de variația de entalpie liberă standard:

$$\Delta G_i^0 = \Delta_{ch}G_i^0 + \Delta_{el}G_i^0 \quad (3.22)$$

Raportînd din nou  $\Delta G_i^0$  la entalpia liberă standard a reacției (3.XV) considerată arbitrar nulă, se poate stabili o scară a nivelelor de entalpie liberă corespunzătoare protonului în donorii  $A_1$ ,  $A_2$ , etc. Valoarea entalpiei libere  $\Delta G_i^0$  se poate calcula pe o cale comodă, folosind izoterma de reacție a lui van't Hoff, conform căreia:

$$K_{A_i} = \exp(-\Delta G_i^0/RT) = \frac{a_B \cdot a_{H_2O^+}}{a_A \cdot a_{H_2O}} \quad (3.23)$$

La diluție infinită în locul activităților se pot utiliza concentrațiile, cînd se obține:

$$\Delta G_i^0 = -RT \ln K_{c,A_i} \quad (3.24)$$

sau, după conversia la logaritmi zecimali:

$$\Delta G_i^0 = 2,303 RT pK_{A_i} \quad (3.25)$$

Entalpia liberă standard ce însoțește transferul protonului de la un acid la molecula de solvent, este proporțională cu  $pK_A$ . Deoarece  $pK_A$  variază invers cu tăria acidului, rezultă că valorile minime ale lui  $\Delta G_i^0$  corespund acizilor tari și reciproc (tab. 3.13).

Tabelul 3.13

Nivelele de entalpie liberă standard  $\Delta G^0$   
ale protonului în cîțiva acizi

Acidul	$\Delta G^0$ (kcal/mol)
Acetic	6,486
Izobutiric	6,606
Succinic	5,866
Formic	5,106
Cloracetic	3,906

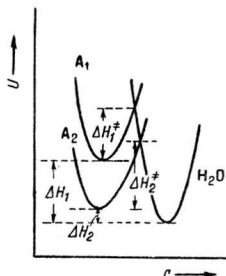


Fig. 3.10. Transferul protonului de la acizii  $A_1$  și  $A_2$ , la molecula de apă.

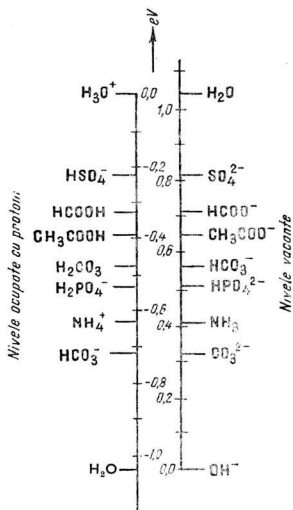
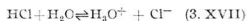


Fig. 3.11. Nivele de entalpie liberă a protonului.

Reprezentînd pe o diagramă diversele nivele de entalpie liberă ale protonului (fig. 3.11) se poate aprecia spontaneitatea transferului său la molecula de apă, după semnul lui  $\Delta G^\circ$ .

Revenind la curbele din figura 3.10, se poate afirma că acidul  $A_2$  este cu atît mai tare cu cît minimul curbei solventului (acolo  $H_2O$ ) este mai îndepărtat pe verticală de minimul curbei acidului  $A_1$ . Evident, este vorba de o tărie relativă, care depinde de solventul ales ca referință. Astfel, unul și același acid, de exemplu HCl, se comportă diferit în apă și acid acetic; pe cînd în primul el este un acid puternic, în secundul, el este un acid slab. Aceasta pentru că tendința protofilă sau așa numita constantă de bazicitate absolută ( $k/B_2$ , din ec. 3.4) este mai mare în cazul apei decît în cazul acidului acetic. Conversia reacției de transfer protonic este aproape totală în reacția:



și foarte redusă în reacția:

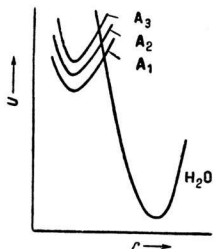
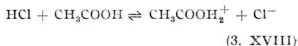
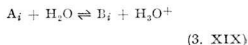


Fig. 3.12. Transferul protonului de la acizi tari la solvent puternic bazic.

Pentru a ilustra și mai bine rolul solventului, să considerăm o serie de acizi  $A_1, A_2, \dots$ , cărora le corespund curbele Morse schițate în figura 3.12, dizolvați în apă. Din cauza diferențelor mari de energie care separă minimele curbelor  $A_1, A_2 \dots$  de minimul curbei  $H_2O$  (solvent puternic bazic sau foarte slab acid), toți acizii  $A_i$  se vor găsi practic total disociați; conversia lor în bazele conjugate:



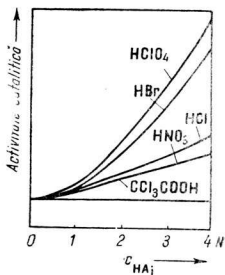


Fig. 3.13. Activitatea catalitică la cataliza acidă a unei reacții.

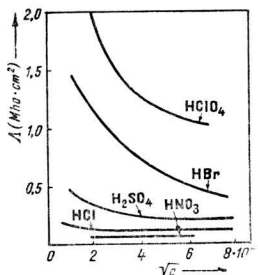
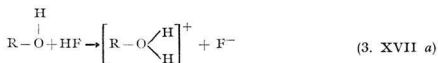


Fig. 3.14. Un solvent mai acid decît apa diferențiază mai bine proprietățile protogene ale acizilor tari în apă.

va fi practic totală (3.XIX) și toți acizii vor părea la fel de tari. Este ceea ce se observă în soluțiile apoase ale acizilor  $\text{HClO}_4$ ,  $\text{HBr}$ ,  $\text{HCl}$  și  $\text{HNO}_3$ , în care din cauza disocierii complete, diferențele dintre tăriile relative se micșorează pînă la dispariție în soluții mai diluate. Figura 3.13 poate servi ca dovadă a acestui efect nivelator pe care-l exercită orice solvent cu puternice proprietăți protofile (aici  $\text{H}_2\text{O}$ ) asupra unei serii de compuși puternic protogeni (acizi tari — în apă) în comparație cu  $\text{Cl}_3\text{C}-\text{COOH}$  slab protogen; în ordonată s-a exprimat activitatea catalitică pentru o reacție oarecare, iar în abscisă concentrația necesară pentru atingerea unei activități catalitice date; se observă atenuarea diferențelor dintre diverșii acizi atunci cînd concentrația scade sub valoarea 1N.

Diferențierea acizilor tari se poate realiza prin dizolvarea lor într-un solvent mult mai acid (deci mai slab protofil și mai puternic protogen) decît apa. Folosind ca solvent acidul acetic și determinînd conductibilitatea echivalentă a soluțiilor, acizii  $\text{HClO}_4$ ,  $\text{HBr}$ ,  $\text{H}_2\text{SO}_4$ ,  $\text{HCl}$  și  $\text{HNO}_3$  se pot diferenția sub aspectul tăriei lor (fig. 3.14). Se observă după valorile conductibilităților echivalente, că toți acești electroliți încetează de a mai fi acizi tari în soluție acetică. Aceleași lucruri sînt valabile și pentru baze. Într-un solvent cu pronunțate proprietăți protogene, bazele devin tari, nediferențiindu-se una de alta, iar într-un solvent cu slabe proprietăți protogene, cu prețul micșorării tăriei bazice, deosebirile se pot pune mai bine în evidență. În acest sens se pot cita substanțe ca alcoolii, acetona, glucoza ș.a., care în apă contează ca neelectroliți, dar care devin baze în acid fluorhidric lichid (solvent puternic protogen). Reacția de transfer a protonului se petrece conform unei reacții de tip, (3.XVII) :





Alături de funcția protofilă, solventul acționează asupra disocierii acizilor și prin constanta sa dielectrică. Dacă transferul protonului la solventul S se desfășoară după o reacție caracteristică electroliților potențiali, cum ar fi de exemplu:



disocierea și în consecință tăria acidului va fi favorizată de o constantă dielectrică mare; este ceea ce experiența demonstrează, de exemplu, atunci când aceiași acizi carboxilici se dizolvă în apă și alcool.

Dacă transferul protonului nu se soldează cu generarea unor ioni încărcăți opus, ci așa cum se întâmplă, de exemplu, în reacțiile de hidroliză a acidului cationic  $\text{NH}_4^+$ :



constantă dielectrică nu influențează tăria relativă a acidului.

Este posibilă exprimarea cantitativă a efectului exercitat de solvent prin constanta sa dielectrică asupra tăriei acidului, dacă se face separarea lui de efectul protofil. Lucrul acesta este ușor de efectuat dacă se compară aciditățile relative  $K_{A_1}$  și  $K_{A_2}$  a doi acizi,  $A_1$  și  $A_2$  în același solvent. Făcînd raportul celor două constante relative, avem:

$$\frac{K_{A_1}}{K_{A_2}} = \frac{k_{A_1}}{k_{A_2}} \cdot k_s, \quad (3.26)$$

unde  $k_s$  este constanta de aciditate absolută a solventului și exprimă influența protofilă a solventului. Acceptînd că în afară de  $k_s$  nu mai există alt factor care să reflecte capacitatea acceptoare de protoni a solventului, raportul acidităților relative trebuie să rămînă indiferent la schimbarea solventului dacă efectul constantei dielectrice nu se manifestă (reacții de tip 3.XXI) sau să varieze de la un solvent la altul dacă efectul constantei dielectrice se face simțit (reacții de tip 3 XX).

Pentru a ajunge la relația dintre constanta de disociere și constanta dielectrică, exprimăm constantele de aciditate în funcție de activități și obținem:

$$\frac{K_{A_1}}{K_{A_2}} = \frac{\frac{a_{A_1^-} \cdot a_{H^+}}{a_{HA_1}}}{\frac{a_{A_2^-} \cdot a_{H^+}}{a_{HA_2}}} = \frac{a_{A_1^-} \cdot a_{HA_2}}{a_{A_2^-} \cdot a_{HA_1}} = K. \quad (3.27)$$

Se vede că raportul constantelor relative exprimă tocmai constanta de echilibru  $K$  a reacției acido-bazice:



Folosind relația lui van't Hoff dintre  $K$  și entalpia liberă standard, (ec. 3.23), se poate scrie:

$$-RT \ln K = \Delta G^\circ. \quad (3. 23 a)$$

Luind în considerare și ecuația (3.22), mai avem :

$$-RT \ln K = \Delta_{ch}G^\circ + \Delta_{el}G^\circ. \quad (3.28)$$

Pentru a evalua componenta electrostatică  $\Delta_{el}G^\circ$ , a entalpiei libere standard  $\Delta G^\circ$ , se poate presupune că  $A_1^-$  și  $A_2^-$  sînt ioni sferici și să se adune travaliul de încărcare  $(W_{inc})_1$  al ionului  $A_1^-$  cu travaliul de descărcare  $(W_{des})_2$  al ionului  $A_2^-$  (v.ec. 1.10), iar apoi să se înmulțească suma algebrică cu numărul lui Avogadro :

$$\Delta_{el}G^\circ = \mathfrak{N}[(W_{inc})_1 - (W_{des})_2], \quad (3.29)$$

sau

$$\Delta_{el}G^\circ = \frac{\mathfrak{N}e_0^2}{2D_s} \left( \frac{1}{r_{A_1^-}} - \frac{1}{r_{A_2^-}} \right), \quad (3.30)$$

unde  $r_{A_1^-}$  și  $r_{A_2^-}$  sînt razele ionilor  $A_1^-$  și  $A_2^-$ .

Introducînd ecuația (3.30) în ecuația (3.28) avem :

$$\ln K = -\frac{\Delta_{ch}G^\circ}{RT} - \frac{\mathfrak{N}e_0^2}{2D_s RT} \left( \frac{1}{r_{A_1^-}} - \frac{1}{r_{A_2^-}} \right). \quad (3.31)$$

Relația (3.31) este o ecuație liniară în  $\frac{1}{D_s}$  ; reprezentînd grafic  $\ln K (= K_{A_1}/K_{A_2})$  în funcție de  $D_s^{-1}$ , se obține o dreaptă, al cărei coeficient unghiular este :

$$-\frac{\mathfrak{N}e_0^2}{2RT} \left( \frac{1}{r_{A_1^-}} - \frac{1}{r_{A_2^-}} \right),$$

iar ordonată la origine  $-\Delta_{ch}G^\circ/RT$ .

Semnul coeficientului unghiular depinde de raportul în care stau cele două raze ionice : dacă  $r_{A_2^-} < r_{A_1^-}$ , paranteza este negativă, iar coeficientul unghiular pozitiv ; în caz contrar, el este negativ. Dacă  $r_{A_2^-} = r_{A_1^-}$  efectul constantei dielectrice este nul.

Ordonata la origine permite calcularea raportului constantelor de aciditate intrinseci, lipsite de efecte electrostatice ( $D_s \rightarrow \infty$ ) Deci :

$$-\frac{\Delta_{ch}G^\circ}{RT} = \ln K_{D_s \rightarrow \infty} \quad (3.32)$$

Prin urmare, putem scrie :

$$\ln \frac{K_{A_1}}{K_{A_2}} = -\ln \left( \frac{K_{A_1}}{K_{A_2}} \right)_{D_s \rightarrow \infty} - \frac{\mathfrak{N}e_0^2}{2D_s RT} \left( \frac{1}{r_{A_1^-}} - \frac{1}{r_{A_2^-}} \right). \quad (3.33)$$

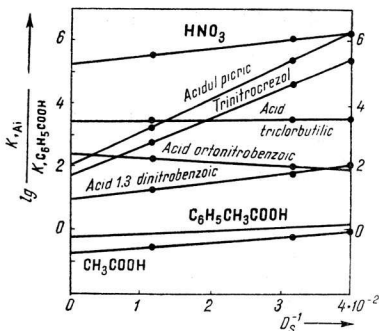


Fig. 3.15. Efectul constantei dielectrice asupra tăriei acide; ca etalon s-a ales constanta relativă de aciditate a acidului benzoic.

Efectul constantei dielectrice asupra constantelor de aciditate este ilustrat în figura 3.15. Ca etalon, pentru acizii de tip HA se folosește acidul benzoic, iar pentru cei cationici (de tip  $\text{NH}_4^+$ ), ionul piridiniu. Pentru acest din urmă caz, în expresia (3.33) locul razelor  $r_{A^-}$  este preluat de razele cationilor  $r_{B^+}$ .

Trebuie să se menționeze că echilibrul de disociere acidă este influențat, ca orice echilibru și de temperatură. Pentru a explica variația printr-un maxim a constantei de disociere, observată experimental, s-au elaborat formule empirice, de genul

$$\lg K = \lg K_{\max} - b(T - T_{\max})^2, \quad (2.34)$$

unde  $K_{\max}$  este valoarea maximă, înregistrată la temperatura  $T_{\max}$ , iar  $b$  o constantă avînd aceeași valoare pentru mulți acizi. Determinări experimentale au condus la următoarele temperaturi  $T_{\max}$ :  $22,6^\circ\text{C}$  pentru acidul acetic,  $22^\circ\text{C}$  pentru apă,  $<0^\circ\text{C}$  pentru acidul fosforic (în primă treaptă,)  $41^\circ\text{C}$  pentru amoniac etc.

Structura moleculară influențează puternic constanta de aciditate relativă. Efectele sînt deosebit de pregnante la acizii carboxilici și la bazele organice, pe ale căror molecule se grefează diverse grupări polare. Se disting efecte inductive, de conjugare (sau de rezonanță) și de hiperconjugare.

Efectele inductive constau în deplasarea electronilor  $\sigma$  din cauza diferențelor de electronegativitate dintre atomi; substituenții inductivi care exercită atracția electronilor se simbolizează prin  $-I$ , iar cei care resping electronii spre centrul de reacție (unde are loc expulzarea protonului) se notează prin  $+I$ .

Efectul de conjugare (de rezonanță sau încă mezomeric) este cauzat de interacțiunea sistemelor de electroni  $\pi$  din interiorul moleculei, soldată cu modificări de densitate electronică. Acest efect este important numai atunci cînd atît centrul de reacție cît și substituentul care exercită influen-

fa asupra lui, au electroni  $\pi$  sau orbitali  $p$  disponibili, pentru conjugarea între ei. Se obișnuiește simbolizarea efectului de conjugare prin  $+R$  și  $-R$  (în general „efect R”), după cum substituentul exercită repulsie sau respectiv atracție asupra norilor de probabilitate ai electronilor  $\pi$ .

În sfârșit, efectul de hiperconjugare, mult mai atenuat, este asociat cu prezența atomilor de hidrogen legați de un atom de C aflat în poziție  $\alpha$  față de sistemul de electroni  $\pi$ . Cu alte cuvinte, grupele alchilice care posedă asemenea atomi de hidrogen exercită un slab efect  $+R$ , deși ele nu conțin electroni  $p$  sau  $\pi$  disponibili.

O ilustrare clară a efectului inductiv ne oferă seriile de acizi care posedă substituenți încărcăți electronic; cei încărcăți pozitiv vor exercita un pronunțat efect  $-I$  soldat cu facilitarea ionizării hidrogenului carboxilic și deci cu scăderea  $pK_A$ -ului (tab. 3.14), iar cei încărcăți negativ vor cauza, printr-un efect  $+I$ , o mărire a  $pK_A$ -ului.

Datele din tabelul 3.14 evidențiază de asemenea atenuarea efectului datorat substituentului polar pe măsură ce crește distanța care-l separă de centrul de reacție.

Dacă influența inductivă a substituentului este evidentă în seria de acizi din tabelul 3.14, nu același lucru se constată în cazul altor acizi carboxilici substituiți. Un exemplu în acest sens este acidul  $\text{ClCH}_2\text{COOH}$ , considerabil mai tare ( $pK_A = 2,86$ ) decât acidul acetic ( $pK_A = 4,76$ ). Explicația tradițională a diferenței de aciditate pune totul pe seama unui puternic efect inductiv  $-I$ , care favorizează disocierea protonului carboxilic. Fără îndoială, ea este valabilă în linii mari; justificată este și neglijarea efectului de conjugare, dar substituirea atomului de hidrogen cu atomul de clor determină modificarea numărului de atomi de hidrogen  $\alpha$ , ceea ce poate produce efecte sterice nu tocmai neglijabile. Din acest motiv, o analiză riguroasă a situației conduce la concluzia că exaltarea de aciditate în acidul monocloracetic se datorează unui efect inductiv  $-I$ , coroborat de unul steric și de altul de hiperconjugare.

Tabelul 3.15

Efectul inductiv al clorului  
într-o serie de acizi carboxilici

Acidul	$pK_A$
$\text{CH}_3\text{COOH}$	4,76
$\text{CH}_3\text{CH}_2\text{COOH}$	4,88
$\text{ClCH}_2\text{COOH}$	2,87
$\begin{array}{c} \text{CH}_3 \\ \diagdown \\ \text{CH} \\ \diagup \\ \text{CH}_3 \end{array} \text{COOH}$	4,85
$\begin{array}{c} \text{Cl} \\ \diagdown \\ \text{CH} \\ \diagup \\ \text{Cl} \end{array} \text{COOH}$	1,36

Tabelul 3.14

Efectul  $-I$  asupra ionizării  
unor acizi

Acidul	$pK_A$
$\text{CH}_3\text{COOH}$	4,76
$\begin{array}{c} + \\ \text{H}_2\text{NCH}_2\text{COOH} \end{array}$	2,35
$\begin{array}{c} + \\ \text{H}_3\text{N}(\text{CH}_2)_2\text{COOH} \end{array}$	3,55
$\begin{array}{c} + \\ \text{H}_3\text{N}(\text{CH}_2)_3\text{COOH} \end{array}$	4,03
$\begin{array}{c} + \\ \text{H}_3\text{N}(\text{CH}_2)_4\text{COOH} \end{array}$	4,23
$\begin{array}{c} + \\ \text{H}_3\text{N}(\text{CH}_2)_5\text{COOH} \end{array}$	4,37

De aceea, pentru a izola efectul inductiv al clorului, este mai nimerită compararea acidului cloracetic cu acidul propionic; în acest caz numărul atomilor de hidrogen  $\alpha$  nu se modifică și deci efectul de hiperconjugare este eliminat, iar razele *van der Waals* ale radicalului  $\text{CH}_3$  și ale atomului Cl sînt apropiate, ceea ce reduce la minim și efectul steric asupra acidității. Similar, diferența dintre valorile  $pK_A$  ale acizilor dicloracetic și izobutilic se datorează practic exclusiv unui efect inductiv, asociat cu substituirea a doi radicali  $\text{CH}_3$  cu doi atomi Cl. Tabelul 3.15 conține datele care ilustrează discuția de mai sus; se observă diferența mică (0,12) dintre valorile  $pK_A$  ale acidului acetic și propionic, ceea ce atestă contribuția minoră a efectului de conjugare și a celui steric.

În acizii aromatici din cauza rigidității inelului benzenic, efectele substituenților din pozițiile *meta* și *para* sînt de mai mică importanță decît a substituenților din *orto*, din cauza depărtării de centrul de reacție. Spre deosebire de acizii alifatici, la cei aromatici se vor manifesta și importante efecte de conjugare, pe lîngă efectele inductive. În tabelul 3.16 se observă efectul  $-I$  asupra acidității fenolului conținînd substituenți de tipul

$-\overset{+}{\text{N}}(\text{CH}_3)_3$ , mai puternic la izomerul *meta*- decît la cel *para*- substituit; ne-am aștepta la un pronunțat efect contrar ( $+I$ ) din partea substituenților negativi  $-\text{SO}_3^-$  și  $-\text{COO}^-$ , dar experiența nu confirmă așteptarea, din cauza suprapunerii unui puternic efect contrar  $-R$ . Deoarece efectul inductiv  $+I$  este depășit de efectul de conjugare  $-R$ , rezultanta va acționa în sensul micșorării  $pK_A$ -ului (v. tab. 3.16). Suprapunerea aceluiași efecte este responsabilă și pentru inversarea acidităților observate la *p*-nitro- și *p*-cianfenol, în comparație cu *meta*-derivații corespunzători (v. tab. 3.17); *m*-clorfenolul și *p*-clorfenolul manifestă comportamentul scontat.

Din cauza efectului  $-R$  semnalat, izomerii *p*- $\text{NO}_2\text{C}_6\text{H}_4\text{OH}$  și *p*- $\text{CNC}_6\text{H}_4\text{OH}$  reclamă valori speciale pentru constanta de substituție  $\sigma$  din ecuația lui Hammett:

$$\lg K = \rho\sigma, \quad (3.35)$$

care stabilește o legătură între aciditate și efectul substituenților polari din molecula acidului arilic, grefați în poziție *meta* sau *para*. Constanta  $\sigma$

Tabelul 3.16

Efectele unor substituenți polari, încăleări electrice, asupra acidității fenolului

Acidul	$pK_A$
$\text{C}_6\text{H}_5\text{OH}$	9,97
$m\text{-(CH}_3)_3\text{NC}_6\text{H}_4\text{OH}$	8,06
$p\text{-(CH}_3)_3\text{NC}_6\text{H}_4\text{OH}$	8,35
$p\text{-O}_3\text{SC}_6\text{H}_4\text{OH}$	9,06
$p\text{-OOC}_6\text{H}_4\text{OH}$	9,23

Tabelul 3.17

Efecte ale unor substituenți polari, neîncleări electrice, asupra acidității fenolului

Acidul	$pK_A$
$\text{C}_6\text{H}_5\text{OH}$	9,97
$m\text{-ClC}_6\text{H}_4\text{OH}$	9,13
$p\text{-ClC}_6\text{H}_4\text{OH}$	9,41
$m\text{-NO}_2\text{C}_6\text{H}_4\text{OH}$	8,35
$p\text{-NO}_2\text{C}_6\text{H}_4\text{OH}$	7,15
$m\text{-CNC}_6\text{H}_4\text{OH}$	8,57
$p\text{-CNC}_6\text{H}_4\text{OH}$	7,97

depinde numai de substituent, pe cînd  $\rho$  este mai complex, depinzînd de reacție, solvent și temperatură. Ambele constante se găsesc tabelate pentru un mare număr de acizi și substituenți, astfel că aplicarea ecuației lui Hammett permite prevederea acidității unui derivat proaspăt preparat. Constanta  $K$  reprezintă mereu raportul dintre aciditatea ce trebuie determinată  $K_A$ , și aciditatea  $K_A$ , a compusului de referință.

Acizii polivalenți disociază în trepte, cărora le corespund constante de aciditate relative cu atît mai diferite cu cît sînt mai apropiați în moleculă atomii de hidrogen sau grupările carboxil. De aceea, acizii anorganici, care au molecule relativ mici în comparație cu moleculele unor acizi organici polivalenți, se vor distinge prin valori  $pK_A$  mult mai deosebite decît  $pK_A$ -urile acizilor organici (v. tab. 3.18). La aceștia din urmă efectele

Tabelul 3.18

Aciditățile unor acizi polivalenți anorganici și organici

Acidul	$pK_1$	$pK_2$	$pK_3$	$pK_4$
$H_2SO_4$	-3	1,93		
$H_2SO_3$	1,77	5,3		
$H_3PO_4$	2,148	7,21	12,3	
$H_4P_2O_7$	0,85	1,96	6,54	8,46
Acid oxalic	1,271	4,266		
Acid malonic	2,83	5,61		
Acid succinic	4,207	5,638		
Acid maleic	1,94	6,25		
Acid fumaric	3,09	4,42		

inductive sau cele de conjugare dependente de distanță sînt bine ilustrate de constantele de aciditate din tabelul 3.18.

### 3.3.3 CÎTEVA CATEGORII SPECIALE DE ELECTROLIȚI

Aminoacizii constituie o categorie interesantă de electroliți, deoarece ei conțin cel puțin cîte o grupă funcțională acidă și bazică în moleculele lor. Glicina, sau acidul  $\alpha$ -aminoacetic este capul de serie și poate fi considerată ca un component tipic aminoacid alifatic al proteinelor. În mediu acid, el formează cationul:  $NH_3^+CH_2COOH$ . Carboxilul acetic este caracterizat printr-un  $pK_A$  incomparabil mai mic decît ionul  $CH_3NH_3^+$  (v. tab. 3.14 și 3.9), ceea ce explică, la  $pH$ -uri intermediare, următoarea ionizare internă:



În mediu alcalin se manifestă și funcția acidă foarte slabă  $-NH_3^+$ , conform reacției:



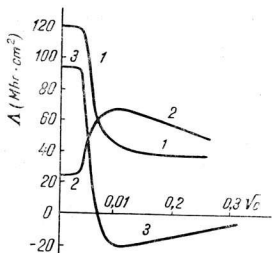


Fig. 3.16. Variația conductibilității echivalente cu concentrația electrolitului coloidal (soluție apoasă de bromură de cetilpiridiniu), la 35°C.

cationi, de tipul amoniului cuaternar, conținând radicali cu catenă lungă etc., care se comportă în soluție diluată ca orice electrolit normal, dar care formează agregate micelare sau asociate de mai mulți ioni, peste anumite concentrații critice.

Formarea micelilor este demonstrată, de exemplu, prin scăderea bruscă a conductibilității (fig. 3.16); la concentrații mai mici decât  $10^{-3}M$ , bromura de cetilpiridiniu,  $C_{16}H_{33}NC_5H_4^+Br^-$ , se manifestă ca un electrolit 1:1-valent, respectînd ecuația lui O n s a g e r, dar la concentrații mai mari,  $\Delta$  scade brusc. Micelele de bromură de cetilpiridiniu, constau din vreo 68 de cationi de cetilpiridiniu, orientați astfel încît gruparea încărcată să se găsească spre apă, iar radicalii lungi hidrocarbonați spre interiorul micelui, formînd o rețea neregulată. Fixarea unor ioni  $Br^-$  la suprafața micelui va determina o scădere substanțială a numărului de ioni disponibili pentru transportul curentului. Pe de altă parte, micela, posedînd un mare număr de sarcini electrice va cauza o creștere a forței ionice în soluție, soldată cu micșorarea mobilității ambelor feluri de ioni. Aceste două efecte acționează împotriva creșterii de mobilitate a ionului organic survenită în urma aglomerării în micelle (forța de frecare la mișcarea micelui este mult mai mică decît aceea care ar fi produsă la mișcarea ionilor constituenți separați).

Făcîndu-se determinări de numere de transport (H a r t l e y), s-au pus în evidență efectele menționate; creșterea de mobilitate a micelui în comparație cu cationii constituenți reiese din variația curbei  $\Delta_+$  (curba 2); rezultatul asocierii unui mare număr de ioni  $Br^-$  cu micela este ilustrat de variația conductibilității echivalente a anionului,  $\Delta_-$  (curba 3). Conductibilitatea echivalentă ionică aparentă ia valori negative la concentrația critică, arătînd astfel faptul că spre catod sînt transportați mai mulți ioni

Probleme interesante se ivesc atunci cînd se consideră coeficientul de activitate care trebuie să se atribuie ionului îngemănat. Faptul că valoarea coeficientului de activitate scade cu creșterea concentrației pînă la aproximativ 1/3 din valoarea caracteristică unui electrolit de tip, 1:1, constituie un argument atît în favoarea unei comportări neideale a soluțiilor de aminoacizi cît și pentru o mișcare liberă, independentă, a sarcinilor, cu toate că amfionul este mai degrabă echivalent cu o pereche ionică internă.

O altă categorie specială de electroliti o constituie electroliti coloidal. De obicei termenul se acordă tuturor soluțiilor liofile încărcate, precum și soluțiilor de săpunuri de detergenți sintetici,

Br<sup>-</sup> (constituenți ai asociațelor cu micellele) decît spre anod. După H a r t l e y, la concentrația critică ar avea loc asocierea :



unde C<sup>+</sup> reprezintă ionul cetilpiridiniu.

Polielectrolitii diferă de electrolitii coloidalii prin distribuția sarcinii pe ionul cu masă moleculară mare. În timp ce micellele tipice sînt sferice, denumirea de polielectrolit se acordă unor substanțe ca acidul polimetacrilic sau o sare de polivinilpiridină, în care fiecare segment din polimerul avînd lanțul lung, transportă o grupare ionizată sau ionizabilă.

Dacă soluției de acid polimetacrilic, care este un acid slab și are molecula încîrligată, i se adaugă hidroxid alcalin, soluția se umflă, din cauza repulsiei electrostatice dintre grupele carboxilice ionizate și în absența unor adaosuri de săruri, lanțurile hidrocarbonate ale acizilor complet neutralizați se întind. Prezența în soluție a unor săruri mărește forța ionică și diminuează forțele repulsive dintre grupările ionizate, ceea ce determină atenuarea transformărilor observate în absența sărurilor.

Termodinamica soluțiilor de polielectroliti este mult complicată din cauza suprapunerii simultane a unor termeni configuraționali și electrostatici în energia sistemului.

Determinări conductometrice au arătat că asocierile dintre ionii polielectrolitilor sînt la fel de puternice ca și la electrolitii coloidalii. S-a calculat, de exemplu, că aproximativ 2/3 din ionii de Na<sup>+</sup> dintr-o soluție diluată de poli-acrilat de sodiu, sînt asociați cu anionii de poli-acrilat și migrează cu ei.

## Bibliografie

1. L. I. Antropov. *Teoreticeskaia Electrohimia*, I-vo V. S., Moskva, 1965, partea I, cap. 5.
2. J. O'M, Bockris și A. K. N. Reddy. *Modern Electrochemistry*. Plenum Press, New York, 1970, cap. 5.
3. P. D., Bolton și L. G., Hepler. *Polar Substituent Effects and the Ionization of Acids*, Quart. Rev., **25** (4), 521, 1971.
4. B. E., Conway. *Proton Solvation and Proton Transfer Processes in Solution*, în: *Modern Aspects of Electrochemistry*, **3**, 43, 1964.
5. C. W., Davies. *Electrochemistry*. G. Newnes Ltd., London, 1967, cap. 6, 7, 10, 18.
6. J. R. Jones. *Acidities of Carbon Acids*. Quart. Rev., **25**, 365, 1971.
7. G., Niac, și E., Schö n b e r g e r, *Chimie Fizică* **3**, Editura tehnică, București, 1970, secț. 1, 2, 4.
8. The Chemical Rubber Co. (ed.), *Handbook of Chemistry and Physics*, 50-th ed., (1969-70), Cleveland, Ohio.



**4.1 INTRODUCERE**

Cu mai bine de un secol în urmă, în 1864, W e y l găsea că metalele alcaline se solvă în amoniac lichid, dînd soluții de culoare albastră, stabile, dacă erau pure. În 1908, K r a u s făcea presupunerea că, în amoniacul lichid metalele alcaline se găsesc în echilibru cu cationii proprii și electroni solvatați. De atunci încoace, proprietățile electronului amoniacat au fost mult studiate, prin metoda conductibilității, *RES*, *RMN* și spectroscopie optică, iar proprietățile sale reducătoare mult exploatate în sinteza organică. În general metalele alcaline sînt dizolvate, iar electronii solvatați care se formează sînt relativ stabili în aminer și eteri, lichide cu constantă dielectrică mare și proprietăți donoare accentuate. Sărurile cristaline topite, soluțiile de metale în halogenuri alcaline topite și sărurile de tetraalchilamoniu electrolizate, constituie de asemenea medii de stabilizare ale electronului. Recent (1967), s-a descoperit că și solvenții aprotici, cum este de exemplu hexametilfosforamida, formează cu metalele alcaline soluții albastre, reducătoare, stabile cîteva ore.

Electronul hidratat a fost decelat de radiochimisti în jurul anului 1958. Pînă la acea dată se credea că în apa iradiată cu raze *X*,  $\gamma$  sau electroni, unica specie reducătoare o constituie atomii de hidrogen. Descoperirea unor anomalii în mecanismul acestor reacții a condus la concluzia că alături de hidrogen trebuie să existe încă o specie reducătoare, care s-a dovedit a fi electronul hidratat.

Electronii hidratați ( $e_{aq}^-$ ) iau naștere prin încetinirea pînă la energii termice a electronilor rezultați în urma unei excitări electrice, fotochimice sau termice, a atomilor aflați într-o soluție apoasă. Descoperirea lor tîrzie se datorează faptului că sînt greu de deosebit chimic de atomii de hidrogen, cu care au fost confundați. De fapt,  $e_{aq}^-$  și H constituie o pereche conjugată acido-bazică, în care cel dintîi constituie baza și are deci puterea reducătoare mai mare. Prin descoperirea electronului hidratat s-au elucidat multe mecanisme de reacție, în special din domeniul chimiei radiațiilor și a fotochimiei; de asemenea, o serie de alte mecanisme vor trebui reconsiderate, avînd în vedere intervenția dovedită a electronului hidratat.

Neavînd masă nucleară, electronul hidratat se transformă cu multă ușurință, ceea ce explică marea lui reactivitate și stabilitatea redusă. Este indiscutabil agentul reducător cel mai simplu și mai energic al apei, iar

viața lui medie este de ordinul  $10^2 \mu\text{s}$ . De aceea studiarea electronului hidratat a fost facilitată de apariția acceleratoarelor electronici avînd debite ale dozei mari și pulsuri scurte, capabili să-i genereze în concentrații mari. Azi, grație acceleratoarelor și spectroscopiei reacțiilor rapide, cercetarea electronului hidratat a fost mult simplificată; este posibilă urmărirea dispariției benzii de absorbție în intervale variind între aproximativ  $10^{-6}$  și  $10^{-2}$  s. În anumite condiții timpul de înjumătățire al electronului hidratat poate fi mărit și deci reactivitatea sa micșorată; descompunerea spectrului său oferă un minunat mijloc de măsurare a vitezelor de reacție cu substanțele solubile în apă. Pînă în 1962, cînd spectrele acestea nu erau disponibile, chimiștii foloseau cinetica competitivă și obțineau constante de viteză relative. Metoda a revelat multe din proprietățile electronului hidratat și a sugerat diverse metode noi de producere a lor.

## 4.2 DECELAREA ELECTRONULUI HIDRATAT

Figura 4.1 reproduce spectrul de absorbție al electronului hidratat, fotografiat de Hart și Boag (1962), folosind un fascicul de electroni de 1,8 MeV, în pulsuri de  $2 \mu\text{s}$ , îndreptate asupra unei soluții de carbonat de sodiu *a* și apă dezaerată *b*. Se observă prezența unui maxim bine definit în jurul valorii de 700 nm.

Mai simplă și mai precisă decît tehnica spectrofotografică, spectrofotometria oferă și posibilitatea obținerii de date referitoare la cinetica reacției de consumare a electronului hidratat în reacțiile cu diverse combinații prezente în soluția iradiată. În figura 4.2 este reprodusă curba de descompunere a spectrului unei soluții, care în momentul pulsului de iradiere avea o concentrație de 18 nM  $e_{aq}^-$ , la o lungime de undă de 690 nm. Linia orizontală superioară este trasată cu 20 ms înainte de pulsul de raze X (avînd durata de  $0,4 \mu\text{s}$ ) și care corespunde unei transmisii luminoase de 100%. Prezența unor substanțe reactive față de  $e_{aq}^-$  accelerează descompunerea acestuia din urmă iar efectul lor asupra curbei de descompunere servește ca bază pentru calcule cinetice. În general, se caută realizarea unor astfel de condiții încît  $e_{aq}^-$  să se consume prin reacții de ordinul I sau II (în raport cu  $e_{aq}^-$ ), cînd constantele de viteză se pot obține

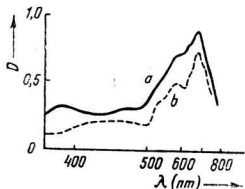


Fig. 4.1. Spectrul de absorbție al  $e_{aq}^-$  în soluții iradiate:

*a* -  $\text{Na}_2\text{CO}_3$ , 0,05M și *b* - apă dezaerată

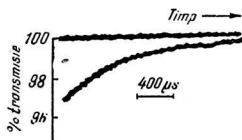
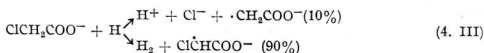
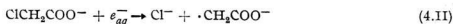


Fig. 4.2. Curba de descompunere a spectrului  $e_{aq}^-$  la  $\text{pH} = 8,3$ , 690 nm și concentrație inițială de 18 nM  $e_{aq}^-$ .

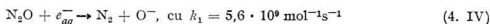
relativ ușor și precis. Reacțiile de ordinul *I* au loc între electroni hidratați pe de o parte și solvat sau solvent pe de altă parte, iar cele de ordinul *II* prin combinarea a doi electroni hidratați între ei, cum se întâmplă de exemplu în soluții alcaline saturate cu hidrogen :



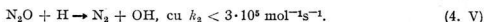
Pentru a ilustra metoda competitivă vom considera de exemplu reacția acidului cloracetic cu  $e_{aq}^-$ , și atomi de hidrogen :



Reacția cu atomii de hidrogen produce în principal (90%) hidrogen molecular, pe cînd electronul hidratat produce întotdeauna ioni  $Cl^-$ . Această metodă a pus în evidență electronul hidratat nu numai în radioliză ci și în mai multe reacții fotochimice și termice. În alte cazuri, distincția dintre  $e_{aq}^-$  și  $H$  se poate face pe baza diferenței de reactivitate față de  $N_2O$  sau  $CH_3OH$ . Cu primul, reacțiile au loc în felul următor :

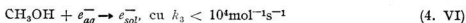


și

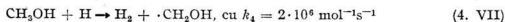


Diferența de reactivitate, exprimată prin raportul constantelor de viteză corespunzătoare, este de  $\sim 2 \cdot 10^4$ .

Cu metanolul, reacțiile sînt :



și



De astă dată, reactivitatea atomilor de hidrogen e mai mare, cu un factor ce depășește  $2 \cdot 10^2$ .

Dacă în locul  $N_2O$  sau metanolului, luați separat, se ia amestecul lor, se obține un sistem extrem de eficient de diferențiere a celor două specii ; cu  $e_{aq}^-$  se obține azot, iar cu atomii de hidrogen are loc degajare de hidrogen molecular. Această metodă este mai sensibilă și mai ușor de aplicat decît metoda spectrofotometrică a cărei utilizare este limitată la anumite condiții.

### 4.3 CARACTERISTICI ALE ELECTRONULUI HIDRATAT

Una din proprietățile importante ale  $e_{aq}^-$  este timpul de înjumătățire, din a cărei valoare se poate deduce reactivitatea față de apă și echilibrul chimic cu apa ; constanta de echilibru permite apoi calcularea unor para-

metri termodinamici caracteristici. Valoarea timpului de înjumătățire depinde de  $pH$ -ul soluției; de exemplu în soluții neutre ea se cifrează la  $230 \mu s$  și se datorează în primul rând reacției cu cei  $10^{-7}$  ioni gram de  $H^+$  prezenți. Pentru a micșora efectul reacției cu atomii de hidrogen, radicalii hidroxil și ionii hidrogen formați în timpul pulsului de raze  $X$ , Hart și colaboratorii (1966) au lucrat cu concentrații de  $e_{aq}^- < 10^{-8} M$  și la un  $pH = 8,3$ . În aceste condiții, reacția cu apa:



are o viteză specifică de  $16 \text{ mol}^{-1}s^{-1}$ , iar viața medie în apă pură este:

$$\frac{0,693}{55,5} \cdot 16 = 780 \mu s.$$

Soluțiile alcaline prelungesc viața electronului hidratat, grație reacției regeneratoare:



La  $pH > 9,6$  viața medie a  $e_{aq}^-$  atinge ordinul milisecundelor. În soluție alcalină diluată, principala reacție consumatoare de electroni hidratați este:



La  $pH < 9,6$  reacția de formare a hidrogenului molecular, după schema:



și a hidrogenului atomic:



micșorează viața sa. Hidrogenul molecular este complet inert față de  $e_{aq}^-$ .

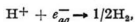
S-a calculat constanta de echilibru  $K$  a reacției cu apa:



găsindu-se:

$$K = k_1/k_2 = 16/2,3 \cdot 10^7 = 7 \cdot 10^7. \quad (4.1)$$

Entalpia liberă  $\Delta G$  corespunzătoare, valorează  $+8,4 \text{ kcal/mol}$ . Din entalpia liberă  $\Delta G$ , a reacției de reducere a ionilor hidrogen:



care se cifrează la  $+63,9 \text{ kcal/mol}$ , se calculează un potențial redox standard de  $-2,77$  volți (Baxendale, 1964). Entalpia liberă de hidratare a electronului este puternic negativă ( $-1,66 \text{ eV}$  după Baxendale, 1964;  $-1,70 \text{ eV}$  după Jortner, 1966), și se apropie foarte mult de energia maximului de absorbție optică ( $1,72 \text{ eV}$ ).

Electronul hidratat este un agent reducător mai energetic decât hidrogenul atomic, diferența dintre potențialele lor redox standard valorînd  $0,7 \text{ V}$ .

Tabelul 4.1

Conductibilitățile echivalente  
ale electronului hidratat,  
amoniacat și a ionului  $\text{OH}^-$

Specia	$\Lambda(\text{Mho} \cdot \text{cm}^2)/\text{la } 25^\circ\text{C}$
$\text{OH}^-$	198,6
$e_{aq}^-$	177
$e_{am}^-$	1022

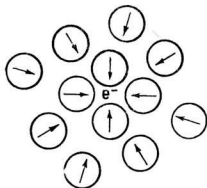


Fig. 4.3. Schema electronului hidratat.

de 0,145 nm, egală cu distanța care separă 2 atomi de oxigen în apă; figura 4.3 reproduce acest model. În tabelul 4.2 sînt date cîteva din măriri-  
mă fizice caracteristice electronului hidratat.

Potențialul redox standard de  $-2,77$  V, situează  $e_{aq}^-$  în seria potențialelor redox, după Na și înaintea Sr.

Măsurătorile de conductibilitate au demonstrat nu numai sarcina unitară negativă a electronului hidratat, ci și marea sa mobilitate; astfel, conductibilitatea echivalentă a  $e_{aq}^-$  nu diferă mult de cea a ionului  $\text{OH}^-$ , dar este mult inferioară conductibilității echivalente a electronului amoniacat,  $e_{am}^-$  (tab. 4.1)

Electronul hidratat este un ion puternic colorat, tocmai ca și electronul amoniacat. Procesul de hidratare sau de solvatare are loc prin polarizarea moleculelor de solvent, în urma interacțiunilor de tip electron-dipol. Câmpul datorat electronului induce în moleculele de solvent un astfel de potențial încît electronul este captat ca într-o trapă și stabilizat. Energia de solvatare, coeficientul de difuzie și distanța pînă la care se manifestă interacțiunea, atestă o distribuție de sarcină superioară celei existente în jurul ionului  $\text{I}^-$ ; raza distribuției de sarcină este cuprinsă între 0,25 și 0,30 nm. În stare fundamentală raza  $e_{aq}^-$  ar fi de 0,28 nm, cu o rază a cavității

Tabelul 4.2

#### Proprietăți ale electronului hidratat

- Maximul spectrului de absorbție,  $\lambda_{max} = 720$  nm
- Coeficientul molar de extincție, la maximul de absorbție,  $E_{720} = 18\,500 \text{ mol}^{-1} \text{ cm}^{-1}$
- $G$ : 2,6 ioni/100 eV
- $pK$ , pentru reacția:  $e_{aq}^- + \text{H}_2\text{O} \rightleftharpoons \text{H} + \text{OH}^-$  este 6,16
- $T_{1/2}$  (pentru reacția cu apa): 780  $\mu\text{s}$  (la  $pH = 8,3$ )  
: 230  $\mu\text{s}$  (la  $pH = 7$ )
- Constanta de difuzie:  $4,7 \cdot 10^{-6} \text{ cm}^2 \text{ s}^{-1}$
- Potențial redox standard,  $\epsilon^\circ$ :  $-2,77$  V  
( $e_{aq}^- + \text{H}_3\text{O}^+ \rightarrow 1/2 \text{ H}_2 + \text{H}_2\text{O}$ )
- $\Delta G_{hidratare}^\circ$ :  $-37,2$  kcal/mol
- $\Delta H_{hidratare}^\circ$ :  $-37,8$  kcal/mol
- $\Delta S_{hidratare}^\circ$ :  $-1,9$  cal/mol  $\cdot$  grad

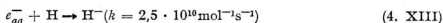
## 4.4 DESPRE REACȚIILE ELECTRONULUI HIDRATAT

Datorită reactivității mari (viteze de reacție mari) și rolului său fundamental în procesele de transfer electronic, electronul hidratat prezintă mare importanță pentru studiul mecanismelor reacțiilor de reducere. În general

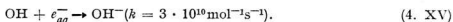
vitezele mari de reacție ale  $e_{aq}^-$  se corelează cu disponibilitatea unor orbitali vacanți în partenerul de reacție. Deseori aceste reacții sînt controlate de difuzie, nu necesită energie de activare, sau numai una mică (3—4 kcal/mol) și sînt însoțite de schimb apreciabil de entalpie liberă. Aceste fapte atestă un efect redus al barierei de energie potențială dintre  $e_{aq}^-$  și reactant asupra vitezei de transfer electronic, deși electronul hidratat este reținut în caja de hidratare cu o energie de ~40 kcal/mol. Apoi, nu trebuie neglijate nici unele restricții de energie potențială, datorate electronilor exteriori aparținînd particulei care acceptă electronul și nici bariera energetică datorată învelișului de hidratare al acesteia. Însumarea efectelor enumerate ar trebui să creeze o barieră de energie potențială net superioară celei aproape invariant observate de ~3,5 kcal/mol. Se poate deci conchide că, datorită dimensiunilor sale mici, electronul traversează bariera energetică prin efect tunel, fără a forma stări de tranziție. Tunelarea depinde, evident, de înălțimea și lățimea barierei de energie și de variația totală de energie înregistrată în cursul reacției. Lățimea barierei de energie depinde de distanța care separă electronul de orbitalul vacant din partenerul de reacție. Mecanismul prin tunelare este mult favorizat de diferența mare dintre nivelul de energie al electronului încorporat în particula acceptoare și nivelul energetic al electronului hidratat; cel din urmă trebuie să fie superior celui dintîi. Atunci cînd afinitatea pentru electron a reactantului depășește net 40 kcal/mol, reacția are loc fără prealabila modificare a configurației electronice interne și a învelișului de hidratare a reactantului; este tocmai ceea ce se constată în multe reacții ale  $e_{aq}^-$ , controlate de difuzie. Lucrurile se schimbă în cazul reacțiilor cu molecule sau ioni care dobîndesc o afinitate apreciabilă pentru electron numai după o prealabilă rearanjare a configurației electronice și a învelișului de hidratare. Să considerăm un asemenea reactant, care în stare fundamentală manifestă o afinitate mică pentru electron. Aproximarea lui de electronul hidratat pînă la o anumită distanță critică va determina o probabilitate mică, dar diferită de zero, de a găsi electronul în reactant. Această probabilitate se poate asimila cu un coeficient de „tunelare”. Dacă reactantul se reorganizează structural într-o configurație care acceptă electronul într-un nivel energetic inferior, probabilitatea de încorporare a acestuia este mărită. Dacă reorganizarea creează o diferență de nivel energetic mai mare decît 40 kcal/mol, reacția va tinde să se desfășoare complet. Viteza globală a reacției va depinde de nivelul inițial al electronului și de înțepala de rearanjare a produsului stabil. Dacă cel dintîi parametru este mai important, reacția nu va avea energie de activare; dacă rearanjarea intermoleculară necesită o energie de activare de 3—4 kcal/mol, se va înregistra un acord cu măsurătorile experimentale. Acest mecanism ar constitui singura explicație plauzibilă pentru o serie de reacții ale electronului hidratat cu unii compuși aromatici sau carbonilici, ale căror viteze specifice se întind pe mai multe ordine de mărime, dar au practic aceeași energie de activare. Multe din aceste substanțe au o afinitate pentru electron prea mică pentru a concura cu energia de hidratare a electronului fără o rearanjare structurală a produsului de reacție.

Reacțiile electronului hidratat cu H și OH, ambii produși de radioliză ai apei, sînt controlate de difuzie; cu hidrogenul are loc mai întîi saturarea

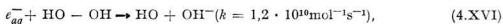
orbitalului vacant, formându-se anionul  $H^-$ , care apoi reacționează cu apa, cu liberare de hidrogen molecular :



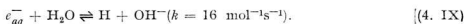
și



Reacția cu peroxidul de hidrogen, un alt produs primar de radioliză al apei, duce la ruperea legăturii peroxidice, cu paralela apariție a două vacanțe în orbitalii celor două fragmente, dintre care una va fi ocupată de electron :



Neavînd orbital vacant, molecula de apă se comportă ca un sistem saturat față de electronul hidratat, ceea ce ar sugera absența vreunei interacțiuni chimice. Totuși, există dovezi sigure despre reacția dintre  $H_2O$  și  $e_{aq}^-$ , dar ea se desfășoară de  $10^7$  ori mai lent decît reacțiile controlate de difuzie ; produșii de reacție sînt  $H$  și  $OH^-$  :



Moleculele neutre precum și ionii pozitivi sau negativi reacționează cu electronul hidratat cu viteze ce depind în largă măsură de disponibilitatea vacanțelor din orbitalii lor. Ionii negativi saturați electronic, cum sînt  $HCO_3^-$ ,  $CO_3^{2-}$ ,  $CN^-$ ,  $CNO^-$ ,  $Cl^-$ ,  $C_2O_4^{2-}$ ,  $N_3^-$ ,  $H_2PO_4^-$  reacționează cu viteze mai mici decît  $10^7 \text{ mol}^{-1} \text{ s}^{-1}$  ; ca și cu apa, în cazul cînd are loc, reacția pare că se soldează cu ruperea unor legături chimice. Figura 4.4 conține constantele de viteză ale reacțiilor unor molecule și ioni cu electronul hidratat.

Studii recente (Walker, 1966) au scos la iveală faptul că în reacția dintre sodiul metalic și apă, produsul primar este electronul hidratat și că de fapt trebuie să se scrie :



Cercetările s-au efectuat cu metoda cineticii competitive, folosind  $N_2O$  și  $CH_3OH$  drept substanțe indicatoare. Totodată s-a demonstrat absența hidrogenului atomic intermediar, iar hidrogenul molecular care se degajă, se formează prin reacția radiochimică :



La electroliză, atunci cînd potențialul catodului este puternic negativ ( $< -2,7 \text{ V}$ ), este posibilă stabilirea unei concentrații staționare de electroni hidratați. Pare însă puțin probabilă apariția sa ca specie inițială, la

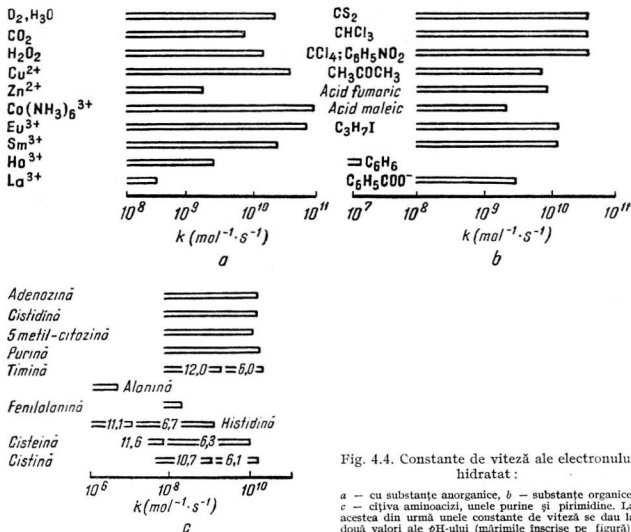


Fig. 4.4. Constante de viteză ale electronului hidratat :

a — cu substanțe anorganice, b — substanțe organice, c — cițiva aminoacizi, unele purine și pirimidine. La acestea din urmă unele constante de viteză se dau la două valori ale pH-ului (mărimile înscrise pe figură).

degajarea hidrogenului sau la alte procese catodice care au loc pe metale având bune proprietăți electrocatalitice, care chemisorb  $\text{H}$  și pe care degajarea  $\text{H}_2$  se poate desfășura cu viteze mari, dar la potențiale catodice relativ joase.

## 4.5 CONCLUZII

Identificarea electronului hidratat ca principală specie reducătoare în apa iradiată și descoperirea producerii sale pe cale fotochimică, în reacțiile de transfer de sarcină în electroliză și în anumite reacții termice, are consecințe deosebite în chimie și biologie. Având în vedere formarea sa, în radioliză, din electroni termici și în fotoliză din ioni excitați, este evidentă apariția sa ca intermediar și sub influența luminii. Având în vedere marea sa reactivitate cu  $\text{CO}_2$  (v. fig. 4.4), el ar putea constitui specia reducătoare primară implicată în fotosinteză. Aceasta face ca, actualmente, să fie necesară reconsiderarea mecanismelor propuse în radiochimie, fotochimie, electroliză ș.a. Deși reacțiile electronului hidratat nu sînt specifice cu diversele combinații, calea utilizării sale ca reactiv analitic nou, este deschisă. Dato-

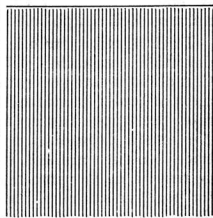


rită coeficientului său de extincție molar mare, el poate fi sesizat în concentrații foarte mici ( $10^{-9}M$ ); aceasta permite decelarea în concentrații sub-micromolare a unor compuși cu care viteza specifică de reacție depășește valoarea  $10^9 \text{ mol}^{-1}\text{s}^{-1}$ .

În virtutea faptului că este principalul agent reducător generat în mediu apos, electronul hidratat dobândește o mare importanță în radiobiologie. Cunoșcându-se reactivitatea electronului hidratat cu o serie de compuși de importanță biologică, problema localizării atacului radiațiilor este mult simplificată. Pentru radiobiolog este esențial faptul că  $e_{aq}^-$  reacționează mult mai repede cu constituenții purinici și pirimidinici ai ADN decât cu aminoacizii constituenți ai proteinelor. ADN este aproape singurul sediul unor atacuri din partea electronului hidratat în timpul iradierii, deși există câteva legături foarte reactive și în sinul proteinelor. Cunoașterea constantelor de viteză constituie un prețios ajutor în înțelegerea acestor reacții complexe; printre altele, ea permite explicarea efectului terapeutic al radiațiilor în tratamentul cancerului. Cunoașterea constantelor de viteză nu e lipsită de interes nici în chimia alimentară, unde sterilizarea prin iradiere se practică pentru conservarea alimentelor pe o scară din ce în ce mai largă; reactivitatea diferită a electronului hidratat față de diverșii componenți care conferă gust și aromă alimentelor, poate fi exploatată în perfecționarea acestui mod de conservare.

## Bibliografie

1. B. E., Conway și D. J., MacKinnon. *Involvement of Hydrated Electrons in Electrode Processes*. J. Phys. Chem., **74**, 3663, 1970
2. E. J., Hartl. *Hydrated Electron*, Survey of Progress in Chemistry, **5**, 129, 1969
3. L., Oniciu, *Electronul hidratat*. Rev. Fiz. Chim., ser. A, **7**, 401, 1970



**PARTEA A DOUA**

**TRAVERSA-  
REA  
INTERFETEI  
METAL-  
ELECTROLIT**

## BAZELE TERMODINAMICE ȘI CINETICE ALE REACȚIILOR DE ELECTROD

### 5.1 POTENȚIALE. ELECTROZI. FEM

#### 5.1.1 POTENȚIAL INTERN, POTENȚIAL EXTERN ȘI POTENȚIAL DE SUPRAFAȚĂ

Adsorbția particulelor încărcate sau neutre la suprafața electrodului și viteza reacțiilor de electrod sînt condiționate de mărimea și profilul diferenței de potențial dintre metal și soluția de electrolit aflată în contact cu el. Originea și natura acestei diferențe de potențial este esențială în înțelegerea cineticii de electrod a termodinamicii electrochimice și a adsorbției electrochimice (electrosorbție).

Se reamintește că potențialul electrostatic  $V_X$  în punctul  $X$ , aflat în vid este egal cu trivaliul efectuat pentru aducerea sarcinii unitare pozitive de la infinit, unde  $V$  este arbitrar și convențional nul, pînă la punctul  $X$  considerat; se presupune că în timpul transportului, sarcina unitară nu modifică cîmpul electric.

Dacă sarcina trebuie să traverseze în drumul său medii materiale de densități variabile, definirea potențialului nu mai este atît de simplă. Complicația este generată de proprietățile în același timp electrice și chimice ale particulei purtătoare de sarcină (electron sau ion); traversarea interfeței presupune învingerea simultană a unor forțe chimice și electrostatice. Nu există deosebiri esențiale între originile acestor tipuri de forțe, electrice în ultima analiză, în ambele cazuri. Dar în timp ce forțele electrostatice rezultă de pe urma repartiției macroscopice, în anumite regiuni a sarcinilor pozitive sau negative excedentare, forțele chimice intermoleculare provin de pe urma separării sarcinilor la scară moleculară (dipoli permanenți sau induși, centre pozitive sau negative în rețea etc.), ceea ce aduce cu sine pentru acestea din urmă o lege de variație cu distanța  $r$  proporțională cu  $1/r^6$  și prin urmare o rază de acțiune mult mai mică decît a forțelor electrostatice. Întrucît cele două tipuri de interacțiuni nu derivă dintr-un potențial comun, separarea contribuțiilor lor la trivaliul total efectuat este teoretic dificilă și practic imposibilă.

De aceea noțiunea de potențial, utilizată fără altă precizare, este un termen echivoc. Nu este indiferent, de exemplu, dacă punctul  $X$  oarecare se găsește în exteriorul sau interiorul fazei conductoare (electrod). În acest sens se distinge un potențial extern (sau  $V_{\text{olta}}$ ) notat cu  $\psi$ , referitor la un punct aflat în exteriorul fazei conductoare, cît mai aproape de suprafață, dar în afara razei de acțiune a forțelor chimice și un potențial intern (sau  $G_{\text{alvani}}$ ), notat cu  $\phi$ , care este potențialul unui punct  $X$  aflat în inte-

riorul metalului; acesta din urmă constituie așa-numitul potențial electrostatic al unui metal. Prezența unui strat dipolar, inevitabil la suprafața conductorului, cauzează o variație bruscă a potențialului electrostatic în momentul traversării suprafeței. De aceea potențialul  $G_{\text{alvanii}} \phi$  apare ca o sumă a potențialului extern  $V_{\text{olta}} \psi$  și a potențialului caracterizând stratul dipolar superficial, numit potențial de suprafață (sau superficial) notat cu  $\chi$ . Experiența nu permite determinarea acestuia din urmă deoarece, practic este imposibilă separarea contribuției pur chimice de cea pur electrostatică din travaliul total cheltuit cu aducerea de la infinit a ionului sau electronului pînă în punctul  $X$  din interiorul fazei conductoare (metal).

Pentru a reflecta caracterul complex al interacțiunilor — chimice și electrice — la propunerea lui Guggenheim, Brönsted și Lange, s-a introdus noțiunea de potențial electrochimic  $\bar{\mu}$  (1929).

Să considerăm un punct oarecare  $X$  în interiorul unui corp conductor (metal) și punctul de referință exterior  $R$ , situat la infinit. Variația de entalpie liberă electrochimică

$$\left( \frac{\partial \bar{G}}{\partial n_i} \right)_{p, T, n_{j \neq i}} \quad (5.1)$$

a fazei  $\alpha$ , înregistrată în cursul deplasării sarcinii de la  $R$  la  $X$ , este tocmai potențialul electrochimic  $\bar{\mu}_i^\alpha$ ; cu  $n_i$  s-a notat numărul molilor de specia  $i$  din faza  $\alpha$ .

Dacă unul din constituenții sistemului chimic este încărcat electric cu sarcina  $q$ , pe lângă entalpia liberă chimică  $G$ , el trebuie să posede și o energie electrică  $q\phi$ . Astfel, energia totală pe care o posedă entitatea electrochimică este:

$$\bar{G} = G + q\phi, \quad (5.2)$$

unde  $\bar{G}$  este entalpia liberă electrochimică, iar  $q = \pm z\mathcal{F}$  pentru un iongram

Dacă în reacție se consumă sau se produc ioni sau electroni, forța ei motoare devine entalpia liberă electrochimică  $\bar{G}$ , care joacă rolul entalpiei libere  $G$  de la reacțiile chimice care nu implică specii încărcate electric. Spontaneitatea reacției este asigurată de scăderea entalpiei libere electrochimice ( $\Delta \bar{G} < 0$ ); la echilibru  $\Delta \bar{G} = 0$ .

Mărimea  $\bar{\mu}_i^\alpha$  este analogă cu  $\mu_i^\alpha$  aparținând unei specii neutre și ca orice potențial termodinamic, se definește cu aproximația unei constante aditive, care se numește potențial electrochimic de referință. Întrunind interacțiunea chimică  $\mu_i^\alpha$  dintre particula încărcată (ion sau electron) și materialul fazei  $\alpha$  și interacțiunea electrică, asociată pe de o parte cu potențialul exterior  $\psi$  determinat de sarcina netă  $Q$  de pe suprafața fazei și, pe de altă parte, cu traversarea interfeței pe care există un câmp

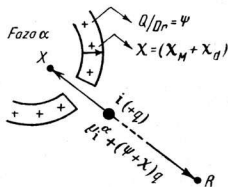


Fig. 5.1. Interacțiunile la care este supus ionul  $i$  la aducerea sa din punctul  $R$  în punctul  $X$  din interiorul fazei  $\alpha$ .

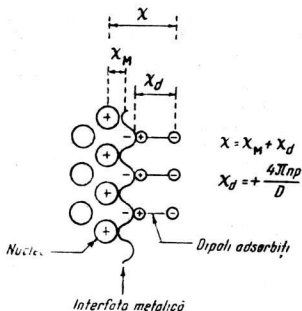


Fig. 5.2. Componentii potențialului superficial  $\chi$ .

dipolar superficial avînd potențialul  $\chi$  (fig. 5.1), potențialul electrochimic  $\bar{\mu}_i^\alpha$  este :

$$\bar{\mu}_i^\alpha = \mu_i^\alpha + (\psi + \chi) \mathcal{F} z_i \quad (5.3)$$

$$\bar{\mu}_i^\alpha = \mu_i^\alpha + \phi z_i \mathcal{F} \quad (5.4)$$

Diferența de potențial  $\chi$  constă în mod normal din suma contribuțiilor datorate asimetriilor în distribuția electronilor și nucleelor la suprafața metalului,  $\chi_M$ , și a orientării dipolilor moleculari (solvent sau gaz adsorbit) la suprafață,  $\chi_d$  (fig. 5.2). Dacă  $p$  reprezintă componenta momentelor dipolare, diferența de potențial  $\chi_d$  va fi dată de relația lui Helmholtz :

$$\chi_d = + \frac{4\pi np}{D} \quad (5.5)$$

unde  $n$  reprezintă numărul de dipoli de pe unitatea de suprafață ( $\text{cm}^2$ ), iar  $D$  constanta dielectrică în stratul superficial. În mod normal  $p$  descrește pe măsură ce  $n$  crește, din cauza polarizării mutuale a dipolilor avînd aceeași orientare și distanțe mici între ei.

Datorită faptului că  $\psi$  se poate măsura experimental, se mai definește încă un termen :

$$P = \mu + \chi \mathcal{F} z_i \quad (5.6)$$

care poartă numele de potențial real al particulei în fază. Comparînd ecuațiile (5.6) și (5.3) rezultă că  $P$  reprezintă variația totală de energie înregistrată la pătrunderea unei particule încărcate, venind de la infinit, în mediul aflat în stare neîncărcată ; menționăm că  $\psi = 0$  numai atunci cînd  $Q = 0$ .

Exemple de potențiale reale sînt : travaliul de extracție (cu semn schimbat) al electronului din metal și entalpia liberă de solvatare a ionilor, pornind de la atomi gazoși.

Potențialul exterior  $\psi$  sau potențialul Volt a corespunde în mod normal cu interacțiunea dintre particula încărcată și corpul încărcat, și variază cu distanța  $r$  de la corp, conform egalității  $\psi = Q/r$  în vid sau  $Q/Dr$  în mediul avînd constanta dielectrică  $D$ . Potențialul Volta este accesibil măsurătorilor experimentale. La distanțe  $r$  cuprinse între 1 și 10 nm potențialul asociat cu sarcinile de semn opus, induse pe suprafața metalului, poate deveni important și e determinat de relația :  $\psi_i = q/4r$ .

Potențialul superficial  $\chi$  nu este accesibil măsurătorilor ; el rezultă din experiența teoretică schițată în figura 5.1 și este legat exclusiv de traversarea unui strat dipolar. Efectele asociate cu această traversare nu sînt separabile în realitate de interacțiunile cu interiorul fazei materiale constituită de exemplu de soluția de electrolit, ignorate în mod deliberat în experiența teoretică amintită.

Potențialul de suprafață poate fi evaluat numai teoretic. Schimbări în potențialul de suprafață ( $\Delta\chi$ ) se pot determina de exemplu prin măsurători ale variației travaliului de extracție a electronului din metalul pe a cărui suprafață s-au realizat diverse fracțiuni de acoperire cu gaz adsorbit. De obicei  $\Delta\chi$  se determină pentru grade de acoperire  $\theta$  cuprinse între 0,2 și 1. Deoarece  $\chi_d$  se referă la dipolii superficiali ai substanței adsorbite, rezultă că  $\chi_d \rightarrow 0$  dacă  $n \rightarrow 0$  (pentru  $\theta \rightarrow 0$ ). În schimb  $\chi$  total ( $\chi_d + \chi_M$ ) nu trebuie să tindă neapărat în aceste condiții spre zero, deoarece la interfața metal/vacuum există întotdeauna o anumită disimetrie în distribuția nucleelor și electronilor.

Deoarece potențialul de suprafață  $\chi$  nu este măsurabil, orice parametru care îl conține pe acesta, va fi și el inaccesibil măsurărilor experimentale. Din acest motiv, nici potențialul intern  $\phi (= \psi + \chi)$  nu poate fi măsurat experimental.

### 5.1.2 POTENȚIAL DE ELECTROD ABSOLUT

Diferența de potențial absolută dintre interiorul unui electrod metalic și volumul unei soluții de electrolit nu este o mărime experimental accesibilă. După cum se va vedea, în practică se măsoară întotdeauna diferențe de potențial față de un electrod de referință, legat de un zero, ales arbitrar. Calculul teoretic al diferenței de potențial absolut este posibil și chiar instructiv, deoarece pune în evidență factorii care determină valoarea sa.

Să considerăm echilibrul de ionizare al metalului M:



unde  $M_S^{z+}$  reprezintă ionii solvatați, iar  $z e_M^-$  excesul de electroni din metal. De obicei, procesul este spontan de la stînga la dreapta atunci cînd metalul se găsește în contact cu o soluție care inițial nu conține ioni proprii. Procesul se desfășoară pînă în momentul cînd potențialul M-soluție echilibrează transferul de sarcină de la interfață și cînd potențialele electrochimice  $\mu$  ale speciilor dintr-o fază egalează pe cele ale speciilor din cealaltă fază:

$$\bar{\mu}_M = \bar{\mu}_M^{z+} + z \bar{\mu}_{e^-, M} \quad (5.7)$$

Exprimînd potențialele electrochimice cu ajutorul potențialului chimic  $\mu$  și Galvani  $\phi$  al fazelor de metal și soluție și ținînd cont de faptul că în faza metalică particulele M sînt neutre electric, se obține:

$$\mu_M = \mu_M^{z+} + RT \ln a_M^{z+} + z \mathcal{F} \phi_S - z \mu_{e^-, M} - z \mathcal{F} \phi_M \quad (5.8)$$

Dacă metalul și electronii se găsesc în stare standard, mai avem:

$$\mu_M^\circ = \mu_M^{z+} + RT \ln a_M^{z+} + z \mathcal{F} \phi_S - z \mu_{e^-, M}^\circ - z \mathcal{F} \phi_M \quad (5.9)$$

de unde:

$$\Delta\mu^\circ + RT \ln a_M^{z+} + z \mathcal{F} (\phi_S - \phi_M) = 0, \quad (5.10)$$

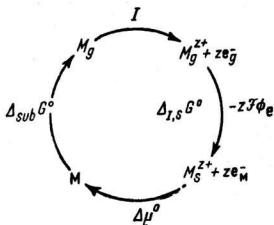


Fig. 5.3. Ciclul de entalpie liberă pentru calcularea diferenței de potențial absolute  $\Phi_M - \Phi_S$ .

Mărimile fizice care determină  $\Delta\mu^\circ$  și deci  $\Phi_M - \Phi_S$  se pot ilustra cu ajutorul ciclului de entalpie liberă schițată în figura 5.3  $\Delta_{sub}G^\circ$  este entalpia liberă standard de sublimare a metalului din stare cristalină M în atomi gazoși  $M_g$ ,  $I$  — energia de ionizare la starea  $M_g^{z+}$ ,  $\Delta_{M_g^{z+},S}G^\circ$  — entalpia liberă standard de solvatare a ionilor gazoși, iar  $\Phi_e$  — potențialul de extracție al electronilor din metal.

Deși ciclul conține toți termenii care determină pe  $\Delta\mu^\circ$ , în realitate transferul de electroni nu se înregistrează la interfața gaz-soluție, ci la interfața metal-soluție, astfel că  $\Phi_e$  se va referi la valoarea travaliului de extracție al electronilor în prezența unor dipoli de solvent adsorbiți la suprafața metalului. Din ciclul de mai sus rezultă:

$$\Delta\mu^\circ = \Delta_{sub}G^\circ + I + \Delta_{I,S}G^\circ - zF\Phi_e. \quad (5.13)$$

Membrul drept al egalității definește mărimea  $zF(\Phi_M - \Phi_S)$ , pentru o activitate dată  $a_M^{z+}$ , a ionilor  $M_S^{z+}$ ; egalitatea nu are decît valoare pur teoretică.

### 5.1.3 ELECTROZI ȘI FEM

#### 5.1.3.1 Ecuația lui Nernst. Potențiale de electrod relative. Electrozi de referință

Fie reacția de transfer a  $z$  electroni



la interfața M/ $M^{z+}$ . Condiția de echilibru termodinamic cere egalitatea potențialului electrochimic pentru stările inițială și finală ale reacției:

$$\mu_M = \bar{\mu}_M^{z+} + z\mu_{e-} \quad (5.14)$$

sau

$$\Delta\mu^\circ + RT \ln a_M^{z+} = zF(\Phi_M - \Phi_S), \quad (5.11)$$

unde

$$\Delta\mu^\circ = \mu_M^\circ - \mu_M^{z+} - z\mu_{e-}^\circ. \quad (5.12)$$

Ecuația este o formă a relației lui Nernst, valabilă pentru echilibrul electrochimic scris pentru o reacție unică de interfață, dar nici  $a_M^{z+}$  și nici  $\Delta\mu^\circ$  nu sînt accesibili măsurătorilor experimentale și nu există nici o metodă care să permită determinarea diferenței  $\Delta\mu^\circ$ ,  $zF(\Phi_M - \Phi_S)$  fără a introduce noi interfețe și implicit noi diferențe de potențial.

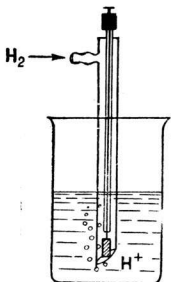


Fig. 5.4. Electrode de hidrogen.

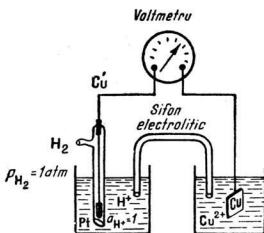


Fig. 5.5. Pila galvanică obținută prin asocierea electrodului de cupru cu un electrod de referință.

deoarece potențialul electrochimic  $\bar{\mu}_M$  al atomilor neutri se confundă cu potențialul lor chimic. Să explicităm potențialele electrochimice:

$$\bar{\mu}_M z^+ = \mu_M z^+ + z \mathfrak{F} \phi_S \quad (5.15)$$

și

$$\bar{\mu}_e = \mu_e - \mathfrak{F} \phi_M; \quad (5.16)$$

$\phi_M$  și  $\phi_S$  reprezintă mereu potențialele interne (G a l v a n i) ale celor două faze. Introducând aceste valori în ecuația (5.14), se obține:

$$\mu_M = \mu_M z^+ + z \mu_e + z \mathfrak{F} (\phi_S - \phi_M). \quad (5.17)$$

Introducând  $\Delta\phi_e = \phi_M - \phi_S$ , se mai obține:

$$\Delta\phi_e = \frac{1}{z \mathfrak{F}} (\mu_M z^+ + z \mu_e - \mu_M) = - \frac{\Delta G}{z \mathfrak{F}}. \quad (5.18)$$

Reamintind expresia generală a potențialului chimic

$$\mu_i = \mu_i^0 + RT \ln a_i$$

și luînd în considerare că atomii de metal în metal, ca și electronii de altfel se găsesc în stare standard, activitățile  $a_M$  și  $a_e$  sînt unitare, ecuația (5.18) devine:

$$\Delta\phi_e = \frac{\mu_M^0 z^+ + z \mu_e^0 - \mu_M^0}{z \mathfrak{F}} + \frac{RT}{z \mathfrak{F}} \ln a_M z^+, \quad (5.19)$$

sau

$$\Delta\phi_e = \Delta\phi_e^0 + \frac{RT}{\mathfrak{F}} \ln a_M z^+, \quad (\text{ecuația lui Nernst}) \quad (5.20)$$



$$\Delta\phi_e^0 = \frac{\mu_M^{z^+} + z\mu_e^0 - \mu_M^0}{zF} = -\frac{\Delta G^0}{zF} \quad (5.21)$$

Aşa cum apare scrisă în egalitatea (5.20) numită şi ecuaţia lui N e r n s t, nu poate servi în scopuri experimentale şi trebuie să i se aducă unele modificări. Pentru ilustrare se consideră reacţia de transfer electronic:  $\text{Cu}^{2+} + 2e^- \rightleftharpoons \text{Cu}$ .

Aplicînd ecuaţia lui N e r n s t se obţine :

$$\Delta_{\text{Cu}, S}\phi_e = \Delta_{\text{Cu}, S}\phi_e^0 + \frac{RT}{2F} \ln a_{\text{Cu}^{2+}}. \quad (5.22)$$

Asociind interfaţa  $\text{Cu}/\text{Cu}^{2+}$  cu o a doua interfaţă se obţine o pilă, a cărei diferenţă de potenţial totală este măsurabilă experimental. Dacă a doua interfaţă nu este polarizabilă, adică potenţialul său nu se depărtează semnificativ de la valoarea de echilibru atunci cînd printr-însa se scurge un curent foarte mic, contribuţia sa la căderea de potenţial totală este constantă şi potenţialul interfeţei  $\text{Cu}/\text{Cu}^{2+}$  se poate calcula. Să alegem ca electrod nepolarizabil (la mici densităţi de curent) electrodul normal de hidrogen. Acesta este construit în modul arătat de figura 5.4. şi constă dintr-un fir de platină platinată ( $\text{Pt}/\text{pt}$ ), scufundat într-o soluţie de ioni  $\text{H}^+$  ( $a_{\text{H}^+} = 1$ ) şi scăldat de un curent de hidrogen gazos avînd presiunea normală ( $p_{\text{H}_2} = 1 \text{ atm}$ ). Pila se poate simboliza prin următorul lanţ electrochimic :



Diferenţa de potenţial totală  $E$  de-a lungul întregii pile, în condiţii de echilibru a electrozilor, se compune aditiv din următoarele căderi de potenţial :

$$E = \Delta_{\text{Cu}, \text{Cu}'}\phi = \Delta_{\text{Cu}, S}\phi_e + \Delta_{S, \text{Pt}}\phi_e^0 + \Delta_{\text{Pt}, \text{Cu}'}\phi. \quad (5.23)$$

$E$  se mai numeşte şi forţă electromotoare ( $FEM$ ). În calcul nu s-a luat în considerare diferenţa de potenţial ce se manifestă la joncţiunea celor două soluţii; el se consideră minimizat prin procedee practice bine cunoscute (de exemplu utilizarea unui sifon electrolitic, ce conţine o soluţie de sare mono-monovalentă, în care cationul şi anionul posedă mobilităţi sensibil egale, v. secţ. următoare).

În mod asemănător, dacă şi activitatea ionilor  $\text{Cu}^{2+}$  este unitară ( $a_{\text{Cu}^{2+}} = 1$ ), se mai poate scrie :

$$E^0 = \Delta_{\text{Cu}, S}\phi_e^0 + \Delta_{S, \text{Pt}}\phi_e^0 + \Delta_{\text{Pt}, \text{Cu}'}\phi. \quad (5.24)$$

Deoarece electrodul de hidrogen este nepolarizabil,  $\Delta_{S, \text{Pt}}\phi_e^0$  este constant la temperatură dată; la fel este şi potenţialul de contact  $\Delta_{\text{Pt}, \text{Cu}'}\phi$  deoarece el depinde numai de natura metalelor şi este independent de ceea ce se întîmplă în soluţie.

Comparînd ecuaţiile (5.22), (5.23) şi (5.24) se ajunge la expresia :

$$E = E^0 + \frac{RT}{2F} \ln a_{\text{Cu}^{2+}} \quad (5.25)$$

sau, în condiții de temperatură standard ( $T = 298 \text{ K}$ ) și transformînd logaritmi naturali în logaritmi zecimali, se mai obține :

$$E = E^{\circ} + \frac{0,059}{2} \lg a_{\text{Cu}^{2+}} \quad (5.26)$$

o expresie extrem de utilă practic. Ea permite calcularea  $FEM, E$ , la orice activitate a ionilor  $\text{Cu}^{2+}$ , dacă se cunoaște valoarea standard  $E^{\circ}$  a ei.

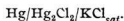
Cum se ajunge la o expresie ce conține mărimi accesibile măsurătorilor experimentale (5.26) pornind de la alta (5.22) ce conține mărimi imposibil de măsurat? Răspunsul la această întrebare dezvăluie rezolvarea practică a exprimării potențialelor de electrod, prin adoptarea unui standard convențional, care este tocmai electrodul normal de hidrogen ( $p_{\text{H}_2} = 1 \text{ atm}$ ,  $a_{\text{H}^+} = 1$ ); potențialul  $\epsilon^{\circ}_{\text{H}_2/\text{H}^+}$  al acestuia este arbitrar considerat zero la toate temperaturile. Folosind această convenție, egalitatea (5.26) se mai poate scrie și în felul următor :

$$\epsilon = \epsilon^{\circ}_{\text{Cu}^{2+}/\text{Cu}} + \frac{0,059}{2} \lg a_{\text{Cu}^{2+}}. \quad (25^{\circ}\text{C}) \quad (5.27)$$

În scara de potențiale astfel obținută, potențialul standard al reacției  $\text{Cu}^{2+} + 2e^- \rightleftharpoons \text{Cu}$  valorează  $+0,337 \text{ V}$ , iar a reacției  $\text{Zn}^{2+} + 2e^- \rightleftharpoons \text{Zn}$ ,  $0,763 \text{ V}$ . De aici înainte se vor utiliza simbolurile  $\epsilon$  și respectiv  $\epsilon^{\circ}$  pentru potențialele actuale și normale exprimate în scara electrodului de hidrogen normal (EHN).

S-a menționat cerința de nepolarizabilitate căreia trebuie să-i satisfacă electrodul de referință. O interfață nepolarizabilă se caracterizează printr-o constanță a căderii de potențial sau printr-o variație neînsemnată a ei la trecerea curentului ; se spune că interfața nu se polarizează.

Trebuie să se menționeze că electrodul de hidrogen nu este singurul utilizat ca standard de potențial. Din cauza manipulării sale mai greoaie, sînt preferate alte standarde (tab. 5.1) printre care cel mai frecvent întîlnit este electrodul de calomel saturat (electrod de specia a II-a), alcătuit în felul următor :



Potențialul stabil, ușor reproductibil și o lipsă a polarizării trebuie să caracterizeze și aceste standarde de electrozi de specia a II-a. Preluarea potențialului la electrozii de mercur se face cu ajutorul unui fir de platină, aflat în contact cu mercurul, deasupra căruia se găsește amestecul de  $\text{Hg}_2\text{Cl}_2$  și  $\text{KCl}$  solide și soluție de  $\text{KCl}$  avînd concentrație determinată ; aceasta din urmă fixează valoarea potențialului de electrod (v. tab. 5.1).

Spre deosebire de electrodul  $\text{Cu}/\text{Cu}^{2+}$  numit și de specia întîi, reversibil în raport cu ionii proprii, electrozii de referință de specia a doua sînt reversibili în raport cu anionul electrolitului ușor solubil cu care se găsesc în contact și a cărui concentrație apare explicit în ecuația care exprimă potențialul de electrod. Să considerăm de exemplu electrodul de  $\text{Ag}/\text{AgCl}/\text{HCl}$ , în care reacția potențial activă este :



**Tabelul 5.1**

**Compoziția și potențialele unor electrozi standard de specia a doua**

Electrodul	$\epsilon$ (V, la 25°C)
Hg/Hg <sub>2</sub> Cl <sub>2</sub> /KCl <sub>sat</sub>	0,2444
Hg/Hg <sub>2</sub> Cl <sub>2</sub> /KCl 1 N	0,2801
Hg/Hg <sub>2</sub> Cl <sub>2</sub> /KCl 0,1 N	0,3337
Ag/AgCl/HCl ( $a_{\text{HCl}} = 1$ )	0,2224
Hg/Hg <sub>2</sub> SO <sub>4</sub> /H <sub>2</sub> SO <sub>4</sub> ( $a_{\text{H}_2\text{SO}_4} = 1$ )	0,6156

iar potențialul de electrod se calculează cu egalitatea :

$$\epsilon = \epsilon^\circ + 0,059 \lg a_{\text{Ag}^+} \quad (5.28)$$

Ținând seamă de produsul de solubilitate  $P_{\text{AgCl}}$  al AgCl greu solubile,

$$P_{\text{AgCl}} = a_{\text{Ag}^+} \cdot a_{\text{Cl}^-} \quad (5.29)$$

mai avem :

$$\epsilon = \epsilon^\circ + 0,059 \lg P_{\text{AgCl}} - 0,059 \lg a_{\text{Cl}^-} \quad (5.30)$$

Deoarece  $P_{\text{AgCl}}$  este constant la temperatură determinată, se mai poate scrie :

$$\epsilon = \epsilon^\circ_{\text{Ag, AgCl}} - 0,059 \lg a_{\text{Cl}^-}. \quad (5.31)$$

Se observă că într-adevăr electrodul este reversibil față de ionul Cl<sup>-</sup>. Stabilitatea potențialului de electrod la trecerea curentului se explică prin efectul depolarizant la AgCl. Astfel, dacă electrodul joacă rol de catod, are loc reducerea  $\text{Ag}^+ + e^- \rightarrow \text{Ag}$ ; compensarea micșorării de concentrație a ionilor Ag<sup>+</sup> de la interfață se face imediat, prin dizolvarea unei cantități echivalente de AgCl, corp de fund, rezultatul global fiind constituit de apariția de ioni Cl<sup>-</sup>. Dimpotrivă dacă sensul curentului este contrar și la interfață se petrece oxidarea argintului,  $\text{Ag} \rightarrow \text{Ag}^+ + e^-$ , soluția fiind saturată în ioni Ag<sup>+</sup>, pentru a se păstra constanța produsului de solubilitate, ioni Ag<sup>+</sup> formați vor fi precipitați de ioni Cl<sup>-</sup>.

Se cunosc și electrozi de ordinul întâi reversibili în raport cu anionul. Astfel sînt de exemplu electrodul de oxigen și cei de halogen. Cel dintîi are o importanță deosebită în pilele de combustie și în procesele de coroziune și va fi luat în discuție în secțiunile următoare. În ceea ce privește electrozii de halogen, vom considera ca prototip electrodul de clor, care se poate realiza prin trecerea unui curent de clor gazos peste o placă sau un fir de platină scufundat într-o soluție de acid clorhidric. Reacția de electrod sau potențial activă, este :



Potențialul electrodului este cu atît mai negativ cu cît activitatea ionilor Cl<sup>-</sup> din soluție este mai mare și se calculează cu expresia :

$$\epsilon_{\text{Cl}_2/\text{Cl}^-} = \epsilon^\circ_{\text{Cl}_2/\text{Cl}^-} - 0,059 \lg a_{\text{Cl}^-} \quad (5.32)$$

În tabelul 5.2. sînt date cîteva potențiale de electrod standard,  $\epsilon^\circ$ . Pe baza acestui tabel se poate stabili o ierarhie a reactivității metalelor; la una din extreme se situează alcalinele, metale extrem de reactive și avînd valori  $\epsilon^\circ$  negative, iar la cealaltă se găsesc metalele nobile, inerte chimic și caracterizate prin valori  $\epsilon^\circ$  pozitive. Se va arăta la discuția rela-

Potențiale de electrodard standard (25°C; 1 atm;  $a = 1$ )

Electrodul	$\varepsilon^\circ(\text{V})$	Electrodul	$\varepsilon^\circ(\text{V})$
Li <sup>+</sup> /Li	-3,045	Sn <sup>2+</sup> /Sn	-0,136
K <sup>+</sup> /K	-2,925	Pb <sup>2+</sup> /Pb	-0,126
Ba <sup>2+</sup> /Ba	-2,90	Fe <sup>2+</sup> /Fe	-0,036
Ca <sup>2+</sup> /Ca	-2,87	H <sup>+</sup> /H <sub>2</sub>	0,000
Na <sup>+</sup> /Na	-2,713	Cu <sup>2+</sup> /Cu	+0,337
La <sup>3+</sup> /La	-2,52	Cu <sup>+</sup> /Cu	+0,521
Mg <sup>2+</sup> /Mg	-2,37	Hg <sub>2</sub> <sup>2+</sup> /Hg	+0,789
Al <sup>3+</sup> /Al	-1,66	Ag <sup>+</sup> /Ag	+0,799
Ti <sup>2+</sup> /Ti	-1,63	Hg <sub>2</sub> <sup>2+</sup> /Hg	0,854
Zn <sup>2+</sup> /Zn	-0,763	Au <sup>3+</sup> /Au	+1,50
Cr <sup>3+</sup> /Cr	-0,74	Pt/Pt <sup>2+</sup>	+1,20
Fe <sup>2+</sup> /Fe	-0,44		
Cd <sup>2+</sup> /Cd	-0,402	OH <sup>-</sup> /O <sub>2</sub> (4OH <sup>-</sup> - 4e <sup>-</sup> ⇌ O <sub>2</sub> + 2H <sub>2</sub> O)	+0,401
Co <sup>2+</sup> /Co	-0,28	I <sup>-</sup> /I <sub>2</sub>	+0,536
Ni <sup>2+</sup> /Ni	-0,25	Br <sup>-</sup> /Br <sub>2</sub>	+1,065
		Cl <sup>-</sup> /Cl <sub>2</sub>	+1,360
		F <sup>-</sup> /F <sub>2</sub>	+2,65

tivă la coroziune că ierarhia consemnată de tabel cunoaște unele limitări, datorită unor factori cinetici, chiar dacă din punct de vedere termodinamic ea este ireproșabilă.

### 5.1.3.2 Potențiale și electrozi redox

Reacțiile de electrod care determină potențialele electrozilor de ordinul întâi sau superior sînt procese de transfer de sarcină eterogene. Atunci cînd reacția de transfer are loc în mediu omogen și deci atît donorul cît și acceptorul de electroni se găsesc în soluție, electrodul se numește redox. Pentru preluarea potențialului se folosește un fir de metal inert (platină sau aur). Față de electrozii redox, care se pot numi și electrozi ion-ion, electrozii metal-ion se diferențiază prin aceea că forma redusă la aceștia din urmă este constituită din atomi de metal, avînd activitate constantă, iar electrozii gaz-ion, cu excepția celui de hidrogen, prin aceea că forma oxidată e alcătuită din molecule neutre. Deosebirea însă nu este decît formală, deoarece în ultimă instanță reacția potențial activă este, în toate cazurile, un proces de transfer de sarcină.

Fie de exemplu reacția redox oarecare:



unde prin O și R s-au simbolizat formele oxidată și respectiv redusă ale aceleiași substanțe. Se poate arăta că potențialul redox al reacției se calculează cu egalitatea:

$$\varepsilon_{\text{O/R}} = \varepsilon_{\text{O/R}}^\circ + \frac{0,059}{z} \lg \frac{a_{\text{O}}}{a_{\text{R}}} \quad (5.33)$$

Potențialul standard  $\epsilon_{O/R}^\circ$  se obține în cazul particular  $a_O = a_R = 1$ , la 25°C. Exemple concrete ne oferă procesele :



sau



Potențialul redox corespunzător echilibrului dintre ionii aceluiași metal aflați în stări de oxidare diferite, se poate calcula atunci când se cunosc potențialele de electrod  $\epsilon_{M^{x+}/M}$  și  $\epsilon_{M^{y+}/M}$  unde  $M^{x+}$  și  $M^{y+}$  simbolizează stările de oxidare diferite. Să alegem ca bază de discuție sistemul  $\text{Cu}/\text{Cu}^+/\text{Cu}^{2+}$ .

Cînd cuprul metalic vine în contact cu o soluție care conține ionii  $\text{Cu}^{2+}$  sistemul evoluează astfel încît prin transferul de sarcină



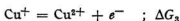
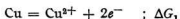
să se stabilească un echilibru caracterizat printr-o diferență de potențial la interfață  $\epsilon$  care să satisfacă ecuațiile ce exprimă potențialele de electrod următoare :

$$\epsilon = \epsilon_{\text{Cu}^{2+}/\text{Cu}}^\circ + \frac{0,059}{2} \lg a_{\text{Cu}^{2+}}, \quad (5.34)$$

$$\epsilon = \epsilon_{\text{Cu}^+/\text{Cu}}^\circ + 0,059 \lg a_{\text{Cu}^+}, \quad (5.35)$$

$$\epsilon = \epsilon_{\text{Cu}^{2+}/\text{Cu}^+}^\circ + 0,059 \lg \frac{a_{\text{Cu}^{2+}}}{a_{\text{Cu}^+}}, \quad (5.36)$$

corespunzătoare reacțiilor :



se observă că ultima se poate obține prin scăderea celei de a doua din prima. De aceea, dacă se notează cu  $\Delta G_1$ ,  $\Delta G_2$  și  $\Delta G_3$  entalpiile libere ale reacțiilor, entalpia liberă a celei din urmă se poate calcula din diferența celorlalte două :

$$\Delta G_3 = \Delta G_1 - \Delta G_2, \quad (5.37)$$

metoda nu se poate aplica însă potențialelor de electrod particulare, pentru că potențialul este o mărime intensivă. Produsele  $z\epsilon^\circ$  unde  $z$  reprezintă numărul electronilor transferați, sînt în schimb extensive. Deci :

$$\epsilon_{\text{Cu}^{2+}/\text{Cu}^+}^\circ = 2\epsilon_{\text{Cu}^{2+}/\text{Cu}}^\circ - \epsilon_{\text{Cu}^+/\text{Cu}}^\circ. \quad (5.38)$$

Cunoscînd valorile  $\epsilon_{\text{Cu}^{2+}/\text{Cu}}^\circ = 0,377 \text{ V}$  și  $\epsilon_{\text{Cu}^+/\text{Cu}}^\circ = 0,521 \text{ V}$ , rezultă că :

$$\epsilon_{\text{Cu}^{2+}/\text{Cu}^+}^\circ = 2 \cdot 0,377 - 0,521 = 0,153 \text{ V}.$$

Dacă electrodul de cupru se găsește în echilibru cu o soluție de ioni cuprici avînd  $a_{\text{Cu}^{2+}} = 1$ , la 25°C, activitatea ionilor cuproși,  $a_{\text{Cu}^{+}}$ , se poate calcula cu ajutorul relației (5.35):

$$0,337 = 0,521 + 0,059 \lg a_{\text{Cu}^{+}}$$

de unde:

$$a_{\text{Cu}^{+}} = 8 \cdot 10^{-4} \text{ mol/l},$$

cunoscînd activitatea de echilibru a ionilor cuproși, se poate calcula constanta de echilibru a reacției:



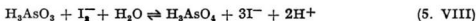
$$K = \frac{a_{\text{Cu}^{+}}^2}{a_{\text{Cu}^{2+}}} = 6,4 \cdot 10^{-7}. \quad (5.39)$$

Potențialul redox de echilibru este atins relativ repede dacă procesul de transfer de sarcină este îndeajuns de rapid. Uneori, așa cum se întîmplă cu amestecul sulfat-sulfid, în sistem nu se stabilește un potențial definit.

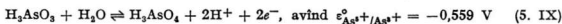
Tabelul 5.3 cuprinde potențialele redox standard ale unor reacții. Valorile sînt tabelate în ordinea crescătoare a potențialului de electrod și completează de fapt pe cele prezentate în tabelul 5.2. Cu cît potențialul redox este mai pozitiv, cu atît sistemul posedă o putere oxidantă mai accentuată; un agent oxidant este capabil să oxideze orice agent reducător aflat deasupra lui în serie și reciproc, orice reducător poate reduce oxidanții situați dedesubtul lui. În calculele ce se fac nu trebuie ignorat faptul că tabelul conține potențiale standard și că valorile actuale dintr-un sistem dat se obțin luînd în considerare activitățile (concentrațiile) partenerilor și aplicînd ecuația lui Nernst.

Cunoașterea potențialelor standard  $\varepsilon^{\circ}$  permite calculul *FEM* standard  $E^{\circ}$  și implică a constantei de echilibru, pentru o reacție dată, prin compunerea a cîte două potențiale. De aceea, tabelele 5.2 și 5.3 conțin un număr considerabil de informații într-un spațiu restrîns; de exemplu 100 de valori permit calcularea constantelor de echilibru pentru 4 950 reacții diferite.

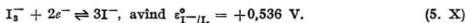
Să considerăm oxidarea arseniților cu iod, care se desfășoară conform reacției globale:



Ea se poate descompune în următoarele două reacții parțiale:



și



Deoarece adunarea celor două reacții parțiale duce la reacția globală, caracterizată prin *FEM* standard  $E^{\circ}$ , se poate scrie:

$$zE^{\circ} = z\varepsilon_{\text{As}^{3+}/\text{As}^{5+}}^{\circ} + z\varepsilon_{\text{I}^{-}/\text{I}_3}^{\circ} \quad (5.40)$$

$$zE^{\circ} = 2(-0,559 + 0,536) = -0,046 \text{ eV}.$$

Potențiale redox standard ale unor reacții exprimate  
în ordinea crescătoare a puterii oxidante

Reacția	$\varepsilon^\circ$	Reacția	$\varepsilon^\circ$
$\text{H}_2\text{PO}_3^- + e^- \rightleftharpoons \text{P} + 2\text{OH}^-$	-1,82	$\text{HgO} + \text{H}_2\text{O} + 2e^- \rightleftharpoons 2\text{OH}^- + \text{Hg}$	0,0984
$\text{HPO}_3^{2-} + 2\text{H}_2\text{O} + 3e^- \rightleftharpoons \text{P} + 5\text{OH}^-$	-1,71	$\text{Pd}(\text{OH})_2 + 2e^- \rightleftharpoons \text{Pd} + 2\text{OH}^-$	0,1
$\text{SO}_3^{2-} + \text{H}_2\text{O} + 2e^- \rightleftharpoons \text{SO}_3^{2-} + 2\text{OH}^-$	-0,92	$2\text{NO}_2^- + 3\text{H}_2\text{O} + 4e^- \rightleftharpoons \text{N}_2\text{O} + 6\text{OH}^-$	0,15
$\text{TiO}_2 + 4\text{H}^+ + 4e^- \rightleftharpoons \text{Ti} + 2\text{H}_2\text{O}$	-0,86	$\text{Co}(\text{OH})_3 + e^- \rightleftharpoons \text{Co}(\text{OH})_2 + \text{OH}^-$	0,2
$\text{ReO}_4^- + 4\text{H}_2\text{O} + 7e^- \rightleftharpoons \text{Re} + 8\text{OH}^-$	-0,81	$\text{PbO}_2 + \text{H}_2\text{O} + 2e^- \rightleftharpoons \text{PbO} + 2\text{OH}^-$	0,28
$\text{ASO}_4^{3-} + 2\text{H}_2\text{O} + 2e^- \rightleftharpoons \text{ASO}_3^{3-} + 4\text{OH}^-$	-0,71	$\text{NiO}_2 + 2\text{H}_2\text{O} + 2e^- \rightleftharpoons \text{Ni}(\text{OH})_2 + 2\text{OH}^-$	0,49
$\text{HPO}_3^- + \text{H}_2\text{O} + 2e^- \rightleftharpoons \text{Pb} + 3\text{OH}^-$	-0,54	$\text{AsO}_4^{3-} + 2\text{H}^+ + 2e^- \rightleftharpoons \text{AsO}_3^{3-} + \text{H}_2\text{O}$	0,559
$2\text{CO}_2 + 2\text{H}^+ + 2e^- \rightleftharpoons \text{H}_2\text{C}_2\text{O}_4$	-0,49	$\text{Ag}_2\text{O}_3 + \text{H}_2\text{O} + 2e^- \rightleftharpoons 2\text{AgO} + 2\text{OH}^-$	0,74
$\text{Se} + 2\text{H}^+ + 2e^- \rightleftharpoons \text{H}_2\text{Se}$	-0,36	$\text{ClO}^- + \text{H}_2\text{O} + 2e^- \rightleftharpoons \text{Cl}^- + 2\text{OH}^-$	0,90
$\text{CO}_2 + 2\text{H}^+ + 2e^- \rightleftharpoons \text{HCOOH}$	-0,2	$\text{IO}_3^- + 6\text{H}^+ + 6e^- \rightleftharpoons \text{I}^- + 3\text{H}_2\text{O}$	1,085
$\text{CrO}_4^{2-} + 4\text{H}_2\text{O} + 3e^- \rightleftharpoons \text{Cr}(\text{OH})_3 + 5\text{OH}^-$	-0,12	$\text{ClO}_4^- + 8\text{H}^+ + 7e^- \rightleftharpoons \frac{1}{2} \text{Cl}_2 + 4\text{H}_2\text{O}$	1,34
$\text{TeO}_3^{2-} + 3\text{H}_2\text{O} + 4e^- \rightleftharpoons \text{Te} + 6\text{OH}^-$	-0,02	$\text{MnO}_4^- + 8\text{H}^+ + 5e^- \rightleftharpoons \text{Mn}^{2+} + 4\text{H}_2\text{O}$	1,49
$\text{H}^+ + e^- \rightleftharpoons \frac{1}{2} \text{H}_2$	0,000	$\text{O}_3 + 2\text{H}^+ + 2e^- \rightleftharpoons \text{O}_2 + \text{H}_2\text{O}$	2,07
		$\text{O} + 2\text{H}^+ + 2e^- \rightleftharpoons \text{H}_2\text{O}$	2,42
		$\frac{1}{2} \text{F}_2 + \text{H}^+ + e^- \rightleftharpoons \text{HF}$	3,03

Folosind egalitatea cunoscută:

$$-z\mathcal{F}E^\circ = \Delta G^\circ = -RT \ln K \quad (5.41)$$

unde  $K$  este constanta de echilibru a reacției:

$$K = \frac{[\text{I}^-]^3 [\text{H}_3\text{AsO}_4] [\text{H}^+]^3}{[\text{I}_3^-] [\text{H}_3\text{AsO}_3]} \quad (5.42)$$

se poate exprima entalpia liberă standard sau afinitatea standard  $\Delta G^\circ$  a reacției și valoarea constantei de echilibru. Deoarece:

$$1 \text{ } \mathcal{F}\text{V} = 23,06 \text{ kcal/mol},$$

rezultă că

$$\Delta G^\circ = 23,06 \cdot 0,046 = +1,06 \text{ kcal/mol},$$

iar

$$zE^\circ = \frac{RT}{\mathcal{F}} \ln K. \quad (5.43)$$

După înlocuirea valorilor numerice și conversia la logaritmi zecimali avem :

$$-0,046 = 0,059 \lg K,$$

de unde

$$K = 1,07 \cdot 10^{-1}.$$

Din datele numerice obținute pentru condițiile standard se vede că reacția nu se poate desfășura cantitativ într-un sens sau celălalt. Dar o ajustare judicioasă a activității (sau concentrației) ionilor  $H^+$  este capabilă să deplaseze echilibrul astfel încât oxidarea arsenitului cu iod sau reducerea arseniatului cu iodură să devină cantitative. Să alegem mai întâi condiția  $[H^+] = 10^{-7}$ , când

$$\frac{[I^-]^3 [H_3AsO_4]}{[I_3^-] [H_3AsO_3]} = \frac{0,17}{(10^{-7})^3} = 1,7 \cdot 10^{13}. \quad (5.42a)$$

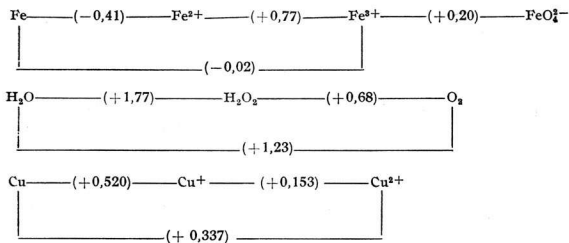
Valoarea mare a raportului indică posibilitatea titrării arsenitilor cu iod.

Dacă mediul este puternic acid, de exemplu  $HCl$   $6M$ , valoarea aceluiași raport devine

$$\frac{[I^-]^3 [H_3AsO_4]}{[I_3^-] [H_3AsO_3]} = \frac{0,17}{6^3} = 5 \cdot 10^{-3} \quad (5.42 b)$$

și indică posibilitatea reducerii cantitative a  $H_3AsO_4$  cu un exces de iodură ; iodul eliberat se poate titra cu tiosulfat.

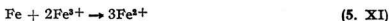
Atunci când un element este susceptibil de a exista în mai multe trepte de oxidare, desfășurarea potențialelor redox corespunzătoare oxidării de la o treaptă la alta, este deosebit de utilă pentru desemnarea stării de oxidare nestabilă prin disproporționare (dismutare). Să considerăm diagramele sistemelor  $Fe-Fe^{2+}-Fe^{3+}-Fe^{6+}$ ,  $H_2O-H_2O_2-O_2$  și  $Cu-Cu^+-Cu^{2+}$



Starea este nestabilă prin disproporționare atunci când potențialul redox ce o separă de o treaptă inferioară de oxidare este mai pozitiv decât potențialul redox ce o separă de o stare de oxidare superioară.



Referindu-ne la diagramele de mai sus, se poate afirma că speciile  $\text{Fe}^{2+}$  și  $\text{Fe}^{3+}$  sînt stabile față de disproporționare, spre deosebire de apa oxigenată și  $\text{Cu}^+$ , astfel că procesele



se vor desfășura spontan dacă speciile în cauză se găsesc în condiții standard sau nu mult depărtate de ele. Cea de-a doua reacție este foarte lentă în condiții obișnuite, dar rapidă în prezența unor catalizori. Adeseori speciile nestabile termodinamic prin disproporționare pot apărea ca intermediari în procesele redox și constituie uneori cauza unor etape lente; o astfel de specie este tocmai  $\text{H}_2\text{O}_2$ , care se formează în multe oxidări cu oxigenul molecular. Din acest motiv, toate speciile avînd potențialul redox inferior valorii de  $+1,23 \text{ V}$  ( $\text{H}_2\text{O}/\text{O}_2$ ) vor fi oxidate rapid sau respectiv lent, după cum potențialul lor redox este situat dedesubtul sau respectiv deasupra potențialului redox al sistemului  $\text{H}_2\text{O}_2/\text{O}_2$ , care valorează  $0,68 \text{ V}$ . În acord cu această regulă, oxigenul molecular va oxida lent bromurile ( $\epsilon_{\text{Br}_2/\text{Br}^-}^{\circ} = +1,05 \text{ V}$ ) și rapid iodurile ( $\epsilon_{\text{I}_2/\text{I}^-}^{\circ} = +0,536 \text{ V}$ ).

Decelarea speciilor nestabile prin dismutare nu este întotdeauna o sarcină simplă. Pentru ilustrare se poate considera diagrama fosforului în soluție  $\text{NaOH}$   $1M$ :

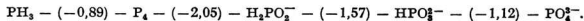


Diagrama indică stabilitatea hipofosfitului  $\text{H}_2\text{PO}_2^-$  față de disproporționare în fosfor și fosfit. Dacă se consideră însă și potențialul care separă  $\text{H}_2\text{PO}_2^-$  de  $\text{PH}_3$ , egal cu  $-1,18\text{V}$ , se constată nestabilitatea hipofosfitului prin disproporționare în fosfină și fosfit. Reacția are loc atunci cînd se încălzește hipofosfit solid, dar în soluție alcalină caldă reacția principală constă în reducerea apei cu eliberare de  $\text{H}_2$ :



Reamintim că potențialul redox de  $-1,18\text{V}$ , care separă  $\text{PH}_3$  de  $\text{H}_2\text{PO}_2^-$  se calculează ca o medie ponderală a potențialelor redox intermediare. Deoarece starea de oxidare a fosforului în  $\text{PH}_3$  este  $-3$ , iar în  $\text{H}_2\text{PO}_2^-$   $+1$ , rezultă că

$$4 \cdot \epsilon_{\text{PH}_3/\text{H}_2\text{PO}_2^-}^{\circ} = 3 \cdot \epsilon_{\text{P}_4/\text{PH}_3}^{\circ} + 1 \cdot \epsilon_{\text{H}_2\text{PO}_2^-/\text{P}_4}^{\circ} = 3(-0,89) + 1(-2,05) = -4,72.$$

De unde

$$\epsilon_{\text{PH}_3/\text{H}_2\text{PO}_2^-}^{\circ} = -\frac{4,72}{4} = -1,18 \text{ V}.$$

### 5.1.3.3 Asocieri de electrozi. Determinarea FEM. Termodinamica pilelor galvanice

Prin asocierea a doi electrozi se obține o pilă galvanică. La realizarea unei pile galvanice se ia în considerare întotdeauna scopul căruia îi este destinată: unor măsurători de laborator sau generării de energie electrică. Celui dintâi aspect, avînd o importanță științifică incontestabilă, îi vor fi consacrate secțiunile 5.1.3.3—6, iar celui de al doilea, deținînd un rol esențial în viața omului civilizat și avînd un caracter preponderent tehnologic, îi va fi rezervată secțiunea 9.

Cea mai importantă caracteristică a unei pile galvanice este forța electromotoare (*FEM*), cu ajutorul căreia se pot obține o serie de mărimi esențiale referitoare la un sistem electrochimic dat. Prin măsurarea *FEM* a unor pile galvanice judicios construite, este posibilă determinarea *pH*-ului, a factorilor de activitate, a afinității chimice, a solubilității unei substanțe greu solubile etc.

Figura 5.6 ilustrează principiul măsurării *FEM* prin metoda opoziției. Un acumulator *Ac* menține o diferență de potențial de-a lungul firului calibrat și omogen *BD*; pila de cercetat *P* este legată în circuit astfel încît propria-i *FEM* să se opună forței electromotoare a acumulatorului. Cu ajutorul cursorului *C* se caută o poziție pentru care galvanometrul *G* nu înregistrează scurgerea curentului electric; în această poziție, *FEM*, *E<sub>P</sub>* a pilei este echilibrată de căderea de potențial dintre *BC*, proporțională cu lungimea firului calibrat. Deoarece *FEM* a acumulatorului nu rămîne constantă în timp, se preferă eliminarea ei cu ajutorul unei pile standard (v. secț. următoare), caracterizată printr-o *FEM*, *E<sub>PS</sub>* stabilă și reproducibilă; fie *C'* noua poziție a cursorului, corespunzătoare echilibrării dintre *FEM*, *E<sub>Ac</sub>* a acumulatorului și *FEM* a pilei standard. Se pot scrie următoarele proporții:

$$\frac{E_{Ac}}{E_P} = \frac{BD}{BC} \quad \text{și} \quad \frac{E_{Ac}}{E_{PS}} = \frac{BD}{BC'} \quad (5.44 \text{ și } 5.45)$$

Substituind *E<sub>Ac</sub>* dintr-una din proporții cu valoarea sa obținută din cealaltă și simplificînd, avem:

$$\frac{E_P}{E_{PS}} = \frac{BC}{BC'} \quad (5.46)$$

de unde

$$E_P = E_{PS} \frac{BC}{BC'} \quad (5.47)$$

În practică *FEM* se măsoară cu ajutorul unor potențiometre care indică direct valoarea acesteia; firul calibrat este înlocuit cu rezistențe calibrate *RC*, legate în serie cu un fir glisor *FG*. Schema de principiu a unui asemenea potențiometru este redată în figura 5.7. Căderea totală de potențial se poate ajusta cu ajutorul rezistenței reglabile *R*. Compensarea se realizează prin aducerea la zero a galvanometrului *G*, avînd în circuit o dată pila *P* și apoi pila standard *PS*.

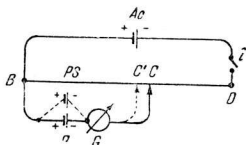


Fig. 5.6. Măsurarea FEM prin metoda compensației.

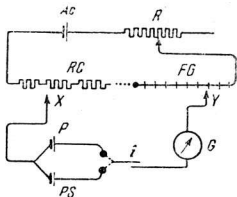


Fig. 5.7. Schema de principiu a unui potențiomtru compensator.

Valoarea  $FEM$  a unei pile este determinată de diferența dintre potențialele de echilibru  $\epsilon_1$  și  $\epsilon_2$  ale electrozilor care intră în alcătuirea pilei :

$$E = \epsilon_1 - \epsilon_2 \quad (5.48)$$

În cazul unei reacții electromotric active :



$FEM$  se exprimă în felul următor :

$$E = E^0 - E^0_2 + \frac{0,059}{z} \lg \frac{a_A^a a_B^b}{a_C^c a_D^d}, \quad (5.49)$$

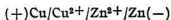
sau :

$$E = E^0 + \frac{0,059}{z} \lg \frac{a_A^a a_B^b}{a_C^c a_D^d}, \quad (5.50)$$

deoarece

$$E^0 = \epsilon_1^0 - \epsilon_2^0.$$

Să luăm în discuție pila Daniell-Iacob, alcătuită dintr-o lamă de cupru introdusă într-o soluție de sulfat de cupru și o lamă de zinc, scufundată într-o soluție de sulfat de zinc :



Cele două soluții sînt separate de o membrană poroasă. Reacția electromotric activă, reversibilă, constă în reducerea ionilor de cupru de către zincul metalic și este reversibilă :



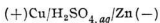
$FEM$  e exprimă prin relația

$$E = E^0 + \frac{0,059}{2} \lg \frac{a_{\text{Cu}^{2+}}}{a_{\text{Zn}^{2+}}} \quad (5.51)$$

Activitățile metalelor,  $a_{\text{Cu}}$  și  $a_{\text{Zn}}$ , nu apar în argumentul logaritmului, deoarece sînt unitare.

Travaliul electric maxim efectuat de reacția din pilă prin trecerea a  $z\mathcal{F}$  coulombi sub căderea de potențial maximă  $E$ , valorează  $z\mathcal{F}E$  și după cum se știe, este egal cu scăderea de entalpia liberă  $-\Delta G$  ce însoțește reacția electromotric activă. El este inferior acestei valori atunci cînd pila debitează un curent finit, din cauza fenomenului de polarizare a electrozilor, soldat cu deplasarea potențialelor de la valoarea de echilibru.

Ca exemplu de pilă ireversibilă poate servi pila Volta :



unde procesul electromotric activ constă în reducerea hidrogenului de către zincul metalic :



și nu este reversibil atunci cînd pila devine celulă de electroliză, este străbătută de un curent contrar ; în acest din urmă caz, reacția declanșată în pilă constă în dizolvarea cuprului și reducerea ionilor hidrogen pe electrodul de zinc :



Reamintim relația Gibbs-Helmholtz :

$$\Delta G = \Delta H - T\Delta S = \Delta H + T \left( \frac{\partial \Delta G}{\partial T} \right)_p. \quad (5.52)$$

Înlocuind :

$$-\Delta G = z\mathcal{F}E \quad (5.53)$$

se obține

$$-z\mathcal{F}E = \Delta H - z\mathcal{F}T \left( \frac{\partial E}{\partial T} \right)_p, \quad (5.54)$$

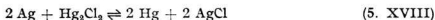
sau

$$-\Delta H = z\mathcal{F}E - z\mathcal{F}T \left( \frac{\partial E}{\partial T} \right)_p. \quad (5.54 \text{ a})$$

În membrul stîng al ecuației (5.54a) figurează scăderea de entalpie a reacției generatoare de curent, iar în membrul drept, alături de energia sau travaliul electric maxim, un termen care reprezintă energia pe care o degajă pila sub formă de căldură, în condiții reversibile de funcționare. Această mărime nu este accesibilă experimental, deoarece un schimb de sarcină finit nu se poate realiza în condiții de reversibilitate. Ea se poate evalua prin măsurarea coeficientului de temperatură  $(\partial E/\partial T)_p$  al FEM. Dacă  $E$  crește cu ridicarea temperaturii, pila absoarbe căldura ( $\Delta H > 0$ ) în timpul funcționării și energia electrică ce se poate obține de la pilă este mai mare decît  $-\Delta H$  :  $z\mathcal{F}E > (-\Delta H)$ . Este chiar posibil ca o reacție endotermă să devină o sursă de energie electrică, dacă valoarea  $(\partial E/\partial T)$  este îndeajuns de pozitivă ; asemenea cazuri sînt însă lipsite de importanță

sub aspectul producerii de energie electrică. Tot aici trebuie să se menționeze că importanța relativă a termenului al treilea din ecuația (5.54a) crește în domeniul temperaturilor ridicate.

Reacția electromotric activă :



se poate studia cu precizie într-o pilă galvanică. La  $25^\circ\text{C}$ , se găsește  $E = 0,0455 \text{ V}$  și un coeficient de temperatură al  $FEM$ ,  $(\partial E / \partial T)_p = 0,000338 \text{ V/gr}$ . Cu aceste valori se calculează

$$z\mathcal{F}E = 0,0455 \cdot 96\,490 = 4390 \text{ j } (= -\Delta G),$$

și :

$$z\mathcal{F}T(\partial E / \partial T)_p = 96\,490 \cdot 298 \cdot 3,38 \cdot 10^{-4} = 9719 \text{ j},$$

de unde

$$-\Delta H = 4390 - 9719 = -5329 \text{ j}$$

sau

$$\Delta H = +1\,274 \text{ cal.}$$

Mult mai frecvent este coeficientul de temperatură negativ, când energia electrică debitată de pilă este inferioară lui  $-\Delta H$ , deoarece o parte din entalpia de reacție se transformă în căldură, încălzind pila.

În sfârșit atunci când  $(\partial E / \partial T)_p = 0$ ,  $-\Delta H = z\mathcal{F}E$ , adică energia electrică realizabilă în pilă egalează căldura eliberată în reacția electromotric activă. Apropiată de această condiție este pila Daniell, unde  $FEM$  măsurată în condiții standard valorează  $1,100\text{V}$ , ceea ce corespunde unei variații de entalpie liberă  $\Delta G = -50,4 \text{ kcal}$ , foarte apropiată de entalpia  $\Delta H$  a reacției dintre pulbere de zinc și sulfat de cupru, determinată calorimetric.

Compararea ecuațiilor (5.52) și (5.54) conduce la expresia

$$\Delta S = \frac{z\mathcal{F}}{4,1835} \left( \frac{\partial E}{\partial T} \right)_p \quad (5.55)$$

unde factorul de conversie  $4,1835 \text{ j} = 1 \text{ cal}$  este necesar dacă entropia de reacție  $\Delta S$  se exprimă în  $\text{cal/gr}$ ; ea permite calculul unei mărimi termodinamice prin intermediul unui parametru electrochimic sau reciproc. În sfârșit, cunoașterea entalpiei de reacție  $\Delta H$  și a entropiei de reacție  $\Delta S$ , poate servi la calcularea  $FEM, E$ , dacă ne servim de aceleași două relații (5.52) și (5.54).

$FEM$  a pilelor în care au loc reacții la care participă sau rezultă gaze este sensibilă și la variații de presiune. Efectul presiunii se poate calcula pornind de la cunoscuta egalitate termodinamică :

$$\left( \frac{\partial \Delta G}{\partial p} \right)_T = \Delta V_M, \quad (5.56)$$

unde  $\Delta V_M$  reprezintă variația de volum molar ce însoțește reacția. Folosind corespondența dintre  $\Delta G$  și  $z\mathcal{E}$ , se obține :

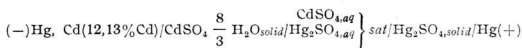
$$\left(\frac{\partial E}{\partial p}\right)_T = -\frac{0,10134 \Delta V}{z\mathcal{E}} = -1,0503 \cdot 10^{-6} \frac{\Delta V}{z} \text{ volt/cm.} \quad (5.57)$$

unde  $\Delta V$  se exprimă în  $\text{cm}^3$ , iar coeficientul numeric conține și factorul de conversie de la  $\text{cm}^3 \text{ atm}$  la  $\text{volt} \cdot \text{coul.}$  Evident, efectul presiunii asupra  $FEM$  este neglijabil în reacțiile de pilă la care nu sînt implicate decît substanțe condensate.

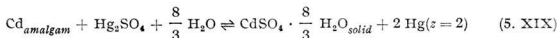
#### 5.1.3.4 Pile standard

În scopul comparării unor  $FEM$  și al calibrării unor circuite de măsurare a  $FEM$  se adoptă anumite pile standard avînd valori foarte reproductibile și bine determinate ale  $FEM$ . Ca și electrozii de referință, o pilă standard trebuie să fie ușor realizabilă din substanțe chimice pure și să manifeste stabilitate în timp.

Cerințele menționate sînt satisfăcute printre altele și de pila Daniell-Iacobî, în care procesul electromotric activ este reversibil și se desfășoară cu ușurință în ambele sensuri; în plus  $FEM$  este ușor reproductibilă. Totuși pila nu poate fi recomandată în calitate de standard, din cauza alterării anodului și catodului, în urma difuziei prin peretele poros ce separă anodul de catod. Chiar în cazul cînd difuzia este evitată, scurgerea continuă a unor curenți slabi determină modificări de concentrație a electrolitului. Variațiile de concentrație pot fi suprimate prin folosirea unor soluții saturate de electrolit, aflate în contact permanent cu sare solidă. Deoarece oferă față de pila Daniell-Iacobî avantajul utilizării unui singur electrolit și posedă în același timp toate calitățile amintite mai sus, pila Weston (v. fig. 5.8.) este pila standard unanim acceptată în măsurătorile  $FEM$ . Ea are următoarea alcătuire :



$FEM$  a sa valorează 1,0185 V la  $25^\circ\text{C}$  și are un coeficient de temperatură  $(\partial E/\partial T)_p = -4 \cdot 10^{-5} \text{V/gr}$ , iar reacția electromotric activă este



Electrozii sînt de Hg și amalgam de Cd, aflați în contact cu o soluție saturată de sulfat de cadmiu și sulfat mercurous, comună; cristalele de sulfat mercurous acoperă electrodul pozitiv de mercur, iar cele de sulfat de cadmiu

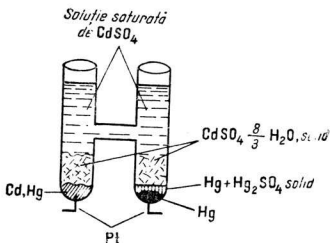


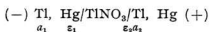
Fig. 5.8. Schema unei pile Weston.

se găsesc deasupra amalgamului de cadmiu. Prezența corpului de fund și deci caracterul saturat al soluției de electroliti se opune polarizării pilei la trecerea unor curenți de mică intensitate.

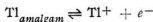
### 5.1.3.5 Pile de concentrație

Pilele galvanice ale căror forțe electromotoare se datorează diferenței de concentrație a unei specii metalice date la cei doi electrozi, scufundați într-o soluție comună de electrolit sau diferenței de concentrație a soluțiilor preparate din același electrolit și aflate în contact cu electrozi metalici identici, se numesc pile de concentrație.

Să considerăm următoarea pilă de amalgam de Tl:



unde activitatea taliului din electrodul stâng,  $a_1$ , depășește activitatea  $a_2$  a taliului din electrodul drept. Reacția electromotric activă constă în oxidarea, respectiv reducerea ionilor taliși la cei doi electrozi



în urma transportului spontan al taliului de la electrodul stâng la cel drept.  $FEM$  se calculează din diferența dintre potențialele celor doi electrozi, în care taliul se găsește la activități diferite:

$$\varepsilon_1 = \varepsilon_{\text{Tl}^+/\text{Tl}}^0 + 0,059 \lg \frac{a_{\text{Tl}^+}}{a_1} \quad (5.58)$$

și

$$\varepsilon_2 = \varepsilon_{\text{Tl}^+/\text{Tl}}^0 + 0,059 \lg \frac{a_2}{a_{\text{Tl}^+}} \quad (5.59)$$

de unde :

$$E = \varepsilon_2 - \varepsilon_1 = 0,059 \lg \frac{a_2}{a_1} \quad (5.60)$$

La același rezultat se ajunge și pe cale termodinamică, dacă se exprimă scăderea de entalpie liberă  $-\Delta G$  ce însoțește transportul unui atom gram de taliiu de la activitatea  $a_1$  la  $a_2$ :

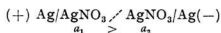
$$-\Delta G = RT \ln \frac{a_1}{a_2} \quad (5.61)$$

și combinarea ei cu egalitatea cunoscută  $-\Delta G = z \mathcal{F} E$ .

Ecuatia (5.60) care exprimă  $FEM$  a unei asemenea pile de concentrație nu conține activitatea ionilor taloși din soluția de electrolit; aceeași valoare  $E$  se obține indiferent de natura sării taloase sau de concentrația ei.

Mult mai frecvente sînt pilele de concentrație unde diferența de concentrație se realizează între soluțiile de electrolit care scaldă electrozi identici. În acest caz pe lângă potențialele  $\varepsilon_1$  și  $\varepsilon_2$  de la interfețele electrod-electrolit, se manifestă și potențialul de difuzie sau de joncțiune de la limita de separare a celor doi electroliti (v. secț. 2.2.3.2).

Să considerăm următoarea pilă de concentrație:

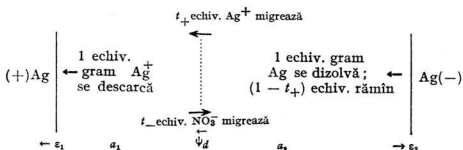


unde polul pozitiv este constituit de placa sau bagheta de argint scufundată în soluția mai concentrată. La închiderea circuitului, argintul se dizolvă la electrodul negativ și difuzînd prin soluție ca  $\text{Ag}^+$  spre electrodul pozitiv, se depune pe acesta. Paralel, o fracțiune a curentului electric va fi transportată prin electrolit de către ionii  $\text{NO}_3^-$ , migrînd în sens contrar. Rezultatul net al acestor transporturi de substanță va fi egalarea concentrațiilor soluțiilor de  $\text{AgNO}_3$ . Avem de a face cu o pilă de concentrație în care scăderea entalpiei libere va fi măsurată de travaliul de diluție de la o concentrație la alta:

$$-\Delta G = RT \ln \frac{a_{1,\text{Ag}^+}}{a_{2,\text{Ag}^+}} + RT \ln \frac{a_{1,\text{NO}_3^-}}{a_{2,\text{NO}_3^-}} = 2 RT \ln \frac{f_1 c_1}{f_2 c_2}, \quad (5.62)$$

unde  $f_1$  și  $f_2$  reprezintă factorii de activitate ai nitratului de argint la concentrațiile molare  $c_1$  și  $c_2$ .

Prin trecerea unui faraday prin pila galvanică, se petrec transformările schițate mai jos:





unde  $t_+$  și  $t_-$  sînt numerele de transport ale cationului și respectiv anionului. Însurarea acestor efecte conduce la concluzia că pentru fiecare faraday, variația de entalpie liberă valorează

$$\begin{aligned}
 -\Delta G &= [t_- + (1 - t_+)]RT \ln \frac{f_1 c_1}{f_2 c_2}, \\
 -\Delta G &= 2t_- RT \ln \frac{f_1 c_1}{f_2 c_2},
 \end{aligned} \tag{5.63}$$

deoarece  $t_- = t_+$ , iar  $t_- = 1 - t_+$  (În soluția mai diluată au apărut în plus  $(1 - t_+)$  echivalenți  $\text{Ag}^+$  și  $t_-$  echivalenți ioni  $\text{NO}_3^-$ ). Trecînd la  $FEM, E$ , se obține:

$$E = 2t_- 0,059 \lg \frac{f_1 c_1}{f_2 c_2}. \tag{5.64}$$

Pila este reversibilă cu anionul ( $\text{NO}_3^-$ ) mai mobil decît cationul  $\text{Ag}^+$ .

Dacă  $t_+ > t_-$ , pila va fi reversibilă în raport cu cationul și pentru tipul de electrolit 1:1 valent,  $FEM$  este de forma:

$$E = 2t_+ 0,059 \lg \frac{f_1 c_1}{f_2 c_2}. \tag{5.65}$$

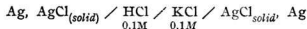
Să revenim la expresia potențialului de difuzie (v.ec. 2.108 b) în care să facem înlocuirile  $c_{i,d} = c_2$  și  $c_{i,0} = c_1$ . Prin scăderea potențialului de difuzie din  $FEM$  a pilei cu transport, se obține valoarea  $FEM$  a pilei de concentrații fără transport.

$$E' = 0,059 \lg \frac{f_1 c_1}{f_2 c_2}. \tag{5.66}$$

Introducînd valoarea numărului de transport a ionilor  $\text{NO}_3^-$ ,  $t_{\text{NO}_3^-} = 0,53$  și considerînd raportul  $a_2/a_1 = 10:1$  potențialul standard  $\varepsilon_d$ , la  $25^\circ\text{C}$  are valoarea:

$$\varepsilon_d = 0,06 \cdot 0,059 = +0,0035 \text{ V} = +3,5 \text{ mV}.$$

Experiența demonstrează că în cazul special al pilelor care conțin aceeași sare la concentrații diferite, potențialul de difuzie este practic constant și reproductibil. În alte cazuri însă, lucrurile se schimbă și s-a găsit că  $\varepsilon_d$  depinde de felul în care se realizează joncțiunea lichidă. Pila:



a servit pentru studierea acestui efect. Se observă să soluțiile de electrolit conțin un ion comun ( $\text{Cl}^-$ ). Dacă activitatea acestuia ar fi aceeași în cele două soluții,  $FEM$  măsurată ar fi egală tocmai cu potențialul de difuzie. Se arată că:

$$E = \varepsilon_d = 0,059 \lg \frac{\Lambda_1}{\Lambda_2} = 0,0268 \text{ V}, \tag{5.67}$$

unde  $\Lambda_1$  și  $\Lambda_2$  sînt conductibilitățile echivalente ale soluțiilor de  $\text{HCl}$  și respectiv  $\text{KCl}$ .

În cercetările experimentale se folosesc diverse tipuri de joncțiune între soluțiile pilelor de concentrație, dintre care se pot menționa următoarele:

— *joncțiune dinamică*, unde electroliții se scurg lent peste electrozi și acolo unde se întâlnesc sînt evacuați printr-un tub lateral;

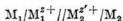
— *joncțiune statică*, așa cum arată figura 5.9; contactul dintre electrolitul mai concentrat (mai dens) al electrodului 1 și cel mai ușor al electrodului 2, se realizează în zona B a sistemului de legătură. Potențialul de difuzie la joncțiunea statică variază în general puțin cu timpul, iar construcția tubului de legătură permite reînnoirea limitei de separare dintre electroliți, excesul de lichid scurgîndu-se prin tubul lateral A.

— *joncțiune prin membrană poroasă* (porțelan poros, frită, hîrtie de filtru).

Cele 3 tipuri de joncțiune dau valori foarte apropiate ale potențialului de difuzie, rareori mai depărtate cu 1 mV de la valoarea teoretică.

În multe pile limitele de separare dintre electroliți sînt mai complexe decît cea discutată; deseori se întâlnesc electroliți ce nu conțin ioni comuni de cele două părți ale joncțiunii. Condițiile în care are loc difuzia sînt de astă dată mai complicate, tratarea teoretică este obligată la aproximări din cauza necunoașterii coeficienților de activitate individuali, iar valorile experimentale sînt rareori constante și reproductibile. Soluția adoptată de obicei constă în minimizarea potențialului de difuzie, prin interpunerea unui sifon electrolitic ce conține o soluție concentrată (de obicei saturată) de KCl; deoarece mobilitățile ionilor  $\text{Cl}^-$  și  $\text{K}^+$  sînt foarte apropiate, iar concentrația soluției de KCl (4,2M) net superioară concentrațiilor la care se găsesc de regulă cei doi electroliți, potențialul de difuzie va fi mic și constant. Atunci cînd soluția de KCl nu este utilizabilă, ea se înlocuiește cu o soluție concentrată de azotat de amoniu sau  $\text{KNO}_3$ .

Convenim să simbolizăm suprimarea potențialului de difuzie pe această cale prin trasarea a două oblice paralele între cei doi electrozi care intră în alcătuirea pilei:

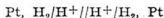


### 5.1.3.6 Aplicații ale măsurătorilor de FEM

#### 5.1.3.6.1 Măsurarea electrometrică a pH-ului.

##### Electrozi indicatori cu membrană

Prin alcătuirea unor pile adecvate în care potențialul de difuzie este practic suprimat, se poate determina activitatea ionilor  $\text{H}^+$  din soluție. Fie de exemplu pila:



$$a_1 > a_2,$$

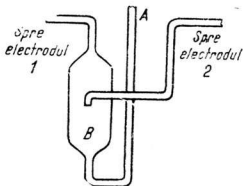


Fig. 5.9. Joncțiune lichidă statică în pile de concentrație.

și să considerăm  $a_1 = 1$ . *FEM* a pilei de concentrație valorează:

$$E = 0,059 \lg \frac{1}{a_2},$$

$$E = 0,059 (-\lg a_2).$$
(5.68)

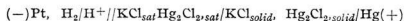
Cum prin definiție  $-\lg a_{H^+} = pH$ , rezultă că:

$$E = 0,059 pH,$$
(5.69)

de unde

$$pH = \frac{E}{0,059}.$$
(5.70)

S-a menționat că în practică se preferă înlocuirea electrodului normal de hidrogen cu electrozi standard mai ușor de mînuit. Astfel, introducerea în circuit a electrodului de calomel saturat, conduce la următoarea pilă galvanică:



avînd *FEM*:

$$E = \varepsilon_{cal} - \varepsilon_{H^+/H_2}$$

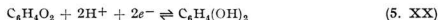
$$E = 0,2444 - 0,059 \lg a_{H^+} (p_{H_2} = 1 \text{ atm și } 25^\circ C)$$
(5.71)

Rezultă deci pentru *pH* expresia:

$$pH = \frac{E - 0,2444}{0,059}.$$
(5.72)

Ca electrod indicator al activității ionilor  $H^+$  se poate folosi orice electrod reversibil în raport cu ionii  $H^+$ , nu numai electrodul de hidrogen. Astfel sînt de exemplu electrodul de chinhidronă, electrodul de stibiu (foarte mult utilizat în trecut) și electrodul de sticlă. Primii doi sînt utilizabili în medii acide ( $pH \leq 8$ ) și în prezența oxigenului, spre deosebire de electrodul de hidrogen, care poate fi folosit atît în domeiu alcalin cît și acid, dar în absența oxigenului.

Electrodul de chinhidronă care este în același timp și un electrod redox, se realizează prin introducerea în soluția de studiat a unei plăci sau a unui fir de platină sau aur, și a unei mici cantități de chinhidronă; chinhidrona este denumirea concisă a amestecului echimolar de chinonă și hidrochinonă. Deoarece echilibrul dintre acestea depinde de concentrația ionilor  $H^+$ , în felul arătat de reacția:



potențialul electrodului de platină va lua o valoare constantă în condiții de *pH* și temperatură constante. Potențialul electrodului se exprimă cu egalitatea:

$$\varepsilon_{Q/QH_2} = \varepsilon_{Q/QH_2}^0 + \frac{0,059}{2} \lg \frac{a_Q \cdot a_{H^+}^2}{a_{QH_2}}$$
(5.73)

unde prin  $Q$  și  $QH_2$  s-au simbolizat chinona și produsul de reducere corespunzător, hidrochinona. Deoarece ambele sînt în proporție echimolară și pentru că sînt neelectroliți, coeficienții lor de activitate sînt foarte apropiați de unitate și sensibil egali, ceea ce conduce la simplificarea raportului  $a_Q/a_{QH_2}$ . Deci:

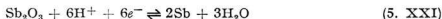
$$\varepsilon_{Q/QH_2} = \varepsilon_{Q/QH_2}^0 + 0,059 \lg a_{H^+} \quad (5.74)$$

unde:

$$\varepsilon_{Q/QH_2} = 0,6995 \text{ V.}$$

Electrodul răspunde în același mod variațiilor de activitate a ionilor  $H^+$  ca și electrodul de hidrogen. În mediu alcalin, din cauza ionizării pronunțate a hidroxililor fenolici ai hidrochinonei, egalitatea  $a_Q = a_{QH_2}$  nu mai subsistă și ecuația (5.74) își pierde valabilitatea.

Electrodul de stibiu constă dintr-o baghetă de stibiu metalic acoperit, în prezența aerului, cu un strat subțire și aderent de oxid. Reacția de electrod pe care se bazează utilizarea sa ca indicator al ionilor  $H^+$  este constituită de următorul proces redox:



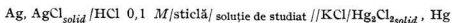
Considerînd activitățile oxidului de stibiu și a apei, constante și electrodul reversibil în raport cu ionii  $H^+$ , potențialul se exprimă prin ecuația:

$$\varepsilon_{Sb_2O_3/Sb} = \varepsilon_{Sb_2O_3/Sb}^0 + 0,059 \lg a_{H^+}, \quad (5.75)$$

unde  $\varepsilon_{Sb_2O_3/Sb}^0 = -0,152 \text{ V}$ .

Electrodul nu este destul de stabil și reproductibil și deci nu poate fi recomandat în măsurători de mare precizie. Valorile sînt satisfăcătoare în domeniul de  $pH$  cuprins între 2 și 8; în soluții mai acide sau mai alcaline oxidul este prea solubil.

În sfîrșit electrodul de sticlă, din ce în ce mai larg utilizat, este alcătuit dintr-un electrod de argint de specia a II-a aflat în contact cu o soluție ce are  $pH$ -ul constant, conținută într-un tub de sticlă avînd baza în formă sferică (fig. 5.10) și care joacă rolul de membrană. Totul se scufundă în soluția de studiat, care este în contact cu un electrod de calomel. Aranjamentul pentru măsurarea  $pH$ -ului este următorul:



Electrodul de sticlă este izolat de atmosferă și constanța sa este asigurată timp îndelungat. *FEM* a pilei se compune prin însumarea unei serii de potențiale constante, cum sînt cele ale electrozilor de  $Ag, AgCl$ , de calomel,

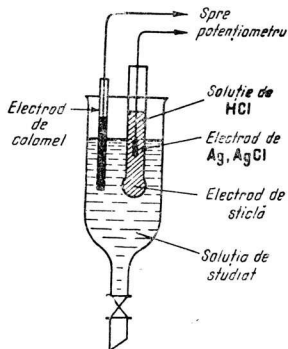


Fig. 5.10. Măsurarea  $pH$ -ului cu electrodul de sticlă.

potențialul de pe suprafața interioară a electrodului de sticlă și potențialul de difuzie dintre electrodul de calomel și soluția de studiat; alături de acestea mai trebuie considerat și potențialul de joncțiune variabil, dintre fața externă a membranei de sticlă și soluția de studiat, dependent de natura acesteia din urmă. Pentru membrane de sticlă avînd o compoziție determinată și o grosime potrivită, potențialul de joncțiune de la suprafața externă a electrodului de sticlă este guvernat numai de  $pH$ -ul soluției; electrodul devine indicator selectiv al ionilor hidrogen. Înglobînd în mărimea  $\varepsilon_{st}^0$  toate potențialele constante,  $FEM$  a pilei se poate exprima prin egalitatea:

$$E = \varepsilon_{st}^0 - 0,059 \lg a_{H^+} = \varepsilon_{st}^0 + 0,059 pH. \quad (5.76)$$

Electrodul de sticlă nu este perturbat de agenți oxidanți, sau reducători și de otrăvuri electrocatalitice cum sînt compuși ai arsenului și sulfului. În soluții alcaline, în special cele care conțin ioni  $Na^+$ , electrodul de sticlă indică valori de  $pH$  mai mici decît cele reale; din acest motiv, electrozii mai vechi nu se recomandau la măsurători de  $pH$  mai mari decît 9. S-a găsit însă că membranele confecționate din sticle de litium sînt mai puțin sensibile la așa numita eroare alcalină și sînt capabile de răspuns teoretic în domenii ce ating  $pH$ -ul 12.

Un alt rezultat al cercetărilor întreprinse asupra compoziției sticlei destinate la confecționarea electrozilor de sticlă, îl constituie producerea de electrozi selectivi de ioni  $Na^+$ , care permit determinarea  $p_{Na}(= -\lg a_{Na^+})$ . Asemenea electrozi au membrana făcută din sticlă de aluminosilicat de sodiu; ei nu sînt afectați de ioni  $K^+$ , iar răspunsul lor de  $pH$  este neesențial dacă sînt utilizați cu soluții tampon adecvate.

Modul în care funcționează membrana electrodului de sticlă se poate explica în felul următor: prin introducerea (înmuierea) unei suprafețe proaspete de sticlă într-o soluție apoasă, are loc reținerea apei de către stratul superficial al sticlei, urmată de un schimb de cationi între acest strat superficial și soluție. Întrucît acidul silicic care s-a format la suprafața sticlei este un acid slab, schimbul ionic va duce (în soluții avînd  $pH$ -ul nu prea ridicat) printr-o hidroliză a membranei, la un strat superficial constînd aproape în întregime din molecule de acid silicic hidratate. Acest strat poate dona ioni  $H^+$  soluției, el însuși încărcîndu-se negativ și întocmai ca la alți electrozi, după un anumit timp, se atinge echilibrarea vitezelor de transfer ale protonilor prin membrană în cele două direcții, ceea ce corespunde unui potențial de echilibru, dependent, la temperatură constantă, numai de activitatea ionilor  $H^+$  din soluție. La valori mari ale  $pH$ -ului stratul superficial devine intens ionizat, iar proprietatea de rezervor constant de ioni  $H^+$  a membranei de sticlă este suprimată.

O mărime care atrage atenția la electrodul de sticlă, este așa numitul potențial de asimetrie, care se poate pune în evidență prin înlocuirea soluției de studiat cu una identică celei existente în interiorul său (de exemplu  $HCl$  0,1M); cu toate că ambele fețe ale sticlei sînt udate de soluții identice, măsurătorile indică existența unei diferențe mici de potențial, variabile în timp, de-a curmezișul membranei de sticlă. Acesta este potențialul de asimetrie și se poate atribui adsorbției sau desorbției unor ioni superficial-

pH-urile unor soluții standard

t(°C)	Tartrat acid de potasiu	Ftalat acid de potasiu	{ $\text{KH}_2\text{PO}_4$ , 0,025 M + $\text{Na}_2\text{HPO}_4$ , 0,025 M	Borax 0,01 M
15	—	4,00	6,90	9,27
20	—	4,00	6,88	9,22
25	3,56	4,01	6,86	9,18
30	3,55	4,01	6,85	9,14
40	3,54	4,03	6,84	9,07

activi sau altor modificări de moment survenite în stratul superficial al membranei de sticlă.

Influența potențialului de asimetrie nu intervine în general în cursul măsurătorilor, dar pentru evitarea oricăror surprize, se recomandă verificarea electrodului înainte și după măsurătoare, cu ajutorul unei soluții tampon standard (v. tab. 5.4).

Cu excepția unor electrozi foarte fragili și oferind suprafețe mari, rezistența electrozilor de sticlă obișnuiți este considerabilă ( $10^6 \Omega$  și mai mult), astfel că măsurarea *FEM* nu se poate efectua cu potențiometrele obișnuite ci numai cu potențiometre având amplificare electronică.

În perioada care s-a scurs de la începutul secolului nostru, când s-a elaborat electrodul de sticlă, selectiv pentru ionul  $\text{H}^+$ , și pînă în zilele noastre, s-au creat compoziții de sticlă și deci electrozi avînd selectivitate pentru ionii monovalenți de  $\text{Na}^+$ ,  $\text{K}^+$ ,  $\text{Ag}^+$ ,  $\text{NH}_4^+$ ,  $\text{Tl}^+$ ,  $\text{Li}^+$  și  $\text{Cs}^+$ , apoi schimbători de ioni lichizi utili pentru realizarea unor electrozi de cationi bivalenți ( $\text{Ca}^{2+}$  și  $\text{Sr}^{2+}$ ) și a unor electrozi de anioni. În sfîrșit, de dată foarte recentă sînt electrozii specifici bazați pe „sechestrarea” (angajarea în complex a) cationilor de către molecule neutre macrociclice (antibiotici ciclici sau polieteri), care manifestă o selectivitate foarte pronunțată, comparabilă cu aceea a membranelor biologice. S-a arătat că mecanismul specific după care asemenea molecule neutre acționează în electrozi cu membrane avînd straturi duble fosfolipidice extrem de subțiri ( $\sim 10$  nm), constă în solubilizarea specifică a cationilor în zona cuasi-lichidă dintre cele două membrane.

Membranele schimbătoare de ioni utilizate în electrozi selectivi aparțin schimbătorilor solizi (sticlă sau sticle cristaline), lichizi și agenților neutri de sechestrare.

Membranele lichide se realizează prin interpunerea între două straturi de soluții apoase, a unui solvent nemiscibil cu apa și care conține o cantitate apreciabilă de specie ionizabilă (un acid gras sau o amină alifatică); spre deosebire de membranele schimbătoare solide, rigide, membrana lichidă conține centre active mobile pentru schimbul ionic. Interfețele  $\alpha/\beta$  (fig. 5.11) sînt permeabile pentru speciile cationice  $\text{B}^+$ , pe cînd anionul organic  $\text{S}^-$  este reținut ca într-o capcană, în interiorul membranei lichide  $\beta$ , unde accesul anionilor  $\text{A}^-$  este interzis.

Faza apoasă $\alpha_1$	Faza $\beta$ , nemiscibilă cu apă	Faza apoasă $\alpha_2$
$B_{\alpha_1}^+$	$B_{\beta}^+$	$B_{\alpha_2}^+$
$A_{\alpha_1}^-$	—	$A_{\alpha_2}^-$
	$S^-$	
	$BS$	

Fig. 5.11. Diagrama unei membrane schimbătoare de ioni, lichide.

Potențialul de membrană și deci selectivitatea sînt determinate de activitățile în faze ale speciilor care pot traversa interfețele  $\alpha_1\beta$  și de coeficienții de repartitie Nernst în fazele în contact.

În figura 5.12. sînt redată structurile a doi agenți de sechestrare, neutri, alături de echilibrele care se pot stabili între aceștia și diversele specii ionice conținute în fazele de soluție  $\alpha_1$  și  $\alpha_2$ , în membrană; sechestrarea ionilor se explică prin existența unor atomi de oxigen dispuși ciclic în moleculă, capabili să creeze un câmp stabilizator în jurul ionului, întocmai ca moleculele de apă.

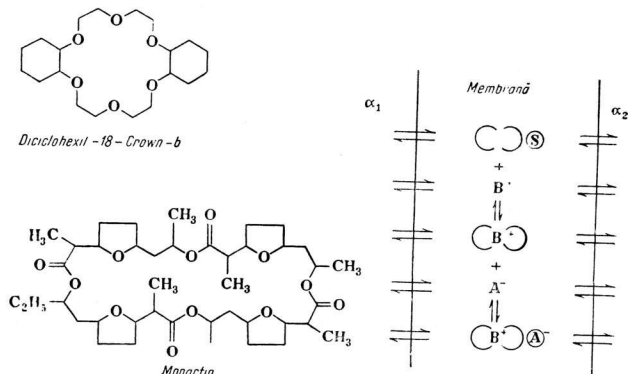
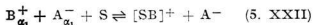


Fig. 5.12. Structurile moleculare a doi agenți de sechestrare și echilibrele de schimb ionic la care participă;  $\text{C}$  simbolizează agentul de sechestrare.

Potențialul de membrană depinde de activitățile speciilor cationice din fazele  $\alpha_1$  și  $\alpha_2$ , precum și de constantele de echilibru ale reacțiilor de sechestrare de tip:



unde speciile din membrană s-au simbolizat fără nici un indice.

Electrozii selectivi cu membrană au căpătat o utilizare din ce în ce mai largă, atât în cercetarea chimică, cât și în industrie, iar în ultima vreme și în cercetarea biomedicală.

Pentru scopuri biomedicale, deosebit de interesant este electrodul de calciu, fabricat în micro- și macrovariantă, pentru cercetări efectuate în condiții statice sau dinamice (scurgere de lichid prin electrod). Figura 5.13 conține schema unui electrod de calciu static; conductorul central este confecționat din argint clorurat, iar bobita din vârful lui este din  $CaCl_2$  dizolvat în sorbitol topit, iar ca schimbător de ioni lichid, sarea de calciu a acidului dodecilsulfonic, dizolvată în fosfonat de dodecilfenil.

Măsurătorile cu electrodul de calciu sînt extrem de utile pentru stabilirea diagnozei în ciroza hepatică sau pentru determinarea hipercalcemiei asociate cu prezența unor neoformații maligne.

Deosebit de promițătoare se pare a fi utilizarea electrozilor selectivi în practica industrială, prin posibilitatea automatizării controlului în procesul de fabricație. Electrodul poate fi plasat în diversele puncte ale fluxului tehnologic și în funcție de semnalele transmise în cursul măsurătorilor se pot stabili (pe baza unei programări prealabile) operațiile ce trebuie întreprinse pentru eventuala restabilire a condițiilor de lucru prescrise; procedeul are meritul rapidității și poate înlocui actualele metode de control discontinue printr-o variantă continuă extrem de avantajoasă.

În tabelul 5.5 sînt prezentați cîțiva electrozi selectivi, disponibili comercial, alături de intervalul de pH în care se pot întrebuința și principalii ioni care jenează funcționarea lor; se dau și sugestii referitoare la domeniul de aplicare.

#### 5.1.3.6.2 Titrarea potențimetrică

Saltul de potențial pe care-l înregistrează un electrod indicator de ioni  $H^+$  atunci cînd aceștia sînt consumați de o cantitate echivalentă de ioni  $OH^-$  pentru a forma apa, compus foarte slab disociat constituie baza titrării potențimetrică acido-bazice.

Titarea potențimetrică a unui acid se poate efectua cu montajul schițat în figura 5.14; electrodul indicator al ionilor  $H^+$  și electrodul de calo-

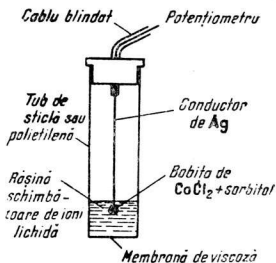


Fig. 5.13. Schema unui macro-electrod de calciu, static.



## Electrozi selectivi

Ionul pentru a cărui determinare este distant	Tipul de membrană	Intervalul de pH	Principalii ioni perturbatori	Domenii de aplicare
$\text{Cd}^{2+}$	solid	1–14	$\text{Ag}^+$ , $\text{Hg}^{2+}$ , $\text{Cu}^{2+}$ , $\text{Fe}^{2+}$ , $\text{Pb}^{2+}$	Soluții de galvanizare, reziduuri industriale
$\text{Cl}^-$	solid	0–14	$\text{Br}^-$ , $\text{I}^-$ , $\text{S}^{2-}$ , $\text{CN}^-$ , $\text{SCN}^-$ , $\text{NH}_3$	Desalinare alimente produse farmaceutice etc.
$\text{CN}^-$	solid	0–14	$\text{S}^{2-}$ , $\text{I}^-$	Poluarea cu reziduuri, lichide, sau gazoase, oxidarea cianurii, galvanizare, procese extractive
$\text{BF}_4^-$	lichid	2–12	$\text{I}^-$ , $\text{NO}_3^-$ , $\text{Br}^-$ , $\text{CH}_3\text{COO}^-$ , $\text{HCO}_3^-$	Băi de galvanizare, conversia borului în $\text{BF}_4^-$
$\text{Pb}^{2+}$	lichid	3,5–7,5	$\text{Cu}^{2+}$ , $\text{Fe}^{2+}$ , $\text{Zn}^{2+}$ , $\text{Ca}^{2+}$ , $\text{Ni}^{2+}$ , $\text{Mg}^{2+}$	
$\text{Pb}^{2+}$	solid	2–14	$\text{Ag}^+$ , $\text{Hg}^{2+}$ , $\text{Cu}^{2+}$ , $\text{Cd}^{2+}$ , $\text{Fe}^{2+}$	
$\text{Ag}^+$	solid	0–14	$\text{Hg}^{2+}$	Industria fotografică emulsii și soluții fixatoare
$\text{Ag}^+$	sticlă	4–8	$\text{H}^+$	
$\text{S}^{2-}$	solid	0–14	—	Analiza apei, poluarea aerului industria hârtiei, petrolieră nămolurile de foraj
Duritatea apei	lichid	5,5–11	$\text{Zn}^{2+}$ , $\text{Fe}^{2+}$ , $\text{Cu}^{2+}$ , $\text{Ni}^{2+}$ , $\text{Ba}^{2+}$ $\text{Sr}^{2+}$	

mel se găsesc scufundați în soluția acidă, agitată electromagnetic, iar adaosul de reactiv (de exemplu o soluție de NaOH) se adaugă din biuretă, în cantitate mai mică în preajma echivalenței. Graficul care se construiește conține în ordonată pH-ul sau *FEM* sau potențialul electrodului indicator, iar în abscisă consumul de reactiv titrant (v. fig. 5.14). O metodă mai precisă constă în determinarea punctului de echivalență printr-o reprezentare derivată (fig. 5.15); în ordonată se reprezintă variațiile  $\Delta E$  ale *FEM* raportate la adaosul constant  $\Delta V$  de reactiv, în funcție de volumul *V* de reactiv. La titrarea acizilor slabi ( $pK \leq 9$ ) metoda este deosebit de utilă, deoarece pe măsură ce  $pK$  se mărește saltul de pH sau de poten-

Fig. 5.14. Titrarea potențimetrică.

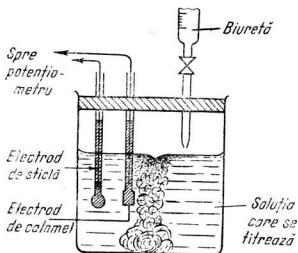
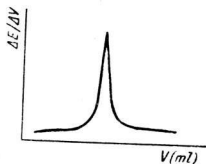


Fig. 5.15. Curba derivată de titrare potențimetrică.



țial de la echivalență devine din ce în ce mai puțin abrupt și în consecință determinarea echivalenței cu ajutorul curbelor  $E/pH$ -volum de reactiv, din ce în ce mai puțin precisă.

Se poate recurge la determinarea experimentală a valorilor  $\Delta E$  asociate creșterilor  $\Delta V$  ale volumului de reactiv. Pentru aceasta se utilizează doi electrozi identici, dintre care unul, numit electrod indicator cu întârziere ( $E_1$ ), este înconjurat de un manșon tubular concentric de sticlă, care evită contactul cu volumul soluției în momentul adaosului de reactiv (fig. 5.16). De aceea,  $FEM$  măsurată după fiecare adaos de reactiv reprezintă diferența dintre potențialele de echilibru ale electrodului liber  $E_2$ , dinainte și după adaosul de reactiv, adică tocmai  $\Delta E$ . Soluția se omogenizează după determinarea  $FEM$  și înainte de noul adaos de reactiv, prin pompare de aer cu ajutorul unei pere de cauciuc atașate la un tub lateral al manșonului de sticlă. Pila astfel realizată funcționează ca o pilă de concentrație, nu posedă nici o joncțiune lichidă și este capabilă de performanțe excelente.

Baze tari și slabe pot fi titrate cu acizi tari pe această cale, dar combinația acid slab-bază slabă trebuie evitată, deoarece saltul de  $pH$  de la echivalență nu este abrupt. Acizii bivalenți, titrați cu baze tari arată două maxime pe curba  $\Delta E-\Delta V$ , numai atunci când raportul constantelor de disociere  $K_1/K_2$  corespunzătoare celor două trepte de disociere este egal cu  $10^3$  sau depășește această valoare. Figura 5.17 arată curba de titrare diferențială a  $H_3PO_4$  cu  $NaOH$ ; primele două puncte de echivalență sînt ușor sesizabile, dar cel de al treilea nu, deoarece  $pK_3 = 12,3$ .

Constanta de disociere a unui acid slab ( $pK \geq 5$ ) se poate determina cu o precizie satisfăcătoare printr-o titrare a acidului cu o bază tare. Se poate arăta că  $pH$ -ul la semiechivalență este egal cu  $pK$ -ul acidului slab:

$$(pH)_{0,5\text{ Ech}} = pK_A. \quad (5.77)$$

Să aplicăm legea acțiunii maselor la reacția de disociere a acidului slab:



cînd se obține:

$$K_A = \frac{a_{A^-} \cdot a_{H_3O^+}}{a_{HA} \cdot a_{H_2O}} \quad (3.6 a)$$

Fig. 5.16. Titrare potențiometrică diferențială.

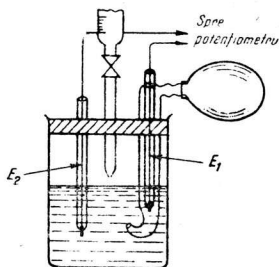
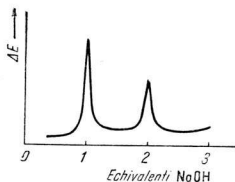


Fig. 5.17. Titrarea potențiometrică diferențială a  $H_3PO_4$ .



După logaritmare și schimbarea semnului,

$$pK_A = -\lg \frac{a_{A^-}}{a_{AH}} + pH. \quad (3.8a)$$

La semiechivalență, se poate scrie, cu o bună aproximație :

$$(a_{A^-})_{0,5 Ech} = (a_{AH})_{0,5 Ech}$$

de unde :

$$pK_A = (pH)_{0,5 Ech}.$$

Reprezentarea grafică a  $pH$ -ului în funcție de volumul de bază, permite determinarea  $pH$ -ului (fig. 5.18).

Un salt de potențial însoțește și reacția de oxidare sau reducere a unei substanțe. Titrarea potențiometrică redox poate fi efectuată în prezența unui electrod inert scufundat în soluția de titrat, care se asociază cu un electrod de referință. În figura 5.19 este redată curba de titrare potențiometrică a ionilor feroși cu bicromat. Saltul de potențial are loc de la valoarea

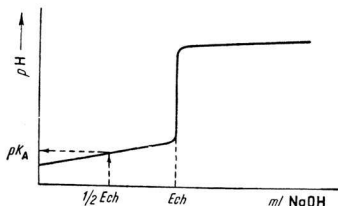


Fig. 5.18. Determinarea  $pK_A$ -ului unui acid slab.

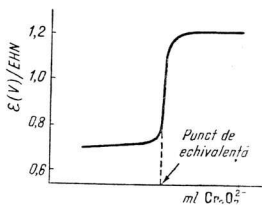


Fig. 5.19. Titrarea potențiometrică redox a ionului  $Fe^{2+}$  cu bicromat.

rea de circa 0,7 V la cca 1,3 V/EHN, corespunzătoare sistemelor  $\text{Fe}^{3+}/\text{Fe}^{2+}$  și respectiv  $\text{Cr}^{6+}/\text{Cr}^{3+}$ . Menționăm că valorile standard ale potențialelor sînt +0,77 și + 1,33 V/EHN. Saltul de potențial se explică prin modificarea bruscă de potențial ce însoțește apariția excesului de bicromat față de echivalența cu ionii feroși, unde potențialul electrodului redox este nedefinit.

Indicarea punctului de echivalență în titrările redox se poate face și cu ajutorul unor substanțe, numite indicatori redox, care au proprietatea de a fi colorate în stare oxidată și incolore în forma redusă. Cunoașterea potențialelor redox standard ale acestora, permite selecționarea indicatorului potrivit pentru o reacție redox dată; de exemplu, acidul difenilaminosulfonic se poate utiliza pentru indicarea punctului de echivalență la titrarea ionilor feroși cu un oxidant adecvat.

Același principiu al consumării unui ion potențial activ stă și la baza titrării potențimetrice de precipitare unde concentrația ionului este guvernată de produsul de solubilitate al compusului greu solubil ce se formează. Astfel, titrarea unei sări de argint cu o soluție de clorură alcalină este posibilă folosind un electrod de argint introdus în soluția sării de argint și asociindu-l cu un electrod de referință. Să presupunem că inițial, concentrația ionilor  $\text{Ag}^+$  era de  $M$  moli/l; după precipitarea fracției  $x$ , potențialul electrodului va fi dat aproximativ de reacția:

$$\varepsilon_{\text{Ag}^+/\text{Ag}} = \varepsilon_{\text{Ag}^+/\text{Ag}}^0 + 0,059 \lg (1 - x)M. \quad (5.78)$$

Potențialul se modifică treptat, pe măsură ce soluției  $i$  se adaugă ioni  $\text{Cl}^-$ . La echivalență  $(1 - x)$  devine zero, iar  $\varepsilon_{\text{Ag}^+/\text{Ag}}$  înregistrează un salt brusc de cîteva zecimi de volt.

Ca și la celelalte titrări potențimetrice, și aici este recomandabilă utilizarea variantei diferențiale, cu doi electrozi de argint, pentru că se evită pierderea de substanță cauzată de difuzie la joncțiunea lichidă. Pe această cale devine posibilă dozarea succesivă a iodurii, bromurii și clorurii, aflate în aceeași soluție, prin adaos de nitrat de argint. La adaos de nitrat, potențialul de electrod va fi guvernat mai întîi de produsul cel mai greu solubil, iodura de argint; după titrarea ei, potențialul crește brusc deoarece și concentrația ionilor  $\text{Ag}^+$  crește cu cîteva puteri ale lui 10, corespunzător de astă-dată produsului mai puțin greu solubil,  $\text{AgBr}$  (v. tab. 5.6). Același lucru se repetă la punctul de echivalență al bromurii și apoi al clorurii.

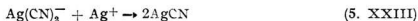
Tab el ul 5.6

**Produsele de solubilitate ale halogenurilor  
de argint și concentrațiile de saturație ale ionilor  $\text{Ag}^+$  (25°C)**

	$\text{AgI}$	$\text{AgBr}$	$\text{AgCl}$
$P_{\text{AgX}}(\text{moli}^2/\text{l}^2)$	$1,5 \cdot 10^{-16}$	$7,7 \cdot 10^{-13}$	$1,56 \cdot 10^{-10}$
$C_{\text{Ag}^+}(\text{moli/l})$	$1,22 \cdot 10^{-8}$	$8,77 \cdot 10^{-7}$	$1,25 \cdot 10^{-6}$

Multe reacții de precipitare se pot urmări pe cale potențimetrică. Pentru aceasta însă, formarea și dezvoltarea precipitatului trebuie să fie rapidă, gradul de diviziune al precipitatului să nu fie prea avansat, pentru a se evita adsorbția puternică a ionilor reactivi, iar precipitarea să nu aibă loc în condiții ce ar face procesul imposibil de urmărit potențimetric (variații de temperatură, exces de reactiv etc.).

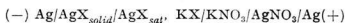
Modificarea concentrației ionului potențial activ este posibilă nu numai prin precipitarea lui ci, întocmai ca la titrarea acido-bazică, și prin angajarea într-un ion complex solubil. Dacă acesta din urmă se caracterizează printr-o constantă de stabilitate apreciabilă, punctul de echivalență va fi trădat de un salt brusc de potențial. De exemplu dacă ioni  $\text{Ag}^+$  se adaugă unei soluții de cianură, în primă instanță are loc formarea complexului solubil și stabil  $\text{Ag}(\text{CN})_2^-$  și potențialul electrodului indicator de argint pornind de la valori foarte mici, înregistrează o creștere lentă. Atunci când formarea complexului  $\text{Ag}(\text{CN})_2^-$  este completă, se observă un salt brusc de potențial, care fixează precis punctul de echivalență. Dacă adaosul de ioni  $\text{Ag}^+$  se continuă, are loc precipitarea cianurii de argint:



și potențialul electrodului se păstrează cuasi-constant la o valoare fixată de concentrația de echilibru a cianurii de argint greu solubile. Precipitarea cantitativă a complexului solubil se poate determina printr-un al doilea salt brusc de potențial al electrodului de argint.

#### 5.1.3.6.3 Determinarea produsului de solubilitate

Construirea unor pile galvanice potrivite permite determinarea produsului de solubilitate a unor săruri greu solubile. Astfel, solubilitatea halogenurilor de argint  $\text{AgX}$ , unde  $\text{X} = \text{Cl}, \text{Br}$  și  $\text{I}$ , se poate evalua din măsurarea *FEM* a următoarelor pile fără transport:



$$a_{\text{Ag}^+, \text{sat}} < a_{\text{Ag}^+}$$

*FEM* a pilei variază conform relației:

$$E = 0,059 \lg \frac{a_{\text{Ag}^+}}{a_{\text{Ag}^+, \text{sat}}} \quad (5.79)$$

Introducând produsul de solubilitate al halogenurii de argint

$$P_{\text{AgX}} = a_{\text{Ag}^+, \text{sat}} \cdot a_{\text{X}^-} \quad (5.80)$$

Se mai obține:

$$E = 0,059 \lg a_{\text{Ag}^+} a_{\text{X}^-} - 0,059 \lg P_{\text{AgX}}, \quad (5.81)$$

$$E = 0,059 \lg c_{\text{Ag}^+} c_{\text{X}^-} + 0,059 \lg f_{+} \cdot f_{-} - 0,059 \lg P_{\text{AgX}} \quad (5.82)$$

unde cu  $c_{\text{Ag}^+}$  și  $c_{\text{X}^-}$  s-au notat concentrațiile molare ale soluțiilor de nitrat de argint și respectiv halogenură de potasiu  $\text{KX}$ . În soluții diluate ( $c \leq 10^{-1} \text{ M}$ ) se poate face presupunerea că :

$$f_+ = f_- = f_{\pm},$$

dacă soluțiile de  $\text{AgNO}_3$  și  $\text{KX}$  au aceleași concentrații. Prin urmare :

$$a_{\text{Ag}^+} = a_{\text{X}^-} = f_{\pm} c. \quad (5.83)$$

Înlocuind în relația (5.82), expresia  $FEM$  devine :

$$E = 0,118 \lg c + 0,118 \lg f_{\pm} - 0,059 \lg P_{\text{AgX}}, \quad (5.84)$$

sau după o regrupare convenabilă :

$$E - 0,118 \lg c = 0,118 \lg f_{\pm} - 0,059 \lg P_{\text{AgX}}. \quad (5.84 \text{ a})$$

Practic se procedează în felul următor : se măsoară  $FEM$  ale pilelor construite cu 4—5 valori diferite ale concentrației  $c (\leq 10^{-1} \text{ M})$  și se reprezintă apoi grafic  $E - 0,118 \lg c$  în funcție de  $\sqrt{c}$ , avînd în vedere că pe baza teoriei electroliților tari a lui Debye și Hückel în soluții diluate, logaritmul factorului de activitate variază liniar cu  $\sqrt{c}$ . Ordonată la origine a dreptei care se obține valorează  $-0,059 \lg P_{\text{AgX}}$ , din care se calculează  $P_{\text{AgX}}$  și solubilitatea  $a_0 = c_0$  a halogenurii de argint în apă (fig. 5.20).

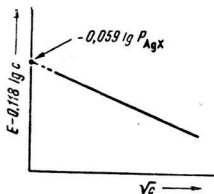
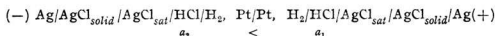


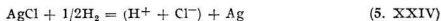
Fig. 5.20. Determinarea potențiometrică a produsului de solubilitate a halogenurii de argint.

#### 5.1.3.6.4 Determinarea coeficienților de activitate

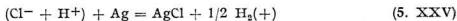
Legînd în opoziție două pile de concentrație, în modul schițat mai jos,



transportul electrolitului poate fi suprimat. Dacă pilele ar funcționa izolat, în ele s-ar petrece reacția :



Transformarea globală în sistemul rezultat prin asamblarea celor două pile constă în diluarea acidului clorhidric ; pentru fiecare cantitate de electricitate de 1 faraday, un mol de  $\text{HCl}$  trece de la activitatea  $a_1$  la  $a_2$ , fără a se înregistra transport de electrolit dintr-o parte în cealaltă. În partea dreaptă acidul clorhidric este consumat în urma reacției :



și este regenerat, prin reacția inversă, în cealaltă parte a sistemului.

$FEM$  individuale ale celor două pile componente,  $E_1$  și  $E_2$  valorează :

$$E_1 = E^\circ + 0,059 \lg a_{\text{Cl}^-} - a_{\text{H}^+}, \quad (5.85)$$

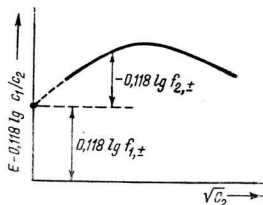


Fig. 5.21. Determinarea potențimetrică a factorului de activitate.

$$E_2 = -E^\circ + 0,059 \lg \frac{1}{a_{2,\text{Cl}^-} a_{2,\text{H}^+}}, \quad (5.86)$$

deoarece activitățile fazelor solide sînt unitare, iar presiunea se alege astfel încît  $a_{\text{H}_2} = 1$  (practic  $p_{\text{H}_2} = 1$ ). Însușirea celor două FEM conduce la FEM a ansamblului:

$$E = E_1 + E_2 = 0,059 \lg \frac{a_1^2}{a_2^2}, \quad (5.87)$$

întrucît acidul clorhidric este electrolit tare și prin urmare:

$$a_{1,\text{Cl}^-} = a_{1,\text{H}^+} = a_1 \quad \text{și} \quad a_{2,\text{Cl}^-} = a_{2,\text{H}^+} = a_2.$$

Exprimînd activitatea prin produsul  $f_{\pm}c$ , se mai obține:

$$E = 0,118 \lg \frac{c_1}{c_2} + 0,118 \lg \frac{f_{1,\pm}}{f_{2,\pm}}. \quad (5.88)$$

După regrouparea convenabilă a termenilor, mai rezultă: •

$$E = 0,118 \lg \frac{c_1}{c_2} = 0,118 \lg f_{1,\pm} - 0,118 \lg f_{2,\pm}. \quad (5.88 \text{ a})$$

Practic se măsoară diversele valori ale FEM corespunzătoare unor valori variabile ale concentrației  $c_2$ , la concentrație  $c_1$  constantă, iar apoi diferența  $E - 0,118 \lg c_1/c_2$  se reprezintă grafic în funcție de  $\sqrt{c_2}$ . Prin extrapolare la  $\sqrt{c_2} = 0$ , se obține termenul  $0,118 \lg f_{1,\pm}$ , din care se calculează  $f_{1,\pm}$ . Graficul permite determinarea paralelă a factorului de activitate  $f_{2,\pm}$  la orice concentrație  $c_2$  (fig. 5.21).

## 5.2 STRATUL DUBLU ELECTRIC

### 5.2.1 ISTORIC

Noțiunea și cel mai simplu model al stratului dublu, își au originile în lucrările lui Helmholtz (1853) și Quincke (1861), dar cea dintîi reprezentare detaliată se datorează lui Gouy și Chapman (1913), bazată pe aceleași premize ca și teoria soluțiilor de electroliți a lui Debye și Hückel, elaborată mai tîrziu (1923). În 1924 Stern a îmbunătățit teoria lui Gouy și Chapman dar o confruntare satisfăcătoare a modelului său cu experiența necesita perfecționări atît în tehnica de cercetare cit și în teoria fenomenului.

Deși nu constituia un fapt nou, termodinamica fenomenului de strat dublu, bazată pe izoterma de adsorbție a lui Gibbs nu a primit o interpretare adecvată decît progresiv, datorită lucrărilor lui Frumkin, în cel de al treilea deceniu al secolului nostru. În primele măsurători de capacitate a stratului dublu, folosind suprafața Hg-soluție apoasă, impuritățile organice, ușor adsorbabile din soluția apoasă, nu erau îndepărtate. Purificarea nu este atît de strict cerută în măsurătorile efectuate cu electrometrul capilar, din cauza încetinelii adsorb-

ției controlate de difuzie în capilara fină a electrometrului. Între 1941 și 1949 Grahame perfecționează tehnica măsurătorilor și reduce la minim posibilitatea contaminării prin introducerea electrodului picător de Hg în aceste măsurători. Tot lui i se datorează analiza termodinamică a electrodului ideal polarizat, prin care se demonstrează posibilitatea obținerii de date termodinamice foarte precise din măsurători de capacitate a stratului dublu. Presupunerea că stratul dublu compact are o capacitate care depinde numai de sarcina de pe electrod și nu de concentrația electrolitului, a permis verificarea experimentală a structurii stratului dublu de către McDonald (1954) și Barlow și McDonald (1962).

Necesitatea luării în considerare a efectelor de adsorbție care nu se pot interpreta în limitele interacțiunilor simple electrostatice de tipul celor analizate de Gouy și Chapman, a fost semnalată încă de Gouy (1910). Stern reia conceptul de adsorbție specifică și-i dă o formulare matematică, bazată pe izoterma lui Langmuir (1924). În 1947, Grahame sugerează că ionii adsorbiți specifici se apropie de electrod mai mult ca ceilalți ioni liberi din soluție. El creează un model al stratului dublu compact cu două planuri: unul intern, pentru ionii adsorbiți specifici, și un plan exterior, pentru ceilalți ioni. (Teoria lui Gouy-Chapman este aplicabilă regiunii care se situează dincolo de planul exterior, deci stratului dublu difuz). Aceasta permite calculul adsorbției specifice (Grahame și Soderberg, 1954) și abordarea problemei importante a determinării izotermei. Adsorbția substanțelor neîncărcate electric (molecule neutre) fusese tratată de Frumkin încă din 1926, presupunând că izoterma lui Langmuir este valabilă la potențial de electrod constant și că interacțiunea dintre particule are loc în același mod ca la gaze. Butler (1929) a tratat de asemenea adsorbția, dar numai cu cercetările lui Parsons (1955) se ajunge la revizuirea problemei legate de determinarea izotermei. În prezent, se pare că dependența curbelor capacitate sau potențial de activitatea de volum a adsorbatului constituie cel mai bun criteriu. Interpretarea unor asemenea curbe începe cu lucrările lui Frumkin și Melik-Gaikazian (1952), care au arătat că adsorbția pe electrodul de Hg este controlată de difuzie. Lorenz (1958) elaborează o tratare foarte elegantă a cineticii de adsorbție și calculează vitezele de transfer adsorbtiv pe Hg, pentru cîteva substanțe. Totuși, problema determinării izotermei nu se poate considera pe deplin rezolvată.

Un rezultat important, care decurge din aceste studii se referă la dependența entalpiei libere standard de adsorbție de sarcina sau potențialul electrodului. Astfel, Parsons (1955—1963) găsește o dependență liniară pentru această energie în funcție de sarcina de pe electrod, la adsorbție specifică ionică și o dependență parabolică la substanțe neîncărcate electric. La această din urmă dependență s-a ajuns de altfel și pe baza modelului simplu al lui Frumkin (1926) și Butler (1929), însă în funcție de potențial.

În ultima vreme (1960—1963) s-a încercat extinderea modului de tratare mecanic — statistic aplicat electrolitelor și la stratul dublu. Se remarcă două teorii, avînd unele puncte comune, și anume: una a lui Krilov și Levici (1963) și alta a lui Buff și Stillinger (1963). Ele constituie un progres în teorie, dar este prematur să se afirme că viitoarea dezvoltare a domeniului va avea loc în această direcție.

Multe din progresele cercetărilor experimentale asupra stratului dublu se datorează proprietăților electrodului de Hg, aproape ideale pentru acest scop. Totuși, nu sînt lipsite de interes nici studiile cu alte metale, deși la acestea rezultatele au încă un caracter mai mult calitativ. Cercetările asupra stratului dublu la electrozii solizi sînt jenate de dificultăți experimentale, cauzate de contaminarea electrozilor, de efecte geometrice ce se manifestă la măsurarea capacității și înainte de toate, de complicațiile care se ivesc de pe urma interferenței cu reacțiile de electrod și formarea unor filme adsorbite de  $O_2$  și  $H_2$ . La acestea se mai adaugă apoi dispersia frecvenței datorată neregularităților electrodului. S-au elaborat metode bazate pe utilizarea radioizotopilor, în care măsurătorile se efectuează „in situ”, cu controlul potențialului (Bockris, 1963); rezultatele în acest sens sînt promițătoare.

## 5.2.2 DISTRIBUȚIA IONILOR ȘI MOLECULELOR LA INTERFAȚA ELECTROD-ELECTROLIT

Reacțiile electrochimice de la interfața electrod-electrolit sînt procese eterogene dependente de cîmpul electric; de aceea un factor determinant de viteză va fi concentrația diverselor specii prezente la suprafața încărcată. Concentrația de la interfață este corelată cu concentrația de volum,



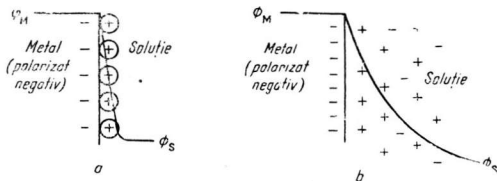


Fig. 5.22. Modelele lui Helmholtz (a) și Gouy-Chapman (b), alături de profilurile căderilor de potențial  $\phi_M$ - $\phi_S$ .

prin intermediul entalpiei libere electrochimice<sup>†</sup> de adsorbție standard  $\Delta_{ads}\bar{G}^\circ$  care conține formal contribuții chimice și electrice.

Se vor considera modelele de distribuție a ionilor la suprafața electrodului, imaginate de Helmholtz, Gouy și Chapman, Stern și de Grahame (fig.5.22—5.24). O condiție necesar impusă diverselor modele constă în echilibrul electrostatic al sarcinilor separate ale stratului dublu; transferul de sarcină nu poate avea loc în nici un sens de-a curmezișul stratului dublu, variația diferenței de potențial de la interfața metal-soluție schimbînd doar sarcina în soluție, în vecinătatea suprafeței metalului. Aceasta conferă stratului dublu un caracter capacitiv și presupune inexistența vreunui component de scurgere ohmică asociat cu descărcarea ionilor; un asemenea ansamblu metal-electrolit se numește electrod ideal polarizat (Grahame și Whitney).

Imaginea este cu totul idealizată deoarece în condiții practice orice suprafață de electrod care este încărcată, va fi sediul unor procese de electrod cărora le corespund curenți minimi, dar finiți (nenuli). În practică, comportamentul electrodului de Hg între potențialele 0 și 0,9 V/EHN se apropie de proprietățile electrodului ideal polarizat, întrucît descărcarea ionilor  $H_3O^+$  este extrem de lentă în acest domeniu de potențial. În regiunea anodică, pe electrodul de platină, polarizarea ideală este reali-

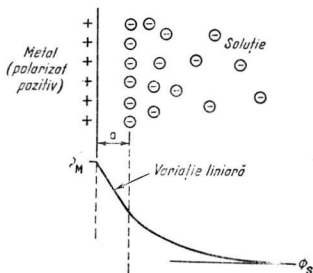


Fig. 5.23. Modelul lui Stern. Distanța la care se apropie ionii „fiksi” de electrod este  $a$ . (Moleculele de apă care separă electrodul de ioni, nu s-au reprezentat.) Profilul căderii de potențial este liniar în regiunea  $a$  și exponențial în zona difuză.

zată în soluții apoase, alcaline sau acide (oxiacizi), în intervalul de potențial cuprins între  $+0,2$  și  $+0,6$  V. Un alt sistem electrochimic apropiat de polarizabilitatea ideală, într-un interval de circa 1 V, este anodul de platină în soluții apoase de  $\text{CF}_3\text{COOH}$  aditionate de săruri ale acestui acid.

În figura 5.22 *a* este reprodusă distribuția sarcinilor în dublul strat după modelul lui Helmholtz. Gouy a atras atenția asupra faptului că modelul lui Helmholtz neglijează distribuția termică a ionilor la o temperatură dată și care de fapt depinde exponențial de energia electrostatică raportată la  $RT$ . Distribuția este analoagă celei întâlnite în teoria electroliților tari a lui Debye-Hückel (v. secț. 1.2). Teoria matematică a modelului astfel perfecționat (fig. 5.22, *b*) a fost dezvoltată de Chapman, în presupunerea că ionii constituie sarcini electrice punctiforme și a servit ca model de inspirație pentru teoria lui Debye și Hückel asupra interacțiunii ion-ion.

În modelul lui Stern se iau în considerare atât dimensiunile finite ale ionilor și, ca o consecință a acestora, apropierea de electrod pînă la o distanță limită  $a$ , precum și fixarea de molecule prin chemisorbție specifică, cînd se manifestă nu numai interacțiuni de natură pur electrostatică potențial — sarcină (fig. 5.23).

În sfîrșit, în figura 5.24 este reprodus modelul lui Grahame, unde se consideră și diversele specii adsorbite la interfața metal-electrolit; stratul Helmholtz apare alcătuit din două planuri: unul interior ( $\text{PHI}$ ) și altul exterior ( $\text{PHE}$ ).

Să evaluăm variația căderii de potențial din stratul dublu, în funcție de distanța de la suprafața electrodului, pe baza modelului norului ionic (Gouy-Chapman).

Dacă  $\psi_r$  este potențialul Volt la distanța  $r$  de la suprafața electrodului, concentrația locală  $c_+$  și  $c_-$  a cationilor și respectiv a anionilor va fi:

$$c_{\pm} = c_{\pm} \exp(-z_{\pm} \psi_r / kT), \quad (5.89)$$

unde  $c^v$  este concentrația stoichiometrică de volum a cationilor și anionilor ( $c_+ z_+ = |c_- z_-|$ ). Densitatea spațială de sarcină  $\rho_r$ , la distanța  $r$  este:

$$\rho_r = z_+ e_0 c_+^v \exp(-z_+ e_0 \psi_r / kT) + z_- e_0 c_-^v \exp(-z_- e_0 \psi_r / kT), \quad (5.90)$$

cu condiția ca distribuția ionică să fie determinată numai de interacțiuni electrostatice. Ca și în teoria lui Debye — Hückel, relația dintre

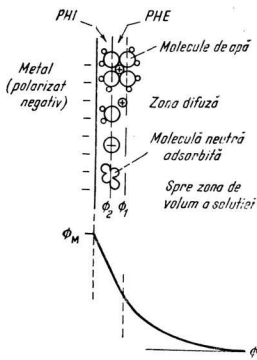


Fig. 5.24. Modelul lui Grahame și profilul căderii de potențial în stratul dublu.

$\psi_r$  și  $\rho_r$  este dată de ecuația lui P o i s s o n, a cărei expresie pentru o distribuție ionică unidimensională este:

$$\frac{\partial}{\partial r} \left( D_r \frac{\partial \psi_r}{\partial r} \right) = -4\pi \rho_r \quad (5.91)$$

deoarece constanta dielectrică  $D_r$  poate varia cu  $r$  în interiorul stratului dublu.

Introducând valoarea densității de sarcină spațială, se obține:

$$\frac{\partial}{\partial r} \left( D_r \frac{\partial \psi_r}{\partial r} \right) = -4\pi e_0 \sum_{\pm} c_{\pm}^v z_{\pm} \exp(-z_{\pm} e_0 \psi_r / kT). \quad (5.92)$$

Folosind identitatea:

$$2 \frac{\partial^2 \psi_r}{\partial r^2} = \frac{\partial}{\partial \psi_r} \left( \frac{\partial \psi_r}{\partial r} \right)^2 \quad (5.93)$$

și integrând în presupunerea că valoarea medie  $\bar{D}$  a constantei dielectrice în stratul dublu nu se modifică, obținem:

$$\frac{\partial \psi_r}{\partial r} = \pm \left[ \frac{8\pi kT}{\bar{D}} \sum_i c_i^v \{ \exp(-z_i e_0 \psi_r / kT) - 1 \} \right]^{1/2}. \quad (5.94)$$

Termenul  $-1$  provine din constanta de integrare.

Dacă  $r \rightarrow \infty$ , valoarea gradientului de potențial  $\partial \psi_r / \partial r \rightarrow 0$ , iar atunci când  $\rho_r = 0$ , potențialul  $\psi_r$  tinde spre valoarea sa din zona de volum a soluției.

Dacă  $a$  este distanța minimă pînă la care se pot apropia ionii de electrod iar  $q_M$  sarcina de pe unitatea de suprafață a electrodului metalic, câmpul în  $a$  este:

$$\left( \frac{\partial \psi_r}{\partial r} \right)_a = -\frac{4\pi e_M}{D_a}, \quad (5.95)$$

unde  $D_a$  este constanta dielectrică pentru distanțe  $r \leq a$ ; de obicei,  $D_a \approx \bar{D}$ .

Compararea ecuațiilor (5.94 și 5.95) permite exprimarea sarcinii specifice  $q_M$  de pe suprafața metalului:

$$q_M = \pm \left[ \left( \frac{kT\bar{D}}{2\pi} \right) \sum_i c_i^v \{ \exp(-z_i e_0 \psi_a / kT) - 1 \} \right]^{1/2}, \quad (5.96)$$

cînd electrolitul este simetric ( $|z_i| = |z_+| = |z_-| = z$  și  $c_i = c_+ = c_- = c$ )

$$q_M = \left( \frac{2kTc^v\bar{D}}{\pi} \right)^{1/2} \sinh(z e_0 \psi_a / 2kT), \quad (5.97)$$

și  $q_M > 0$  atunci cînd  $\psi_a > 0$ .

Măsurătorile experimentale de capacitate dau valori care sînt net discordante cu teoria lui G o u y, din cauza neglijării dimensiunilor proprii ale ionilor. Luarea în considerare a distanței minime la care se pot apropia ionii avînd dimensiuni finite a fost sesizată de S t e r n și G r a h a m e, deși ea fusese menționată și de G o u y cu privire la grosimea efectivă a stratului dublu. Pe baza acesteia, diferența de potențial intern  $\Phi_M - \Phi_s$  dintre metal și soluție se poate considera alcătuită din două părți:  $\Phi_M - \Phi_1$  și  $\Phi_1 - \Phi_s$ , unde  $\Phi_1$  este potențialul mediu la  $r = a$  (v. fig. 5.23) Potențialul în stratul dublu înregistrează fluctuații laterale în raport cu interfața, din cauza discontinuității sarcinilor ionice, dar în calcule se folosește o valoare medie egală tocmai cu  $\Phi_1$ . Ambele aceste contribuții se pot exercita independent asupra lui  $q_M$ , astfel că:

$$\frac{\partial(\Phi_M - \Phi_s)}{\partial q_M} = \frac{\partial(\Phi_M - \Phi_1)}{\partial q_M} + \frac{\partial(\Phi_1 - \Phi_s)}{\partial q_M}, \quad (5.98)$$

sau

$$\frac{1}{C} = \frac{1}{C_1} + \frac{1}{C_2} \quad (5.99)$$

dacă se notează

$$\frac{\partial(\Phi_M - \Phi_1)}{\partial q_M} = \frac{1}{C_1} \text{ și } \frac{\partial(\Phi_1 - \Phi_s)}{\partial q_M} = \frac{1}{C_2}, \quad (5.100)$$

$C_1$  și  $C_2$ , capacitățile corespunzătoare celor două planuri H e l m h o l t z, sînt aditive atunci cînd se găsesc dispuse în serie.

Profilul tipic al curbei capacitate — potențial, pentru electrodul de Hg este redat în figura 5.25. Capacitatea  $C_1$  este adeseori raportată la stratul H e l m h o l t z, compact vecin cu suprafața electrodului metalic, iar  $C_2$  la zona difuză sau zona atmosferei ionice. Asemănător cu scindarea de către G r a h a m e a stratului H e l m h o l t z în intern și extern, și  $C_1$  se poate scinda în două părți. Presupunerea existenței aceleiași căderi de potențial  $\Phi_1$  pentru poziția minime distanțe la electrod nu este riguros valabilă pentru anioni și cationi. Din cauza naturii mult mai polarizabile a anionilor și existenței unei afinități specifice ca „liganzi”, superficial adsorbiți, pentru unele suprafețe metalice, anionii se pot apropia mai intim de metal decît cationii solvatați, la un potențial dat; de aceea  $\Phi_1$  nu va avea exact aceeași valoare pentru anioni și cationi. Este convenabilă notarea cu  $\Phi_2$  a potențialului în regiunea de minimă distanță și adsorbție specifică a anionilor. Din aceste motive, o teorie satisfăcătoare a stratului dublu trebuie să ia în considerare atît dimensiunile finite ale ionilor adsorbiți cît și interacțiunile de chemisorbție specifică ce se

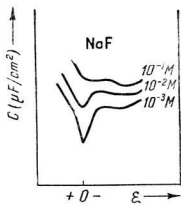


Fig. 5.25. Variația capacității stratului dublu cu potențialul, la interfața Hg-soluție NaF.

exercită între aceștia și suprafața metalului (S t e r n). În acord cu teoria lui S t e r n, sarcina  $q_s$  a laturii dinspre soluție a stratului dublu se poate considera alcătuită din contribuțiile  $q_1$  și  $q_2$  ce rezultă din sarcina spațială asociată cu atmosfera ionică și respectiv din sarcina ionilor adsorbiți specifici. Cum  $q_M = -q_S$ , avem :

$$-q_M = q_S = q_1 + q_2. \quad (5.101)$$

Sarcina  $q_2$  se poate calcula cu ecuația (5.96), care exprimă pe  $q_M$ , cu condiția ca  $\Phi_a = \Phi_1$ ; atunci

$$q_2 = \pm \left[ \frac{\bar{D} k T}{2\pi} \sum_i c_i^v \{ \exp(z_i e_0 \psi_a / k T) - 1 \} \right]^{1/2}. \quad (5.102)$$

Sarcina  $q_1$  se calculează prin aplicarea unei izoterme de tip L a n g m u i r în care entalpia liberă electrochimică de adsorbție standard  $\Delta_{ads} \bar{G}_{\pm}^0$  determină cantitatea adsorbită ca o funcție de concentrația de volum a soluției. Rezultatul aplicării izotermei lui L a n g m u i r este :

$$q_1 = e_0 \Omega \frac{x_+}{1 + (1/x^v) \exp(\Delta_{ads} \bar{G}_+ / RT)} + \frac{z}{1 + (1/x^v) \exp(\Delta_{ads} \bar{G}_-^0 / RT)}, \quad (5.103)$$

unde  $x^v$  este fracția molară de volum, iar  $\Omega$  numărul de centre disponibile pentru adsorbție pe  $\text{cm}^2$  de suprafață a electrodului. Se presupune că acest număr este același pentru cationi sau anioni și că ionul adsorbit poate substitui nestinjenit moleculele de solvent care se găsesc de asemenea adsorbite și au o acoperire relativă  $\theta$  vecină cu unitatea.

$\Delta_{ads} \bar{G}_{\pm}^0$  se exprimă prin suma :

$$\Delta_{ads} \bar{G}_{\pm}^0 = \Delta_{ads} G_{\pm}^0 + z_{\pm} e_0 \Phi_2, \quad (5.104)$$

unde  $\Delta_{ads} G_{\pm}^0$  este entalpia liberă de adsorbție standard, iar  $\Phi_2$  potențialul intern mediu în planul de adsorbție specifică a ionilor. S-a menționat (v. secț. 5.1.1) că, experimental, cele două contribuții sînt inseparabile. Cum în majoritatea cazurilor se adsorb anioni, ecuația (5.103) care exprimă pe  $q_1$  se mai poate scrie :

$$q_1 \approx z_- e_0 x^v \Omega \exp(-\Delta_{ads} \bar{G}_-^0 / RT), \quad (5.105)$$

întrucît în soluții diluate, în mod obișnuit,  $1/x_s \exp(\Delta_{ads} \bar{G}_{\pm}^0 / RT) \gg 1$ . Evident  $q_1/z_- e_0$  reprezintă numărul  $n_1$  de ioni din stratul adsorbit, iar  $n_1/\Omega$  este acoperirea relativă  $\theta_1$  cu acești ioni, adică :

$$\theta_1 \approx x^v \exp(-\Delta_{ads} \bar{G}_-^0 / RT), \quad (5.106)$$

ceea ce reprezintă o formă limită a izotermei lui L a n g m u i r, pentru acoperiri mici ( $1 - \theta \approx 1$ ), sau o formă bidimensională a legii lui H e n r y (concentrația  $\theta_1$  în faza superficială este proporțională cu fracția molară  $x_s$  din faza de volum, constituie o propoziție echivalentă cu aceea care spune că solubilitatea gazului, exprimată prin fracția molară, este proporțională cu presiunea parțială din faza gazoasă).

S t e r n exprimă capacitatea integrală  $K$  a stratului dublu prin :

$$-q_M = K(\Phi_M - \Phi_2) = q_1 + q_2 \quad (5.107)$$

și presupune că  $\Phi_2 \approx \Phi_1$ , astfel că valorile lui  $\Phi_1$  se pot calcula ca o funcție de potențialul  $\Phi_M$  al metalului pentru un  $K$  cunoscut și o concentrație dată a soluției în absența adsorbției specifice.  $K$  reprezintă capacitatea integrală a regiunii cuprinse între suprafața metalului și planul care secționează ionii adsorbiți, prin centrele lor.

Cele două capacități, capacitatea diferențială  $C$  și capacitatea integrală  $K$  se definesc prin egalitățile :

$$C = \left( \frac{dq}{d\Phi} \right)_{\mu, p, T} \quad (5.108)$$

și

$$K = \frac{q}{\Phi} \text{ sau } \frac{\Delta q}{\Delta \Phi} . \quad (5.109)$$

Se vede că :

$$\Phi K = \int_0^{\Phi} C d\Phi \quad (5.110)$$

unde  $C$  poate fi funcție de  $\Phi$ . Sau întrucît

$$dq = Kd\Phi + \Phi dK = C d\Phi, \quad (5.111)$$

mai rezultă :

$$C = K + \Phi \frac{dK}{d\Phi} . \quad (5.112)$$

Presupunerea că  $\Phi_2 = \Phi_1$  și  $\Delta_{ads} \bar{G}_+^0 = 0$  echivalează cu  $q_1 = 0$  sau cu absența adsorbției specifice. S t e r n nu a putut face distincție între  $\Phi_2$  și  $\Phi_1$  pentru cazul adsorbției. Or, analize mai detaliate ale deplasărilor potențialului încărcării nule (*PIN*) pe Hg, în prezența anionilor adsorbiți, demonstrează imposibilitatea identificării lui  $\Phi_2$  cu  $\Phi_1$ . De aceea G r a h a m e distinge în dublul strat trei zone de căderi de potențial (v. fig. 5.24) :

- metal/planul intern H e l m h o l t z ( $\Phi_2$ ) ;
- plan intern/plan extern H e l m h o l t z ( $\Phi_1$ ) și
- de-a lungul zonei difuze ( $\Phi_s$ ).

Deși mult perfecționat față de cel elaborat de H e l m h o l t z, nici modelul lui S t e r n și G r a h a m e nu explică efectele dipolilor de solvent adsorbiți, care trebuie să contribuie cu o cantitate apreciabilă la căderea de potențial în domeniul cuprins între suprafața metalului și planul  $\Phi_2$ .

În primele lucrări referitoare la stratul dublu, constanta dielectrică se considera avînd valoarea normală din volumul soluției. Totuși, la interfața metal-soluție, în imediata vecinătate a suprafeței metalice, cîmpul atinge valori apreciabile:  $10^6 - 10^7$  V/cm, capabile să cauzeze o saturație dielectrică însemnată, sau efecte de orientare echivalente cu cele care apar în primul înveliș de hidratare al ionilor. Dar în afară de efectele cîmpului, orientarea specifică a moleculelor de solvent la interfață, determinată de interacțiunile chimice ce însoțesc adsorbția solventului, deosebit de puternică la metalele tranziționale, este responsabilă și de o depresiune a constantei dielectrice. Lucrările asupra efectelor de saturare a constantei dielectrice duc la concluzia generală că acestea sînt semnificative, fără a deveni importante, în zona difuză a stratului dublu și apreciabile în regiunea cîmpurilor intense din preajma suprafeței electrodului. Întrucît presiunea electrostatică  $p_g$ , datorată cîmpului  $\mathcal{E}$  este:

$$P_g = \frac{\mathcal{E}^2}{8\pi} (D - 1), \quad (5.113)$$

presiunile locale în stratul dublu pot atinge același ordin de mărime ca în preajma ionilor, adică aproximativ  $5 \cdot 10^4$  atm. În ecuația (5.113) de mai sus constanta dielectrică  $D$  este funcție de  $P_g$  și  $\mathcal{E}$ , ceea ce complică lucrurile.

Teoria stratului dublu, chiar și sub forma perfecționată de Stern și Grahame este ireconciliabilă cu unele rezultate experimentale. Astfel, capacitatea stratului dublu pe Hg la potențiale catodice apreciabile este independentă de dimensiunea cationilor pentru seria metalelor alcaline și alcalino-pămîntoase; adsorbția specifică a anionilor nu este ușor explicabilă prin proprietățile lor; de exemplu intensitatea chemisorbției ionului halogenură  $X^-$  variază invers cu puterea legăturii  $X-Hg$ ; (explicația ar consta în variația hidratării ionilor  $X^-$ , cu atît mai exoenergetică cu cît ionul  $X^-$  este mai mic); gradul de adsorbție al anionilor, care este funcție de sarcina superficială, prezintă o inflexiune la sarcini pozitive moderate; existența unui maximum de sarcină sau de potențial de partea pozitivă a sarcinii capacitive, neexplicat pînă astăzi în mod satisfăcător.

Ultimul model al distribuției ionilor și al moleculelor de solvent în stratul dublu, elaborat de Devanathan, Bockris și Müller în 1963 (fig. 5.26) încearcă să explice aceste nepotriviri. Conform lui, ca-

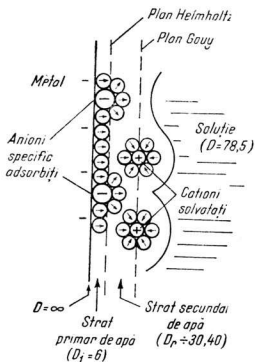


Fig. 5.26. Modelul stratului dublu după Devanathan, Bockris și Müller.

tionii adsorbiți, împreună cu primul lor strat de hidratare se consideră rămași în afara stratului de dipoli de solvent adsorbiți, puternic orientat. Anionii specifici adsorbiți sînt capabili să pătrundă în stratul primar de solvent al metalului. Teoria are marele merit de a scoate în evidență prezența moleculelor de solvent în stratul dublu, neglijată în celelalte teorii. Dipolii de solvent adsorbiți au momentul orientat într-un sens sau celălalt adică polul negativ spre soluție sau metal, în funcție de sarcina sau potențialul electrodului.

De asemenea, teoria explică dependența capacității catodice de dimensiunile cationilor. Pentru aceasta se presupune că la valoarea reciprocă a capacității integrale  $K$ , cele două regiuni ale stratului dublu avînd constantele dielectrice  $D_j$  ( $\approx 6$ ) și  $D_r$  ( $\approx 30, 40$ ) contribuie ca și cînd ar fi legate în serie:

$$\frac{1}{K} = \frac{1}{K_j} + \frac{1}{K_r} = \frac{4\pi\delta_1}{D_j} + \frac{4\pi(\delta_2 - \delta_1)}{D_r}, \quad (5.114)$$

$\delta_1$  este grosimea stratului intern de molecule  $H_2O$  orientate, iar  $\delta_2$  distanța mijlocie ce separă ionii adsorbiți coulombian de suprafața metalului. Distanțele de la interfața metalică sînt greu de definit exact. În mod normal, o asemenea distanță se referă la planul tangențial al atomilor de metal avînd raze metalice normale. Dar, raza efectivă a metalului la interfață poate să nu fie aceeași cu razele metalice internucleare în volum, din cauza diverselor hibridări ale orbitelor, la suprafață.

Dacă  $D_r/D_j \gg 1$ ,  $K$  devine independent de  $\delta_2$  și deci de raza ionică, ceea ce explică independența capacității stratului Helmholtz de natura cationului. Capacitatea este determinată în principal de proprietățile stratului intern de molecule  $H_2O$  orientate.

## 5.2.5 DUBLUL STRAT ELECTRIC LA ALTE INTERFEȚE DECÎT Hg-SOLUȚIE APOASĂ

Cercetările asupra altor sisteme metal lichid/soluție nu pot furniza în principiu fapte noi despre stratul difuz, față de cele obținute la interfața Hg-soluție apoasă; ele pot însă oferi unele informații noi despre stratul dublu compact.

Așa, de exemplu, Ga este potrivit pentru studii de strat dublu, deoarece în stare lichidă el se comportă ca un electrod ideal polarizat. Interfața Ga-soluție apoasă nu diferă mult de interfața Hg-soluție apoasă, dar permite extinderea domeniului de potențial explorabil cu 0,4 V spre valori mai negative decît la aceasta din urmă. Deplasarea se datorează diferenței dintre entalpiile libere de ionizare ale celor două metale. Asemănarea dintre datele experimentale de capacitate pentru cele două metale, la potențiale la care are loc o puternică adsorbție specifică, constituie un argument în sprijinul afirmației că legătura chimică nu este factorul principal în adsorbția specifică la interfețe electrizate. Alți electrozi lichizi se pot prepara prin dizolvarea în mercur a unor amalgame, avînd diverse compoziții. Structura stratului dublu difuz poate fi schimbată după dorință, prin modificarea compoziției amalgamului.



La electrozii solizi au fost urmăriți aceiași parametri: tensiune interfacială, potențialul încărcării nule, capacitatea stratului dublu, cantitatea de substanță adsorbită specific; la mulți dintre ei problema se complică din cauza adsorbției hidrogenului și oxigenului. Faptul că hidrogenul se adsoarbe foarte greu, practic de loc pe suprafața mercurului, constituie o proprietate fericită a acestuia și a permis îmbogățirea cunoștințelor noastre despre stratul dublu.

Metoda electrometrului capilar nu se poate aplica la măsurarea tensiunii interfaciale la metalele solide. La acestea se apelează la măsurătorile de unghi de racord la limita trifazică solid-lichid-gaz.

Valorile *PIN* diferă net la electrozii solizi (v. sect. 5.3.5.1) din cauza afinității diferite pentru electroni; dacă fenomenul de adsorbție specifică este absent, *PIN* variază liniar cu afinitatea pentru electron, deși după *P a r s o n s* și *F r u m k i n* adsorbția specifică ionică și variații ale potențialului de suprafață de la un metal la altul, fac incerte asemenea corelări.

Capacitatea stratului dublu a fost studiată la metale cum sînt: Pt, Ir, Rh, Pb, Cd, Tl, Zn, Ni, Cu, Ag și Au.

O dificultate comună tuturor metalelor solide o constituie dependența impedanței faradaice de frecvența experimentală a curentului; se disting două cazuri, după cum capacitatea ce se măsoară include sau nu componentul capacitiv al impedanței faradaice pentru descărcarea ionului hidrogen sau pentru producerea oxigenului. Metalele caracterizate prin supratensiune mare la descărcarea hidrogenului, se pot studia fără interferența impedanței faradaice; acesta este cazul Cd, Pb, Tl și Zn. Dependența de frecvență a capacității la aceste metale este considerabil minimizată în cazul suprafețelor netede, obținute de pildă prin topirea unor picături de metal în atmosferă inertă. Monocristalele pot prezenta de asemenea o dependență minimă de frecvență. O serie de autori au legat această dependență de existența microfisurilor de pe suprafața electrodului.

Cantitatea de ioni adsorbiți specific dintr-un singur electrolit se poate determina din *PIN* și din variația capacității cu potențialul. Metoda este limitată la adsorbția unei singure specii ionice adsorbite și la electrodul ideal polarizat. Aceste restricții împiedică aplicarea metodei la metale cum sînt Pt, pentru care există pericolul adsorbției simultane de cationi și anioni și complicarea prin adsorbția hidrogenului sau oxigenului. S-au elaborat însă metode care să fie aplicabile și acestor metale, bazate pe măsurători de capacitate, utilizarea de radioizotopi ș.a. Pe aceste căi s-au urmărit atît adsorbția unor specii ionice cît și cea a unor substanțe neîncărcate electric.

Studiul adsorbției pe Hg din amestecuri de solvenți neapoși este de interes limitat. Solvenții neapoși prezintă un interes pentru electrozii solizi, pe care adsorbția hidrogenului interferează neplăcut în soluții apoase. Teoria lui *G o u y - C h a p m a n* este verificată în metanol pentru o serie de metale. Rezultatele obținute în metanol sînt similare celor observate în soluții apoase la temperaturi ridicate. Capacitatea stratului dublu este mai mică decît pentru apă iar curbele capacitate-potențial (fig. 5.27) nu prezintă cocoașa întîlnită la sisteme apoase; comportamentul acesta e comun și altor solvenți organici.

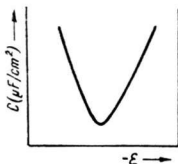


Fig. 5.27. Variația capacității cu potențialul la interfața Hg-metanol.

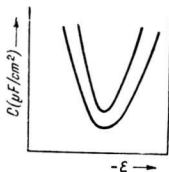


Fig. 5.28. Variația capacității cu potențialul la interfața metal-sare topită.

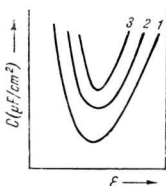


Fig. 5.29. Variația capacității stratului dublu cu natura anionului pentru sărurile de Na:

1 — NaCl; 2 — NaBr; 3 — NaI.

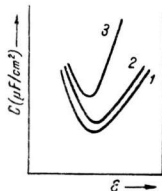


Fig. 5.30. Variația capacității stratului dublu cu natura anionului pentru sărurile de K:

1 — KCl; 2 — KI; 3 — NaCl + KCl (1 : 1)

Studiile asupra interfeței metal-săruri topite sînt de dată relativ recentă. Dificultățile tehnice în măsurătorile de electrocapilaritate și capacitate a stratului dublu, au fost în mare parte depășite. Capacitatea stratului dublu s-a măsurat pentru următoarele metale lichide: Al, Sb, Bi, Cd, Ga, In, Pb, Ag, Te, Tl, Sn. Curbele capacitate-potențial (fig. 5.28) au alură simetrică în raport cu minimumul, pentru majoritatea metalelor, iar integrarea acestora duce la rezultate ce sînt în bună concordanță cu cele obținute prin măsurarea directă a tensiunii interfaciale. Capacitatea depinde în mare măsură de natura anionului la sărurile de Li și Na, (fig. 5.29) dar în mult mai mică măsură la sărurile de K și Cs (fig. 5.30). Explicația ar consta în aceea că anionii de halogenură  $X^-$  studiați sînt mult mai voluminoși decît cationii  $Li^+$  și  $Na^+$  și deci repulsia lor mutuală trebuie să fie însemnată. În schimb, cationii  $K^+$  și  $Cs^+$  au raze ionice mult mai apropiate de cele ale anionilor  $X^-$ , ceea ce duce la micșorarea repulsiei dintre anionii  $X^-$  din molecule diferite. Diferența dintre grupul Li-Na și K-Cs se remarcă și în coeficientul de temperatură al capacității la minimumul curbei capacitate-potențial:  $0,11 \mu F/cm^2$  și respectiv  $0,033 \mu F/cm^2$

pentru fiecare grad centigrad. Aceste observații sînt deosebit de importante și pot constitui puncte de plecare pentru interpretări cantitative viitoare.

## 5.2.6 FENOMENE ELECTROKINETICE.

La descrierea stratului dublu electric s-a considerat că faza de volum, care cuprinde zona difuză, este nemiscată în raport cu interfața metal (sau în general solid)-electrolit. Dacă între aceste faze se produce o mișcare, la interfață apar fenomene electrokinetice, cunoscute sub denumirile de electroosmoză, electroforeză, potențial de curgere și potențial de sedimentare. Acestea au o deosebită importanță în studiul sistemelor coloide (microeterogene), unde se și tratează pe larg\*. De aceea, aici ne vom limita doar la succinta lor caracterizare și la relevarea unor aplicații mai importante.

Electroosmoza apare în urma deplasării fazei lichide în raport cu solidul, într-o capilară, într-un sistem de capilare sau într-un corp poros prin aplicarea unui câmp electric exterior. Între debitul volumetric  $V$  al lichidului și potențialul electrokinetic  $\zeta$  există următoarea egalitate:

$$V = \frac{D \mathcal{S} \zeta}{4 \pi \eta}, \quad (5.115)$$

unde  $\mathcal{S}$  este intensitatea câmpului electric aplicat,  $D$  — constanta dielectrică și  $\eta$  — coeficientul de vîscozitate al lichidului. Expresia poate servi la determinarea potențialului electrokinetic.

Electroforeza constă în deplasarea suspensiilor, emulsiilor sau solurilor în mediul de dispersie, sub acțiunea unui câmp electric. Fenomenul se explică prin decompensarea sarcinilor electrice din jurul particulei coloide în urma deplasării sarcinilor din zona difuză mobilă a stratului dublu electric spre unul din polii câmpului electric aplicat și este asemănător cu efectul electroforetic menționat la teoria conductibilității soluțiilor de electroliți a lui Debye-Hückel; în cazul dispersiilor coloide, însă, toate particulele au sarcini de același semn.

Viteza electroforetică absolută (mărime similară mobilității sau vitezei de migrare absolute a ionilor),  $u$ , nu depinde de sarcina particulei și nici de dimensiunile ei:

$$u = \frac{D \zeta}{4 \pi \eta} \quad (5.116)$$

Ea este influențată de tăria ionică a soluției și de adsorbția specifică a ionilor, prin intermediul potențialului electrokinetic. Spre deosebire de ioni,  $u$  își poate schimba semnul, o dată cu potențialul zeta, prin adaos de substanțe ionice în soluție sau modificarea concentrației.

Atunci cînd lichidul se presează printr-o capilară sau un corp poros, la capetele acestora se constată o diferență de potențial ce poartă numele

\* v. E. Chifu, *Chimie Coloidală*. E. D. P. București, 1969.

de potențial de curgere. Fenomenul, invers electroosmozei, se datorează aglomerării sarcinilor din stratul difuz, antrenate cu lichidul care suferă presiunea. Potențialul de curgere  $\varepsilon_c$  se exprimă prin egalitatea :

$$\varepsilon_c = \frac{\Delta p D \zeta}{4 \pi \eta \lambda} \quad (5.117)$$

unde:  $\Delta p$  este diferența de presiune existentă la capetele capilarei (sau a corpului poros), iar  $\lambda$  — conductivitatea soluției.

Cînd particulele solide dispersate într-un lichid se depun sub efectul cîmpului gravitațional sau centrifugal, se măsoară o diferență de potențial între două puncte aflate la înălțimi diferite în coloana de lichid. Diferența de potențial  $\varepsilon_s$  se numește potențial de sedimentare, apare în urma unui fenomen invers electroforezei și este legat de potențialul electrocinetic prin egalitatea :

$$\varepsilon_s = \frac{D \zeta}{3 \eta \lambda} r^2 (d_1 - d_2) g c \quad (5.118)$$

unde  $r$  este raza particulelor, avînd densitatea  $d_1$ ;  $g$  — accelerația gravitațională;  $d_2$  — densitatea lichidului, iar  $c$  — concentrația particulelor care sedimentează.

Fenomenele electrocinetice au interesante aplicații industriale. Una din acestea constă în purificarea caolinului în industria porțelanului sau a produselor farmaceutice. Pentru a-l debarasa de principalele impurități care-l însoțesc ( cuarț, mică, fier, carbonați), caolinul brut este peptizat într-o soluție de silicat de sodiu, pentru a obține o suspensie coloidală ale cărei particule sînt încărcate negativ. Impuritățile grosiere precipită, dar caolinul este atît de fin divizat încît separarea lui prin filtrare sau centrifugare este imposibilă ; aceasta reușește numai pe cale electroforetică. Particulele mici de caolin se îndreaptă spre polul pozitiv unde se descarcă parțial sau total și se depun formînd un strat compact, deshidratat prin electroosmoză. Printr-un dispozitiv adecvat caolinul purificat este apoi separat, iar lichidul reintrodus în circuit pentru a peptiza o nouă cantitate de caolin ; cîmpul este de 70—80 V/cm, iar densitatea de curent de cca 10 mA/cm<sup>2</sup>.

Pe această cale se purifică și alți produși, cum ar fi argilele, oxidul de zirconiu, acidul silicic amorf, foarte utilizați în industria farmaceutică.

Menționăm că electroosmoza servește la presarea soluției de tananți prin porii pieilor supuse tăbăcirii.

Electroforeza se aplică la separarea cauciucului sau la fixarea lui pe metal. La fel se pot realiza și acoperirile cu grafit sau depunerea pe metale a unor vopsele (v. secț. 6.6.4).

Separarea electroforetică, a proteinelor în special pe hîrtie este exploatată atît în scopuri analitice cît și preparative ; în analiză, ea oferă informații necesare pentru stabilirea sau precizarea diagnosticului.

## 5.3 ELECTROSORBȚIA

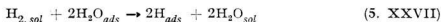
### 5.3.1 CARACTERISTICELE ELECTROSORBȚIEI

Adsorbția la interfața electrod-electrolit se numește electrosorbție. Termenul de electrosorbție a fost introdus în 1966 de G i l e a d i. Pentru caracterizarea electrosorbției se va lua ca referință adsorbția la interfața solid-gaz.

Cea mai importantă deosebire dintre adsorbția din faza gazoasă și adsorbția din soluție constă în aceea că suprafața substratului este liberă în primul caz și solvatată în cel de-al doilea. Adsorbția din faza gazoasă se poate reprezenta prin formarea unei legături cu unul sau mai multe centre de pe suprafață, însoțită eventual de disocierea moleculei care se adsoarbe :



Intermediarul  $\text{H}_{2,ads}$  reprezintă o moleculă adsorbită fizic. În multe cazuri acesta este nestabil și trece, pe seama unei energii de activare, în starea finală, disociată și chemisorbită. Comparativ, adsorbția hidrogenului dizolvat în apă, pe suprafața electrodului, se poate reprezenta prin :



În paralel, poate avea loc și adsorbția fizică prin înlocuirea uneia sau a două molecule de apă, dar în cazul hidrogenului ea nu este energetic favorizată. Prin urmare, adsorbția pe o suprafață solvatată este o reacție de substituție, iar entalpia liberă de adsorbție standard  $\Delta_{ads} G^\circ$  ce o însoțește, se obține prin diferența dintre entalpiile libere de adsorbție ale solvatului (care se adsoarbe) și a solventului (care este deplasat). Corespunzător procesului (5.XXVII) avem deci :

$$\Delta_{ads} G^\circ = (2\mu_{\text{H},ads}^\circ - \mu_{\text{H}_2,sol}^\circ) - 2(\mu_{\text{H}_2\text{O},ads}^\circ - \mu_{\text{H}_2\text{O},sol}^\circ) = \Delta_{ads} G_{\text{H}_2}^\circ - 2\Delta_{ads} G_{\text{H}_2\text{O}}^\circ \quad (5.119)$$

Deci, în condiții egale, moleculele vor tinde să se adsoarbă astfel la suprafața electrodului încît să fie înlocuite cît mai puține molecule de apă. Această tendință poate fi însă compensată de o mare energie de legătură cu suprafața, într-una din configurațiile posibile.

Adsorbția depinde, de asemenea, de solubilitatea adsorbantului ; cu cît e mai mică solubilitatea, cu atît e mai mare adsorbabilitatea. Cercetări sistematice efectuate asupra unor clase de substanțe organice au relevat o legătură liniară între entalpia liberă de adsorbție standard și entalpia liberă de solvatare, în interiorul fiecărei serii omoloage. Din comparația adsorbției pe mercur a butanului și a fenolului dizolvat în apă și metanol, s-a observat o concentrație superficială (și deci un coeficient de adsorbție) mai mare în cazul soluțiilor apoase (solvații aveau aceeași concentrație molară de volum). Este mai mult ca probabil ca apa să fie mai puternic adsorbită pe suprafața mercurului decît metanolul, grație dimensiunilor mai reduse și momentului dipolar mai mare. Prin urmare, considerînd numai entalpia liberă de adsorbție, ar trebui să fie favorizată adsorbția

din metanol. Constatarea experimentală, în dezacord cu aceasta, nu poate avea la bază altă explicație decât solubilitatea mult mai mică a ambilor alcooli în apă. Pentru a evita efectul diferenței de solubilitate, coeficientul de adsorbție trebuie comparat la aceeași valoare a activității solvatului în soluție, raportată la adsorbantul pur, avînd activitatea unitară.

O altă diferență importantă între cele două tipuri de adsorbție constă în posibilitatea controlării electrosorbției prin diferența de potențial de la interfața electrod-electrolit. În acest fel sistemul dobîndește un nou grad de libertate; constanta de echilibru a procesului de adsorbție poate fi modificată la temperatură și concentrație de volum constante, iar adsorbția se poate urmări prin măsurători electrice. Experimental, aceasta se poate evidenția prin cunoscutele curbe clopot, care reflectă dependența de potențial a gradului de acoperire. În soluții minuțios purificate, este posibilă obținerea de suprafețe reproductibile, dacă potențialul electrodului este bine stabilit sau variază după un ciclu programat.

Dependența adsorbției de potențialul electrodului, explică și denumirea de electrosorbție.

Adsorbția pe electrozi a unor specii ionice sau neutre (radicali) este nelipsită în procesele de electrod. Uneori în aceeași reacție globală pot apărea mai multe specii adsorbite; astfel sînt de exemplu speciile OH, O sau HO<sub>2</sub>, în reacția de descărcare a oxigenului sau NH<sub>2</sub>, NH și N în reacția de oxidare a amoniacului. Etapele de adsorbție pot să preceadă procesul de transfer de sarcină, așa cum se întîmplă de pildă la ionizarea hidrogenului, unde adsorbția moleculelor de H<sub>2</sub> se soldează și cu disocierea în atomi, sau pot să urmeze după etapa de transfer de sarcină, așa cum se întîmplă la electrosinteza K<sup>+</sup>OH cu radicalii CH<sub>3</sub>COO sau CH<sub>3</sub>.

Concentrația speciilor adsorbite la suprafața electrodului depinde de potențial și de vitezele etapelor producătoare și consumatoare ale acestor specii.

### 5.3.2 ECUAȚII DE STARE ȘI IZOTERME DE ADSORBȚIE

Dintre toate variabilele intensive ale unui sistem cum sînt presiunea, temperatura, densitatea etc., numai cîteva sînt independente. Pentru o fază pură, fixînd valorile a două variabile intensive, se poate determina univoc starea sistemului. Orice ecuație care leagă între ele 3 variabile intensive, se numește ecuație de stare. De obicei ca variabile se aleg presiunea, temperatura și volumul molar sau concentrația molară, dar aceasta nu exclude alegerea unor variabile ca densitatea, indicele de refracție, constanta dielectrică etc. Cea mai simplă ecuație de stare pentru o fază de volum este legea generală a gazelor:

$$pV = nRT, \quad (5.120)$$

a cărei corespondentă pentru gazul ideal bidimensional este:

$$\pi s = nRT, \quad (5.121)$$

unde  $\pi$  este presiunea superficială, iar  $s$  aria suprafeței. Presiunea superficială este legată de tensiunea superficială  $\sigma$  prin ecuația:

$$\pi = -(\sigma - \sigma_{\Gamma=0}), \quad (5.122)$$

sau

$$d\pi = -d\sigma, \quad (5.122 \text{ a})$$

unde  $\sigma_{\Gamma=0}$  este tensiunea superficială a stării de referință, aleasă pentru concentrația superficială  $\Gamma$  nulă. Semnul contrar al celor două membre ale ecuațiilor (5.122) și (5.122 a) exprimă tendințele contrare la care este supusă aria suprafeței: presiunea superficială tinde s-o mărească, pe cînd tensiunea superficială s-o micșoreze. Travaluiul reversibil cheltuit pentru mărirea ariei suprafeței la presiune constantă  $\pi$  este:

$$W = \pi ds, \quad (5.123)$$

deoarece variația corespunzătoare de entalpie liberă este:

$$\Delta G = \sigma ds. \quad (5.124)$$

Cum prin definiție

$$\Delta G = -W, \quad (5.125)$$

rezultă că

$$\sigma ds = -\pi ds. \quad (5.126)$$

Ecuația de stare în două dimensiuni reprezintă o legătură între tensiunea superficială sau entalpia liberă superficială și concentrația superficială. De altă parte, izoterma de adsorbție este o relație între concentrația superficială și potențialul chimic sau electrochimic, exprimat în general ca o funcție de concentrația fazei de volum  $c$  sau de potențialul  $\varepsilon$  de la interfață:

$$\theta = Kf(c) \quad \text{sau} \quad \theta = K'f(\varepsilon) \quad (5.127)$$

Proprietățile interfeței pot fi descrise la fel de bine, fie de o ecuație de stare bidimensională adecvată, fie de o izotermă. Alegerea este în mare măsură o problemă convențională și depinde de obicei de datele obținute experimental. Astfel, de exemplu în adsorbția gazelor și asemănător în studiul adsorbției pe un electrod solid, concentrația superficială a gazului adsorbit se obține direct ca o funcție de concentrația de volum sau de presiune, iar adsorbția se poate exprima sub forma unei izoterme.

Transformarea ecuației de stare, conținînd  $\sigma$  sau  $\pi$  ca funcție de concentrația superficială  $\Gamma$  ( $= n/s$ ), în izoterma corespunzătoare, unde  $\Gamma$  apare ca o funcție de activitatea de volum  $a$ , este posibilă dacă se folosește izoterma lui Gibbs. În condiții de temperatură și presiune constante, aceasta se scrie sub forma:

$$d\sigma = -\Sigma \Gamma_i d\mu_i. \quad (5.128)$$

Să considerăm ecuația de stare a gazului bidimensional ideal:

$$\pi = \Gamma RT, \quad (5.129)$$

din care rezultă:

$$\frac{d\pi}{d\Gamma} = -\frac{d\sigma}{d\mu} = RT. \quad (5.130)$$

Pentru sistemul binar în care planul de referință ales ca  $\Gamma_{solvat} = 0$  ecuația (5.48) se scrie sub forma:

$$-\frac{d\sigma}{d\mu} = \Gamma. \quad (5.131)$$

Din ecuațiile (5.130) și (5.131) se obține:

$$\Gamma = K'a, \quad (5.132)$$

sau

$$\theta = Ka, \quad (5.133)$$

unde  $\theta$  este acoperirea parțială (fracția de acoperire) exprimată prin raportul  $\Gamma/\Gamma_{\infty}$ ;  $K'$  o constantă;  $K = K'/\Gamma_{\infty}$ , iar  $\Gamma_{\infty}$  concentrația superficială maximă sau de saturație.

Să considerăm acum adsorbția în condiții *L a n g m u i r*; pornind de la ecuația:

$$\frac{\theta}{1 - \theta} = Ka \quad (5.134)$$

și diferențiind, se obține:

$$d \ln a = d \ln \left( \frac{\theta}{1 - \theta} \right) = \frac{1}{\theta(1 - \theta)} d\theta. \quad (5.135)$$

Ecuația (5.131) se mai poate scrie și sub forma:

$$-\frac{d\sigma}{d \ln a} = RT\Gamma. \quad (5.131 \text{ a})$$

Prin combinarea ecuațiilor (5.135) și (5.134 a) se obține:

$$-d\sigma = \Gamma_{\infty} RT(1 - \theta)^{-1} d\theta. \quad (5.136)$$

Integrând și ținând seama de relația (5.122 a) avem:

$$\pi = -(\sigma - \sigma_{\theta=0}) = -RT\Gamma_{\infty} \ln(1 - \theta). \quad (5.137)$$

Ultima egalitate este o ecuație de stare bidimensională, aplicabilă sistemelor care se supun izotermei lui *L a n g m u i r*.



În calculele de mai sus, am introdus o aproximație, și anume că mărirea  $\Gamma$  folosită în ecuațiile de stare ( $= n/s$ ) și în izoterme ( $= \Gamma_{\infty} \theta$ ) reprezintă concentrația superficială a substanței adsorbite; în ecuația lui G i b b s cu același simbol, se notează excesul superficial. Eroarea introdusă prin această aproximație este însă mică în toate cazurile practice.

### 5.3.2.1 Izoterma lui Langmuir

Izoterma de adsorbție a lui L a n g m u i r se poate considera azi ca o lege clasică a chimiei fizice. Ea se bucură de toate calitățile unei ecuații clasice și anume: se bazează pe un model clar și simplu, se poate deduce cu ușurință pe baza unor principii generale, este utilă și azi, după mai bine de 50 de ani de la deducerea ei și va fi folositoare mulți ani de aici înainte, dar cu excepția unei prime aproximații, ea este rar aplicabilă sistemelor reale. Aceasta, pentru că rareori se găsesc întrunite condițiile pe care le reclamă, și anume:

- imobilitatea adsorbatului, adică adsorbția să se facă pe centre fixe; condiția e satisfăcută atunci când  $RT < U$ , unde  $U$  reprezintă valoarea molară a energiei de activare a difuziei superficiale;

- absența oricărei eterogenități pe suprafața adsorbantă și deci excluderea interacțiunilor laterale, ceea ce presupune independența entalpiei și a entalpiei libere de adsorbție, de gradul de acoperire al suprafeței;

- menținerea echilibrului dintre faza superficială și cea de volum până la acoperirea completă a suprafeței ( $\theta = 1$ ) cu un strat monomolecular adsorbit.

Forma simplă a izotermei lui L a n g m u i r exprimată prin ecuația (5.134) este valabilă pentru adsorbția unor particule mici, fiecare ocupând un singur centru pe suprafața adsorbantă. În cazul adsorbției disociative (de exemplu  $H_2$  este în echilibru cu  $2H_{ads}$ ) se utilizează o formă ușoară modificată a aceleași izoterme și anume:

$$\frac{\theta}{1 - \theta} = K^{1/2} p^{1/2}. \quad (5.134 a)$$

Dacă molecula se adsoarbe pe  $n$  centre de pe suprafață, fără să se disocieze, se poate folosi forma aproximativă:

$$\frac{\theta}{(1 - \theta)^n} = K p. \quad (5.134 b)$$

Termenul  $(1 - \theta)^n$  din această ecuație provine din considerarea probabilității de a găsi  $n$  centre adiacente pe suprafața vacantă. Dacă probabilitatea fiecărui centru de a fi vacant este  $(1 - \theta)$ , iar centrele au o distribuție dezordonată (la întâmplare), rezultă ecuația (5.134 b). Totuși la adsorbția moleculelor mari, centrele de pe suprafață nu sînt dezordonat ocupate, deoarece s-a presupus ocuparea lor în grupe de  $n$  centre, avînd o configurație determinată, depinzînd de structura moleculei adsorbite. De aceea, ocuparea centrelor adiacente nu este indefinit independentă în aceste condiții. Se poate ilustra aceasta, cu cel mai simplu caz,

cînd  $n = 2$ . Să presupunem o dispunere patrată a centrelor (fig. 5.31); centrul numerotat cu 1 poate fi ocupat în cele patru feluri echivalente: 1,2; 1,3; 1,4; 1,5. Probabilitatea ca de exemplu centrul 2 să fie liber (vacant) este  $(1 - \theta)$ . Dar dacă se știe că centrul 2 este neocupat, unul din cele 4 feluri echivalente de ocuparea centrului 1 este eliminat și probabilitatea de a-l găsi vacant este mai mare decît  $(1 - \theta)$ . Cu alte cuvinte, dacă centrele de pe suprafață sînt ocupate în grupuri de cîte două, centrele vacante vor tinde să apară și ele mai de grabă grupate decît dezordonat. Aceasta necesită corectarea ecuației (5.134 b); corecția pentru cazul  $n = 2$  a fost prelucrată de Miller, în 1939.

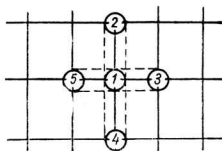
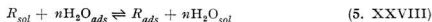


Fig. 5.31. Adsorbție pe  $n$  centre adiacente.

Adsorbția de tip *Langmuir* din soluții a unor molecule organice pe suprafețe electrodice, a fost studiată de Bockris și Swinkles (1964). Considerînd adsorbția moleculei  $R$  ca o reacție de substituție a  $n$  molecule de  $H_2O$  adsorbite:



constanta de echilibru, exprimată prin fracțiile molare se scrie:

$$K = \frac{x_{R, ads} x_{H_2O, sol}^n}{x_{H_2O, ads}^n x_{R, sol}} \quad (5.138)$$

În soluție diluată

$$x_{H_2O, sol} \approx 1 \quad \text{și} \quad x_{R, sol} \approx \frac{c_R}{55,4} \quad (5.139)$$

iar pe suprafață

$$x_{R, ads} = \frac{\Gamma_R}{\Gamma_R + \Gamma_{H_2O}} \quad (5.140)$$

unde  $\Gamma_R$  și  $\Gamma_{H_2O}$  reprezintă concentrația superficială a speciilor luate în discuție. Folosind relațiile:

$$\Gamma_R = \theta \Gamma_{\infty, R} \quad \text{și} \quad \Gamma_{\infty, H_2O} = n \Gamma_{\infty, R} \quad (5.141)$$

se obține:

$$x_{R, ads} = \frac{\theta \Gamma_{\infty, R}}{\theta \Gamma_{\infty, R} + (1 - \theta) n \Gamma_{\infty, R}} = \frac{\theta}{\theta + (1 - \theta)n} \quad (5.142)$$

și

$$x_{H_2O, ads} = \frac{n(1 - \theta)}{\theta + n(1 - \theta)} \quad (5.143)$$

Introducând în (5.138) valorile fracțiilor molare exprimate prin ecuațiile (5.139) — (5.143) se obține :

$$\frac{\theta}{(1-\theta)^n} \cdot \frac{[\theta + n(1-\theta)]^{n-1}}{n^n} = \frac{c_R}{55,4} K \quad (5.144)$$

Să comparăm ecuațiile (5.144) și (5.144 b) ; după cum este de așteptat, constanta de echilibru este modificată cu mărimea  $n^n$ , dependentă de numărul de molecule de apă substituite. Termenul  $[\theta + n(1-\theta)]^{n-1}$ , dependent de acoperire, nu este deosebit de important și variația sa cu  $\theta$  e mică în comparație cu variația termenului  $(1-\theta)^n$ , în special la acoperiri mari. Ecuației (5.144) i se impun aceleași limitări ca și ecuației (5.134 b), provenite din gradul de ordonare (lipsă de dezordine) în ocuparea centrelor de pe suprafață în grupe de  $n$ , avînd o configurație determinată.

### 5.3.2.2 Izoterma lui Temkin

Acumularea de date experimentale, care demonstrează variația entalpiei și a entalpiei libere de adsorbție cu acoperirea, constituie dovezi ale eterogenității suprafețelor și ale unor efecte de interacțiune între particulele adsorbite, ignorate la deducerea izotermei lui *Langmuir*. Dacă se consideră că  $\Delta_{ads} H$  sau  $\Delta_{ads} G$  variază liniar cu acoperirea, se ajunge la o nouă izotermă, care reflectă realitatea într-o mai bună măsură. Variația liniară a entalpiei libere cu acoperirea se exprimă cu egalitatea :

$$\Delta_{ads, \theta} G = \Delta_{ads, 0} G + r\theta, \quad (5.145)$$

unde  $\Delta_{ads, \theta} G$  și  $\Delta_{ads, 0} G$  sînt entalpiile libere de adsorbție corespunzătoare la acoperiri oarecare  $\theta$  și respectiv la acoperire nulă, iar  $r$  așa-numitul parametru *Temkin*, care se exprimă în unități  $RT$  ( $f = r/RT$ ) și considerat independent de acoperire.

Izoterma lui *Temkin* se obține pornind de la presupunerea că suprafața este alcătuită dintr-un mare număr de zone de mică suprafață,  $ds$ , izoterma lui *Langmuir* fiind aplicabilă pe fiecare în parte ; dar fiecare element de suprafață se caracterizează printr-o entalpie liberă de adsorbție, variabilă treptat de la un element  $ds$  la altul. La expresia izotermei lui *Temkin* se obține integrînd ecuația :

$$d\theta = \frac{K(s)c}{1 + K(s)c} ds, \quad (5.146)$$

unde  $K(s)$  este constanta de echilibru a procesului de adsorbție de-a lungul întregii suprafețe, pentru  $s$  variînd de la 0 la 1. Exprimînd pe  $K(s)$  sub forma :

$$K(s) = K_0 \exp(-rs/RT). \quad (5.147)$$

T e m k i n obține egalitatea :

$$\theta = \frac{1}{f} \ln \left[ \frac{1 + K_0 c}{1 + K_0 c \exp(-f)} \right]. \quad (5.148)$$

Izoterma lui T e m k i n este mai bine cunoscută sub forma aproximativă :

$$\theta = \frac{1}{f} \ln (K_0 c), \quad (5.149)$$

aplicabilă concentrațiilor și acoperirilor mijlocii. Ea se obține din ecuația (5.148) atunci când  $f$  ia valori foarte mari și când sînt satisfăcute inegalitățile :

$$K_0 c \exp(-f) \ll 1 \quad (5.150)$$

și

$$K_0 c \gg 1. \quad (5.151)$$

În domeniul concentrațiilor foarte mici,

$$\theta = \frac{1}{f} \ln (1 + K_0 c) = \frac{K_0 c}{f} \quad (5.152)$$

iar în cel al concentrațiilor foarte mari,  $\theta \rightarrow 1$ .

### 5.3.2.3 Izoterma lui Frumkin

Pentru a lua în considerare interacțiunile la mare distanță, care se manifestă între speciile adsorbite, F r u m k i n a sugerat modificarea ecuației de stare (5.137) corespunzătoare izotermei lui L a n g m u i r, astfel încît să ia forma :

$$\pi = - R T \Gamma_{\infty} \left[ \ln(1 - \theta) - \frac{f \theta^2}{2} \right]. \quad (5.153)$$

Izoterma care îi corespunde este de forma :

$$\left( \frac{\theta}{1 - \theta} \right) \exp(f\theta) = K a. \quad (5.154)$$

Aceasta este o izotermă generală valabilă, de la care se obțin, ca două cazuri speciale, izotermele lui L a n g m u i r și cea logaritmică a lui T e m k i n.

Din relația (5.145) se poate obține egalitatea :

$$K = K_0 \exp(-f\theta). \quad (5.147 a)$$

Introducînd această valoare a constantei de echilibru în izoterma lui L a n g m u i r, se obține ecuația (5.154). Prin urmare, izoterma lui F r u m k i n se poate obține direct, dacă se presupune că entalpia liberă de adsorbție aparentă  $\Delta_{ads, \theta} G$  variază liniar cu acoperirea. S-a calculat variația acoperirii parțiale  $\theta$  cu potențialul chimic din faza de volum a speciilor care se adsorb, din izoterma lui F r u m k i n ecuația (5.154), pentru diverse valori ale parametrului  $f$  (fig. 5.32). Deoarece termenul  $\theta/(1 - \theta)$  nu se

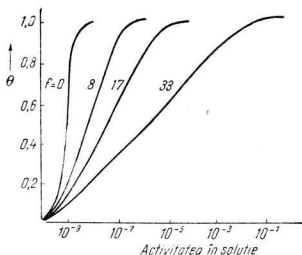


Fig. 5.32. Variația acoperirii cu activitatea, calculată din ecuația (5.154).

poate neglija în comparație cu  $\exp(f\theta)$ , pentru orice valoare a lui  $\theta$  (decît în cazul unor valori irațional de mari ale lui  $f$ ), regiunea în care  $\theta$  variază esențial liniar cu logaritmul lui  $a$  este cuprins între 0,1 — 0,2 și 0,8 — 0,9 în funcție de valoarea lui  $f$ . Modificarea potențialului chimic corespunzătoare unei variații a lui  $\theta$  de la 0,2 la 0,8 este caracteristică pentru valoarea numerică a lui  $f$  și de aceea se poate folosi pentru măsurarea experimentală a acestuia.

În general  $\Delta_{ads, \theta} G$  are valori absolute din ce în ce mai mici, pe măsură ce  $\theta$  crește. Un caz interesant ni-l oferă variația inversă, adică creșterea în valoare absolută a lui  $\Delta_{ads, \theta} G$  cu acoperirea  $\theta$ . O asemenea comportare se poate datora unor forțe intense de atracție între speciile adsorbite, care sînt, foarte probabil, prezente în adsorbția competitivă. Substituind pe  $-f$  cu  $f$  în relația (5.154) se obține:

$$\frac{\theta}{1 - \theta} \exp(-f\theta) = Ka. \quad (5.155)$$

Să observăm că în membrul stîng, primul factor al produsului crește, cu  $\theta$ , pe cînd cel de al doilea scade. Diferențiind membrul stîng și egalînd cu 0, aflăm relația:

$$\theta = 0,5 \pm 0,5 \left(1 - \frac{4}{f}\right)^{1/2} \quad (5.156)$$

Pentru valori  $f > 4$  reprezentarea lui  $\theta$  în funcție de  $\ln a$ , prezintă un maxim și un minim la valori ale lui  $\theta$  date de ecuația (5.156). Domeniul în care acoperirea scade cu creșterea potențialului chimic este nestabil și este irealizabil experimental. Astfel, pe măsură ce acoperirea atinge punctul unde  $\theta = 0,5 - 0,5 \left(1 - \frac{4}{f}\right)^{1/2}$ , se va înregistra o creștere discontinuă spre valori apropiate de unitate, datorită unei mici creșteri a potențialului chimic. Dacă  $a$  descrește treptat, schimbarea rapidă în acoperirea  $\theta$  se va înregistra atunci cînd  $\theta = 0,5 + 0,5 \left(1 - \frac{4}{f}\right)^{1/2}$ .

S-a menționat că entalpia de adsorbție diferă la adsorbția din lichide în comparație cu adsorbția din fază gazoasă, cu o valoare ce depinde de numărul moleculelor de solvent înlocuite pe suprafața adsorbantă și de energia de interacțiune cu suprafața. Solventul poate avea un efect pronunțat asupra entropiei de adsorbție. Astfel, de obicei entropia descresce în timpul adsorbției din faza gazoasă, din cauza micșorării cu 2 — 3 a numărului gradelor de libertate de translație. În timpul adsorbției din soluție, liberându-se mai multe molecule de solvent pentru fiecare moleculă adsorbită, este de scontat o creștere de entropie, ceea ce s-a și observat în mai multe sisteme.

Efectul solventului asupra vitezei cu care se modifică entalpia liberă aparentă de adsorbție standard cu acoperirea constituie o problemă complexă și depinde de mecanismul care cauzează variația lui  $\Delta_{ads, \theta} G^\circ$  cu  $\theta$  și de tipul de legătură dintre moleculele de solvent și suprafață. În general, solventul va acționa nivelator și va tinde să micșoreze variația lui  $\Delta_{ads, \theta} G^\circ$  cu  $\theta$ . Pe o suprafață eterogenă, moleculele de solvent se pot adsorbi ireversibil pe centrele cele mai active, făcându-le pe acestea indisponibile pentru adsorbție. Centrele active pot avea energie de adsorbție mare atât pentru solvat cât și pentru solvent, în schimb centrele inactive au o energie de adsorbție mică pentru ambele tipuri de molecule și din această cauză, pe măsură ce  $\theta$  crește entalpia de adsorbție tinde să devină din ce în ce mai puțin dependentă de natura centrului de adsorbție.

La discuția izotermelor de adsorbție obișnuite acoperirea se consideră dependentă de activitatea de volum  $a$  sau de potențialul chimic  $\mu$  al adsorbatului. În electrosorbție, locul potențialului chimic este preluat de potențialul electrochimic  $\bar{\mu}$ .

### 5.3.3 ELECTROSORBȚIA SUBSTANȚELOR ORGANICE

Măsurătorile de adsorbție a substanțelor organice pe electrozii metalici urmăresc obținerea următoarelor informații:

- în ce condiții de temperatură, presiune sau concentrație și pe ce metal are loc chemisorbția compuşilor în discuție;

- stoechiometria procesului de adsorbție: este sau nu chemisorbția disociativă sau asociativă; câte centre sînt angajate la adsorbția unei molecule; specia adsorbită se bucură sau nu de mobilitatea superficială; care este natura legăturii?

- energetica adsorbției; constanta de echilibru și variația ei cu temperatura; entalpia liberă, entalpia și entropia de adsorbție precum și variațiile lor cu temperatura; energia de activare a adsorbției și tăria legăturii dintre adsorbat și substrat;

- izoterma de adsorbție; dependența acoperirii de concentrație, temperatură, potențial, solvent și  $pH$ ;

- cinetica adsorbției; viteza adsorbției și a desorbției.

Din păcate, în actualul stadiu, măsurătorile experimentale nu epuizează decît în mică măsură dezideratele de mai sus. Mai bine cunoscută este adsorbția pe electrozi metalici lichizi, în special pe Hg, grație proprietăților

deosebire ale acestuia. Trebuie menționat faptul că și la adsorbția gazoasă informațiile acumulate sînt, adeseori, departe de a fi complete.

Multe din metodele folosite în adsorbția gazoasă nu se pot aplica în electrosorbție, din cauza diferenței fundamentale ce există între cele două feluri de adsorbție. Electrosorbția se poate studia prin una din următoarele metode: culometrică, măsurători de capacitate diferențială a straturilor dublu, cu trăsori radioactivi, spectrofotometrică, elipsometrică. Au fost de asemenea încercate spectroscopia în IR, folosind reflexia internă și rezonanța electronică de spin, fără a se obține însă succese prea mari. Deoarece fiecare metodă are limitări bine determinate, nu se poate preciza care din ele ar fi cea mai bună. De aceea, la studierea unui sistem dat, este indicată folosirea tuturor metodelor disponibile, pentru a se obține informații complementare.

O cerință esențială în cercetarea adsorbției, nu întotdeauna îndeplinită, constă în realizarea unor condiții care să permită reproductibilitatea atât a substratului cît și a adsorbatului. De aceea așa cum studierea gazelor a impus realizarea prealabilă a vacuumetrelor de ionizare Bayard-Alpert, tot așa, măsurătorile de adsorbție din soluție pe electrozi solizi, necesită punerea la punct a unor metode de determinare sau de control a purității soluțiilor și a curățeniei electrozilor.

Literatura conține încă foarte puține date asupra energeticii de adsorbție pe electrozi metalici solizi. Cele mai multe date se referă la adsorbția pe Hg. Se constată că valorile entalpiilor la adsorbția din soluții sînt net mai pozitive decît cele corespunzătoare adsorbției de fază gazoasă (v. tabelul 5.7), ceea ce e de așteptat pentru reacțiile de substituție.

Din analiza datelor cuprinse în tabele 5.8 — 5.10 rezultă că în majoritatea cazurilor, diferența dintre entalpiile libere electrochimice de adsorbție standard  $\Delta_0 \bar{G}^\circ$  sînt în general mai mici decît 5 kcal/mol și rareori înregistrează valori cuprinse între 5 și 10 kcal/mol.

Entalpia liberă electrochimică de adsorbție standard netă a fost definită prin relația

$$\Delta_{0, \text{netă}} \bar{G}_0 = (\bar{\mu}_A^{0, \text{ads}} - \bar{\mu}_A^{0, \text{sol}}) - n(\bar{\mu}_{\text{H}_2\text{O}}^{0, \text{ads}} - \bar{\mu}_{\text{H}_2\text{O}}^{0, \text{sol}}), \quad (5.157)$$

Tabelul 5.7

Entalpii de adsorbție (kcal/mol)

Adsorbant	Adsorbție din fază gazoasă			Electrosorbție		
	H <sub>2</sub>	CO	C <sub>2</sub> H <sub>4</sub>	H <sub>2</sub>	C <sub>2</sub> H <sub>4</sub>	C <sub>6</sub> H <sub>6</sub>
W	-45	-82	-102			
Ni	-30	-42	- 58			
Fe	-32	-46	- 68			
Rh	-28		- 50	-18,5		
Pd	-26					
Pt				-18,5	0	+10
Cu		- 9	- 19			
Au		- 9	- 21			

Entalpia liberă de adsorbție netă pe Hg (kcal/mol)  
(HCl 0,1 N;  $\theta = 0,25$ ; Potențialul maxim electrocapilar)

Grupa funcțională grefată pe:	$n\text{-C}_4\text{H}_9$	$-\text{C}_4\text{H}_9$	$-\text{C}_{10}\text{H}_7$
OH	3,7	5,6	8,8
CHO	6,5	6,6	9,0
COOH	4,5	6,7	8,6
CN	4,5	6,0	
$\text{NH}_3^+$	2,9	3,9	7,3
SH	4,9	7,5	
$\text{SO}_3^-$	2,6	3,8	7-7,5
CO	$\sim 8$		

Tabelul 5.9

Entalpia liberă electrochimică de adsorbție a unor baze organice,  
pe Hg (kcal/mol) ( $\varepsilon = -600\text{mV}/\text{ECS}$ ;  $26^\circ\text{C}$ )

Adsorbatul	HCl 1N		KCl 1N	
	$\theta = 0,5$	$\theta = 0,25$	$\theta = 0,5$	$\theta = 0,25$
Piridină	2,5	4,8	3,3	
2-NH <sub>2</sub> -piridină	4,5	5,3	4,0	
2-Cl-piridină	3,5	5,6	5,3	5,9
1,2,3,6-tetrahidropiridină	3,7	4,6	4,5	
Piperidină	3,6	4,3	4,6	
Anilină	4,1		4,5	

Tabelul 5.10

Entalpia liberă electrochimică de adsorbție la potențialul adsorbției maxime,  
pe electrozi solizi (kcal/mol).

Electrodul	Adsorbatul				
	A	B	C	D	E
Ni	6,0	6,8			
Fe	7,0	6,6			
Cu	7,0	7,3			
Pd		6,2			
Pt	8,4	7,4	5,6	5,7-8,7	
Au	0,7*			6,1	<5,8

A: naftalen în  $\text{NaClO}_4$  1 N

B: *n* decilamină în  $\text{NaClO}_4$  0,9 N; NaOH 0,1 N

C: etilenă în  $\text{H}_2\text{SO}_4$  1 N

D: benzen în  $\text{H}_2\text{SO}_4$  1 N

E: ciclohexan în  $\text{H}_2\text{SO}_4$  1N

\*  $\text{H}_2\text{SO}_4$  1 N



unde  $\bar{\mu}_A^{\circ, ads}$  și  $\bar{\mu}_{H_2O}^{\circ, ads}$  sînt potențialele electrochimice standard ale adsorbatului și ale apei în stare adsorbită, referitoare la fracția molară unitară pe suprafața metalului;  $\bar{\mu}_A^{\circ, sol}$  și  $\bar{\mu}_{H_2O}^{\circ, sol}$  potențialele electrochimice standard ale adsorbatului și apei în soluție, atunci cînd fracțiile lor molare sînt unitare în soluție, iar  $n$  numărul de molecule de apă substituie.

Datele tabelului 5.9. s-au obținut din izoterma de adsorbție de tip *Langmuir*:

$$\frac{\theta}{1 - \theta} = \frac{c_A}{55,5} \exp(-\Delta_0 \bar{G}^0 / RT). \quad (5.158)$$

Efectul nivelator ce se constată în legătură cu energetica electrosorbției constituie o dovadă a influenței puternice pe care o exercită solvenul la fixarea adsorbatului din soluție. În acest sens electrosorbția este mult mai asemănătoare cu adsorbția gazoasă competitivă, în prezența vaporilor de apă.

Din cercetarea unui mare număr de date referitoare la adsorbția organică pe electrodul de Hg, se pot desprinde următoarele concluzii:

— maximul de adsorbție e în general ușor negativ față de *PIN* la molecule alifaticе și deplasat spre valori pozitive pentru cele aromatice. *PIN* e deplasat spre valori pozitive prin adsorbția de compuși alifatici și spre valori negative la adsorbția substanțelor aromatice. Deplasarea *PIN* se datorează substituiriі moleculelor organice cu dipolii apei;

— adsorbția moleculelor neutre este puternic micșorată de adsorbția competitivă a anionilor; aceștia însă pot favoriza adsorbția cationilor organici, prin diminuarea forțelor repulsive de pe suprafața adsorbtivă.

În general, moleculele alifaticе sînt orientate perpendicular (în picioare), în timp ce moleculele aromatice sînt fixate culcat pe suprafața electrodului metalic;

— entalpia liberă de adsorbție tinde spre valori mai negative cu acoperirea, pe suprafețe încărcate negativ și devine mai pozitivă cu acoperirea, pe suprafețe electrodice avînd sarcina netă pozitivă.

O comparare a curbelor de capacitate diferențială-potențial în prezența sarcinilor organice arată, în prima aproximație, o asemănare între cele obținute pe metale solide și pe Hg.

Unele corelări utile se pot face între stabilitatea compușilor organo-metalici ai metalelor tranziționale și proprietățile adsorbitive și catalitice în fază gazoasă ale acestora. Astfel, complecși  $\pi$  cu olefinele s-au obținut cu toate metalele grupei a VIII, dar tăria legăturii metal — olefină depinde în mare măsură de alți liganzi prezenți în complex. Toate metalele acestea adsorb olefine și manifestă activitate catalitică în hidrogenarea lor. Din păcate asemenea corelări nu se pot extinde și la electrosorbție. Foarte interesantă ar fi compararea unor regularități sau tendințe observate la adsorbția în fază gazoasă, obținute în prezența vaporilor de apă, adică în condiții de adsorbție competitivă, care să se aplice și la electrosorbție. Dar, deocamdată asemenea date nu ne stau la dispoziție

### 5.3.4 CARACTERISTICILE ELECTROSORBTIVE ALE UNOR COMPUȘI (OXID DE CARBON, ACID FORMIC, ALCOOLI ȘI HIDROCARBURI)

Oxidul de carbon se adsoarbe pe electrodul de platină din soluții apoase, pînă la acoperire totală, între 0,4 și 0,9 V/EHN; acoperirea scade brusc la 0, la aproximativ 0,91 V. Tăria legăturii Pt—CO se poate demonstra prin aceea că moleculele de CO rămîn adsorbite în stratul monomolecular complet, chiar și după îndepărtarea CO din soluție și că ele nu pot fi deplasate de molecule  $H_2$  nici la potențiale negative.

Adsorbția acidului formic pe electrodul de Pt s-a studiat culometric. Curbele acoperire-potențial sînt reprezentate în figura 5.33. Viteza de adsorbție este relativ mică, atingerea acoperirii de echilibru necesitînd aproximativ 150 s. Adsorbția acidului formic este descrisă de o izotermă  $Langmuir$ , iar cercetările asupra mecanismului oxidării lui anodice indică prezența unei adsorbții disociative pe suprafața electrodului.

În figura 5.34, este redată variația acoperirii cu metanol în funcție de potențialul unui electrod de platină; curbele s-au obținut prin măsurători culometrice. S-ar părea că adsorbția e de tip  $Temkin$ , potențialul la care  $\theta$  începe să dească marcind formarea oxidului de carbon. Din analiza gazelor degajate atunci cînd un electrod de platină platinată se introduce într-o soluție de alcooli, se conchide posibilitatea unor reacții de dehidrogenare, hidrogenare și autohidrogenare. Cînd electrodul de platină este saturat cu hidrogen, în gaz predomină hidrocarbura avînd același număr de atomi de C cu al alcoolului original.

Electrosorbția unor hidrocarburi ca etilena, benzenul și propanul pe electrodul de platină, a fost urmărită prin metode electrice sau cu trasori radioactivi. În ceea ce privește etilena, s-a observat o adsorbție de tip  $Langmuir$ , viteza de adsorbție a etilenei fiind controlată de difuzia spre suprafața de platină; adsorbția s-a dedus că este asociativă.

Comparînd acoperirile diverselor hidrocarburi pe electrod de negru de platină, acestea se pot grupa în următoarele categorii:

- adsorbție caracterizată prin  $\theta < 0,1$  (metanol);
- adsorbție caracterizată prin  $0,2 < \theta < 0,3$  (etan, propan);
- adsorbție caracterizată prin  $0,7 < \theta < 0,8$  (hidrocarburi nesaturate).

Din studii galvanostatice ale adsorbției propanului pe Pt rezultă că la 0,2 V/EHN fiecare moleculă de  $C_3H_8$  este legată de un atom superficial de Pt, dar de la 0,3 — 0,5 V/EHN, aceeași moleculă angajează în adsorbție 3 centre superficiale. Adsorbția propanului, ca și a butanului de altfel, pe suprafața platinei, este disociativă.

Adsorbția  $C_6H_6$  s-a găsit în bună concordanță cu izoterma lui  $Temkin$ . Se pare că prin fixarea adsorbțivă, caracterul aromatic al  $C_6H_6$  se pierde și că o moleculă este capabilă să substituie 9 molecule de  $H_2O$ . Cercetări cu radioizotopi, efectuate la electrosorbția unor hidrocarburi aromatice la interfața An/electrolit, conduc la concluzia unei orientări planare a acestora, ceea ce sugerează formarea unor legături  $\pi$  între substrat și moleculele adsorbite.

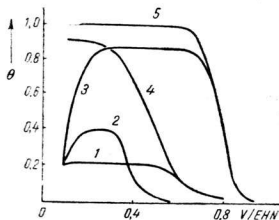


Fig. 5.33. Adsorbția acidului formic de diverse concentrații pe electrodul de platină.  
1 — 30°C,  $10^{-4}M$ ; 2 — 90°C, 1 M; 3 — 25°C, 1 M;  
4 — 40°C, 1 M; 5 — 30°C, 1 M.

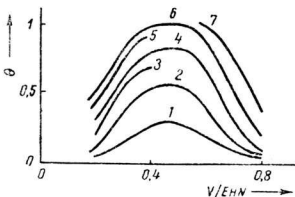


Fig. 5.34. Adsorbția metanolului pe electrod de platină la diverse concentrații:  
1 —  $10^{-4}M$ ; 2 —  $10^{-3}M$ ; 3 —  $5 \cdot 10^{-3}M$ ; 4 —  $10^{-1}M$ ,  
5 —  $5 \cdot 10^{-2}M$ ; 6 — 1 M; 7 — 5 M.

Metoda electrocapilară și metoda de determinare a capacității stratului dublu, menționate la această secțiune sînt specifice fenomenului de electro-sorbție. Celelalte, cum ar fi metoda galvanostatică, metoda potențiostatică, metode optice etc., pot servi în același timp și la elucidarea cineticii de electrod în ansamblul ei, dînd informații nu numai despre adsorbție ci și despre celelalte etape care apar în reacțiile de electrod, cum ar fi reacții chimice și transferul de sarcină. De aceea ele vor fi menționate la secțiunea consacrată tehnicii de cercetare a reacțiilor de electrod.

### 5.3.5.1 Metoda electrocapilară.

#### Potențialul încărcării nule

Metoda electrocapilară se bazează pe măsurarea variațiilor de tensiune superficială în funcție de potențial și concentrație, la un metal lichid (Hg, amalgame, Ga) și constituie metoda cea mai bine fundamentată din punct de vedere termodinamic și cea mai completă pentru studiul electrosorbției pe suprafețe electrodice. Se poate aplica atît pentru adsorbția electrolitilor, cît și a moleculelor neutre.

Tensiunea superficială se măsoară fie cu electrometrul capilar al lui Lippmann, fie prin cîntărirea picăturilor care cad dintr-o capilară de Hg. Cea dintîi este mult mai satisfăcătoare, în special pentru studiul proceselor de adsorbție în care echilibrul se stabilește rapid; apoi trebuie să se menționeze, în privința ultimei că relația teoretică dintre masa picăturii și tensiunea superficială nu este bine stabilită.

Formulări mai vechi, considerau echilibrul dintre electrodul de Hg metalic și ioni  $\text{Hg}^+$  din soluție. Deși în mod formal relația corectă dintre tensiunea superficială  $\sigma$ , potențial, sarcina superficială și concentrația soluției se poate obține pe baza acestei presupunerii, azi se știe că pentru măsurători electrocapilare condițiile optime se realizează atunci cînd se evită descărcarea ionilor. Electrodul este complet polarizat, în sensul că pe metal există un exces de sarcină electrică și corespunzător în soluție se formează o sarcină superficială și de volum, iar la interfață nu are loc nici un proces de transfer de sarcină. În aceste condiții, interfața se comportă ca un condensator ideal, iar metalul se poate asimila cu un electrod ideal polarizat.

Să introducem într-un montaj potențiometric interfața mercur (fază  $\alpha$ )-electrolit (fază  $\beta$ ) și să presupunem că ea satisface condițiilor de electrod ideal polarizat. Graham și Whitney au arătat că izoterma de adsorbție a lui Gibbs se poate aplica electrodului ideal polarizat.

Dacă se notează cu  $\Gamma_i$  excesul superficial relativ al speciei  $i$ , neîncărcate (moleculă neutră), izoterma lui Gibbs are forma:

$$d\sigma = -\Sigma \Gamma_i d\mu_i. \quad (p, T = \text{constante}) \quad (5.128)$$

Extinderea ei la adsorbția electrochimică a unor specii ionice se face prin substituirea potențialului chimic  $\mu_i$  cu cel electrochimic  $\bar{\mu}_i$ . Deci:

$$d\sigma = -\Sigma \Gamma_i^\alpha d\bar{\mu}_i^\alpha - \Sigma \Gamma_i^\beta d\bar{\mu}_i^\beta, \quad (5.159)$$

pentru componenții de specia  $i$  din ambele faze. Ținând seama de forma generală a potențialului electrochimic, mai avem :

$$d\sigma = - \Sigma \Gamma_i^\alpha d\mu_i^\alpha - \Sigma \Gamma_i^\beta d\mu_i^\beta - z_i \mathcal{F} \Gamma_i^\alpha d\phi_\alpha - z_i \mathcal{F} \Gamma_i^\beta d\phi_\beta, \quad (5.160)$$

$\Gamma_i$  este coeficient de adsorbție și exprimă diferența dintre cantitatea de substanță  $i$  pe  $\text{cm}^2$  de interfață în prezența adsorbției și cantitatea care ar fi prezentă atunci când compoziția ar fi omogenă pînă la suprafața metalului ; produsele  $z_i \mathcal{F} \Gamma_i$  din cele două faze, reprezintă sarcinile în faza  $\alpha$  sau  $\beta$  (electroni în metal și ioni  $\text{Hg}^+$  în faza soluție).

Deci :

$$q_i^\alpha = z_i \mathcal{F} \Gamma_i^\alpha, \quad (5.161)$$

$$q_i^\beta = z_i \mathcal{F} \Gamma_i^\beta. \quad (5.162)$$

Pentru a satisface electroneutralitatea suprafeței,

$$q_i^\alpha = q_i^\beta. \quad (5.163)$$

Așadar,

$$d\sigma = - \Sigma \Gamma_i^\alpha d\mu_i^\alpha - \Sigma \Gamma_i^\beta d\mu_i^\beta - q_i^\alpha d(\phi^\alpha - \phi^\beta). \quad (5.164)$$

Deoarece faza  $\alpha$  este  $\text{Hg}$  pur,  $d\mu_i^\alpha = 0$  pentru speciile  $\text{Hg}$  ; de asemenea, la compoziție constantă a soluției

$$\Sigma \Gamma_i^\beta d\mu_i^\beta = 0. \quad (5.165)$$

Și mai notăm

$$d(\phi^\alpha - \phi^\beta) = d(\Delta_{\beta, \alpha} \phi). \quad (5.166)$$

Compararea relațiilor (5.164), (5.165) și (5.166) duce la :

$$d\sigma = - q_{i, \alpha} d(\Delta_{\beta, \alpha} \phi), \quad (5.167)$$

sau :

$$-\left(\frac{\partial \sigma}{\partial \varepsilon}\right)_{\mu_i, \beta, T, p} = q_{i, \alpha} = q_M, \quad (5.168)$$

unde  $\partial \varepsilon$  reprezintă variația de potențial măsurată la potențiometru, ea este egală cu  $d(\Delta_{\beta, \alpha} \phi)$  deoarece în condițiile experienței [căderile 'de 'potențial de la toate celelalte interfețe ale circuitului potențiometric sînt constante. Singura specie încărcată care poate varia în  $\text{Hg}$  metalic, la compoziție chimică constantă, o constituie electronii ( $q_M$  este excesul de sarcină de pe electrodul metalic). Egalitatea (5.88) este cunoscută sub numele de ecuația lui L i p p m a n n.

În mod analog, pentru compoziție variabilă a fazei  $\beta$ ,

$$\left(\frac{\partial \sigma}{\partial \mu_i^\beta}\right)_{\Delta_{\beta, \alpha}, \phi, T, p, \mu_i^\alpha, \mu_j^\beta, j \neq i, \beta \Gamma} = - \Gamma_i^\beta. \quad (5.169)$$

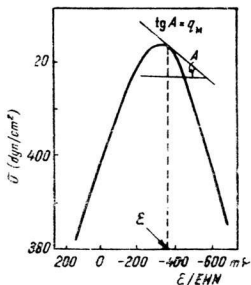


Fig. 5.35. Curbă electrocapilară. Densitatea de sarcină  $q_M$  la un potențial  $\varepsilon$  este măsurată de tangenta la curbă la acel potențial.

Figura 5.35 arată modul în care variază  $\sigma$  în funcție de potențialul de la interfața Hg/soluție 1N HCl, raportat la electrodul de hidrogen normal (EHN).

Prin derivarea ecuației (5.168) în raport cu potențialul de electrod  $\varepsilon$ , se obține tocmai capacitatea diferențială  $C$ :

$$C = - \left( \frac{\partial q_M}{\partial \varepsilon} \right)_{\mu_i^{\beta}, T, p} = - \left( \frac{\partial^2 \sigma}{\partial \varepsilon^2} \right)_{\mu_i^{\beta}, T, p} \quad (5.170)$$

În practică însă, aplicarea ecuației (5.170) nu duce la rezultate prea precise.

Integrînd ecuația lui Lippmann și substituind  $q_M = K\varepsilon$ , unde  $K$  este capacitatea integrală a stratului dublu, obținem:

$$\sigma = -1/2 K\varepsilon^2 + I, \quad (5.171)$$

unde  $I$  este constanta de integrare și este egală cu valoarea maximă a tensiunii superficiale atunci cînd  $\varepsilon$ , căderea de potențial metal-soluție, este nulă. Cînd curba corespunzătoare acestei ecuații a atins valoarea maximă, derivata (5.168) este nulă și  $q_M = 0$ . Condiția definește așa-numitul maxim electrocapilar, iar potențialul la care se obține, se numește potențial al încărcării nule (PIN).

Ecuația (5.169) este scrisă sub forma generală, dar este posibilă derivarea atît pentru anioni cît și pentru cationi. Astfel, pentru o sare de forma  $M_v^{z+} A_v^{z-}$  avem:

$$\left( \frac{\partial \sigma}{\partial \mu} \right)_{\varepsilon-, T, p} = - \frac{\Gamma^+}{v^+}, \quad (\text{pentru cationi}) \quad (5.172)$$

$$\left( \frac{\partial \sigma}{\partial \mu} \right)_{\varepsilon+, T, p} = - \frac{\Gamma^-}{v^-}. \quad (\text{pentru anioni}) \quad (5.173)$$

Ecuația (5.169) dă excesul de component oarecare  $i$  din faza  $\beta$ , atunci cînd diferența de potențial ( $\phi^\alpha - \phi^\beta$ ),  $T, p$  și potențial chimic rămîn constante pentru toate speciile  $j \neq i$  din faza  $\beta$ . Experimental, constanta potențialelor chimice reprezintă numai o aproximație, avînd în vedere că ecuația Gibbs-Duhem reclamă schimbări reciproce și în potențialele chimice ale altor substanțe, atunci cînd unul din ele se modifică. Cel puțin, în soluții diluate, mai des studiate,  $\mu_{H_2O}$  se poate considera în general constant, chiar și la modificări apreciable de potențial chimic al solvaților.

Ecuațiile (5.168) și (5.169) permit determinarea excesului de sarcină superficială de pe metal, în funcție de potențial și respectiv cantitatea de adsorbat  $\Gamma_{i, \beta}$ , în funcție de potențial și concentrația soluției.

Existența unui potențial caracteristic la care excesul de sarcină la suprafața electrodului metalic este nul, decurge din ecuația lui Lippmann. În termeni de tensiune superficială, el reprezintă potențialul la care tensiunea superficială este maximă. În termeni de capacitate, el reprezintă potențialul capacității minime, în soluție diluată de ioni nechemisorbiți, unde sarcina în stratul difuz este nulă. În prezență de ioni specific adsorbiți, sarcina din stratul difuz este egală și opusă celei din stratul intern.

Importanța acestui parametru electrochimic, caracteristic metalului dat, a fost sesizată întâi de Frumkin. Evident, condiția  $q_M = 0$  (la  $PIN$ ) nu implică anularea diferenței de potențial metal-soluție. De cele mai multe ori valoarea finită a diferenței de potențial metal/soluție la  $PIN$  se explică prin existența potențialului de suprafață al metalului, cuprins între limitele de 0,5 și 1 V, cauzat de orientarea dipolilor de solvent la interfața metal-soluție și de efectele mutuale asociate cu interacțiunea dintre dipolii de solvent și electroni.

$PIN$  este variabil la un metal dat cu natura ionilor prezenți în soluție și care suferă adsorbție specifică (v. tab. 5.11). Între  $PIN$  și travaliul de extracție electronică există o relație liniară. Pe metalele solide policristaline, valoarea măsurată este o medie caracteristică distribuției fețelor de cristal expuse. Variația  $PIN$  în funcție de fața cristalului constituie o importantă sursă de eterogenitate pentru constantele de viteză ale proceselor electrochimice la suprafața metalelor solide. Analog, adsorbția ionilor și a moleculelor la metalul policristalin, va fi determinată, la o valoare dată a potențialului de electrod, de semnul și mărimea potențialelor locale metal-soluție, care va înregistra modificări dacă  $PIN$  depinde de fața cristalină expusă. De aceea adsorbția speciilor din soluție va fi eterogenă de-a lungul suprafeței metalului policristalin. Obişnuit,  $PIN$  depinde de adsorbția ionilor specific adsorbiți și a dipolilor orientați și, de aceea, este caracteristic nu numai pentru metal, ci și pentru speciile adsorbite din soluție, temperatura, compoziția și uneori  $pH$ -ul soluției.

Mult studiată a fost adsorbția specifică a ionilor, în special a anionilor, la suprafața mercurului. Figura 5.36 arată variația tipică a tensiunii interfaciale în funcție de adsorbția anionilor. Maximul curbei, care corespunde la  $PIN$  este deplasat spre valori negative. Situația este inversă la adsorbția specifică a cationilor, care deplasează  $PIN$  în sens anodic (fig. 5.37).

Adsorbția ionică la suprafața electrozilor solizi nu a fost măsurată cu aceeași precizie ca la suprafața mercurului. Calitativ, se consideră prezente aceleași efecte.

Tabelul 5.12 conține valori ale  $PIN$  observate la suprafața mercurului în contact cu diverse soluții.

La adsorbția organică se constată deplasări ale  $PIN$  în ambele sensuri, în funcție de natura compuşilor organici. Aceştia din urmă, substituind molecule de apă de la interfață, cauzează modificarea dipolului rezultat al solventului și a constantei dielectrice la interfață. Dacă molecula organică nu are dipolmoment permanent în stare adsorbită sau dacă grupa funcțională în care este centrat dipolmomentul este îndreptată spre volumul soluției, așa cum se întâmplă de exemplu la adsorbția butanolului, deplasarea  $PIN$  e relativ mică. O puternică interacțiune datorată unor legături  $\pi$  sau existența unor dipoli permanenți în interiorul stratului dublu, sînt

Potențialul încărcării nule (PIN) la unele metale solide, raportate la EHN.

Metalul Faza lichidă	PIN(V/EHN)	Metalul Faza lichidă	PIN(V/EHN)
Ag KCl 0,1 M ( $pH=7$ )	$-0,80 \pm 0,05$	Ni HCl 0,001 M	-0,06
Ag KNO <sub>3</sub> 0,1 M	+0,050	Ni 2-butanol	-0,105
Ag AgNO <sub>3</sub> sol. dil.	+0,47	Ni izopropanol	-0,100
Al 2-butanol	-0,810	Pb Na <sub>2</sub> SO <sub>4</sub> 1 N	-0,59
Al KCl 0,01 m	$-0,523 \pm 0,005$	Pb NaCl 1 M	-0,63
Al izopropanol	-0,770	Pb NaOH 1 M	-0,58
Au KCl 0,1 M ( $pH=7$ )	$-0,09 \pm 0,05$	Pb H <sub>2</sub> SO <sub>4</sub> 0,001 N	$+0,21 \pm 0,01$
Au diverși electroliți	+0,05	Pt HClO <sub>4</sub> + NaClO <sub>4</sub>	+0,1
C NaCl 0,5 M	+0,25	Pt KCl 0,1 M ( $pH=12$ )	$-0,4 \pm 0,05$
Cd KCl 0,005 M	-0,89	Pt H <sub>2</sub> SO <sub>4</sub> 0,001 și 0,01 N	$+0,18 \pm 0,02$
Cu LiCl 0,01 M în meta- nol anhidru	-0,072	Pt platinată diverși electroliți	+0,4 la +1,0
Cu LiCl, 0,01 M în eta- nol anhidru	-0,147	Rh Na <sub>2</sub> SO <sub>4</sub>	-0,03
Cu KCl 0,01 M	-0,073	Rh Na <sub>2</sub> SO <sub>4</sub> 0,01-0,001 N sau Cs <sub>2</sub> SO <sub>4</sub> ( $pH=2-5$ )	$+0,18 \pm 0,025$
Fe H <sub>2</sub> SO <sub>4</sub> , Na <sub>2</sub> SO <sub>4</sub> și NaOH, ( $pH=1-3$ )	+0,3 la -0,4	Te Na <sub>2</sub> SO <sub>4</sub> 1 N	+0,03
Fe H <sub>2</sub> SO <sub>4</sub> 0,1; 0,01 și 0,001 N	+0,33 la 0,37	Te NaCl 1 M	-0,02
Fe pasivat	+0,34	Ti H <sub>2</sub> SO <sub>4</sub> 0,1 N	-1,05
diverși electroliți	+0,34	Ti HCl 0,1 N	+1,20
Fe activ	-0,4	Tl KCl 0,001 M și 0,01 M	-0,78
diverși electroliți	-0,4	Tl Na <sub>2</sub> SO <sub>4</sub> 0,1 și 1,0 N	-0,68
Ni KCl 0,01 M	$+0,193 \pm 0,005$	Tl KBr 1 M	-0,85
		Zn Na <sub>2</sub> SO <sub>4</sub> 1 N	-0,62

Tabelul 5.12

Variația PIN cu adsorbția ionică la suprafața Hg

Soluția	$\varepsilon_g = 0 / EHN$	Soluția	$\varepsilon_g = 0 / EHN$	Soluția	$\varepsilon_g = 0 / EHN$
KOH 1 N	-0,19 V	CH <sub>3</sub> COONa 1 N	-0,24 V	LaCl <sub>3</sub> 1 N	-0,32 V
K <sub>2</sub> CO <sub>3</sub> 1 N	-0,20 V	KNO <sub>3</sub> 1 N	-0,28 V	KBr 1 N	-0,37 V
K <sub>2</sub> HPO <sub>4</sub> 1 N	-0,21 V	HCl 1 N	-0,30 V	KCNS 3 N	-0,49 V
Na <sub>2</sub> SO <sub>4</sub> 1 N	-0,20 V	BaCl <sub>2</sub> 1 N	-0,28 V	KI 3 N	-0,59 V
H <sub>2</sub> SO <sub>4</sub> 1 N	-0,23 V				

responsabile de abateri mult mai însemnate ale PIN.  $pH$ -ul nu influențează pozitiv PIN la metale cum sînt Au, Ag, Cu, Zn sau Pb; spre deosebire de acestea, Pt, Pd, Ni, Fe și Co prezintă o variație a PIN cu  $pH$ -ul, rămasă pînă în prezent fără o explicație satisfăcătoare.

Trebuie să se menționeze că toate metodele folosite la determinarea PIN (măsurători de tensiune interfacială, de arie interfacială, de capacita-

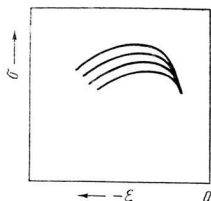


Fig. 5.36. Efectul adsorbției anionilor asupra curbelor electrocapilare; curbele corespund la diverse concentrații de anioni.

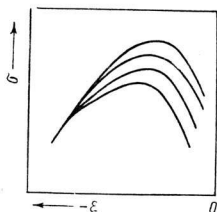


Fig. 5.37. Efectul adsorbției specifice a cationilor asupra curbei electrocapilare.

te, de adsorbție, metoda ultrasunetului, repulsia straturilor duble) sînt riguroase numai pentru metale lichide. La metale solide, se ivesc dificultăți datorate eterogenității cristalografice a suprafeței care, așa cum s-a menționat este policristalină, diversele fețe caracterizîndu-se prin valori diferite ale  $PIN$ .

$PIN$  poate fi utilizat ca un potențial de referință; raportarea potențialelor de electrod la  $PIN$ , duce la o scară rațională de potențiale. Astfel, potențialul reversibil  $\varepsilon_r$ , măsurat în orice altă scară ( $EHN$ ,  $ECS$  etc.) va fi legat de potențialul  $\bar{\varepsilon}$  din scara rațională prin egalitatea:

$$\bar{\varepsilon} = \varepsilon_r - \varepsilon_q = 0, \quad (5.174)$$

Tabelul 5.13

Potențialele reversibile, ale încărcării nule  
și potențialele raționale ale citorva metale (volți)

Metal	$\varepsilon_r$	$\varepsilon_q=0$	$\bar{\varepsilon}$
Ag	+0,80	-0,05	+0,85
Cu(II)	+0,34	-0,04	+0,38
Zn	-0,76	-0,63	-0,13
Cd	-0,40	-0,90	+0,50
Hg(II)	+0,86	-0,21	+1,07
Pb(II)	-0,13	-0,69	+0,56
Sn(II)	-0,14	-0,35	+0,21
Al	-1,67	-0,50	-1,17
Ga(III)	-0,52	-0,60	+0,08
Tl(III)	+0,72	-0,80	+1,52
Bi(III)	+0,23	-0,40	+0,63



unde  $\epsilon_{q=0}$  este *PIN*, măsurat în aceeași scară ca  $\epsilon$ , (v. tab. 5.13). Deoarece potențialele exprimate în scara rațională oferă o măsură aproximativă a sarcinii de pe electrod, ele sînt de mare utilitate la studierea electrozilor solizi, unde dependența potențialului de sarcină nu se poate determina experimental. Scara rațională este independentă de electrodul de referință utilizat și depinde de proprietățile electrochimice fundamentale ale sistemului. Obținerea, chiar și de date aproximative, asupra încărcării electrodului este deosebit de utilă pentru înțelegerea proceselor care se desfășoară la interfața electrod/electrolit, pentru că sarcina de pe metal determină în largă măsură distribuția ionilor și a dipolilor dinspre soluție, a stratului dublu. Reprezentarea electrosorbției moleculelor neutre în funcție de potențial duce la curbe ce prezintă un maxim situat în vecinătatea și nu exact la *PIN*.

### 5.3.5.2 Metoda capacității

Deși valorile pentru  $\sigma$  și  $\epsilon$  se pot obține cu precizie satisfăcătoare prin metoda precedentă, calculul mărimilor  $\Gamma_-$  și  $\Gamma_+$  sau  $C$  este susceptibil de erori. De aceea se preferă obținerea lor din măsurători directe de capacitate diferențială, după o metodă de impedanță în curent alternativ, iar mărimile deduse se calculează prin integrare. Primele măsurători de acest fel au fost efectuate de Proskurin și Frumkin, apoi Grahame. Mărimile esențiale, urmărită în această metodă este sarcina adsorbită ( $q_+$  sau  $q_-$ ). Ea se poate calcula cu relația :

$$q_+ (= z_+ F \Gamma_+) = - \int_{\epsilon_{max}}^{\pm \epsilon} C_+ d\epsilon + k_2, \quad (5.175)$$

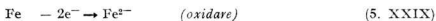
unde  $k_2$  este o constantă de integrare. Pentru fixarea constantei de integrare  $k_2$  metoda reclamă măsurători electrocapilare sau calcule apriorice, pe baza teoriei stratului dublu. Cea dintîi variantă este satisfăcătoare pentru metalele lichide, dar inaplicabilă metalelor solide, la care tensiunea interfacială nu se poate măsura direct. Mai mult, pe asemenea metale, capacitatea măsurată este de obicei dependentă de frecvența folosită în măsurătoare, ceea ce limitează mult interpretarea rezultatelor. Apoi, deoarece în general electrozii metalici solizi prezintă diverse fețe cristaline, ei vor atinge încărcarea nulă la potențiale diferite. *PIN* depinde de travaliul de extracție electronică, care la rîndul său variază între 1 și 1,5 eV, în funcție de indicele feței cristaline expuse. Datorită eterogenității de rețea, de suprafață și catalitică, metalele vor manifesta o eterogenitate electrochimică de bază, neîntîlnită la metalele lichide.

## 5.4 REACȚII DE ELECTROD

### 5.4.1 INTRODUCERE

Ionii aflați în soluție sînt angajați într-o mișcare neîncetată și dezordonată, în cursul căreia norul ionic din jurul lor se deformează permanent pe cînd moleculele de apă din sfera internă de hidratare rămîn practic mereu în preajma ionilor, însoțindu-i pretutindeni. Această agitație termică nu transportă ionii către o zonă determinată a soluției; deplasarea medie a lor în timp este nulă. Atunci cînd ionii sînt supuși unei forțe orientate, cum ar fi un cîmp electric sau un gradient de potențial, se observă un transport net al lor. În acest mod, ionii ajung în zona interfacială electrod-electrolit, unde anizotropia forțelor care acționează acolo îi obligă la regurări structurale necunoscute în faza de volum a soluției. După cum se știe, la interfață există o atmosferă electrică, o separare a sarcinilor de semn contrar, un gradient de potențial, molecule de apă dipolare orientate, molecule organice adsorbite etc. Se pune întrebarea ce se întîmplă cu ionii ajunși la interfață? Răspunsul depinde de natura interfeței. Dacă interfața este ideal polarizată, sarcinile care se găsesc pe ea vor fi supuse unei restricții speciale; ele nu trebuie să traverseze interfața. S-a menționat că de fapt interfața ideal polarizată este rar întîlnită și că traversarea de către ioni a stratului dublu de la interfața metal-electrolit se constată în majoritatea cazurilor. Traversarea stratului dublu este un proces fundamental, ce stă la baza unor transformări de importanță esențială pentru activitatea practică omenească și constituie obiectul de studiu al cineticii electrochimice, unul din cele mai dinamice capitole ale electrochimiei. Cinetica electrochimică se ocupă printre altele de sursele galvanice de curent electric, atît de adînc pătrunse în viața noastră cotidiană, de generarea biocurenților, de coroziune și de imensa activitate depusă pentru prevenirea ei, de sinteza nylonului sau a altor produse de uz larg, de lupta împotriva trombozei, de fabricarea sticlei colorate termo- și fotorefectante etc. etc.

Transferul de sarcină de-a curmezișul interfeței electrizate constă în schimbul de electroni dintre electrod și particulele dinspre soluție; particulele pot fi molecule neutre, ioni complecși sau ioni simpli. Transferul de sarcină se soldează cu transformarea chimică a particulelor. Dacă electronii sînt cedați electrodului, substanța se oxidează, iar în caz contrar se reduce:



Deoarece electronul constituie o sarcină electrică, transferul electronilor prin interfață reprezintă un curent electric, al cărui sens depinde de sensul transferului electronic. Se poate întîmpla ca numărul de electroni transferați într-un sens să fie echilibrat de transferul în sens contrar; în acest caz curentul net care traversează dublul strat electric de la interfața metal-electrolit este nul.

Reducerea sau oxidarea unor ioni sau molecule poate avea loc nu numai la interfață (reacții de transfer electronic eterogenă) ci și în soluție, cînd

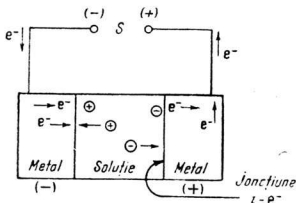
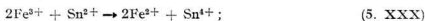


Fig. 5.38. Scurgerea electricității într-o celulă de electroliză legată la o sursă de curent continuu.

reacția este omogenă. Ca exemplu, ne poate servi reducerea ionilor  $\text{Fe}^{3+}$  cu ionii  $\text{Sn}^{2+}$ :



cum în soluție sensul de transfer al electronului se efectuează în toate azimuturile posibile, datorită compensărilor mutuale, nu se va constata vreun curent electric, deoarece nu există transport net de sarcină.

Prin urmare, transferul electronului în fază omogenă nu are decât implicații chimice, pe cînd transferul eterogen la interfață, are atît implicații chimice, deci producerea de substanțe, cît și electrice, adică generarea de curent electric. Dar o singură interfață nu este capabilă nici de efecte chimice și nici de generarea curentului electric, deoarece introducerea sa într-un circuit necesită neapărat încă o interfață metal-electrolit. Ansamblul astfel obținut constituie o pilă sau o celulă de electroliză, după cum sistemul generează sau consumă energie electrică.

Transportul sarcinii electrice diferă în faza metalică și în electrolit; în metal el este efectuat de electroni, iar în electrolit de către ioni, astfel că interfața metal-electrolit constituie limita dintre conductibilitățile de tip electronic și ionic și poate fi considerată ca o joncțiune electron-ion ( $e^- - i$ ), asemănătoare cu o joncțiune  $n - p$  de la semiconductori. Sub acest aspect, pila electrochimică sau o celulă de electroliză este un sistem de joncțiune  $e^- - i - e^-$ .

Să considerăm cazul celulei de electroliză, legată în circuitul unei surse de curent continuu (fig. 5.38). Electronii trimiși de polul negativ al sursei de curent continuu  $S$  se scurg prin conductor la electrodul metalic (catod), la a cărui suprafață are loc schimbarea mecanismului de conductibilitate. Sarcina electrică transportată pînă aici de electroni este preluată de ioni pozitivi, sosiți din soluție în planul interior al stratului *Helmholtz*; ioni pozitivi sînt reduși. Ioni negativi, dirijați spre cealaltă interfață (anod) transportă ca și ioni pozitivi o cantitate de electricitate proporțională cu numărul lor de transport; ajungînd la anod ei se descarcă, oxidîndu-se. Totodată are loc o nouă schimbare a mecanismului de conductibilitate: din ionică ea devine iarăși electronică. Pentru a închide circuitul, electronii depuși la anod, se vor scurge prin conductor spre polul pozitiv al sursei de curent continuu.

Se știe, că din punct de vedere termodinamic, reacțiile chimice se pot clasifica în reacții posibile, care au o desfășurare spontană și se caracterizează prin afinitate negativă ( $\Delta G < 0$ ) și reacții imposibile, a căror afinitate fiind pozitivă ( $\Delta G > 0$ ) nu se pot desfășura spontan. În celulele de electroliză avem de a face cu a doua categorie de reacții, pe când în generațiile de energie electrică, precum și în procesele ce însoțesc coroziunea electrochimică, desfășurarea este spontană în condițiile date și are o afinitate negativă.

#### 5.4.2 SCURT ISTORIC

Primele cercetări asupra cineticii de electrod se leagă de începutul acestui secol, iar noțiunea de supratensiune a fost introdusă în 1899. T a f e l stabilește relația logaritmică dintre supratensiune și densitatea de curent în 1905, dar concepția modernă asupra supratensiunii se cristalizează mult mai târziu (B u t l e r, 1925). E r d e y-G r u z și V o l m e r (1930) introduc coeficientul de transfer în descrierea curbilor curent-potențial în cazul particular al descărcării ionului  $H_3O^+$ . Astăzi, acest coeficient este universal acceptat ca mijloc de a evita detalizarea stării activate, în interpretarea datelor cinetice experimentale. Legătura esențială dintre structura stratului dublu și cinetica de electrod a fost semnalată de F r u m k i n în 1933, teoria sa rămânând în picioare și în zilele noastre.

Noțiunea de stare de activare sau de tranziție, devenită un instrument esențial în interpretarea cineticii gazoase, este introdusă în cinetica de electrod în 1935 de H o r i u t i și P o l a n y i. Diagramele energetice ale acestor autori, deși constituie o reprezentare descriptivă a variațiilor de energie și o interpretare grafică a coeficientului de transfer, au limitări serioase.

Pînă prin 1947, cinetica de electrod s-a limitat mai ales la procesul de descărcare a ionului  $H_3O^+$  și într-o măsură minoră la procesul de descărcare electrolitică a oxigenului. Polarografic s-au studiat și alte câteva cazuri, dar fără vreo interpretare cinetică. Fenomenele de supratensiune ale hidrogenului și oxigenului s-au bucurat de o atenție deosebită, din cauza importanței lor practice considerabile.

Limitările impuse de transferul de masă au fost învinse progresiv prin dezvoltarea metodelor și a aparatului, ceea ce a permis studierea și a altor sisteme decît hidrogenul și oxigenul. Totuși electrozii de oxigen și hidrogen au importanță fundamentală, iar interesul pe care-l suscită pentru pilele de combustie au stimulat și continuă să stimuleze cercetările asupra lor.

Din 1947 încoace, s-au dezvoltat numeroase tehnici pentru studiul reacțiilor rapide și se pare că în prezent se preferă aplicarea și extinderea metodelor existente și nu complicarea în plus a metodologiei și a aparatului existente. Lucrările lui D o l i n, E r š l e r și F r u m k i n (1940) asupra impedanței electrodului de hidrogen, au constituit începutul unei perioade care a continuat cu aplicarea măsurătorilor de impedanță faradaică la procesele de electrod relativ rapide (R a n d l e r, E r š l e r). Interpretarea cinetică a curenților polarografici a transformat polarografia clasică într-o metodă utilă de studiu a cineticii de electrod, limitată însă la un număr redus de cazuri.

Elucidarea mecanismelor proceselor de electrod se face în primul rînd prin analiza curbelor de polarizare curent — potențial. Determinarea coeficienților stoechiometrici (H o r i u t i, 1948) oferă o cale pentru distingerea unui mecanism de altul, fără a fi însă lipsită de echivoc în privința mecanismului particular. Mai valoroase sînt însă determinările de ordin de reacție, aplicate larg de G e r i s c h e r și V e t t e r (1950). O altă tratare se leagă de școala praghează de polarografie, inițiată de B r d i c k a și W i e s n e r (1943) și a înregistrat succese însemnate în cazul proceselor de electrod simple, cum sînt reducerea precedată de combinare ionică ș.a. Dezvoltarea metodelor de relaxare sau de perturbare în anii 50 ai secolului nostru au răpit monopolul deținut de metoda polarografică, fără a-i știrbi însă meritele.

Se mai poate menționa și aplicarea metodei de rezonanță paramagnetică de electron, pentru decelarea și evaluarea cantitativă a radicalilor formați ca produși intermediari în procesele de electrod (G e s k e, M a k i, 1959). Ea deschide perspective interesante în deosebi în cercetarea proceselor de electrod care implică substanțe organice. Multe lucrări în acest sens au folosit procesele de electrod pentru a prepara radicali, care au fost studiați apoi prin RES;

radicali trebuie să fie însă stabili pentru a difuza pe un parcurs destul de lung pentru a fi decelați ceea ce constituie o limitare serioasă a metodei.

Metoda discului rotitor oferă de asemenea posibilitatea studierii intermediarilor generați pe disc și transferați rapid spre electrodul inelar. Potențialele discului și ale inelului se ajustează independent.

Legătura dintre cinetica de electrod și structura stratului dublu sesizată, așa cum am menționat, de Frumkin în 1933, nu a atras atenția altor cercetători decât prin 1958. Studiul proceselor de electrod în prezența unor substanțe organice adsorbite, a demonstrat influența directă a structurii stratului dublu asupra adsorbției. Aplicațiile tehnologice la inhibarea coroziunii se cunosc de mai mult dar interpretările teoretice fundamentale, sînt departe de a fi satisfăcătoare. Prezența adsorbatului organic poate cauza cel puțin două efecte: variația densității de curent cu acoperirea și modificarea potențialului în planul exterior Helmholtz al stratului dublu. La un grad mic de acoperire, aceste două efecte sînt răspunzătoare pentru majoritatea variațiilor de densitate de curent de schimb măsurate.

Majoritatea cercetărilor se ocupă mai mult cu definirea și măsurarea parametrilor caracteristici ai cineticii de electrod, elucidarea mecanismului de reacție și studiul efectelor de strat dublu. Analiza detaliată a transferului de masă este doar incidental făcută, deși ea este adeseori esențială, deoarece cinetica de electrod poate fi controlată simultan și de transferul de masă, și de cel de sarcină.

Una din problemele fundamentale este corelarea parametrilor cinetici cu proprietățile moleculare sau atomice. Rezultate în această direcție s-au obținut la polarografia compușilor organici, reducerea ionilor complecși metalici și, într-o măsură foarte limitată, la descărcarea hidrogenului și oxigenului pe diverse metale. Corelarea cineticii de electrod cu proprietățile suprafeței, cum ar fi la depunerea metalelor pe electrozi solizi, a cunoscut reale progrese în ultimii ani (Bockris, Fischer, Gerischer ș.a.).

#### 5.4.3 ELECTROLIZA ȘI LEGILE ELECTROLIZEI

Să considerăm doi electrozi de platină, scufundați în apă, acidulată cu  $\text{H}_2\text{SO}_4$  sau alcalinizată cu  $\text{NaOH}$ , pentru a o face bună electroconductoare. După legarea electrozilor la poliul unui generator de curent continuu și fixarea diferenței de potențial la o valoare potrivită, este posibilă descompunerea apei, după următoarele reacții:



Nu intrăm deocamdată în detaliile acestor reacții de electrod, deoarece ele vor fi reluate în secțiunile următoare. Reținem posibilitatea descompunerii apei cu ajutorul curentului electric adică electroliza apei. Ea se poate efectua la temperaturi mult mai coborîte decât necesită disocierea termică și este controlată de diferența de potențial dintre electrozii celulei de electroliză; prin modificarea judicioasă a acestei diferențe de potențial se pot descompune electrolitic și alte substanțe. Deoarece se folosește la obținerea de noi substanțe, celula de electroliză se mai poate numi și reactor electrochimic.

Viteza de formare a noilor substanțe depinde de intensitatea curentului care traversează electrolizorul. Legătura dintre mărimea curentului electric și cantitatea de produs de electroliză este exprimată prin legile lui Faraday, elaborate în 1833. Investiția de energie electrică necesită de electroliză depinde de natura substanțelor, de mediul dizolvant, temperatura și pH-ul soluției etc.

Legile se pot enunța în felul următor:

1. În orice descompunere electrolitică, mărimea acțiunii chimice depinde de cantitatea de electricitate  $Q$  ce traversează soluția sau topitura. Exprimiind acțiunea chimică prin masa  $m$  a produsului de electroliză, se poate scrie :

$$m = \text{const. } Q. \quad (5.176)$$

2. Masele diverselor substanțe separate la electrozi de către aceeași cantitate de electricitate se găsesc între ele în aceeași proporție ca masele lor echivalente.

Deoarece depunerea sau dizolvarea prin electroliză a unui echivalent gram  $E$  necesită cantitatea de electricitate de 1 faraday ( $\mathcal{F}$ ), se poate scrie raportul :

$$\frac{m}{E} = \frac{Q}{\mathcal{F}}. \quad (5.177)$$

Comparînd relațiile (5.176) și (5.177), rezultă

$$\text{const.} = \frac{E}{\mathcal{F}}. \quad (5.178)$$

Făcînd înlocuirile :

$$Q = It \quad (5.179)$$

și

$$E = \frac{A}{z}, \quad (5.180)$$

unde  $I$  este intensitatea curentului (în amperi),  $t$  timpul în secunde,  $A$  masa atomică iar  $z$  valența elementului separat, avem :

$$m = \frac{itA}{z\mathcal{F}} \quad (5.181)$$

Relația (5.181) servește sau la calculul masei  $m$  exprimate în grame, depuse în condiții date de electroliză, sau a cantității de electricitate necesare pentru depunerea unei cantități determinate dintr-un element dat, sau a numărului *F a r a d a y*,  $\mathcal{F}$ .

Demonstrarea valabilității legilor lui *F a r a d a y* nu este întotdeauna o sarcină ușoară, îndeosebi atunci cînd la electrozi pot avea loc două sau mai multe procese simultane. Acesta este, de exemplu, cazul depunerii unui metal cu degajare paralelă de hidrogen (v. sect. 6.1.8), cînd, evident, numai o parte din cantitatea totală de electricitate ce trece prin celula de electroliză este consumată pentru depunerea metalului. De asemenea, este posibil ca produsul electrolizei să reacționeze cu materialul electrodului, cu solventul sau cu vreo substanță aflată în soluție. În absența acestor procese jenante valabilitatea legilor lui *F a r a d a y* este evidentă, ceea ce permite utilizarea procesului de electroliză pentru măsurarea cantității de electricitate. Celulele de electroliză utilizate în acest scop se numesc coulometre.

Două tipuri de culometre precise au fost utilizate pentru determinarea faraday-ului; culometrul cu iod și cel cu argint. În culometrul cu iod, la anod are loc formarea moleculelor  $I_2$ , care se dizolvă în soluția apoasă de KJ, iar la catod se formează ioni  $I^-$  din iodul elementar. Deoarece se poate doza atât iodul consumat la un electrod cât și iodul apărut la celălalt electrod, metoda oferă o dublă cale de determinare a lui  $\mathcal{F}$ , cele mai bune măsurători dau  $\mathcal{F} = 96\,492$  coul/echivalent gram.

Culometrul cu argint în forma sa originală este schițat în figura 5.39. El constă dintr-un creuzet de platină, 1 montat pe blocul izolator 2 care conține soluția apoasă de  $AgNO_3$  în care este scufundat electrodul de argint 3; pe fundul creuzetului se găsește electrodul de Pt(—) 4. La închiderea circuitului electric, argintul se solvă la electrodul de argint și se depune pe pereții creuzetului de platină; vasul poros, 5, ce înconjoară electrodul de argint se folosește pentru a evita eventuala cădere a unor particule solide în creuzetul de platină. Cantitatea de argint depusă în cursul electrolizei se determină prin cântărirea creuzetului de platină, după spălare și uscare. Pe această cale s-a obținut  $\mathcal{F} = 96\,478$  coul.

O sursă probabilă de erori în determinările cu culometrul de argint, schițat în figura 5.39, ar putea-o constitui ocluzia unor cantități de soluție de azotat de argint în depozitul de argint, ceea ce ar conduce la valori eronate, mai mici, ale lui  $\mathcal{F}$ . Determinări mai recente (1970) efectuate de Craig ș.a. evită acest neajuns, prin măsurarea cantității de argint care se dizolvă anodic, într-un culometru schițat în figura 5.40. Acesta constă din 3 pahare Berzelius, care conțin o soluție apoasă de 20% acid percloric și 0,5% perclorat de argint. Paharele extreme conțin electrozii, dintre care unul este o placă sau o bară de argint purificat, iar celălalt o plasă de platină avînd forma cilindrică. Legătura dintre soluțiile conținute în pahare se realizează cu două sifoane electrolitice, iar calcularea numărului lui Faraday se face pe baza scăderii în greutate înregistrate la electrodul de argint; valoarea găsită astfel este de  $96\,490,0 \pm 2,4$  coul/echivalent gram. Față de aceasta, valoarea găsită cu culometrul cu iod este în bun acord, iar abaterea cu 0,0124% a valorii obținute cu culometrul de argint (variantă originală) s-ar putea explica prin ocluziile de  $AgNO_3$  în argint. În continuare va fi utilizată valoarea de 96 490, iar cînd rigoarea calculelor nu o cere, valoarea rotunjită de 96 500.

În practică se utilizează și alte tipuri de culometre. Astfel cantități de electricitate mici pot fi măsurate precis cu ajutorul unui culometru cu gaz, în care se măsoară volumul gazului produs de o reacție de electroliză adecvată; de cele mai multe ori se apelează la electroliza apei. Măsurarea volumului de gaz poate fi înlocuită printr-o titrare. Se știe că la degajarea unui mol de hidrogen gazos se consumă  $2\mathcal{F}$ , cu producerea simultană a 2 echivalenți gram de ioni  $OH^-$ ; separînd spațiile electrodice, ionii  $OH^-$  pot fi dozați cu o soluție titrată de acid mineral. Se reține că 1 ml de acid  $10^{-2}N$  este echivalent cu 0,9649 coul.

Culometrul cu iod poate fi adaptat și pentru măsurători de cantități de electricitate mici, dacă iodul eliberat electrolitic se determină colorimetric.

Pentru măsurători obișnuite se folosește culometrul cu cupru. Cu el se obțin rezultate bune dacă se utilizează un electrolit potrivit, iar suprafața

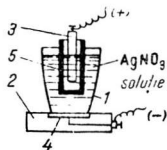


Fig. 5.39. Culometrul de argint.

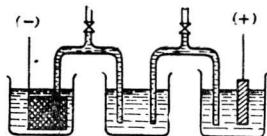


Fig. 5.40. Culometrul cu argint care a servit la determinarea precisă a numărului lui Faraday.

catodului nu este exagerat de mare ; pentru mărirea preciziei se recomandă evitarea contactului cu aerul atmosferic, folosind azot, deoarece oxigenul din aer poate favoriza unele reacții laterale nedorite.

Celula de electroliză conține un electrolit avînd compoziția :  $\text{CuSO}_4 \cdot 5\text{H}_2\text{O}$  — 150 g,  $\text{H}_2\text{SO}_4$  — 50 g,  $\text{C}_2\text{H}_5\text{OH}$  — 50 g, apă 1 000 g și electrozi de cupru (doi anodi uniți printr-un conductor și un catod intermediar avînd dimensiunile de circa  $12 \times 10$  cm și respectiv  $12 \times 6$  cm) tăiați din tablă de cupru avînd grosimea de circa 1 mm. În timpul electrolizei pe catodul cîntărit prealabil, se depune cupru metalic. La sfîrșitul experienței catodul este scos din culometru, spălat, uscat și recîntărit. Cîștigul de masă, exprimat în grame, împărțit la echivalentul gram al cuprului (31,77 g) dă numărul de culombi scurși în timpul electrolizei ; corespunzător, 1 C depune 0,3293 mg cupru metalic, valoare ce reprezintă echivalentul electrochimic al cuprului.

În tabelul 5.14. sînt dați echivalenții electrochimici  $E_e$  și unor elemente și ai unor electroliti.

Tabelul 5.14

Echivalenți electrochimici  $E_e$  al unor elemente și ai unor electroliti

Element sau electrolit	$Z$	$E_e$
— Ag		
— Cu (II)		
— Zn		
— Cd		
— Fe(II)		
— Ni(II)		
$\text{AgNO}_3$	1	$1,76 \cdot 10^{-3}$
KCl	1	$0,97 \cdot 10^{-3}$
HCl	1	$0,38 \cdot 10^{-3}$
$\text{Pb}(\text{NO}_3)_2$	2	$1,72 \cdot 10^{-3}$
$\text{CuCl}_2$	2	$6,9 \cdot 10^{-3}$



#### 5.4.4 ECUAȚIA DE BAZĂ A REACȚIEI DE ELECTROD

S-a menționat că traversarea de către sarcinile electrice a interfeței metal electrolit stă la baza oricărei reacții electrochimice, indiferent că este vorba de absorbție de energie electrică (electroliză), de producere de energie electrică (pile galvanice) sau coroziune. Să încercăm să pătrundem în intimitatea fenomenelor și să elucidăm cauzele care le produc și să evaluăm viteza fluxului de sarcini prin interfață; să descifrăm rolul ce revine metalului pe de-o parte și soluției pe de altă parte. Pentru aceasta să considerăm o singură interfață metal-electrolit, realizată prin introducerea unui electrod metalic (de exemplu de argint) într-o soluție ce conține ionii metalului (de exemplu o soluție de  $\text{AgNO}_3$ ).

În momentul scufundării în soluție, metalul este electric neutru sau neîncărcat,  $q_M = 0$ . Deoarece și interfața în ansamblul ei este electroneutră, rezultă că și excesul de sarcini de partea soluției trebuie să fie nul, astfel, că avem

$$|q_M| = |q_s| = 0 \quad (5.182)$$

Prin urmare, în momentul inițial ( $t = 0$ ) în regiunea interfazică există o diferență de potențial nulă și un câmp electric nul. Această imagine simplistă neglijează moleculele de apă fixate pe suprafața metalului, care, chiar și în condiția  $q_M = 0$ , din cauza structurii asimetrice, determină o orientare resultantă capabilă să creeze un câmp dipolar la suprafața electrodului. Totuși într-o primă aproximație se poate renunța la efectul moleculelor de apă, care în discuția noastră constituie mai degrabă un element de rafinament, fără repercusiuni esențiale asupra rezultatelor.

Să considerăm cea mai simplă reacție electrochimică posibilă și anume, etapa de transfer monoelectronic în care electrodul cedează un electron ionului  $A^+$ , cu formarea unei noi substanțe, D:



În acest mod se poate reduce de exemplu ionul  $\text{Ag}^+$  la argint metalic,  $\text{Fe}^{3+}$  la  $\text{Fe}^{2+}$  etc. Pentru desfășurarea spontană a reacției (5.XXXIII) trebuie să existe o diferență între potențialele electrochimice  $(\bar{\mu}_{A^+})_s$  din soluție și  $(\bar{\mu}_{A^+})_M$  din electrod ale aceleiași specii  $A^+$ , astfel ca  $(\bar{\mu}_{A^+})_s > (\bar{\mu}_{A^+})_M$  sau

$$\Delta_{M,s} \bar{\mu}_{A^+} = (\bar{\mu}_{A^+})_M - (\bar{\mu}_{A^+})_s < 0. \quad (5.183)$$

Deoarece la interfață câmpul electric este nul, rezultă că în egalitatea:

$$\Delta_{M,s} \bar{\mu}_{A^+} = \Delta_{M,s} \mu_{A^+} + \mathcal{E} \Delta_{M,s} \Phi \quad (5.184)$$

ultimul termen se anulează și deci condiția desfășurării spontane a transferului electronic se poate scrie:

$$(\mu_{A^+})_M - (\mu_{A^+})_s < 0. \quad (5.185)$$

Evident condițiile  $\Delta_{M,s} \bar{\mu}_{A^+} = 0$  și respectiv  $\Delta_{M,s} \mu_{A^+} = 0$  definesc starea de echilibru.

Urmărind mișcarea ionului  $A^+$  din soluție către suprafața electrodului și evaluând variația energiei sale potențiale cu distanța parcursă, se obține curba din figura 5.41; pentru a reacționa, ionul trebuie să escaladeze bariera de energie potențială  $\Delta G^\ddagger$ , numită entalpie liberă de activare. Frecvența cu care saltul peste bariera energetică se efectuează cu succes sau așa numita constantă de viteză este dată de expresia :

$$\vec{k}_0 = \frac{\hbar T}{h} \exp(-\Delta G^\ddagger / RT), \quad (5.186)$$

din cinetica chimică (teoria vitezelor absolute de reacție);  $\hbar$  — este constanta lui Boltzmann;  $T$  — temperatura absolută;  $h$  — constanta lui Planck;  $R$  — constanta generală a gazelor, iar  $\Delta G^\ddagger$  entalpia liberă de activare standard. Indicele zero arată că valoarea corespunde absenței cîmpului electric.

Multiplicînd frecvența de escaladare a barierei de potențial cu concentrația  $c_{A^+}$  a acceptorului de electroni  $A^+$  din soluție, se obține viteza reacției de reducere, în condițiile unui cîmp electric nul :

$$\vec{v}_0 = \vec{k}_0 c_{A^+} = \frac{\hbar T}{h} c_{A^+} \exp(-\Delta G^\ddagger / RT). \quad (5.187)$$

Transferul electronului la acceptorul  $A^+$  se soldează cu dezechilibrarea electroneutralității electrodului; metalul dobîndește o sarcină pozitivă excesivă. Un raționament similar se poate aplica soluției, unde dispariția ionului  $A^+$  cauzează apariția unei sarcini nete negative, astfel că ambele laturi ale interfeței devin încărcate. Electrizarea interfeței și apariția saltului de potențial la interfață sînt consecințele imediate ale transferului celui dintîi electron. Starea inițială, de neîncărcare electrică, existentă la scufundarea metalului în soluție s-a modificat radical în urma reacției de transfer de sarcină. Metalul se încarcă treptat, dublul strat la interfață se formează și din caracter pur chimic, reacția dobîndește unul electrochimic.

Cîmpul electric format la interfață este o mărime vectorială, orientată normal pe aceasta. Dacă metalul este încărcat pozitiv și soluția negativ, cîmpul are o orientare care se opune transferului de electron de la electrod spre soluție sau la mișcarea către electrod și reducerea ionului acceptor de electroni din soluție (fig. 5.42). Existența cîmpului electric va altera forma

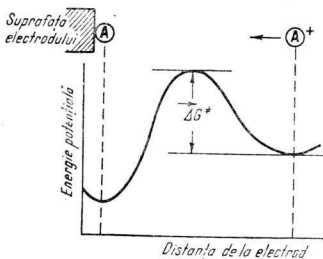


Fig. 5.41. Variația energiei potențiale a ionului  $A^+$  în cursul reacției  $A^+ + e^- \rightarrow A$ .

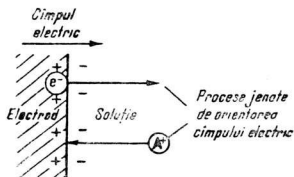


Fig. 5.42. Orientarea cîmpului electric se opune transferului de electron dinspre electrod spre soluție sau mișcării acceptorilor de electroni spre electrod.

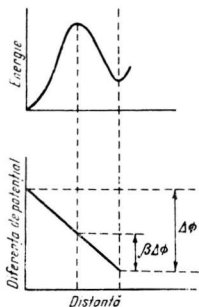


Fig. 5.43. Trăvialul electric de activare al ionului este determinat de diferența de potențial sub care ionul trebuie să atingă maximul curbei energie potențială-distanță.

ionului către electrod și corespunzător,  $(1 - \beta)\mathcal{F}\Delta\phi$  este cantitatea cu care este mărită în reacția inversă de la metal spre soluție. Luând în considerare contribuția electrică și entalpia liberă de activare standard a reacției de reducere a ionului gram monovalent se poate exprima entalpia liberă electrochimică de activare standard a ei.

$$\vec{\Delta G}^0 \neq \vec{\Delta G}^0 \neq + \beta \mathcal{F} \Delta \phi. \quad (5.188)$$

Viteza de reducere  $\vec{v}$  în prezența cimpului electric se poate scrie într-una din formele:

$$\vec{v} = \frac{kT}{h} c_A \exp(-\vec{\Delta G}^0 \neq / RT) \quad (5.189)$$

$$= \frac{kT}{h} c_A \exp(-\vec{\Delta G}^0 \neq / RT) \exp(-\beta \mathcal{F} \Delta \phi / RT) \quad (5.190)$$

$$= \vec{v}_0 \exp(-\beta \mathcal{F} \Delta \phi / RT) \quad (5.191)$$

$$= k_0 c_A \exp(-\beta \mathcal{F} \Delta \phi / RT). \quad (5.192)$$

și reprezintă numărul de moli de ioni pozitivi care se reduc într-o secundă pe unitatea de suprafață a interfeței. Prin multiplicarea ei cu sarcina  $\mathcal{F}$  transportată de 1 ion gram, se obține densitatea de curent de reducere  $\vec{i}$ :

$$\begin{aligned} \vec{i} &= \vec{\mathcal{F}} \vec{v} \\ &= \vec{\mathcal{F}} k_0 c_A \exp(-\beta \mathcal{F} \Delta \phi / RT). \end{aligned} \quad (5.193)$$

Aceasta se poate arăta pe baza analizei dimensionale a mărimilor  $\mathcal{F}$  și  $\vec{v}$ :

$$\begin{aligned} [\vec{v}] &= \text{mol} \cdot \text{cm}^{-2} \cdot \text{s}^{-1} \cdot \text{coul} \cdot \text{mol}^{-1} = \text{coul} \cdot \text{s}^{-1} \cdot \text{cm}^{-2} \\ &= \text{A} \cdot \text{cm}^{-2}. \end{aligned}$$

Relația (5.193) stabilită de Volmer și Erdey-Gruz, exprimă legătura exponențială dintre cîmpul electric și viteza transferului electronic de-a curmezișul interfeței.

Dacă metalul nu este conectat la vreo sursă de curent exterioară, cu fiecare proces de reducere a ionilor  $A^+$  diferența de potențial și implicit valoarea cîmpului electric de la interfață se micșorează treptat, în timp ce travaliul electric de activare a ionului crește, iar factorul electric  $\exp(-\beta \mathcal{F} \Delta \Phi / RT)$  și, în consecință, viteza reacției de reducere se micșorează. Cu cît e mai mare numărul electronilor transferați, cu atît mai mic este efectul atractiv al cîmpului electric și mai redusă viteza reacției; tendința spontană de evoluție a sistemului este către starea de echilibru, pentru care viteza netă de reducere este nulă.

În virtutea principiului reversibilității microscopice, procesului de reducere  $A^+ + e^- \rightarrow D$  se opune procesul invers de oxidare  $D \rightarrow A^+ + e^-$ , care devine din ce în ce mai intens, pe măsură ce cîmpul de la interfață se opune mai energic procesului de reducere (cf. fig. 5.42); opunîndu-se reducerii, cîmpul astfel orientat favorizează reacția opusă de oxidare. Apoi, dacă ionul pozitiv este activat de către o diferență de potențial de  $\beta \Delta \Phi$  în reacția directă de reducere, el va fi activat de fracțiunea  $(1 - \beta) \Delta \Phi$  în reacția inversă de oxidare. Prin urmare travaliul electric de activare a reacției de oxidare va fi  $\mathcal{F}(1 - \beta) \Delta \Phi$  și va fi pozitiv, deoarece cîmpul electric favorizează transferul ionului. Viteza de oxidare devine:

$$\vec{v} = \overleftarrow{v} = \overleftarrow{k}_0 c_D \exp[(1 - \beta) \mathcal{F} \Delta \Phi / RT], \quad (5.194)$$

și corespunzător, densitatea de curent de oxidare este:

$$\vec{i} = \overleftarrow{i} = \overleftarrow{\mathcal{F}} k_0 c_D \exp[(1 - \beta) \mathcal{F} \Delta \Phi / RT]. \quad (5.195)$$

La o anumită valoare determinată a diferenței de potențial  $\Delta \Phi$  vitezele celor două reacții se egalează, ceea ce corespunde condiției:

$$\vec{i} = \overleftarrow{i}; \quad (5.196)$$

deși la scară microscopică procesele antagoniste se desfășoară pe mai departe cu viteze constante, cîmpul electric de-a curmezișul interfeței devine constant. Interfața a atins regimul de echilibru, căreia îi corespunde diferența de potențial de echilibru  $\Delta \Phi_e$ , caracteristică reacției  $A^+ + e^- \rightarrow D$ .

Egalarea vitezelor de reacție în cele două sensuri poate servi la definirea cinetică a potențialului de echilibru  $\Delta \Phi_e$ . Explicînd valorile  $\vec{i}$  și  $\overleftarrow{i}$ , în condiții de echilibru avem:

$$\overleftarrow{\mathcal{F}} k_0 c_A \exp(-\beta \mathcal{F} \Delta \Phi_e / RT) = \overleftarrow{\mathcal{F}} k_0 c_D \exp[(1 - \beta) \mathcal{F} \Delta \Phi_e / RT]. \quad (5.197)$$

Cele două membre conțin viteza comună a schimbului de electron între metal și soluție, simbolizată cu  $i_0$  și numită densitate de curent de schimb. Deci :

$$\vec{\mathcal{F}}k_0c_A + \exp(-\beta\mathcal{F}\Delta\Phi_e/RT) = i_0 = \vec{\mathcal{F}}k_0c_D \exp[(1 - \beta)\mathcal{F}\Delta\Phi_e/RT]. \quad (5.198)$$

Întrucît reflectă proprietăți cinetice particulare unei interfețe determinate, densitatea de curent de schimb depinde de reacția electrochimică și poate varia pentru aceeași reacție, de la un material de electrod la altul cu cîteva ordine de mărime. Deoarece valoarea netă a curentului este nulă,  $i_0$  nu se poate măsura direct. În tabelul 5.15 sînt date densitățile de curent de schimb pentru cîteva reacții de electrod, în condiții de temperatură standard,

Tabelul 5.15

Densități de curent de schimb ale unor reacții de electrod, la 25°C

Metalul	Soluția	Sistemul	lg $i_0$ (A/cm <sup>2</sup> )
Hg	KCl	Cr <sup>3+</sup> /Cr <sup>2+</sup>	- 6,0
Pt	H <sub>2</sub> SO <sub>4</sub>	Ce <sup>4+</sup> /Ce <sup>3+</sup>	- 4,4
Pt	H <sub>2</sub> SO <sub>4</sub>	Fe <sup>3+</sup> /Fe <sup>2+</sup>	- 2,6
Rh	H <sub>2</sub> SO <sub>4</sub>	Fe <sup>3+</sup> /Fe <sup>2+</sup>	- 2,8
Ir	H <sub>2</sub> SO <sub>4</sub>	Fe <sup>3+</sup> /Fe <sup>2+</sup>	- 2,8
Pd	H <sub>2</sub> SO <sub>4</sub>	Fe <sup>3+</sup> /Fe <sup>2+</sup>	- 2,2
Au	H <sub>2</sub> SO <sub>4</sub>	H <sup>+</sup> /H <sub>2</sub>	- 3,6
Pt	H <sub>2</sub> SO <sub>4</sub>	H <sup>+</sup> /H <sub>2</sub>	- 3,1
Hg	H <sub>2</sub> SO <sub>4</sub>	H <sup>+</sup> /H <sub>2</sub>	-12,1
Ni	H <sub>2</sub> SO <sub>4</sub>	H <sup>+</sup> /H <sub>2</sub>	- 5,2
W	H <sub>2</sub> SO <sub>4</sub>	H <sup>+</sup> /H <sub>2</sub>	- 5,9
Pb	H <sub>2</sub> SO <sub>4</sub>	H <sup>+</sup> /H <sub>2</sub>	-11,3

#### 5.4.5 INTERFAȚA ÎN CONDIȚII DE NEECHILIBRU

Deplasînd potențialul de la valoarea de echilibru, compensarea mutuală a densității de curent de reducere și respectiv de oxidare încetează și prin interfață se scurge un curent net, a cărui valoare este dată de diferența dintre  $\vec{i}$  și  $\overleftarrow{i}$ :

$$i = \overleftarrow{i} - \vec{i}. \quad (5.199)$$

Aici trebuie să introducem o convenție referitoare la semnul densității de curent nete și anume:  $i$  se consideră pozitivă atunci cînd  $\vec{i} > \overleftarrow{i}$ . Această înseamnă că dacă există un flux net de electroni dinspre soluție spre electrod (oxidare), densitatea de curent netă va fi pozitivă. Pe baza acestei convenții, dacă în egalitatea :

$$i = \overleftarrow{i} - \vec{i} = \vec{\mathcal{F}}k_0c_D \exp[(1 - \beta)\mathcal{F}\Delta\Phi/RT] - \vec{\mathcal{F}}k_0c_A \exp(-\beta\mathcal{F}\Delta\Phi/RT) \quad (5.200)$$

potențialul  $\Delta\Phi$  se înlocuiește prin suma :

$$\Delta\Phi = \Delta\Phi_e + \eta, \quad (5.201)$$

unde  $\eta$  măsoară abaterea lui de la valoarea de echilibru, densitatea de curent netă  $i$  devine:

$$i = \{ \vec{\mathcal{E}}_{k_0} c_D \exp[(1 - \beta) \mathcal{E} \Delta \Phi_e / RT] \} \exp[(1 - \beta) \mathcal{E} \eta / RT] - [ \vec{\mathcal{E}}_{k_0} c_A + \exp(-\beta \mathcal{E} \Delta \Phi_e / RT) \exp(-\beta \mathcal{E} \eta / RT) ]. \quad (5.202)$$

Deoarece cei dintâi factori ai termenilor din membrul drept sînt egali cu  $i_0$ , se mai poate scrie că:

$$i = i_0 \{ \exp[(1 - \beta) \mathcal{E} \eta / RT] - \exp(-\beta \mathcal{E} \eta / RT) \}. \quad (5.203)$$

Ecuatia (5.203) exprimă dependența densității de curent nete de excesul de potențial  $\eta$  raportat la potențialul de echilibru. Mărimea  $\eta$  se numește supratensiune sau supravoltaj, iar relația (5.203) mai este cunoscută și sub numele de ecuația lui Butler-Volmer. Datorită funcției exponențiale, mici modificări de supratensiuni determină variații sensibile de densitate de curent.

Figura 5.44 cuprinde reprezentarea grafică a ecuației Butler-Volmer, într-un sistem de coordonate  $\eta$ - $i$ . Curba astfel obținută (a), numită curbă de polarizare, se aseamănă mult cu una  $\sinh x$  (b). Se poate arăta că asemănarea nu este lipsită de temei. Pentru aceasta să presupunem că  $\beta = 1/2$  și să înlocuim această valoare în ecuația (5.203). Se obține:

$$i = i_0 [\exp(\mathcal{E} \eta / 2RT) - \exp(-\mathcal{E} \eta / 2RT)]. \quad (5.204)$$

Dar deoarece

$$\frac{e^x - e^{-x}}{2} = \sinh x \quad (5.205)$$

rezultă că:

$$i = 2i_0 \sinh \frac{\mathcal{E} \eta}{2RT}. \quad (5.206)$$

Dacă factorul de simetrie  $\beta = 1/2$ , bariera este simetrică și curba  $i$ - $\eta$  va fi și ea simetrică (fig. 5.44 b); valori absolute egale ale supratensiunii de ambele părți ale lui zero vor produce curenți egali și reciproc: densități de curent egale de oxidare și reducere vor cauza supratensiuni egale. Dacă însă factorul de simetrie diferă de  $1/2$ , curba  $i$ - $\eta$  nu mai este simetrică (fig. 5.44 a;  $\beta = 0,6$ ).

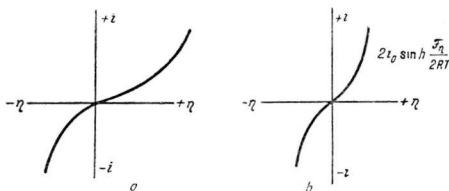


Fig. 5.44.

a — Dependența densității de curent de supratensiune; b — Reprezentarea funcției  $\sinh$ .

Ecuatia  $\sin h$  (5.206) are două cazuri limită interesante: cel al valorilor mari de supratensiune și cel al valorilor  $\eta$  mici.

La valori  $\eta$  mari, în ecuația (5.204)

$$\exp(\mathcal{F}\eta/2RT) \gg \exp(-\mathcal{F}\eta/2RT) \quad (5.207)$$

și cum  $\exp(-\mathcal{F}\eta/2RT)$  tinde spre zero, rezultă că

$$2 \sin h \frac{\mathcal{F}\eta}{2RT} \simeq \exp(\mathcal{F}\eta/2RT), \quad (5.208)$$

ceea ce conduce la următoarea formă a ecuației Butler-Volmer:

$$i \simeq i_0 \exp(\mathcal{F}\eta/2RT). \quad (5.209)$$

La valori  $\eta$  mici,  $\mathcal{F}\eta/2RT \ll 1$ , se poate face aproximația:

$$\sin h \frac{\mathcal{F}\eta}{2RT} \simeq \frac{\mathcal{F}\eta}{2RT}, \quad (5.210)$$

astfel că ecuația Butler-Volmer devine:

$$i = i_0 \frac{\mathcal{F}\eta}{2RT}. \quad (5.211)$$

Ce valori numerice corespund celor două limite? Să considerăm mai întâi aproximația

$$\exp(\mathcal{F}\eta/2RT) \gg \exp(-\mathcal{F}\eta/2RT) \quad (5.207)$$

și să presupunem că membrul drept este mai mic decât 1% din valoarea membrului stâng. În acest caz,

$$\frac{\mathcal{F}\eta}{RT} > 2 \ln 10, \quad (5.212)$$

sau

$$\eta > 0,116 \text{ V}, \quad (5.213)$$

deoarece  $2,303 RT/\mathcal{F} = 0,058 \text{ V}$ , la  $T = 298^\circ\text{K}$ . Deci, atunci când potențialul interfacial  $\Delta\phi$  depășește cu cel puțin  $0,12 \text{ V}$  potențialul de echilibru  $\Delta\phi_e$  în procesele de transfer monoelectronic se poate face uz de aproximația exponențială dintre  $i$  și  $\eta$ , cu o valabilitate de 99%.

Referitor la limita inferioară a lui  $\eta$ , să considerăm cazul când

$$\frac{\mathcal{F}\eta}{RT} < \frac{1}{5} \quad (5.214)$$

și, dacă  $T = 298 \text{ K}$ ,  $\eta < 0,01 \text{ V}$ . Prin urmare aproximația liniară pentru dependența  $\eta$ - $i$  este justificată la supratensiuni egale sau mai mici de  $0,01 \text{ V}$ .

Să revenim la forma generală a ecuației Butler-Volmer, în presupunerea  $\vec{i} \gg \overleftarrow{i}$  ( $\eta > 0,12 \text{ V}$ ). Neglijînd termenul care exprimă viteza de reducere, se ajunge la relația:

$$i \simeq i_0 \exp[(1 - \beta)\mathcal{F}\eta/RT]. \quad (5.215)$$

Pentru avantaje de reprezentare grafică este utilă transformarea ei într-o formă logaritmică. În acest caz se obține :

$$\eta = - \frac{RT}{(1-\beta)\mathcal{F}} \ln i_0 + \frac{RT}{(1-\beta)\mathcal{F}} \ln i, \quad (5.216)$$

sau încă :

$$\eta = - \frac{2,303 \cdot 0,058}{1-\beta} \lg i_0 + \frac{2,303 \cdot 0,058}{1-\beta} \lg i. \quad (5.217)$$

Dacă  $T = 298^\circ\text{K}$ . Noua formă de exprimare a legăturii dintre  $\eta$  și  $i$  sau între  $\Delta\phi$  și  $i$  ( $\Delta\phi_e$  este constant) constituie o liniarizare deseori utilizată în cinetica electrochimică. Reprezentările  $\eta$ - $\lg i$  (fig. 5.45) se mai numesc și reprezentări Tafel, în memoria celui care a descoperit cel dintâi, pe baze empirice, relația liniară dintre supratensiune și logaritmul densității de curent. Ele permit determinarea grafică a densității de curent de schimb  $i_0$  și a coeficientului de schimb  $\beta$ , în cazul particular al reacțiilor de transfer mono-electronic desfășurate într-o singură etapă.

S-a menționat că diferența de potențial absolută  $\Delta\phi$  de-a curmezișul stratului dublu nu este măsurabilă. Se pune atunci întrebarea dacă și  $\eta$  este sau nu măsurabil experimental, deoarece el este egal cu diferența  $\Delta\phi - \Delta\phi_e$ . În principiu problema se aseamănă cu aceea ridicată de măsurarea potențialului unui electrod, care se poate rezolva recurgînd la încă un electrod sau interfață, de referință; în acest caz se pot măsura doi parametri : modificare de potențial a electrodului studiat și valoarea relativă a potențialului de electrod față de electrodul de referință. Un asemenea sistem de doi electrozi este adecvat pentru măsurători de potențiale de echilibru relative.

Pentru determinarea experimentală a supratensiunii, sistemul cu doi electrozi nu este suficient și trebuie introdus un al treilea electrod, numit electrod auxiliar sau contraelectrod. Electrodul de studiat este conectat în două circuite diferite : unul de polarizare, în care se asociază cu electrodul auxiliar și unul de măsurare a diferenței de potențial, cînd se asociază cu electrodul de referință ; cu ajutorul celui dintâi circuit se modifică după dorință potențialul electrodului studiat, iar cu al doilea se obțin valorile particulare ale potențialului, raportate mereu la electrodul de referință sau standard. Cînd prin circuitul de polarizare nu se scurge nici un curent și deci interfața electrodului de studiat se găsește la echilibru, FEM a circuitului de măsurare se exprimă cu egalitatea :

$$E_e = \Delta\phi_e + \Delta\phi_{\text{contact}} + \Delta\phi_{\text{ref}}, \quad (5.218)$$

unde  $\Delta\phi_{\text{contact}}$  și  $\Delta\phi_{\text{ref}}$  reprezintă potențialele de la contactul metal-metal și cel de la interfața elec-

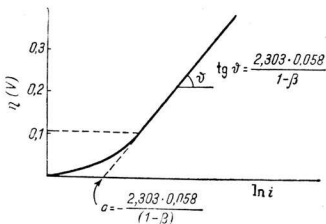


Fig. 5.45. Reprezentare Tafel.



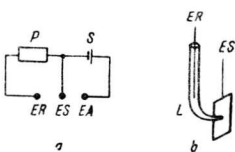


Fig. 5.46.

a - Sistem de 3 electrozi utilizat pentru măsura suprațensiunii; b - capilară Luggin; P - potențiomtru sau voltmetru; S - sursă de curent continuu; ER, ES, EA - electrozii de referință, de studiat și auxiliar; L - capilară Luggin.

trodului de referință. Dacă prin circuitul de polarizare se trece un curent de intensitate  $I$  potențialul electrodului de studiat se modifică de la  $\Delta\phi_e$  la  $\Delta\phi$ , iar prin electrolit apare o cădere de potențial cauzată de rezistența sa interioară  $R$ . Deoarece  $\Delta\phi_{contact}$  și  $\Delta\phi_{ref}$  se pot considera constante, avînd în vedere faptul că prin circuitul de măsură nu se scurge nici un curent, noua forță electromotoare măsurată va fi:

$$E = \Delta\phi + \Delta\phi_{contact} + \Delta\phi_{ref} - IR. \quad (5.219)$$

Comparînd cele două egalități rezultă că

$$\eta = \Delta\phi - \Delta\phi_e = (E - E_e) + IR. \quad (5.220)$$

Contribuția produsului  $IR$  poate fi eliminată practic prin minimizarea rezistenței  $R$  (soluție de electrolit cu mare conductibilitate electrică) și folosind un contact cît mai apropiat între electrodul de referință și cel studiat, cu ajutorul capilarei Luggin (fig. 5.46).

#### 5.4.6 CÎTEVA DETALII REFERITOARE LA ECUAȚIA BUTLER-VOLMER

La stabilirea ecuației (5.203) s-au făcut unele aproximări, asupra cărora este momentul să revenim. Ele privesc diferența de potențial din zona interfațială, concentrația speciei reactante și factorul de simetrie.

În legătură cu diferența de potențial ce trebuie să figureze în ecuația lui Butler-Volmer, trebuie mai întii localizate particulele reactante supuse transferului de sarcină. Pentru aceasta se poate presupune că de exemplu în reacția de reducere  $A^+ + e^- \rightarrow D$ , ionii  $A^+$  se găsesc în planul Helmholtz exterior (PHE) definit de locul geometric al centrelor ionilor  $A^+$  hidratați, aflați, în contact cu suprafața hidratată a electrodului. În absența adsorbției de contact, căderea de potențial dintre metal și PHE, simbolizată cu  $\phi_1$ , este liniară (fig. 5.47). Această cădere de poten-

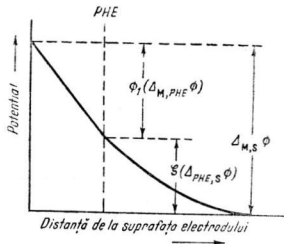


Fig. 5.47. Diferența de potențial de-a curmezișul interfeței metal-soluție.

țial trebuie să figureze în expresia densității de curent de schimb  $i_0$ , deoarece în transferul de electron vor fi implicați predominant ionii cei mai apropiați de electrod. Prin urmare în ecuația (5.198) în locul căderii de potențial  $\Delta\phi_e = (\Delta_{M,s}\phi_e)$  va figura  $\phi_1 (= \Delta_{M,PHE}\phi_e)$ . Evident  $\phi_1$  nu reprezintă căderea de potențial intern totală dintre metal și volumul soluției, deoarece trebuie să i se mai adauge căderea de potențial din zona difuză G o u y - C h a p m a n, simbolizată prin  $\zeta (= \Delta_{PHE,s}\phi_e)$  (potențial electrocinetic).

Din cauza căderii de potențial  $\Delta_{PHE,s}\phi_e (= \zeta)$ , concentrația speciei reactante  $A^+$  la interfață, nu va fi egală cu aceea din volumul soluției  $c_A^{v+}$ . Acceptînd o distribuție de echilibru de tip B o l t z m a n n, cele două concentrații se pot corela prin ecuația:

$$c_A^s + = c_A^{v+} \exp(-W_{el}/RT), \quad (5.221)$$

unde  $c_A^s +$  reprezintă concentrația speciei  $A^+$  la suprafața electrodului ( $PHE$ ) iar  $W_{el}$  traviul electric cheltuit cu aducerea unui mol de ioni  $A^+$  din volumul soluției la interfață sub diferența de potențial  $\zeta (= \Delta_{PHE,s}\phi_e)$ . În cazul general al unui ion de sarcină  $z^+$ , traviul electric valorează:

$$W_{el} = z \mathcal{F} \Delta_{PHE,s}\phi_e = z \mathcal{F} \zeta. \quad (5.222)$$

Ținînd seamă de cele arătate în legătură cu potențialul și concentrația speciei reactive  $A^{z+}$  de la interfață, expresia densității de curent de schimb devine:

$$i_0 = k_0 \mathcal{F} c_A^{v+} \exp(-z \mathcal{F} \Delta_{PHE,s}\phi_e/RT) \exp(-\beta \mathcal{F} \Delta_{M,PHE}\phi_e/RT), \quad (5.223)$$

dar întrucît

$$\Delta_{M,PHE}\phi_e = \Delta\phi_e - \Delta_{PHE,s}\phi_e \quad (5.224)$$

mai rezultă că:

$$(i_0)_{real} = (i_0)_{ideal} \exp[(-\mathcal{F} \Delta_{PHE,s}\phi_e/RT)(z - \beta)], \quad (5.225)$$

dacă se consideră că egalitatea (5.198) exprimă valoarea  $(i_0)_{ideal}$ . Pe lîngă valoarea net diferită a lui  $(i_0)_{real}$  față de cea obișnuită pe baza aproximărilor simplificatoare de la secțiunea 5.4.4, se constată că densitatea de curent de schimb reală devine și dependentă de concentrație, din cauza dependenței de concentrație a potențialului  $\Delta_{PHE,s}\phi_e$ .

Trebuie să se menționeze aici că meritul de a fi atras atenția cel dintîi asupra efectului pe care-l are structura stratului dublu asupra cineticii de electrod, revine marelui electrochimist contemporan F r u m k i n.

Să revenim acum la factorul de simetrie  $\beta$  și să încercăm adîncirea înțelegerii lui. Supratensiunea și factorul de simetrie constituie parametri de interes particular în ecuația lui B u t l e r - V o l m e r. Dar, pe cînd  $\eta$  este o mărime ce poate fi modificată în mod deliberat de experimentator,  $\beta$  constituie o caracteristică întrinsecă a unei reacții de transfer date, la o interfață determinată; el determină fracțiunea de energie electrică, rezultată prin deplasarea potențialului de la valoarea de echilibru, care afectează viteza reacției electrochimice. Din datele tabelului 5.16 rezultă că valorile experimentale ale factorului de simetrie sînt în general apropiate de 0,5.

Valori ale lui  $\beta$  pentru cîteva reacții

Metalul	Reacția	Valoarea lui $\beta$
Pt	$\text{Fe}^{3+} + e^- \rightarrow \text{Fe}^{2+}$	0,58
Pt	$\text{Ce}^{4+} + e^- \rightarrow \text{Ce}^{3+}$	0,75
Hg	$\text{Ti}^{4+} + e^- \rightarrow \text{Ti}^{3+}$	0,42
Hg	$2\text{H}^+ + 2e^- \rightarrow \text{H}_2$	0,50
Ni	$2\text{H}^+ + 2e^- \rightarrow \text{H}_2$	0,58
Ag	$\text{Ag}^+ + e^- \rightarrow \text{Ag}$	0,55

Ca bază de discuție să alegem reacția de reducere a ionului hidroniu ( $\text{H}^+ - \text{H}_2\text{O}$ ):



unde  $\text{M}(e^-)$  reprezintă electronul din rețeaua metalică. Se observă că reacția de reducere necesită ruperea legăturii dintre  $\text{H}^+$  și  $\text{H}_2\text{O}$  și crearea legăturii adsorbitive dintre  $\text{M}$  și  $\text{H}$ . Să neglijăm în primă instanță crearea legăturii  $\text{M}-\text{H}$  și să ne ocupăm de întinderea și apoi ruperea legăturii  $\text{H}^+ - \text{H}_2\text{O}$ , reprezentînd energia potențială în funcție de distanța legăturii, cu ajutorul ecuației lui Morse, scrisă pentru disocierea unei molecule biatomice (fig. 5.48) cu care asimilăm sistemul  $\text{H}^+ - \text{H}_2\text{O}$ :

$$U = D(1 - e^{-a\Delta x})^2 \quad (5.226)$$

unde  $U$  este energia potențială;  $D$  energia de disociere;  $\Delta x = x - x_e$  distanța care separă fragmentele sistemului față de poziția de echilibru  $x_e$ , iar  $a$  o constantă. Evident, atunci cînd legătura s-a rupt,  $\Delta x \rightarrow \infty$ ,  $\exp(-a\Delta x) \rightarrow 0$  și  $\Delta = D$ .

Să continuăm discuția, luînd acum în considerare formarea legăturii  $\text{M}-\text{H}$  și ignorînd disocierea sistemului  $\text{H}^+ - \text{H}_2\text{O}$ . În acest caz curba Morse se trasează pentru apropierea atomului  $\text{H}$  de centrul de adsorbție  $\text{M}$  al metalului (fig. 5.49).

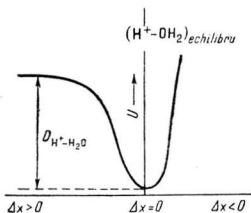


Fig. 5.48. Variația energiei potențiale cu distanța dintre  $\text{H}^+$  și  $\text{H}_2\text{O}$ . (Asimilare cu o moleculă biatomică în fază gazoasă).

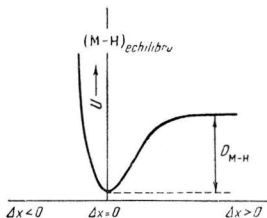


Fig. 5.49. Variația energiei potențiale la formarea legăturii  $\text{M}-\text{H}$ .

Compunerea celor două curbe Morse (fig. 5.50) ar reprezenta procesul simultan de rupere a legăturii  $H^+-H_2O$  și de formare a legăturii  $M-H$ ; o deosebită atenție se cere la situarea nivelelor minime ale celor două curbe Morse. Ca reper se alege suprafața metalului, știind că distanța minimă la aceasta a ionului hidroniu corespunde PHE și cunoscând distanțele internucleare din hidrurile metalice. Se observă că zona mijlocie a curbelor Morse reproduce profilul barierei de energie ce trebuie s-o escaladeze sistemul care reacționează. Dar bariera astfel obținută constituie o aproximare destul de grosieră a realității, deoarece ea nu are în vedere nici influența metalului asupra energiei potențiale în cursul întinderii legăturii  $H^+-H_2O$  și nici efectul moleculelor de apă asupra energiei, la formarea sistemului  $M-H$ . Compunerea curbelor Morse presupune că energia sistemului de 3 corpuri,  $M$ ,  $H^+$  și  $H_2O$  cu interacțiuni caracteristice, se poate obține din două curbe care reprezintă interacțiuni dintre două corpuri. Luarea în considerare a efectelor datorate celui de al 3-lea corp (atom) asupra energiei sistemului, conduce la o coborîre a energiei în toate configurațiile în special în zona intersecției curbelor Morse și la o rotunjire a vârfului barierei de energie.

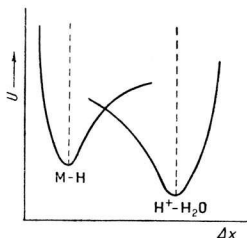


Fig. 5.50. Compunerea curbelor Morse pentru sistemele  $M-H$  și  $H^+-H_2O$ .

Curbele Morse menționate pentru ilustrarea calculului energiei de interacțiune dintre reactanți și produși de reacție, pot servi și ca bază pentru un nou gen de interpretare a factorului de simetrie. Spre deosebire de definiția anterioară, conform căreia  $\beta$  este măsurat de citul dintre parcursul de-a lungul coordonatei de reacție până la starea activată și parcursul de-a lungul coordonatei de reacție de la starea inițială până la cea finală a reacției, noua definiție se bazează pe înclinările relative ale curbelor Morse care reprezintă energiile particulelor. În acest scop se folosesc liniarizări ale curbelor Morse (liniile întrerupte din figura 5.51).

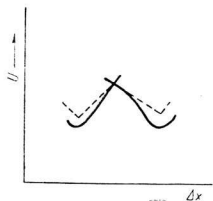


Fig. 5.51. Liniarizarea curbelor Morse duce la o formă simplificată a lor, utilizabilă în aproximări destul de apropiate de realitate.

Să revenim la reacția de reducere a ionului hidroniu și să analizăm efectul pe care-l are asupra ei aplicarea diferenței de potențial  $\Delta\phi$  de-a curmezișul interfeței. Potențialul nu va influența produșii de reacție și deci nici curba Morse corespunzătoare întinderii legăturii  $M-H$ , deoarece sistemul  $M-H + H_2O$  este neîncărcat electric. Nu la fel se întâmplă cu reactanții, unde atât energia legăturii  $H^+-H_2O$  cit și energia electronului din rețeaua metalică sînt modificate la aplicarea potențialului  $\Delta\phi$ , mai puternic în cazul electro-nului decît pentru sistemul  $H^+-H_2O$ .

Variația totală de energie, exprimată pentru molul de sistem  $M(e) + H^+ \rightarrow H_2O$  este egală cu produsul  $\mathcal{F} \Delta\phi$  și se poate observa grafic prin deplasarea pe verticală a curbei Morse liniarizate (fig. 5.52). Raționamentul se poate aplica oricărei variații de potențial, nu numai celei de la valoarea ipotetică nulă

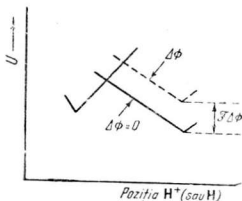


Fig. 5.52. Deplasarea curbei Morse liniarizate în prezența diferenței de potențial  $\Delta\Phi$ .

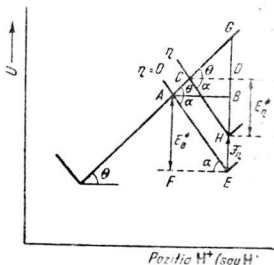


Fig. 5.53. Modificarea energiei de activare în urma deplasării verticale a curbei Morse liniarizate.

( $\Delta\Phi = 0$ ) la valoarea oarecare  $\Delta\Phi$ . Astfel, dacă potențialul se modifică de la valoarea  $\Delta\Phi_e$  la valoarea  $\Delta\Phi$ , deplasarea curbei Morse din poziția inițială (corespunzătoare la  $\Delta\Phi_e$ ) valorează  $\mathfrak{F}(\Delta\Phi - \Delta\Phi_e) = \mathfrak{F}\eta$ .

Ca o consecință a deplasării verticale a curbei Morse liniarizate, energia de activare pînă la complexul critic, care constituie factorul principal pentru fixarea vitezei de reacție, va fi schimbată de la valoarea  $E_e^\ddagger$  la valoarea  $E_e^\ddagger$ . Diferența  $\Delta E^\ddagger$  dintre cele două energii rezultă din energia electrică  $\mathfrak{F}\eta$  investită în reacție. Relația dintre cele două mărimi se poate stabili pe cale geometrică, utilizînd reprezentarea grafică din figura 5.53.

Din triunghiurile egale  $AEF$  și  $ABE$  se obține:

$$AB = EF = \frac{E_e^\ddagger}{\operatorname{tg} \alpha}, \quad (5.227)$$

iar din triunghiul  $ABG$  avem:

$$AB = \frac{EG - E_e^\ddagger}{\operatorname{tg} \theta}. \quad (5.228)$$

Comparînd cele două expresii ale lui  $AB$ , obținem:

$$E_e^\ddagger = \frac{\operatorname{tg} \alpha}{\operatorname{tg} \theta} (EG - E_e^\ddagger). \quad (5.229)$$

Din triunghiul  $CDH$  rezultă:

$$CD = \frac{E_\eta^\ddagger}{\operatorname{tg} \alpha}, \quad (5.230)$$

iar din triunghiul  $CDG$  avem

$$CD = \frac{GH - E_\eta^\ddagger}{\operatorname{tg} \theta}, \quad (5.231)$$

de unde :

$$E_{\eta}^{\neq} = \frac{\operatorname{tg} \alpha}{\operatorname{tg} \theta} (GH - E_{\eta}^{\neq}). \quad (5.232)$$

Exprimînd diferența  $E_e^{\neq} - E_{\eta}^{\neq}$  dintre energiile de activare cu ajutorul ecuațiilor (5.229) și (5.232), se obține :

$$\Delta E^{\neq} = E_e^{\neq} - E_{\eta}^{\neq} = \frac{\operatorname{tg} \alpha}{\operatorname{tg} \theta} (EG - E_e^{\neq}) - (GH - E_{\eta}^{\neq}), \quad (5.233)$$

$$\Delta E^{\neq} = \frac{\operatorname{tg} \alpha}{\operatorname{tg} \theta} (EG - GH) - (E_e^{\neq} - E_{\eta}^{\neq}),$$

$$\Delta E^{\neq} = \frac{\operatorname{tg} \alpha}{\operatorname{tg} \theta} (\mathcal{F}_{\eta} - \Delta E^{\neq}),$$

sau

$$\Delta E^{\neq} = \frac{\operatorname{tg} \alpha}{\operatorname{tg} \alpha + \operatorname{tg} \theta} \mathcal{F}_{\eta}. \quad (5.233 \text{ a})$$

Deci, variația energiei de activare constituie o fracțiune din travaliul  $\mathcal{F}_{\eta}$ , deoarece raportul  $\operatorname{tg} \alpha / (\operatorname{tg} \alpha + \operatorname{tg} \theta)$  este o mărime subunitară. Această fracțiune are caracteristicile factorului de simetrie, cu care se va identifica :

$$\beta = \frac{\Delta E^{\neq}}{\mathcal{F}_{\eta}} = \frac{\operatorname{tg} \alpha}{\operatorname{tg} \alpha + \operatorname{tg} \theta}. \quad (5.234)$$

Evident relația dintre  $\Delta E^{\neq}$  și travaliul electric  $\mathcal{F}_{\eta}$  investit în interfață,  $\Delta E^{\neq} = \beta \mathcal{F}_{\eta}$ , nu aduce nimic nou față de cele întâlnite în secțiunea 5.4.4. Teoria din prezenta secțiune contribuie doar la lărgirea cunoștințelor asupra noțiunii de factor de simetrie. Deoarece  $\beta$  este exprimat cu ajutorul coeficienților unghiulari  $\alpha$  și  $\beta$  corespunzători curbelor Morse liniarizate ale reactanților și respectiv produșilor de reacție, se stabilește o legătură între el și mărimi moleculare specifice reacției de electrod.

Factorul de simetrie este fără îndoială un parametru care deține un rol central în cinetica de electrod și în același timp o mărime fundamentală în teoria transferului de sarcină la interfață, deoarece exprimă legătura dintre cinetica electrochimică și fizica stării solide.

Atunci cînd energia de activare la echilibru  $E_e^{\neq}$  este mare, ceea ce corespunde unor reacții de electrod avînd valori mici ale densității de curent de schimb  $i_0$ , pantele curbelor Morse liniarizate și deci  $\beta$  nu se modifică simțitor cu supratensiunea. Variații ale lui  $\beta$  survin în reacțiile care au energii de activare  $E_e^{\neq}$  mici și densități de curent de schimb,  $i_0$ , mari ; la limita valorilor foarte mari de supratensiune,  $\beta \rightarrow 0$ .

#### 5.4.7 DESPRE TRANSFERUL ELECTRONULUI PRIN INTERFAȚĂ

S-a menționat că transportul ionilor spre interfața electrod/electrolit este o condiție necesară pentru desfășurarea procesului de transfer de sarcină. Această mișcare dirijată a ionilor este necesară dar nu și suficientă, deoarece transferul de sarcină cere și transferul electronului de-a curmezișul interfeței. Despre condițiile în care electronul poate părăsi suprafața metalului și bariera energetică ce stă în calea acestei mișcări va fi vorba în secțiunea prezentă. Elucidarea faptelor ne va obliga la o scurtă incursiune în descrierea proprietăților electronilor.

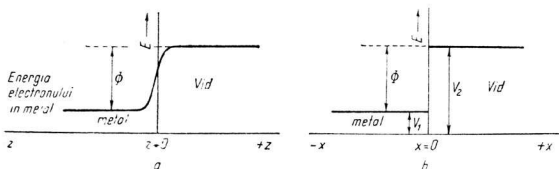


Fig. 5.54. Saltul de potențial la traversarea suprafeței metalului (a) se poate reprezenta cu destulă precizie printr-o treaptă de potențial (b).  $\Phi$  reprezintă travaliul de extracție al electronului.

De câțiva ani încoace, mai exact de prin 1966 a devenit o sarcină ușoară demonstrarea faptului că în transferul de sarcină electronii nu pot escalada bariera energetică dintre metal și mediul ambiant, așa cum se întâmplă în emisiunea termoionică; curenții observați pe electrozi la temperatura ordinară sînt mult prea mici. Electronii sar peste bariera energetică de la interfață cu viteze apreciabile, determinînd curenți intensi, numai la temperaturi ridicate. Se pune deci întrebarea cum pot străbate electronii bariera de potențial peste care sînt incapabili să sară? Un răspuns la această problemă se primește dacă se analizează interfața metal/vid.

Să considerăm că în interiorul fazei metalice ( $x < 0$ ) energia potențială a electronului este  $V_1$  și că în vid ( $x > 0$ ) ea valorează  $V_2 > V_1$ , (fig. 5.54). Energia totală  $E_1$  a electronului în metal este:

$$E_1 = \frac{p_1^2}{2m} + V_1, \quad (5.235)$$

iar în vid:

$$E_2 = \frac{p_2^2}{2m} + V_2, \quad (5.235 \text{ a})$$

unde  $p$  reprezintă cantitatea de mișcare a electronului, iar  $m$  masa lui.

Atîta timp cît nu există absorbție sau emisie de radiație, energia totală a electronului trebuie să fie aceeași de ambele părți ale barierei de potențial. Deci,

$$E_1 = E_2, \quad (5.236)$$

sau

$$\frac{p_2^2}{2m} = \frac{p_1^2}{2m} - (V_2 - V_1). \quad (5.237)$$

Dacă se presupune că energia cinetică  $\frac{p_1^2}{2m}$  a electronului în metal este inferioară barierei de energie  $V_2 - V_1$ , legile clasice prevăd imposibilitatea escaladării de către electron a barierei de potențial. Dacă escaladarea ar fi posibilă, ar urma că  $\frac{p_2^2}{2m} < 0$ ; cum  $\frac{p_2^2}{2m}$  nu poate fi negativ ar urma că masa  $m$  a electronului este negativă, ceea ce constituie un rezultat imposibil din punct de vedere clasic.

Pe baza legilor mecanicii cuantice, situația electronului trebuie analizată sub aspectul amplitudinii de probabilitate. Probabilitatea localizării electronului în vid este egală cu patratul valorii absolute a amplitudinii  $\psi_2$  în vid. La rîndul său amplitudinea  $\psi_2$  variază proporțional astfel:

$$\psi_2 \sim \exp \left\{ -\frac{i}{\hbar} \left[ \left( \frac{p_2^2}{2m} + V_2 \right) t - p_2 x \right] \right\} \quad (5.238)$$

și, pentru a evalua exponențiala, trebuie cunoscut  $p_2^2$ . Dar s-a arătat că, aplicînd legea conservării energiei,  $p_2^2/2m$  este negativ dacă  $p_1^2/2m < V_2 - V_1$ . Or, cum numitorul  $2m$  este pozitiv, rezultă că  $p_2^2$ , momentul electronului în vid, este negativ. Să reamintim că valoarea negativă a patratului unei mărimi înseamnă că mărimea este imaginară și deci egală cu produsul dintre o mărime reală și  $i (= \sqrt{-1})$ . Folosind simbolul  $p'_2$  pentru partea reală a momentului electronului, se poate scrie:

$$p_2 = i p'_2. \quad (5.239)$$

Înlocuind în (1.238) și restrîngînd relația numai la variația spațială a lui  $\psi_2$ , adică la funcția care exprimă dependența lui  $\psi_2$  de distanța  $x$  de la interfața metal-vid, rezultă:

$$\psi_2 \sim \exp(-p'_2 x / \hbar). \quad (5.240)$$

Toate mărimile exponențiale astfel obținute sînt reale și deci dependența spațială a lui  $\psi_2$  a devenit și ea reală. Aceasta denotă că probabilitatea localizării electronului în vid este finită și prin urmare că reacția de transfer de sarcină devine posibilă și prin bariera de energie potențială; chiar dacă electronul, considerat ca particulă elementară clasică, nu posedă energia suficientă pentru a sălta peste bariera de potențial; grație proprietăților sale ondulatorii, este capabil să traverseze bariera printr-un tunel imaginar. Probabilitatea de traversare prin efect tunel  $P_t$  este deci:

$$P_t = |\psi_2|^2 = \exp(-2p'_2 x / \hbar) \quad (5.241)$$

și, scade exponențial cu distanța  $x$  de la electrod (fig. 5.55).

Efectul tunel este de importanță fundamentală nu numai în emisia la rece a electronilor la interfața metal/vid. El are o semnificație deosebită și în reacțiile de transfer electronic la interfața metal/soluție, în dioda tunel Esaki ș.a.

Traversarea barierei energetice prin efect tunel nu se poate efectua decît în cazul cînd energia electronului la intrarea în tunel este egală sau superioară energiei sale la ieșirea din tunel.

Energia  $E_M$  la intrarea în tunel este egală cu travaliul de extracție  $\Phi$ ,

$$E_M = \Phi, \quad (5.242)$$

măsurat de lucrul mecanic cheltuit cu aducerea electronului de la infinit, în vid, pe nivelul Fermi al metalului. Spre deosebire

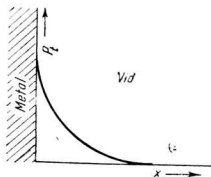


Fig. 5.55. Variația exponențială a probabilității  $P_t$  cu distanța de la suprafața metalului.



de  $E_M$ , evaluarea energiei totale a electronului de partea soluției,  $E_s$  nu este așa de simplă. Ea se definește prin trivaliul cheltuit cu aducerea electronului de la infinit pe nivelul energetic al ionului hidratat care se reduce (de exemplu protonul hidratat) și se compune aditiv din entalpia de adsorbție  $\Delta H_{ads}$  a ionului redus (de exemplu H), energia de interacțiune  $R$  cu atomii de oxigen aparținând moleculelor de apă învecinate, energia de ionizare  $I$  și energia de hidratare  $L$ :

$$\begin{aligned} E_s &= -\Delta H_{ads} - R + I + L \\ E_s &= (I + L) - (R + \Delta H_{ads}). \end{aligned} \quad (5.243)$$

Deoarece nivelul  $E_s$  este egal sau inferior lui  $E_M$ , rezultă că:

$$\Phi \leq E_s, \quad (5.244)$$

de unde:

$$R + \Delta H_{ads} \leq I + L - \Phi. \quad (5.245)$$

Traversarea prin efect tunel este posibilă nu numai în sensul metal→ion ci și în sens contrar, de la un donor de electron (de exemplu atom de hidrogen care se oxidează) către metal. De astă dată condiția se modifică devenind:

$$R + \Delta H_{ads} \geq I + L - \Phi. \quad (5.246)$$

Evident transferul prin efect tunel presupune nivele de energie vacante, pe care electronul transferat să se poată așeza fără a contraveni principiului lui Pauli. Astfel, în protonul hidratat toate nivelele pe care electronul transferat de la metal prin efect tunel s-ar putea așeza, sînt ocupate. Efectul tunel devine numai atunci posibil cînd legătura  $H^+ - H_2O$  se întinde în așa măsură încît un nivel acceptor de electron să devină vacant. În această concepție deci, transferul de sarcină depinde de mișcarea conjugată a protonului și a electronului, angajați în interacțiuni specifice cu molecula de apă și respectiv cu metalul electrodului.

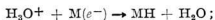
#### 5.4.8 REACȚII DE ELECTROD ÎN MAI MULTE ETAPE

În secțiunile 5.4.1—5.4.6 s-a vorbit numai despre procesele de electrod simple, care constau dintr-o singură etapă de transfer electronic. În prezenta secțiune analiza asupra reacțiilor de electrod se va extinde și la cazul, mult mai frecvent, al transferului de sarcină în mai multe etape. Aceasta este deosebit de necesară pentru înțelegerea unor procese electrochimice importante întîlnite la generarea energiei electrice, la depunerea metalelor și a aliajelor, la electrosinteză, la coroziune și pasivare sau la fenomenul de electrocataliză, extrem de răspîndit.

### 5.4.8.1 Generalităţi

Să considerăm reacţia de reducere a ionilor hidrogen în soluţie apoasă. După o analiză atentă a faptelor, se poate stabili că reacţia constă din următoarea succesiune de etape:

- difuzia ionilor  $\text{H}_3\text{O}^+$  din volumul soluţiei, la *PHE* al electrodului;
- descărcarea ionilor  $\text{H}_3\text{O}^+$  prin transfer de sarcină:



- formarea de molecule  $\text{H}_2$  pe electrod:  $2\text{MH} \rightarrow 2\text{M} + \text{H}_2$  şi
- formarea bulelor şi degajarea în atmosferă a hidrogenului.

Evident, etapa de transfer de sarcină este esenţială în desfăşurarea procesului şi viteza sa poate fi determinantă pentru viteza procesului global, dar experienţa nu ne permite ignorarea celorlalte etape şi, în anumite condiţii, fiecare din ele poate deveni determinantă de viteză pentru procesul global.

La abordarea reacţiilor de electrod complexe este intuitivă examinarea prealabilă a problemei formării cozelor sau a şirurilor de aşteptare. Să presupunem o casă de bilete a unui cinematograf, spre care se îndreaptă oamenii ce intenţionează să vizioneze filmul programat; la casa de bilete spectatorii obţin bilete şi informaţiile solicitate. Este evident că dacă viteza de sosire a spectatorilor depăşeşte viteza de deservire, are loc formarea unei cozi sau şir de aşteptare.

Fenomenul nu este izolat deoarece şirurile de aşteptare se întâlnesc la casele de bani ale magazinelor, în faţa semafoarelor ce dirijează circulaţia (şi oameni şi autovehicule), în sălile de aşteptare ale cabinetelor medicale, în unităţile industriale de asamblare a unor componente, etc. În toate exemplele citate se observă afluenţa unor elemente către un centru de deservire, unde efectuarea serviciilor cerute necesită un anumit timp, responsabil eventual de formarea unei cozi. Observarea atît de frecventă a acestui fenomen, sub diverse ipostaze, a determinat elaborarea unei „erorii a cozelor” sau a „timpului de aşteptare”, avînd ca obiect corelarea mărimii cozelor cu viteza de sosire şi cea de deservire şi urmărind minimizarea sau eliminarea şirurilor de aşteptare. Pentru aceasta se cere o atentă cercetare a centrului de deservire, care în general este destul de complex; aproape invariabil el este constituit din subcentre. De exemplu un aeroport intermediar poate fi asimilat cu un centru de deservire a avioanelor aflate în tranzit, alcătuit din următoarele subcentre: pistă de aterizare — decolare, ghişeu de taxare, serviciu de descărcare şi încărcare a pasagerilor şi a fractului, de alimentare a avionului cu combustibil etc. De fiecare dată cînd centrul de deservire conţine mai multe subcentre, se pune întrebarea: care din subcentre poartă responsabilitatea principală pentru formarea cozii? Sau cu alte cuvinte, care din subcentre determină viteza globală de deservire a centrului?

Aşa cum a fost prezentat, fenomenul formării cozelor poate fi util pentru analizarea proceselor de electrod. Considerînd interfaţa încărcată metal-soluţie drept un centru de deservire al electronilor care se scurg spre ea dinspre metal pentru a participa la reacţia de reducere catodică, aceasta din urmă se poate asimila cu seria de subcentre de deservire a electronilor. Dificultăţi de „deservire”, cum ar fi condiţionările impuse de exemplu procesului de transfer prin efect tunel, pot determina formarea de cozi de electroni pe electrod, ceea ce se soldează cu mărirea excesului de sarcini  $q_M$  de pe electrod şi deci cu deplasarea potenţialului de la valoarea de echilibru. Prin urmare, supratensiunea  $\eta$  este cauzată de şirul de electroni format pe electrod.

Analog centrului complex de deservire, alcătuit din subcentre, reacţia de electrod este compusă dintr-o serie de etape elementare, cărora le revine rolul de subcentre de deservire. Înţelegerea acestui fapt şi cunoaşterea modului în care este posibil controlul factorilor care determină formarea cozelor de electroni, oferă posibilitatea experimentatorului de a stăpîni sau chiar micşora supratensiunea  $\eta$ .

### 5.4.8.2 Ecuaţia cinetică a unei reacţii în mai multe etape

Reacţia de electrod în mai multe etape se poate asemăna cu un rezistor, a cărui rezistenţă faradaică este compusă din suma rezistenţelor corespunzătoare rezistorilor elementari (fig. 5.56). Într-un asemenea circuit conductibilitatea globală respectiv rezistenţa globală este dată într-o primă

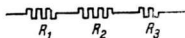


Fig. 5.56. Rezistența totală a unei reacții de electrod.

aproximație de conductibilitatea cea mai mică, respectiv de rezistența cea mai mare. Din relația (5.211) rezultă că rezistența  $R_{M,S} = (\partial\eta/\partial i)_{T, c_A^+, c_D}$  a interfeței depinde de densitatea curentului de schimb  $i_0$ . Aplicând aceasta la fiecare etapă în parte, se poate afirma că etapa avînd cea mai mare rezistență (sau cea mai mică conductibilitate) se caracterizează prin cea mai coborîtă valoare a densității de curent de schimb  $i_0$ . Prin urmare, curentul de schimb cel mai mic va determina curentul global al reacției de electrod. Cum la rîndul său  $i_0$  este determinat de constanta de viteză  $k_0$  și de concentrația speciei reactive,  $c_R$ , din etapa respectivă, rezultă că încetineala unei etape și deci caracterul ei determinant de viteză pot avea drept cauze valori mici ale lui  $k_0$  și  $c_R$ .

Valori mari ale lui  $i_0$  corespund unor supratensiuni coborîte. Ținînd seama de acest fapt, se poate afirma că supratensiunile tuturor etapelor pentru care densitățile de curent de schimb sînt mari, au valori neglijabile. Considerînd numai una din etape determinanta de viteză ( $i_0$  mic și  $\eta$  mare) și știind că mărimea lui  $\eta$  constituie o măsură a depărtării de la starea de echilibru, se poate afirma că toate etapele  $i$ , pentru care  $\eta_{i \neq r} \rightarrow 0$  sînt în stare de cuasi-echilibru. Deci existența unei singure etape determinante de viteză impune în mod virtual starea de echilibru pentru celelalte etape.

Revenind la formarea cozilor, se poate spune că într-o reacție în mai multe etape, etapa caracterizată prin cea mai coborîtă viteză de deservire (ceea ce echivalează cu minima conductivitate) va produce coada cea mai lungă și coada totală este un multiplu simplu al cozii de la etapa determinanta de viteză. Deci, în regim staționar, toate etapele se desfășoară cu viteza  $i$ , a etapei determinante de viteză, astfel că valoarea totală a curentului net este:

$$i = zi_r, \quad (5.247)$$

unde  $z$  este numărul etapelor de transfer monoelectronic din reacția de electrod. Aici este bine să se menționeze că din punctul de vedere al fluxului de electroni prin interfață, fiecare etapă se poate considera paralelă cu celelalte (fig. 5.57). Deoarece

$$i_r = \vec{i}_r - \vec{i}_r,$$

rezultă că

$$i = z(\vec{i}_r - \vec{i}_r). \quad (5.248)$$

Pentru stabilirea ecuației cinetice a reacțiilor în mai multe etape, trebuie găsite expresiile densităților de curent  $\vec{i}_r$  și  $\vec{i}_r$ . Să considerăm reacția de electrod care se desfășoară

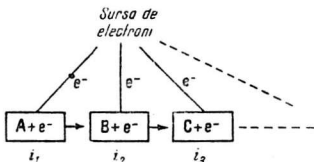
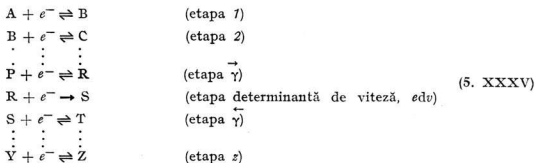


Fig. 5.57. La reacția în mai multe etape fiecare etapă se caracterizează prin propria valoare a densității de curent.

șoară în următoarea succesiune :



transferul monoelectronic  $R + e^- \rightarrow S$  constituie  $edv$  și este precedat de alte  $\vec{\gamma}$  etape de transfer electronic în sens catodic și urmat de  $\overleftarrow{\gamma} (= n - \vec{\gamma} - 1)$  etape de transfer electronic în sens anodic. Densitatea de curent  $i_r$  a  $edv$  se exprimă cu ecuația Butlert-Volmer.

$$i_r = \vec{\mathcal{F}} \vec{k}_{0,R} c_R \exp(-\beta \mathcal{F} \Delta\Phi/RT). \quad (5.193)$$

Întrucît specia  $R$  rezultă în urma unei serii de procese de transfer de sarcină, concentrația  $c_R$  va fi dependentă de potențial. Dar orice etapă ce precede sau succede  $edv$  se găsește într-o stare de cuasi-echilibru, ceea ce permite să se scrie :

$$\begin{aligned}
 \vec{i}_1 &\simeq \overleftarrow{i}_1, \\
 \vec{i}_z &\simeq \overleftarrow{i}_z
 \end{aligned}$$

și prin urmare din egalitatea

$$\vec{\mathcal{F}} \vec{k}_{0,1} c_A \exp(-\beta \mathcal{F} \Delta\Phi/RT) = \overleftarrow{\mathcal{F}} \overleftarrow{k}_{0,1} c_B \exp[(1 - \beta) \mathcal{F} \Delta\Phi/RT], \quad (5.249)$$

rezultă :

$$c_B = K_1 c_A \exp(-\mathcal{F} \Delta\Phi/RT) \quad (5.250)$$

unde  $K_1 = \vec{k}_{0,1}/\overleftarrow{k}_{0,1}$ .

În mod analog,

$$c_C = K_2 c_B \exp(-\mathcal{F} \Delta\Phi/RT) = K_1 K_2 c_A \exp(-2 \mathcal{F} \Delta\Phi/RT), \quad (5.251)$$

$$c_D = K_3 c_C \exp(-\mathcal{F} \Delta\Phi/RT) = K_1 K_2 K_3 c_A \exp(-3 \mathcal{F} \Delta\Phi/RT) \quad (5.252)$$

și final :

$$c_R = \left( \prod_{i=1}^{\vec{\gamma}} K_i \right) c_A \exp(-\vec{\gamma} \mathcal{F} \Delta\Phi/RT). \quad (5.253)$$

Înlocuind valoarea lui  $c_R$  în ecuația (5.193), se obține :

$$\vec{i}_R = \vec{\mathcal{F}} \vec{k}_{0,R} \left( \prod_{i=1}^{\vec{\gamma}} K_i \right) c_A \exp[-(\beta + \vec{\gamma}) \mathcal{F} \Delta\Phi/RT] = i'_{0,R} \exp[-(\beta + \vec{\gamma}) \mathcal{F} \eta/RT], \quad (5.254)$$

unde  $i'_{0,R}$  indică faptul că viteza este de astă dată raportată la concentrația de produs inițial A și nu R; evident,

$$i'_{0,R} = \mathcal{F} \vec{h}_{0,R} \left( \prod_{i=1}^{\vec{\gamma}} K_i \right) c_A \exp [-(\beta + \vec{\gamma}) \mathcal{F} \Delta \Phi_e / RT]. \quad (5.255)$$

Asemănător, viteza reacției inverse, anodice  $S \rightarrow R + e^-$  se poate corela cu concentrația produsului final Z prin egalitățile:

$$\overleftarrow{i}_R = \overleftarrow{\mathcal{F}} \overleftarrow{h}_R \left( \prod_{i=z-\vec{\gamma}-1}^z K_i \right) c_z \exp [(\vec{\gamma} + 1 - \beta) \mathcal{F} \Delta \Phi / RT], \quad (5.256)$$

sau

$$\overleftarrow{i}_R = i'_{0,R} \exp [(\vec{\gamma} + 1 - \beta) \mathcal{F} \eta / RT], \quad (5.257)$$

unde

$$i'_{0,R} = \mathcal{F} \overleftarrow{h}_{0,R} \left( \prod_{i=z-\vec{\gamma}-1}^z K_i \right) c_z \exp [(\vec{\gamma} + 1 - \beta) \mathcal{F} \Delta \Phi_e / RT]. \quad (5.258)$$

Introducînd valorile explicite ale lui  $\overleftarrow{i}_R$  și respectiv  $\overleftarrow{i}_R$  în (5.248) se ajunge la ecuația cinetică a reacției de electrod în mai multe etape:

$$i = z(\overrightarrow{i}_R - \overleftarrow{i}_R) = z i'_{0,R} \{ \exp [(\vec{\gamma} + 1 - \beta) \mathcal{F} \eta / RT] - \exp [-(\vec{\gamma} + \beta) \mathcal{F} \eta / RT] \} \quad (5.259)$$

sau

$$\begin{aligned} i &= i_0 \{ \exp [(\vec{\gamma} + 1 - \beta) \mathcal{F} \eta / RT] - \exp [-(\vec{\gamma} + \beta) \mathcal{F} \eta / RT] \}, \\ i &= i_0 \{ \exp (z - \vec{\gamma} - \beta) \mathcal{F} \eta / RT] - \exp [-(\vec{\gamma} + \beta) \mathcal{F} \eta / RT] \}, \end{aligned} \quad (5.260)$$

deoarece  $\overleftarrow{\gamma} = z - \vec{\gamma} - 1$  și

$$i_0 = z i'_{0,R}. \quad (5.261)$$

La supratensiuni mari cu  $\eta \ll 0$ . (reacția catodică netă) în egalitatea (5.260) se poate neglija cea dintîi exponențială;  $\eta \gg 0$  (reacție anodică netă), se poate neglija cel de al doilea termen exponențial.

În domeniul micilor supratensiuni, ambii termenii exponențiali pot fi liniarizați prin dezvoltare în serie, cînd se obține:

$$i = z i'_{0,R} \left( \frac{z \mathcal{F}}{RT} \eta \right) = i_0 \left( \frac{z \mathcal{F}}{RT} \eta \right) \quad (5.262)$$

unde mereu  $z = \overleftarrow{\gamma} + \vec{\gamma} + 1$ .

Relațiile stabilite rămîn valabile și în cazurile cînd:  $a$  — înaintea sau și după  $edv$  au loc și etape chimice, fără transfer de sarcină și  $b$  — cînd  $edv$  este chimică și este precedată sau urmată de etape de transfer electronic. În cel de al doilea caz, numărul electronilor transferați după  $edv$  devine  $z - \vec{\gamma}$ ; nu se va înregistra efect direct al potențialului asupra vitezei  $edv$ , ci numai indirect, exercitat asupra etapelor de transfer de sarcină ce preced  $edv$ .

### 5.4.8.3 Bariere de energie ale reacțiilor în mai multe etape

Fiecărei etape îi este asociată o barieră energetică. De aceea atunci cînd avem de-a face cu o serie de reacții consecutive, în calea reacției va exista o serie de bariere consecutive (fig. 5.58). Să considerăm succesiunea de etape  $A + e^- \rightarrow B$  și  $B + e^- \rightarrow C$  și să presupunem că entalpiile libere de activare standard se succed în felul arătat în figura 5.59, se observă că etapa 1 posedă o energie de activare superioară etapei 2,

$$\Delta G_1^{0\ddagger} > \Delta G_2^{0\ddagger}. \quad (5.263)$$

Pe de altă parte, complexul activat al etapei secunde  $B^\ddagger$  este mai bogat în energie decît complexul activat  $A^\ddagger$  al celei dintîi etape. Se pune întrebarea care din cele două etape va determina viteza globală a reacției?

Să exprimăm vitezele  $v_1$  și  $v_2$  ale etapelor 1 și respectiv 2, în funcție de entalpiile libere de activare standard  $\vec{\Delta G}_1^{0\ddagger}$  și  $\vec{\Delta G}_2^{0\ddagger}$ :

$$v_1 = \frac{kT}{h} c_A \exp(-\vec{\Delta G}_1^{0\ddagger}/RT), \quad (5.187)$$

$$v_2 = \frac{kT}{h} c_B \exp(-\vec{\Delta G}_2^{0\ddagger}/RT), \quad (5.187 \text{ a})$$

și să presupunem că etapa a doua este determinantă de viteză și că orice etapă în afara acesteia se poate considera în stare de cuasi-echilibru. Prin urmare A și B se vor găsi în echilibru, ceea ce permite să se scrie că:

$$\frac{c_B}{c_A} = \exp(-\Delta G_1^0/RT), \quad (5.264)$$

unde  $\Delta G_1^0$  reprezintă entalpia liberă de reacție standard a reacției  $A + e^- \rightarrow B$ . Înlocuind valoarea din (5.187a) a concentrației  $c_B$  cu ajutorul egalității

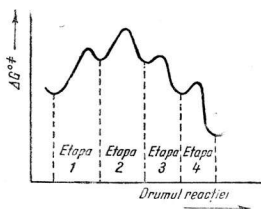


Fig. 5.58. Succesiune de bariere de energie de activare, la reacții în mai multe etape.

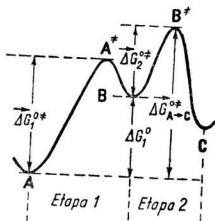


Fig. 5.59. Energia de activare a reacției globale depinde de etapa care are cea mai înaltă entalpie liberă standard și nivelul inițial.

(5.264),  $\vec{v}_2$  devine :

$$\begin{aligned}\vec{v}_2 &= \frac{kT}{h} c_A \exp(-\Delta G_1^0/RT) \exp(-\vec{\Delta G}_1^{0\neq}/RT), \\ \vec{v}_2 &= \frac{kT}{h} c_A \exp(-\vec{\Delta G}_{A \rightarrow C}^{0\neq}/RT).\end{aligned}\quad (5.265)$$

Comparînd  $\vec{v}_1$  cu  $\vec{v}_2$ , rezultă că  $\vec{v}_2 < \vec{v}_1$ , deoarece  $\vec{\Delta G}_{A \rightarrow C}^{0\neq} > \vec{\Delta G}_1^{0\neq}$  și deci viteza globală  $\vec{v} \approx \vec{v}_2$ .

În concluzie se mai poate spune că hotărîrea pentru desemnarea  $edv$  nu este entalpia liberă de activare maximă față de nivelul de energie al unei etape precedente ci față de nivelul stării inițiale.

#### 5.4.8.4 Numărul stoechiometric

S-a stabilit că viteza globală a unei reacții este determinată de viteza etapei celei mai lente ( $edv$ ) și s-a acceptat în mod tacit că frecvența de repetare a acesteia este egală cu frecvența reacției globale, ceea ce nu este întotdeauna adevărat. Pentru a demonstra această afirmație este suficientă considerarea reacției de reducere a ionului hidroniu la molecula  $H_2$ . Fie de exemplu reacția de transfer electronic



etapa determinantă de viteză. Dacă ea are loc o singură dată, se va produce un singur atom de hidrogen adsorbit. Cum molecula de hidrogen este biatomică, formarea ei necesită reacția :



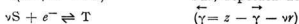
și prin urmare două  $edv$  sînt necesare pentru producerea o singură dată a reacției globale; se spune că schema de reacție are numărul stoechiometric  $\nu=2$  (Horiuti, 1939);  $\nu$  arată corespondența dintre frecvențele  $edv$  și a reacției globale.

Prin introducerea numărului stoechiometric  $\nu > 1$ , se modifică și relația dintre  $\eta$  și  $i$  stabilită la secțiunea 5.4.5, valabilă pentru cazul particular  $\nu = 1$ . Situația se schimbă atunci cînd  $\nu > 1$ , deoarece de astă dată  $\nu$  electroni se vor transfera în  $edv$  repetate de  $\nu$  ori și restul de  $(z - \nu)$  electroni în etape rapide.

Etapa determinantă de viteză  $R + e^- \rightarrow S$  va trebui să se repete de  $\nu$  ori dacă :

- în cele  $\vec{\gamma}$  etape precedente s-au format mai mult de o particulă  $R$ ;
- sau dacă în etapele care urmează  $\vec{\gamma} = z - \vec{\gamma} - \nu$ , sînt necesare mai multe particule  $S$ .

Să considerăm reacția în mai multe etape  $A + ze^- \rightarrow Z$ , într-o variantă mai generală :



Aplicînd legea acțiunii maselor la etapele în cuasi-echilibru, avem ca și mai sus (secț. 5.4.8.2) egalitățile :

$$c_B = K_1 c_A \exp(-\mathcal{F} \Delta \Phi / RT), \quad (5.250)$$

$$c_C = K_2 c_B \exp(-\mathcal{F} \Delta \Phi / RT) = K_1 K_2 c_A \exp(-2 \mathcal{F} \Delta \Phi / RT), \quad (5.251)$$

$$c_D = \dots = K_1 K_2 K_3 c_A \exp(-3 \mathcal{F} \Delta \Phi / RT), \quad (5.252)$$

$$c_R^\nu = \left( \prod_{i=1}^{\vec{\gamma}} K_i \right) c_A^{1s} \exp(-\vec{\gamma} \mathcal{F} \Delta \Phi / RT), \quad (5.266)$$

și

$$c_R = \left( \prod_{i=1}^{\vec{\gamma}} K_i \right)^{1/\nu} c_A \exp[(-\gamma/\nu) \mathcal{F} \Delta \Phi / RT]. \quad (5.267)$$

Viteza  $\vec{i}_R$  a edv devine deci :

$$\vec{i}_R = \mathcal{F} \vec{h}_{0,R} \prod_{i=1}^{\vec{\gamma}} (K_i c_A)^{1/\nu} \exp[(-\vec{\gamma}/\nu) \mathcal{F} \Delta \Phi / RT] \exp(-r \beta \mathcal{F} \Delta \Phi / RT), \quad (5.268)$$

sau

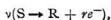
$$\vec{i}_R = i'_{0,R} \exp\{[(\vec{\gamma}/\nu) + r \beta] \mathcal{F} \eta / RT\}. \quad (5.269)$$

Uzînd de relația dintre  $i_0$  și  $i'_0$  precum și de cea dintre  $i$  și  $i_R$ ,

$$i = i_0 \exp\{[-(\vec{\gamma}/\nu) + r \beta] \mathcal{F} \eta / RT\}. \quad (5.270)$$

deoarece :  $i'_{0,R} = i_0/z$  și  $i = z i_R$ .

Același raționament poate fi aplicat reacției inverse



cînd rezultatul devine :

$$c_S = \prod_{n=\vec{\gamma}-r}^n (K_i c_S)^{1/\nu} \exp[(\vec{\gamma}/\nu) \mathcal{F} \Delta \Phi / RT] \quad (5.271)$$



și corespunzător,

$$\bar{i}_R = i_{0,R} \exp\{[(\bar{\gamma}/v) + r - r\beta]\mathfrak{F}\eta/RT\}, \quad (5.272)$$

sau

$$\bar{i} = i_0 \exp\{[(\bar{\gamma}/v) + r - r\beta]\mathfrak{F}\eta/RT\}, \quad (5.273)$$

curentul total  $i = \bar{i} - \vec{i}$  va fi:

$$i = i_0 \left\{ \exp\left[\left(\frac{z - \bar{\gamma}}{v} - r\beta\right) \frac{\mathfrak{F}\eta}{RT}\right] - \exp\left[-\left(\frac{\vec{\gamma}}{v} + r\beta\right) \frac{\mathfrak{F}\eta}{RT}\right] \right\}, \quad (5.274)$$

sau alternativ:

$$i = i_0 \left\{ \exp\left[\left(\frac{\bar{\gamma}}{v} + r - r\beta\right) \frac{\mathfrak{F}\eta}{RT}\right] - \exp\left[-\left(\frac{\vec{\gamma}}{v} + r\beta\right) \frac{\mathfrak{F}\eta}{RT}\right] \right\}. \quad (5.274 a)$$

Ecuatiile (5.274) și (5.274 a) sînt forme generale de exprimare a ecuației cinetice (Butler-Volmer) pentru o reacție în mai multe etape. Termenii  $[(z - \bar{\gamma})/v] - r\beta$  și  $(\vec{\gamma}/v) + r\beta$  se numesc coeficienți de transfer și se notează cu  $\alpha$  și  $\alpha$ :

$$\frac{z - \bar{\gamma}}{v} - r\beta = \bar{\alpha} \quad \text{și} \quad \frac{\vec{\gamma}}{v} + r\beta = \alpha. \quad (5.275) \quad \text{și} \quad (5.276)$$

Se observă că:

$$\bar{\alpha} + \alpha = \frac{z}{v}. \quad (5.277)$$

Aceștia determină pantele curbelor Tafel la reacțiile în mai multe etape și au o importanță mare în determinarea mecanismului de reacție. Cu ajutorul noilor simboluri ale coeficienților de transfer, se mai poate scrie:

$$i = i_0 [\exp(\bar{\alpha}\mathfrak{F}\eta/RT) - \exp(-\alpha\mathfrak{F}\eta/RT)] \quad (5.278)$$

și se obține astfel forma cea mai generală a ecuației cinetice pentru reacțiile în mai multe etape; ea este de aceeași formă ca ecuația Butler-Volmer (5.203) pentru reacția de transfer monoelectronic. Compararea celor două ecuații duce la concluzia că rolul factorului de simetrie din reacția de transfer monoelectronic este preluat de coeficientul de transfer.

În tabelul 5.17 sînt dați coeficienții de transfer, calculați pentru anumite valori ale parametrilor  $\bar{\gamma}$ ,  $r$ ,  $v$ ,  $\vec{\gamma}$  și  $z$ .

Coefficienții de transfer  $\vec{\alpha}$  și  $\leftarrow{\alpha}$  calculați pentru diverse mecanisme, în presupunerea  $\beta = 0,5$

$\vec{\gamma}$	$r$	$v$	$\leftarrow{\gamma}$	$z$	$\vec{\alpha}$	$\leftarrow{\alpha}$
0	0	1	1	1	0	1,0
1	0	1	2	3	1,0	2,0
1	0	2	1	2	0,5	0,5
2	0	2	2	4	1,0	1,0
0	1	1	1	2	0,5	1,5
1	1	1	2	4	1,5	2,5
1	1	2	1	4	1,0	1,0
2	1	2	2	6	1,5	1,5

#### 5.4.8.5 Ordinul reacțiilor de electrod

Ordinul de reacție al proceselor de electrod se definește analog cu ordinul reacțiilor chimice obișnuite. Se reamintește că ordinul global al unei reacții chimice a cărei viteză este de forma :

$$-\frac{dc_A}{dt} = k c_A^a c_B^b \dots c_L^l \quad (5.279)$$

se obține prin însumarea exponenților concentrațiilor individuale ; ordinul de reacție  $n_j$  în raport cu una din speciile reactante A,B... sau L, este egal cu exponentul  $a, b \dots$  sau  $l$  corespunzător, din expresia vitezei de reacție :

$$\left( \frac{\partial \lg v}{\partial \lg c_j} \right)_{c_{i \neq j}} = n_j \quad (5.280)$$

Deoarece viteza reacțiilor de electrod se exprimă cu ajutorul densității de curent, sub forma unei ecuații de tip Butler-Volmer :

$$i = z(\vec{i} - \leftarrow{i}) = z \mathcal{F} (k_{0,r} c_A^a c_B^b \dots \exp(\alpha \mathcal{F} \Delta \Phi / RT) - k_{0,o} c_{A_1}^{a_1} c_{B_1}^{b_1} \dots \exp(-\alpha \mathcal{F} \Delta \Phi / RT)). \quad (5.281)$$

Din ecuația (5.281) rezultă că fiecare reactant A, B... are un ordin de reacție catodic  $a_1, b_1 \dots$  și altul anodic  $a, b \dots$ . La potențiale suficient de anodice pentru a se neglija reacția în sens catodic, egalitatea (5.281) poate servi la exprimarea ordinelor de reacție :

$$\left( \frac{\partial \lg i}{\partial \lg c_A} \right)_{c_B, c_C \dots \Delta \Phi} = a \quad (5.282)$$

$$\left( \frac{\partial \lg i}{\partial \lg c_B} \right)_{c_A, c_C \dots \Delta \Phi} = b \quad (5.283)$$

La potențiale suficient de negative pentru a neglija reacția în sens-anodic, ordinele electrochimice de reacție  $a_1, b_1, \dots$  se vor defini prin :

$$\left( \frac{\partial \lg i}{\partial \lg c_{A_1}} \right)_{c_{B_1}, c_{C_1} \dots \Delta \Phi} = a_1, \quad (5.283)$$

$$\left( \frac{\partial \lg i}{\partial \lg c_{B_1}} \right)_{c_{A_1}, c_{C_1} \dots \Delta \Phi} = b_1, \quad (5.284)$$

sau în general :

$$\left( \frac{\partial \lg i}{\partial \lg c_j} \right)_{c_{i \neq j}, \Delta \Phi} = n_j, \text{ anodic} \quad (5.285)$$

și

$$\left( \frac{\partial \lg i}{\partial \lg c_j} \right)_{c_{i \neq j}, \Delta \Phi} = n_j, \text{ catodic}. \quad (5.286)$$

Se va reține că, în afara concentrațiilor, la definirea ordinului reacțiilor de electrod, se menține constantă și căderea de potențial  $\Delta \Phi$  de la interfață.

Studiul vitezelor de reacție în funcție de concentrația speciei oarecare  $j$ , la supratensiune  $\eta$  constantă conduce la ecuații asemănătoare cu (5.285) și (5.286) dar evident nu identice cu ele. Aceasta reiese, de exemplu, din logaritizarea contribuției anodice din ecuația lui Butler-Volmer și explicitarea lui  $i_0$  după egalitățile (5.255) și (5.261), când se obține :

$$\lg \overleftarrow{i} = \lg z F \overleftarrow{k}_r + n_{j, \text{ anodic}} \lg c_j + \frac{\overleftarrow{\alpha} F \Delta \Phi_e}{RT} + \frac{\overleftarrow{\alpha} F \eta}{RT}. \quad (5.287)$$

Derivînd în raport cu  $\lg c_j$  la  $\eta$  constant, avem :

$$\left( \frac{\partial \lg i}{\partial \lg c_j} \right)_{c_{i \neq j}, \eta} = n_{j, \text{ anodic}} + \frac{\overleftarrow{\alpha} F}{RT} \left( \frac{\partial \Delta \Phi_e}{\partial \lg c_j} \right)_{c_{i \neq j}}. \quad (5.288)$$

Prin urmare derivata densității de curent în funcție de concentrație la supratensiune constantă, nu va fi egală cu ordinul reacției electrochimice, deoarece expresia mai conține și un termen în  $\Delta \Phi_e$ , mărime ce depinde de concentrația  $c_j$ .

Analog se pot obține ecuațiile care exprimă derivata lui  $\lg i_0$  în funcție de concentrație :

$$\left( \frac{\partial \lg i_0}{\partial \lg c_j} \right)_{c_{i \neq j}} = n_{j, \text{ anodic}} + \frac{\overleftarrow{\alpha} F}{RT} \left( \frac{\partial \Delta \Phi_e}{\partial \lg c_j} \right)_{c_{i \neq j}}, \quad (5.289)$$

sau încă :

$$n_{j, \text{ anodic}} = \left( \frac{\partial \lg i_0}{\partial \lg c_j} \right)_{c_{i \neq j}} - \frac{\overleftarrow{\alpha} F}{RT} \left( \frac{\partial \Delta \Phi_e}{\partial \lg c_j} \right)_{c_{i \neq j}}. \quad (5.289 \text{ a})$$

Pentru reacția în sens catodic, expresia este similară:

$$n_{j, \text{ catodic}} = \left( \frac{\partial \lg i_0}{\partial \lg c_j} \right)_{c_{i \neq j}} - \frac{\alpha \bar{F}}{RT} \left( \frac{\partial \Delta \Phi_e}{\partial \lg c_j} \right)_{c_{i \neq j}} \quad (5.290)$$

Întocmai ca la cinetica chimică, ordinul de reacție nu reflectă în mod necesar și molecularitatea  $edv$  sau stoechiometria reacției globale; termenii de concentrație nu se referă la speciile reactante din  $edv$ ; concentrațiile speciilor date pot avea exponenți diferiți pentru reacțiile în sens catodic și anodic; în sfârșit, viteza de reacție poate fi influențată de concentrațiile unor specii care nu apar în reacție globală.

Ultima constatare poate fi generalizată pentru toate cazurile în care speciile formate în urma de reacții ce precede  $edv$  se consumă sau în etapele care urmează  $edv$  sau în aceasta. Foarte adeseori asemenea specii sînt ioni  $\text{OH}^-$  sau  $\text{H}^+$ , care exprimă o viteză dependentă de  $pH$  și nu sînt cuprinse în reacția globală.

În ceea ce privește condiția  $\Delta \Phi = \text{constant}$ , ce trebuie respectată la determinarea ordinului de reacție, ea este echivalentă cu condiția menținerii constante a potențialului de electrod  $\varepsilon$  raportat la un standard oarecare (de exemplu  $EHN$ ). De aceea, determinarea practică a ordinului de reacție în raport cu specia  $j$  se reduce la măsurarea densităților de curent corespunzătoare la diferite concentrații de specie  $j$ , la potențial de electrod  $\varepsilon$  determinat și la concentrații constante de specii  $i \neq j$ .

Potențialul de electrod  $\varepsilon$  trebuie ales destul de depărtat de potențialul de echilibru, pentru ca legea exponențială a variației dintre potențial și concentrație să fie valabilă atât la concentrația cea mai mare aleasă în reacția în sens anodic a speciei alese cît și la concentrația minimă din reacția în sens catodic.

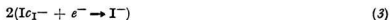
Trebuie să se menționeze faptul că în derivările de mai sus s-a acceptat în mod tacit că modificarea de concentrație a speciei în raport cu care se determină ordinul de reacție, nu afectează potențialul de la interfața metal-soluție, sau că  $\Delta \Phi = \Delta \Phi_{M, PHE}$   $\Phi = \text{const}$ . Aceasta este valabilă numai atunci cînd concentrația ionilor în stratul dublu rămîne ridicată și neschimbată în cursul variației de concentrație a speciei cercetate și se poate realiza practic prin păstrarea constantă a forței ionice în soluția de electrolit, adăugînd sistemului un suport electrolitic neparticipant la reacția de electrod.

O altă cale posibilă de determinare a ordinului de reacție o constituie urmărirea dependenței de concentrație a densității de curent de schimb, cu ajutorul ecuațiilor (5.289 a) și (5.290). Ea prezintă însă un dezavantaj important și anume: pentru a determina dependența potențialului reversibil  $\Delta \Phi_e$  de concentrația unei specii date, este necesară cunoașterea reacției globale. Dacă reacția globală nu este cunoscută, vitezele de reacție se pot determina numai din dependența de concentrație a densității de curent, la potențial constant. Același dezavantaj se semnalează și la determinarea ordinelor de reacție prin dependența de concentrație a densității de curent la supratensiune constantă, deoarece numai cunoscînd reacția globală se poate calcula cel de al doilea termen al ecuației (5.288). Acestea sînt principalele motive pentru care ordinele de reacție electrochimice sînt definite la  $\Delta \Phi$  constant și nu la supratensiune  $\eta$  constantă.

Să analizăm reacția de reducere a iod-iodurii sub aspectul cineticii electrochimice; reacția globală este:



iar mecanismul constă din succesiunea următoarelor etape:



dintre care a 3-a este determinantă de viteză. Ecuația cinetică se scrie deci astfel:

$$i = 2 \mathcal{F} \{ \vec{k}_{0,3} c_{\text{I}^-} \exp[(1 - \beta) \mathcal{F} \Delta\Phi / RT] - \vec{k}_{0,3} c_{\text{I}} \exp[-\beta \mathcal{F} \Delta\Phi / RT] \} \quad (5.291)$$

Concentrația  $c_{\text{I}}$  se poate calcula aplicând celor două etape precedente legea acțiunii maselor.

$$c_{\text{I}} = (K_2 c_{\text{I}_2})^{1/2} = \left( K_1 K_2 \frac{c_{\text{I}_3^-}}{c_{\text{I}^-}} \right)^{1/2}, \quad (5.292)$$

unde  $K_1 = \vec{k}_{0,1} / \vec{k}_{0,1}$  și  $K_2 = \vec{k}_{0,2} / \vec{k}_{0,2}$  sînt constantele de echilibru. Făcînd substituția, egalitatea devine:

$$i = 2 \mathcal{F} \{ \vec{k}_{0,3} c_{\text{I}^-} \exp[(1 - \beta) \mathcal{F} \Delta\Phi / RT] - \vec{k}_{0,3} (K_1 K_2)^{\frac{1}{2}} c_{\text{I}_3^-}^{\frac{1}{2}} c_{\text{I}^-}^{-\frac{1}{2}} \exp(-\beta \mathcal{F} \Delta\Phi / RT) \} \quad (5.293)$$

iar ordinele de reacție sînt:

$$n_{\text{I}^-, \text{anodic}} = 1,$$

$$n_{\text{I}^-, \text{catodic}} = -\frac{1}{2},$$

$$n_{\text{I}_3^-, \text{catodic}} = \frac{1}{2}.$$

Analiza acestui exemplu ilustrează afirmațiile făcute mai înainte referitor la caracteristicile termenilor de concentrație din ecuațiile cinetice. Se remarcă deci că speciile din ecuația vitezei în sens catodic sînt  $\text{I}^-$  și  $\text{I}_3^-$ , în timp ce reactantul din  $\text{edv}$  este  $\text{I}$ . Apoi reacția este monomoleculară dar ecuația cinetică în sens catodic conține termeni de concentrație pentru două specii, cu ordinele respective de  $\frac{1}{2}$  și  $-\frac{1}{2}$ . În sfîrșit, stoechiometria globală cuprinde o particulă  $\text{I}_3^-$  și trei ioni  $\text{I}^-$ , în timp ce ordinele de reacție sînt 1 și  $-\frac{1}{2}$  pentru  $\text{I}^-$  și respectiv 0 și  $\frac{1}{2}$  pentru  $\text{I}_3^-$  după cum este vorba de sensul anodic sau respectiv catodic al reacției.

Pentru a încheia discuția asupra exprimării ecuației cinetice și a parametrilor care determină valoarea vitezei de reacție trebuie să se mențione-

ze faptul că în toate ecuațiile utilizate pînă aici în această secțiune, s-a făcut abstracție de fenomenul de adsorbție la suprafața electrodului. Rolul adsorbției controlate de potențial a fost amintit la secțiunea 5.3 și deci nu revenim asupra lui, dar trebuie făcute precizările necesare asupra modului în care electrosorbția intervine în ecuațiile cinetice ale reacțiilor de electrod. Problema pe care o ridică lămurirea efectului datorat radicalilor adsorbiți asupra vitezei de reacție nu este ușor de rezolvat din cauza specificității radicalului și a reacției. Astfel, moleculele de apă care acoperă majoritatea suprafeței electrodului nu vor avea un efect asupra reacției:



dar atomii de hidrogen adsorbiți pot bloca suprafața și deci împiedică aceeași reacție. Dacă suprafața este acoperită cu atomi H în proporția exprimată de fracția de acoperire  $\theta$ , reacția se va desfășura numai pe suprafața liberă  $(1 - \theta)$  a electrodului. Într-o primă aproximație, viteza reacției de reducere se va scrie:

$$\vec{i} = i_0(1 - \theta) \exp(-\beta \mathcal{F} \eta / RT), \quad (5.294)$$

unde  $\theta$  este dependent de supratensiunea  $\eta$ . Corespunzător, viteza reacției în sens anodic, adică de oxidare a atomilor de hidrogen la  $\text{H}_3\text{O}^+$ , se va exprima prin ecuația:

$$\overleftarrow{i} = i_0 \theta \exp[(1 - \beta) \mathcal{F} \eta / RT]. \quad (5.295)$$

În general rolul de blocare a moleculelor de apă este neglijat din cauza energiei de adsorbție relativ mici; entalpia de adsorbție molară a apei este cuprinsă între 10 și 20 kcal, pe majoritatea suprafețelor de electrod, spre deosebire de atomii de hidrogen și mulți alți radicali la care energia de adsorbție se cifrează la valori mult mai mari ( $\sim 50$  kcal/mol). De aceea, dacă acoperirea suprafeței este un proces competitiv, moleculele de apă cedează locul altor particule cu ușurință.

## 5.5. CERCETAREA MECANISMULUI REACȚIILOR ELECTROCHIMICE

### 5.5.1 GENERALITĂȚI

Să analizăm una din ecuațiile cinetice stabilite în secțiunile precedente și anume ecuația Butler-Volmer, scrisă pentru transferul monoelectronic  $\text{A} + e^- \rightarrow \text{B}$ :

$$i = i_0 \{ \exp[(1 - \beta) \mathcal{F} \eta / RT] - \exp(-\beta \mathcal{F} \eta / RT) \}, \quad (5.203)$$

$$i = \mathcal{F} \overleftarrow{k}_0 c_B \exp[(1 - \beta) \mathcal{F} \Delta \Phi / RT] - \mathcal{F} \overrightarrow{k}_0 c_A \exp(-\beta \mathcal{F} \Delta \Phi / RT). \quad (5.200 \text{ a})$$

Mărimile  $c_A$ ,  $c_B$  și  $\Delta\phi$  s-au considerat constante, invariabile în timp, ceea ce nu este conform realității decât în condiții de echilibru sau de regim staționar, cînd s-ar părea că nimic nu se întîmplă la interfață. Descrierea macroscopică a stării de echilibru  $A + e^- \rightleftharpoons B$  se poate face cu ajutorul ecuației lui Nernst, avînd forma:

$$\Delta\phi_e = \Delta\phi_e^0 + \frac{RT}{\mathfrak{F}} \ln \frac{c_A}{c_B} \quad (5.251 \ a)$$

Regimul staționar, variabil și el în timp la scară microscopică, prezintă aparența constanței deoarece numărul de sarcini care vin spre interfață este compensat de numărul de sarcini care părăsesc interfața; concentrația intermediarilor implicați în reacție rămîne constantă în timp. De aceea structura interfeței și diferența de potențial la interfață rămîn neschimbate. Descrierea interfeței în regim staționar, a cărei comportare în reacția de electrod este controlată de o etapă determinantă de viteză, se poate face cu ecuația cinetică de tip Butler-Volmer, în care  $c_A$ ,  $c_B$  sau  $\Delta\phi$  au alte valori decât cele corespunzătoare stării de echilibru.

Se pune aici întrebarea: trecerea de la starea de echilibru la regimul staționar este instantanee sau reclamă un interval de timp finit? Cea dintîi alternativă pare puțin probabilă dacă se ia în considerare faptul că orice modificare de concentrație necesită mișcarea sau difuzia ionilor, care bine înțeles nu poate fi instantanee. Aceasta ne obligă să acceptăm cea de-a doua alternativă, care stabilește că tranziția din starea de echilibru în regimul staționar se face cu un consum de timp.

### 5.5.2 INTERFAȚĂ ÎN REGIM DE TRANZIȚIE.

#### METODE DE CERCETARE A INTERFEȚEI ÎN REGIM DE TRANZIȚIE

Variația în timp a interfeței metal/electrolit se studiază în modul întîlnit și la alte sisteme: se pornește de la sistemul aflat în regim constant, care apoi se perturbă și se urmărește răspunsul în cursul timpului. Genul de stimuli sau de factori perturbatori utilizabili la studiul interfeței electrod/electrolit se poate deduce din analiza ecuației cinetice. Să considerăm de exemplu ecuația Butler-Volmer scrisă pentru transferul monoelectronic:

$$i = i_0 \{ \exp[(1 - \beta) \mathfrak{F} \eta / RT] - \exp(\beta \mathfrak{F} \eta / RT) \}. \quad (5.203)$$

Se observă că densitatea de curent și diferența de potențial la interfață constituie doi parametri potriviți pentru studiul dinamic al interfeței. Orice metodă de cercetare electrochimică a interfeței în regim dinamic (numită metodă de tranziție, de perturbare sau de relaxare) are la bază aplicarea la interfața aflată în stare independentă de timp, a unor stimuli programați de curent sau de potențial. În figura 5.60 s-au reprezentat

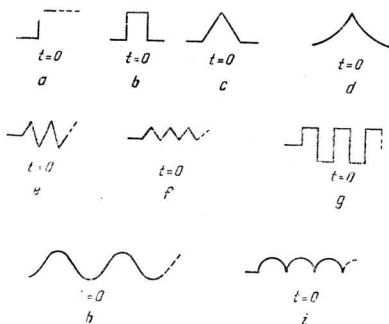


Fig. 5.60. Diverse tipuri de curent sau potențial ce se pot folosi pentru perturbarea interfeței:

*a* – în treaptă; *b* – pulsator; *c* – triunghiular (variație liniară);  
*d* – triunghiular (variație neliniară); *e* – periodic (variație ciclică liniară);  
*f* – periodic (variație liniară triunghiulară); *g* – unde dreptunghiulare;  
*h* – sinusoidal; *i* – sinusoidal rectificat.

diversele posibilități de perturbare sau tipuri de stimulare a interfeței. Dacă stimulentele aplicate sunt intensitatea de curent, se va urmări răspunsul în timp al potențialului, iar dacă perturbarea se face prin aplicarea unei variații de potențial, se va înregistra răspunsul în timp al intensității de curent care a traversat interfața (v. fig. 5.72 și 5.68).

### 5.5.3 METODELE ELECTROCHIMICE DE CERCETARE A MECANISMULUI DE REACȚIE

Metodele electrochimice de cercetare a interfeței în regim de tranziție se pot clasifica fie în funcție de variabila perturbată, fie în funcție de variabila urmărită în răspunsul electrodului (v. tab. 5.18).

Tabelul 5.18

Cîteva din metodele utilizate la studiul proceselor de electrod

Variabila perturbată	Metoda	Variabila urmărită	Metodă
1. Potențial	potențiostatică (polarografie, voltametrie)	a) curentul b) cantitate de electricitate	cronogalvanometrie (cronoamperometrie) cronoculometrie
2. Curent	galvanostatică	potențialul	cronopotențiometrie
3. Cantitate de electricitate	culostatică	potențialul	cronopotențiometrie

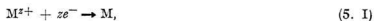


În cele ce urmează vor fi abordate succint bazele câtorva metode electrice, capabile să ofere în general rezultate susceptibile de interpretări cantitative numai în cazul reacțiilor simple, în care nu se adsoarbe în general nici o specie intermediară. Pentru reacțiile complexe, cum sînt reacția de descărcare a oxigenului, electrooxidarea combustibililor organici, reacția Kolbe etc., metodele electrice nu pot constitui baze univoce de investigație pentru studiul intermediarilor, deoarece identitatea chimică a speciilor care dau răspunsuri în urma perturbării unei variabile, nu este întotdeauna clară. De aceea, alături de metodele electrochimice, la elucidarea cineticii reacțiilor de electrod este necesară aplicarea și a altor metode (v. secț. 5.5.4).

### 5.5.3.1 Metoda polarografică

#### 5.3.1.1 Supra tensiunea de concentrație

S-a observat că atunci cînd transportul de specie reactantă nu este capabil să întrețină reacția de transfer de sarcină, potențialul  $\Delta\phi$  măsurat se abate de la valoarea de echilibru  $\Delta\phi_e$ , corespunzătoare condiției  $i = 0$ . Dacă procesul este constituit de reducerea catodică:



potențialul se abate spre valori mai negative decît potențialul de echilibru, chiar dacă densitatea de curent de schimb  $i_0$  este foarte ridicată. Fenomenul i se poate da o explicație relativ simplă. Presupunînd că transferul de sarcină are loc în condiții de echilibru ( $i = 0$ ) potențialul  $\Delta\phi$  de la interfață, poate fi exprimat cu ecuația lui Nernst:

$$\Delta\phi_e = \Delta\phi^\circ + \frac{0,059}{z} \lg c^v. \quad (5.296)$$

Dar atunci cînd densitatea de curent este diferită de zero ( $i \neq 0$ ), în ecuația lui Nernst concentrația de volum  $c^v$  trebuie înlocuită cu valoarea de la interfață  $c^s$ , care este inferioară lui  $c^v$ , din cauza limitării datorate difuziei; deci:

$$\Delta\phi = \Delta\phi^\circ + \frac{0,059}{z} \lg c^s. \quad (5.297)$$

Diferența  $\Delta\phi - \Delta\phi_e = \eta_c$  rezultă din diferența dintre concentrația de volum și cea de la interfață și de aceea poartă numele de supratensiune de concentrație. Ea este diferită de supratensiunea datorată activării procesului de transfer, despre care s-a vorbit deja (secț. 5.4.5) și care se va simboliza de aici înainte prin  $\eta_a$ . Se poate deci scrie:

$$\eta_c = \frac{0,059}{z} \lg \frac{c^s}{c^v}. \quad (5.298)$$

Deoarece în reacțiile catodice întotdeauna  $c^s < c^v$ , polarizarea de concentrație are semn negativ, și se adaugă supratensiunii de activare, în deplasarea

electrodului de la valoarea de echilibru spre potențiale mai negative; aceasta este situația cea mai des întâlnită în practică. Rareori se poate considera  $\eta_a = 0$  sau  $\eta_c = 0$  și de cele mai multe ori reacția de electrod este controlată (cINETIC) simultan de transferul de sarcină și de difuzia speciilor reactante către interfață, cînd valoarea globală  $\eta$  a supratensiunii este :

$$\eta = \eta_a + \eta_c = \Delta\Phi - \Delta\Phi_e \quad (5.299)$$

Aici trebuie să se reamintească faptul că  $\eta_a$ , așa cum este exprimată de ecuația Butler - Volmer (5.203) conține termeni de concentrație în valoarea densității de curent de schimb  $i_0$ . Evident, aceste concentrații se referă la valoarea corespunzătoare la PHE (deci  $c_j^s$ ) și nicidecum la cea de volum  $c_j^v$ . În cazul particular al satisfacerii condițiilor :  $\Delta\Phi_{PHE}, \Delta\Phi = 0$  și  $\eta_c = 0$ , concentrația la PHE se poate exprima prin valoarea de volum.

Diferenței dintre concentrația de volum și cea de la interfață îi corespunde un gradient de concentrație de la interfață la volumul soluției. Or, pentru reacția de transfer de sarcină interesează gradientul de concentrație de la interfață, deoarece el este determinant în fixarea fluxului de difuzie  $J_D$ . Chiar și în prezența convecției cu o scurgere laminară a electrolitului, transportul către electrod în stratul adiacent la interfață, considerat imobil, se face prin difuzie, fluxul fiind determinat de gradientul de concentrație  $\left(\frac{dc}{dx}\right)_{x=0}$  din acest strat; combinarea ecuațiilor (2.6), (2.51) și (2.52) conduce la egalitatea :

$$\frac{i}{zF} = J_D = -D \left(\frac{dc}{dx}\right)_{x=0} \quad (5.300)$$

Dacă se consideră profilul de concentrație redat în figura 5.61, unde se distinge o zonă de variație liniară și alta în care concentrația tinde asimptotic spre valoarea  $c^v$  din volumul soluției, în egalitatea (5.300) se poate face substituția :

$$\frac{c^v - c^s}{\delta} = \left(\frac{dc}{dx}\right)_{x=0} \quad (5.301)$$

și se obține ecuația :

$$\frac{i}{zF} = -D \frac{c^v - c^s}{\delta} \quad (5.302)$$

unde  $\delta$  este grosimea stratului de difuzie, paralel cu interfața, în care are loc difuzia speciilor reactante spre electrod. Noțiunea de strat de difuzie a fost introdusă pentru a ocoli forma complicată pe care ar trebui s-o aibă fluxul, în tratarea hidrodinamică riguroasă a variației în spațiu a concentrației la interfață. În realitate, dacă profilul concentrației nu

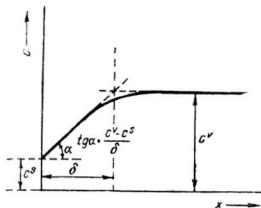


Fig. 5.61. Profilul concentrației în stratul de difuzie și în volumul soluției :

este stabilizat printr-o convecție forțată (agitarea mecanică a soluției), grosimea stratului de difuzie variază cu timpul, pînă în momentul în care convecția naturală intervine și stabilizează profilul de concentrație. În cazul agitării, transportul convectiv al speciilor spre electrod și de la electrod înspre volumul soluției este mult mai rapid decît în convecția naturală și grosimea  $\delta$  este mult mai redusă. Deoarece  $\delta$  este un parametru aproximativ și o proprietate simplificatoare, este dificilă evaluarea sa numerică pe baza vreunei teorii fundamentale. Totuși, se acceptă ca reală valoarea de  $\sim 0,05$  cm în soluții neagitate; altfel, în regim de agitare,  $\delta$  depinde de gradul de agitare (număr de ture/min), fără a se putea depăși o valoare minimă de ordinul a  $10^{-3}$  cm. Tabelul 5.19 cuprinde cîteva valori numerice pentru reacția de reducere  $I_3^- + 2e^- \rightarrow 3I^-$ , într-o soluție de  $KI_3$  avînd concentrația de  $6,6 \cdot 10^{-4} M$ ; coeficientul de difuzie  $D_{I_3^-} = 1,14 \cdot 10^{-5}$  cm<sup>2</sup>/s.

Tabelul 5.19

(1) Densități de curent limită și grosimi ale stratului de difuzie corespunzătoare (electrod rotitor în formă de disc)

Electrod	$i_l (\mu A/cm^2)$	$\delta (cm)$
în repaos	28,9	0,05
50 ture/min	134,1	0,011
240 ture/min	292,1	0,005

#### 5.5.3.1.2 Densitatea de curent limită

În cursul unei reacții de reducere la interfața metal/electrolit, egalitatea dintre fluxul de transfer de sarcină și fluxul de transport reclamă egalitatea

$$\frac{i}{zF} = -D \left( \frac{dc}{dx} \right)_{x=0} = -D \frac{c^v - c^s}{\delta}. \quad (5.303)$$

Evident, gradientul de concentrație are valoarea maximă în planul  $c^s = 0$  (fig. 5.61). Introducînd limita  $c^s = 0$  în ultima egalitate, avem:

$$\lim_{c^s \rightarrow 0} \left( \frac{dc}{dx} \right)_{x=0} = \frac{c^v}{\delta}. \quad (5.304)$$

Gradientul de concentrație maxim corespunde unei densități de curent limită sau maxim, notat  $i_l$ , care valorează

$$i_l = -\frac{DzF}{\delta} c^v. \quad (5.305)$$

Reacția nu se poate desfășura mai repede decît  $i_l$ , deoarece transportul în volumul electrolitului nu poate furniza mai multă specie reactivă pentru procesul de transfer.

Noțiunea de curent limită este de mare importanță practică. În tabelul 5.20 sînt redată valorile densității de curent limită ale unor generatori de energie electrică.

Proportionalitatea dintre  $i$ , și  $c^0$  constituie baza polarografiei, o metodă electroanalitică de o importanță considerabilă, introdusă de Heyrovský. Partea esențială a instalației este constituită de electrodul picător de mercur, alcătuit dintr-o capilară de sticlă, prin care se scurge mercurul dintr-un rezervor  $R$ , cu viteza de o picătură la câteva secunde (fig. 5.62). Soluția de analizat se diluează într-un mare exces ( $\sim 1M$ ) de electrolit indiferent, ( $KNO_3$ ,  $KCl$ ,  $NH_4NO_3$  etc.) ai cărui ioni nu participă la transferul de sarcină, numit electrolit de bază sau fond electrolitic; specia studiată se găsește într-o concentrație de  $10^{-3} - 10^{-4} M$ .

În acest mod se asigură transportul curentului prin migrația ionilor electrolitului indiferent, în timp ce transportul speciei reactive se efectuează prin difuzie pură. Între electrodul picător de mercur, puternic polarizabil și electrodul  $B$  constituit din mercur, avînd suprafața considerabil mai mare decît a picăturii și deci practic nepolarizabil, se creează o diferență de potențial, cu ajutorul divizorului de tensiune  $D$ . Ca răspuns, prin interfața picătură de mercur/soluție se scurge un curent avînd intensități de ordinul  $10^{-8} - 10^{-9} A$ , înregistrat de galvanometrul  $G$ . Atmosfera din vasul de electroliză se păstrează inertă prin barbotarea unui gaz inert (de exemplu azot). Datorită evoluției în timp a picăturii de mercur, suprafața ei variază între secțiunea capilarei ( $t = 0$ ) trecînd printr-o valoare maximă și ajungînd să se anuleze în momentul desprinderii picăturii. O fluctuație analoagă va înregistra și curentul instantaneu, dar valoarea lui medie este o funcție unică de diferența de potențial de la interfață și deci și de aceea creată în toată instalația cu divizorul de tensiune.

La electrodul picător de Hg potențialul electrodului este modificat liniar cu timpul, iar atunci cînd sînt atinse diversele potențiale reversibile de electrod pentru speciile ionice din soluție, curentul înregistrează salturi bruște (fig. 5.63). Pentru ionul simplu metalic din soluție specia redusă  $R$  este atomul metalic în soluție de Hg (amalgam diluat), astfel că potențialele reversibile nu sînt cele caracteristice metalelor pure. Astfel, la metalele aflate înaintea Hg în seria potențialelor electrochimice, potențialele sînt mai nobile din cauza scăderii entalpiei libere a metalului după dizolvarea ca amalgam în Hg. De exemplu potențialul de electrod al electrodului  $Na^+/Na$ , Hg este cu  $\sim 1$  Volt mai

5.25. Densități de curent limită ale unor reacții electromotrice active din cîteva pile de combustie

Pila	$i_l (A/cm^2)$
Propan-aer	0,6
Hidrogen-oxigen	0,8
Hidrogen-aer	0,13
Hidrazină-oxigen	0,64

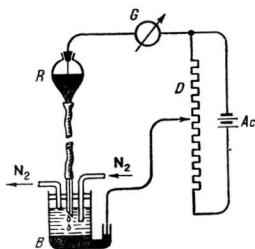


Fig. 5.62. Schema unei instalații polarografice:

$R$  - rezervor de mercur;  $G$  - galvanometru;  $D$  - divizor de tensiune;  $Ac$  - acumulator;  $B$  - anod (Hg)

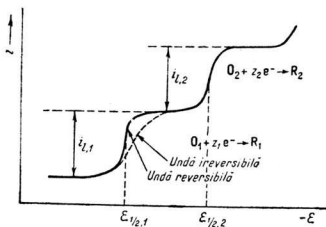


Fig. 5.63. Curba  $i-\epsilon$  obținută la analiza polarografică (Polarogramă).

pozitiv decât cel al electrodului  $Na^+/Na$ , avînd aceeași activitate a ionilor  $Na^+$  în soluție apoasă.

O dată potențialul catodic al reacției  $O + Ze \rightarrow R$  depășit, curentul catodic al reacției crește pînă la valoarea limită  $i_l$ , determinată de viteza de difuzie maximă a speciei  $O$ . S-a menționat că directă proporționalitate dintre  $i_l$  și concentrația de volum a speciei  $O$ , conferă valoarea analitică cantitativă metodei; potențialul de semiundă este caracteristic speciei care se reduce. Dacă la potențiale mai ridicate este posibilă reducerea și a altor specii prezente în soluție, pe curbele curent-potențial catodic vor apare noi salturi pe verticală, curenții de difuzie limită și potențialele de semiundă fiind mărimi caracteristice concentrațiilor și respectiv naturii electrochimice a acestor specii (fig. 5.63).

Din cauza caracterului nenobil al mercurului, nu se pot studia pe electrodul picător de mercur reacțiile de oxidare a multor substanțe.

În aceste cazuri se poate recurge la electrodul rotitor de platină (v. sect. următoare). Dimpotrivă, reacțiile de reducere se pot studia cu mai multă ușurință, limitările fiind mai puține.

Dacă reducerea pe electrodul de mercur este reversibilă, relația dintre potențial și curent poate fi dedusă în felul următor:

Să exprimăm densitatea de curent de difuzie  $i$  corespunzătoare reducerii speciei  $O(O + e^- \rightarrow R)$ , folosind ecuația (5.302):

$$i = k_O(c_O^v - c_O^s), \quad (5.306)$$

unde:

$$k_O = -\frac{zFDO}{\delta} \quad (5.307)$$

În condiții limită, deoarece  $c_O^s = 0$ , putem scrie:

$$i_l = k_O c_O^v. \quad (5.308)$$

Din reacțiile (5.306) și (5.308) se mai obține :

$$c_O^s = \frac{i_I - i}{k_O} . \quad (5.309)$$

O dată produșii de reacție R formați, ei difuzează fie în electrodul de mercur (R este un metal) sau spre volumul soluției (R este o specie moleculară neutră) și vor determina o densitate de curent proporțională cu concentrația superficială a speciei R,  $c_R^s$ , deoarece la începutul reducerii  $c_R^v = 0$  :

$$i = k_R c_R^s , \quad (5.310)$$

de unde :

$$c_R^s = \frac{i}{k_R} . \quad (5.310 \text{ a})$$

Considerînd reacția la echilibru, aplicînd ecuația lui Nernst (ec. 5.33) și trecînd la potențialele raportate la EHN, se obține :

$$\varepsilon_{O/R} = \varepsilon_{O/R}^0 + \frac{0,059}{z} \lg \frac{(i_I - i)/k_O}{i/k_R} + f = \quad (5.311)$$

$$= \varepsilon_{O/R}^0 + A + \frac{0,059}{z} \lg \frac{i_I - i}{i} , \quad (5.312)$$

unde  $f$  este un termen ce conține factorii de activitate referitori la speciile O și respectiv R și este constant în condiții de concentrație (forță ionică) și temperatură date, iar  $A = f + \frac{0,059}{z} \lg \frac{k_O}{k_R}$ , de asemenea o mărime constantă în condițiile menționate.

Cînd  $i = \frac{1}{2} i_I$ , argumentul logaritmului devine unitar și

$$\varepsilon_{O/R} = \varepsilon_{O/R}^0 + A = \varepsilon_{1/2} . \quad (5.313)$$

$\varepsilon_{1/2}$  se numește potențial de semiundă, deoarece corespunde semiînălțimii unei polarografice (v.fig. 5.63). El mai corespunde și punctului de inflexiune de pe curba  $\varepsilon-i$ , unde a doua derivată a funcției  $\varepsilon = \varepsilon(i)$  se anulează. Tabelul 5.21 conține valorile citorva potențiale de semiundă, raportate la ECS, în soluții de bază conținînd hidroxid de tetraetilamoniu (utilizat în special la analiza ionilor alcalini) și amestecul de amoniac + clorură de amoniu. Din cauza variației lui  $\varepsilon_{1/2}$  cu natura soluției de bază și a interferențelor datorate formării amalgamului și altor factori, valoarea lui  $\varepsilon_{1/2}$  ca parametru ce ar permite identificarea calitativă a unei specii ionice date este în general îndoielnică.

Valorile potențialelor de semiundă  
ale unor ioni metalei, raportate la ECS

Fond electrolitic	M <sup>z+</sup>	$\varepsilon \frac{1}{2}$ (V/ECS)
Hidroxid de tetraetilamoniu	Li <sup>+</sup>	-2,31
	Mg <sup>2+</sup>	-2,30
	Ca <sup>2+</sup>	-2,22
	Sr <sup>2+</sup>	-2,11
	K <sup>+</sup>	-2,10
	Na <sup>+</sup>	-2,07
	Ba <sup>2+</sup>	-1,92
	Cr <sup>2+</sup>	-1,58
	Mn <sup>2+</sup>	-1,66
	Ga <sup>3+</sup>	-1,60
	Fe <sup>2+</sup>	-1,49
	Zn <sup>2+</sup>	-1,35
	Co <sup>2+</sup>	-1,29
	Ni <sup>2+</sup>	-1,10
NH <sub>3,aq</sub> + NH <sub>4</sub> Cl	Cd <sup>2+</sup>	-0,81
	Cu <sup>2+</sup>	-0,51
	Ti <sup>+</sup>	-0,48

Se vede (ecuația 5.312) că reprezentînd  $\varepsilon$  în funcție de  $\lg \frac{i_t - i}{i}$  se obține o dreaptă, din a cărei pantă se poate calcula numărul  $z$  al electronilor transferați în reacția de reducere; acordul sau dezacordul cu experiența oferă indicații asupra caracterului reversibil, respectiv ireversibil al reacției. Caracterul „reversibil” al reacției trebuie înțeles în sens cantitativ, el depinzînd de mărimea densității de curent de schimb, deoarece, în ultimă analiză, orice reacție este ireversibilă dacă valoarea densității de curent nete  $i$  depășește de 3 ori valoarea densității de curent de schimb  $i_0$ .

Alura curbelor polarografice înregistrate experimental cu electrodul picător de mercur la reacții controlate cinetic de difuzie, diferă de forma oarecum idealizată din figura 5.63, din cauza influenței periodice a curentului de încărcare nefaradaic al stratului dublu. Ea se produce la fiecare nouă picătură, pe măsură ce aceasta crește, știind că mărirea suprafeței picăturii cu timpul cauzează creșterea capacității stratului dublu, ceea ce necesită un curent crescător pentru a menține potențialul constant. Acest efect este absent la polarografia anodică cu electrod rotitor de Pt, cu excepția cazului cînd capacitatea stratului dublu depinde de potențialul de electrod.

În determinările cantitative cu electrodul picător de mercur, reînnoirea permanentă a suprafeței constituie un avantaj esențial, deoarece se elimină interferența nedorită a impurităților ce s-ar acumula pe suprafața electrodului. Forma sferică a picăturii impune unele corecții referitoare la variația suprafeței cu timpul. Presupunînd o viteză de scurgere  $v$  (grame/sec), masa picăturii la momentul  $t$  este:

$$vt = \frac{4\pi r^3}{3} d, \quad (5.314)$$

unde  $r$  este raza picăturii, iar  $d$  densitatea ei. Pentru suprafața  $s_t$  la același moment  $t$ , avem:

$$s_t = 4\pi r^2 = 4\pi \left( \frac{3}{4\pi d} vt \right). \quad (5.315)$$

La 25°C, mai avem:

$$s_t = 0,8515(vt)^{2/3}. \quad (5.315 a)$$

Grosimea stratului de difuzie devine, așa cum a arătat Ilkovič,

$$\delta = \left( \frac{3}{7} \pi D_0 t \right)^{1/2}. \quad (5.316)$$

Rezultă că densitatea de curent limită  $i_l$  la momentul  $t$ , este dată de așa-numita ecuație a lui Ilkovič:

$$i_l = i_{\text{lim}} = (7,082 \cdot 10^4) \nu^{2/3} l^{1/6} D_0^{1/2} c_0^0. \quad (5.317)$$

Concentrația  $c_0^0$  se exprimă în moli/cm<sup>3</sup>.

Valoarea medie  $\bar{i}_t$  a densității de curent limită în cursul vieții  $\tau$  a picăturii este:

$$\bar{i}_t = \frac{1}{\tau} \int_0^\tau i_l dt = 6,07 \cdot 10^4 \nu^{2/3} l^{1/6} D_0^{1/2} c_0^0. \quad (5.318)$$

La viteză de scurgere constantă, curentul mediu apare independent de timp și reprezintă șase șeptimi din valoarea lui  $i_l$ .

În practică, în locul măsurării valorilor  $\bar{i}$  și  $\epsilon$  corespunzătoare, pentru a determina concentrația speciei O, se preferă măsurători relative, în care polarograma aparținând concentrației necunoscute se compară cu polarogramele unor standarde.

### 5.5.3.1.3 Electrocul în formă de disc rotitor

O altă cale de obținere a unor condiții de difuzie bine definite o constituie utilizarea electrodului în formă de disc rotitor (fixat cu material inert-teflon, pvc), introdus în tehnica electrochimică de Levici. Acest electrod (fig. 5.64) permite folosirea unui electrod solid pentru măsurători analoage celor efectuate cu electrodul picător de mercur și constă dintr-un disc de metal rotitor în jurul centrului său, avînd una din fețe expusă către soluție. Datorită rotirii, soluția este pusă în mișcare, scurgîndu-se pe suprafața discului. Rezolvarea matematică a problemei difuziei convective, conduce la următoarea expresie a densității de curent limită:

$$i_l = 0,62 \nu^{1/2} s D_0^{2/3} \nu^{1/6} \omega^{1/2} c_0^0. \quad (5.319)$$

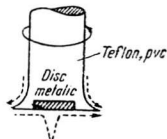


Fig. 5.64. Electrocul în formă de disc rotitor. Săgețile punctate indică fluxul lichidului produs de rotație.



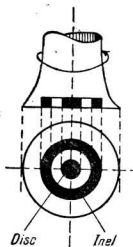


Fig. 5.65. Ansamblul disc-inel rotitor.

unde  $s$  este suprafața discului;  $v$  — viscozitatea cinetică a soluției, iar  $\omega$  viteza unghiulară a discului.

Se observă că  $i_l$  este independent de timp; pe lângă aceasta, el este foarte stabil și poate fi ușor calculat. Un alt avantaj îl constituie faptul, deja menționat, că pe electrodul rotitor se pot studia atât reacții catodice cât și anodice, dacă metalul din care se confecționează este judicios ales. O altă realizare a școlii sovietice de electrochimie (Frumkin și Levici) o constituie ansamblul disc rotitor-inel concentric, fixate pe același suport inert de masă plastică (fig. 5.65). Dacă pe discul rotitor se desfășoară o reacție de electrod oarecare, eventualele specii intermediare adsorbite pe disc, vor fi proiectate parțial pe inelul exterior. Polarizând inelul la valori potrivite, este posibilă atragerea intermediarilor și înregistrarea lor sub formă de curent corespunzător reacției de electrod pe care ei o suferă pe electrodul inelar.

Valoarea metodei constă în aceea că permite obținerea de informații relativ la radicalii prezenți pe suprafața electrodului, dacă ei sînt parțial și slab adsorbiți pe aceasta. Identificarea intermediarilor constituie o etapă importantă în determinările efectuate în vederea elucidării mecanismului de reacție.

### 5.5.3.2 Metoda potențiostatică

Se va considera metoda potențiostatică mai întii astfel încît condițiile de rezolvare a ecuației lui Fick, care determină viteza difuziei speciei reactive, să fie aceleași ca și în metoda polarografică, adică electroliza să decurgă la potențial de electrod constant.

Să vedem cum se desfășoară experiența la ridicarea polarogramei. Pe electrodul picător de mercur se aplică un potențial determinat, care se măsoară în raport cu electrodul nepolarizabil (anodul) și se înregistrează curentul care traversează celula de electroliză.

După desprinderea picăturii precedente, curentul începe din nou să crească, iar concentrația substanței care reacționează la suprafața electrodului se micșorează; în aceste condiții apare polarizarea de concentrație. Dacă viteza specifică  $k_0$  a reacției electrochimice este mai mare decât  $10^{-2}$  cm/s, atunci pentru perioadele obișnuite de picurare de 2–5 s, concentrația  $c$  de la suprafața electrodului devine nulă, iar curentul este determinat de difuzia substanței care reacționează către suprafața electrodului, deoarece toată substanța care difuzează spre electrod se descarcă instantaneu. Evident că în acest caz nu se poate spune nimic despre viteza reacției de electrod însăși; din cele două etape succesive, difuzia substanței la electrod și reducerea electrochimică, cea mai lentă apare difuzia.

În primă aproximație viteza de difuzie (măsurată de densitatea curentului de difuzie) este invers proporțională cu  $\sqrt{t}$ , pe cînd viteza procesului de electrod nu depinde de timp. De aceea, dacă se micșorează timpul de electroliză, viteza etapei de difuzie, măsurată de curentul de difuzie, va

fi din ce în ce mai mare. La un timp nul curentul teoretic ar trebui să tindă spre  $\infty$ , dacă descărcarea ionilor decurge instantaneu. La o viteză finită de descărcare curentul corespunzător timpului de electroliză nul nu este  $\infty$  ci e determinat de viteza etapei mai lente, care în aceste condiții este tocmai reacția de descărcare a ionilor.

Acesta este raționamentul care stă la baza metodei potențiostatice propusă în 1955 de Gerischer și Vielstich. Metoda constă în deplasarea bruscă a potențialului electrodului de la valoarea sa de echilibru  $\varepsilon_e$  pînă la o valoare oarecare  $\varepsilon$  și apoi înregistrarea variației de curent în funcție de timp, în cursul revenirii la echilibru. Deci, în metoda potențiostatică, potențialul nu rămîne constant în decursul întregii experiențe ci este modificat de către experimentator. De aceea o denumire mai corectă ar fi cea de metoda variației în trepte a potențialului de electrod.

Variația bruscă a potențialului de electrod în metoda potențiostatică reușește cu ajutorul unor instalații electronice numite potențiostatate, iar variația în timp a curentului se înregistrează fie cu ajutorul unor galvanometre cu perioada de oscilație scurtă pe hirtie fotosensibilă, fie cu oscilografe catodice 0 (v. fig. 5.66). Schema de principiu a instalației folosită în această metodă este reprezentată în figura 5.66. Blocul de bază al schemei îl constituie potențiostatul electronic  $P_s$  care reglează mărimea curentului care străbate celula astfel ca diferența de potențial dintre electrodul de studiat, 1, și cel de referință, 3, să varieze brusc de la  $\varepsilon_e$  la  $\varepsilon$ , iar apoi să se păstreze constantă. Mărimile  $\varepsilon_e$  și  $\varepsilon$  se fixează dinainte cu ajutorul potențimetrelor obișnuite  $P_1$  și  $P_2$ . Evident că forma de variație a potențialului, reprezentată în figura 5.67 este ideală, deoarece în mod practic, este întotdeauna necesar un interval de timp finit pentru ca potențialul să se modifice de la  $\varepsilon_e$  la  $\varepsilon$ . De aceea, tendința fundamentală în construirea potențiostatelor constă în reducerea la minimum a acestui timp. Schema oricărui potențiostat cuprinde un amplificator de tensiune  $Am$ , lucrînd în regim relativ stabil. Acțiunea directă a acestuia permite reducerea timpului de modificare a potențialului pînă la  $10^{-5}$ s și chiar mai puțin.

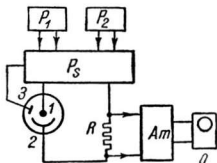


Fig. 5.66. Schema unei instalații pentru măsurători potențiostatice :  $P_1, P_2$  - potențimetre;  $P_s$  - potențiostat;  $Am$  - amplificator;  $O$  - oscilograf; 1 - electrod de studiat; 2 - electrod auxiliar; 3 - electrod de referință.

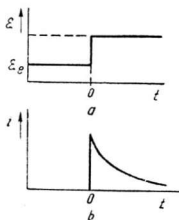
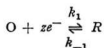


Fig. 5.67. Variația bruscă de potențial, urmată de răspunsul  $i-t$ .

Să vedem în ce fel se pot obține parametri cinetici  $i_0$ ,  $k_0$  și ai reacției electrochimice din curbele curent-timp. Pentru aceasta să considerăm, pentru a simplifica deducțiile, că potențialul electrodului care se polarizează se modifică instantaneu și că deci la  $t > 0$ ,  $\varepsilon_e \neq \varepsilon = \text{const.}$  Apoi să presupunem că reacția electrochimică studiată este de forma



unde O și R reprezintă reactantul (forma oxidată) și produsul de reacție (formă redusă) și că reacția nu are nici o etapă chimică lentă. Viteza de reacție, exprimată prin densitatea de curent corespunzătoare este:

$$i = i_0 \left\{ \frac{c_O}{c_O^v} \exp \left[ -\frac{\alpha z \mathcal{F}}{RT} (\varepsilon - \varepsilon_e) \right] - \frac{c_R}{c_R^v} \exp \left[ \frac{(1 - \alpha) z \mathcal{F}}{RT} (\varepsilon - \varepsilon_e) \right] \right\}, \quad (5.320)$$

unde

$$i_0 = z \mathcal{F} k_0 (c_O^v)^{1-\alpha} (c_R^v)^\alpha, \quad (5.321)$$

$c_O^v$  și  $c_R^v$  concentrațiile de volum ale reactantului și produsului de reacție;  $c_O$  și  $c_R$  concentrațiile la suprafața electrodului ale aceluiași specii, iar  $k_0$  constanta de echilibru standard. Pentru a afla densitatea de curent în condiții potențiostatice, trebuie găsită dependența de timp a concentrațiilor  $c_O$  și  $c_R$ , adică să se determine funcțiile  $c_O(0, t)$  și  $c_R(0, t)$  și să se înlocuiască în relația de mai sus. Pentru aflarea acestor funcții trebuie rezolvată cea de a doua lege a lui Fick, în cazul ambelor specii:

$$\frac{\partial c_O(x, t)}{\partial t} = D_O \cdot \frac{\partial^2 c_O(x, t)}{\partial x^2}; \quad (5.322)$$

$$\frac{\partial c_R(x, t)}{\partial t} = D_R \cdot \frac{\partial^2 c_R(x, t)}{\partial x^2}. \quad (5.323)$$

în următoarele condiții:

a) la  $t = 0$

$$c_O(x, 0) = c_O^v, \quad (2.18)$$

$$c_R(x, 0) = c_R^v;$$

b) la  $t > 0$  și  $x = \infty$

$$c_O(\infty, t) = c_O^v, \quad (2.19)$$

$$c_R(\infty, t) = c_R^v;$$

c)

$$D_O \left[ \frac{\partial c_O(x, t)}{\partial x} \right]_{x=0} + D_R \left[ \frac{\partial c_R(x, t)}{\partial x} \right]_{x=0} = 0, \quad (5.324)$$

întrucât suma fluxurilor de substanțe O și R la suprafața electrodului este nulă.

În sfîrșit, dacă procesul este controlat numai de difuzie și etapa de descărcare,

$$D_O \left[ \frac{\partial c_O(x, t)}{\partial x} \right]_{x=0} = \vec{k}_1 c_O(0, t) - \vec{k}_{-1} c_R(0, t), \quad (5.325)$$

unde  $D_O$  și  $D_R$  reprezintă constantele de difuzie ale speciilor O și respectiv R.

Rezolvarea ecuației lui Fick pentru aceste condiții a fost efectuată de K a m b a r a și T a c h i (1952). Nu vom reproduce mersul rezolvării, care urmează o cale complicată și lungă ci vom da rezultatul final, pentru condițiile cînd abaterea de la potențialul  $\varepsilon_e$  este mică, astfel ca  $\varepsilon - \varepsilon_e$  să fie de ordinul cîtorva milivolți, iar timpul  $t$  scurs de la modificarea de potențial să fie scurt (fig. 5.67). Atunci valoarea densității de curent este:

$$i \approx i_0 \frac{z\mathcal{F}}{RT} (\varepsilon - \varepsilon_e) \left( 1 - \frac{2Q}{\sqrt{\pi}} \sqrt{t} \right), \quad (5.326)$$

unde

$$Q = \frac{k_1}{\sqrt{D_O}} + \frac{k_{-1}}{\sqrt{D_R}}. \quad (5.327)$$

Expresia este utilizabilă pentru calculul parametrilor cinetici ai reacției din date experimentale. În acest scop se reprezintă densitatea de curent  $i$  măsurată, în funcție de  $\sqrt{t}$ . Dreapta, obținută extrapolată la  $t = 0$  duce la (fig. 5.68):

$$i_0 \frac{z\mathcal{F}}{RT} (\varepsilon - \varepsilon_e),$$

de unde se poate calcula  $i_0$ , deoarece  $\varepsilon - \varepsilon_e$  se cunoaște.

Mărimea  $i_0$  este densitatea curentului de schimb a reacției studiate numai în cazul difuziei liniare, care constituie unicul mod de transport al substanței care reacționează la suprafața electrodului; aportul de substanță prin migrare și convecție se consideră nul. De aceea, măsurătorile se efectuează în prezența unui exces de soluție de bază și în astfel de condiții ca raza de curbură a suprafeței electrodului să depășească net grosimea stratului de difuzie. Deoarece grosimea stratului de difuzie în primă aproximație este proporțională cu  $\sqrt{Dt}$ , iar timpul în metoda potențiostatică este mic ( $10^{-3} - 10^{-4}$  sec), condiția difuziei liniare este satisfăcută pentru electrozi sferici atunci cînd raza picăturii este mai mare decît cîteva zecimi de mm. Aceste condiții sînt necesare și în cazul celorlalte metode de relaxare.

De obicei, în cercetarea acestor fenomene se apelează la electrozi de amalgam sub forma de picături atîrnate. Așa de pildă, electrozii din amal-

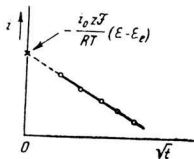


Fig. 5.68. Calculul densității de curent de schimb prin metoda potențiostatică.

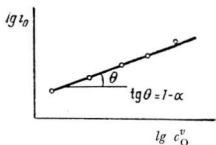
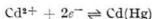


Fig. 5.69. Determinarea coeficientului de transfer prin metoda potențiostatică.

gam de cadmiu în soluții de sare de cadmiu se folosesc pentru urmărirea reacției:



Dacă concentrația ionilor  $\text{Cd}^{2+}$  în soluție este egală cu concentrația cadmiului în amalgam (moli/l), atunci

$$c_O^v = c_R^v = c^v \text{ și } k_0 = \frac{i_0}{z \mathcal{F} c^v}.$$

Pentru a obține pe  $\alpha$  se efectuează măsurători la diverse concentrații  $c_O^v$  păstrind  $c_R^v$  constant sau reciproc și se află densitatea de curent de schimb pentru fiecare concentrație. Apoi, după logaritizarea egalității (5.321)

$$\lg i_0 = \lg (z \mathcal{F} k_0) + \alpha \lg c_R^v + (1 - \alpha) \lg c_O^v \quad (5.328)$$

se construiește graficul  $\lg i_0$  în funcție de  $\lg c_O^v$  când se obține o dreaptă, al cărei coeficient unghiular este  $1 - \alpha$  (fig. 5.69). Cunoscând pe  $\alpha$ , cu ajutorul relației (5.328) este posibilă calcularea constantei de viteză  $k_0$ . În acest caz, efectuarea experienței în condiții  $c_O^v = c_R^v$  nu mai este necesară.

Condițiile reversibilității reacției electrochimice în condiții potențiostatice sînt satisfăcute atunci cînd

$$k_0 \geq 5 \sqrt{\frac{D}{t}}. \quad (5.329)$$

În polarografie  $D \cong 10^{-5} \text{ cm}^2/\text{s}$ , iar  $t \approx 3 \text{ s}$  și prin urmare:

$$k_0 \geq 5 \sqrt{\frac{10^{-5}}{3}} = 0,91 \cdot 10^{-2} \text{ cm/s}. \quad (5.330)$$

Astfel, dacă  $k_0 \geq 10^{-2} \text{ cm/s}$ , atunci din punct de vedere polarografic reacția electrochimică va fi în întregime reversibilă. În practică, metoda polarografică permite determinarea unor valori  $k_0 \geq 10^{-4} \text{ cm/s}$ , dar la viteze mari, precizia metodei se micșorează brusc.

În metoda potențiostatică, dacă  $D = 10^{-5} \text{ cm}^2/\text{s}$  și timpul mediu se consideră  $t \geq 2,5 \cdot 10^{-4} \text{ s}$ , atunci conform ecuației (5.329)

$$k_0 = 5 \sqrt{\frac{10^{-5}}{2,5 \cdot 10^{-4}}} = 1 \text{ cm/s},$$

practic limita lui  $k_0$  este fixată la  $0,2 \text{ cm/s}$ .

În tabelul 5.22 sînt date mărimile lui  $k_0$  pentru reacția de descărcare a citorva ioni de metal pe electrod de Hg.

Valoarea lui  $k_0$  pentru cîteva reacții  
de reducere pe electrod de mercur

ion	fondul (1 N)	$k_0$ (cm/s)
$\text{Cr}^{3+}$	KCl	$1 \cdot 10^{-5}$
$\text{Bi}^{3+}$	$\text{HClO}_4$	$3 \cdot 10^{-4}$
	HCl	1
	KCl	$4 \cdot 10^{-3}$
$\text{Zn}^{2+}$	KBr	$8 \cdot 10^{-3}$
	KJ	$1,7 \cdot 10^{-2}$
	KCNS	$8 \cdot 10^{-3}$
$\text{K}^+$	$[(\text{CH}_3)_4\text{N}]\text{OH}$	0,1
$\text{Na}^+$	$[(\text{CH}_3)_4\text{N}]\text{OH}$	0,4

Pe cale potențiostatică este posibilă și determinarea electrosorbției unor specii pe electrod. Pentru aceasta, electrodul polarizat inițial la un potențial la care echilibrul de adsorbție este atins, este polarizat brusc la un alt potențial, la care specia adsorbită este oxidată. Răspunsul de curent este înregistrat de-a lungul timpului, la un osciloscop. Presupunind că oxidarea speciei adsorbite constituie unicul proces, cantitatea de electricitate consumată se calculează din aria delimitată de curbă și axele de coordonate. Atunci cînd excluderea unor reacții competitive este imposibil de presupus, practica impune două determinări: una în absența, iar cealaltă în prezența speciei studiate. Scăderea suprafeței de sub curbă corespunzătoare celui dintîi caz din suprafața corespunzătoare celui de al doilea, permite evaluarea cantității de electricitate cerute de oxidarea speciei adsorbite; ea este proporțională cu suprafața hașurată din figura 5.70.

### 5.5.3.3 Metoda galvanostatică

Metoda galvanostatică este oarecum reciproca metodei potențiostatice; aici, cu ajutorul unei instalații speciale se modifică brusc valoarea curentului care traversează celula de la zero pînă la o valoare oarecare determinată și se înregistrează răspunsul electrodului sub formă de variație

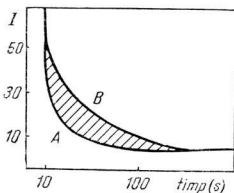


Fig. 5.70. Variația curentului cu timpul după modificare bruscă a potențialului aplicat electrodului de platină-platinată:

în prezența benzenui (B) și în absența lui (A). Electroliu apos de  $\text{H}_2\text{SO}_4$  1N.

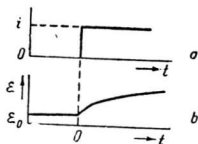


Fig. 5.71. Principiul metodei galvanostatice.

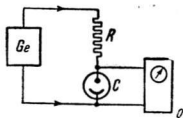


Fig. 5.72. Schema de principiu a unei instalații galvanostatice.

în timp (fig. 5.71) a potențialului. Deoarece în absența unui curent exterior se manifestă potențialul de echilibru  $\varepsilon_e$  de fapt se înregistrează diferența potențialelor sau supratensiunea  $\eta = -(\varepsilon - \varepsilon_e)$ ; din funcția  $\eta = f(t)$  se pot obține parametri cinetici ai reacției. Similar cu metoda potențiostatică și aici în cursul experienței curentul nu se păstrează constant ci variază de la zero pînă la o valoare constantă; de aceea riguros vorbind, metoda galvanostatică se mai numește și metoda creșterii în trepte a curentului.

Schema de principiu a metodei galvanostatice este reprezentată în figura 5.72, în care pentru simplitate cel de al doilea electrod funcționează simultan ca electrod auxiliar și de referință. Rezistența  $R$  se alege astfel încît să depășească cu mult rezistența soluției din celula de electroliză. În acest caz, la tensiune constantă în generatorul  $Ge$  intensitatea curentului  $I$  se păstrează constantă. Prin montajul din figura 5.72 se observă o cădere ohmică de potențial constantă, egală cu produsul  $R_{sol} I$  și măsurată de oscilografu  $o$ . Pentru a o exclude, de obicei celula se leagă într-una din ramurile unei punți de conductibilitate (fig. 5.73). Cînd este satisfăcută egalitatea

$$\frac{R}{R_{sol}} = \frac{R_2}{R_1}, \quad (5.331)$$

atunci căderea ohmică de potențial din celulă este egală cu căderea de potențial de-a lungul rezistenței  $R_1$ , iar oscilografu nu înregistrează decît supratensiunea  $\eta$ . Mărimea curentului care traversează celula se determină din căderea de potențial la rezistența  $R$  constantă ( $I = V/R$ ).

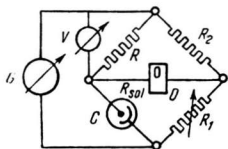


Fig. 5.73. Legarea celei de electroliză dintr-o instalație galvanostatică, într-un montaj de conductibilitate.

Să vedem acum modul în care din curba experimentală  $\eta = f(t)$  se pot obține parametri cinetici ai reacției de electrod:  $k_0$  și coeficientul de transfer  $\alpha$ .

Să considerăm reacția de reducere  $O + ze^- \rightleftharpoons R$  și satisfăcute următoarele condiții:

- soluția nu se agită;
- în soluție există un exces de soluție de bază;

— procesul se desfășoară în condiții de difuzie liniară (semiinfinită). În acest caz, viteza  $i$  a reacției este exprimată de relația (5.320). Făcând  $-(\varepsilon - \varepsilon_e) = \eta$ , se obține:

$$i = i_0 \left[ \frac{c_O}{c_O^v} \exp\left(\frac{\alpha z \mathcal{F} \eta}{RT}\right) - \frac{c_R}{c_R^v} \exp\left(-\frac{(1-\alpha) z \mathcal{F} \eta}{RT}\right) \right]. \quad (5.332)$$

Pentru a obține  $c_O(x, t)$  și  $c_R(x, t)$  trebuie să se rezolve din nou a doua ecuație a lui Fick; în afara condițiilor (2.18), (2.19) și (5.324) întâlnite la metoda potențiostatică, mai trebuie îndeplinită și următoarea:

$$i = z \mathcal{F} D_O \left( \frac{\partial c_O}{\partial x} \right)_{x=0} = \text{const.} \quad (5.333)$$

Rezolvarea ecuațiilor duce la următoarele expresii ale lui  $c_O$  și  $c_R$ , la  $x = 0$ :

$$c_O = c_O^v - \frac{2i}{z \mathcal{F}} \sqrt{\frac{t}{\pi D_O}}, \quad (5.334)$$

$$c_R = c_R^v + \frac{2i}{z \mathcal{F}} \sqrt{\frac{t}{\pi D_R}}. \quad (5.335)$$

Înlocuind aceste valori în expresia lui  $i$  se obține o relație generală pentru dependența lui  $\eta$  în funcție de timp. O simplificare convenabilă se obține atunci când se consideră numai acele mărimi ale lui  $i$  pentru care  $\eta \ll \frac{RT}{z \mathcal{F}}$  adică  $\eta \approx 2 - 5$  mV. În aceste condiții exponențialele se pot dezvolta în serie; limitându-ne la primii doi termeni, se obține:

$$i \approx i_0 \left( \frac{c_O}{c_O^v} - \frac{c_R}{c_R^v} + \frac{z \mathcal{F}}{RT} \eta \right). \quad (5.336)$$

Înlocuind în (5.336) valorile lui  $c_O$  din (5.334) și  $c_R$  din (5.335) și exprimînd pe  $\eta$  se obține:

$$\eta \approx \frac{RT}{z \mathcal{F}} i \left[ \frac{2}{z \mathcal{F} \sqrt{\pi}} \left( \frac{1}{c_O \sqrt{D_O}} + \frac{1}{c_R \sqrt{D_R}} \right) \sqrt{t} + \frac{1}{i_0} \right], \quad (5.337)$$

sau

$$\eta \approx \frac{RT}{z \mathcal{F}} i \left( \frac{2N}{\sqrt{\pi}} \sqrt{t} + \frac{1}{i_0} \right), \quad (5.338)$$

unde:

$$N = \frac{1}{z \mathcal{F}} \left( \frac{1}{c_O^v \sqrt{D_O}} + \frac{1}{c_R^v \sqrt{D_R}} \right). \quad (5.339)$$

Relația (5.338) s-ar putea utiliza pentru obținerea lui  $i_0$  din variația lui  $\eta$  în funcție de timp, observată experimental, dacă ea ar fi valabilă. În



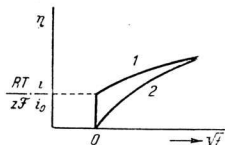


Fig. 5.74. Variația supratensiunii în funcție de  $\sqrt{t}$ ;

1 - curba teoretică și 2 - curba experimentală.

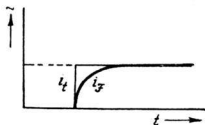


Fig. 5.75. Variația în timp a componentei faradaice.

realitate ea nu corespunde cu experiența, deoarece în loc să fie satisfăcută condiția  $\eta = 0$  când  $t = 0$ , relația dă valoarea nenulă:

$$\eta = \frac{RT}{zF} \cdot \frac{i}{i_0}. \quad (5.338 \text{ a})$$

La valori  $t \neq 0$  variația teoretică a lui  $\eta$  devine proporțională cu  $\sqrt{t}$  (curba 1, fig. 5.74); în realitate, se obține curba 2 din figura 5.75.

Divergența dintre experiență și teorie este legată de faptul că la rezolvarea ecuației lui Fick nu se ia în considerare curentul de încărcare al stratului dublu electric. Astfel, atunci când se vorbește despre variația treptată a curentului, se modifică suma

$$i_F + i_{sd} = i_T, \quad (5.340)$$

unde  $i_F$  este curentul necesar reacției electrochimice (component faradaic) iar  $i_{sd}$  curentul de încărcare al stratului dublu electric (component nefaradaic);  $i_T$  este curentul total. Dacă în intervalul de potențial studiat, capacitatea diferențială a stratului dublu este  $C_{sd}$ ,

$$i_{sd} = C_{sd} \frac{d\eta}{dt}, \quad (5.341)$$

iar componenta faradaică devine:

$$i_F = zF D_O \left( \frac{\partial c_O}{\partial x} \right)_{x=0} \quad (5.342)$$

După cum s-a spus, în primul moment, trebuie să ne așteptăm la o variație bruscă a lui  $\eta$ , când atât derivata  $d\eta/dt$  cât și curentul de încărcare sînt mari. Ulterior, supratensiunea se mărește mult mai lent, devenind predominant curentul faradaic, care nu rămîne constant la valori crescătoare ale lui  $t$ , așa cum cere condiția (5.333); de aici și neconcordanța semnalată mai sus. În realitate curentul faradaic se modifică în timp așa cum indică figura 5.75. Pentru rezolvarea corectă a dependenței  $\eta = f(t)$  în locul condiției (5.333) trebuie scrisă condiția următoare:

$$i = C_{sd} \frac{d\eta}{dt} + zF D_O \left( \frac{\partial c_O}{\partial x} \right)_{x=0} = \text{const.} \quad (5.343)$$

Rezolvarea ecuației lui Fick în asemenea condiții limită se dovedește extrem de complicată; în cazul particular  $\eta \ll \frac{RT}{z\mathfrak{F}}$  ea a fost efectuată relativ recent (Berzins și Delahay, 1955). În aceste condiții și la valori  $t < 5 \cdot 10^{-5}$  s, funcția  $\eta = f(t)$  ia forma:

$$\eta \approx \frac{RT}{z\mathfrak{F}} i \left( \frac{2N}{\sqrt{\pi}} \sqrt{t} - \frac{RTN^2}{z\mathfrak{F}} C_{sd} + \frac{1}{i_0} \right) \quad (5.344)$$

Se observă că relația (5.344) se deosebește de ecuația (5.338) prin termenul al doilea din paranteză și coincide cu ea pentru condiția  $C_{sd} = 0$ . Din relația (5.344) rezultă că variația de potențial  $\eta$  este alcătuită din 3 componente corespunzătoare produselor dintre factorul comun și cei 3 termeni din paranteză; ele se numesc, pe rînd: supratensiune de concentrație, supratensiune de încărcare a stratului dublu și supratensiune electrochimică. Dacă termenul care exprimă supratensiunea de concentrație este îndeajuns de mare în comparație cu ceilalți doi din ecuația (5.344) se poate deduce  $i_0$  și prin măsurători la diverse concentrații, constanta de viteză  $k_0$  și coeficientul de transfer  $\alpha$ .

Să evaluăm posibilitățile de bază ale metodei galvanostatice, pornind de la condițiile următoare: relația este valabilă numai la  $t > 5 \cdot 10^{-5}$  s., iar termenul polarizării electrochimice, cel de al treilea în (5.344) trebuie să fie cel puțin  $1/5$  din valoarea polarizării de concentrație (cel dintîi din relația (5.344)), adică  $\frac{1}{5} \frac{2N}{\sqrt{\pi}} \sqrt{t} \leq \frac{1}{i_0}$ .

Fie

$$c_{\text{O}}^v = c_{\text{R}}^v = c^v$$

și

$$D_{\text{O}} = D_{\text{R}} = D = 10^{-5} \text{ cm}^2/\text{s},$$

atunci

$$i_0 = z\mathfrak{F} k_0 c^v$$

iar

$$\frac{2 \times 2}{5 \sqrt{\pi} z\mathfrak{F} c^v \sqrt{D}} \sqrt{t} \leq \frac{1}{z\mathfrak{F} k_0 c^v},$$

de unde

$$k_0 \leq \frac{5 \sqrt{\pi D}}{4 \sqrt{t}} = \frac{5}{4} \sqrt{\frac{3,14 \cdot 10^{-5}}{5 \cdot 10^{-5}}} \approx 1 \text{ cm/s}.$$

Deci metoda permite studierea unor reacții electrochimice a căror constantă de viteză  $k_0 \leq 1$  cm/s.

Calculul parametrilor cinetici ai reacției după curbele experimentale, cu ajutorul relației (5.344), se face în felul următor: mai întîi se repre-

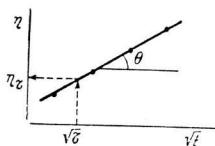


Fig. 5.76. Variația supratensiunii cu  $\sqrt{t}$ .

zintă grafic  $\eta$  în funcție de  $\sqrt{t}$ , cînd se obține o dreaptă (fig. 5.76), al cărei coeficient unghiular valorează :

$$\operatorname{tg} \theta = \frac{2RT i N}{z \mathcal{F} \sqrt{\pi}} \quad (5.345)$$

Se determină apoi un timp oarecare  $\tau$ , la care să fie satisfăcută condiția :

$$\tau \tau = \frac{RT}{z \mathcal{F}} \frac{i}{i_0} \quad (5.346)$$

cînd evident :

$$\frac{2N\sqrt{\tau}}{\sqrt{\pi}} = \frac{RT N^2}{z \mathcal{F}} C_{sd}, \quad (5.347)$$

de unde :

$$\sqrt{\tau} = \frac{RT}{z \mathcal{F}} \cdot \frac{\sqrt{\pi}}{2} N C_{sd} = \frac{\pi}{4} \frac{C_{sd}}{i} \operatorname{tg} \theta. \quad (5.348)$$

Se observă că pentru exprimarea lui  $\sqrt{\tau}$  trebuie cunoscută capacitatea  $C_{sd}$  a stratului dublu electric, care se determină printr-o altă metodă. O dată valoarea  $\tau$  cunoscută, pe graficul  $\eta - \sqrt{t}$  se caută valoarea  $\eta_\tau$  corespunzătoare și cu relația (5.346) se calculează  $i_0$ . În sfîrșit, cunoscînd  $i_0$ , pentru diverse valori  $c_o^v$  la  $c_R^v = \text{const}$  se determină  $k_0$  și  $\alpha$ , prin metoda descrisă în secțiunea precedentă.

În tabelul 5.23 sînt date rezultatele cercetărilor galvanostatice asupra reacției  $\text{Cd}^{2+} + 2e^- \rightleftharpoons \text{Cd(Hg)}$  pe electrod de mercur și folosind ca fond electrolitic o soluție 1 M de  $\text{Na}_2\text{SO}_4$ .

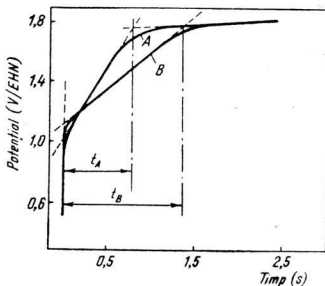
Tabelul 5.23

**Parametri cinetici ai reacției  $\text{Cd}^{2+} + 2e^- \rightleftharpoons \text{Cd(Hg)}$  determinați prin metoda galvanostatică (fond electrolitic:  $\text{Na}_2\text{SO}_4$  1 M)**

$c_o^v \cdot 10^3$	$\tau \cdot 10^3 (\text{V/s}^{1/2})$	$\sqrt{\tau} \cdot 10^3 (\text{s}^{1/2})$	$\eta_\tau (\text{mV})$	$i_0 \cdot 10^3 \text{A/cm}^2$	$k_0 \cdot 10^3 \text{cm/s}$
10	0,242	0,716	0,40	3,03	4,48
5	0,490	1,45	0,70	1,73	4,56
2,5	0,990	2,90	1,20	1,01	4,43
1,0	2,41	7,11	2,45	0,494	4,41

O variantă galvanostatică, efectuată în regim de tranziție poate servi la determinarea gradului de acoperire a electrodului (electrocatalizor). Ca și la metoda precedentă, electrodul este menținut mai întîi la potențialul la care se dorește cunoașterea acoperirii cu specia electrosorbită, un timp suficient de lung pentru a se atinge echilibrul de adsorbție, iar apoi este supus unui impuls de curent constant, după care se urmărește modifi-

Fig. 5.77. Variația în timp a potențialului după un impuls de curent aplicat electrodului de platină platinată aflat în  $\text{H}_2\text{SO}_4$  1N; A — în absența benzenului și B — în prezența benzenului.



careia în timp a potențialului. Curbe tipice de acest gen sînt reprezentate în figura 5.77 în care produsul dintre  $t_B - t_A$  și intensitatea de curent aplicată reprezintă sarcina necesară pentru oxidarea speciei adsorbite. Frația de acoperire se obține prin raportarea acestei cantități de electricitate la cantitatea de electricitate reclamată de oxidarea completă a unui strat monomolecular de specie adsorbită.

#### 5.5.3.4 Bazele metodei culostatice

Prin această metodă, electrodul aflat inițial în stare de echilibru, este perturbat prin trecerea unei cantități de electricitate date de-a lungul unui timp extrem de scurt (de exemplu  $0,1 \mu\text{s}$ ). Relaxarea electrodului spre starea de echilibru este apoi urmărită prin variația potențialului cu timpul (B a r k e r, D e l a h a y ș.a.)

Aflarea funcției  $\eta = f(t)$  este simplă în cazul cînd reacția electrochimică se rezumă numai la transferul de sarcină și perturbarea din starea de echilibru nu este apreciabilă (de exemplu  $|\eta| \leq 5 \text{ mV}$ ). Cantitatea de electricitate este consumată în stratul dublu de către curentul faradaic rezultat din reacția de transfer de sarcină. În aceste condiții:

$$i = \frac{zF}{RT} i_0 \eta. \quad (5.338 \text{ a})$$

Forma integrată a ecuației (5.338 a) este:

$$\eta = \eta_0 \exp\left(-\frac{t}{\theta}\right), \quad (5.349)$$

unde  $\theta$  este timpul de relaxare, iar  $\eta_0$  valoarea lui  $\eta$  corespunzătoare la  $t = 0$ . Timpul de relaxare este:

$$\theta = \frac{C_{ad} RT}{i_0 z F}. \quad (5.350)$$

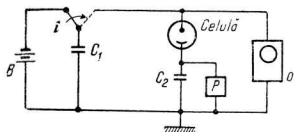


Fig. 5.78. Schema de principiu a unui culostat

Deoarece impedanța capacitivă este mult mai mică decât rezistența faradaică pentru un impuls de curent foarte scurt, întreaga cantitate de electricitate  $Q$  ce traversează electrodul se poate considera utilizată la încărcarea stratului dublu, astfel că,

$$\eta_0 = \frac{Q}{C_{sd}}, \quad (5.351)$$

capacitatea stratului dublu s-a considerat constantă în domeniul îngust de potențial observat experimental, în timpul de încărcare  $t \ll \theta$ .

Întrucît în cursul relaxării se scurge un curent foarte mic, pierderile ohmice nu vor influența măsurătorile de timp de relaxare. Acest fapt facilitează studiarea unor soluții și electrozi avînd conductibilitate electrică redusă.

Cunoscînd  $C_{sd}$  și determinînd experimental pe  $\theta$ , este posibilă calcularea densității curentului de schimb  $i_0$ , iar apoi a lui  $k_0$  și a coeficientului de transfer  $\alpha$ .

Figura 5.78 reproduce schema de principiu a unui culostat; condensatorul  $C_1$  (avînd de exemplu  $30\mu\text{F}$ ) este încărcat la un potențial cunoscut (10 V) cu ajutorul unei baterii B și apoi descărcat prin celula de electroliză. Înainte de descărcare potențiometrul P este ajustat astfel încît să compenseze FEM a pilei, ceea ce permite o mai bună observare a variației lui  $\eta$  în timp la osciloscopul O. Condensatorul  $C_2$  servește la șuntarea potențiometrului pentru a elimina modificarea caracteristicilor pulsului din cauza inducției și a rezistenței potențiometrului.

#### 5.5.4 METODE FIZICO-CHIMICE DE CERCETARE A MECANISMULUI DE REACȚIE

Cercetarea „in situ” a interfeței electrod-soluție, unde se consumă reacției sau iau naștere produșii de reacție și diverși intermediari, se poate efectua cu bune rezultate, printre altele și cu ajutorul unor metode optice și cu metoda rezonanței electronice de spin (RES). Dintre metodele optice trebuie menționată spectroscopia de reflexie, analiza luminii transmise prin electrozi transparenți și elipsometria.

##### 5.5.4.1 Reflexie totală atenuată

Această tehnică se bazează pe trecerea unui fascicul de lumină printr-un electrod transparent astfel încît el să atingă interfața electrod-soluție dinspre electrod. Dacă unghiul de incidență al fasciculului de lumină depășește unghiul critic, lumina va fi total reflectată, cu condiția ca pe interfață sau în vecinătatea ei să nu se găsească specii absorbante optic. Considerații teoretice, întărite de constatări experimentale au condus la concluzia că fasciculul luminos pătrunde în faza de soluție o fracțiune

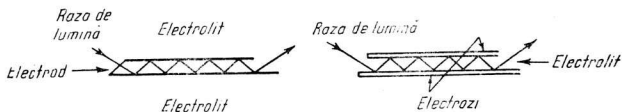


Fig. 5.79. Aranjamente optice pentru studierea prin reflexie a interfeței electrod-electrolit.

de lungime de undă, chiar și atunci când unghiul de incidență depășește unghiul critic limită. Prin urmare coeficientul de reflexie este sensibil la speciile absorbante aflate în soluție pînă la distanțe care măsurate de la suprafața electrodului, depășesc stratul difuz în condiții obișnuite. Pentru a mări sensibilitatea globală față de speciile adsorbite pe electrod sau aflate în soluție, în vecinătatea sa, se obișnuiește utilizarea unui aranjament care să permită un mare număr de reflexii (fig. 5.79).

S-a observat că metoda este mai sensibilă pentru molecule adsorbite avînd mase moleculare mai mari, dar substanțial mai puțin sensibilă decît la studiul interfețelor gaz-solid.

#### 5.5.4.2 Reflexie externă

Reflexia sau difuzia externă s-a folosit cu succes la examinarea spectrelor IR ale speciilor adsorbite cum sînt hidrogenul atomic, etilena sau oxidul de carbon, la interfața metal-gaz. Dar, din cauza opacității apei și a majorității solvenților polari în domeniul infraroșu, tehnica reflexiei externe nu a fost folosită la studiul „in situ” a interfeței electrod-electrolit în lumină infraroșie. Recent (Koch și Scalfi, 1966) tehnica a fost folosită la studiul „in situ”, cu lumină vizibilă și ultravioletă (260 — 660 nm) a unor electrozi metalici de Pt, Au și Ni aflați în contact cu o soluție  $H_2SO_4$ ; modificări substanțiale s-au observat la diverse potențiale, dar legătura lor cu proprietățile superficiale nu este tocmai clară.

#### 5.5.4.3 Transmisie directă

Electrozi transparenți la lumina vizibilă și ultravioletă sub incidență normală au fost folosiți pentru studierea intermediarilor și a produșilor de reacție. Electrozii constau dintr-un strat de oxid de Staniu (IV) depus pe sticlă și sînt stabili timp de aproximativ o zi în soluții avînd  $pH$ -ul cuprins între 1 și 10 și conținînd agenți oxidanți sau reducători blînzi; domeniul de potențial explorabil cu aceștia este ceva mai larg decît cel corespunzător electrodului de platină.

În contrast cu tehnica reflexiei interne, metoda prin transmisie este convenabilă pentru urmărirea variațiilor de concentrație de-a lungul unor distanțe mari de la suprafața electrodului și este adecvată pentru urmărirea proceselor chimice omogene care preced sau succed etapa eterogenă de transfer de sarcină.

Fie reacția de transfer de tipul:



unde R și O reprezintă mereu speciile redusă și respectiv oxidată. Dacă O absoarbe lumina și este absent inițial, absorbanta  $A$  la densitatea de curent de difuzie limită este dată de ecuația:

$$A = 2\mu_0 c_R \left( D_R \frac{t}{\pi} \right)^{1/2}, \quad (5.352)$$

unde  $\mu_0$  este absorbția molară a speciei O. Dacă etapa chimică este cuplată cu una de transfer de sarcină, absorbanta deviază de la dependența liniară în funcție de  $\sqrt{t}$ . Construirea curbelor  $A = f(t)$  se poate face folosind calculatoare electronice (computere). Folosindu-se această cale, s-au putut verifica mecanismele de oxidare ale *o*-toluidinei în soluție apoasă și a *N,N'*-difenil-*p*-fenilendiaminei în acetonitril (1968). Ele constau din următoarele două etape:

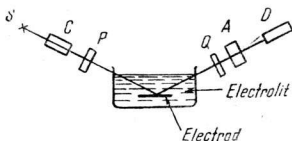


unde S este un intermediar.

#### 5.5.4.4 Elipsometrie

Aplicarea elipsometriei la cercetări electrochimice „in situ” a fost făcută de Bockris și Reddy (1963—65). În principiu, metoda constă în analizarea unui fascicul de lumină monocromatic, polarizat eliptic și reflectat de interfața electrod-electrolit (fig. 5.80). Modificările de fază și de amplitudine măsurate în analizor sînt destul de mari pentru a permite detecția formării unor filme avînd grosimi medii de cel puțin 0,01 — 0,02 nm.

Metoda a fost aplicată la studiul formării oxidului pe platină și al pasivării nichelului și fierului. Dar, deoarece măsurătorile s-au efectuat cu lumină monocromatică, informațiile obținute reflectă în măsură relativ mică specificitatea filmelor sau a straturilor adsorbite. Utilizarea unor domenii mai largi de lungimi de undă și a unor elipsometre — scanner automate, ar putea oferi date mult mai specifice asupra interacțiunilor legate de formarea straturilor de la interfața electrod-electrolit.



#### 5.5.4.5 Rezonanță electronică de spin (RES)

Multe reacții de electrod organice se desfășoară cu formarea intermediară de radicali liberi și radicali ionici. RES constituie o metodă de identificare a lor și de urmărire a variațiilor de concentrație. Spectrele

Fig. 5.80. Schema de principiu a unui elipsometru.

*RES* ale acestor radicali oferă informații referitoare la interacțiunile dintre ei și solvent sau alte substanțe dizolvate, avînd influență asupra mecanismului de reacție.

S-au folosit două aranjamente diferite: cu celula de electroliză așezată în interiorul cavității rezonante și în afara ei și transferul radicalilor în cavitate prin circulație. Cel dintîi are avantajul unei bune sensibilități față de speciile generate pe electrodul studiat, dar este însoțit de inconvenientul unor interfețe între electrod și cavitatea rezonanței. De asemenea, el este preferabil pentru studierea unor radicali cu viață scurtă ( $< 1$  s). Dimpotrivă, al doilea aranjament e mai potrivit pentru studierea radicalilor cu viață mai lungă și are avantajul menținerii la un nivel constant a concentrației de radical ce se scurge prin cavitatea rezonantă. Neuniformitatea concentrației de radical în varianta generării în cavitate, duce la calcule foarte complicate, care pot fi îngreunate, în studiile cantitative, de convecția naturală.

Metoda *RES* a fost aplicată la studiul multor reacții de electrod organice, printre care se pot menționa: reducerea nitroderivatelor aromatici și alifatici, oxidarea dimetilanelinei ș.a. Alături de apă, s-au folosit și solvenți organici; în aceștia din urmă, adeseori radicalii liberi și cei ionici posedă stabilități mai pronunțate.

#### 5.5.5 ALTE METODE

În unele reacții care se desfășoară pe electrozi avînd suprafețe mari, proprietățile speciilor adsorbite se pot deduce din observarea vitezei de dizolvare a gazului de pe suprafața electrodului, în funcție de potențial, în circuit deschis. Cantitatea de gaz degajat se poate exprima în termeni de micșorare a acoperirii cu speciile chimice studiate sau a sarcinii echivalente asociate și cînd aceasta se cunoaște ca funcție de potențial, se poate calcula capacitatea echivalentă.

O tehnică automatizată a fost dezvoltată de către Conway și Bourgault și aplicată la studiile asupra electrodului de oxid de nichel, pe care degajarea oxigenului în circuit deschis, avea loc după o polarizare prealabilă.

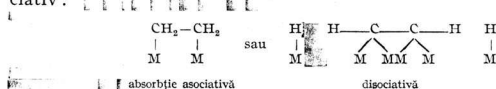
Se știe că pentru măsurători exacte (de 1%) sînt necesari cîțiva  $\text{cm}^3$  de gaz, ceea ce echivalează în cazul oxigenului cu o cantitate de electricitate de circa 100 coul. Pentru oxigenul adsorbit atomic (O), sarcina reclamată de acoperirea  $1 \text{ cm}^2$  de suprafață reală de electrod va fi de  $\sim 250 \mu \text{ coul}$ ; deci suprafața reclamată de cei aproximativ 100 coul va fi de  $\sim 4 \cdot 10^5 \text{ cm}^2$ . Cu electrozi poroși, această suprafață este realizată cu o cantitate de 1 gram; metoda este utilă pentru studiul suprafețelor electrocatalice poroase din pilele de combustie.

În unele reacții organice, cum ar fi, sinteza Kolbe, natura chimică a radicalilor produși pe suprafață se poate indica prin reacții cu substanțe adecvate din substrat (suprafață). De exemplu la electroliza cu acetat, în prezența unor substraturi diferite se produc derivați acetilați, acetoxilați și metilați, sugerînd producerea radicalilor  $\text{CH}_3\text{CO}^\bullet$  și  $\text{CH}_3^\bullet$ , cît și  $\text{CH}_3\text{COO}^\bullet$ ; cel din urmă apare în urma descărcării ionului  $\text{CH}_3\text{COO}^-$  la



suprafața electrodului, iar  $\text{CH}_3$  din decarboxilarea eterogenă a radicalului acetoxil; etanolul produs în această reacție poate rezulta prin dimerizarea radicalilor  $\text{CH}_3$ .

Radicalii chemisorbiți disociativi, probabil implicați ca intermediari în oxidarea hidrocarburilor în pilele de combustie, nu au fost caracterizați pînă acum. Totuși, prin analogie cu reacțiile care se desfășoară la interfața solid/gaz, în absența fazei lichide, se poate presupune că hidrocarburi nesaturate, cum ar fi etilena, sînt inițial adsorbite fie asociativ, fie disociativ:



așa cum rezultă din spectrele de adsorbție în infraroșu. Hidrocarburile saturate se pot adsorbi numai prin mecanismul disociativ, implicînd un anumit grad de dehidrogenare și de producere a unor radicali mono- (de exemplu etil) sau bivalenți (de exemplu etilen). În general, radicalii implicați ca intermediari în oxidările hidrocarburilor se pot studia avantajos folosind de exemplu trasori ( $\text{C}^{14}$ ) și cromatografia gazoasă a intermediarilor, produși la diverse potențiale. Faptul că oxidarea completă a hidrocarburilor la  $\text{CO}_2$  se poate desăvîrși în pilele de combustie nu trebuie să creeze impresia că în general intermediari mai complicați nu se pot forma.

Adsorbția unor specii convenabil marcate se poate măsura „in situ” ca o funcție de concentrație, potențial și temperatură. Electroductul studiat trebuie să fie îndeajuns de subțire pentru ca radioactivitatea speciilor adsorbite marcate să poată fi măsurată de cealaltă parte a sa. O calibrare corespunzătoare permite calculul acoperirii cu viteza de numărare.

#### 5.5.6 FOLOSIREA CALCULATOARELOR ÎN STUDIILE DE KINETICĂ ELECTROCHIMICĂ. PERSPECTIVE

Calculatoare digitale de mare viteză au fost aplicate cu succes în studiile asupra cineticii de electrod, iar azi se consideră, în unele cazuri, absolut indispensabile. Calculatorul digital a facilitat obținerea soluțiilor numerice ale ecuațiilor diferențiale des întîlnite în diversele metode electrochimice și pentru care nu existau mai înainte decît soluții aproximative, aplicabile în condiții restrînse. Dar chiar și atunci cînd sînt disponibile soluții explicite, folosirea calculatoarelor este preferată pentru prelucrarea datelor experimentale din următoarele două motive: cîștigul de timp și marea precizie.

Într-un număr din ce în ce mai mare de cercetări de cinetică de electrod semnalele de răspuns date de aparatura electrochimică sînt convertite în cod (limbaj) digital; în acest sens pot fi citate: automatizarea prelucrării datelor de voltametrie și a celor de măsurători galvanostatice și potențostatice (Breiter, 1965—66), utilizarea analizorului multicanal în cronocoulometrie (Lauer și Ostryoung, 1966) ș.a. Cu asemenea

metode timpul necesar prelucrării datelor este micșorat cu cel puțin un ordin de mărime, fără a lua în considerare și precizia mult mai mare. Introducerea datelor în calculator și legarea acestuia în circuitul experimental, permite simultan atât controlul experienței cât și prelucrarea paralelă a datelor. Un asemenea montaj este redat schematic în figura 5.81. (Lauer ș.a., 1967). Calculatorul impune perturbarea dorită în celula de electroliză, activează convertizorul analog—digital (CAD), înmagazinează semnalele CAD-ului, analizează datele înmagazinate în conformitate cu programarea stabilită și traduce datele analizate într-o formă adecvată (înregistrarea numerică sau înscrisirea unei curbe). Rezultatele finale analizate sînt disponibile după 10—100 s după terminarea experienței, în funcție de viteza calculatorului și natura programării.

Tehnicile disponibile azi pentru studiul cineticii de electrod au atins un nivel ridicat. Cu excepția proceselor foarte rapide, rezultatele obținute pentru unul și același proces concordă la diverși autori atunci cînd se studiază pe electrodul de mercur. Situația nu se regăsește la electrozi solizi, pentru care, reproductibilitatea continuă să constituie o problemă. Măsurătorile pe electrozii solizi sînt complicate de neomogenitățile suprafeței, chiar și în cazul monocristalelor și de lipsa de date suficiente referitoare la stratul dublu care să permită efectuarea unor corecții.

Problema principală ce se pune astăzi electrochimistului în legătură cu studierea proceselor de electrod, nu constă în elaborarea de noi metode de măsurare a constantei de viteză ci mai degrabă în aprofundarea înțelegerii cantitative a efectelor pe care le au diverși factori asupra mecanismului și a constantei de viteză. Pentru aceasta experimentatorului îi stau la dispoziție metode de abordare a nivelului molecular — microscopic, privind proprietățile structurale și electronice ale interfeței electrod-electrolit și procesele care au loc aici. Promițătoare sub acest raport, par să fie metodele care permit cercetarea „in situ”, cum sînt spectroscopia de absorbție a suprafeței electrodului, elipsometria, spectroscopia Mossbauer, RES ș.a.

### 5.5.7 ELECTROCATALIZA

Introdus în literatură după cît se pare de Kobozev și Monblanova în 1936\* termenul de electrocataliză este folosit pentru a defini cataliza eterogenă de la reacțiile de transfer de sarcină care se desfășoară

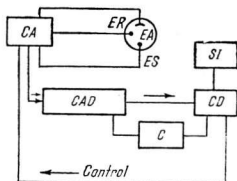


Fig. 5.81. Schema unui montaj destinat studierii proceselor de electrod, în care dirijarea operațiilor și prelucrarea datelor se face cu un calculator digital:

EA — electrod auxiliar; ER — electrod de referință; ES — electrod de studiat; CA — control analog al celui de electroliză; CAD — convertizor analog-digital; CD — calculator digital; SI — semnale de ieșire; C — ceas.

\* N. Kobozev și V. Monblanova. J. Fiz. Him., 7, 645, 1936 și Acta Physicochim. U.R.S.S., 4, 395, 1936.

la interfața electrod-electrolit. Între cataliza chimică eterogenă și electrocataliză există o strînsă asemănare. Astfel în cataliza chimică eterogenă, catalizatorul solid constituie locul de întîlnire al reactanților și accelerează combinarea lor. Asemănător, electrodul joacă rolul de suport al reacției de electrod și se păstrează neschimbat în cursul acesteia, el este electrocatalizatorul reacției.

Spre deosebire însă de cataliza chimică eterogenă, la electrocataliză intervine o trăsătură distinctivă, efectul potențialului asupra reacțiilor de electrod; potențialul poate modifica viteza etapelor intermediare de transfer de sarcină și energetică adsorbției și deci a concentrației reactanților, intermediarilor și a produșilor adsorbiți superficial. Apoi nu trebuie neglijat faptul că în electrocataliză solventul poate altera viteza reacției sau chiar participă la reacție. Tabelul 5.24 conține o paralelă între cele două genuri de cataliză.

Tabelul 5.24

Comparație între cataliza chimică eterogenă  
(sau termică) și electrocataliză

	Cataliza chimică	Electrocataliză
Viteza depinde de	$\exp(-\Delta G^\ddagger/RT)$	$\exp(\Delta G^\ddagger/RT)$ $\exp(-\alpha F \Phi/RT)$
Dependență de potențial	nu	da
Dependență de temperatură	da	da
Domeniul de temperatură uzual	$> 150^\circ\text{C}$	$< 150^\circ\text{C}$
Energia de activare (kcal/mol)	10—100	5—35

Deoarece viteza reacției globale nu variază cu potențialul în același mod pe toate metalele, rezultă că diversele metale se caracterizează prin pante *T a f e l* diferite și implicit prin efecte electrocatalitice diferite. Aici se ridică problema alegerii potențialului la care se pot compara capacitățile catalitice ale metalelor. Cel mai potrivit s-ar părea a fi potențialul la care influența cîmpului electric aplicat este minimă, adică potențialul încărcării nule (*PIN*). Importanța fundamentală a acestui potențial a fost semnalată de școala sovietică de electrochimie, atît pentru termodinamica fenomenului de adsorbție cît și pentru cinetica reacțiilor electrochimice. Recent, *D a h m s* și *B o c k r i s* au folosit *PIN* pentru compararea efectului electrocatalitic al unor metale pe care s-a efectuat electrooxidarea etilenei. O tratare analoagă semnalăm la cercetarea activității catalitice a Cu, Ni și a unui număr de aliaje ale lor, la reacția de degajare a hidrogenului.

S-a văzut că viteza unei reacții electrochimice în mai multe etape se poate exprima prin ecuația generală:

$$i = i_0 \exp(\alpha \eta F/RT). \quad (5.278)$$

Densitatea curentului de schimb  $i_0$  care constituie o măsură practică a activității catalitice, conține o contribuție chimică, exprimată prin  $k_0$  și alta electrostatică, exprimată prin termenul exponențial (v. ec. 5.198).

De aceea ar fi de dorit ca reactivitatea diverselor metale să se compare la potențialul lor nul absolut, adică la  $\Delta\Phi_e = 0$ , determinându-se astfel specificitatea lui  $k_0$ . Dar, întrucît  $\Delta\Phi_e$  nu e accesibil măsurătorilor, compararea vitezelor de reacție s-ar putea face la un alt potențial semnificativ, cum ar fi de exemplu *PIN*, (orientarea dipolilor de solvent pe suprafață depinde în primul rînd de sarcina de pe metal și într-o măsură mult mai mică de interacțiunea specifică dintre metal și solvent).

Potențialul adsorbției maxime poate constitui un alt criteriu de comparare al constantelor  $k_0$  pe diferite metale. La acest potențial orientarea moleculelor de apă în cele două sensuri posibile este echilibrată și deci contribuția potențialului superficial tinde spre zero. Calcule teoretice demonstrează că potențialul adsorbției maxime corespunde aproximativ aceleași sarcini pe toate metalele. În aceste condiții căderea absolută de potențial la interfața metal-soluție este sensibil aceeași pentru toate metalele și deci compararea contribuției chimice la valoarea lui  $i_0$  se poate efectua convenabil.

Printre cele dintîi studii de electrocataliză trebuie menționate cercetările lui M ü l l e r asupra rolului pe care-l joacă metalul electrodului la oxidarea acidului formic și a metanolului (1922—23).

O comparare a activității catalitice a negrului de Pt și a aliajelor metalelor nobile la oxidarea anodică a metanolului s-a efectuat prin măsurarea potențialului de electrod stabilit în condiții de densitate de curent constantă (20 mA/cm<sup>2</sup>). Urmărindu-se activitatea catalitică la *PIN* în reacția de oxidare a etilenei, se găsește că: metalele studiate se pot clasifica în două grupe, după cum oxidarea este cantitativă la CO<sub>2</sub>(Pt, Rh și Ir) sau incompletă (Au, Pn). Comportarea deosebită rezidă în caracteristici electrocatalitice diferite, care determină legături de țării diferite cu moleculele organice, acestea se pot corela cu deosebirile de călduri de sublimare ale metalelor din cele două grupe. Activitățile catalitice dintre metalele situate în aceeași grupă se pot corela cu diferențele de travalii de extracție al electronului; pe metalul cu cel mai ridicat travaliu reacția decurge cu viteză maximă.

Platina, paladiul, rodiul, iridiul, și aurul, metale uzuale folosite la electrooxidarea compușilor organici au parametri reticulari foarte apropiați. Aceste metale au structură cubică față centrată, cu razele atomice nediferind cu mai mult de 0,01 nm. Dimensiunea particulelor, cel puțin așa cum indică rezultatele de la electrodul de platină, nu afectează activitatea catalitică. În cercetarea oxidării acidului formic G o t t l i e b găsește că singurul efect al platinării constă în mărirea suprafeței reale a electrodului și nu în introducerea unor centre catalitice specifice pentru reacția de oxidare. Același lucru se constată și la oxidarea hidrocarburilor pe platină platinată. Factorii geometrici pot deveni importanți dacă distanțele internucleare ale atomilor de metal depășesc anumite limite, în special atunci cînd în adsorbție intervine mai mult de un centru de fixare. În general, ei joacă un rol secundar și în multe cazuri nu se pot separa de factorii electronici, mult mai importanți.

Cei mai importanți factori electronici asociați catalizatorilor metalici, proveniți de la metalele tranzitionale, sînt travalii de extracție electronic și numărul de orbitali nesaturați din banda „d”. Travaliul de extracție,

măsură a ușurinței cu care sînt extrași electronii de pe suprafața metalului apare mai puțin important decît numărul de vacanțe „ $d$ ” sau puterea de legătură a orbitalilor hibridi rezultată din căldura latentă de sublimare. Acești factori sînt hotărîtori în fixarea căldurii de adsorbție a speciilor organice pe electrod. Căldura de adsorbție descrește cu înpuținarea vacanțelor „ $d$ ” de pe suprafața metalică sau cu creșterea travaliului de extracție; de asemenea descrește cu micșorarea căldurii de sublimare ametalului. În general există puține date despre legătura dintre activitatea catalitică și structura electronică; un exemplu fericit îl constituie relația de „tip vulcan” observată între activitatea catalitică și căldura latentă de sublimare a metalului, observată la oxidarea etilenei (fig. 5.82).

Efectul vacanțelor „ $d$ ” asupra reacției electrodului de hidrogen este bine ilustrat în figura 5.83. Utilizîndu-se Au și Pd (sau Pt) și aliaje de diverse com-

poziții ale acestor perechi de metale, se constată o pronunțată modificare a densității de curent de schimb  $i_0$  pînă la completarea vacanțelor „ $d$ ”; în cazul aliajelor Au — Pd banda „ $d$ ” este completă atunci cînd Au se găsește într-o proporție de 60% și în consecință o ulterioară creștere a lui  $i_0$  nu se mai observă.

La reacția de reducere a oxigenului molecular, efectele electrocatalitice ale electronilor  $d$  necuplați se evidențiază prin măsurători ale fracției de acoperire a unor metale cu oxigen aflat sub presiunea de o atmosferă (tab. 5.25). Se observă participarea directă a electronilor  $d$  necuplați la fixarea oxigenului de către atomii metalului; aurul, care nu posedă electroni  $d$  necuplați, prezintă fracția de acoperire minimă, în timp ce ruteniul, avînd cel mai mare număr de electroni necuplați, are fracția de acoperire maximă.

Pentru majoritatea reacțiilor de electrod, cele mai bune proprietăți electrocatalitice le manifestă platina și metalele platinice, singure sau aliate între ele, în diverse proporții. Dar din cauza rarității și a prețului de cost ridicat utilizarea acestor metale este nerentabilă economic. De aceea una din direcțiile cele mai importante de cercetare în electrocataliză este consacrată găsirii unor înlocuitori ai metalelor nobile, mai ieftini, mai răspîn-

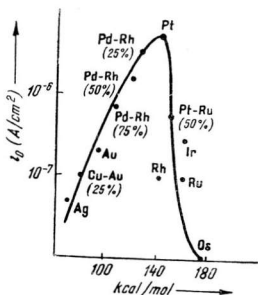


Fig. 5.82. Oxidarea etilenei pe diverși electrozi. Relația de „tip vulcan” dintre densitatea de curent și căldura latentă de sublimare.

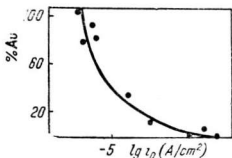


Fig. 5.83. Efectul vacanțelor „ $d$ ” asupra curentului de schimb la ionizarea hidrogenului. Caracterul  $d$  crește cu conținutul de Au în aliajele Au-Pd folosite ca electrozi.

**Relația dintre fracția de acoperire  $\theta$  cu oxigen  
și numărul electronilor  $d$  necuplați raportați  
la un atom de metal (soluții acide).**

Metal	$\theta$	Nr. de electroni $d$ necuplați/atom
Pd	0,22	0,55
Pt	0,22—0,27	0,55—0,6
Rh	0,90	1,7
Ir	0,84	1,7
Ru	0,95	2,2
Au	<0,03	0

diți în natură și manifestând proprietăți catalitice comparabile cu acestea. Un impuls deosebit au primit cercetările de acest gen prin dezvoltarea pilelor de combustie, în care s-au încercat cu succes, fie la oxidarea combustibilului ( $H_2$ ,  $CH_3OH$ ,  $NH_3$ ,  $N_2H_4$  etc) fie la reducerea oxigenului metale ca argintul, fierul, cobaltul, nichelul, precum și aliaje ale lor. Formele R a n e y ale unora, de exemplu nichelul-R a n e y sînt deosebit de active nu numai la hidrogenarea catalitică, ci și la electrooxidarea hidrogenului metanolului și a altor combustibili. Au dat bune rezultate și electrocatalizori pe bază de carburi, boruri sau sulfuri de metale tranziționale.

Trebuie menționat faptul că anumiți electrozi se pot activa înainte sau în cursul procesului de electrod, pentru a se obține viteze de reacție mărite, adică densități de curent superioare la o valoare determinată a supratensiunii.

Activarea se poate face pe diverse căi, printre care cităm: aplicarea unor impulsuri alternativ catodice și anodice, cu ajutorul cărora se produc suprafețe de electrod proaspete, lipsite de oxizi, 1, sau aplicarea unor radiații ultrasonore, 2. Efectul activant al razelor ultrasonore se explică prin îndepărtarea straturilor inhibitoare fixate adsorbtiv la suprafața metalului și deci punerea în contact cu reactanții a unor atomi de metal superficiali, degajați de orice legătură de adsorbție (fig.5.84). Uneori activarea se poate efectua și prin iradiere cu radiații provenite de la dezintegrarea radioactivă a unor elemente 3. În acest sens poate fi amintită radiația  $\alpha$  a poloniului, care accelerează reacția de reducere a oxigenului în mediu alcalin pe electrocatalizor de argint. Mecanismul acestui efect, adică influența pe care o are radiația asupra electrocatalizatorului și apoi asupra ionilor din soluție nu este cunoscută încă.

Viteze de reacție mărite se pot obține și prin realizarea unor electrozi cu structură poroasă, ex-

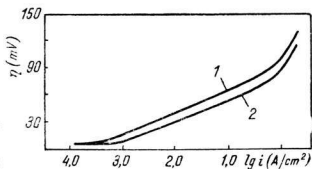


Fig. 5.84. Efectul radiațiilor ultrasonore asupra reacției de degajare a hidrogenului:

1 - curba martor; 2 - pe electrod de platină, în  $H_2SO_4$  1N, la  $25^\circ C$ .

trem de răspîndiți în ultima vreme. Reamintim că viteza maximă a procesului în care difuzia speciei sau speciilor reactive către electrodul plan determină viteza, se obține din expresia curentului limită  $i_l$ :

$$i_l = - \frac{Dz}{\delta} \mathcal{F} c_j^0, \quad (5.305)$$

unde  $D$  este constanta de difuzie;  $c_j^0$  concentrația de volum a speciei reactante, iar  $\delta$  grosimea stratului de difuzie. Să considerăm că valoarea lui  $c_j = 1 \text{ mol/l}$ ,  $\delta \cong 0,05 \text{ cm}$  (valoarea corectă pentru o soluție neagitată), iar  $D = 10^{-5} \text{ cm}^2/\text{s}$ ; dacă  $z = 2$ , rezultă un curent limită:

$$i_l = 4 \cdot 10^{-2} \text{ A/cm}^2 = 40 \text{ mA/cm}^2.$$

La evaluarea economicității unor procese de electrod industriale se ia în considerare, nu numai cantitatea de produs de reacție raportată la unitatea de masă de electrod ci și la unitatea de suprafață a electrolizorului. Or, cum o viteză de reacție mai mare înseamnă o densitate de curent mai mare, ceea ce este echivalent, cu o suprafață geometrică specifică mai mică, rezultă că procesul e mai rentabil în condiții de densitate de curent maximă. Aici trebuie amintit că uneori, alături de mărirea densității se manifestă și factori compensatori, cum ar fi de exemplu o paralelă creștere a supratensiunii. Se pune întrebarea: cum se poate mări densitatea de curent la un electrod? O cale, adeseori aleasă în practică, este aceea a agitării soluției, soldată cu micșorarea stratului de difuzie  $\delta$  la o valoare minimă ce diferă cu un ordin de mărime față de  $0,05 \text{ cm}$ . Deci, în aceste condiții,  $i_l$  ar atinge aproximativ  $400 \text{ mA/cm}^2$ .

Dar în practică, energia cheltuită cu agitarea și circulara soluțiilor poate deveni apreciabilă; dacă se mai adaugă și efectul negativ al unei solubilități a reactanților situate mult sub valoarea optimistă de mai sus, se poate conchide că agitarea singură nu poate aduce un spor considerabil al densității de curent. Mult mai eficientă este utilizarea unor electrozi poroși.

Pînă prin deceniul trecut, marea eficiență a electrozilor poroși era atribuită suprafeței specifice interne enorme disponibile pe unitatea de suprafață geometrică a electrodului. Dar s-a arătat (C a h a n) că, cel puțin în cazul sistemelor în care are loc umectare, densitatea de curent produsă efectiv în interiorul electrozilor poroși este mică. Dar principalul motiv care justifică preferința arătată față de electrozii poroși, în special în cazul unor reactanți gazoși, îl constituie existența unui imens număr de meniscuri avînd astfel de secțiuni încît lama de lichid devine extrem de subțire; în aceste condiții, grosimea  $\delta$  a stratului de difuzie este redusă pînă la valoarea de  $\sim 10^{-5} \text{ cm}$ , ce nu poate fi atinsă nici prin cea mai energică agitare a soluției. Astfel se explică valorile ridicate ale densităților de curent de la meniscuri; evident că însumarea lor va conduce la o densitate de curent rezultantă încă și mai mare, care depășește cu cîteva ordine de mărime valoarea maximă a densității de curent limită ce se poate obține pe electrodul plan avînd suprafață geometrică egală cu electrodul poros.

Un inconvenient legat de utilizarea economică a electrozilor poroși îl constituie distribuirea neuniformă a catalizatorului (de obicei metal nobil)

în porii electrodului. Or, producerea unor mari densități de curent este legată numai de porii fini, în care meniscul este foarte subțire și care sînt prezenți în număr relativ mic în masa de electrod poros; de aici rezultă o risipă de catalizator, care se întrevade a fi evitată atunci cînd se va găsi mijlocul de repartizare a catalizatorului numai în porii unde  $\delta$  este minim. Economia de catalizator scump va fi apreciabilă, fără ca performanțele electrodului să fie afectate.

Departate de a epuiza conținutul fenomenului de electrocataliză, exemplele și corelările citate mai sus au mai de grabă rolul de a scoate în evidență caracterul încă empiric al legăturii dintre viteza unor reacții electrochimice și parametri fizico-structurali ai electrozilor. Deși adeseori particulare, ele oferă totuși o sursă de informare a cercetătorului în domeniul cineticii electrochimice, obligat încă să tatoneze în alegerea electrocatalizatorului optim, din cauza lipsei unei teorii cuprinzătoare și satisfăcătoare a fenomenului.

## Bibliografie

1. A. Bewick și H. R. Thirsk. *The Study of Simple Consecutive Processes in Electrochemical Reactions. Modern Aspects* of Electrochemistry, 5, 291, 1969
2. M. Breiter, *Electrochemical Processes in Fuel Cells*. Springer, Berlin, Heidelberg, New York, 1969, cap. 9.
3. J. O'M. Bockris și A. K. N. Reddy. *Modern Electrochemistry*, Plenum Press, New York, 1970, vol. 2, cap. 7, 8, 9
4. L. Campanella. *J. Electroanal. Chem.*, **28**, 228, 1970
5. B. E. Conway. *Theory and Principles of Electrode Processes*. Ronald Press, New York, 1965, cap. 7, 8
6. B. B. Damaskin, O. A. Petrii și V. V. Batrakov. *Adsorbția organiceskih soedinenii na elektrodah*. Nauka, Moskva, 1968
7. J. P. Delahay. *Double Layer and Electrode Kinetics*. Interscience Publ., New York, 1965, cap. 8.
8. R. A. Durst, ed. *Ion-Selective Electrodes*, NBS, Washington, 1969.
9. H. Eyring, D. Henderson și W. Jost (ed.), *Physical Chemistry*, vol. IX a, Electrochemistry, Academic Press, New York, London, 1970, cap. 4
10. N. Frumkin. *Adsorption of Organic Compounds at Electrodes. Modern Aspects of Electrochemistry*, 3, 149, 1964
11. E. Gileadi, *Electrosorption*. Plenum Press, New York, 1967
12. E. Gileadi și B. E. Conway. *The Behavior of Intermediates in Electrochemical Catalysis. Modern Aspects of Electrochemistry*, 3, 320, 1964
13. P. Mazurek, *J. Electroanal. Chem.*, **13**, 442, 1967
14. G. Milazzo ș.c., *Electrochemistry*, Elsevier, London, New York, 1963, cap. IV, V
15. L. Oniciu, *Despre Electrocataliză. Studii și Cercet. Chimie*, **18**, 949, 1970
16. R. S. Perkins, și T. N. Andersen. *Potential of Zero Charge of Electrodes. Modern Aspects of Electrochemistry*, 5, 203, 1969
17. P. van Ryselberghe. *Some Aspects of Thermodynamic Structure of Electrochemistry. Modern Aspects of Electrochemistry*, 4, 1, 1966
18. E. Sacher și K. J. Laidler. *Theories of Elementary Homogeneous Electron-Transfer Reactions. Modern Aspects of Electrochemistry*, 3, 1 1964
19. D. Schumann. *J. Chim. Phys.*, **9**, 1399, 1967
20. K. J. Vetter. *Electrochemical Kinetics*. Academic Press, New York, 1967, cap. 4
21. J. L. Walker (jr.), *Ion Specific Liquid Ion Exchanger Microelectrodes. Anal. Chem.*, **34**, 89 A, 1971



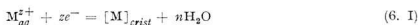
## 6.

### PROCESE DE ELECTROD IMPORTANTE

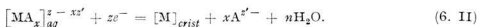
#### 6.1 ELECTRODEPUNEREA METALELOR (ELECTROCRISTALIZAREA)

Depunerea metalelor din soluții apoase constituie baza preparării metalelor prin așa numita metodă a hidroelectrometalurgiei, în cadrul căreia se distinge o ramură consacrată extracției din combinație (electroextracție) și alta consacrată purificării sau rafinării metalelor. Pe această cale se obțin metale cum sînt: Cu, Ni, Zn, Cd, Pb, Sn, Ag, Mn etc. Depunerea electrochimică se folosește și la acoperirea unor metale mai active cu altele mai nobile (galvanotehnică), pentru evitarea coroziunii sau în scopuri decorative (galvanoplastie); în sfîrșit, pe această cale, este posibilă și elaborarea unor aliaje, prin depunerea simultană a două sau mai multe metale, din aceeași baie electrolitică.

Electrodepunerea metalelor se efectuează din soluțiile unor săruri simple sau complexe ale metalilor. În cazul combinațiilor simple, dizolvate în apă reacția globală catodică se poate scrie:



În cazul soluțiilor conținînd ioni complecși reacția globală de descărcare a metalului pe catod se scrie:



Descărcarea metalelor din soluții apoase decurge întotdeauna la potențiale,  $\varepsilon_M$ , mai negative decît potențialele de echilibru,  $\varepsilon_{e,M}$  ale metalului în condițiile date. Diferența dintre cele două potențiale corespunde polarizării electrodului și constituie o măsură a supratensiunii

$$\eta = \varepsilon_M - \varepsilon_{e,M} \quad (6.1)$$

Mărimea supratensiunii este dependentă de natura proceselor de electrod și variază cu densitatea de curent.

La densități de curent mici și la supratensiuni catodice coborîte, depozitul poate avea formă de spirale sau piramide. Spiralele se dezvoltă pe măsură ce depunerea progresează și sînt centrate pe dislocările de forfecare proaspăt formate sau preexistente. Piramidele au muchiile orientate de-a lungul unor direcții de compacitate pronunțată, iar fețele lor sînt planuri metastabile, posedînd indici cristalografici superiori de-a lungul cărora se dezvoltă straturi succesive de material ce se depune.

Dimpotrivă, la densități de curent mari sau și la supratensiuni ridicate, natura cristalografică a depozitului devine din ce în ce mai puțin evidentă și se favorizează apariția unui mare număr de germeni de cristalizare și deci a unui depozit cu granulație fină. Dacă în baia electrolitică se adaugă compuși tensioactivi, care se adsorb preferențial pe muchiile de dezvoltare, se obțin rezultate analoage cu acelea de la un regim de electroliză la supratensiune coborâtă. Depozitele obținute pe această cale sînt adeseori lucioase, adică au dimensiunile granulelor de ordinul a 10 nm și reflectă foarte bine lumina.

### 6.1.1 DEpunerea IONULUI HIDRATAT

Electrocristalizarea cunoaște două aspecte: depunerea ionului hidratat în rețeaua cristalină a metalului și cristalizarea, adică dezvoltarea cristallului.

Depunerea constă în dehidratarea (desolvatarea) ionului, urmată de reducerea lui și încorporarea ulterioară în rețeaua metalului. În acest mod iau naștere de fapt ionii metalici adsorbiți pe suprafața metalului (așa numiții adioni) și nu atomi neutri, total lipsiți de sarcină. Evidența apariției adionului este demonstrată indirect prin calcule de energie de activare; se arată că formarea directă a atomului superficial neutru este improbabilă pentru că ar necesita o căldură de activare mult prea mare în comparație cu valorile măsurate experimental pentru depunerea ionului.

Interacțiunea ionului hidratat cu suprafața electrodului depinde de locul unde aceasta are loc. Deși constituie un plan al unei rețele cristaline, suprafața electrodului metalic nu este perfectă și poate conține o mulțime de defecte (trepte, colțuri, vacanțe în muchie sau goluri, fig. 6.1). Evident că interacțiunea cu o zonă plană a suprafeței va permite adionului să păstreze numărul maxim de molecule de apă din sfera de hidratare a fostului ion hidratat, iar fixarea într-un gol va reduce la minim moleculele de apă reținute.

În mod analog se petrec lucrurile și cu transferul de sarcină. O posibilitate ar consta în deplasarea ionului hidratat în *PHE*, pînă cînd el ajunge în dreptul unui gol, unde, într-o singură etapă se dehidratează, se neutralizează electric și este încorporat în rețea. Mult mai favorizată este alternativa fixării într-o zonă plană a electrodului, din cauza frec-

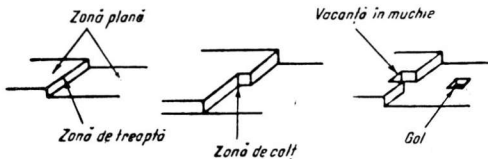


Fig. 6.1. Diverse tipuri de zone de pe suprafața unui electrod metalic.

Călduri de activare (kcal/mol) calculate la *PIN*,  
 pentru transferul de sarcină  $\text{Ag}^+ + e^- \rightarrow \text{Ag}$  și  $\text{Cu}^{2+} + 2e^- \rightarrow \text{Cu}$ ,  
 din *PHE* în diverse zone ale electrodului.

Ionul hidratat	zona				
	plană	treaptă	colț	vacanță în muchie	gol
$\text{Ag}^+$	10	21	35	> 35	$\geq 35$
$\text{Cu}^{2+}$	130	180	> 180	> 180	$\geq 180$

venței mult mai mari a acestui tip de zone și pentru că pe suprafețele plane deformarea ionului hidratat este minimă și deci variația de energie asociată, este minimă. De asemenea, pe zonele plane, energia de activare calculată pentru transferul de sarcină este cea mai mică, (v. tab. 6.1), iar viteza de reacție este maximă.

Prin difuzie la suprafața electrodului, adionul poate ajunge în zone de treaptă, de colț sau în sfârșit într-un gol, pierzând treptat molecule de apă de hidratare și coordind noi atomi de metal și sfârșind prin a se integra în rețea, ca atom de metal neutru electric.

### 6.1.2 DETERMINAREA MECANISMULUI DE ELECTRODEPUNERE

Se naște întrebarea, care din etapele ce compun electrodepunerea metalelor este determinantă de viteză? Transferul ionului prin interfață, difuzia anionului la suprafața electrodului spre zone de treaptă, colț etc?

Răspunsul la întrebare nu este ușor de dat, din cauza modificării permanente la care este supus electrodul (substratul) în timpul electrolizei. Metodele de studiu potrivite în acest caz sînt cele menționate la secțiunea 5.5.3; măsurătorile trebuie făcute atît de repede încît suprafața catodului să rămînă practic neschimbată în cursul determinării.

În figura 6.2 este reprodusă schema unui montaj galvanostatic utilizat pentru cercetarea electrodepunerii. Electrodul de studiat este conectat

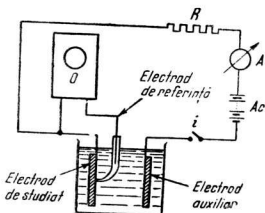


Fig. 6.2. Montaj galvanostatic utilizat la studiul mecanismului de reacție în electrodepunerea metalelor.

într-un circuit de electroliză, legat în serie cu o rezistență mare  $R$  și o sursă  $Ac$  de curent continuu. Rezistența  $R$  joacă același rol în circuitul de electroliză ca etapa determinantă de viteză în reacția de electrod. Ea fixează curentul care se scurge prin circuit și deci de-a curmezișul interfeței studiate. Deoarece rezistența  $d\eta/di$  a interfeței este mică (ea valorează câțiva ohmi) în comparație cu rezistența  $R$  (de ordinul  $M\Omega$ ), curentul care trece prin interfață este practic neinfluențat de modificările de rezistență de la interfață, survenite în timpul experienței, pe măsură ce  $\eta$  tinde

spre valoarea sa maximă; curentul  $I$  rămâne constant. În aceste condiții se pot face măsurători ale variației în timp a potențialului și să se potrivească astfel parametri experimentalii încât numărul total de ioni depuși în cursul măsurătorii să fie atît de mic (de exemplu  $\sim 10\%$ ) dintr-un strat monoatomic) încît suprafața electrodului să se modifice numai într-o măsură neglijabilă.

La stabilirea etapei determinante de viteză se fac presupuneri prealabile asupra naturii acestora și apoi se calculează timpul necesar pentru atingerea diferenței de potențial maxime (timp de creștere). Dacă timpul de creștere experimental este în acord cu cel teoretic, modelul imaginat este corect și determinarea vitezei de reacție revine etapei presupuse (transfer de sarcină, difuzia la suprafață, apariția germenilor de cristalizare etc.). Dacă nu, se modifică modelul și se presupune determinanta de viteză, o altă etapă.

Pentru calcularea timpului de creștere al potențialului în metoda galvanostatică, reacția de electrodepunere se va considera alcătuită numai din două etape și anume transferul de sarcină prin interfață, soldat cu formarea adionului în zonă plană și difuzia adionului spre zona de treaptă. Celelalte deplasări ale adionului (spre zonă de colț, spre vacanțe de muchie etc.) nu se iau în considerare, fiind energetic mult mai ușoare.

Prin urmare, trebuie să se calculeze variația în timp a concentrației medii a adionilor și apoi variația potențialului cu timpul, în presupunerea unei reacții în două etape (transfer de sarcină și difuzie la suprafață) și neglijînd încărcarea stratului dublu. Pentru aceasta să considerăm o zonă plană mărginită de două trepte (fig. 6.3), către care se apropie, reversibil, un ion hidratat, iar după fixare descrie o mișcare dezordonată, terminată cu stabilirea într-o zonă de treaptă. La echilibru, concentrația  $c_e$  a adionilor este aceeași pe toată întinderea suprafeței plane. Dacă la  $t = 0$  circuitul de electroliză se închide, echilibrul se distruge, iar concentrația adionilor din zona plană, determinată de difuzia la suprafață și transferul de sarcină, se modifică. Gradientul de concentrație care apare între zona plană și zonele de treaptă determină deplasarea adionilor și fixarea lor la acestea din urmă.

Să considerăm că în timp  $ce$  se formează căderea de potențial la interfață, în zona plană există o densitate de curent medie egală cu densitatea de curent constantă  $i$ , care s-a stabilit la închiderea circuitului și că la timpul  $t$ , concentrația medie a adionilor a devenit  $\bar{c}_t$ . Deoarece în timpul electrodepunerii ionii sînt dirijați spre catod și fixați pe el  $\bar{c}_t > c_e$ . Rezultă că perturbarea concentrației adionilor în urma închiderii circuitului se poate exprima prin diferența  $\bar{c}_t - c_e$ ; ea cauzează deplasarea adionilor de la punctele de sosire pe plan spre punctele acceptoare din zonele de treaptă ale suprafeței electrodului.

La valori mici ale diferenței  $\bar{c}_t - c_e$ , fluxul de difuzie superficială  $J_{DS}$  (numărul de moli care atinge unitatea de suprafață a zonei de treaptă, în unitatea de timp) este direct proporțional cu  $\bar{c}_t - c_e$ :

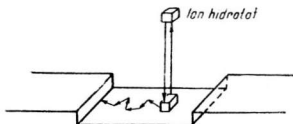
$$J_{DS} = k(\bar{c}_t - c_e), \quad (6.1)$$

unde  $k$  este o constantă de proporționalitate.

Diferența dintre viteza medie cu care adionii sînt furnizați pe suprafață ( $-i/F$ ) și viteza de consumare a lor de pe zona plană prin difuzie la suprafață  $[k(\bar{c}_t - c_e)]$ , reprezintă creșterea de concentrație  $d\bar{c}_t/dt$  a adionilor în zona plană:

$$\frac{d\bar{c}_t}{dt} = -\frac{i}{F} - J_{DS}, \quad (6.2)$$

Fig. 6.3. Transferul de sarcină al ionului, urmat de difuzie superficială.



sau

$$\frac{d\bar{c}_t}{dt} = -\frac{i}{\mathcal{F}} - k(\bar{c}_t - c_e) \quad (6.2 \ a)$$

$-i/\mathcal{F}$  reprezintă un curent catodic, negativ prin convenție.

Ecuția diferențială (6.2 a) se poate integra după rearanjarea ei:

$$\frac{d\bar{c}_t}{dt} = -\left(\frac{i}{\mathcal{F}} - kc_e\right) - k\bar{c}_t = -(k\bar{c}_t + m) \quad (6.3)$$

unde

$$m = \frac{i}{\mathcal{F}} - kc_e. \quad (6.4)$$

Separarea variabilelor duce la expresia:

$$\frac{d\bar{c}_t}{(k\bar{c}_t + m)} = -k dt, \quad (6.5)$$

sau

$$\frac{d(\bar{c}_t + m)}{(k\bar{c}_t + m)} = -k dt. \quad (6.5 \ a)$$

După integrare se obține:

$$k\bar{c}_t + m = A \exp(-kt), \quad (6.6)$$

unde  $A$  este constanta de integrare. Pentru calcularea ei se reamintește că la  $t = 0$ , concentrația adionilor este  $c_e$ :

$$kc_e + m = A. \quad (6.7)$$

Introducând ecuația (6.7) în ecuația (6.6), avem:

$$k\bar{c}_t + m = (kc_e + m) \exp(-kt), \quad (6.8)$$

și după introducerea valorii lui  $m$  (ec. 6.4), se obține final:

$$k\bar{c}_t + \frac{i}{\mathcal{F}} - kc_e = \frac{i}{\mathcal{F}} \exp(-kt) \quad (6.9)$$

de unde:

$$\bar{c}_t - c_e = -\frac{i}{k\mathcal{F}} [1 - \exp(-kt)]. \quad (6.10)$$

Pentru procese catodice  $i < 0$  și deci  $\bar{c}_t - c_e > 0$ ; concentrația adionilor tinde spre o valoare staționară, care se obține prin punerea condiției  $t = \infty$ , în ecuația (6.10). Se vede că regimul staționar este atins cu atât mai repede cu cât e mai mare densitatea de curent.

Să trecem acum la calcularea variației potențialului (sau a supratensiunii  $\eta$ ) în funcție de timp.

Pentru aceasta vom considera din nou că densitatea de curent  $i$  este alcătuită din două componente: una  $i_{sd}$  datorată încărcării stratului dublu și alta  $i_{\mathcal{F}}$ , de natură faradaică, rezultată de pe urma transferului de sarcină:

$$i = i_{sd} + i_{\mathcal{F}}. \quad (5.430)$$

Densitatea de curent  $i_{sd}$  poate fi corelată cu capacitatea diferențială  $C$  a stratului dublu, corespunzătoare supratensiunii  $\eta_t$  la timpul  $t$ :

$$i_{sd} = C \frac{d\eta_t}{dt}, \quad (6.11)$$

iar  $i_{\mathcal{F}}$  se poate exprima în funcție de concentrațiile  $c_e$  și  $\bar{c}_t$ , conform egalității:

$$i_{\mathcal{F}} = i_0 \left( \frac{\bar{c}_t - c_e}{c_e} + \frac{\mathcal{F} \eta_t}{RT} \right). \quad (6.12)$$

Înlocuind în (6.10) valorile celor două componente ale densității de curent, se obține:

$$i = C \frac{d\eta_t}{dt} + i_0 \left( \frac{\bar{c}_t - c_e}{c_e} + \frac{\mathcal{F} \eta_t}{RT} \right). \quad (6.13)$$

Ecuația (6.13) permite calculul variației în timp a supratensiunii. Ea va fi prelucrată pentru două modele de reacție diferite, avînd ca *adv* transferul de sarcină și respectiv difuzia superficială a adionilor.

Fie transferul de sarcină etapa care controlează viteza reacției de electrodepunere. Aceasta implică starea de cuasi-echilibru pentru difuzia superficială a adionilor din zona plană spre zonele de treaptă și deci egalitatea virtuală a concentrațiilor  $c_e$  și  $\bar{c}_t$ :

$$c_e \approx \bar{c}_t \quad \text{și} \quad \frac{\bar{c}_t - c_e}{c_e} \approx 0. \quad (6.14)$$

În aceste condiții, ecuația (6.13) devine:

$$i = C \frac{d\eta_t}{dt} + i_0 \frac{\mathcal{F} \eta_t}{RT}. \quad (6.15)$$

Cînd s-a atins regimul staționar, la  $t \rightarrow \infty$ , supratensiunea staționară  $\eta_{\infty}$  pentru transferul de sarcină determinant de viteză, este dată de relația

$$\eta_{\infty} = \frac{2RT}{\mathcal{F}} \frac{i}{i_0}, \quad (5.131 a)$$

Combinarea ecuațiilor (6.15) și (5.131 a), conduce la expresia:

$$\frac{d\eta_t}{dt} = \frac{\mathcal{F} i_0}{2RTC} (\eta_{\infty} - \eta_t). \quad (6.16)$$

Fracția din fața parantezei are dimensiunea timp<sup>-1</sup>. Dacă introducem notația:

$$\frac{2RTC}{\mathcal{F} i_0} = \tau_{tr}, \quad (6.17)$$

și separăm variabilele, ecuația (6.16) devine:

$$\frac{d(\eta_{\infty} - \eta_t)}{\eta_{\infty} - \eta_t} = - \frac{1}{\tau_{tr}} dt, \quad (6.18)$$

iar după integrare obținem:

$$\eta_{\infty} - \eta_t = A \exp(-t/\tau_{tr}). \quad (6.19)$$

Constanta de integrare  $A$  valorează  $\eta_{\infty}$ , deoarece la  $t = 0$ ,  $\exp(-t/\tau_{tr}) = 1$ , iar  $\eta_t = 0$  (sistemul găsindu-se în stare de echilibru).

Rezultă că variația supratensiunii cu timpul este dată de egalitatea:

$$\eta_t = \eta_\infty [1 - \exp(-t/\tau_{tr})], \quad (6.20)$$

care este analoagă cu ecuația care descrie variația în timp a diferenței de potențial  $V_t$  de-a curmezișul unui condensator plan — paralel atunci cînd este încărcat cu un curent constant:

$$V_t = V_\infty [1 - \exp(-t/\tau)]. \quad (6.21)$$

Matematic, ambele ecuații exprimă faptul că valoarea staționară  $\eta_\infty$  sau  $V_\infty$  se atinge numai după un timp  $\infty$ , dar în practică lucrurile se apreciază pe alte baze, arbitrare. Astfel, în cazul încărcării condensatorului plan — paralel, timpul de creștere se definește prin timpul necesar pentru ca exponentul  $t/\tau$  să devină unitar. Aceasta înseamnă că în ecuația (6.21)

$$\frac{V_t}{V_\infty} = 63\%. \quad (6.22)$$

Transpunînd același criteriu și la procesul de depunere electrică, rezultă că și

$$\frac{\eta_t}{\eta_\infty} = 63\%, \quad (6.23)$$

$$\text{dacă: } t = \tau_{tr} = RTC / \mathcal{F} i_0. \quad (6.24)$$

atunci cînd

$$t = 4\tau_{tr} = 4RTC / \mathcal{F} i_0, \quad (6.25)$$

se calculează că

$$\frac{\eta_t}{\eta_\infty} = 98,2\%. \quad (6.26)$$

Folosind ecuația (10.26) și (10.24) se poate prezice timpul în care supratensiunea atinge 63 sau 98,2% din valoarea finală a ei. Cu alte cuvinte, se poate calcula timpul de creștere al procesului de electrodepunere sau timpul necesar pentru a atinge valoarea practic egală cu valoarea staționară.

Compararea datelor teoretice cu măsurătorile experimentale arată că supratensiunea staționară este atinsă în practică de aproape zece ori mai încet decît prevede teoria bazată pe modelul care consideră transferul de sarcină  $edv$ . Rezultatul obligă la acceptarea concluziei că determinarea vitezei electrodepunerii revine unei alte etape decît cea de transfer de sarcină și că deci depunerea catodică nu se poate concepe ca un proces simplu, ce decurge într-o singură etapă.

Să abordăm acum varianta în care difuzia la suprafața electrodului constituie etapă determinantă de viteză. Evident, în acest caz:

$$\bar{c}_t \neq c_e \text{ și } \frac{\bar{c}_t - c_e}{c_e} \neq 0, \quad (6.27)$$

iar densitatea de curent totală va fi exprimată de ecuația (6.13).

Întrucît  $i_{sd}$  este maximă imediat după închiderea circuitului, după care tinde asimptotic spre zero, rezultă că la orice timp  $t$  care depășește timpul de încărcare al stratului dublu,

$$C \frac{d\eta_t}{dt} \approx 0. \quad (6.28)$$

În aceste condiții, ecuația (6.13) devine:

$$i = i_0 \left( \frac{\bar{c}_t - c_e}{c_e} + \frac{\mathcal{F} \eta_t}{RT} \right). \quad (6.29)$$

Introducând ecuația (6.10) în ecuația (6.29), se ajunge la egalitatea :

$$\frac{i}{i_0} = -\frac{i}{\mathcal{F} k c_e} [1 - \exp(-kt)] + \frac{\mathcal{F}}{RT} \eta_t, \quad (6.30)$$

sau, explicitând pe  $\eta_t$  :

$$\eta_t = \frac{RT}{\mathcal{F}} \frac{i}{i_0} + \frac{RT}{\mathcal{F}^2} \frac{i}{k c_e} [1 - \exp(-kt)]. \quad (6.31)$$

Ca în alternativa precedentă, supratensiunea staționară se obține din ecuația (6.31), punind condiția  $t \rightarrow \infty$ , cînd avem :

$$\eta_\infty = \frac{RT}{\mathcal{F}} \frac{i}{i_0} + \frac{RT}{\mathcal{F}^2} \frac{i}{k c_e}. \quad (6.32)$$

Combinînd din nou expresiile pentru  $\eta_t$  și  $\eta_\infty$ , se obține :

$$\eta_t = \eta_\infty - \frac{RT}{\mathcal{F}^2} \frac{i}{k c_e} \exp(-kt), \quad (6.33)$$

sau, după logaritmare :

$$\ln(\eta_t - \eta_\infty) = -\ln\left(\frac{RT}{\mathcal{F}^2} \frac{i}{k c_e}\right) - kt. \quad (6.34)$$

Ecuația (6.34) corelează supratensiunea de timp în cazul cînd difuzia superficială constituie edv. Din exponentul ecuației (6.33) se poate calcula timpul de creștere  $\tau_{sd}$  :

$$\text{Punînd} \quad \tau_{sd}/k = 1 \quad (6.35)$$

rezultă :

$$\tau_{sd} = \frac{1}{k}. \quad (6.35 a)$$

Pentru a calcula timpul  $\tau_{sd}$  se cere deci cunoscută constanta  $k$ . Ea se poate obține din reprezentarea grafică a ecuației (6.34), într-un sistem de coordonate  $\lg(\eta_t - \eta_\infty)$  și  $t$  (fig. 6.4). Pe același grafic, din valoarea ordonatei la origine se poate calcula și concentrația de echilibru  $c_e$ .

În tabelele 6.2 și 6.3 sint date valorile concentrațiilor de echilibru  $c_e$ , în funcție de densitatea de curent și respectiv de natura suprafeței electrodului.

*Tableiul 6.2*

**Concentrația de echilibru  $c_e$  a adionilor la electrodepunerea argintului în condiții nu prea depărtate de echilibru**

$i(\text{mA} \cdot \text{cm}^{-2})$	$c_e(\text{moli} \cdot \text{cm}^{-3})$	$\tau_{sd}(\mu\text{s})$
4,5	$3,3 \cdot 10^{-11}$	342
6,3	$2,1 \cdot 10^{-11}$	187
8,9	$2,6 \cdot 10^{-11}$	156
15,0	$2,3 \cdot 10^{-11}$	96
22,6	$3,2 \cdot 10^{-11}$	75
44,7	$5,8 \cdot 10^{-11}$	53
62,6	$1,1 \cdot 10^{-11}$	22

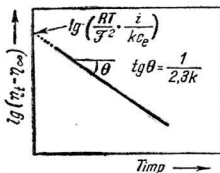


Fig. 6.4. Reprezentarea  $\lg(\eta_t - \eta_\infty)$  în funcție de timp permite obținerea constantei  $k$  și a concentrației de echilibru  $c_e$ .



Variația concentrației de echilibru  $c_e$  a adionilor, în funcție de pretratamentul catodului, la depunerea argintului

Pretratamentul electrodului	$c_e$ (moli $\cdot$ cm $^{-3}$ )
călire în H $_2$	$90 \cdot 10^{-11}$
călire în He	$3 \cdot 10^{-11}$
anodizare pulsatoare	$160 \cdot 10^{-11}$
decapare în soluție	$15 \cdot 10^{-11}$

Valoarea lui  $c_e$  poate fi introdusă în ecuația (6.32) cu ajutorul căreia se calculează  $i_0$ . Valorile obținute pe această cale sînt în bun acord cu cele determinate prin experiențe în care nu difuzia superficială ci transferul de sarcină constituie  $edv$ .

### 6.1.3 AȘEZAREA ÎN REȚEA CRISTALINĂ A ATOMILOR DEPUȘI ELECTROLITIC

Transferul de sarcină și difuzia adionilor de la o zonă la alta a electrodului nu constituie decît o primă parte a procesului de electrocristalizare. Ei îi urmează o a doua parte, care constă în ordonarea atomilor depuși. în rețeaua cristalină a metalului. Despre această așezare în rețea sau cristalizare, știm în general mai puține lucruri decît despre transportul de sarcină și difuzia superficială și adeseori în discuție se vor împrumuta rezultate din domeniul referitor la cristalizarea din mediu gazos, deși specificitatea electrocristalizării este pe deplin ilustrată de transportul ionilor în soluția aflată în contact cu electrodul, electrosorbția unor constituenți ai electrolitului și dependența entalpiei libere superficiale de potențial.

Este cazul să se menționeze că dimensiunile prezentei secțiunii nu ne-au permis decît o tratare elementară a primului act al electrocristalizării. Astfel, s-a presupus că atît  $c_e$  cît și  $\bar{c}_i$  sînt mici și ca o consecință directă, nu s-a luat în considerare faptul că din cauza acoperirii parțiale cu adioni, ionii care traversează stratul dublu au la dispoziție doar fracțiunea liberă  $(1 - \theta)$  din suprafața electrodului. De asemenea, la procesele caracterizate prin valori mici ale densității curentului de schimb, trebuie avută în vedere polarizabilitatea pronunțată, ceea ce antrenează supratensiuni apreciabile, adică o depărtare pronunțată de la starea de echilibru, chiar și la densități de curent mici.

Să trecem acum la analiza modului în care se construiește rețeaua cristalină. În legătură cu aceasta, adionilor le stau la dispoziție dislocările de forfecare și dezvoltarea în spirală. Imperfecțiunile cristalelor reale și în special treptele, sînt extrem de importante în creșterea cristalelor. Ceea ce este mai interesant, chiar și atunci cînd în evoluția cristalului treapta a atins limitele electrodului (v. fig. 6.5) și cînd în mod normal creșterea

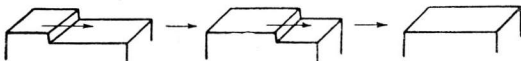


Fig. 6.5. Dezvoltarea cristalului duce la dispariția zonelor de treaptă.

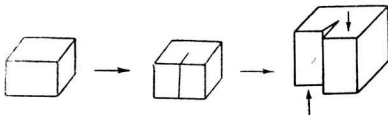


Fig. 6.6. Reprezentarea schematică a dislocării rețelei cristaline.

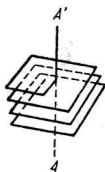


Fig. 6.7. Reprezentarea dislocării planurilor dintr-o rețea cristalină ilustrează dezvoltarea în spirală a straturilor atomice.

ar trebui să înceteze, cristalul găsește mijloace proprii pentru continuarea procesului de depunere în rețeaua cristalină. Secretul autoregenerării treptelor, fără de care electrocristalizarea nu s-ar putea concepe, constă în dislocarea rețelei cristaline, soldată cu apariția unor noi zone de treaptă (fig. 6.6). Lucrurile se petrec ca și când un cristal perfect este tăiat parțial, după care cele două părți separate de tăietură sînt supuse unor forțe în sens contrar, așa cum indică săgețile verticale din figură. Deplasarea straturilor atomice (sau ale planurilor din rețeaua cristalină) creează o treaptă la suprafața cristalului, iar dacă fenomenul este privit de sus în jos, de-a lungul axei de dislocare,  $AA'$ , el amintește o scară în spirală (fig. 6.7).

Apariția dislocărilor de genul celei schițate în figura 6.6 este de extremă importanță pentru dezvoltarea ulterioară a rețelei deoarece odată formată, treapta nu dispăre, chiar dacă adionii vin și se depun în zona de treaptă. Depunerea adionilor determină doar deplasarea muchiei, față de un reper  $XX'$  arbitrar ales și atunci când unghiul descris de muchie devine  $2\pi$  rad, s-a completat un nou strat atomic în rețeaua cristalină (fig. 6.8). Datorită acestei mișcări elicoidale, defectul de rețea a primit denumirea de dislocare de forfecare (Frank).

Atunci când adionii nu se fixează decît pe o fracțiune a treptei de dislocare se obține o formă interesantă de dezvoltare, numită creștere microspirală, a cărei proiecție în plan este o spirală, iar secțiunea de-a

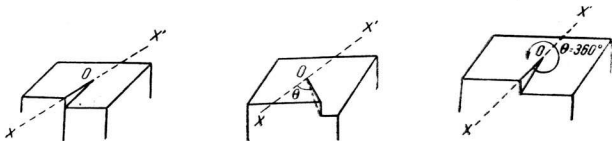


Fig. 6.8. Fixarea adionilor în zona de treaptă a dislocării determină rotirea treptei în jurul punctului O.

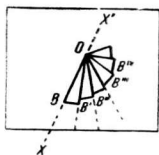


Fig. 6.9. Creștere microspirală.



lungul axei de dislocare  $AA'$  este asemănătoare unui munte în terase (fig. 6.9).

Treptele datorate straturilor monoatomice nu sînt vizibile la microscop, dar uneori, examinarea microscopică pune în evidență existența treptelor. Bineînțeles că în acest din urmă caz este vorba de macrotrepte, constituite din mii de straturi monoatomice. Ele iau naștere în urma blo-

cării incidentale a dezvoltării unei microtrepte, datorită de exemplu adsorbției unor impurități (fig. 6.10).

Pînă acum nu s-a pomenit decît dezvoltarea după o singură treaptă de dislocare cristalină, ceea ce nu constituie decît un caz particular; în general, se întîmplă ca mai multe dislocări să interacționeze. „Ciocnirea” lor se soldează cu efecte interesante asupra cristalizării.

Astfel, la ciocnirea frontală a două trepte, așa cum arată figura 6.11, se întîmplă anihilarea mutuală a lor. Coliziunea a două trepte cu dezvoltare helicoidală în sens contrar, poate duce la creșterea în dublă spirală a cristalelor (fig. 6.12), deoarece ciocnirea se va produce mai întîi la muchea cristalului și va progresa de-a lungul axei  $XX'$ .

#### 6.1.4 FORMA FEȚELOR CRISTALELOR

Fenomenele descrise la secțiunea precedentă nu epuizează toate caracteristicile cristalografice de dezvoltare a depozitului metalic obținut la catod. În cursul electrocristalizării se formează diverse figuri geometrice, care conțin pe fațetele lor o serie de imperfecțiuni și neuniformități. Acestea pot fi responsabile pentru dezvoltări cristaline complicate și spectaculoase cum sînt de exemplu dendritele. În absența defectelor de rețea,

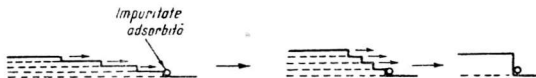


Fig. 6.10. Formarea macrotreptelor.

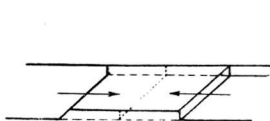


Fig. 6.11. Anihilarea mutuală a două trepte.

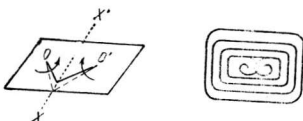


Fig. 6.12. Creșterea în dublă spirală.

așezarea atomilor în rețea ar trebui să se facă după principiul compacității maxime și al reproducerii celulei elementare în cele 3 dimensiuni ale spațiului.

Fețelor cristalelor, caracterizate prin indici cristalografici diferiți, le corespund viteze de creștere diferite. Aceasta se poate vedea și din datele tabelului 6.4, referitoare la depunerea cuprului pe monocristal de cupru.

Tabelul 6.4

Densități de curent de schimb și supratensiuni de depunere a cuprului pe diversele fețe ale unui monocristal de cupru

Fața cristalului	$i_0$ ( $A \cdot cm^{-2}$ )	$\eta$ de depunere (mV) la $i = 10^{-3} A \cdot cm^{-2}$
(110)	$2 \cdot 10^{-3}$	— 85
(100)	$1 \cdot 10^{-3}$	— 125
(111)	$0,4 \cdot 10^{-3}$	— 185

Explicația vitezelor de creștere ale fețelor cristaline diferite nu se cunoaște cu certitudine, dar se crede că ea poate fi pusă în legătură cu energiile de legătură ale adionilor cu diversele planuri ale cristalului. Din cauza unor aranjamente care se deosebesc de la o față la alta, un adion va avea 3,4 sau 5 atomi învecinați aparținători rețelei, după cum este vorba de o față (111), (100) sau respectiv (110). Cu cât numărul de atomi învecinați este mai mare, cu atât fixarea adionului este mai trainică și mai rapidă etapa de transfer de sarcină.

O situație analoagă se constată și la difuzia superficială de la zone plane spre zone de treaptă, colțuri, și goluri; adionul este din ce în ce mai puternic reținut de vecinii din rețea, sfârșind prin a fi încorporat în aceasta.

Un alt parametru care poate afecta viteza de creștere a planurilor este constituit de travaliul de extracție, care diferă de la un plan cristalin la altul. Deoarece valoarea travaliului de extracție este direct legată de ușurința de tunelare a electronului către adion în reacția de transfer de sarcină de la interfața electrod/electrolit, se înțelege efectul diferențiat al travaliului de extracție și asupra vitezei de creștere a fețelor cristaline.

Viteza de depunere diferită pe diversele fețe ale cristalului are o consecință, aparent, paradoxală și anume: fețele care au viteze de creștere mari tind să dispară, iar cele caracterizate prin viteze de creștere mici tind să se dezvolte (fig. 6.13).

În realitate, substratul monocristalului este o raritate în electrodepunerea metalelor și piesa de metal ce servește la confecționarea catodului are o structură policristalină. Presupunând structura policristalină ca un rezultat al asocierii

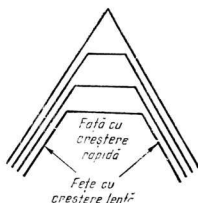


Fig. 6.13. Fețele care cresc rapid tind să dispară, iar cele care cresc lent, se dezvoltă și rămân.

unui număr imens de monocristale, fenomenele întâlnite la acestea din urmă se pot transpune la structura policristalină, fără ca fondul lor să fie alterat; se regăsesc, la aceasta, atât transferul cât și difuzia superficială din zone plane către zone de treaptă etc., creșterea în spirală, dislocările ș.a.

### 6.1.5 EFECTUL DIFUZIEI ASUPRA ELECTROCRISTALIZĂRII

Depunerea ionilor și încorporarea lor în rețeaua cristalină a metalului determină scăderea concentrației lor în preajma stratului dublu de la interfața metal-electrolit. Gradientul de concentrație care se naște, determină difuzia ionilor spre interfață. La scara stratului de difuzie  $\delta$ , transportul ionilor poate fi considerat staționar gradientul de concentrație liniar, iar densitatea de curent de difuzie exprimată prin egalitatea (5.301 a):

$$i = -Dz \mathcal{F} \frac{c^v - c^s}{\delta} \quad (5.301 \text{ a})$$

Să considerăm neregularitățile de pe electrod așa cum sînt schițate în figura 6.14. Atunci cînd vîrfurile sau gropile de pe suprafața electrodului sînt mai mici decît grosimea  $\delta$  a stratului de difuzie, evident  $\delta_{vîrf} < \delta_{groapă}$  și, corespunzător,  $i_{vîrf} > i_{groapă}$ ; cu alte cuvinte, pe vîrfuri se vor depune mai mulți ioni, iar în gropi mai puțini. Din microscopice, neuniformitățile devin macroscopice, conferind depozitului rugozitate.

O altă sursă de dezvoltare neuniformă o constituie prezența unor vîrfuri ascuțite, formate în urma unei creșteri în spirală. Dacă raza de curbură  $r$  a vîrfului spiralei este foarte mică ( $r \sim 10^{-6} \text{ cm} \ll \delta$ ) în vîrful ei nu vor mai exista condiții de difuzie liniară ci sferică (fig.6.15). În acest caz, densitatea de curent limită va fi exprimată de  $Dz \mathcal{F} c^v/r$ . Avînd în vedere relația dintre raza de curbură  $r$  și  $\delta$ , rezultă că densitatea de curent limită în vîrful spiralei va fi incomparabil mai mare decît în restul ei, iar dezvoltarea spiralei sub formă de dendrită devine vertiginosă.

Studierea condițiilor în care formarea dendritelor este favorizată prezintă mare importanță practică. În sursele de curent electrochimice (baterii sau elemente galvanice) dendritele pot străpunge și deteriora membranele separatoare dintre electrozi, cauzînd scurtcircuitarea sursei. În celule de electroliză, formarea dendritelor prejudiciază calitatea depozitului metalic și deci constituie de asemenea un fenomen inddezirabil.

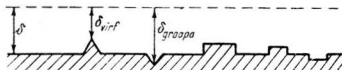


Fig. 6.14. Neregularități de pe suprafața electrodului.

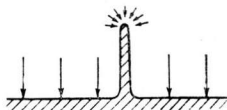


Fig. 6.15. Densitatea de curent în vîrful spiralei avînd raza de curbură  $r \ll \delta$ , este mult superioară celorlalte densități de curent de pe suprafața electrodului.

## 6.1.6 ROLUL IONULUI METALIC ȘI AL COMPOZIȚIEI SOLUȚIEI

La electroliza soluțiilor de săruri simple natura depozitului catodic și mărimea supratensiunii sînt determinate în primă instanță de către metalul depus (v. tabelul 6.5).

Tabelul 6.5

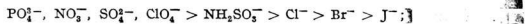
Sistematizarea metalelor după mărimea supratensiunii  $\eta$  la descărcarea lor din săruri simple

Proprietatea	Metalul		
	Hg, Ag, Tl, Pb, Cd, Sn	Bi, Cu, Zn	Co, Fe, Ni
$\eta$ (V)	$0 - 10^{-3}$	$10^{-3}$	$10^{-1}$
$i^\circ$ (A/cm <sup>2</sup> )	$10^{-1} - 10^{-3}$	$10^{-4} - 10^{-5}$	$10^{-8} - 10^{-9}$
dimensiunea medie liniară a germaniului (cm)	$\geq 10^{-3}$	$10^{-3} - 10^{-4}$	$\leq 10^{-5}$

Datele tabelului se referă la condiții obișnuite de electroliză, cînd se obține un depozit policristalin; se observă că metalele grupei fierului manifestă supratensiunea maximă (cîteva zecimi de volt). Aceste metale se reduc catodic sub formă de depozit dens, microcristalin.

Capacitatea de depunere a unui ion metalic depinde în general de natura și tăria legăturii cu mediul solvent sau cu ionii generatori de complecși aflați în soluție. Astfel, energia de activare la depunerea unui ion angajat în interacțiune ion — dipol, (cum ar fi de exemplu un ion cu configurație de gaz nobil, hidratat) va fi mai mică decît aceea corespunzătoare unui ion angajat în legături covalente sau cu pronunțat grad de covalență. De aceea, depunerea fierului din ionul complex  $[\text{Fe}(\text{H}_2\text{O})_6]^{3+}$  se va face cu o supratensiune considerabil mai mică, decît ionul din  $[\text{Fe}(\text{CN})_6]^{3-}$ , din care practic fierul nici nu se depune. Azi se știe că o supratensiune mare este de prevăzut atunci cînd la legătura ionului în complex participă simultan electroni dintr-un orbital  $d$  cu electroni dintr-unul  $s$  sau  $p$ , avînd un număr cuantic imediat următor. Dacă dimpotrivă, orbitalii  $3d$ ,  $4d$  sau  $5d$  sînt saturați electronic, cum este de exemplu în cazul ionilor  $\text{Cu}^+$  sau  $\text{Cu}^{2+}$ , supratensiunea este relativ mică.

Din primele studii întreprinse în această direcție, rezultă că descărcarea catodică a metalelor din soluțiile sărurilor lor simple depinde esențial de natura anionului. Fenomenul se observă la multe metale, dar este deosebit de net la acelea a căror descompunere nu se caracterizează prin supratensiune mare. De obicei, valoarea supratensiunii se micșorează la trecerea de la un anion la altul în seria:



în aceeași direcție se micșorează și tendința de formare a depozitelor macrocristaline. Influența anionilor se poate corela cu efecte cristalografice. Astfel, înlocuirea anionului  $\text{ClO}_4^-$  cu  $\text{NH}_2\text{SO}_3^-$  (sulfamină) micșorează  $\eta$  la descompunerea Pb aproape de două ori, în timp ce trecerea de la fața (111) la fața (100) diminuează supratensiunea de 1,5 ori. Prezența în soluție a

unor cationi indiferenți, mărește  $\eta$ ; efecte de acest gen se observă la Ni, Zn, Cu ș.a.

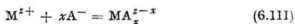
Din soluțiile apoase sînt nelipsiți ionii  $H^+$ ; creșterea concentrației lor duce la creșterea supratensiunilor metalelor. O mărire apreciabilă a supratensiunii se observă în prezența cationilor superficial activi, de tipul  $R_4N^+$ , a unor substanțe ca gelatina ș.a.

Adaosul în soluție a unor cantități foarte mici de substanțe moleculare sau ionice poate modifica mersul procesului de electrodepunere a metalelor. Multe substanțe, în special organice, au capacitate de a mări luciul depozitelor; unele au proprietatea de a netezi suprafața depozitului, iar altele conferă proprietăți cum sînt porozitate, duritate, fragilitate, capacitatea de a absorbi hidrogenul ș.a.

Un nou gen de polarizare sau supratensiune chimică observat la separarea catodică a metalelor (*L o ș k a r e v*) este așa numita polarizare de adsorbție și se manifestă prin modificarea vitezei de separare a metalului pe Hg sau pe electrozii solizi, la adaos de substanțe tensioactive (de pildă tribenzilamină). Această polarizare se stabilește la o valoare mai coborîtă decît cea observată pînă la adaosul de substanță tensioactivă și nu depinde, într-un domeniu de potențial relativ larg, de valoarea potențialului catodic. La valori foarte negative, acțiunea adaosului încetează; viteza de separare crește, iar apoi se stabilizează la o valoare constantă, amintind domeniul curentului de difuzie.

Compararea curbelor din figura 6.16 demonstrează că potențialul la care încetează acțiunea adaosului corespunde cu potențialul său de desorbție. Fenomenul de polarizare de adsorbție se utilizează la îmbunătățirea calității depozitelor galvanice și la elaborarea electrolitică a aliajelor.

Toate datele acestea se referă la cazul cînd metalul se separă din soluția unei sări simple. Dacă adaosul anorganic sau organic formează un complex cu metalul care se depune, mersul procesului catodic se modifică esențial. În primul rînd formarea de complecși în soluție deplasează potențialul de echilibru al metalului spre valori mai negative, din cauza micșorării concentrației ionilor liberi. Să presupunem că adaosul de anioni  $A^-$  formează cu ionul care se depune complexul  $MA_x$ , după reacția:



avînd constanta de formare (sau de stabilitate) globală:

$$K = \frac{[MA_x^{z-x}]}{[M^{z+}][A^-]^x}, \quad (6.36)$$

sau constanta de nestabilitate

$$K_n = K^{-1} = \frac{[M^{z+}][A^-]^x}{[MA_x^{z-x}]}. \quad (6.37)$$

Constanta de instabilitate caracterizează capa-

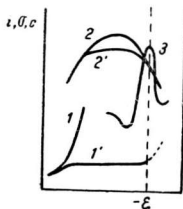


Fig. 6.16. Influența adaosului de substanță tensioactivă asupra electrodepunerii metalelor:

1, 1' — curbă de polarizare, fără și cu adaos de substanță tensioactivă;  
2, 2' — curba electrocapilară, fără și cu adaos de substanță tensioactivă;  
3 — variația capacității stratului dublu.

citarea complexului de a se disocia, și determină concentrația de echilibru a ionului  $M^{2+}$

$$[M^{2+}] = K_n \frac{[MA_x^{2-x}]}{[A^-]^x} \quad (6.38)$$

În urma formării complexului, o anumită proporție de ioni  $M^{2+}$  (cu atât mai mare cu cât  $K_n$  este mai mică) va exista în soluție sub formă complexă  $MA_x^{2-x}$ ; în proporție corespunzătoare se micșorează concentrația ionilor  $M^{2+}$  liberi. Micșorarea de concentrație și deci deplasarea potențialului de echilibru spre valori negative este cu atât mai pronunțată cu cât este mai mică constanta de nestabilitate și mai mare concentrația de adaos. Alegînd agentul complexogen și concentrația lui în mod judicios, potențialele diverselor metale prezente în soluție se pot deplasa în așa fel încît depunerea lor simultană să fie posibilă; pe această cale se pot prepara aliajele.

Formarea complexelor influențează nu numai potențialul de echilibru ci și mărimea supratensiunii și caracterul depozitului catodic. La trecerea de la un electrolit simplu la un electrolit complex se observă în general o creștere a supratensiunii și o micșorare a granulației depozitului. În același timp se remarcă tendința spre formarea și creșterea dendritelor. Astfel, Ag, care prin electroliza soluției de  $AgNO_3$  se depune la catod aproape fără polarizare sub formă de strat gros și zgrunțuros, din soluție de cianură complexă se depune sub formă de depozit lucios și subțire.

### 6.1.7 EFECTUL ELECTROSORBȚIEI

Figura 6.17 reprezintă variația potențialului cu timpul, la depunerea ionilor  $Ag^+$  pe electrod de argint. Experiența demonstrează că la fiecare închidere de circuit, trebuie să se înlăture anumite bariere energetice, caracteristice începutului de electroliză și că de fiecare dată se cheltuiește travaliul de formare a germenilor cristalini. Cauza acestei inerții inițiale a catodului se datorează substanțelor, tensioactive, întotdeauna prezente în soluție; prin întreruperea curentului, aceste adaosuri se adsorb pe catod, stratul de adsorbție pasivînd catodul. De aceea momentul închiderii circuitului este însoțit de o creștere a potențialului. Folosindu-se soluții extrem pure (S a m a r ț e v) s-a ajuns acolo încît chiar după o întrerupere de 50 min. electrodul nu s-a pasivat, iar potențialul a stabilit la valoarea  $\varepsilon$  (fig. 6.17).

Lucrînd cu soluții foarte pure de  $AgNO_3$  și cu electrozi de Ag, V a g r a m i a n a a impurificat intenționat această soluție, cu dextrină pentru a

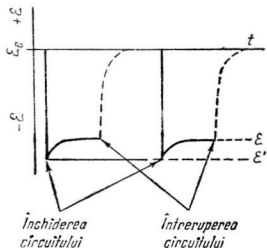


Fig. 6.17. Variația potențialului cu timpul, la depunerea ionilor  $Ag^+$  pe electrod de argint.



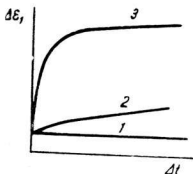


Fig. 6.18. Rolul impurităților asupra polarizării electrodului de argint:

1 — soluție ultra pură și saturată cu oxigen; 2 — soluție de puritate obișnuită; 3 — soluție cu adaos de 0,2% dextrină.

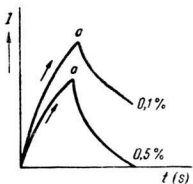


Fig. 6.19. Viteza de creștere a cristalelor este micșorată de adaosul de substanță tensioactivă (punctele „a”).

voltă este mai pronunțată, cu atât suprafața pe care are loc adsorbția este mai mare, și fațeta care crește este mai mică. Densitatea de curent se mărește dacă intensitatea curentului se păstrează constantă și corespunzător crește viteza de dezvoltare a cristalului filiform. Determinând la microscop secțiunea cristalului care crește și viteza sa de creștere, se poate calcula densitatea de curent reală pe fața activă.

Frînarea reacției de reducere se observă și pe alți catozi decât cel de Ag. Așa de exemplu, este bine studiată influența adaosurilor de substanță tensioactivă asupra vitezei de reducere a staniului (II) din soluții de  $\text{SnSO}_4$ , pe electrod de platină.

În figura 6.20 s-au reprezentat curbele de polarizare  $i-\eta$ , în următoarele 3 cazuri: soluție de  $\text{SnSO}_4$  pură, 1; soluție de  $\text{SnSO}_4$  cu adaos de  $\alpha$ -naftol, 2; soluție de  $\text{SnSO}_4$  cu adaos de  $\alpha$ -naftol + gelatină; 3. În soluție pură reducerea decurge la un potențial foarte apropiat de potențialul electrodului  $\text{Sn-Sn}^{2+}$ . Adaosul de substanțe tensioactive deplasează sensibil curbele  $i-\eta$ . La valori absolute mici și mijlocii ale lui  $\eta$  alura curbei 2 pare caracteristică pentru cinetica de difuzie, tinzând spre curentul limită. Dar curentul limită de pe curbele 2 sau 3 este cu mult mai mic decât curentul de difuzie limită care se stabilește în soluție pură (curba 1) și nu se datorează difuziei ci energiei de activare mari necesitate de ioni pentru

urmări efectul produs asupra potențialului de depunere. Gradul de impurificare se măsoară prin abaterea  $\Delta\epsilon_1 = \epsilon' - \epsilon_e$ , care depinde de gradul de pasivare al catodului. S-a constatat că  $\Delta\epsilon_1$  depinde nu numai de concentrația impurităților din soluție, ci și de timpul  $\Delta t$  scurs între două întreruperi succesive de curent;  $\Delta\epsilon_1$  crește inițial cu  $\Delta t$ , stabilindu-se ulterior (fig. 6.18). Aceasta demonstrează că, în condițiile date, adsorbția nu este un proces rapid, ci unul de durată.

Se vede că saturarea cu oxigen a soluției purificate special, nu modifică starea de pasivare a catodului, care rămâne practic nulă. Curba se reproduce și după o întrerupere de 15 minute a curentului. Aceste cercetări dezminț presupunerea că pasivarea catodului de Ag s-ar datora formării unui strat de oxid sau adsorbției oxigenului.

Dar adsorbția nu se produce numai la întreruperea curentului. După cum se vede din figura 6.19 adaosul de substanțe tensioactive reduce viteza de creștere a cristalelor. În soluție curată curentul crește cu timpul (ramurile ascendente) dar adaosul de substanță tensioactivă (dextrină punctele „a”) reduce curentul și deci viteza de creștere a cristalelor. Efectul este cu atât mai pronunțat cu cât soluția este mai concentrată în substanță tensioactivă. În aceste condiții depunerea nu mai este uniformă, favorizându-se desorbția dendritelor; cu cât pasivarea fețelor laterale ale cristalelor care se dezvoltă este mai pronunțată, cu atât suprafața pe care are loc adsorbția este mai mare, și fațeta care crește este mai mică. Densitatea de curent se mărește dacă intensitatea curentului se păstrează constantă și corespunzător crește viteza de dezvoltare a cristalului filiform. Determinând la microscop secțiunea cristalului care crește și viteza sa de creștere, se poate calcula densitatea de curent reală pe fața activă.

Frînarea reacției de reducere se observă și pe alți catozi decât cel de Ag. Așa de exemplu, este bine studiată influența adaosurilor de substanță tensioactivă asupra vitezei de reducere a staniului (II) din soluții de  $\text{SnSO}_4$ , pe electrod de platină.

În figura 6.20 s-au reprezentat curbele de polarizare  $i-\eta$ , în următoarele 3 cazuri: soluție de  $\text{SnSO}_4$  pură, 1; soluție de  $\text{SnSO}_4$  cu adaos de  $\alpha$ -naftol, 2; soluție de  $\text{SnSO}_4$  cu adaos de  $\alpha$ -naftol + gelatină; 3. În soluție pură reducerea decurge la un potențial foarte apropiat de potențialul electrodului  $\text{Sn-Sn}^{2+}$ . Adaosul de substanțe tensioactive deplasează sensibil curbele  $i-\eta$ . La valori absolute mici și mijlocii ale lui  $\eta$  alura curbei 2 pare caracteristică pentru cinetica de difuzie, tinzând spre curentul limită. Dar curentul limită de pe curbele 2 sau 3 este cu mult mai mic decât curentul de difuzie limită care se stabilește în soluție pură (curba 1) și nu se datorează difuziei ci energiei de activare mari necesitate de ioni pentru

traversarea stratului de adsorbție de la suprafața catodului; în aceste condiții viteza de descărcare a ionilor nu mai depinde de potențial. La o abatere destul de mare de la potențialul de echilibru, densitatea de curent începe să crească dependența  $i-\eta$  manifestând același caracter ca și în soluția pură.

O creștere mare a polarizării negative în urma adsorbției favorizează formarea unui mare număr de germeni de cristalizare și de aceea în asemenea condiții, se obțin depozite microcristaline compacte. În general, adaosul de substanțe tensioactive are o largă utilizare în tehnica electrolizei.

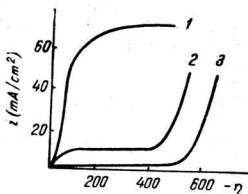


Fig. 6.20. Influența unor substanțe tensioactive asupra reducerii staniului: 1 — soluție de  $\text{SnSO}_4$  pură; 2 — adaos de  $\alpha$  naftol și 3 — adaos de  $\alpha$  naftol + gelatină.

### 6.1.8 DESCĂRCAREA SIMULTANĂ A HIDROGENULUI

Adeseori reducerea catodică a unui metal se desfășoară cu reducerea paralelă a altor metale sau a hidrogenului. Fenomenul are o mare importanță practică în rafinarea electrolitică a metalelor, galvanotehnică și prepararea unor aliaje.

Ca exemplu, să considerăm electroliza unei soluții apoase de sare de zinc; depunerea zincului pe catod este însoțită de degajarea hidrogenului.

La descărcarea simultană a ionilor viteza specifică de reducere a fiecărei specii  $k$  se poate exprima cu ajutorul densității de curent  $i_k$ , determinate. Densitatea de curent totală  $i_t$ , obținută cu o intensitate de curent cunoscută raportată la suprafața catodului, este egală cu suma densităților de curent ale tuturor reacțiilor de reducere:

$$i_t = \sum i_k. \quad (6.39)$$

Firește că atunci când, din motive practice interesează reducerea unei singure specii de ioni, reducerea în paralel a altui ion constituie un proces parazit, deoarece reduce randamentul electrolizei.

Pentru caracterizarea gradului de utilizare al curentului care străbate celula de electroliză se introduce așa-numitul randament de curent  $r$ , definit de raportul:

$$r_k(\%) = \frac{i_k}{i_t} \cdot 100. \quad (6.40)$$

Evident, atunci când se depun simultan și alte specii de ioni  $r_k < 100\%$ ; dacă nu se reduce decât un singur ion, nestînjinit de alții,  $i_k = i_t$  și  $r_k = 100\%$ .

În soluțiile apoase ale sărurilor, în afara cationilor metalici, există întotdeauna și ioni  $\text{H}^+$ , a căror concentrație determină  $\text{pH}$ -ul soluției. Dacă potențialul catodului este mai negativ decât potențialul de echilibru al hidrogenului (în soluții neutre potențialul de descărcare al hidrogenului este  $-0,415 \text{ V}$ ), atunci se va produce inevitabil reducerea ambilor ioni.

Aceasta se poate întâmpla atunci când potențialul de echilibru al metalului în soluția dată e mai negativ decât potențialul hidrogenului, dar și atunci când el este mai pozitiv dar catodul este destul de intens polarizat negativ.

În figura 6.21 sînt reprezentate curbele de polarizare ale metalului M și hidrogenului. După cum se observă, în cazul considerat, potențialul de echilibru al metalului  $\varepsilon_{e, M}$  e mai negativ decât  $\varepsilon_{e, H}$ . Reducerea hidrogenului decurge cu o supratensiune mai mare decât cea a metalului. O asemenea situație se întâlnește de exemplu, la reducerea zincului din soluții apoase.

Atîta timp cît potențialul electrodului e mai pozitiv decât  $\varepsilon_{e, H}$ , nici hidrogenul și nici metalul nu se pot reduce; dacă potențialul are o valoare situată între  $\varepsilon_{e, H}$  și  $\varepsilon_{e, M}$ , are loc numai reducerea hidrogenului, iar la valori mai negative decât  $\varepsilon_{e, M}$ , se vor reduce ambii. În aceste condiții,  $i_t = i_H + i_M$ ; curba de polarizare rezultantă  $\Sigma$ , se poate obține prin însumarea ordonatelor curbelor de polarizare H și M (fig. 6.21). La potențialul catodic  $\varepsilon$  metalul se va reduce cu viteza corespunzătoare lui  $i_M$ , iar hidrogenul cu  $i_H$ . Graficul permite determinarea randamentului de curent.

$$r_M = \frac{i_M}{i_t} \cdot 100. \quad (6.40 \text{ a})$$

Întrucît curba M este mai abruptă, creșterea polarizării negative va fi însoțită de creșterea randamentului de curent  $r_M$  al metalului.

Diagramele de tipul celei prezentate în figura 6.21 permit determinarea cantitativă a modului în care se modifică raportul  $i_M/i_H$  atunci când potențialul variază. Deoarece variația  $[M^{z+}]$  sau  $[H^+]$  modifică valoarea potențialului de echilibru și deci poziția curbelor de polarizare, rezultă că randamentul de curent trebuie să depindă de compoziția soluției, adică de concentrațiile metalului și a ionilor  $H^+$ . Astfel, mărirea  $pH$ -ului soluției, deplasează  $\varepsilon_{e, H}$  și curba de polarizare H spre valori mai negative (pe diagramă spre dreapta), ceea ce se soldează cu creșterea randamentului de curent al metalului la un potențial dat. Un efect similar are și creșterea concentrației ionilor  $M^{z+}$ , deoarece  $\varepsilon_{0, M}$  se deplasează spre sensul pozitiv al potențialelor. Pe baza relației (6.40) se poate scrie:

$$r_M = \frac{i_M}{i_t} \cdot 100 \quad \text{și} \quad r_H = \frac{i_H}{i_t} \cdot 100, \quad (6.40 \text{ a})$$

de unde

$$\frac{r_M}{r_H} = \frac{i_M}{i_H}. \quad (6.41)$$

Întrucît densitățile parțiale de curent depind de concentrațiile ionilor respectivi și de potențialul de electroliză  $\varepsilon$ , se mai pot scrie relațiile:

$$i_M = k_{0, M} c_{M^{z+}} \exp \left( - \frac{\alpha_M z_M \mathcal{F}}{RT} \right), \quad (6.42)$$

$$i_H = k_{0, H} c_{H^+} \exp \left( - \frac{\alpha_H \mathcal{F}}{RT} \right), \quad (6.26 \text{ a})$$

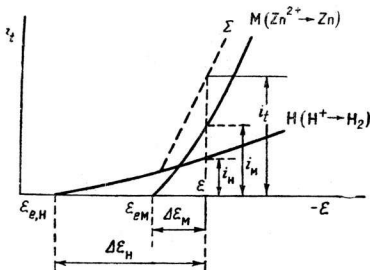


Fig. 6.21. Curbele de polarizare ale metalului și hidrogenului.

unde  $k_{0,M}$  și  $k_{0,H}$  sînt constante în condiții de lucru date, iar  $\alpha_M$  și  $\alpha_H$  coeficienți de transfer ai ionilor respectivi; în general  $\alpha_M \neq \alpha_H$ .

Introducînd densitățile de curent astfel exprimate în ecuația (6.41) se obține:

$$\frac{r_M}{r_H} = \frac{k_{0,M} c_{M^{z+}}}{k_{0,H} c_{H^+}} \exp[-(\alpha_M z_M - \alpha_H) \varepsilon f],$$

$$\text{unde } f = \frac{\varepsilon}{RT}. \quad (6.43)$$

Se vede că dacă  $c_{M^{z+}}$  crește,  $r_M$  trebuie să crească și  $r_H$  să scadă; în același sens va acționa și micșorarea  $c_{H^+}$ .

Dacă  $\alpha_M z_M > \alpha_H$ , diferența din paranteza curbă este pozitivă și o micșorare a valorii absolute a lui  $\varepsilon$  trebuie să crească raportul  $r_M/r_H$ , deci să mărească randamentul de curent al metalului. Condiția aceasta se poate realiza atunci cînd  $z_M > 1$ , pentru că în general  $\alpha_M$  nu diferă mult de  $\alpha_H$  și sînt destul de apropiate de 1/2.

Dacă  $z_M = 1$  și  $\alpha_M < \alpha_H$ , diferența din paranteză este negativă și negativarea potențialului va duce la micșorarea randamentului de curent al metalului. În acest caz reducerea ionilor  $H^+$  ar decurge cu o supratensiune mai mică decît reducerea metalului; în aceste condiții reducerea metalului este foarte neavantajoasă (fig. 6.22).

În sfîrșit în cazul particular al egalității  $\alpha_M z_M = \alpha_H$ , potențialul nu influențează randamentul de curent.

Dacă se cunoaște mărimea densității curentului de schimb  $i_0$ , se poate calcula randamentul de curent, folosind relațiile:

$$i_M = i_{0,M} \exp(-\alpha_M \eta_M z_M f) \quad (6.44)$$

și

$$i_H = i_{0,H} \exp(-\alpha_H \eta_H f). \quad (6.44 \text{ a})$$

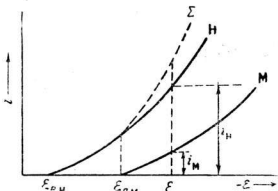


Fig. 6.22. Negativarea potențialului reduce simțitor randamentul de depunere a metalului.

Logaritmînd avem :

$$\ln \frac{i_M}{i_{0,M}} = -\alpha_M \eta_M z_M f \quad (6.45)$$

și

$$\ln \frac{i_H}{i_{0,H}} = -\alpha_H \eta_H f. \quad (6.45 \text{ a})$$

Să exprimăm explicit supratensiunile  $\eta_M$  și  $\eta_H$  :

$$\eta_M = -\frac{1}{\alpha_M z_M f} \ln \frac{i_M}{i_{0,M}}, \quad (6.46)$$

$$\eta_H = -\frac{1}{\alpha_H f} \ln \frac{i_H}{i_{0,H}} \quad (6.46 \text{ a})$$

și să simplificăm aceste relații, punînd  $\alpha_M = \alpha_H = \frac{1}{2}$ . În acest caz :

$$\eta_M = -\frac{2}{z_M f} \ln \frac{i_M}{i_{0,M}} \quad (6.47)$$

și

$$\eta_H = -\frac{2}{f} \ln \frac{i_H}{i_{0,H}} \quad (6.47 \text{ a})$$

deși  $\eta_M$  și  $\eta_H$  sînt diferite, potențialul  $\varepsilon$  la care se produce reducerea, este același. Deci :

$$\varepsilon = \varepsilon_{e,M} + \eta_M = \varepsilon_{e,H} + \eta_H. \quad (6.48)$$

Combinînd egalitățile (6.32), (6.31), și (6.31a) trecînd la logaritmi zecimali și exprimînd coeficienții logaritmilor pentru  $t = 25^\circ\text{C}$ , obținem :

$$\varepsilon = \varepsilon_{e,M} - \frac{0,118}{z_M} \lg \frac{i_M}{i_{0,M}} = \varepsilon_{e,H} - 0,118 \lg \frac{i_H}{i_{0,H}}. \quad (6.49)$$

De unde :

$$0,118 \lg \left[ \left( \frac{i_{0,M}}{i_M} \right)^{1/z_M} \frac{i_H}{i_{0,H}} \right] = \varepsilon_{e,H} - \varepsilon_{e,M}, \quad (6.50)$$

sau

$$\lg \frac{i_H}{(i_M)^{1/z_M}} = \frac{\varepsilon_{e,H} - \varepsilon_{e,M}}{0,118} + \lg \frac{i_{0,H}}{(i_{0,M})^{1/z_M}}. \quad (6.51)$$

Relația permite calcularea raportului  $i_H/i_M$ .

Ca exemplu să considerăm reducerea zincului dintr-o soluție 0,25 M de  $\text{ZnSO}_4$ , acidulată cu  $\text{H}_2\text{SO}_4$  până la  $\text{pH} = 0$ . În aceste condiții:

$$\begin{aligned} \epsilon_{\text{e,Zn}} &= -0,78 & \text{iar} & \quad \epsilon_{\text{e,H}} = 0 \\ i_{0,\text{Zn}} &= 10^{-5} \text{ A/cm}^2 & \text{iar} & \quad i_{0,\text{H}} \text{ (pe zinc)} = 10^{-11} \text{ A/cm}^2. \end{aligned}$$

Înlocuind aceste valori în ecuația de mai sus, obținem:

$$i_{\text{H}} = 10^{-2}(i_{\text{Zn}})^{1/2}.$$

Dacă de exemplu  $i_{\text{Zn}} = 100 \text{ A/cm}^2$ , atunci  $i_{\text{H}} = 10^{-1} \text{ A/cm}^2$ , adică valorează 0,1% din  $i_{\text{Zn}}$ . Cunoscând  $i_{\text{H}}$  și  $i_{\text{Zn}}$ , se poate calcula  $r_{\text{Zn}}$  și evident  $r_{\text{H}} (= 100 - r_{\text{Zn}})$ .

Participarea ionilor  $\text{H}^+$  la reacția catodică și la transportul sarcinii electrice, cauzează o modificare de  $\text{pH}$  în stratul precatodic. Dacă viteza de descărcare a ionilor  $\text{H}^+$  depășește pe cea de transport a lor în stratul precatodic, soluția sărăcește în ioni  $\text{H}^+$ , iar aciditatea ei se micșorează. Creșterea  $\text{pH}$ -ului în stratul precatodic al soluției poate să ducă la rezultate nedorite; când  $\text{pH}$ -ul atinge valori la care cationii metalici formează hidroxizi greu solubili sau săruri baze, începe precipitarea acestora. Pătrunzînd în metalul care se depune, precipitatul aduce prejudicii calității depozitului. Pentru a compensa variația de  $\text{pH}$  în stratul precatodic, în soluție se adaugă substanțe care constituie sisteme tampon; adaosul de acid boric, săruri de amoniu etc., are tocmai acest rol.

Dacă viteza de descărcare a  $\text{H}^+$  e mai mică decît viteza de transport spre stratul precatodic, atunci aciditatea soluției crește, ceea ce poate provoca micșorarea randamentului de curent al metalului, întrucît crește  $c_{\text{H}^+}$ . Agitarea și încălzirea soluției constituind factori care acționează în sensul egalării concentrației soluției, vor micșora variațiile de  $\text{pH}$  în stratul precatodic.

La reducerea catodică simultană a  $\text{H}^+$  și a metalelor este posibilă dizolvarea în acestea din urmă a hidrogenului atomic. Cercetîndu-se firul obținut pe cale electrolitică s-a observat în el un conținut de pînă la 9,2% atomi de hidrogen. Absorbția hidrogenului cauzează denaturări importante ale rețelei cristaline și înrăutățește calitățile mecanice ale metalului. O ulterioară încălzire permite îndepărtarea majorității hidrogenului absorbit. Proprietățile electrochimice ale Fe și Ni obținute pe cale electrolitică din soluții apoase, se deosebesc de proprietățile aceluiași metale după încălzirea ulterioară, în timpul căreia s-a eliminat H.

#### 6.1.9 DESCĂRCAREA SIMULTANĂ A IONILOR METALICI

Discuția privind reducerea simultană a două metale se aseamănă în multe privințe cu aceea de la reducerea paralelă a unui metal cu hidrogenul. Deosebirea esențială constă în faptul că prin reducerea paralelă a două sau mai multe metale se obțin aliaje. Caracteristicile aliajelor obținute se determină din diagramele de stare ale sistemelor și bineînțeles din concentrațiile metalelor. Dacă la o concentrație dată componenții

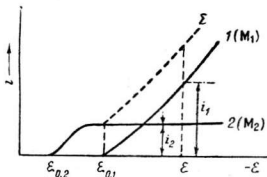


Fig. 6.23. Curbele de polarizare a doi ioni metalici.

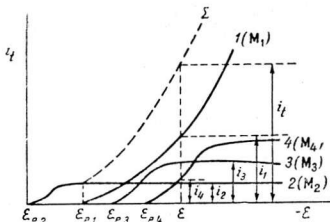


Fig. 6.24. Electrodepunerea simultană a mai multor metale.

aliajului pot forma soluții solide, atunci ionii metalici care se reduc simultan, vor participa împreună la construirea rețele cristaline. Micile adaosuri de metale străine formează de obicei soluții solide.

Soluția solidă, obținută la cristalizarea pe catod în microvolume izolate, poate avea o concentrație deosebită de cea a soluției din care se obține și deci să nu fie în echilibru cu aceasta.

Posibilitatea formării de aliaje pe catod cauzează modificarea potențialului la care începe reducerea fiecărui metal; deoarece deplasarea potențialului are loc spre valori pozitive, formarea aliajelor facilitează descărcarea cationilor. Aceasta se explică în primul rând prin aceea că formarea aliajului este însoțită de o micșorare a energiei potențiale a componentilor (o scădere de entalpie liberă molară parțială) și prin aceea că activitatea metalului din aliaj este subunitară.

Să considerăm câteva exemple de reduceri simultane de metale, folosind curbele de polarizare. Fie o soluție bogată de ioni  $M_1^{r+}$  și săracă în ioni  $M_2^{r+}$ , metalul  $M_2$  fiind mai electropozitiv decât  $M_1$  (fig. 6.23). La potențialul catodic  $\epsilon$ , metalul  $M_2$  se reduce în condițiile curentului de saturație, în timp ce  $M_1$  (curba 1), datorită concentrației mari a ionilor, este departe de curentul de saturație. În aceste condiții, mărirea polarizației trebuie să crească randamentul de curent al metalului  $M_1$ , întrucât viteza de reducere a lui  $M_2$  nu mai poate să crească. Prin agitarea soluției curentul limită pentru  $M_2$  va crește (curba 2 se va situa mai sus) și fără ca viteza de reducere a metalului  $M_1$  să se modifice, randamentul său de curent se va micșora.

Nu trebuie să se uite că potențialele  $\epsilon_{0,1}$  și  $\epsilon_{0,2}$  la care începe reducerea ionilor,  $M_1^{r+}$  și  $M_2^{r+}$  derivă din afinitatea de formare a aliajului și deci nu coincid cu potențialele de echilibru ale metalelor pure.

În figura 6.24 este reprezentat un caz ceva mai complicat, corespunzător reducerii simultane a 4 specii de cationi. La potențialul  $\epsilon$  metalele  $M_2$  și  $M_3$  (curbele 2, 3) se reduc în condițiile curentului limită; în schimb metalele  $M_1$  și  $M_4$ , mai electronegative, nu au ajuns încă la această limită (curbele 1 și 4). Mărirea polarizării micșorează mai întâi randamentele

de curent pentru  $M_2$  și  $M_3$ , iar de la un anumit potențial, și randamentul de curent al potențialului 4. La o micșorare corespunzătoare a polarizării, reducerea metalului  $M_4$  se poate evita. Pe figura 6.24 se vede că aceasta are loc la potențiale catodice mai pozitive decât  $\varepsilon_{e,4}$ . În acest caz, metalul  $M_2$  se va reduce în condițiile curentului de saturație, iar  $M_1$  și  $M_3$  corespunzător curbelor de polarizare 1 și 3.

Alegînd judicios compoziția soluției și potențialul catodului, se pot obține aliaje de compoziție dorită. Astfel, de exemplu, pe obiectele de fier se pot depune electrolic aliaje de cupru-zinc (alamă) sau cupru-staniu (bronz) ș.a. Electrodepunerile pe bază de staniu prezintă un interes deosebit în galvanotehnică (acoperiri de protecție, protecție decorativă), grație calităților pe care le posedă depozitul.

Alama cu un conținut de 30% Zn, se poate obține din soluții alcaline cianurate sau conținînd anion pirofosfat. Curbele de polarizare individuale ale celor două metale sînt redată în figura 6.25; Cu  $\varepsilon_1$  și  $\varepsilon_2$  s-au notat potențialele de depunere ale aliajelor, în cele două cazuri.

Aliajul Sn-Ni cu un conținut de pînă la 65% Sn, prezintă o mare rezistență la coroziune și nu se solvă în acizi minerali; chiar acidul  $\text{HNO}_3$  reacționează încet cu el. Analiza roentgenografică demonstrează că în acest aliaj sînt prezente legături intermetalice, care nu se pot obține decît pe cale electrolică. Pentru obținerea acestor aliaje se recomandă următoarele condiții de electroliză:

- baia electrolitică:  $\text{NiCl}_2$  2,1 — 2,5 N;  $\text{SnCl}_2$  0,4 — 0,5 N; NaF 0,7 N;  $\text{NH}_4\text{F}$  1 N;
- pH: 4,0 — 4,5;
- temperatura electrolitului: 45 — 55°C;
- densitatea de curent: 0,5 — 4,0 A/dm<sup>2</sup>;
- anodi din Sn și Ni, avînd raportul suprafețelor 1 : 20.

Deoarece  $\varepsilon_{e,\text{Sn}}$  și  $\varepsilon_{e,\text{Ni}}$  diferă cu 0,11 V (Ni e mai negativ), clorurilor de Sn și Ni, li se adaugă NaF și  $\text{NH}_4\text{F}$ , în prezența cărora se formează anionii complecși  $(\text{SnF}_4)_2^{2-}$  și  $(\text{SnCl}_2\text{F}_2)_2^{2-}$ , iar potențialul de descărcare al Sn se deplasează spre valori mai negative.

Compoziția aliajului depinde în mică măsură de concentrația staniului și a nichelului din electrolit sau de natura cationului din florură. Acest cation joacă însă un mare rol în fixarea proprietăților fizico chimice a depunerilor. Astfel, prezența  $\text{NH}_4\text{F}$  conferă depozitelor luciu și fragilitate, în timp ce în prezența NaF depozitele devin mate, dar elastice; adăugarea simultană a celor două săruri se soldează cu apariția unor depozite lucioase și relativ elastice. Limitele densității de curent între care se obțin depozite lucioase

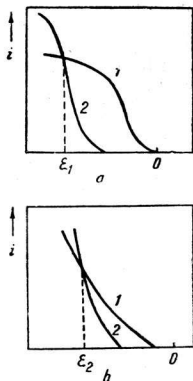


Fig. 6.25. Curbele de polarizare la depunerea cuprului și zincului:

a — din soluții alcaline de pirofosfați: 1 — Cu din  $\text{Cu}(\text{P}_2\text{O}_7)_4^{6-}$ ; 2 — Zn din  $\text{Zn}(\text{P}_2\text{O}_7)_4^{6-}$ ; b — din soluții de cianuri: 1 — Cu din  $\text{Cu}(\text{CN})_4^{3-}$ ; 2 — Zn din  $\text{Zn}(\text{CN})_4^{2-}$ .



depind de temperatură și  $pH$ -ul electrolitului: ridicarea  $pH$ -ului și a temperaturii electrolitului micșorează intervalul admis pentru densitatea de curent. Intervalul larg, cuprins între 1–4 A/dm<sup>2</sup> corespunde unui  $pH = 2,5$  la 50 – 70°C, sau  $pH = 4,5$  la temperaturi cuprinse între 45 și 50°C.

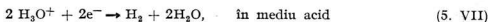
Pentru a se obține depuneri cu un conținut mai scăzut de staniu, se adaugă substanțe organice, cum ar fi acidul parafenolsulfonic în concentrație 0,5 M în prezența lui, conținutul în Sn poate coborî până la 53%. Acest adaos nu influențează de loc polarizarea la depunerea Ni, compoziția depunerilor păstrându-se constantă într-un larg interval de densitate de curent (1,5 – 4,5 A/dm<sup>2</sup>).

## 6.2. REACȚIA DE DESCĂRCARE A HIDROGENULUI

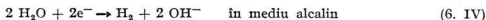
Prototip de reacție de electrod, adeseori pomenit în cinetica de electrod, jucînd un rol esențial în fenomenul de coroziune și însoțind electrodepunerea metalelor, reacția de descărcare a hidrogenului se bucură de un loc special în cadrul reacțiilor electrochimice. Ea are o istorie extrem de bogată, care se confundă adeseori cu istoria unor noțiuni cum sînt supratensiunea, electroliza apei și legată de aceasta, prepararea apei grele. În privința supratensiunii este utilă următoarea precizare. Pînă pe la mijlocul secolului al 20-lea supratensiunea era considerată ca o particularitate a unor reacții de electrod, în special a degajării hidrogenului, ale cărei cauze au fost mult cercetate. S-a crezut în general că un sistem electrod-soluție care necesită supratensiune era perturbat oarecum de către un film de gaz, care împiedica scurgerea curentului. Imaginea de azi este diferită și anume: supratensiunea este un fenomen ce însoțește în mod necesar scurgerea unui curent net prin orice interfață. Reacțiile se deosebesc numai în mărimea supratensiunii asociate cu o densitate de curent determinată; pentru a avea o supratensiune de activare nulă, densitatea de curent de schimb ar trebui să fie infinită, iar evitarea supratensiunii de concentrație ar fi posibilă numai dacă densitatea de curent limită și deci fluxul de transport ar fi infinite. Or, ambele condiții sînt imposibile în sisteme reale și nu sînt satisfăcute decît în experiențe imaginare.

### 6.2.1 MECANISME DE REACȚIE POSIBILE

Reacția globală de descărcare a hidrogenului este:

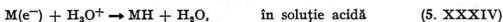


sau

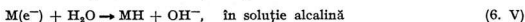


Din mulțimea de variante care s-au propus de-a lungul a șase decenii, azi nu se mai păstrează decît două. Comună ambelor variante le este descrierea modului în care ionii hidroniu ating suprafața electrodului. Proto-

nii hidratați sînt reduși pentru a forma atomi de hidrogen pe centrele libere ale suprafeței de electrod:



Formarea atomului de hidrogen adsorbit este posibilă și în mediu alcalin, unde concentrația ionilor  $H_3O^+$  este disparentă; aici însă are loc reducerea moleculelor de apă:



Etapa următoare constă dintr-o reacție de desorbție și după modul în care aceasta are loc, se disting cele două variante acceptate azi.

Într-una din variante, desorbția ar putea avea loc după reacția:

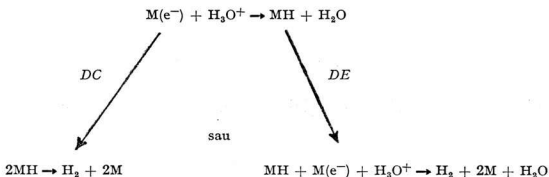


care este o etapă de desorbție chimică sau numită și reacție de recombinaire catalitică, recombinaire Tafel (după numele celui care a propus-o cel dintîi), etapă atom-atom etc. În cursul ei atomii de hidrogen adsorbiți, formați în etapa precedentă, de descărcare, difuzează de-a lungul suprafeței electrodului, printre moleculele de apă sau îndepărtîndu-le din cale, pînă cînd se întîmplă ciocnirea cu un alt atom de hidrogen adsorbit, soldată cu formarea moleculei  $H_2$ .

K o b o z e v și N e k r a s o v au sugerat o altă continuare a reacției, propunînd alternativa etapei de desorbție electrodică:



Ea este cunoscută și sub numele de desorbție electrochimică sau recombinaire ion-atom. Prin urmare cele două căi de reacție sînt:



unde DC și DE simbolizează desorbția chimică și respectiv electrochimică (sau de pe electrod). Ele diferă substanțial una de alta. Astfel, în varianta desorbției de pe electrod, se observă că MH trebuie să fie în mare concentrație, deoarece altfel există puține șanse pentru descărcarea protonilor prin intermediul atomilor adsorbiți MH. Faptul e evident la considerarea ecuației cinetice a etapei:

$$v_{DE} = k_{DE} \theta_{MH} c_{H^+} \exp(-\beta \mathcal{F} \Delta \Phi / RT). \quad (6.52)$$

Se vede că  $v_{DE} \rightarrow 0$  pe măsură ce  $\theta_{MH}$  se micșorează. Această condiție nu poate interzice calea adsorbției chimice, care se poate desfășura la acoperiri mici.

În ceea ce privește etapa determinantă de viteză, se poate spune că în cadrul fiecărei variante, oricare din cele două etape consecutive poate prelua controlul vitezei de reacție în procesul global.

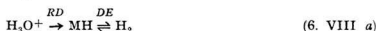
Să considerăm de exemplu varianta *DC*; atât reacția de descărcare (*RD*) cât și cea de desorbție chimică (*DC*) pot fi determinante de viteză. Dacă mecanismul nu conține reacții cuplate (viteza etapei într-un sens este mult mai mare decât în celălalt sens și sensibil egală cu a etapei consecutive ceea ce corespunde regimului staționar), se poate presupune că etapa nedeterminantă de viteză este în stare de echilibru. Fie etapa de descărcare determinantă de viteză; atunci:



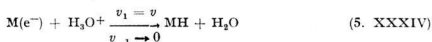
și reciproc, dacă *DC* este *edv*:



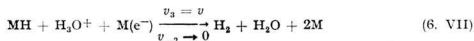
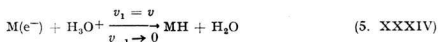
Asemănător, pentru varianta desorbției electrochimice *DE*, atât reacția de descărcare (*RD*) cât și *DE* pot constitui *edv*:



Cu acestea însă nu am epuizat toate posibilitățile ce ni se oferă, deoarece reacția se poate desfășura și după un mecanism de etape cuplate; în varianta *DC*, reacția ar urma calea etapă de descărcare cuplată cu etapă de desorbție chimică:



unde *v* reprezintă viteza reacției globale. În alternativa *DE*, avem:



## 6.2.2 DETERMINAREA MECANISMULUI DE REACȚIE

În cele ce urmează vor fi menționate câteva tehnici utilizate la determinarea mecanismului reacției de degajare a hidrogenului, dependent în mare măsură de natura electrodului luat în lucru.

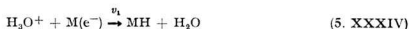
Măsurarea densității curentului de schimb oferă o cale de evaluare a vitezei de reacție în condiții de echilibru și în același timp permite clasifi-

Densitatea de curent de schimb  $i_0$  a reacției de degajare  
a hidrogenului pe diverse metale, în soluție de  $H_2SO_4 \sim 1 M$

Metalul	$-\lg i_0(A/cm^2)$	Metalul	$-\lg i_0(A/cm^2)$
Pd	3,0	Nb	6,8
Pt	3,1	Ti	8,2
Rh	3,6	Cd	10,8
Ir	3,7	Mn	10,9
Ni	5,2	Tl	11,0
Au	5,4	Pb	12,0
W	5,9	Hg	12,3

care în buni sau răi a electrocatalizatorilor folosiți pentru reacția de degajare a hidrogenului (tab. 6.6); din datele tabelului rezultă că de exemplu Cd, Mn, Tl, Pb și Hg nu constituie buni electrocatalizatori ai reacției.

Determinarea coeficientului de transfer poate fi de folos uneori pentru indicarea mecanismului. Să considerăm ca bază pentru discuție calea desorbției chimice și etapa de descărcare a ionilor hidroniu, determinantă de viteză:



Densitatea de curent a  $edv$  se calculează cu ecuația Butler — Volmer:

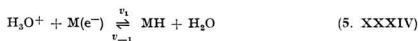
$$\vec{i} = 2 \mathcal{F} k_1 c_{H_3O^+} (1 - \theta_H) \exp(-\beta \mathcal{F} \Delta \Phi / RT). \quad (6.53)$$

Presupunând acoperiri mici cu atomi  $H(\theta_H \rightarrow 0$  sau  $1 - \theta \approx 1)$ , mai avem:

$$\vec{i} = 2 \mathcal{F} k_1 c_{H_3O^+} \exp(-\beta \mathcal{F} \Delta \Phi / RT). \quad (6.54)$$

În acest caz, coeficientul de transfer  $\vec{\alpha}$  este egal cu factorul de simetrie:  $\vec{\alpha} = \beta$ .

Să alegem acum etapa de desorbție chimică determinantă de viteză:



Densitatea de curent de reducere va fi de astă dată:

$$\vec{i} = 2 \mathcal{F} v_2. \quad (6.55)$$

Deoarece viteza desorbției chimice  $v_2$  este :

$$v_2 = k_2(k'\theta_H)^2, \quad (6.56)$$

unde  $k'\theta_H$  reprezintă concentrația atomilor de hidrogen adsorbiți, la acoperirea  $\theta_H(k')$  este viteza de desorbție pentru  $\theta_H = 0$ , combinarea egalităților (6.55) și (6.56) duce la :

$$\vec{i} = 2 \mathcal{F} k_2 k'^2 \theta_H^2. \quad (6.57)$$

Folosind aproximația stării de cuasi-echilibru pentru etapa de descărcare, se poate scrie egalitatea vitezelor  $v_1$  și  $v_{-1}$  :

$$k_1 c_{H_2O} + (1 - \theta_H) \exp(-\beta \mathcal{F} \Delta\Phi/RT) \approx k_{-1} k' \theta_H \exp[(1 - \beta) \mathcal{F} \Delta\Phi/RT], \quad (6.58)$$

sau

$$\frac{\theta_H}{1 - \theta_H} = \frac{k_1}{k_{-1} k'} c_{H_2O} + \exp(-\mathcal{F} \Delta\Phi/RT), \quad (6.59)$$

de unde se poate calcula :

$$\theta_H = \frac{k_1 c_{H_2O} + \exp(-\mathcal{F} \Delta\Phi/RT)}{k_1 c_{H_2O} + \exp(-\mathcal{F} \Delta\Phi/RT) + k_{-1} k'}. \quad (6.60)$$

La supratensiuni mici, termenul întâi din numitor se poate neglija în raport cu termenul al doilea și astfel se mai obține :

$$\theta_H \approx \frac{k_1 c_{H_2O} + \exp(-\mathcal{F} \Delta\Phi/RT)}{k_{-1} k'}, \quad (6.61)$$

Substituind această valoare a lui  $\theta_H$  în ecuația (6.57), se obține :

$$\begin{aligned} \vec{i} &= 2 \mathcal{F} k_2 k'^2 \frac{k_1^2 c_{H_2O}^2 \exp(-2 \mathcal{F} \Delta\Phi/RT)}{k_{-1}^2 k'^2}, \\ \vec{i} &= 2 \mathcal{F} k_2 \left( \frac{k_1}{k_{-1}} \right)^2 \cdot c_{H_2O}^2 \exp(-2 \mathcal{F} \Delta\Phi/RT). \end{aligned} \quad (6.62)$$

În concluzie, la supratensiuni mici, coeficientul de transfer  $\vec{\alpha}$  al reacției în care  $edv$  este desorbția chimică, precedată de transfer de sarcină în condiții de cuasi-echilibru, este egal cu 2.

Dar deși cele două mecanisme ale variantei DC se caracterizează prin coeficienți de transfer  $\vec{\alpha}$  diferiți (1/2 și respectiv 2), nu înseamnă că determinarea exclusivă a coeficientului de transfer ne furnizează o indicație univocă mecanismului; există și alte mecanisme decât cele presupuse, care se caracterizează prin aceleași valori ale coeficientului de transfer.

Să revenim la mecanismul descărcare-desorbție de electrod, care este probabil adeseori cel care are loc la supratensiuni ridicate, când curenții în sens invers ai celor două etape sînt neglijabili. Densitatea de curent a etapei de descărcare este :

$$\vec{i} = 2 \mathcal{F} k_1 c_{H_2O} + (1 - \theta_H) \exp(-\beta \mathcal{F} \Delta\Phi/RT), \quad (6.63)$$

iar a etapei de desorbție de electrod:

$$\vec{i} = 2 \mathfrak{F} k_1 c_{\text{H}_2\text{O}^+} k' \theta_{\text{H}} \exp(-\beta \mathfrak{F} \Delta \Phi / RT). \quad (6.64)$$

Presupunind condiții de regim staționar, cele două densități de curent sînt egale, ceea ce conduce la relația:

$$\frac{\theta_{\text{H}}}{1 - \theta_{\text{H}}} = \frac{k_1}{k_3 k'}, \quad (6.65)$$

de unde

$$\theta_{\text{H}} = \frac{k_1}{k_1 + k_3 k'}. \quad (6.66)$$

Dacă presupunem  $k_1 \ll k_3 k'$ , rezultă:

$$\theta_{\text{H}} \approx \frac{k_1}{k_3 k'}, \quad (6.67)$$

sau și că

$$\theta_{\text{H}} \ll 1. \quad (6.68)$$

Dacă  $\theta_{\text{H}} \ll 1$ , ecuația (6.53) se mai poate scrie și sub forma:

$$\begin{aligned} \vec{i} &= 2 \mathfrak{F} k_1 c_{\text{H}_2\text{O}^+} \exp(-\beta \mathfrak{F} \Delta \Phi / RT), \\ \vec{i} &= i_0 \exp(-\beta \mathfrak{F} \eta / RT), \end{aligned} \quad (6.69)$$

unde

$$i_0 = 2 \mathfrak{F} k_1 c_{\text{H}_2\text{O}^+} \exp(-\beta \mathfrak{F} \Delta \Phi / RT). \quad (6.70)$$

Din care se găsește că  $\vec{\alpha} = \beta = 1/2$ . Dar chiar și pentru descărcarea determinantă de viteză, urmată de desorbție de electrod în stare de cuasi — echilibru, se găsește tot  $\vec{\alpha} = \beta = 1/2$  ( $\theta_{\text{H}} = 0$ ).

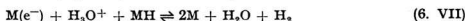
În general, folositoare pentru a decide asupra mecanismului de reacție, determinarea ordinului de reacție nu furnizează vreo indicație valoroasă în cazul reacției de degajare a hidrogenului.

Derivata  $(\partial \lg i / \partial \lg c_{\text{H}_2\text{O}^+})_{\Delta \Phi}$  are valori egale pentru diverse mecanisme presupuse. Mai utilă este determinarea numărului stoechiometric  $\nu$ .

Să considerăm din nou cele două variante de mecanism, a desorbției chimice (DC) și a desorbției de electrod DE. Se vede că în secvența:



$\nu = 2$ , pe cînd în mecanismul:



$\nu = 1$ .

S-a arătat (Devanathan) că fracția de acoperire cu hidrogen atomic,  $\theta_{\text{H}}$ , poate constitui de asemenea un parametru util pentru elucidarea mecanismului de reacție. Astfel, dacă de exemplu în regim staționar acoperirea

suprafeței cu H este mare, este improbabil ca  $edv$  să fie DC, deoarece se știe că aceasta este asociată cu acoperiri mici. De asemenea, atunci când numerele stoechiometrice nu sînt disponibile și nu se poate face o distincție între mecanismele:



determinarea acoperirii cu hidrogen permite distingerea lor, deoarece acoperiri mici nu sînt compatibile cu cel de-al doilea mecanism.

Nu lipsite de valoare sînt și determinările de entalpii de adsorbție la fixarea hidrogenului pe diverși electrozi, precum și efectele izotopice asupra vitezei de reacție. Entalpia de adsorbție pe majoritatea metalelor este aproximativ egală cu energia legăturii M—H astfel că accentuarea caracterului „d” al metalului din care e confecționat electrodul se soldează cu scăderea entalpiei de adsorbție și cu mărirea acoperirii cu hidrogen.

În privința efectului izotopic, prevederile teoretice pentru fiecare mecanism presupus se bazează pe suprafețele de energie potențială ale reacției, pe modificările suprafețelor de energie de activare și variațiile de energie de activare ce însoțesc schimbările de izotopi într-unul din reactanți

În tabelul 6.7 s-au prezentat diversele tipuri de mecanisme prin care hidrogenul se degajă pe unele metale.

*Tabelul 6.7*

**Mecanisme de reacție pentru degajarea hidrogenului pe cîteva metale, în soluție acidă.**

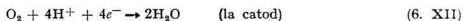
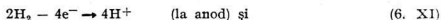
Metalul	Mecanismul
Hg, Pb, Cd	Etapă de descărcare determinantă de viteză, urmată de desorbție electrodică
Ni, W, Au	Descărcarea protonului, urmată de desorbția electrodică, determinantă de viteză
Pt, Rh	Descărcarea protonului, urmată de desorbție chimică, determinantă de viteză; pe metale activate deosebit, difuzia moleculelor care părăsesc suprafața electrodului, devine determinantă de viteză

### 6.3. REACȚIA DE REDUCERE ȘI DE DEGAJARE A OXIGENULUI

Reducerea catodică a oxigenului are o deosebită importanță în electrochimie, deoarece ea joacă un rol de prim ordin în multe reacții. De exemplu, reducerea oxigenului constituie baza combustiei electrochimice, care este strîns legată de combustia chimică. Reacția de combustie chimică a hidrogenului, cu formare de apă și degajare de energie, este explozivă și se poate descrie prin egalitatea bine cunoscută:



Combustia electrochimică a hidrogenului are loc la rece și constă din următoarele reacții de electrod:



În combustia chimică asistăm la interacțiunea directă a combustibilului cu oxigenul, în cazul combustiei electrochimice procesul se desăvârșește în două reacții de electrod parțiale, care constau în transfer de sarcină la interfețele electrod/electrolit ale sistemului. Energia chimică a reacției se transformă cu randamente superioare în energie electrică, sistemul constituind așa numita pilă de combustie, realizare tehnică foarte promițătoare în domeniul conversiei directe de energie.

Reacția de reducere a oxigenului constituie procesul consumator de electroni în coroziunea metalelor (v. secț. 6.4), a cărei combatere are implicații economice deosebite.

În sfârșit un ultim domeniu în care reducerea oxigenului deține o importanță extraordinară, este cel al vieții; viața este posibilă grație reducerii oxigenului. Energia necesară vieții derivă din reacțiile de combustie a alimentelor ingerate, care cedează electroni în cursul degradării lor; acceptorul de electroni este tocmai oxigenul, reactant necesar în reacțiile electrochimice generatoare de viață. În organismele vii rolul electrocatalizatorului este preluat de enzime, care sînt combinații dintre ioni metalici și un rest proteinic enorm ca dimensiune. În citocromi, care sînt enzime ce conțin fier, este probabil că ionul metalic constituie sediul transferului de electroni, atît în sens catodic cît și în sens anodic, ele fiind analog sub acest aspect cu electrodul metalic dintr-un generator electrochimic de energie.

### 6.3.1 DESPRE MECANISMUL REDUCERII OXIGENULUI

Reacția de reducere a oxigenului este mai puțin studiată decît reacția de degajare a hidrogenului, probabil din cauza faptului că importanța ei considerabilă a fost înțeleasă numai în ultimii ani. Din acest motiv generalizarea sau criteriile de care dispune electrochimistul la reacția de reducerea oxigenului sînt mai puțin fundamentate. La aceasta concură și faptul că studiul reducerii catodice a oxigenului nu se poate efectua pe un număr atît de mare de substraturi ca degajarea hidrogenului din cauza potențialului mult mai pozitiv pe care-l reclamă reacția: în soluții acide avînd  $p\text{H} = 0$ , oxigenul este redus la circa  $+1,2 \text{ V/EHN}$ . Or, la acest potențial, multe din metalele pe care ar avea loc reacția ar fi deja dizolvate. Sub acest aspect, potențialul de electrod este determinat de două reacții: reducerea catodică a oxigenului și oxidarea anodică a metalului; electrodul este de fapt un sistem care se corodează și de aceea, unul din principalele obiective ale cercetărilor electrochimice îl constituie confecționarea unui electrod în care substratul să fie mai puțin costisitor decît Pt și celelalte metale nobile, să posede o bună rezistență chimică față de mediul de reacție și să fie bun conductor electric.



În cele ce urmează se va aborda exemplul reducerii catodice a oxigenului pe electrod de iridiu. Indiferent de natura, acidă sau alcalină a soluției panta curbei Tafel este de aproximativ 0,11 V pentru reacția de reducere :



și de aproape 0,04 V (dacă  $\eta \leq 0,25$  V) pentru reacția de degajare a oxigenului :



Valorile corespunzătoare ale coeficienților de transfer sînt  $\vec{\alpha} \approx \frac{1}{2}$  și respectiv  $\vec{\alpha} = 3/2$ , iar numărul stoichiometric este, conform egalității  $v = z/(\vec{\alpha} + \vec{\alpha})$ , egal cu 2. Mai făcînd presupunerea că  $\beta = \frac{1}{2}$ , se poate scrie :

$$\vec{\alpha} = \frac{\frac{1}{2} (4 - \vec{\gamma} - \vec{\gamma}) + \vec{\gamma}}{2} = \frac{1}{2} \quad (6.71)$$

deoarece  $z = 4$ . Relația se poate reduce la forma mai simplă :

$$\frac{\vec{\gamma} + \vec{\gamma}}{2} - \vec{\gamma} = 1. \quad (6.72)$$

Deoarece suma  $(\vec{\gamma} + \vec{\gamma})$  reprezintă numărul total de electroni transferați în toate etapele, cu excepția celei determinante de viteză, rezultă că suma trebuie să fie un număr întreg ; tot întreg trebuie să fie și  $\vec{\gamma}$ . Valorile pentru care este satisfăcută egalitatea (6.72) sînt :  $\vec{\gamma} + \vec{\gamma} = 2$  și  $\vec{\gamma} = 0$  sau  $(\vec{\gamma} + \vec{\gamma}) = 4$  și  $\vec{\gamma} = 1$ .

Analog, pentru reacția de degajare a oxigenului, unde  $\vec{\alpha} = 3/2$   $v = 2$ ,  $z = 4$  și presupunînd  $\beta = \frac{1}{2}$ , avem :

$$\vec{\alpha} = \frac{2 - (\vec{\gamma} + \vec{\gamma}/2) + \vec{\gamma}}{2} = \frac{3}{2}, \quad (6.73)$$

sau

$$\vec{\gamma} - \frac{\vec{\gamma} + \vec{\gamma}}{2} = 1. \quad (6.74)$$

Condiția (6.74) este satisfăcută pentru  $(\vec{\gamma} + \vec{\gamma}) = 2$  și  $\vec{\gamma} = 2$  sau  $(\vec{\gamma} + \vec{\gamma}) = 4$  și  $\vec{\gamma} = 3$ .

Există, prin urmare, două posibilități :

$$\vec{\gamma} = 0 \quad \text{și} \quad \vec{\gamma} = 2 \quad (1)$$

sau

$$\vec{\gamma} = 1 \quad \text{și} \quad \vec{\gamma} = 3 \quad (2)$$

Dacă cea dintîi e corectă,  $\text{edv}$  va fi transferul de sarcină ; dacă, dimpotrivă, cea de a doua este valabilă,  $\text{edv}$  trebuie să fie o etapă de natură chimică.

Damjanovic a propus 3 mecanisme de reducere a oxigenului pe iridiu în care o etapă de transfer de sarcină este determinată de viteză și care sînt compatibile de condițiile:  $\nu = 2$ ;  $\bar{\gamma} = 0$  și  $\gamma = 0$  și  $\bar{\alpha} = 3/2$  (tab. 6.8).

Tabelul 6.8

**Mecanisme propuse de Damjanovic pentru reducerea oxigenului pe electrod de iridiu**

Nr.	Mecanismul
I	$\begin{cases} 1. O_2 + 2M \rightleftharpoons 2MO \\ 2. MO + H^+ + e^- \rightarrow MOH \\ 3. MOH + H^+ + e^- \rightleftharpoons M + H_2O \end{cases}$
II	$\begin{cases} 1. O_2 + 2M \rightleftharpoons 2MO \\ 2. MO + H_2O \rightleftharpoons MO - H - OH \\ 3. MO - H - OH + e^- \rightarrow MO - H - OH^- \\ 4. MO - H - OH^- + H^+ \rightleftharpoons MOH + H_2O \\ 5. MOH + H^+ + e^- \rightleftharpoons M + H_2O \end{cases}$
III	$\begin{cases} 1. O_2 + 2M \rightleftharpoons 2MO \\ 2. MO + e^- \rightarrow MO^- \\ 3. MO^- + H^+ \rightleftharpoons MOH \\ 4. MOH + H^+ + e^- \rightleftharpoons M + H_2O \end{cases}$

Toate mecanismele, avînd diferite etape determinante de viteză (I.2; II.3 și respectiv III.2) sînt în acord cu faptele experimentale.

Pentru a decide care este mecanismul real, sînt necesare noi criterii de apreciere, printre care se poate menționa variația supratensiunii cu  $pH$ -ul. Se poate arăta că  $\partial\eta/\partial pH$  valorează  $RT/3F$  la mecanismul I și  $-RT/3F$  pentru celelalte două. Apoi, la mecanismul I variația supratensiunii în funcție de  $pH$  are un semn (sau sens) în mediu acid și schimbă de sens atunci cînd se trece în mediu alcalin ceea ce nu se constată la celelalte două. Aplicarea acestor critetii suplimentare pledează în favoarea mecanismului I.

**6.3.2 REACȚII DE ELECTROD AVÎND VALORI FOARTE MICI PENTRU  $i_0$**

Valoarea foarte scăzută a densității de curent de schimb a reacției de reducere a oxigenului (v. tab. 6.9), ridică o serie de probleme legate de puritatea soluțiilor în care se fac determinările parametrilor cinetici. În general, ordinul de mărime al concentrației de impurități dintr-o soluție purificată în mod obișnuit este de  $10^{-6}$  moli/l. La aceste concentrații mici, curentul corespunzător reducerii sau oxi-

Tabelul 6.9

**Densitatea curentului de schimb a reacției de reducere a oxigenului pe unele metale nobile, în soluție de HClO**

Metal sau aliaj	$i_0$ (A/cm <sup>2</sup> )
Pt	$10^{-9}$
Pt + Rh (40% at.)	$10^{-9}$
Rh	$6 \cdot 10^{-9}$
Ir	$10^{-11}$

dării impurităților este probabil controlat de transportul (difuzia) la interfață. Considerînd  $c = 10^{-6}$  moli/l  $= 10^{-9}$  moli/cm<sup>3</sup>,  $D = 10^{-5}$  cm<sup>2</sup>/s,  $\mathcal{F} = 10^9$  coul/mol,  $\delta = 10^{-2}$  cm și  $z = 4$ , se calculează că densitatea de curent limită  $i_l$  datorită impurităților este:

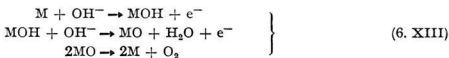
$$i_l = \frac{Dz\mathcal{F}c}{\delta} \approx 4 \cdot 10^{-7} \text{ A/cm}^2.$$

Comparînd această valoare cu densitățile de curent înscrise în tabelul 6.9, rezultă că acestea din urmă sînt de  $10^2 - 10^3$  ori mai mici decît densitatea de curent ce se datorează oxidării sau reducerii impurităților. Pentru a reduce densitatea de curent a impurităților sub valoarea de  $10^{-10}$  A/cm<sup>2</sup>, în aceleași condiții de echilibru, concentrația impurităților trebuie să se micșoreze sub  $10^{-10}$  moli/l. Această valoare extrem de mică provine de pe urma faptului că reducerea oxigenului se caracterizează prin densități de curent de schimb,  $i_0$ , foarte mici și din dorința de a lucra în condiții apropiate de echilibru, unde evident  $i \approx i_0$ ; asemenea nivele de ultrapuritate nu sînt de conceput cu ajutorul metodelor convenționale și trebuie să se recurgă la metode speciale.

Una din acele mai bune metode (numită a preelectrolizei) constă în depunerea impurităților pe un electrod (numit de baleiaj sau de curățire) în cursul unei preelectrolize. După un timp corespunzător, electrodul de baleiaj se îndepărtează și în soluție se introduce electrodul ce urmează să fie studiat.

### 6.3.3 DEGAJAREA OXIGENULUI

Degajarea electrochimică a oxigenului reclamă cel puțin 3 etape pentru o formulare cinetică satisfăcătoare. În soluție alcalină, în care sursa de oxigen o constituie ionii OH<sup>-</sup>, s-au propus secvențele:



sau



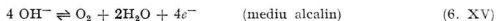
Se pot imagina și alte secvențe, care conțin specii hidroperoxidice (HO<sub>2</sub>) ș.a.

Speciile MO și MOH pot constitui, în funcție de natura electrodului, intermediari realmente adsorbiți sau straturi de oxizi superficial formați, electrochimic, avînd grosimi de cîteva straturi monomoleculare. În ultimul caz oxizii corespunzători unor stări de valență superioară a metalului se dezvoltă prin transformarea atomilor de metal în ioni angajați în rețea de oxid. În primul caz speciile adsorbite se pot dezvolta numai pînă la com-

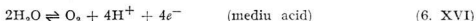
pletarea unui strat sau a două straturi monomoleculare așa cum se întâmplă, de exemplu, pe electrodul de platină.

Reversibilitatea formării oxizilor intermediari la multe metale nobile este mult mai puțin pronunțată decât a intermediarilor de hidrogen atomic, adsorbiți catodic.

Potențialul reversibil de oxigen (1,23 V/EHN) este mai greu de atins decât cel reversibil de hidrogen, dar în soluții pure, valcarea teoretică se poate atinge pe platină activată. În general, interpretarea potențialelor staționare de oxigen pe metalele nobile trebuie făcută cu prudență, deoarece adeseori ele se stabilesc prin reacțiile redox care implică oxizii metalului formați superficial, ducând la potențiale mixte și nu la potențialul de echilibru corespunzător reacțiilor:



sau



Potențialul celei din urmă reacții depinde logaritmice de presiunea oxigenului ( $p_{\text{O}_2}^{1/4}$ ), ceea ce oferă un important criteriu termodinamic pentru aprecierea reversibilității.

## 6.4. COROZIUNEA ȘI PASIVAREA METALELOR

### 6.4.1 INTRODUCERE

Pentru majoritatea metalelor aflate în condiții atmosferice, starea metalică este termodinamic nestabilă. Tendința metalelor de a trece în stare ionică (coroziune) diferă mult de la un metal la altul și se poate caracteriza energetic prin variația de entalpie liberă,  $\Delta G$ , ce însoțește procesul.

În condiții atmosferice, deci în prezența simultană a oxigenului și a umidității, la  $pH = 7$ , numai Au, Pt, Ir și Pd sînt termodinamic stabile; de aceea ele se pot găsi și în stare nativă în scoarța terestră. Ele se numesc metale nobile și pentru procesul de ionizare sau de dizolvare au  $\Delta G > 0$ . Există metale care au entalpia liberă a reacției de ionizare pozitivă,  $\Delta G > 0$ , numai în absența oxigenului și în condițiile de descărcare a ionilor  $\text{H}^+$ . Acestea sînt metale seminobile (Cu, Hg, Ag) și se găsesc în natură atît nativ cît și combinate. În sfîrșit, majoritatea metalelor se caracterizează prin valori negative ale entalpiei libere de oxidare; acestea sînt metalele baze, care în natură se găsesc numai în stare combinată.

Dar stabilitatea termodinamică sau locul elementului metalic în seria tensiunilor, care derivă tot din date termodinamice, constituie criterii destul de aproximative pentru caracterizarea rezistenței la coroziune, deoarece viteza reală a coroziunii nu este univoc determinată de variația de entalpie liberă ce o însoțește. Astfel, conducîndu-ne după valoarea potențialelor normale standard  $\epsilon_{\text{M}^{+}/\text{M}}^\circ$ , Al ar trebui să fie mai reactiv decât Zn, iar Cr mai reactiv decât Fe. Practic, în condiții atmosferice, se constată

contrariul: Al și Cr sînt mai stabile decît Zn și respectiv Fe. De asemenea, Mg e mai stabil în baze decît Al sau Zn deși e mai reactiv decît ultimele două; Al și Cr manifestă o stabilitate mai mare în  $\text{HNO}_3$  decît Cu, metal seminobil. Prin urmare, așa cum știm, termodinamica furnizează doar date despre posibilitatea de desfășurare a procesului de coroziune,  $\Delta G$  reprezentînd variația unei funcții de stare ( $G$ ) și nu și obstacolele întîlnite în drumul reacției și implicit viteza reacției.

După mecanismul de desfășurare se pot distinge două tipuri de coroziuni: chimică și electrochimică. Cea dintîi ascultă de legile cineticii chimice, care guvernează reacțiile chimice eterogene și nu este asociată cu generare de curent electric. Coroziunea electrochimică ascultă de legi ale cineticii electrochimice și are loc cu paralelă generare de curent electric.

După condiții coroziunea poate avea loc în gaze, în neelectroliti, în electroliti, în soluri etc. sau, considerînd întinderea distrugerii, coroziunea poate fi generală, pe suprafață sau locală. În cele ce urmează ne vom referi numai la coroziunea electrochimică.

În coroziunea electrochimică, metalul reacționează cu electrolitul cu care se găsește în contact, formînd ioni solvatați sau complecși. Acești produși de reacție pot fi ușor sau greu solubili; în acest din urmă caz ei precipită sub formă de corp de fund sau se depun pe suprafața metalului.

Viteza de coroziune se poate exprima fie prin raportarea pierderii de masă la unitatea de suprafață și timp ( $\text{g/cm}^2\text{s}$ ,  $\text{mg/dm}^2\text{min}$ ,  $\text{g/m}^2\text{h}$ ), fie prin densitatea curentului de coroziune ( $\text{A/cm}^2$ ); această din urmă unitate se întîlnește numai în cazul coroziunii electrochimice. Dacă se consideră corodarea după direcția perpendiculară pe suprafață, ca unitate se folosește lungimea/timp ( $\text{mm/h}$  sau  $\text{mm/an}$ ...); astfel se exprimă viteza de uzură.

Viteza de coroziune variază între limite foarte largi; de exemplu viteza de dizolvare a unui metal nenobil, activ, într-un acid tare, este caracterizată prin densități de curent de ordinul  $1 \text{ A/cm}^2$ , ceea ce este apreciabil, pe cînd la atacul unui metal nobil viteza de coroziune este de ordinul  $\mu\text{A/cm}^2$  sau chiar al  $\text{mA/cm}^2$ . Uneori produsul de reacție în procesul de coroziune este un oxid compact, lipsit de porozitate și aderent, care acoperă și izolează metalul de mediul coroziv; are loc pasivarea metalului și coroziunea continuă cu o viteză disparentă (coroziune în stare pasivă).

Tabelul 6.10

Viteza de coroziune a unei mase echivalente mijlocii de 40 g.,  
exprimată în diverse unități

$i_{\text{cor}}$	lung/timp (viteza de uzură)	masă/suprafață $\times$ timp
1 $\text{A/cm}^2$	1,8 mm/h; 15,7 m/an	24 $\text{g/dm}^2 \text{ min}$ ; 14,4 $\text{kg/m}^2\text{h}$
1 $\text{mA/cm}^2$	1,8 $\mu\text{h}$ ; 15,7 mm/an	24 $\text{mg/dm}^2 \text{ min}$ ; 14,4 $\text{g/m}^2\text{h}$
1 $\mu\text{A/cm}^2$	18 $\text{m}\mu\text{h}$ ; 15,7 $\mu\text{an}$	2,4 $\gamma/\text{dm}^2 \text{ min}$ ; 14,4 $\text{mg/m}^2\text{h}$
0,01 $\mu\text{A/cm}^2$	0,18 $\text{m}\mu\text{h}$ ; 0,16 $\mu\text{an}$	0,024 $\gamma/\text{dm}^2\text{min}$ ; 0,14 $\text{mg/m}^2\text{h}$

În tabelul 6.10 figurează vitezele de coroziune pentru valoarea mijlocie a masei echivalente ( $= \frac{M}{z}$ ) de 40 grame și un volum echivalent ( $= \frac{M}{zd}$ )

de  $5 \text{ cm}^3$ , unde  $M$  este masa atomică a metalului,  $z$  valența lui, iar  $d$  densitatea. Trebuie să se menționeze că o coroziune caracterizată prin densitate de curent  $i_{cor} < 1 \text{ } \mu\text{A/cm}^2$  este practic lipsită de importanță și foarte greu sesizabilă.

#### 6.4.2 FENOMENOLOGIA

Deși cunoscut de multă vreme din practică, fenomenul de coroziune nu a primit o explicație cinetică decât târziu, deoarece bazele teoretice ale mecanismului s-au dezvoltat lent. Aceasta din cauză că într-o măsură mare procesul este specific metalului considerat și, pentru un metal dat, el depinde de  $pH$ , compoziția soluției, disponibilitatea sau accesul oxigenului etc., factori care determină și natura produșilor de coroziune (oxid, hidroxid sau o sare a metalului). Recunoașterea faptului că distrugerea metalelor prin coroziune de către faza lichidă este un proces mixt, de oxidare anodică a metalului și simultan un proces de reducere catodică, este esențială pentru înțelegerea problemei și a fost tratată astfel pentru prima dată cantitativ de către Wagner și Traud.

Întrucât transferul de sarcină global dinspre metal sau către metal este exclus, procesul faradaic anodic asociat oxidării metalului trebuie compensat de un proces catodic, de polarizare, în care se consumă electronii generați în procesul anodic. De aceea, procesele anodice și catodice sînt cuplate și se vor desfășura cu aceeași viteză netă și la un potențial comun, numit potențial mixt. Mulți ani a persistat ideea falsă că suprafața metalului care se corodează este alcătuită din diverse regiuni sau zone cu potențiale relative pozitive și negative, unde au loc procesele anodice și catodice. De fapt acest lucru nu se poate întîmpla, deoarece metalul este o suprafață echipotențială; pot exista zone locale care constituie sedii ale proceselor anodice și catodice dar ele se desfășură la același potențial. Reacția anodică se poate scrie:



sau

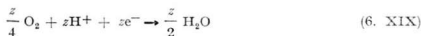


sau formarea unui oxid corespunzător, a cărui formulă depinde de metal și  $pH$ .

Reacția catodică constă în degajarea de  $H_2$ :



reducerea oxigenului



sau reducerea unei alte substanțe depolarizante disponibile.

Reacția (6.XVI) corespunde dizolvării multor metale bazice în acizi, unde (6.XVIII) este procesul catodic în absența unei cantități suficiente de aer pentru depolarizarea prin reacția (6.XIX). Aceasta din urmă constituie procesul catodic predominant în prezența umidității și a aerului.

Proprietățile și comportarea produsului de oxidare al metalului este de importanță esențială în ceea ce privește natura și cinetica reacției de coroziune. Pentru reacții de tipul (6.XVI) produsul de oxidare este ionul solubil  $M^{+}$ , care o dată format, nu prezintă de obicei acțiuni protectoare; el rămâne în soluție. În unele condiții practice de coroziune,  $pH$ -ul nefiind mic, prin consumarea ionilor  $H^{+}$  în reacțiile (6.XVIII) sau (6.XIX) se înregistrează o creștere de  $pH$ , soldată cu precipitarea unei sări greu solubile, oxid sau hidroxid al metalului. Adeseori sarea, oxidul sau hidroxidul sînt substanțe gelatinoase permeabile, care de asemenea nu oferă acțiuni protectoare pentru metal. Uneori coroziunea este destul de lentă, grație unui proces de depolarizare catodică rapid; produsul de oxidare al metalului pasivează metalul față de un atac anodic ulterior; așa se întâmplă cu Fe, Al, Co, Ni ș.a. metale, introduse în  $HNO_3$  conc. de asemenea, oțelurile inox au întotdeauna un strat de oxid pasiv pe suprafața lor. Viteza de dizolvare și pasivarea depind în mare măsură de proprietățile electronice ale metalului (de exemplu caracterul „ $d''$ ”) și de susceptibilitatea paramagnetică, care poate fi modificată după voie, prin crearea de aliaje cu elemente potrivite. În cazul fierului purificat prin topire zonală, conținînd impurități aliate (de exemplu C sau  $H_2$ ) cinetica etapei (6.XVI) în raport cu  $i_0$  rămîne neschimbată, dar viteza de degajare a  $H_2$  (etapa 6. XVIII) este mărită cu un ordin de mărime.

Natura filmului pasiv a preocupat pe cercetători și a constituit obiect de discuție mulți ani. Se pare că în cazul Fe el este constituit dintr-un oxid mixt de  $\gamma Fe_2O_3$  și magnetită  $Fe_3O_4$ , iar grosimea lui inițială de 1—10 nm.

Trebuie subliniat că pasivarea nu se limitează strict la dizolvarea anodică a metalelor sau la procesul de oxidare al metalelor; ea apare și la oxidarea anodică a  $H_2$  și a unor substanțe organice (acid formic, formiat, hidrocarburi) pe electrod de Pt, unde „oxidul” sau o altă specie adsorbită pe electrod inhibă reacțiile de oxidare (fig. 6.26).

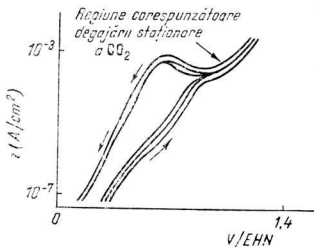


Fig. 6.26. Curent limită de pasivare la oxidarea formiatului în acid formic pur sau dizolvat în apă.

Conform unei teorii mai vechi a lui de la R i v e coroziunea s-a datorat formării și funcționării unui număr mare de microelemente (micropile) pe suprafața metalului sau a aliajului, atunci când acestea iau contact cu un electrolit. Teoria este în măsură să explice coroziunea pe suprafețe neomogene, dar este necorespunzătoare în cazul suprafețelor electrochimic omogene, când formarea microelementelor nu se poate concepe. Apariția pilelor locale se explică prin prezența impurităților de metale mai nobile pe care le conține metalul considerat; de aceea coroziunea prin pilele locale constituie doar una din căile posibile ale fenomenului. În general, suprafața unui metal care se corodează poate fi asimilată cu un sistem de perechi micro- sau macrocorozive. Drept surse de eterogenitate electrochimică, pe lângă impuritățile chimice (eterogenitate chimică) pot servi și unele dezordini structurale, deformări sau tensiuni interne ale rețelei metalului (eterogenitate fizică) sau eventuale diferențe de concentrații în electrolit etc. De aceea la definirea stabilității față de coroziune a unei piese metalice trebuie menționat și mediul electrolitic aflat în contact cu aceasta.

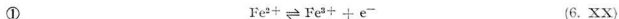
În ultima vreme s-a arătat posibilitatea termodinamică de dizolvare a metalelor și a aliajelor pure, fără participarea micropilelor. Or, bazându-ne pe teoria micropilelor de coroziune, metalele și amalgamele deosebit de pure nu ar trebui să fie solubile nici chiar în mediu acid; ele sînt monofazice și au suprafața electrochimic omogenă. Totuși, așa cum demonstrează unele lucrări ale lui F r u m k i n , și amalgamele cele mai pure se solvă; procesul anodic (de dizolvare a metalului) se găsește cuplat cu unul catodic, de depolarizare (degajarea hidrogenului sau reducerea oxigenului molecular) pe o fază unică și la același potențial (mixt). Dizolvarea sau coroziunea metalelor pure, cu paralelă degajare de hidrogen, se poate considera ca un proces de schimb electrochimic, asemănător de exemplu schimbului dintre Fe și  $\text{Cu}^{2+}$  din soluție apoasă, a cărui explicație nu trebuie complicată cu reprezentări despre pile locale. Mecanismul ar fi următorul: prin contactul nemijlocit al metalului cu soluția de electrolit o parte a ionilor din rețeaua metalică trece în soluție, la suprafața metalului formîndu-se un strat dublu în care metalul se încarcă negativ. Armătura dinspre soluție a stratului dublu constă în primul moment din ionii  $\text{M}^{z+}$  trimiși de metal în soluție. Atunci cînd travaliul electric necesar pentru învingerea căderii de potențial de-a curmezișul stratul dublu este echilibrat de diferența dintre potențialele electrochimice ale ionilor  $\text{M}^{z+}$  din soluție și a aceluiași ioni în rețeaua metalului, dizolvarea metalului încetează. Dar, din cauza interacțiunii cinetice dintre soluție și pătura de ioni  $\text{M}_{ag}^{z+}$  din stratul dublu, o parte a acestora se poate schimba cu alți cationi din soluție. Dacă potențialul lor de electrod este mai pozitiv decît al ionilor  $\text{M}^{z+}$ , ei se vor descărca. Descărcarea este însoțită inevitabil de o dizolvare a unei noi porțiuni de metal, pentru a se reface echilibrul în stratul dublu electric. În acest mod impuritățile au mai de grabă rolul de a facilita procesul catodic, de depolarizare, de exemplu prin micșorarea supratensiunii hidrogenului pe ele, decît cel de a forma pile locale.



### 6.4.3.1 Diagrame Pourbaix

Stabilitatea metalului și a diverselor produse de oxidare ale acestuia sînt în general dependente de  $pH$  și potențial. Reprezentarea grafică a echilibrelor dintre metal, ion și oxid, în diagrame potențial- $pH$  în condiții izoterme, constituie așa numitele diagrame **P o u r b a i x**. Ele furnizează date termodinamice prețioase asupra fenomenului de coroziune; completarea lor cu date cinetice oferă alegea înțelegerii fenomenului și sugerează căile ce trebuie alese pentru prevenirea lui.

În figura 6.27 se arată schematic diagrama **P o u r b a i x** a sistemului  $Fe-H_2O$ . Liniile reprezintă echilibrul între două specii chimice diferite, iar suprafețele delimitate de linii indică domeniile de stabilitate termodinamică ale speciilor. Să considerăm de exemplu liniile orizontale notate cu **1** și **2** cărora le corespund la  $25^\circ C$ , următoarele echilibre:

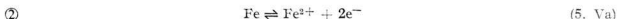


cu potențialul:

$$\varepsilon = \varepsilon_{Fe^{2+}/Fe^{3+}}^0 + 0,059 \lg [Fe^{3+}]/[Fe^{2+}] \quad (6.75)$$

$$\varepsilon = 0,77 + 0,059 \lg [Fe^{3+}]/[Fe^{2+}]$$

și

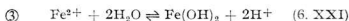


cu potențialul:

$$\varepsilon = \varepsilon_{Fe/Fe^{2+}}^0 + \frac{0,059}{2} \lg [Fe^{2+}] \quad (6.76)$$

$$\varepsilon = -0,44 + 0,029 \lg [Fe^{2+}]$$

Ambele implică transfer de sarcină și deci se desfășoară la un potențial bine definit, calculabil cu ecuația lui **N e r n s t**. Deoarece ionii  $H^+$  nu participă la reacții, acestea vor fi independente de  $pH$ , ceea ce explică orizontalitatea liniilor care le simbolizează. Să considerăm pe diagramă și linia verticală **3**, careia îi corespunde echilibrul:



El nu angajează nici un transfer de sarcină, și deci nu se caracterizează printr-o valoare determinată a potențialului. În locul concentrației (sau activității) ionice, intervine produsul de solubilitate al  $Fe(OH)_2$ :

$$[Fe^{2+}][OH^-]^2 = P_{Fe(OH)_2} = 10^{-14,71}. \quad (6.77)$$

Se știe (v. secț. 3.3.1.1) că

$$\lg [OH^-] = pH - 14,$$

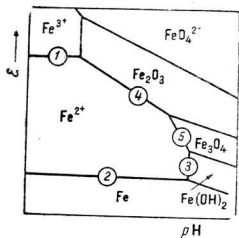


Fig. 6.27. Diagrama **P o u r b a i x** schematică a sistemului  $Fe-H_2O$ .

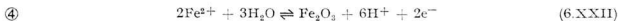
astfel că

$$\lg[\text{Fe}^{2+}] = 13,29 - 2 \text{ } pH, \quad (6.78)$$

care este dependent numai de  $pH$ . Echilibrul este deci reprezentat, în condiții standard normale, de verticala

$$pH = 13,29/2 = 6,65.$$

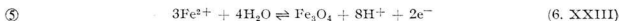
În sfârșit, liniile oblice simbolizează echilibre în care sînt implicați simultan atît electroni cît și ioni hidrogen:



cu potențialul:

$$\varepsilon = \varepsilon_{\text{Fe}^{2+}/\text{Fe}_2\text{O}_3}^0 + 3 \cdot 0,059 \lg[\text{H}^+] - 0,059 \lg[\text{Fe}^{2+}], \quad (6.79)$$

$$\varepsilon = 0,73 - 0,177 \text{ } pH - 0,059 \lg[\text{Fe}^{2+}]$$



cu potențialul corespunzător:

$$\varepsilon = \varepsilon_{\text{Fe}^{2+}/\text{Fe}_3\text{O}_4}^0 + 4 \cdot 0,059 \lg[\text{H}^+] - \frac{3}{2} \lg[\text{Fe}^{2+}], \quad (6.80)$$

$$\varepsilon = 0,98 - 0,236 \text{ } pH - 0,088 \lg[\text{Fe}^{2+}].$$

Analiza diagramei  $P$  o u r b a i x

 permite stabilirea limitelor de existență a stărilor pasivă, de imunitate și de coroziune a metalului în chestiune. O formă simplificată, tot pentru fier, este redată în figura 6.28. Sub linia orizontală inferioară, fierul este termodinamic imun, în mediu acid sau neutru, traversarea dublului strat metal/electrolit de către ionii  $\text{Fe}^{2+}$  fiind împiedicată de concentrația mare de electroni de la suprafața metalului. Deasupra acestei linii, există domeniul în care fierul se corodează. Dacă, însă în urma unei polarizări anodice sau în urma coroziunii naturale electrolitului sărăcește puternic în ioni  $\text{H}^+$ ,  $pH$ -ul poate să crească la valori ce situează metalul în zona pasivă; fierul nu se dizolvă deloc la  $pH$ -uri cuprinse între 9 și 13, grație filmului de  $\text{Fe}(\text{OH})_2$  sau de  $\text{Fe}_2\text{O}_3$  ce se formează pe suprafața lui. Depășind anumite valori ale  $pH$ -ului și ale potențialului, starea pasivă poate să dispară, oxidul dizolvîndu-se oxidativ sub formă de ferat.

#### 6.4.3.2 Potențiale mixte

S-a menționat că fenomenul de coroziune constă din două procese contrare, unul anodic și altul catodic, care se desfășoară simultan pe aceeași suprafață metalică.

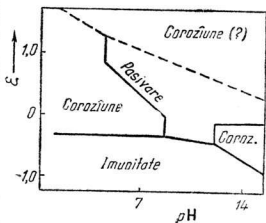


Fig. 6.28. Delimitarea domeniilor de stabilitate, coroziune și pasivare a fierului.

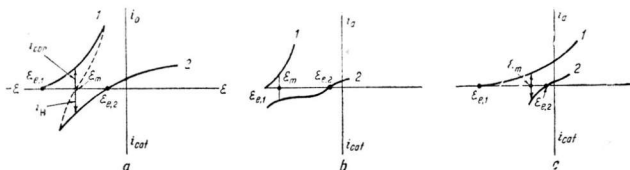


Fig. 6.29. Formarea potențialului mixt.

Alături de reacția de oxidare, (6.XVI), are loc și una din reacțiile de reducere: (6.XVIII) sau (6. XIX).

Fiind echipotentială, suprafața metalului este sediul celor două genuri de reacții la o valoare comună a potențialului, numit potențial mixt.

Formarea lui este ilustrată pe figura (6.29a). Prin compunerea curbelor de polarizare 1 și 2, corespunzătoare oxidării unui metal activ (bazic) și respectiv descărcării hidrogenului, se obține curba rezultantă trasată punctat. Potențialul staționar, la care curentul caracteristic coroziunii (oxidării),  $i_{cor}$ , este echilibrat de curentul caracteristic descărcării (reducerii) hidrogenului,  $i_H$ , este tocmai potențialul mixt  $\varepsilon_m$ , definit pentru densitate de curent netă nulă [ $i(\varepsilon_m) = 0$ ].  $\varepsilon_m$  se situează între potențialele de echilibru  $\varepsilon_{e,1}$  și  $\varepsilon_{e,2}$ , poziția sa relativă depinzând de formele celor două curbe de polarizare parțiale 1 și 2 (v. fig. 6.29 b și c).

Potențialul mixt, ca și curbele de polarizare sînt puternic dependente de proprietățile suprafeței, în timp ce potențialele de echilibru sînt în principal independente de starea suprafeței, iar la sistemele redox chiar de natura metalului (inert). De aceea, potențialele mixte, ca și curbele de polarizare sînt adeseori greu reproductibile.

Potențialul mixt, la care se desfășoară simultan cele două procese este separat de potențialele de echilibru  $\varepsilon_{e,1}$  și  $\varepsilon_{e,2}$  prin două supratensiuni,  $\gamma_1$  și respectiv  $\gamma_2$ :

$$\gamma_1 = \varepsilon_m - \varepsilon_{e,1} \quad (\text{anodică}) \quad (6.81)$$

$$\gamma_2 = \varepsilon_m - \varepsilon_{e,2} \quad (\text{catodică}) \quad (6.82)$$

### 6.4.3.3 Coroziunea pe suprafețe omogene

Suprafețele chimic și fizic omogene constituie un caz limită foarte rar întîlnit în practică. Mult mai comune sînt suprafețele neomogene, a căror coroziune se explică ușor prin formarea pilelor locale.

Să considerăm o suprafață omogenă din punct de vedere fizic și chimic și să considerăm drept proces depolarizant (catodic) descărcarea ionilor  $H^+$ . Viteza de coroziune pe asemenea suprafețe e măsurată, în circuit deschis, de densitatea de curent  $i_{cor}$ , compensată de densitatea de curent a reacției de descărcare a hidrogenului,  $i_H$ . Însă coroziunea și deci formarea unui potențial mixt nu poate avea loc dacă metalul e mai puțin activ și are un

potențial  $\varepsilon_{e,M}$  mai pozitiv decât  $\varepsilon_{e,H}$ . De aceea metalele având potențialele normale superioare lui 0 nu se pot dizolva nici în cei mai puternici acizi hidrogenați.

Influența  $pH$ -ului asupra poziției curbelor de polarizare și deci asupra coroziunii unui metal activ ( $\varepsilon_{e,M} < 0$ ) cu paralelă degajare de hidrogen, se poate obține, calitativ, din figura 6.30. Se observă că, din cauza deplasării curbelor de polarizare a procesului  $2H^+ + 2e \rightarrow H_2$ , coroziunea este în general retrogradată atunci când  $pH$ -ul crește; formarea de hidrocomplexi poate, exalta coroziunea.

În prezența unor oxidanți cum sînt  $Cl_2$ ,  $Br_2$ ,  $I_2$ ,  $Fe^{3+}$ ,  $HNO_3$ ,  $O_2$  dizolvat etc. devine posibilă și coroziunea unor metale mai nobile, avînd  $\varepsilon_{e,M} > 0$ . Coroziunea metalelor cu reducerea paralelă a oxigenului, este reprezentată în figura 6.31; ea este transpozabilă oricărui sistem redox. Așa cum se remarcă din figură, o creștere a concentrației de oxidant mărește viteza coroziunii ( $i''_{cor} > i'_{cor}$ ). De exemplu acidul  $HNO_3$  dizolvă  $Cu$  și  $Ag$  nu datorită proprietăților sale acide ci grație valorii mari a potențialului redox. Nu trebuie neglijat nici efectul unor generatori de complexi ai ionului metalic eventual prezenți în electrolit. Prezența unor asemenea substanțe reduce mult concentrația de echilibru a ionilor  $M^{z+}$  și în consecință va deplasa sensibil și curbele de polarizare corespunzătoare procesului de oxidare  $M \rightarrow M^{z+}$ .

Figura (6.30) și (6.32) ilustrează acest fapt în cazul hidroxocomplexșilor și respectiv al cianocomplexșilor în soluție puternic alcalină ( $pH \approx 11$ ). Pozițiile relative ale curbelor de polarizare deplasate depind de valorile constantelor de formare:  $Cu$  se va dizolva foarte încet în absența oxigenului ( $i'_{cor}$ );  $Au$  se dizolvă cu viteză apreciabilă ( $i'_{cor}$ ) în prezența oxigenului, procesul servind la elaborarea industrială a metalului; la  $Ag$ , în ciuda potențialului său mai negativ decât al  $Au$ , prezența ionilor  $CN^-$  inversează poziția relativă a curbelor de polarizare și metalul nu se solvă ( $i''_{cor} \approx 0$ ). Toate acestea din cauza constantelor de formare net diferite pentru cianocomplexșii de  $Au$  și  $Ag$ : cel dintîi e mult mai puțin dissociat.

Efectul favorizant al formării de ioni complexi solubili asupra coroziunii se poate ilustra la dizolvarea aurului în apă regală: deși potențialul redox al acesteia e mai negativ decât potențialul redox al  $HNO_3$  și în consecință apa

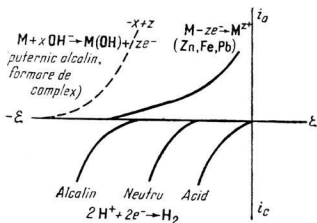


Fig. 6.30. Influența  $pH$ -ului asupra coroziunii.

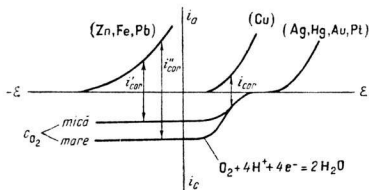


Fig. 6.31. Coroziunea metalelor cu paralela reducere a oxigenului.

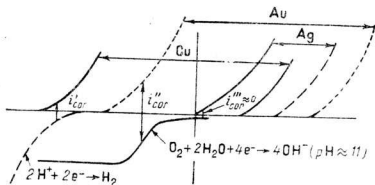
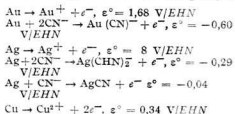


Fig. 6.32. Coroziunea în prezența unor ioni generatori de complecși :



regală e un oxidant mai slab decât  $\text{HNO}_3$ , solubilizarea în amestecul  $[3 \text{ HCl} + \text{HNO}_3]$  are loc grație formării clorocomplexului auric solubil  $\text{H}[\text{AuCl}_4]$ .

Viteza coroziunii metalelor mai este influențată, în cazul când ele sînt aliate, și de natura partenerilor din aliaj. De exemplu, curbele de polarizare la dizolvarea în mediu alcalin a amalgamelor de metale alcaline se găsesc deplasate spre valori mai pozitive în comparație cu curbele de polarizare a metalelor pure; amalgamele se dizolvă foarte greu, pe cînd metalele pure, cu vehemență.

#### 6.4.3.4 Coroziunea pe suprafețe chimic neomogene.

##### Curenți locali

Impuritățile prezente pe suprafața metalului cauzează formarea unor pile, între ale căror poli se scurge un curent local, proporțional cu viteza de coroziune a metalului bazic și cea de degajare a hidrogenului, dacă depolarizarea se face prin ioni  $\text{H}^+$ . Fiecărei zone unde se formează pilele locale îi corespunde o diagramă de genul celei reprezentate în figura 6.2 a, b sau c.

Să considerăm de exemplu coroziunea unui metal activ cum ar fi zincul impurificat cu un metal mai nobil, cum ar fi cuprul, în mediu acid, însoțită de degajare de hidrogen.

Curenții locali de pe fața Zn se înmulțesc cu fracțiunea  $q_1 (\approx 1)$ , iar curenții locali de pe fața Cu cu fracțiunea  $q_2 (\ll 1)$ . Pentru  $1 \text{ cm}^2$  de suprafață, prin fața Zn se scurge un curent total  $i_1 q_1$  iar prin fața Cu un curent  $i_2 q_2$ . Curba curent-potențial  $i_1(\varepsilon)$  de pe metalul bazic se compune aditiv din curenții parțiali corespunzători proceselor de electrod :



Pe suprafața metalului mai nobil (Cu), în domeniul potențialului mixt,  $\varepsilon_m$ , dizolvarea metalului nu este posibilă din cauza valorii pronunțat pozitive a lui  $\varepsilon_e, \text{Cu}$ ; pe aceasta nu are loc decât degajarea hidrogenului.

Pe suprafața de metal bazic se formează potențialul mixt  $\varepsilon_{m,1}$  (fig.6.33), iar pe suprafața de metal mai nobil, potențialul de echilibru  $\varepsilon_e, \text{H}_2$ . Dar,

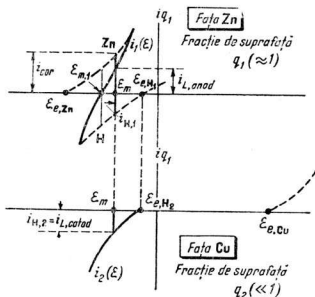


Fig. 6.33. Coroziunea pe suprafețe chimic neomogene. Curenți locali.

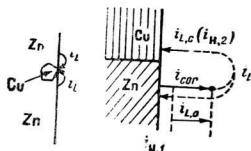


Fig. 6.34. Circulația curentului într-o pilă locală.

deoarece ambele metale se găsesc în contact, ele trebuie să preia același potențial, ceea ce se realizează atunci cînd prin fața Cu se scurge un curent local catodic  $i_{L, catodic}$  compensat de un curent egal anodic  $i_{L, anodic}$  de pe suprafața Zn, în absența vreunui curent exterior. Astfel se formează un potențial mixt final,  $\varepsilon_m$ , la care

$$i_{L, a} = |i_{L, c}| = i_L. \quad (6.83)$$

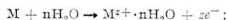
Curentul se scurge prin electrolit de la metalul mai activ Zn, spre cel mai nobil, Cu (fig. 6.34).

Teoria curenților locali (sau a pilelor locale) nu este o teorie independentă. Ea are nevoie de completări, apelînd la reprezentările curent-potențial, la noțiunea de potențial mixt ș.a.

Discuția formării pilelor locale (fig. 6.33 și 6.34) și a potențialelor mixte duce la concluzia că degajarea hidrogenului și deci formarea curenților locali nu are loc numai pe suprafața nobilă (Cu) ci adeseori și pe suprafața activă (Zn), care suferă coroziune. Pe care din acestea procesul e preponderent, constituie problemă de importanță secundară; aceasta depinde de curbele curent local-potențial combinate cu fracțiunile de suprafață  $q_1$  și  $q_2$ . În cazul discutat pe figura 6.33 curenții locali determinau o creștere a coroziunii de la  $i_{cor}(\varepsilon_{m,1})$  și  $i_{cor}(\varepsilon_m)$ . În acest mod se elucidează faptul constatat că viteza de dizolvare se micșorează atunci cînd crește gradul de puritate al zincului. Dar și cel mai pur zinc manifestă o viteză de dizolvare destul de importantă în acizi, ceea ce nu se poate explica decît pe baza formării potențialului mixt, fără a face apel la pilele locale.

Mecanismul de funcționare al pilelor locale (de coroziune) se poate ilustra cu ajutorul figurii 6.35. Procesul de dizolvare electrochimică a metalului se poate descompune în următoarele trei etape:

— un proces anodic, constînd din trecerea ionilor metalului care se corodează în soluție, solvatarea lor și concomitentă liberare de electroni



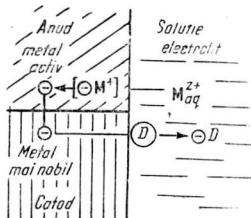


Fig. 6.35. Funcționarea unei pile locale.

— un proces ohmic, constând din mișcarea electronilor liberi pe metal din zona anodică spre cea catodică și a ionilor  $M_{aq}^{z+}$  în electrolit și

— un proces catodic, în care electronii liberi sînt asimilați de către depolarizantul  $D$ , existent în soluție.

Depolarizantii din procesul de coroziune se pot grupa în două mari clase: ionii  $H^+$ , ioni metalici de valență superioară ( $Fe^{3+}$ ,  $Ce^{4+}$  etc.) și unii anioni capabili să accepte electroni fără a intra în reacție pentru a da combinații chimice cu metalele, (1). Oxigenul și combinațiile capabile să elibereze oxigen molecular, precum și halogenii (2).

Substanțele din prima clasă pot funcționa exclusiv ca depolarizanți electrochimici, pe cînd cele din a doua categorie pot fi depolarizanți electrochimici, dar pot reacționa și chimic cu metalul, formînd oxizi sau halogenuri, care pot influența considerabil mecanismul coroziunii.

#### 6.4.4 PASIVAREA METALELOR

La unele metale trecerea în stare ionică, din rețea în soluție poate stagna, atunci cînd ele se găsesc în contact cu un electrolit puternic oxidant sau la o anumită valoare a polarizării. Fenomenul este pus în legătură cu pasivarea metalului, în urma acoperirii suprafeței acestuia cu un strat de oxid, sare sau oxigen chemisorbit, aderent și compact (lipsit de pori), care izolează metalul de mediul coroziv. În aceste condiții viteza de coroziune scade la valori foarte mici, disparente.

Primele observații s-au făcut asupra pasivării fierului (H i s i n g e r, B e r z e l i u s, S c h ö n b e i n); demonstrarea ei este simplă și constă în scufundarea unei piese de fier în soluție concentrată de  $HNO_3$ ; în aceasta metalul se păstrează săptămîni întregi cu suprafața lucioasă, ca un metal nobil. Spre deosebire de soluția concentrată, soluția diluată de  $HNO_3$  atacă vehement fierul. Informații detaliate despre fenomenul de pasivare se pot obține cu ajutorul tehnicii potențiostatic de trasare a curbelor curent-potențial. O dată cu mărirea potențialului anodic, curentul înregistrează o creștere (fig. 6.36), trece printr-un maxim (stare activă), după care se constată o scădere bruscă a intensității (pasivare), care se menține la o valoare minimă (stare pasivă) pînă cînd apare un nou pro-

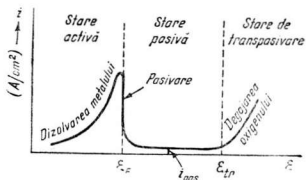


Fig. 6.36. Pasivarea unui metal prin polarizare anodică.

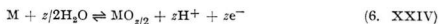
ces de electrod, care se asociază cu o nouă creștere a curentului. Acest nou proces este în general o ulterioară oxidare a filmului de oxid depus superficial sau așa numitul proces de transpasivare (degajarea oxigenului sau în general descompunerea soluției pe stratul de oxid pasiv format pe metal). Potențialul corespunzător pasivării se mai numește și potențial  $F_{la\ de}$ , după numele celui care l-a observat cel dintâi, în 1911. Scăderea bruscă a densității de curent la potențialul  $F_{la\ de}$  a fost propusă drept definiție fenomenologică a pasivării. Trebuie însă menționat faptul că scăderea bruscă de curent nu coincide exclusiv cu formarea stratului pasiv; uneori ea poate să corespundă la o altă transformare chimică.

Caracteristicile stării pasive sînt: potențialul  $F_{la\ de}$ , densitatea curentului de coroziune în stare pasivă  $i_{pas} \approx 0$ , conductibilitatea ionică sau electronică a stratului pasiv și grosimea stratului.

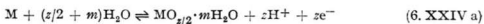
Potențialul  $F_{la\ de}$  depinde de natura metalului și de  $pH$ , la același metal. Dependența lui de  $pH$  este liniară și se exprimă, la 25°C, prin ecuația:

$$\varepsilon_F = \varepsilon^{\circ} - 0,059\ pH, \quad (6.84)$$

unde  $\varepsilon^{\circ}$  este uneori potențialul normal standard de oxid. La fier:  $\varepsilon^{\circ} = 0,58$ . Din figura 6.37 se observă că ridicarea  $pH$ -ului negativează potențialul  $F_{la\ de}$ . Cea mai adecvată presupunere despre natura potențialului  $F_{la\ de}$  este considerarea lui ca un potențial de electrod de oxid, la care se petrec următoarele reacții:



sau respectiv:



Din aceste procese se poate deduce dependența formării stratului de oxid de  $pH$ , conform relației.

În tabelul 6.11 figurează potențialele normale  $\varepsilon^{\circ}$  ale unor electrozi de oxid, calculate din  $\Delta G$  a reacției de formare a oxidului:

Tabelul 6.11

Potențiale normale standard  $\varepsilon^{\circ}(V)$  ale unor electrozi de oxid calculate din date termodinamice.

Au/Au <sub>2</sub> O <sub>3</sub>	+1,45	Na/Na <sub>2</sub> O	-0,74
Ag/Ag <sub>2</sub> O	+1,18	Ta/Ta <sub>2</sub> O <sub>5</sub>	-0,81
Pt/Pt(OH) <sub>2</sub>	+0,98	Si/SiO <sub>2</sub>	-0,86
Hg/HgO	+0,926	Ge/GeO	-1,12
Bi/Bi <sub>2</sub> O <sub>3</sub>	+0,38	Al/Al <sub>2</sub> O <sub>3</sub>	-1,35
Sb/Sb <sub>2</sub> O <sub>3</sub>	+0,15	Zr/ZrO <sub>2</sub>	-1,43
Ni/NiO	+0,08	Mg/MgO	-1,77
Zn/ZnO	-0,42	Ca/CaO	-1,90

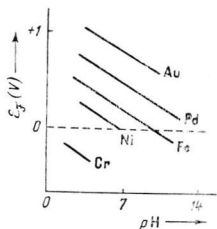


Fig. 6.37. Variația potențialului  $F_{la\ de}$  cu  $pH$ -ul.



Unele din valorile termice care au servit la calcul sînt destul de imprecise, ceea ce evident se reflectă și în valorile lui  $\varepsilon^\circ$ . O parte din electrozi, grație reproductibilității potențialului și a dependenței acestuia de activitatea ionilor de hidrogen se utilizează la determinarea  $pH$ -ului ( $Sb_2O_3$ - $Sb$ ,  $Bi_2O_3$ - $Bi$ ). Trebuie menționat că nu toți electrozii din tabel sînt practic realizabili. Condiția de bază pentru acestea este ca viteza de dizolvare a oxidului în electrolit să fie practic nulă (neglijabilă). Viteza de dizolvare e practic nulă ( $i_{cor} \approx 0$ ) atunci cînd oxidul sau oxihidratul greu solubil (de exemplu  $HgO$ ) se găsește în contact cu un electrolit (cum ar fi  $NaOH$ ) care este saturat cu oxidul sau oxihidratul respectiv. La cealaltă extremă se găsesc oxizii metalelor alcaline, foarte solubili și care nu permit realizarea unor electrozi de oxid.

Uneori, chiar și în cazul electroliților nesaturați în oxid, dizolvarea metalului poate fi atît de mult încetinită încît  $i_{cor}$  să tindă spre zero. Acest caz se întîlnește la pasivarea în soluții acide în care deși oxidul nu se găsește în echilibru cu electrolitul, dependența de  $pH$  a potențialului  $\varepsilon_F$  se exprimă tot prin relația (6.84).

#### 6.4.4.1 Formarea stratului protector

Formarea anodică a stratului de oxid sau oxihidrat se observă și în soluții puternice acide, în care, chiar la densități mari de curent, ionii  $H^+$  migrînd spre catod, se împuținează considerabil în preajma anodului, astfel că precipitarea hidroxidului sau oxihidratului devine posibilă.

Dezvoltarea și proprietățile stratului protector depind în principal de conductibilitatea electrică și de mecanismul de conducție; stratul poate fi neelectroconductor  $a$ , predominant conductor ionic  $b$ , sau predominant conductor electronic  $c$ .

*a)* Dacă stratul inițial format nu este electroconductor, la o densitate de curent aparentă constantă se înregistrează o creștere a densității de curent reale pe părțile încă libere ale suprafeței metalice. Astfel, în porii stratului apare o polarizare puternică ce poate determina o nouă reacție de electrod (de exemplu trecerea ionilor  $M^{2+}$  într-o treaptă de oxidare superioară). Dar este posibilă și formarea unui strat superficial de altă natură decît cel primar și care va avea și proprietăți diferite.

Încetul cu încetul stratul protector se completează, iar potențialul de electrod crește pînă la valoarea disruptivă. O depolarizare printr-o degajare anodică de  $O_2$ , după reacția:



nu are loc în acest caz nici chiar la supratensiuni de ordinul a 100 V, deoarece ea este posibilă numai cînd electronii pot fi transportați prin stratul compact. Asemenea straturi formează:  $Al$ ,  $Ti$  și  $Ta$ . Electrozii pasivi de  $Al$ ,  $Ti$  și  $Ta$  transportă curentul numai în sens anodic și de aceea se utilizează ca redresori de curent alternativ. O asemenea protecție mai exercită și unele săruri ca  $ZnSO_4$ ,  $ZnCl_2$  ș.a.

Avînd în vedere că porii stratului sînt saturați cu electrolit, rezistența electrică a stratului va fi proporțională cu rezistența electrolitului.

Să urmărim curbele potențial-timp, obținute la studiul galvanostatic al formării straturilor neconductive (fig. 6.38). Densitatea de curent aparentă  $i_a$  și cea reală  $i_r$  din porii stratului superficial, pasiv, sînt legate prin relația:

$$i_a = i_r(1 - \theta), \quad (6.85)$$

unde  $\theta$  este gradul de acoperire al suprafeței electrodului. Variația în timp a lui  $\theta$  este dată de diferența dintre vitezele de formare și dizolvare a stratului pasiv.

Conform legii lui Faraday, viteza de formare a stratului superficial pasiv este:

$$\left(\frac{d\theta}{dt}\right)_{\text{formare}} = k i_a, \quad (6.86)$$

unde  $k$  este gradul de acoperire realizat de unitatea de cantitate de electricitate.

Viteza de dizolvare a stratului pasiv se poate considera constantă în condiții de convecție definite și se poate caracteriza prin densitatea de curent de coroziune  $i_{cor}$ :

$$\left(\frac{d\theta}{dt}\right)_{\text{dizolvare}} = k i_{cor}. \quad (6.87)$$

Pentru variația în timp a gradului de acoperire  $\theta$  rezultă deci:

$$\frac{d\theta}{dt} = \left(\frac{d\theta}{dt}\right)_{\text{formare}} - \left(\frac{d\theta}{dt}\right)_{\text{dizolvare}} = k(i_a - i_{cor}). \quad (6.88)$$

Cum în determinările galvanostatice  $i_a$  este constant, integrarea ecuației duce la:

$$\theta = k(i_a - i_{cor})t. \quad (6.89)$$

Timpul necesar acoperirii complete a electrodului ( $\theta = 1$ ) este:

$$\tau = \frac{1}{k(i_a - i_{cor})}. \quad (6.90)$$

Pentru exprimarea densității reale în pori se combină ecuațiile (6.85) și (6.89) și (6.90)

$$i_r = \frac{i_a}{1 - \theta} = \frac{i_a}{k(i_a - i_{cor})(\tau - t)} = \frac{k'}{(\tau - t)}. \quad (6.91)$$

Într-o reprezentare  $i_r$ - $t$ , ecuația (6.91) este o hiperbolă. Dacă se consideră curba curent/potențial pentru polarizarea de difuzie cuasiliniară, la dizolvarea anodică în pori, urmează că și variația potențialului de electrod  $\varepsilon$  în funcție de timp este tot o hiperbolă (fig. 6.38 a)

$$\varepsilon = \frac{k''}{\tau - t}. \quad (6.92)$$

b) Formarea straturilor cu conductibilitatea ionică decurge în mod asemănător cu a straturilor neconductive, cu deosebirea că rezistența primelor este de obicei considerabil mai mare decît a electrolitului din pori. Conductibilitatea acestor straturi se datorează migrării ionilor (cationi și anioni) care alcătuiesc stratul. Există o cădere de potențial electrochimic datorată ionilor. Din cauza intensității cîmpului intern al stratului ( $10^6 - 10^7$  V/cm), în migrația ionilor este decisivă componenta electrică. Întrucît însă mișcarea ionilor în rețea necesită o energie de activare, curentul ionic din interiorul stratului nu este mai mare decît rezultă din legea lui Ohm.

Dependența de timp a grosimii  $l$  a stratului pasiv, avînd conductibilitate ionică, urmează o lege analogă cu ecuația (6.88)

$$\frac{dl}{dt} = k(i_a - i_{cor}). \quad (6.93)$$

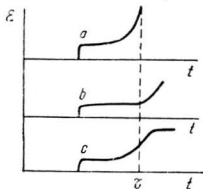


Fig. 6.38. Curbele potențial-timp, obținute la studiul galvanostatic al formării unor straturi neconductive.

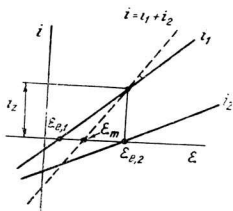
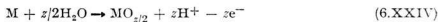
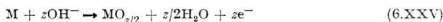


Fig. 6.39. Formarea oxidului protector avind conductibilitate electronică.

Ni, Co, Zn și metalele nobile. Potențialul Galvani dintre metalul acoperit cu stratul de oxid și soluția de electrolit care conține sistemul redox, depinde de concentrație conform relației lui Nernst.

Formarea stratului de oxid dotat cu conductibilitate electronică se datorează unei reacții electrochimice dintre metal și ionii  $\text{OH}^-$  sau moleculele de apă:



Potențialul de echilibru ( $\varepsilon_{e,2}$  fig. 6.39) al acestor reacții este de obicei cu câteva sute de mV mai pozitiv decît potențialul de echilibru  $\varepsilon_{e,1}$  al procesului de ionizare directă a metalului:



În absența unui curent exterior, pe electrodul acoperit cu stratul de oxid se creează un potențial mixt  $\varepsilon_m$ , la care cele două reacții opuse se caracterizează prin curenți egali: pe de o parte trecerea ionilor metalici în soluție, pe de altă parte reducerea oxidului la metal. După cum rezultă din curbele  $i-\varepsilon$  pentru cele două procese, oxidul se formează cu densitatea de curent  $i_x$ , la potențialul  $\varepsilon_{e,2}$ .

Creșterea polarizării se explică pe diverse căi și anume: este posibil ca la dizolvarea anodică a metalului activ, prin depășirea produsului de solubilitate al sării metalului (formată cu un anion al soluției sau prin hidroliză) să apară mai întîi un strat neconductor. Apoi curentul efectiv crește, o dată cu el și polarizarea, pînă se atinge potențialul  $\varepsilon_{e,2}$ , cînd începe formarea stratului avind conductibilitate electronică, în timp ce stratul primar — neconductor — de obicei se solvă. Formarea succesivă a unor asemenea straturi se reflectă pe diagramele  $i-\varepsilon$  prin forma în trepte a curbelor.

## 6.4.5 PREVENIREA COROZIUNII

### 6.4.5.1 Generalități

S-a văzut că o coroziune electrochimică spontană este condiționată de existența unui bun „aspirator” de electroni, aflat în contact electric cu metalul supus coroziunii și un mediu de solvatare propice pentru ionii metalului. Deoarece metalul este polarizat în sens pozitiv față de potențialul mixt, el se va dizolva anodic, iar „aspiratorul” de electroni, polari-

În condițiile galvanostatice  $i_a = \text{const}$ ; urmează că prin integrare între limitele  $\tau$  ( $\theta = 1$ ) și  $t$ .

$$l = k(i_a - i_{cor})(t - \tau). \quad (6.94)$$

Considerind că rezistența specifică  $\rho$  a stratului rămîne constantă și că polarizarea ohmică  $\eta_r$  de-a curmezișul stratului este o funcție liniară de densitatea de curent ( $\eta_r = \rho l i_a$ ), pentru curba potențial — timp, avem:

$$\varepsilon(t) - \varepsilon(\tau) = k \rho i_a (i_a - i_{cor})(t - \tau), \quad (6.95)$$

decî o dependență liniară a lui  $\varepsilon$  în funcție de timp (fig. 6.38 b). Aceste curbe  $\varepsilon/t$  se deosebesc considerabil de cele corespunzătoare peliculelor neconductive (izolatoare). Dacă  $i_{cor} \ll i_a$ ,  $\eta_r$  crește cu patratul lui  $i_a$ .

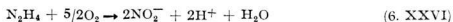
c) conductibilitatea electronică, de  $\sim 10^8$  mai mare decît cea ionică, este prezentă în special la oxizii de Fe,

zat catodic față de același potențial, va consuma, în reacția de depolarizare, electronii eliberați în procesul anodic. Din considerarea acestor fapte rezultă că prevenirea coroziunii este posibilă pe diverse căi și anume. Acțiunea agresivă a mediului se poate anula fie îndepărtând reactantul catodic depolarizator, fie otrăvind reacția de depolarizare, fie izolând metalul de mediul ambiant, prin interpunerea unei bariere fizice astfel ca solvatarea ionilor metalici să fie puternic stânjenită sau chiar împiedicată. Această barieră se poate forma de la sine, de exemplu printr-un proces de pasivare sau poate fi realizată prin crearea intenționată a stratului de oxid protector sau aplicarea unui strat subțire de metal nereactiv (galvanizare), sticlă, vopsea, masă plastică sau alte materiale. Acolo unde interpunerea acestor bariere este impracticabilă, ne stau la dispoziție așa numiți inhibitori de coroziune, adăugați mediului coroziv și al căror efect protector se bazează pe crearea unui film superficial, fixat adsorbtiv pe suprafața metalului. În sfârșit, coroziunea poate fi evitată prin realizarea unei bariere electronice, conferind metalului imunitate termodinamică (v.fig.6.27 și 6.28), mai rar prin înobilare obținută la aliere cu anumite metale, mai des prin polarizare catodică; în acest din urmă caz electronii „pompați” în metal de la catodul unei surse de curent continuu vor retrograda transferul ionic (de dizolvare) prin stratul dublu electric de la interfața metal-electrolit coroziv.

Folosirea primelor metode se bazează pe crearea artificială a unor obstacole cinetice în calea reacției de coroziune micșorând densitatea curentului de coroziune iar a ultimelor pe imprimarea unei stabilități termodinamice prin modificarea potențialului de electrod. De aceea, în discuția ce urmează, metodele de prevenire a coroziunii se vor clasifica în cinetice și termodinamice.

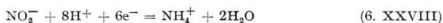
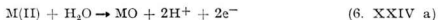
#### 6.4.5.2 Metode cinetice

Reacțiile catodice de polarizare (6. XVIII) și (6. XIX) pot fi otrăvite catalitic. Cea de reducere a hidrogenului, este inhibată de combinații ale elementelor din grupa a V-a, cum ar fi P, As sau Sb. Arsenul, sub formă de  $As_2O_3$ , în concentrație de circa 0,25 M, pare a fi cel mai activ, acționând prohibitiv asupra etapei de combinare a atomilor de hidrogen în molecule  $H_2$ . Dar metoda nu este recomandabilă deoarece pe lângă pericolul otrăvirii oamenilor există și cel al facilitării procesului de difuzie a atomilor de hidrogen în interstițiile rețelei metalice, urde pct să apară cavități cu hidrogen sub presiune mare. Otrăvirea reacției de reducere a oxigenului nu se practică de obicei, dându-se preferință folosirii unor reducători cum sînt sulfiții sau hidrazina, care consumă oxigenul dizolvat în mediul coroziv:



Inhibitorii care formează filme protectoare pe suprafața metalului se pot clasifica în două categorii principale și anume: cei care promovează pasivarea prin reducerea densității curentului de coroziune la valori cores-

punzătoare densității de curent în condiții de pasivare și cei care generează un produs microscopic de coroziune, aderent și impermeabil. Primei categorii îi aparțin anioni oxidanți cum sînt  $\text{NO}_2^-$  și  $\text{CrO}_4^{2-}$ . Deoarece ei acționează prin crearea unui film de oxid pasiv, în primul rînd în acele zone ale suprafeței unde se formează cationii metalului, adică la anod, ei se mai numesc și inhibitori anodici. Potențialul este deplasat spre valori mai pozitive prin consumarea electronilor care iau naștere în urma pasivării metalului:



Inhibitorii anodici devin periculoși dacă se utilizează în concentrații prea mici, deoarece în loc să prevină coroziunea, o exaltează, prin deplasarea potențialului spre valori nu îndeajuns de pozitive, pentru a se atinge zona pasivă (v. fig. 6.36).

Cea de a doua categorie de inhibitori nu prezintă pericolul menționat la inhibitorii anodici; deoarece ei acționează în sensul acoperirii generale a suprafeței metalice și nu în cel al „dezactivării” centrelor anodice active, se mai numesc și inhibitori catodici. Ca exemple pot servi anionii  $\text{HCO}_3^-$  și  $\text{PO}_4^{3-}$ ; ionul  $\text{HCO}_3^-$  generează un film de carbonat, care precipită în soluții alcaline. Ionul carbonat se formează în modul cunoscut:



Ionul  $\text{PO}_4^{3-}$  precipită un amestec de fosfați feros și feric pe suprafața oțelului (fosfatare); în straturi groase, el servește ca bază pentru vopsirea oțelului.

Se cunosc multe substanțe organice asemănătoare celor folosite în galvanizare, pentru a obține acoperiri lucioase care se fixează adsorbtiv pe suprafața metalelor, ferindu-le de coroziune. Ele conțin în moleculele lor fie N (amine aromatice), fie S (tiouree sau derivați ai acesteia), fie O (diverse aldehyde). În tabelul 6.12 sînt dați cîțiva inhibitori organici, alături de care s-au menționat și unii anorganici.

*Tabelul 6.12*

#### Inhibitori de adsorbție

Metalul	Electrolitul	Inhibitorul organic	Inhibitorul anorganic
Fe	$\text{H}_2\text{SO}_4, aq$	Amine, chinoline, alcaloizi,	$\text{As}_2\text{O}_3$
	$\text{HCl}, aq$	tiouree	
Cu	$\text{HNO}_3, aq$	amine, aldehydă formică	$\text{Cr}_2\text{O}_7^{2-}, \text{MnO}_4^-$
Al, Zn	NaOH	tiouree	$\text{S}^{2-}, \text{SiO}_3^{2-}$
		glucoză	

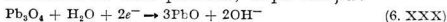
La baza fenomenului stă proprietatea de polarizabilitate a atomilor de azot, sulf și oxigen din moleculele compușilor menționați și interacțiunea acestor molecule (polare) cu stratul dublu electric de la suprafața metalului. Ca și xantații utilizați în flotație, tioureea și derivații ei se leagă puternic de atomii metalici superficiali. Dimpotrivă, compușii cu azot și

oxigen se adsorb în general mai slab și deci sînt mai specifici în acțiunea lor, iar eficiența acțiunii anticorozive depinde de dimensiunile moleculei.

Adeseori se recurge la acoperirea cu straturi de masă plastică, sticlă sau bitumen, avînd sau nu încorporată o substanță de umplutură (asbest sau mică), grăsimi, vopsea sau metale inactive. Primele trei acționează nu numai prin izolarea metalului de apă și oxigen ci și în virtutea unei rezistivități electrice foarte mari (circa  $10^{10} \Omega \text{ cm}^{-2}$ ); aceasta intervine o rezistență de ordinul a  $10^6 \Omega$  între centrelor anodice și catodice de pe suprafața metalului, care se găsesc practic izolate unele de altele, astfel că densitatea curentului de coroziune este neglijabilă.

Multe din grăsimile și uleiurile folosite la combaterea coroziunii conțin și inhibitori, care sînt compuși organici grupe funcționale polarizabile, cum ar fi  $-\text{COO}^-$ ,  $-\text{HSO}_3$  sau  $-\text{OH}$ . Cea mai comună pare să fie lanolina, care conține colesterol ( $\text{C}_{27}\text{H}_{45}\text{OH}$ ). În prezența moleculelor de apă se formează asocieri între grupele polare și apă, radicalul hidrocarbonat, inofensiv, rămînînd de partea metalului. Pe lîngă această cale, grăsimile acționează și prin izolarea piesei metalice de oxigenul atmosferic și introduc o rezistență electrică mare între eventualele centre anodice și catodice.

Vopselele sînt foarte complexe, dar în principal și ele interpun o rezistență electrică mare între anod și catod. De obicei ele se aplică în mai multe straturi, cel exterior are la bază cauciuc sau masă plastică, iar cel interior oxid roșu de plumb ( $\text{Pb}_3\text{O}_4$ ) pentru oțel sau cromat galben de zinc ( $\text{ZnCrO}_4$ ) pentru oțel sau aluminiu. Deși acțiunea  $\text{Pb}_3\text{O}_4$  nu este pe deplin elucidată, reduce la oxid plumbic, după reacția:



avînd un potențial normal de +0,12 V, este suficientă pentru a conferi pasivitatea în punctele în care ar pătrunde apa.

Pentru protecția prin acoperire cu metale se poate recurge la metale mai nobile sau mai bazice decît substratul. Acoperirea oțelului cu cupru, staniu sau nichel constituie exemplu de primul gen; stratul de metal deșus trebuie să fie lipsit de defecte, pentru că altfel în loc să protejeze substratul, el va determina o viteză de coroziune mai mare decît în absența lui (v. fig. 6.40); pentru simplificarea figurii, ramura catodică a curbei de polarizare s-a trasat în același cadran cu ramurile anodice. Dacă substratul în absența vreunui strat protector se corodează la poten-

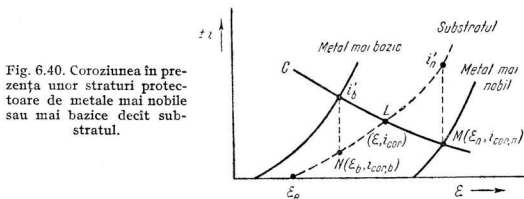


Fig. 6.40. Coroziunea în prezența unor straturi protectoare de metale mai nobile sau mai bazice decît substratul.

țialul  $\varepsilon$  cu o viteză proporțională cu  $i_{cor}$  (punctul  $L$ ), în prezența stratului protector compact de metal mai nobil, densitatea curentului de coroziune se micșorează la  $i_{cor,n}$  (punctul  $M$ ). Dacă însă stratul protector prezintă defecțiuni (porozitate, fisuri) viteza de coroziune a substratului crește (la același potențial  $\varepsilon_n$ ) la valoarea  $i'_n$ , care poate depăși în unele cazuri cu câteva ordine de mărime pe aceea corespunzătoare lui  $i_{cor}$ .

Spre deosebire de acoperirile cu metale mai nobile decât substratul, acoperirile cu metale mai bazice nu sînt supuse unor restricții atît de riguroase în privința continuității stratului protector; de această dată în prezența defecțiunilor, însuși stratul protector este cel care se corodează, cu o viteză proporțională cu  $i'_b$  (fig.6.40); cum însă potențialul oricărei zone a substratului expuse coroziunii este tot  $\varepsilon_b$ , viteza de coroziune devine  $i_{cor,b} (< i_{cor})$ . Atunci cînd  $\varepsilon_b < \varepsilon_0$ , coroziunea substratului încetează; este un exemplu de protecție catodică, despre care va fi vorba în secțiunea următoare.

Dacă substratul de protejat este oțelul, iar stratul protector de metal bazic este din aluminiu sau zinc, valoarea apreciabilă inițială a curentului de coroziune  $i'_b$  cauzează de obicei pasivarea oțelului, cu paralela obstruare a porilor cu  $Al(OH)_3$  sau  $Zn(OH)_2$ , cînd atacul coroziv este practic inhibat.

Din analiza diagramelor  $P$  o u r b a i x sau considerarea potențialului  $F$  l a d e, reiese că prevenirea coroziunii metalelor reactive (bazice) este posibilă și pe calea polarizării lor anodice în zona de pasivare. Metoda se aplică la metalele sau aliajele care au densități mici ale curentului de coroziune în stare pasivă. Ca exemple se pot cita  $Ti$  ( $i_{cor,pas} = 0,5$  mA/cm<sup>2</sup>) și oțelurile aliate cu  $Ni$  și  $Cr$  ( $i_{cor,pas} \sim 2$  mA/cm<sup>2</sup>).

### 6.4.5.3 Metode termodinamice

Prevenirea coroziunii prin aliere se poate realiza pe mai multe căi. Una din ele constă în modificarea structurii metalului prin intermediul unei soluții solide, astfel încît densitatea curentului de coroziune  $i_{cor}$  să devină minimă (corespunzătoare unei stări pasive). Ca exemplu poate servi adaosul de crom la fier sau de nichel la cupru. O altă cale, de mai mică importanță practică, se bazează pe ridicarea rezistenței ohmice dintre zonele cu activitate anodică și catodică de pe suprafața metalului, prin folosirea unor pulberi sinterizate cu un mare conținut de izolator (de obicei un oxid adecvat). În sfîrșit, există posibilitatea „înnobilării” metalului prin alierea cu un metal cu care formează un compus intermetalic. Înnobilarea se soldează cu micșorarea  $FEM$  a pilei locale de coroziune și cu o creștere a energiei de legătură a atomilor în rețeaua metalică.

În tabelul 6.13 sînt date pentru comparare potențialele standard ale metalelor,  $\varepsilon_M^\circ$ , și ale unor combinații sau compuși intermetalici,  $\varepsilon_c^\circ$  obținuți cu același metal. Deși potențialul metalului este pozitivat în multe cazuri cu câteva zecimi de volt, combinațiile obținute prezintă proprietăți mecanice ( $CuO$  și  $Ni_3P_2$ ) sau caracteristici superficiale (aliajele  $Cu-Au$  și  $Cu-Pt$ ) indezirabile.

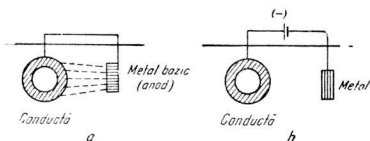
Potențialele standard ale unor metale  $\varepsilon_M^0$   
ale unor combinații și compuși intermetalici  $\varepsilon_c^0$

Metalul	Combinația sau compusul intermetalic	$\varepsilon_M^0(\text{V})$	$\varepsilon_c(\text{V})$
Cu	CuO	+0,34	+1,00
Ni	Ni <sub>3</sub> P <sub>2</sub>	-0,25	+0,36
Al	AlN	-1,33	-0,44
Cu		+0,34	
Au	Cu <sub>3</sub> Au	+1,43	+0,74
Cu		+0,34	
Pt	Cu <sub>3</sub> Pt	+1,20	+0,50
Zn		-0,76	
Sb	Zn <sub>3</sub> Sb	-0,31	-0,22
Fe		-0,44	
Si	Fe <sub>3</sub> Si <sub>2</sub>	-0,45	-0,32

Dacă stabilizarea atomilor metalici în rețea prin mărirea energiei de legătură nu reușește pe calea alierii, la același rezultat se poate ajunge recurând la protecția catodică, ceea ce revine la conectarea piesei la o sursă de electroni. Ionii metalici sînt alungați din soluție prin inversarea polarității stratului dublu de la interfața metal-electrolit, din cauza unui gradient de potențial opus. Referindu-ne la diagramele Pourbaix, fenomenul se explică prin coborîrea potențialului de electrod al metalului pînă la valori ce aduc metalul în stare de imunitate (v. fig. 6.28). Protecția catodică este realizabilă pe două căi: galvanică și cu ajutorul unei surse de curent continuu (fig. 6.41). Ea este larg utilizată în cazul structurilor supuse unui contact permanent cu umiditatea cum sînt stîlpii metalici, carena vapoarelor și conductele îngropate. Varianta galvanică, mai răs-pîndită deoarece este mai economică, se realizează prin legarea unei serii de anodi (metale bazice) de-a lungul piesei de protejat, la intervale date. În cazul pieselor de oțel, ca anodi pot servi zincul ( $\varepsilon^0 = -0,8 \text{ V}$ ) sau magneziul ( $\varepsilon^0 = -2,3 \text{ V}$ ).

În principiu, protecția catodică se poate aplica oricărui sistem metal-electrolit. Totuși, dacă metalul este deosebit de reactiv și reacția catodică foarte viguroasă, energia electrică ce trebuie pusă în joc este peste măsură de mare și metoda devine impracticabilă. Apoi trebuie luate în considerare și următoarele două fenomene perturbatoare, a căror prezență este întîm-

Fig. 6.41. Protecția catodică:  
a — varianta galvanică și b — varianta care  
utilizează o sursă de curent continuu.





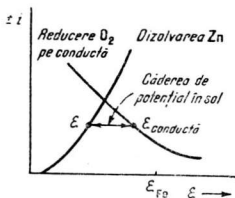


Fig. 6.42. Curbele de polarizare la protecția catodică (variante galvanică).

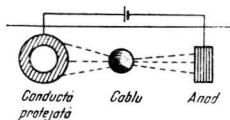


Fig. 6.43. Coroziunea prin curenți de scurgere.

plătoare. Cel dintîi este legat de formarea în cantitate excesivă a ionilor  $OH^-$ , produși de reducerea catodică a oxigenului pe conductă de oțel; ei pot distruge vopseaua sau bitumenul cu care este acoperită conductă, așternută pentru a reduce la minim curentul corespunzător căderii de potențial în sol dintre conductă și anodul care se sacrifică. Dacă o asemenea distrugere nu este evitată, curentul de reducere al oxigenului crește iar potențialul conductei nu se mai păstrează sub  $\epsilon_{Fe}$  și coroziunea este accelerată (fig. 6.42). Efectul nociv al ionilor  $OH^-$  poate fi evitat dacă în pămîntul ce înconjoară conductă se încorporează o cantitate corespunzătoare de carbonat acid de calciu sau magneziu; prezența ionilor  $OH^-$  favorizează formarea unui film protector de  $CaCO_3$  sau  $MgCO_3$ .

Al doilea fenomen perturbator se constată în special la varianta care utilizează o sursă de curent continuu și se manifestă atunci cînd între conductă și anod se interpune o altă piesă (de exemplu cablu telefonic, conductă de apă etc.). Curentul din sol simbolizat prin liniile întrerupte, se poate scurge prin cablul interpus (fig. 6.43) și provoca astfel coroziunea lui (zona hașurată). Efectul distructiv asupra unei piese interpușe nu poate fi minimizat decît printr-o cooperare între constructorii diverselor conducte și cabluri subterane, singura în măsură să stabilească natura anozilor și dispunerea lor.

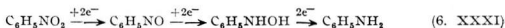
## 6.5 PROCESE DE ELECTROD CU SUBSTANȚE ORGANICE

### 6.5.1 GENERALITĂȚI

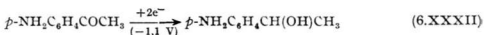
Discuția asupra cineticii de electrod nu ar fi completă fără considerarea proceselor de electrod cu substanțe organice. Electrochimia substanțelor organice constituie un domeniu de cercetare relativ recent și revirimentul constatat în ultimele două decenii se explică în principal prin descoperirea posibilității de convertire a energiei chimice în energie electrică prin oxidarea unor combustibili organici (alcooli, hidrocarburi) în pilele de combustie.

Ideea utilizării energiei electrice ca agent de oxidare își are originile în primele decade ale secolului trecut; *Reinhold* și *Ermann* sînt cei dintîi care electrolizează soluții apoase de alcool; *Ludersdorff*, în 1830, efectuează primul studiu detaliat asupra oxidării alcoolilor pe diverși electrozi iar *Kolbe*, în 1849, obține etan prin oxidarea electro-litică a acetatilor alcalini.

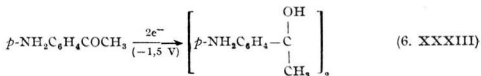
Caracterul pur empiric al oxidării (sau reducerii) electrolitice a substanțelor organice a început să fie eliminat pe măsură ce studiile aduceau noi și noi informații despre factorii care determină sau condiționează mecanismul reacției. Unul din cei mai importanți factori care intervin și a cărui importanță a fost apreciată numai în ultima vreme, îl constituie potențialul de electrod și controlarea acestuia. Controlarea potențialului nu a fost o problemă ușoară pînă la apariția potențiostatului, dezvoltat după 1942 de *Hickling*; potențiostatul a deschis calea spre electrosinteza organică modernă, larg dezvoltată astăzi, deși exploatarea multor sisteme rămîne încă în domeniul cunoștințelor empirice. Pe lîngă faptul că determină acoperirea electrozilor cu specii adsorbite conținînd hidrogen sau oxigen, potențialul este foarte important și în determinarea adsorbției reactanților organici înșiși. În cazul moleculelor polare potențialul sau cîmpul vor determina nu numai excesul superficial, ci și orientarea întregii molecule sau a grupării sale funcționale. De aceea, schimbarea potențialului poate provoca efecte specifice și stereospecifice. Astfel, de exemplu, la reducerea nitrobenzenului sînt posibile diverse căi, desfășurarea lor fiind determinată de potențialul de electrod:



sau: în reducerea *p*-aminoacetofenonei pe catod de Hg, poate rezulta hidrol sau pinacol, în funcție de potențial:



sau



Asemenea reacții sînt puternic influențate de caracteristicile de adsorbție electrochimică a reactanților, intermediarilor și chiar a produșilor de reacție. Adeseori reacțiile cu substanțe organice sînt foarte sensibile la natura și modul de preparare a suprafeței electrodului. Aceasta se explică în parte prin dependența mecanismului de reacție de caracteristicile de adsorbție ale hidrogenului și oxigenului pe electrod, și în parte de capacitatea adsorb-tivă a electrodului pentru reactant și produs de reacție. Utilizarea de aliaje permite modificarea controlabilă a mersului reacției; de exemplu 12% Fe în Ni ameliorează randamentul reducerii nitrobenzenului în soluții alcoolice alcaline la 72%, față de 58% cît este pe electrod de nichel. Controlarea potențialului și folosirea de suprafețe electrocatalitice (v. secț. 5.5.8)

de diverse tipuri, oferă un câmp vast pentru realizarea sau îmbunătățirea reacțiilor de electrosinteză cu substanțe organice. Aceste suprafețe constituie factori adiționali la cei care acționează în mod obișnuit în reacții omogene, cum sînt solventul, potențialul chimic al reactanților și temperatura.

Multe reduceri organice se pot efectua cu Zn sau amalgam de zinc, dizolvat în acid (reducere C l e m m e n s e n), în circuit deschis. Aceste reacții decurg după un mecanism amintind coroziunea; de fapt reducerea organică este reacția catodică conjugată cu reacția de dizolvare anodică a metalului. Condițiile sînt efectiv potențiostatice. Potențialele mixte care se formează vor fi determinate de cinetica ambelor procese: cel de reducere și de dizolvarea metalului. Tipul de metal bazic utilizat în asemenea reduceri va manifesta efecte specifice asupra mersului reacției, deoarece:

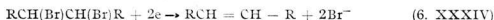
— adsorbția oricărui intermediar format va depinde de natura metalului folosit;

— tipul de mecanism va depinde de adsorbția paralelă a hidrogenului;

— potențialul mixt la care se petrece reducerea va influența adsorbția reactanților și a produșilor de reacție.

Reducerea organică poate avea loc într-unul din următoarele moduri generale: transfer de electron și proton și hidrogenare electrochimică.

În cazul transferului de electron și proton oxidantul organic, O, poate fi redus la radicalul ionic O<sup>-</sup> prin transfer direct mono-electronic sau la O<sup>2-</sup>, prin reducere bielectronică; urmează apoi un transfer protonic de la solvent, dacă acesta e hidroxilic sau conține ioni H<sup>+</sup>. Transferul electronic și protonic pot avea loc în etape succesive, fiind necesare cel puțin două, dacă produsul nu este un radical liber. Un exemplu de asemenea tip de electroreducere este reducerea dibrommetanului și dibrombutanului (și homologilor săi) pe Hg, care duce la etilenă și respectiv butilenă, conform mecanismului:



Dacă agentul reducător este hidrogen atomic (C l e m m e n s e n) vor tinde să se formeze etanul sau respectiv butanul, cu condiția consumării atomilor H. În solvenții aprotici totuși, se pot forma radicali ionici relativ stabili prin transfer electronic, în special în cazul oxidanților aromatici.

La hidrogenare electrochimică etapa de transfer electronic implică producerea de H atomic adsorbit pe suprafața electrodului, urmată de o reacție eterogenă cu oxidantul organic. Acest tip de reacție predomină la electrozi din metale tranzitionale nobile, pe care chemisorbția H se produce cu un grad de acoperire apreciabil.

Oxidarea organică se poate produce prin extragerea unui electron din molecula organică sau prin oxidare electrocatalitică. La extragerea unui electron din moleculă se formează un radical ionic carbeniu și, în paralel, un ion OH<sup>-</sup> (în solvenți hidroxilici). La halogenarea sau pseudohalogenarea (grefarea de radicali —CN sau —SCN) substanțelor aromatice, nu se cunoaște exact succesiunea etapelor: în principiu sînt posibile două

căi: fie mai întâi extragerea electronului, iar apoi formarea ionului halogenură  $X^-$ , fie reacția moleculei organice cu  $X$  sau  $X_2$  adsorbit la interfață și descărcarea lui  $X^-$  pe electrod.

La oxidarea electrocatalitică sînt implicate reacții cu specii de oxid metalic, produse în reacții electrochimice anterioare. Acesta ar fi de exemplu, mecanismul unor oxidări electrochimice în soluții apoase pe electrod de platină. Totuși se pare că în afară de reacția cu speciile oxidice adsorbite este necesară și chemisorbția specifică a reducătorului organic pe electrodul metalic.

#### 6.5.2 DESPRE MECANISMUL ELECTROOXIDĂRII SUBSTANȚELOR ORGANICE. REACȚIA K O L B E

Procesele anodice s-au bucurat în general de o mai mică atenție decît cele catodice, din cauza dificultăților experimentale caracteristice, absente în majoritatea investigațiilor catodice. Astfel, multe metale suferă dizolvare anodică. Mercurul de exemplu, mult folosit în cercetările de reducere catodică, nu este potrivit pentru reacții anodice. De aceea cercetarea multor procese anodice s-a limitat la metalele nobile și carbon, deși posibilitatea studierii unor asemenea reacții pe suprafețe oxidice sau de compuși intermetalici refractari se anunță promițătoare. Domeniul de potențial explorat este cuprins între potențialul în circuit deschis al sistemului organic, care de obicei este  $0,2 - 0,3 \text{ V/EHN}$  și potențialul formării oxidului,  $\sim 1 \text{ V/EHN}$ . Formarea oxidului pe electrod împiedică de obicei o oxidare ulterioară însemnată a speciei organice. Totuși la potențiale ridicate substanța organică poate fi oxidată pe oxid în timpul degajării oxigenului. O excepție notabilă o constituie decarboxilarea K o l b e, reacție care decurge la potențiale mult mai mici decît cel corespunzător degajării oxigenului.

Lucrarea clasică a lui K o l b e este cea dintîi consacrată unei reacții anodice în care se găsesc implicați principalii acizi carboxilici alifatici  $\text{RCOOH}$  și anionii lor  $\text{RCOO}^-$ . Aici s-a arătat că în soluție apoasă oxidarea anodică a unui carboxilat alcalin duce la formarea de  $\text{CO}_2$  și hidrocarbura  $\text{R-R}$ . De atunci s-au consacrat numeroase cercetări determinării condițiilor optime de obținere a etanului din soluții apoase și neapoase de acetat alcalin. În soluții apoase natura anodului este de o importanță esențială și o cuplare  $\text{R} + \text{R}$  apreciabilă are loc numai pe anod de platină lucioasă sau iridiu. De asemenea, reacția este favorizată de utilizarea unor densități de curent mai mari decît  $10^{-2} \text{ A/cm}^2$ , a unor concentrații mari de produs carboxilat ( $> 1 \text{ M}$ ) în mediu acid și de temperatură relativ joasă ( $< 50^\circ\text{C}$ ). În medii neapoase condițiile optime sînt mai puțin critice. Densitățile de curent joase favorizează formarea olefinelor și parafinelor posedînd numai  $1/2$  din numărul atomilor de carbon prezenți în produsul cuplat. O altă direcție de evoluție a procesului constă în formarea unor alcooli (reacție H o f e r - M o e s t), favorizată de prezența unor săruri anorganice ca perclorați, bicarbonați sau persulfati, pe electrozi de altă natură decît platina. De exemplu, randamente bune în alcool se obțin la oxidarea pe anod de aur. Se cunosc însă puține lucrări despre formarea alcoolilor la electroliza acizilor carboxilici.

S-ar părea că alegerea reactantului pentru scopuri preparative cunoaște limitări importante pentru următoarele trei tipuri structurale:

- o nesaturare  $\alpha$ - $\beta$  sau  $\beta$ - $\gamma$  în molecula de acid reactant;
- substituenți  $\alpha$ -alchilici și structuri cicloalchilice;
- grupe aromatice ( $\text{ArCOOH}$  unde Ar este un radical aromatic). Efectul inhibitor al nesaturării și a resturilor  $\alpha$ -alchilice și  $\alpha$ -cicloalchilice este diminuat atunci când se modifică poziția acestor funcții în molecula de acid. De asemenea, studii recente au arătat că reacția K o l b e nu este afectată puternic de acizi  $\alpha$ -substituiți dacă solventul este neapós. La fel se întâmplă cu acizii aromatici; dacă inelul fenilic se găsește dincolo de poziția  $\beta$ , electroliza va duce la dimerul K o l b e scontat. Dacă ciclul aromatic este învecinat cu grupa  $-\text{COOH}$  ca în acidul benzoic, produsul obținut e în principal benzenul și nu difenilul așteptat.

În cazul acetatului și a omologilor lui superiori, pe curbele potențiale anodic- $\lg$ . densității de curent se observă coturi datorate unor creșteri bruște de potențial anodic, corespunzătoare unor valori critice ale densității de curent. Analiza produșilor de reacție în funcție de densitatea de curent a demonstrat că în soluții acide și la densități de curent mici predomină oxigenul și o serie de produși de degradare oxidativă; pe măsură ce densitatea de curent crește, randamentul de formare al  $\text{CO}_2$  și a produșilor K o l b e crește, cu o paralelă descreștere a producției de oxigen. La densitatea de curent critică și deasupra ei majoritatea produșilor sînt hidrocarburi K o l b e, însoțite de urme de oxigen.

Potențialul la care decurge electrosinteza K o l b e în soluție apoasă prezintă o anomalie aparentă. Degajarea oxigenului în soluții acide apoase are loc, în mod semnificativ (circa  $10^{-4}$  A/cm<sup>2</sup>) la potențiale mult mai coborîte (circa 1,7 V) decît cel reclamat pentru reacția K o l b e (2,1 — 2,2 V); totuși în prezența carboxilaților ce se pot descărca, reacția K o l b e se desfășoară preferențial la potențiale mai ridicate, cu suprimarea degajării de oxigen. Rolul pe care-l joacă degajarea de oxigen nu a primit o atenție deosebită; tot ce se poate afirma azi are mai degrabă un caracter calitativ și anume: cînd are loc reacția H o f e r-M o e s t (soluție bazică) oxigenul constituie produsul preponderent cules la anod, iar atunci cînd se produce reacția K o l b e (mediu acid), oxigenul este prezent numai în concentrație mică.

Au fost propuse diverse mecanisme pentru explicarea reacției K o l b e. Astfel, în teoria propusă de S c h a l l și dezvoltată ulterior de F i c h t e r, se postulează că oxigenul activ, eliberat la anod oxidează anionul carboxilic, care se descompune apoi printr-un intermediar de peroxid de acid, pentru a da final produșii K o l b e caracteristici. Mai tîrziu, F i c h t e r perfecționează teoria, propunînd, ca mult mai acceptabilă, drept primă treaptă, descărcarea anionului acidului carboxilic. Reunirea radicalilor rezultați duce la un intermediar de peroxid de diacil, a cărui descompunere ulterioară se soldează cu apariția produșilor K o l b e caracteristici; în mediu alcalin este posibilă și apariția prin hidroliză, a unor produși secundari (alcooli). F i c h t e r aduce în sprijinul teoriei sale similitudinea produșilor de reacție obținuți la electroliza și termoliza peroxizilor de acil corespunzători. Dar, deoarece peroxizii de diacil se descompun relativ lent atunci cînd sînt în concentrație mică, prezența lor trebuie să se deceleze

relativ ușor în soluție, ceea ce în realitate nu s-a reușit. Apoi, se știe că radicalii oxiacil alifatici rezultați de pe urma descompunerii peroxizilor de diacil în soluție, degajă rapid  $\text{CO}_2$  pentru a forma radicali alchilici. De aceea pare puțin probabil (și neîntâlnit la alte reacții radicalice cunoscute în soluție și în fază gazoasă) ca 2 radicali oxiacil să se combine mai întâi pentru a forma intermediarul peroxidic, care apoi se descompune, trecând din nou prin același intermediar de radical oxiacilic, pentru a da final un radical alchilic și  $\text{CO}_2$ . Pare mult mai verosimilă o descompunere eterogenă directă de ordinul întâi a radicalilor oxiacil formați în urma descărcării anionilor carboxilici.

G o l d s c h m i d t ș.a. studiază produșii de electroliză ai propionaților în soluție anhidră de acid propionic, comparându-i cu cei rezultați la descompunerea peroxidului de dipropionil. Paralelismul dintre cele două serii de produși de reacție îl determină pe G o l d s c h m i d t să creadă că cele două procese urmează mai de grabă același drum (adică descompunerea și reacțiile de electroliză se desfășoară prin intermediul unor radicali liberi) decât că peroxizii de diacetil ar fi direct implicați în reacția K o l b e. Acest punct de vedere pare mai satisfăcător pentru explicarea mecanismului peroxidic al reacției K o l b e.

G l a s s t o n e și H i c k l i n g au propus un mecanism bazat pe formarea de apă oxigenată. Ei presupun că  $\text{H}_2\text{O}_2$  formată la descărcarea anodică a ionilor  $\text{OH}^-$  ar iniția descompunerea ionului carboxilat. Printre criticile aduse acestei teorii figurează și aceea bazată pe dovada experimentală că adaosul de apă oxigenată concentrată la o soluție de acetat, nu produce decât urme de hidrocarburi; apoi, în timpul și după electroliză, este imposibilă decelarea apei oxigenate chiar și în urme. Teoria apei oxigenate reclamă cu necesitate prezența ionilor  $\text{OH}^-$  sau a moleculelor de apă; or e știut că cinetica reacției K o l b e în medii neapoase este electrochimic similară cu cea din medii apoase. G l a s s t o n e și H i c k l i n g acordă o mare importanță faptului că reacția K o l b e are loc la potențial mult mai ridicat decât cel necesar degajării oxigenului și explică aceasta prin formarea de radicali  $\text{H}_2\text{O}_2$ . Totuși trebuie să se ia în considerare că în condițiile desfășurării reacției K o l b e descărcarea ionului carboxilat este cinetic favorizată în comparație cu descărcarea ionilor  $\text{OH}^-$ , din cauza unor efecte datorate adsorbției pe electrod a radicalilor carboxilici.

Una din primele teorii propuse și care pare cea mai satisfăcătoare și astăzi, este cea bazată pe descărcarea ionilor carboxilici pentru a forma radicali liberi (C r u m - B r o w n, W a l k e r și c o l a b).

Reacția ar avea următoarea succesiune:



În vremea când s-a propus această schemă (1891) nu era posibilă indicarea, pe bază de criteriu electrochimic, a etapei determinante de viteză sau a caracteristicilor curent/potențial asociate fiecărei etape. Recent C o n w a y și D z i e c i u c h au efectuat o asemenea analiză.

Dovezi în favoarea mecanismului de radicali liberi de mai sus au fost obținute și de W i l s o n și L, i p p i n c o t t, din studiul cinetic al reacției cu curent avînd unde patrâte și frecvență variabilă (conform tehnicii sectorului rotitor pentru reacțiile de fotoliză). Autorii demonstrează că dacă reacția urmează o cinetică de *ordinul I* randamentul de curent trebuie să fie independent de frecvență (întrucît randamentul nu depinde de numărul radicalilor produși per ciclu ci de numărul total de radicali produși în unitatea de timp). Dacă reacția este de *ordinul II*, randamentul va fi dependent de frecvență, fiind mai mare la frecvențe mai mici. Se deduc ecuații cinetice, presupunînd că radicalii formați la electrozi pot reacționa pentru a da naștere la produși de reacție printr-o serie de etape succesive, dintre care numai una poate fi determinată de viteza (de *ordinul I* sau *II*). Formarea etanului la electroliza acetatului în soluție apoasă și de acid acetic glacial s-a dovedit independentă de frecvență și deci ar urma o cinetică de *ordinul I*. Aceasta sugerează identitatea mecanismului în ambii solvenți și este o dovadă evidentă contra teoriei „H<sub>2</sub>O<sub>2</sub>” postulată de G l a s s t o n e și H i c k l i n g, deoarece etapele determinante de viteză sînt aceleași.

### 6.5.3 PROGRESE REALIZATE ÎN ELECTROSINTEZA ORGANICĂ

Metodele electrochimice dobîndesc o importanță mare în cazurile cînd pentru prepararea unor compuși:

- nu se cunosc procedee chimice;
- procedeul chimic cunoscut decurge în multe etape sau este caracterizat printr-un randament modest;
- la transpunerea pe scară mare (industrială), cînd de exemplu reducerea cu metal e dificilă în băi mari;
- cînd costul vreunui reactiv (anorganic) pe scară industrială devine prohibitiv;
- cînd procesul chimic duce la apariția de produși secundari ce ridică probleme de poluare și a căror eliminare nu este posibilă la un preț mic.

Adeseori avantajele electrosintezei trag mai greu în cumpănă decît dezavantajele. Tehnica electrochimică, de exemplu, permite controlul precis și continuu, nu numai al nivelului oxidării sau reducerii ci și al vitezei de reacție, iar produsul de electroliză nu este contaminat cu agentul oxidant sau reducător consumat. Pe de altă parte, la scară industrială, costul energiei electrice este adeseori neînsemnat în comparație cu prețul materiilor prime chimice necesare unei sinteze chimice. Poluarea mediului ambiant cu deșeuri rezultate din industria chimică organică devine o problemă din ce în ce mai acută; metodele electrochimice pot oferi variante ce duc la producții doriți fără apariția paralelă de substanțe poluante.

Deși nu întotdeauna necesară, celula conține o membrană poroasă din sticlă fritată de porozitate medie sau o membrană schimbătoare de ioni,

permeabilă numai pentru ionii anorganici, pentru a separa spațiile catodice și anodice și evita astfel ca produsul format la un electrod să ajungă la celălalt. Alteori evitarea unor reacții indezirabile se face prin blocarea tuturor proceselor catodice sau anodice cu excepția celui dorit. Un asemenea exemplu ne oferă reducerea  $\beta$  — cetosulfoxizilor și a  $\beta$  — cetosulfonelor; reducerea catodică pe mercur, într-o celulă avînd membrană separatoare a  $\beta$  cetosulfoxidului (de ex.  $C_6H_5 - CO - CH_2 - SO - CH_3$ ) conduce la obținerea metilmercaptanului și acetofenonei în compartimentul catodic. Dacă reacția ar decurge în celulă fără membrană separatoare, acetofenona ar suferi distrugere parțială la contactul cu anodul. Substituind gruparea sulfoxidică cu gruparea sulfonică, ionul metansulfinat generat în spațiul catodic suferă oxidare anodică la un potențial atât de coborît încît orice alt proces anodic este blocat și deci separarea celor două spații ale celei devine inutilă.

Numeroase metale și carbonul pot servi drept catodi. Astfel sînt mercurul, platina, aurul, cuprul, plumbul, fierul, nichelul în formă de bare sau plăci. Alegerea este mult mai restrînsă pentru materialul anodic, deoarece el trebuie să fie inert electrochimic, se pot menționa: platina, aurul cărbunele sau bioxidul de plumb.

Dezvoltarea rapidă a electrosintezei organice în ultimii ani se mai datorează și introducerii solvenților neapoși ca medii dizolvante în celulele de electroliză. Prin utilizarea solvenților organici domeniul de potențial disponibil este mult lărgit, depășindu-se limitele restrînse impuse de oxidarea oxigenului la anod și reducerea hidrogenului la catod, din soluțiile apoase (v. tab. 6.14). Se vede că domeniul de potențial disponibil depinde

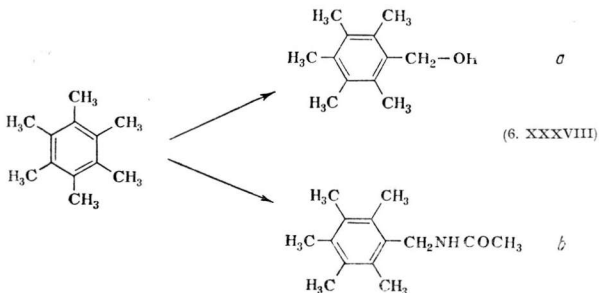
Tabelul 6.14

Valorile limită ale potențialelor de electrod pentru diverse sisteme  
solvent organic — electrolit, măsurate pe electrozi de platină  
și exprimate față de electrodul de calomel saturat (ECS)

Solvent	Electrolit	Limită catodică (V/ECS)	Limită anodică (V/ECS)
Acid acetic	$CH_3COONa$	-1,0	+2,0
Acetonă	$(n-C_4H_9)_4NClO_4$	-1,0	+1,6
Acetonitril	$LiClO_4$	-3,0	+2,5
Acetonitril	$(C_2H_5)_4NBF_4$	-1,8	+3,2
Dimetilformamidă	$(n-C_4H_9)_4NClO_4$	-2,8	+1,6
Dimetilsulfoxid	$LiClO_4$	-3,4	+1,3
Hexametilfosforamidă	$LiClO_4$	-3,3	+1,0
Metanol	$LiClO_4$	-1,0	+1,3
Metanol	KOH	-1,0	+0,6
Clorură de metilen	$(n-C_4H_9)_4NClO_4$	-1,7	+1,8
Nitrobenzen	$(n-C_3H_7)_4NClO_4$	-0,7	+1,6
Nitrometan	$Mg(ClO_4)_2$	-2,6	+2,2
Carbonat de propilenă	$(C_2H_5)_4NClO_4$	-1,9	+1,7
Piridină	$(C_2H_5)_4NClO_4$	-2,2	+3,3
Sulfolan	$(C_2H_5)_4NClO_4$	-2,2	+3,0
Tetrahidrofuran	$LiClO_4$	-3,2	+1,6



atît de natura solventului cît și de electrolitul de bază utilizat. Rolul acestuia din urmă nu se limitează întotdeauna numai la transportul curentului electric în soluție ci influențează și mersul reacției de electrosinteză. S-a găsit, de exemplu, (N y b e r g, 1969) că oxidarea hexametilbenzenului în amestec de 9 *p* acetonitril + 1 *p* apă, la potențialul de 1,05 V (față de electrodul Ag/Ag<sup>+</sup>), conduce la alcool pentametilbenzolic (*a*) și N-pentametilbenzilacetamidă (*b*) și că randamentele de obținere a celor doi produși depind de anionul electrolitului de bază folosit: perclorat de tetrabutilamoniu (5% *a*, 95% *b*) sau tetrafluoborat de tetrabutilamoniu (95% *a*, 5% *b*):

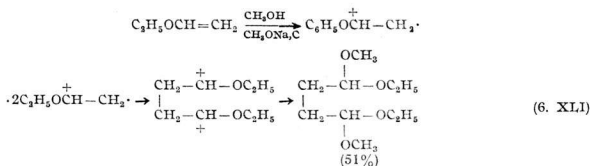


Pe lîngă oxidare și reducere, la electrod pot avea loc și reacții de substituție, de adiție, de eliminare, cuplare sau rupere a unor legături. Se cunosc multe exemple de asemenea reacții suferite de derivați aromatici, olefine, derivați halogenați, amide sau compuși organometalici; vom cita cîteva din ele.

Compușii aromatici sînt oxidați la anod pentru a da radicali cationici sau dicationi; aceștia, la rîndul lor pot reacționa cu compuși nucleofili (substratul însuși, solventul sau anionul electrolitului de bază), pentru a da, de exemplu, produși de substituții sau de adiție. În cazul 1,4-dimetoxibenzenului, este posibilă cianurarea electrochimică, prin substituirea grupării metoxi, metoxilarea prin adiție de două grupări metoxi, soldată cu dispariția aromaticității scheletului de bază sau acetoxilarea prin substituția unui hidrogen al inelului aromatic:

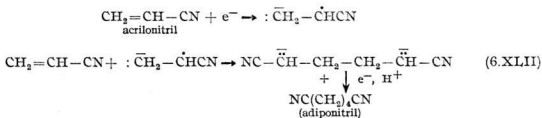


dienei, indenului sau a altor olefine în soluție de metanol + metoxid de sodiu :



Substituția alilică a olefinelor s-a efectuat în multe cazuri la oxidarea ciclohexenului în soluție metanolică de  $\text{LiClO}_4$  și  $\text{CH}_3\text{OLi}$ .

Reducerea catodică a compușilor olefinici are loc prin intermediul radicalilor anionici și a dianionilor, pentru a da compuși hidrogenați în prezența unor surse adecvate de protoni sau acizi dicarboxilici în mediu aprotic saturat cu  $\text{CO}_2$ . Hidrodimerizarea olefinelor substituie cu grupe acceptoare de electroni constituie azi un procedeu industrial (B a i z e r — M o n s a n t o) utilizat la prepararea adiponitrilului din acrilonitril:



Reacția are loc pe electrod de plumb, în soluție apoasă de paratoluen-sulfonat.

## 6.6. PROCESE ÎN ALTE CÎTEVA INDUSTRII ELECTROCHIMICE

Nu avem intenția de-a epuiza multiplele aplicații industriale ale electro-lizei, deoarece aceasta ar depăși mult limitele prezentului curs. În scopul documentării, cititorul se poate adresa unor manuale specializate\*. Aici ne vom limita doar la o succintă prezentare a bazelor electrochimice din câteva ramuri de activitate industrială.

### 6.6.1. INDUSTRIA CLOROSODICĂ

Electroliza clorurii de sodiu constituie cel mai important procedeu electro-litic industrial. Producții principale sînt soda caustică, clorul și hidrogenul. Adeseori, pe aceeași platformă se prepară și clorați, perclorați și hipocloriți alcalini și se electrolizează și  $\text{HCl}$  pentru a obține hidrogen și clor.

\* G h. F a c s k o, *Tehnologie electrochimică*. Editura tehnică, București, 1969.

Electroliza HCl constituie o reacție de recuperare a hidrogenului și clorului pornind de la un subprodus (HCl), obținut în principal în reacțiile de clorurare organice, dar preferința manifestată din ce în ce mai mult față de oxiclорurări va diminua în viitor mult importanța ei.

Soluția apoasă de NaCl conține, grație hidrolizei,  $\text{Na}^+$ ,  $\text{Cl}^-$ ,  $\text{H}_3\text{O}^+$  și  $\text{OH}^-$ . În soluții molare, neutre  $c_{\text{H}_3\text{O}^+} = 10^{-7}$  ioni g/l, ceea ce corespunde unui potențial de descărcare de  $-0,41$  V. Din aceeași soluție, oxigenul se descarcă la  $+0,82$  V, iar clorul la  $+1,35$  V. Din cauza supratensiunii mari a oxigenului pe materialul anodic (cărbune) cel care se descarcă la anod este clorul.

La catod se descarcă hidrogenul, întrucât sodiul are un potențial de descărcare extrem de negativ ( $-2,71$  V). Din cauza descărcării hidrogenului spațiul catodic se îmbogățește în ioni  $\text{OH}^-$ , care împreună cu ioni  $\text{Na}^+$  vor da final NaOH.

Electroliza saramurii se efectuează în două tipuri de celule: cu diafragmă și cu catod de mercur.

Celulele cu membrană au anodi de grafit și catodi din oțel moale, separați printr-un perete de azbest.

În celulele cu mercur se disting două compartimente: unul în care are loc formarea amalgamului de sodiu, grație supratensiunii apreciabile a hidrogenului pe mercur și altul, în care amalgamul de sodiu este descompus prin asociere cu un catod de fier în prezența apei. Se formează sodă caustică de înaltă puritate cu degajare paralelă de hidrogen.

Celulele cu mercur sînt mai costisitoare, consumă energie multă, dar produc sodă caustică mai pură decît celulele cu diafragmă, care sînt mai ieftine. Consumul de energie superior al celulelor cu mercur se datorează faptului că formarea amalgamului necesită mai multă energie decît formarea NaOH și a hidrogenului. Deși ambele tipuri de celule produc aceeași substanțe pornind de la aceeași materie primă, suplimentul de energie investit în formarea amalgamului este degajat sub formă de căldură în timpul reacției de descompunere a amalgamului prin scurt-circuitarea cu catodul de fier. O cale posibilă pentru recuperarea energiei disipate o constituie pilele de combustie de tip amalgam de sodiu-oxigen, alimentate cu amalgamul provenit de la celula de electroliză. Problema nu a primit încă o soluție definitivă și cercetări în acest sens sînt în curs.

#### 6.6.2 FABRICAREA ELECTROLITICĂ A APEI GRELE

Apa grea constituie un produs de importanță considerabilă în tehnologia de conversie a energiei nucleare în energie electrică. Conversia are loc în centralele nuclear-electrice, în care apa grea reprezintă substanță moderatoră a neutronilor implicați în reacția de fisiune dirijată, care se desfășoară în reactor. De exemplu, un reactor nuclear de 300 MW necesită aproximativ 270 t  $\text{D}_2\text{O}$ , disponibilă, încă, la preț ridicat.

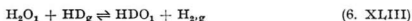
La electroliza apei, se constată o îmbogățire a electrolitului în deuteriu, grație unui potențial de descărcare mai negativ decît al izotopului

<sup>1</sup>H. Separarea izotopilor în celula electrolitică se poate defini prin egalitatea :

$$\alpha = \frac{[\text{HDO}]}{[\text{H}_2\text{O}]} \cdot \frac{[\text{H}_2]}{[\text{HD}]} \quad (6.96)$$

unde  $[\text{HDO}]/[\text{H}_2\text{O}]$  reprezintă raportul molar al compușilor respectivi în faza apoasă,  $[\text{H}_2]/[\text{HD}]$  raportul molar în faza gazoasă, iar  $\alpha$  se numește factor de separare.

Întrucît constanta de echilibru pentru reacția



valorează 3,88 la 25°C și respectiv 2,73 la 100°C, este evident că factorii de separare găsiți experimental între 3 și 8 trebuie să reflecte un alt mecanism decît stabilirea echilibrului de mai sus la suprafața catodului. O explicație ar consta în tendința de acumulare a speciei  $\text{H}_2$  în gaz, drept consecință a unei descărcări catodice mai rapide. În sprijinul acestei explicații se pot cita electrolizele efectuate în condiții ireversibile, cu o mare densitate de curent sau folosind catozi care nu catalizează reacția, cînd se obțin factori de separare ce ating 7,5. Dimpotrivă, la densități de curent mici și pe electrozi avînd bune proprietăți electrocatalitice, factorul de separare observat egalează constanta de echilibru.

Factorul de separare este influențat de temperatură, densitate de curent, materialul electrodului (electrocatalizor), stare de curățenie a suprafeței și volatilitatea, agitarea sau spumarea electrolitului. Micșorarea temperaturii electrolitului are un efect favorabil asupra factorului de separare; la fel acționează și creșterea densității de curent, deși aceasta se evită de obicei, deoarece consumul de energie electrică devine prea mare.

Cu cît procesul se apropie mai mult de condițiile de reversibilitate, cu atît devine practic mai rentabil, deoarece este caracterizat prin randament termodinamic mai mare. Separarea electrolitică a apei grele este puternic ireversibilă, în ciuda factorului de separare mare și necesită circa 57 kcal/mol. Reversibilitatea poate fi îmbunătățită dacă procesul se realizează în cascadă, astfel ca treptele cascadei să aibă dimensiuni aproximativ invers proporționale cu concentrația deuteriului. Totuși, producerea unor cantități de ordinul tonelor de apă grea presupune prelucrarea unor volume uriașe de apă ordinară, în instalații complexe și costisitoare, deoarece apa grea este prezentă în apa naturală într-o proporție de ordinul a 150 ppm. Acolo unde se dispune de energia electrică ieftină, ireversibilitatea nu constituie un factor constrictiv și construirea de electrolizoare precum și producerea apei grele nu a constituit o problemă deosebită. În electroliză, mai mult de 90% din energia electrică este consumată pentru atingerea concentrației de 1%. Deoarece energia consumată după atingerea acestei concentrații este mult mai mică, electroliza poate fi mult rentabilizată dacă apa a fost în prealabil îmbogățită, printr-un procedeu oarecare, la un conținut de circa 1%. De aceea, după 1943 electroliza a servit doar ca stadiu final, și, numai acolo unde energia electrică este extrem de ieftină s-a folosit și în etapa de preîmbogățire; în rest, concentrarea (îmbogățirea) se efectuează cu metode care sînt mult mai ieftine cum ar fi de exemplu schimbul izotopic.

Iată câteva din filierele tehnologice de preparare a apei grele:

- schimb  $H_2S$ - $H_2O$ -distilare-electroliză;
- electroliză-schimb  $H_2$ - $H_2O$ -distilare;
- electroliză-distilare.

Fiind un proces care se poate efectua în condiții apropiate de reversibilitate, distilarea a devenit un proces din ce în ce mai des utilizat ca etapă de îmbogățire finală.

Prețul de cost al apei grele scade simțitor, dacă fabricarea ei se asociază cu prepararea altor substanțe, cum este amoniacul, într-o fabrică de îngrășăminte chimice. Este vrednic de menționat că producerea apei grele a început în Europa în 1934 tocmai într-o fabrică de amoniac din Norvegia, folosindu-se instalațiile de electroliză a apei care furnizau hidrogenul necesar sintezei amoniacului.

Datorită siguranței și maniabilității sale, electroliza este utilizată și pentru regenerarea apei grele degradate în urma folosirii ei în reactoare.

S-au întreprins cercetări și pentru punerea la punct a unei metode de electroliză reversibilă, capabilă de un factor de separare superior, care să nu necesite consumul considerabil de energie al electrolizei complete a apei. Ideea de bază constă în oxidarea anodică a hidrogenului produs catodic, pentru a cărei realizare tehnică s-a sugerat utilizarea unui adaos catalizator care să fie continuu oxidat și redus alternativ în celula de electroliză. Pila ar avea *FEM* nulă, cuprinzând însă etapa de descărcare a ionilor hidrogen, prin care se face separarea. Descărcarea se face pe suprafața unei diafragme de paladiu sau alt material permeabil pentru hidrogen; atomii de hidrogen difuzează prin diafragmă și se ionizează pe cealaltă față a ei. Fiind mai lent, deuteriul nu difuzează cu ușurința izotopului  $^1H$  și deci se îmbogățește în celulă. Deși factorii de separare scontați se cifrează la circa 30, procesul nu a fost industrializat din cauza necesității unei investiții foarte mari, ceea ce-l face mai puțin avantajos economic decât procesul cu  $H_2S$ . Electrozii difuzivi pe care hidrogenul se poate oxida suscită un interes deosebit și deși s-au atins cu aceștia factori de separare de 6 — 8, cu o polarizare de 50 — 100 mV, rezultatele nu au fost exploatate comercial din cauza lipsei de competitivitate cu celelalte tehnici, în care electroliza este aproape în întregime amortizată de etapele de preîmbogățire ieftine și de folosirea hidrogenului într-un proces paralel, rentabil economic.

S-a lansat și ideea unei electrolize selective a deuteriului, folosindu-se curent alternativ (suprapus pe unul continuu) având frecvența egală cu frecvența de rezonanță a ionului deuteriu. Din cauza diferenței de masă dintre cei doi izotopi, deuteriul este excitat la o frecvență diferită de aceea a hidrogenului ușor și tehnica recomandată s-ar baza pe aplicarea frecvenței de excitare a deuteriului la potențialul de descărcare al hidrogenului.

Dacă procesul ar decurge astfel încât să se obțină numai într-o singură etapă o concentrație de 10% deuteriu, (ceea ce ar necesita un factor de separare cel puțin 700), costul ar reveni la jumătatea celui ce caracterizează procesele existente. Dar, chiar dacă factorul de separare ar fi doar 10, electroliza selectivă a deuteriului ar fi un proces competitiv cu actualele tehnici, dacă consumul de energie electrică s-ar putea reduce prin metode similare electrolizei reversibile.

O serie de compuși organici au solubilități apreciabile în acid fluorhidric și formează soluții conductoare ce se pot electroliza în celule fără diagramă, înzestrate cu anodi de nichel și catodi de oțel. Hidrogenul se degajă la catod, în timp ce la anod se formează compuși puternic fluorurați; tensiunea aplicată celei este astfel ajustată încât să se evite degajarea fluorului gazos. Adaosul de NaF sau KF în celula de electroliză mărește conductibilitatea electrolitului și permite extinderea procesului și la compuși organici având solubilitate mică, la cei care nu formează soluții conductoare în acid fluorhidric și la anumite substanțe anorganice gazoase. Fluorurarea electrochimică este de dată relativ recentă (cel de al 5-lea deceniu al secolului nostru) și are o mare importanță practică. Se pot fluorura nu numai lichide ci și solide cum sînt acidul sebacic sau gaze ca metanul, etilena etanul și propanul, clormetanii și clorfluormetanii, dacă se barbotează în celulă, sub electrozi. În tabelul 6.15 figurează produși de fluorare electrolitică alături de compușii care servesc ca substanțe de plecare; în ultima coloană se menționează randamentul ce caracterizează fluorurarea.

Tabelul 6.15

## Produși obținuți prin fluorurare electrolitică

Substanțe de plecare	Produși fluorurați obținuți	Randamente de electroliză
CH <sub>3</sub> (CH <sub>2</sub> ) <sub>n</sub> CH <sub>3</sub> CH <sub>3</sub> (CH <sub>2</sub> ) <sub>n</sub> CH <sub>3</sub> sau CH <sub>3</sub> (CF <sub>2</sub> )(CH <sub>2</sub> ) <sub>n-1</sub> CH <sub>3</sub> Cl <sub>2</sub> C=CCl <sub>2</sub> CH <sub>3</sub> (CH <sub>2</sub> ) <sub>n</sub> OH	CF <sub>3</sub> (CF <sub>2</sub> ) <sub>n</sub> CF <sub>3</sub>  CF <sub>3</sub> (CF <sub>2</sub> ) <sub>n</sub> CF <sub>3</sub> CFCl <sub>2</sub> · CFCl <sub>2</sub> Perfluorocarburi, fluoruri de perfluoroacizi, perfluoroeteri Fluoruri de perfluoroacizi, perfluorocarburi	slabe  moderate-bune mari  slabe
Aldehyde și cetone		—
Amine primare și secundare	Perfluoroamine N-fluorurate și NF <sub>3</sub>	moderate
Amine terțiare	Amine perfluoroterțiare și NF <sub>3</sub>	moderate
NH <sub>3</sub> H <sub>2</sub> O CS <sub>2</sub>	NF <sub>3</sub> (eventual și NF <sub>2</sub> H și NFH <sub>2</sub> )* F <sub>2</sub> O CF <sub>3</sub> SF <sub>5</sub> , SF <sub>6</sub> , CF <sub>4</sub> etc.	—  —

\* foarte nestabile; NF<sub>2</sub>H poate exploda spontan, în stare lichidă.

Cea dintîi comunicare despre prepararea acizilor perfluorocarboxilici, CF<sub>3</sub>(CF<sub>2</sub>)<sub>n</sub>COOH, datează din 1951; ca substanțe de plecare se foloseau anhidridele acizilor hidrocarbonați. Trebuie menționat că ciclohexanul, benzenul și naftalenul nu se fluorurează.

Mecanismul fluorurării nu este pe deplin elucidat, dar se crede că el se bazează pe o reacție anodică de tip radical liber. Reacția are loc la temperaturi relativ joase, cuprinse între: -10 și 25°C și este lentă, caracterizîndu-se prin densități de curent mult mai mici decît a multor procese electrolitice. La întrebuintarea unor anodi noi, se constată o perioadă de

inducție, în cursul căreia s-a observat degajarea de fluor liber, chiar și la tensiuni coborâte.

Aplicațiile actuale și potențiale ale perfluorocompușilor obținuți prin fluorurare electrolitică, se bazează pe proprietățile lor tensioactive. Preparatele tensioactive avînd la bază fluorocarburii sînt mult mai eficiente decît unii compuși tensioactivi hidrocarbonați. Astfel, tensiunea superficială a apei care valorează 72 dyn/cm în condiții ordinare, este coborîtă la numai 15-20 dyn/cm în prezența unei concentrații de 10<sup>-2</sup>% din primele; cu ultimele, valori minime de 30—35 dyn/cm se pot atinge cu concentrații de 10 — 100 ori mai mari.

Perfluorocompușii se utilizează ca agenți tensioactivi la polimerizarea în emulsie a tetrafluoroetilenei, pentru obținerea teflonului sau fluonului (politetrafluoroetilen). În acest scop se utilizează ca emulgator perfluorooctanoat de amoniu, într-o concentrație de 0,5% în raport cu emulsia de teflon.

O altă aplicație importantă a perfluorocompușilor obținuți electrolitic este aceea de constituant al așa numitei „ape ușoare”, care este o spumă folosită la combaterea incendiilor cauzate de produsele petroliere. Spuma se răspîndește cu repeziciune pe suprafața combustibilului care arde, înăbușînd flăcările; după dispariția lor, pe suprafața combustibilului se răspîndește un film de apă, care formează apoi un strat stabil de vapori ce previne reîncendierea.

Cea mai importantă aplicație a acizilor perfluorocarboxilici și sulfonici constă în utilizarea ca substanțe inițiale în producerea de agenți de tratare a țesăturilor care să confere acestora proprietăți de respingere a apei (hidrofobie) și a uleiurilor (rezistență la murdărie). Utilizarea are la bază energia liberă superficială foarte coborîtă pe care o manifestă radicalii -CF<sub>3</sub> grupați în mănunchi pe o suprafață oarecare. Pentru definirea energiei libere superficiale se recurge la tensiunea superficială critică  $\sigma_{cr}$  care corespunde tensiunii superficiale a unui lichid răspîndit pe un substrat sub formă de film continuu. Cu cît e mai joasă valoarea  $\sigma_{cr}$  cu atît mai mică e energia liberă superficială și cu atît mai redusă este „udarea”. Valoarea minimă cunoscută a lui  $\sigma_{cr}$  este de 6 dyn/cm și corespunde grupărilor -CF<sub>3</sub> strîns înmănunchiate; grupările -CF<sub>2</sub>H au o valoare de 15 dyn/cm, grupările -CF<sub>2</sub>- din teflon 18 dyn/cm iar -CH<sub>2</sub>- din polietilenă 31 dyn/cm. Valoarea minimă de 6 dyn/cm nu este atinsă decît atunci cînd radicalul -CF<sub>3</sub> se găsește fixat pe un lanț perfluorocarbonat ce depășește o anumită valoare (v. tab. 6.16). Tabelul mai arată efectul negativ al prezenței unui singur atom de hidrogen (penultimul radical) și inutilitatea lanțului clorofluorocarbonat (cel din urmă).

Tabelul 6.16

Efectul lungimii lanțului perfluorocarbonat și al structurii asupra capacității de respingere a uleiului (unități arbitrare)

Radicalul:	-CF <sub>3</sub> -C <sub>2</sub> F <sub>5</sub> -C <sub>3</sub> F <sub>7</sub> -C <sub>4</sub> F <sub>9</sub> -C <sub>5</sub> F <sub>11</sub> -C <sub>6</sub> F <sub>13</sub> -C <sub>7</sub> F <sub>15</sub> -C <sub>8</sub> F <sub>17</sub> -(CF <sub>2</sub> ) <sub>7</sub> CF <sub>2</sub> H-CF <sub>2</sub> (CF <sub>2</sub> CFCl) <sub>3</sub> Cl							
Capacitatea de respingere a uleiului	0	60	90	100	120	130	50	0



Tratarea țesăturii se face prin atașarea compusului perfluorocarbonat la gruparea care suferă ulterior polimerizarea (de exemplu acrilat, sau metacrilat). Prezența necondiționată a unor ingrediente păstrate secret de diverșii fabricanți contribuie la obținerea unor produse de calitate superioară.

#### 6.6.4 ELECTRODEPUNEREA VOPSELELOR

Aplicarea vopselelor pe piese metalice prin electrodepunere, a căpătat o răspîndire largă în ultimii cîțiva ani grație beneficiilor pe care le aduce multor industrii, printre care în primul rînd trebuie menționate cele care implică finisarea și protejarea unor articole din oțel.

La vopsirea prin electrodepunere, piesa ce trebuie acoperită este scufundată într-o baie ce conține o vopsea hidrofilă potrivită și se leagă la unul din polii unei surse de curent continuu. Un electrod sau însăși cuva ce conține vopseaua se leagă la celălalt pol al sursei de curent. La trecerea curentului, depunerea filmului de vopsea pe piesa luată în lucru este indusă de reacția de electrod care are loc la interfața piesă metalică-vopsea apoasă. Cînd depunerea este completă, piesa poate fi scoasă din baie și clătită cu apă pentru a se îndepărta vopseaua apoasă aderentă. Vopseaua electrodepusă se caracterizează printr-o bună compacitate și constituie un film coalescent avînd o mare rezistență electrică. Spre deosebire de alte metode de aplicare, compoziția vopselei electrodepuse diferă de conținutul băii de electroliză.

În mod obișnuit se folosesc soluții apoase de rășini peliculogene (epoxidice, alchidice, acrilice etc.), ce conțin grupe carboxil a căror neutralizare cu baze cum sînt aminele, amoniacul sau hidroxizii alcalini este parțială (50 — 80%). În sistemul dispers astfel obținut sînt prezenți pigmenții și un solvent organic (alcool, cetonă, hidroxicetonă ș.a.), care stabilizează dispersia. Rășinile anionice de acest gen sînt greu solubile în apă dacă sînt sub formă acidă sau dacă numai o mică proporție a grupelor carboxil este neutralizată.

Dacă dispersia este electrolizată, la anod are loc formarea unui depozit, care constă aproape în exclusivitate din rășina liberă de bază dacă anodul este un metal nobil sau pasiv sau din săpunul corespunzător rășinii dacă anodul este un metal activ. Prezența pigmentilor, particule stabilizate în sistemul apos al rășinii nu afectează procesul de depunere; ei migrează electroforetic cu micелеle de rășină la anod în filmul de rășină, depus electrolitic.

Dispersiile apoase ale vopselelor au concentrații de circa 10% sau o normalitate apropiată de 0,1 și sînt relativ bune conducătoare de electricitate. Tensiunea aplicată se situează între 100 și 500 V, iar principalele procese care pot avea loc sînt următoarele:

*La anod:* dizolvarea metalului și formarea săpunului corespunzător cu grupele anionice ale rășinii, fără degajare de oxigen. Deoarece săpunurile care se formează nu sînt autodispersabile, dizolvarea anodică a metalului distruge stabilitatea dispersiei, ceea ce se soldează cu depunerea rășinii; experimental se observă obținerea de depuneri de bună calitate, pe metale

active anodic, cum sînt zincul și cuprul. În general, dizolvarea metalului are loc în cantitate neglijabilă.

La anod mai poate avea loc și descărcarea grupelor carboxil ale rășinii, dar aceasta nu pare să explice dezvoltarea filmului, din cauza imobilității grupelor de carboxil în filmul coalescent. Dimpotrivă, ionilor  $\text{OH}^-$ , disponibili pe urma disocierii apei, nu li se impun asemenea limitări; descărcarea lor duce la degajarea oxigenului și la liberarea concomitentă a ionilor hidrogen pentru electroconductibilitatea prin film.

Alături de aceste procese, au loc și o serie de procese paralele, printre care trebuie menționate decarboxilări de tip Kolbe, dimerizări, polimerizări vinilice, care afectează legăturile duble din rășini sau simpla oxidare a componentilor rășinii, inclusiv solvenții organici.

Trebuie să se menționeze că oricare din procesele de mai sus este responsabil pentru distrugerea stabilității dispersiei, astfel că indiferent de procesul anodic principal, electrodepunerea vopselelor se caracterizează printr-un bun randament de curent. Dezvoltarea filmului continuu are loc dacă rășina instabilizată devine coalescentă, ceea ce în condiții de tensiune constantă se observă printr-o scădere treptată a curentului pe măsură ce filmul se îngroașă. Unul din cele mai remarcabile aspecte ale proprietăților filmului de vopsea astfel depus îl constituie capacitatea sa de a obtrua cavitățile rămase după barbotarea gazului prin film.

La catod se înregistrează descărcarea cationului și a hidrogenului, ceea ce duce la o creștere de  $\text{pH}$ ; dacă produșii de la catod se pot răspîndi în baie, modificarea de  $\text{pH}$  afectează compoziția băii și implicit desfășurarea procesului anodic. De aceea  $\text{pH}$ -ul este supus unui control riguros în cursul procesului de electrodepunere.

Toate vopselele electroduse existente în comerț sînt anionice, ceea ce înseamnă că agentul transportor (vehiculant) are natură acidă și, așa cum s-a menționat, este stabilizat în mediu apos prin formarea unei sări în urma neutralizării parțiale cu o bază. De aceea, la trecerea curentului electric prin baie, depunerea vopselei are loc la anod.

Vopsirea electrolitică este limitată printre altele la protecția unor piese care nu sînt încălzite peste  $150^\circ\text{C}$ . Procesul de electrodepunere și chiar stabilitatea dispersiei sînt perturbate de muți anioni simpli, mobili, cum sînt  $\text{Cl}^-$ ,  $\text{SO}_4^{2-}$ ,  $\text{H}_2\text{PO}_4^-$ ,  $\text{HPO}_4^-$  etc.

#### 6.6.5 ELECTROCHIMIA ȘI FABRICAREA STICLEI

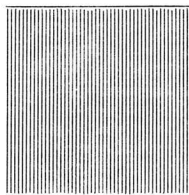
Proprietățile superficiale ale sticlei pot fi modificate prin încorporarea la mică adîncime, în masa sticloasă a unor metale printr-o modificare simplă a procesului de fabricare continuă după procedeul curgerii. În esență, procedeul curgerii constă în scurgerea unei panglici de sticlă topită pe suprafața unui metal în stare topită (de obicei staniu). Noul proces, electrochimic, constă în introducerea de ioni metalici în masa de sticlă, la o adîncime și concentrație controlate și reducerea în atmosferă de hidrogen a ionilor metalici, cînd se obține o dispersie de particule avînd diametrul mijlociu de aproximativ  $400 \text{ \AA}$ . Sticla obținută este colorată și are excepționale proprietăți termo- și fotorefectante.

Staniul topit pe care se scurge sticla topită este legat la catodul unei surse de curent continuu, iar un alt strat de metal topit (de obicei și acesta tot staniu) condus pe suprafața sticlei ce se scurge, este legat la anodul sursei de curent. Metalul se ionizează la anod și pătrunde în masa sticloasă, a cărei temperatură se menține între 600 și 750°C pentru a o face îndeajuns de bună conductoare de electricitate. Un curent de 50 A sub o diferență de potențial de 50 V, poate depune circa 25  $\mu\text{g}$  de staniu pe  $\text{cm}^2$  de sticlă.

Modificarea metalului anodic a temperaturii și a intensității de curent permit obținerea de sticle având diverse proprietăți de transmisie a căldurii și luminii. Procedul este foarte rentabil, atât pentru fabricarea unor sticle speciale în cantitate restrânsă cât și pentru linii tehnologice mari. S-au obținut sticle având 3 culori diferite, cuprinse între bronz-cenușiu și bronz-aramiu și a căror utilitate principală constă în limitarea câștigului de căldură solară sau evitarea strălucirii soarelui în clădiri și autovehicule.

## Bibliografie

1. A., Damjanovic. *Mechanistic Analysis of Oxygen Electrode Reaction*. Modern Aspects of Electrochemistry, **5**, 369, 1969
2. I., Drimuș, I., Adamache și E., Ludoșan. *Inhibitori de coroziune*. Editura Tehnică București, 1968
3. H., Eyring, D., Henderson și W., Jost. *Physical Chemistry*, vol. IX b, Electrochemistry, Academic Press, New York, London, 1970, cap. 6, 7, 8
4. L. E., Ebersson și N. L., Weinberg. *Organic Electrosynthesis*. Chem. Eng. News, 25 I 1971, p. 40
5. M., Fleischmann și H. R., Thrisk. *Metal Deposition and Electrocrystallization*. Advances in Electrochemistry and Electrochemical Engineering, **3**, 123, 1963
6. K. M., Gorbunova și Iu. M., Polukarov. *Electrodeposition of Alloys*. Advances in Electrochemistry and Electrochemical Engineering, **5**, 249, 1967
7. A. T., Kuhn (ed.). *Industrial Electrochemical Processes*, Elsevier, Amsterdam, London, New York, 1971, cap. 2, 5, 11, 13
8. B. J., Piersma și E., Gileadi. *The Mechanism of Electrochemical Oxidation of Organic Fuels*. Modern Aspects of Electrochemistry, **4**, 47, 1966
9. J., Robin (ed.). *Introduction aux méthodes électrochimiques*. Masson, Paris, 1967, cap. 9
10. J. M., West. *Electrodeposition and Corrosion Processes*. D. van Nostrand, London, 1965
11. \*\*\* The Chemical Rubber Co (ed.). *Handbook of Chemistry and Physics*, 50-th ed. (1969—70), Cleveland, Ohio



**PARTEA A TREIA**

**CAPITOLE  
SPECIALE**

## ELECTROCHIMIA TOPITURILOR

Datorită proprietăților lor particulare, sărurile topite au atras atenția lui D a v y și F a r a d a y încă din prin 1833; cel din urmă a efectuat electrolize în săruri topite, relevînd electroconductibilitatea și deci caracterul ionic al acestor lichide. Cu toată vechimea începutului, studiul sărurilor topite constituie un domeniu de cercetare relativ recent, din cauza dificultăților experimentale întîmpinate și ale căror rezolvări nu au venit decît cu timpul.

Electrochimia topiturilor saline a dobîndit o importanță crescîndă în ultimii ani, din cauza folosirii sărurilor topite ca electroliti în unele pile galvanice și ca medii de transfer de căldură în anumiți reactori nucleari sau alte sisteme, în care proprietățile de coroziune electrochimică se cer bine cunoscute, pentru a se evita efectele lor nefaste.

Studiul electrochimic în special și cel fizico-chimic în general al topiturilor, prezintă o deosebită importanță pentru elaborarea industrială a unor metale cum sînt aluminiul, alcalinele sau alcalino-pămîntoasele, ale căror potențiale de depunere sînt mult mai negative decît al hidrogenului, ceea ce împiedică obținerea lor prin electroliză în mediu apos.

Metode de obținere bazate pe electroliza ignee au fost puse la punct sau sînt în curs de perfecționare pentru metale ca Ti, Zr, Th, Ta ș.a.

Electroliza în topitură permite și obținerea de nemetale; astfel de exemplu, unica metodă industrială de preparare a fluorului o constituie electroliza fluorurii acide de potasiu topite. Aproape că nu există element al sistemului periodic, care să nu poată fi preparat prin electroliza topiturii unui compus propriu.

### 7.1 GENERALITĂȚI

Rețeaua ionică se poate destrăma nu numai prin intervenția solventului, care învinge forțele coulombiene ce se manifestă între ionii rețelei, ci și prin intervenția căldurii, capabilă să distrugă ordinea din cristal și să-l topească. Lichidul, care apare după topirea cristalului (sare sau oxid anorganic) posedă proprietăți conductoare incomparabil mai bune decît soli-

dul corespunzător (v. tab. 7.1) și se numește topitură salină, lichid ionic sau electrolichid pur. Cu titlu comparativ se trece și conductivitatea soluției apoase saturate.

*Tabelul 7.1*

**Conductivitatea,  $\lambda$  a NaCl în stare topită, solidă și în soluție saturată**

Starea fizică a NaCl	$\lambda$ (Mho $\cdot$ cm $^{-1}$ )
Solidă la 800°C	$1 \cdot 10^{-8}$
Topită la 900°C	3,9
Soluție saturată, la 25°C	0,2513

*Tabelul 7.2*

**Temperaturile de topire (°C) ale unor săruri anorganice**

Sarca	$T_f$	Sarca	$T_f$	Sarca	$T_f$	Sarca	$T_f$
AgNO <sub>3</sub>	210	HgCl <sub>2</sub>	277	AgBr	434	CaCl <sub>2</sub>	646
HgBr <sub>2</sub>	238	NaNO <sub>3</sub>	310	PbCl <sub>2</sub>	501	NaI	651
LiNO <sub>3</sub>	254	KNO <sub>3</sub>	337	CdCl <sub>2</sub>	568	KCl	776
ZnCl <sub>2</sub>	275	PbBr <sub>2</sub>	373	LiCl	610	NaCl	808

Deși stabili numai la temperaturi relativ indicate (v. tab. 7.2) electroliții lichizi puri (sau lichidele ionice) au caracteristici fizico-structurale nu mult depărtate de cele ale apei (v. tab. 7.3); atât apa cât și lichidele ionice sînt

*Tabelul 7.3*

**Comparație între cîteva proprietăți fizico-structurale ale apei și NaCl topite**

Proprietatea	Apă (25°C)	NaCl, topită (850°C)
Coefficientul de viscozitate (mpoise)	8,95	12,5
Indice de refracție ( $n_D$ )	1,332	1,408
Coefficientul de difuzie (cm <sup>2</sup> s $^{-1}$ )	$3 \cdot 10^{-5}$	$\left\{ \begin{array}{l} \text{Na}^+ : 1,53 \cdot 10^{-4} \\ \text{Cl}^- : 0,83 \cdot 10^{-4} \end{array} \right.$
Tensiunea superficială (dyn $\cdot$ cm $^{-1}$ )	72	111,8
Densitate	$\sim 1,00$	1,539

incolori și limpezi. Deosebirea fundamentală dintre ele se găsește în proprietățile electroconductoare; topiturile saline au o conductivitate electrică cu vreo 8 ordine de mărime mai mare decît apa, dar de vreo 10 mii de ori mai mică decît a metalelor topite (conductori de specia I; v. tab. 7.4).

Conductivitatea electrică a apei, comparată cu aceea a unor lichide ionice

Substanța	$T(^{\circ}\text{C})$	$\lambda$ (Mho $\cdot$ cm $^{-1}$ )
H <sub>2</sub> O	18	$4 \cdot 10^{-8}$
LiCl topită	710	6,221
NaCl topită	908	3,903
KCl topită	872	2,407
Hg topit	20	$1,1 \cdot 10^4$
Al topit	700	$9,9 \cdot 10^4$
Ag topit	1000	$1,33 \cdot 10^6$

Elaborarea modelului corespunzător lichidelor ionice nu este o sarcină ușoară, deoarece uneori absența solventului în loc să simplifice lucrurile, mai degrabă le complică. Astfel, mișcarea dirijată a ionilor în prezența unui câmp exterior, nu mai este „suportată” de solvent, așa cum se întâmplă la soluții și ionii de un fel, lipsiți de sfera de solvatare, jenează puternic ionii de semn contrar. Acestea sînt condițiile în care trebuie explicate și marea fluiditate și conductibilitate apreciabilă a lichidului care conține particule încărcate aflate în contact nemijlocit.

Un alt aspect al modelului lichidelor ionice este legat de transportul curentului. Dacă în soluțiile apoase mișcarea relativă a ionilor și mobilitatea lor diferită crează un gradient de concentrație și o difuzie care echilibrează migrația ionilor, la topiturile saline aceasta este imposibil de imaginat, tocmai din cauza lipsei unui mediu de referință (cum este de exemplu apa în soluțiile apoase). Este dificilă înțelegerea noțiunii de număr de transport în absența mediului de referință; orice mișcare determinată a unui ion, în raport cu altul, afectează situația din toată masa de lichid. De aceea, teoria numerelor de transport în electroliții lichizi trebuie să se deosebească de aceea întâlnită la soluțiile apoase sau neapoase.

În al treilea rînd, există problema perechilor ionice și a complexilor care se pot forma din acestea; grație solventului, individualitatea lor este asigurată în soluții. Dimpotrivă, în electroliții puri topiți, ionul de referință este înconjurat de o serie de ioni cu sarcină contrară și este imposibil să se distingă care din ei formează la un moment dat o pereche (asociat) cu ionul de referință și care joacă rolul de vecin. Absența solventului pune sub semnul întrebării însăși noțiunea de complex în topiturile de săruri pure sau oxizi puri.

## 7.2. MODELE ALE LICHIDELOR IONICE SIMPLE

Structura lichidelor ionice simple, ca de fapt orice teorie asupra stării lichide, poate fi mai ușor înțeleasă dacă se raportează la starea fizică de la care se obține lichidul. Sînt două posibilități după cum lichidul se consideră format prin topirea cristalului ionic sau în urma condensării vaporilor ionici.

## 7.2.1 MODELE BAZATE PE STRUCTURA DE REȚEA CRISTALINĂ

Bazându-ne pe proprietatea lichidelor de a nu avea formă proprie și de a se modela după profilul vasului în care sînt conținute, am fi tentați să credem că electroliții lichizi nu posedă o structură. Supunînd însă electrolitul lichid la un examen roentgenografic sau neutronografic (L e v y,

Tabelul 7.5

Distanțe interionice și numere de coordinare NC  
în cristale și topiturile ionice corespunzătoare

Sarcă	Cristal la temp. de topire		Sarcă topită	
	$r$ (nm)	NC	$r$ (nm)	NC
LiCl	0,266	6	0,247	4,0
LiBr	0,285	6	0,268	5,2
LiI	0,312	6	0,285	5,6
NaI	0,335	6	0,315	4,0
KCl	0,326	6	0,310	3,7
CsCl	0,357	6	0,353	4,6
CsBr	0,372	6	0,355	4,6
CsI	0,394	6	0,385	4,5

Danford, 1964) se stabilesc următoarele două fapte: în primul rînd că distanța interionică din lichid este comparabilă cu distanța interionică din cristal (v. tab. 7. 5) și în al doilea rînd că ordinea se menține și în lichidul ionic, dar numai pînă la distanțe mai scurte, măsurînd cîteva zecimi de nm (fig. 7.1).

Tabelul 7.6 conține variațiile relative de volum înregistrate la topirea unor săruri minerale. Aparent, datele acestui tabel sînt contradictorii cu acelea din tabelul 7.5, conform căroră, topirea trebuie să se soldeze cu o ușoară contracție de volum. În realitate, lucrurile se explică prin conductibilitatea mult mărită a lichidelor ionice (v.tab.7.1), care implică și o mobilitate mult mai mare a ionilor în stare topită decît în cristal. Pen-

Tabelul 7.6

Variația de volum cauzată  
de topirea unor săruri anorganice

Sarcă	+ $\Delta V$ (%)
NaCl	25
NaF	24
NaI	19
KCl	17
KBr	17
KI	16
RbCl	15
CdCl <sub>2</sub>	20
CdBr <sub>2</sub>	28
NaNO <sub>3</sub>	11

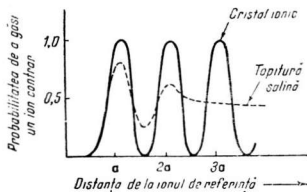


Fig. 7.1. Ordinea „la mare distanță” din cristalele ionice comparată cu ordinea „la mică distanță” din lichidele ionice.



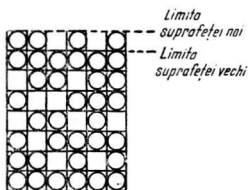


Fig. 7.2. Defectele Schottky se produc prin deplasarea ionilor din zona de volum în cea superficială a cristalului.

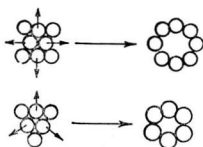


Fig. 7.3. Formarea golurilor.



Fig. 7.4. Formarea golurilor este asociată cu fluctuații locale de densitate.

constituie o emancipare de sub tutela rețelei — părinte; dimensiunile și dispunerea golurilor în masa topiturii sînt variabile cu direcția. Formarea golurilor este un efect al mișcării dezordonate a ionilor (agitație termică), iar dimensiunile golurilor sînt și ele neregulate, depinzînd de mărimea deplasării relative a ionilor (fig. 7.3). O descriere echivalentă a formării golurilor, face apel la fluctuațiile locale de densitate, după cum se vede în fig. 7.4; același volum  $V$  conține un număr mai mic de particule după formarea golului.

## 7.2.2 MODELE PORNIND DE LA STAREA GAZOASĂ

Trecerea din starea gazoasă în stare lichidă corespunde unei reduceri considerabile a libertății de mișcare a moleculelor. În stare gazoasă, fiecărei molecule în mișcare îi stă la dispoziție întregul spațiu în care este con-

tru că mobilitatea ionilor se bazează pe o suită de etape constînd din salturi în zone sau regiuni în care există un gol ionic (v. sect. 3), se înțelege de ce starea lichidă necesită un volum liber (cu zone vacante) mult mai mare decît cristalul ionic. La unele cristale ionice care au o structură cristalină mai puțin compactă, cum ar fi de exemplu halogenurile de Ca, Sr și Ba, variația de volum este de numai circa 20% din valoarea înregistrată la halogenurile alcaline, mai compacte.

După modul diferit de a explica apariția spațiilor libere din lichid, se disting două modele și anume, modelul vacanțelor și modelul golurilor.

Cel mai simplu model este cel imaginat de Frenkel și dezvoltat de Stillingner și poartă numele de modelul de cuasi-rețea sau modelul vacanței ionice, care conține așa numitele defecte Schottky\*. Defectele Schottky se produc prin îndepărtarea unor ioni din zona de volum a cristalului spre zona sa superficială. Transferul de ioni este însoțit de o expansiune a cristalului (fig. 7.2).

Defectele Schottky se înmulțesc cu creșterea temperaturii, iar dimensiunile lor sînt comparabile cu dimensiunile ionilor pozitivi din rețea; structura rețelei de origine exercită un efect constrictiv în acest sens.

Spre deosebire de modelul vacanțelor, modelul golurilor, propus de Fürt h,

\* V. de exemplu, sect. 1.3.10 din *Chimia fizică* de L. Oniciu și I. Zsako. Editura tehnică, București, 1968.

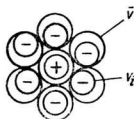


Fig. 7.5. Volumul liber și volumul propriu al ionilor.

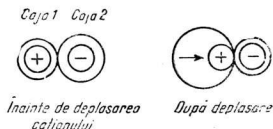


Fig. 7.6. Caja particulei care se deplasează înregistrează o expansiune, iar caja particulei vecine o concentrare.

ținut gazul. În stare lichidă, vecinii imediați ai unei particule oarecare jenează libertatea de mișcare a acesteia, obligînd-o să petreacă majoritatea timpului în caja creată de vecini.

Modelul de caja se lovește de o serie de dificultăți, deoarece este incapabil să explice proprietățile de transport ale lichidelor, care presupun migrarea particulei de la o caja la alta; apoi, menținerea unor particule în cajele lor, pledează pentru o ordine mult mai pronunțată a stării lichide decît lasă să se întrevadă variația de entropie experimentală ce însoțește topirea; în sfîrșit, modelul de caja nu poate explica expansiunea ce însoțește topirea. Singura explicație pe care o poate da teoria, este aceea a îndepărtării ionilor unul de celălalt în cursul topirii, ceea ce desigur trebuie să antreneze creșterea distanțelor interionice, ceea ce infirmă experiența (v. tab. 7.5).

¶Dificultățile inerente acestui model au fost înlăturate de C o h e n și T u r n b u l l, care au elaborat modelul volumului liber al lichidului. Conform acestei teorii, lichidului îi revine volumul liber  $v_l$ :

$$v_l = \bar{v} - v_i \quad (7.1)$$

unde  $\bar{v}(=V/N)$  este volumul mediu ce stă la dispoziția particulelor iar  $v_i$  volumul particulei considerate ca sferă incompresibilă (fig. 7.5). Volumul liber  $v_l$  este distribuit între cele  $N$  particule conținute în volumul total  $V$ , dar nu în mod egal ci statistic ( $N_1$  particule obțin  $v_1$ ,  $N_2$  particule fracțiunea de volum  $v_2$  etc.). Se observă că în această teorie, volumul liber nu este o proprietate a particulei, iar forțele termice sînt responsabile pentru distribuția statistică a volumelor libere.

Pentru a se explica proprietățile de transport, se acceptă variabilitatea cajelor; particula care se deplasează înregistrează o expansiune a cajei, iar particulele învecinate o contractare, astfel ca energiile asociate variațiilor de volum libere să se compenseze mutual (fig. 7.6).

### 7.3 FENOMENE DE TRANSPORT ÎN ELECTROLIȚI LICHIZI

Absența solventului constituie o sursă de simplificare a unor aspecte legate de fenomenele de transport în topiturile saline. Astfel de exemplu în electrolizii lichizi puri nu se observă modificări de concentrație, care să determine gradienti de concentrație; prin urmare în aceștia, difuzia netă l ipsește.

O altă consecință a absenței solventului o constituie constanța cîmpului de acțiune interionic; s-a văzut că la soluțiile apoase interacțiunea ionică era o mărime variabilă dependentă de concentrația solvatului.

### 7.3.1 AUTODIFUZIA ȘI VÎSCOZITATEA TOPITURILOR SALINE

Inexistența solventului și cerința de a se respecta principiul electro-neutralității fac imposibilă difuzia netă în electroliți puri. Folosind însă radioizotopi, se poate pune în evidență fenomenul de autodifuzie, adică difuzia unor specii chimice identice, dar avînd compoziție izotopică diferită. Introducerea în halogenura  $MX_n$ , topită, a compusului  $M^*X_n$ , care conține izotopul radioactiv  $M^*$ , permite determinarea vitezei de diseminare a radioizotopului și în final, a coeficientului de difuzie al lui în topitură. Principiul electroneutralității nu este afectat, chiar dacă difuzia ionilor de sodiu radioactiv este cauzată de un gradient de concentrație al acestora, deoarece, din punct de vedere chimic, izotopul radioactiv nu se distinge de cel inactiv. Tabelul 7.7 conține valorile coeficienților de difuzie ai unor radioizotopi în topituri salină.

Coeficienți de difuzie a unor ioni radioactivi

Tabelul 7.7

Sarea topită	Izotopul difuzat	$t(^{\circ}C)$	$D^*(cm^2 s^{-1})$
NaCl	$^{22}Na^+$	840	$9,6 \cdot 10^{-5}$
	$^{36}Cl^-$	840	$6,7 \cdot 10^{-5}$
CsCl	$^{134}Cs^+$	670	$3,5 \cdot 10^{-5}$
	$^{36}Cl^-$	670	$3,8 \cdot 10^{-5}$
ZnCl <sub>2</sub>	$^{65}Zn^{2+}$	600	$0,6 \cdot 10^{-5}$
	$^{36}Cl^-$	600	$0,4 \cdot 10^{-5}$
BaCl <sub>2</sub>	$^{140}Ba^{2+}$	1 000	$1,84 \cdot 10^{-5}$
	$^{36}Cl^-$	1 000	$2,99 \cdot 10^{-5}$

Coeficientul de autodifuzie este dependent de temperatură într-o formă exponențială:

$$D^* = D_0^* \exp(-E_D^*/RT), \quad (7.2)$$

unde  $D_0^*$  este valoarea de zero și este puțin variabilă de la o substanță la alta, iar  $E_D^*$  energia de activare a autodifuziei (v. tab. 7.8).

Tabelul 7.8

Energile de activare și valorile factorului preexponențial  $D_0^*$  din ecuația (7.2), pentru difuzia unor ioni radioactivi în halogenurile alcaline și alcalino-pămîntoase.

Sare topită/ion radioactiv	$D_0^* (cm^2 s^{-1})$	$E_D^* (kcal \cdot mol^{-1})$	Domeniul de temp. ( $^{\circ}C$ )
NaCl/ $^{22}Na^+$	2,1	7,14	820—1 020
NaCl/ $^{36}Cl^+$	1,9	7,43	826—1 035
CaCl <sub>2</sub> / $^{45}Ca^{2+}$	0,38	6,13	783—1 004
CaCl <sub>2</sub> / $^{36}Cl^-$	1,9	8,86	787—1 019
SrCl <sub>2</sub> / $^{89}Sr^{2+}$	0,21	5,38	921—1 120
SrCl <sub>2</sub> / $^{36}Cl^-$	0,77	6,88	912—1 157
BaCl <sub>2</sub> / $^{140}Ba^{2+}$	0,64	8,96	994—1 207
BaCl <sub>2</sub> / $^{36}Cl^-$	2,0	9,48	993—1 203

Vîscozitatea electroliților topiți variază cu temperatura într-un mod asemănător cu variația termică a autodifuziei. La electroliți lichizi simpli, neasociați, coeficientul de vîscozitate  $\eta$  depinde de temperatură în felul următor:

$$\eta = \eta_0 \exp (+ E_{\eta}^{\#}/RT), \quad (7.3)$$

unde  $E_{\eta}^{\#}$  este energia de activare a scurgerii vîscoase, iar  $\eta_0$  este o mărime analoagă lui  $D_0^{\#}$ ; deosebirea față de ecuația (7.2) constă în semnul exponențialei. În tabelul 7.9 sînt date vîscozitățile și energiile de activare  $E_{\eta}^{\#}$  ale unor electroliți simpli topiți.

Tabelul 7.9

Vîscozități și energii de activare  $E_{\eta}^{\#}$  ale unor electroliți topiți

Sare	$\eta$ (cpoise)	$t(^{\circ}\text{C})$	$E_{\eta}^{\#}$ (kcal/mol $^{-1}$ )
NaCl	1,05	900	9,1
NaBr	1,43	755	8,0
KCl	1,51	773	7,8
KBr	1,57	730	7,5
AgCl	1,66	600	2,9
AgBr	2,27	600	3,1
PbCl <sub>2</sub>	2,75	550	6,7
PbBr <sub>2</sub>	2,98	600	6,2
CdCl <sub>2</sub>	2,31	600	4,0
CdBr <sub>2</sub>	2,61	600	4,5

### 7.3.2 CONDUCTIBILITATEA ELECTROLIȚILOR LICHIZI PURI

Conductibilitatea electrolică a sărurilor topite este proprietatea de transport cea mai ușor măsurabilă. Studiul conductibilității electrice prezintă o mare importanță teoretică, deoarece permite elucidarea genului de legături interatomice din moleculă. De asemenea trebuie relevată și importanța sa practică, în cadrul eforturilor de îmbunătățire a randamentelor din celulele de electroliză în topitură. Referitor la cel de al doilea aspect, trebuie spus că în general o bună conductibilitate electrică permite mărirea distanței interelectrodice și prin aceasta ameliorarea randamentului de curent al electrolizei. Pe de altă parte, în condiții identice, o conductibilitate mai ridicată favorizează densități de curent ridicate și implicit productivități mai mari ale celulei de electroliză.

Conductibilitățile echivalente ale unor cloruri topite sînt date în tabelul 7.10; linia frîntă separă clorurile covalente de cele ionice, reflectată pregnant de ordinele de mărime diferite ale lui  $\Lambda$ . Din datele tabelului 7.10 se degajă următoarele două concluzii: conductibilitatea echivalentă



Valorile lui  $n$  din relația  $\Delta^n \eta = \text{const.}$   
pentru cîteva săruri topite

Sarea :	KBr	KI	NaI	CuCl	CaCl <sub>2</sub>	CdCl <sub>2</sub>
$n$ :	2,81	2,28	3,40	4,46	1,86	1,86

Măsurarea conductibilității electrice a topiturilor se face de obicei în vas de platină, care servește în același timp și ca electrod. Celălalt electrod se fixează în centrul vasului printr-un orificiu practicat în capacul vasului de platină. Capacitatea vasului de platină se determină cu ajutorul unei topituri a cărei  $\lambda$  se cunoaște foarte bine. Vasul de conductibilitate poate fi confecționat și din alte materiale cum ar fi grafit, ceramică, azotură de bor etc.

Ca și în cazul celorlalte mărimi de transport și conductibilitatea echivalentă multor topituri de electroliți puri variază exponențial cu temperatura, după expresia :

$$\Lambda = \Lambda_0 \exp \left( - (E_{\Delta}^{\#} / RT) \right). \quad (7.5)$$

### 7.3.3 NUMERE DE TRANSPORT ÎN ELECTROLIȚI TOPIȚI

Numerele de transport  $t_-$  și  $t_+$  ale speciilor anionice și respectiv cationice dintr-un electrolit topit pur, se exprimă în modul cunoscut :

$$t_- = \frac{u_-}{u_+ + u_-} \quad \text{și} \quad t_+ = \frac{u_+}{u_+ + u_-}.$$

Pentru determinarea lor se efectuează electroliza topituri în anumite condiții. Să presupunem, de exemplu, că într-un tub în formă de  $U$  se găsește topitura sării  $MX$ , în care se găsesc introdusi electrozi de metal  $M$ , legați la o sursă de curent continuu,  $Ac$  (fig. 7.8). Dacă prin circuit s-a scurs cantitatea de electricitate de  $1F$ , la catod se va depune 1 echivalent gram de ioni  $M^+$ , iar la anod se va dizolva cantitatea echivalentă de ioni  $M^+$ , astfel că, în sistem, cantitatea totală de ioni  $M^+$  a rămas neschimbată. Trecerea curentului prin sistem a creat, lângă catod, un exces de anioni, iar în preajma anodului un exces de cationi. Dezechilibrarea electroneutralității soluției determină apariția unui cîmp, care la rîndul său va pune în mișcare ionii topituri, pentru ca electroneutralitatea să fie restabilită. Mișcarea ionilor nu se va solda cu modificarea concentrației în spațiile anodic și catodic, ci cu o creștere a masei de electrolit topit la anod (v. fig. 7.8). Din cauza gravitației, nivelele în cele două ramuri nu vor rămîne diferite și se vor egaliza, îngreunînd determinările. Se încearcă evitarea acestui neajuns prin introducerea unei membrane poroase la mijlocul tubului (fig. 7.8) sau prin folosirea unui aparat de genul celui schițat în fig. 7.9. Ambele soluții sînt criticate însă ; cea dintîi pentru că ar introduce perturbări hidrodinamice în scurgerea lichidului, iar a doua

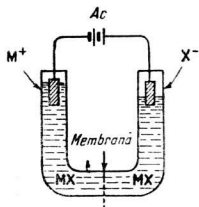


Fig. 7.8 Electroliza sării topite MX

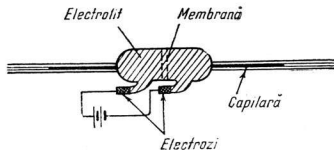


Fig. 7.9 Aparat conceput pentru a evita efectul gravitației la determinarea numerelor de transport în topituri saline.

pentru că este asociată cu mișcarea întreruptă, și nu continuă, a topiturii în capilară.

Mișcarea lichidului dinspre compartimentul catodic spre cel anodic poate fi urmărită cu ajutorul trasorilor radioactivi.

Tabelul 7.12 conține câteva numere de transport  $t_+$  determinate în săruri topite.

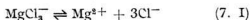
În amestecurile de săruri topite transportul curentului de către o specie dată de ioni nu este urmat în mod necesar de descărcarea pe catod; majoritatea curentului poate fi transportată de un tip de ioni, iar ionul care se descarcă pe electrozi poate fi de alt tip, depunerea depinzând de potențialul de descărcare al ionului.

În cazul cel mai simplu, al electrolizei clorurilor alcaline sau alcalino-pămîntoase, la transportul curentului și la descărcarea pe electrozi participă aceiași ioni. Dar la electroliza unor săruri complexe, cum ar fi  $\text{KMgCl}_3$ , majoritatea curentului catodic este transportată de  $\text{K}^+$  pe cînd ionilor  $\text{Mg}^{2+}$  le revine o fracțiune mult mai mică, deoarece  $t_{\text{K}^+} = 0,70$ , iar  $t_{\text{Mg}^{2+}} = 0,14$ ; la electroliza  $\text{KMgCl}_3$ , pe catod se descarcă  $\text{Mg}^{2+}$  iar pe anod  $\text{Cl}^-$ . Determinările de numere de transport în topitura de carnalită ( $\text{KMgCl}_3$ ) sugerează existența a mici cantități de ioni complecși  $\text{MgCl}_3^-$ , care participă și ei la transportul curentului anodic. Deoarece ei provin din ioni simpli  $\text{Mg}^{2+}$  și  $\text{Cl}^-$ , echilibrul:

Tabelul 7.12

Numeri de transport  $t_+$  determinate în câteva topituri saline

Sarea	$t_+$
$\text{LiNO}_3$	0,84
$\text{NaNO}_3$	0,71
$\text{AgNO}_3$	0,72
$\text{NaCl}$	0,87
$\text{KCl}$	0,77
$\text{AgCl}$	0,54



va fi deplasat spre dreapta pe măsură ce se desfășoară electroliza.

Prezența unor oxizi dizolvați în sarea topită, complică și mai mult mecanismul transportului curentului. Un interes practic deosebit prezintă cazul sistemului criolită-oxid de aluminiu ( $\text{Na}_3\text{AlF}_6 + \text{Al}_2\text{O}_3$ ).

În rețeaua cristalină a criolitei există ionii octaedrici  $\text{AlF}_6^{3-}$  și  $\text{Na}^+$ , iar legă-

tura dintre  $\text{Al}^{3+}$  și  $\text{F}^-$  este mai trainică decît cea dintre  $\text{Na}^+$  și  $\text{F}^-$ . Caracterul parțial ionic al legăturii Al-F, facilitează disocierea ionului complex  $\text{AlF}_6^{3-}$  în ionii simpli  $\text{Al}^{3+}$  și  $\text{F}^-$ :



În nodurile rețelei  $\text{Al}_2\text{O}_3$  se găsesc numai ionii  $\text{Al}^{3+}$  și  $\text{O}^{2-}$ . De aceea, la dizolvarea  $\text{Al}_2\text{O}_3$  în criolită topită, în soluție diluată, se vor găsi ioni  $\text{Al}^{3+}$  și  $\text{O}^{2-}$ , ceea ce este atestat și de măsurători crioscopice.

Prin creșterea concentrației aluminei, în urma puternicei interacțiuni dintre ionii  $\text{Al}^{3+}$  și  $\text{O}^{2-}$ , în topiturile alumo — criolitice se formează, în cantități determinate, și ioni complecși de tipul  $\text{AlO}_2^-$  și  $\text{AlO}^+$ ; ei se găsesc în echilibru cu ionii simpli  $\text{Al}^{3+}$  și  $\text{O}^{2-}$ :



Astfel, în cazul general, topitura de  $\text{Al}_2\text{O}_3 + \text{Na}_3\text{AlF}_6$  conține ionii  $\text{Al}^{3+}$ ,  $\text{Na}^+$ ,  $\text{F}^-$  și  $\text{O}^{2-}$ , precum și  $\text{AlF}_6^{3-}$ ,  $\text{AlO}_2^-$  și  $\text{AlO}^+$  care după stabilirea cîmpului electric, participă la transportul curentului. Frațiunea ce revine fiecărui ion este determinată de mobilitatea, sarcina și concentrația sa. În principal, curentul va fi transportat de ionii  $\text{Na}^+$ ,  $\text{F}^-$  și  $\text{AlF}_6^{3-}$  și se descarcă, conform potențialelor de depunere, numai ionii  $\text{Al}^{3+}$  și  $\text{O}^{2-}$ . Din acest motiv echilibrele ionilor complecși se vor deplasa spre dreapta.

În urma migrării ionilor spre electrozi și datorită descărcării unora din ei, compoziția catolitului se va modifica față de cea a anolitului. Astfel, în special în urma transferului spre catod a ionilor  $\text{Na}^+$  și a descărcării ionilor  $\text{Al}^{3+}$  și a migrării din spațiul catodic a anionilor  $\text{AlF}_6^{3-}$ ,  $\text{F}^-$  și  $\text{O}^{2-}$ , catolitul se îmbogățește în ioni  $\text{Na}^+$ . Corespunzător, în urma migrării spre anod a ionilor  $\text{AlF}_6^{3-}$  și  $\text{F}^-$ , a descărcării anodice a ionilor  $\text{O}^{2-}$  și a părăsirii acestui spațiu de către cationii  $\text{Al}^{3+}$  și  $\text{Na}^+$ , anolitul se va îmbogăți în ionii  $\text{AlF}_6^{3-}$  și  $\text{F}^-$ .

Distanța mică dintre anod și catod în celula de electroliză industrială, absența diafragmei și puternica circulație a electrolitului cauzează egalarea compoziției acestuia și în condiții normale de lucru, creșterea concentrației ionilor  $\text{Na}^+$  (la catod) și a ionilor  $\text{AlF}_6^{3-}$  și  $\text{F}^-$  (la anod) nu poate avea loc. Dar dacă spațiul catodic se separă de cel anodic printr-o diafragmă, deosebirea dintre catolit și anolit este observabilă.

Relația liniară  $\lg \lambda = A - \frac{B}{T}$ , unde  $A$  și  $B$  sînt constante, și care provine de la ecuația (7.4), a putut fi verificată și la amestecuri de săruri topite (fig. 7.10).

În anumite cazuri, se poate folosi următoarea relație dintre conductivitatea  $\lambda$  a amestecului și conductivitățile  $\lambda_1$  și  $\lambda_2$  ale componentilor prezenți în topitură cu fracțiile molare  $x_1$  și respectiv  $x_2$ :

$$\lambda = x_1\lambda_1 + x_2\lambda_2. \quad (7.5)$$

Relația presupune disocierea completă și neperturbată a sărurilor componente ale amestecului și aditivitatea volumelor molare.

Adaosul de alte fluoruri, cum ar fi  $\text{CaF}_2$  la topitura de criolită + alumina, nu modifică, în principiu, mecanismul electrolizei. Prin dizolvarea



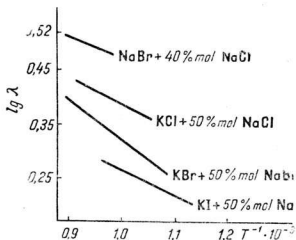


Fig. 7.10. Variația  $\lg \lambda$  în funcție de  $T^{-1}$  la câteva amestecuri binare de halogenuri.

$\text{CaCl}_2$ , aceasta generează ionii suplimentari  $\text{F}^-$  și  $\text{Ca}^{2+}$ , care participă la transportul curentului în celula de electroliză. În mod analog se comportă și alte săruri care conțin fluor ( $\text{MgF}_2$ ,  $\text{AlF}_3$ ,  $\text{NaF}$ ,  $\text{LiF}$ ).

Sub acțiunea cîmpului electric constant, în topitură migrează nu numai ioni, ci și particule solide, care adsorb la suprafața lor ioni pozitivi sau negativi (electroforeză). Electroforeza, destul de bine studiată în soluție apoasă, este aproape complet nestudiată în topitură.

Diversi autori au efectuat unele cercetări asupra cataforezei particulelor de  $\text{MgO}$  încărcate pozitiv în topitura de  $\text{MgCl}_2$ ,  $\text{KCl}$  și  $\text{NaCl}$ , cu scopul de a stabili cauzele formării pe suprafața catodilor de fier din băile de magneziu, a unei pelicule pasive de oxid. Viteza de mișcare,  $v$ , a particulelor solide sferice, în timpul electroforezei se determină cu ajutorul relației:

$$v = \frac{\zeta DE_B}{6\pi\eta l}, \quad (5.115)$$

unde  $\zeta$  este potențialul electrocinetic;  $D$  — constanta dielectrică;  $E_B$  — căderea de potențial;  $\eta$  — vîscozitatea lichidului, iar  $l$  — distanța dintre electrozi.

Luînd în considerare această relație, rezultă că viteza de mișcare a particulelor solide în cîmpul electric este cu atît mai mare cu cît  $\zeta$  este mai mare, pentru  $D$ ,  $E_B$ ,  $\eta$  și  $l$  constante, și cu atît mai mică cu cît este mai mare vîscozitatea topiturii și distanța dintre electrozi.

Cercetarea cataforezei  $\text{MgO}$  s-a efectuat la  $750^\circ\text{C}$  și la diferențe de potențial mai mici decît diferența de potențial de descompunere a  $\text{MgCl}_2$ . Pe suprafața catodilor de fier se formează întotdeauna un strat de oxid a cărui desime și grosime depind de tensiunea aplicată la electrozi. Astfel, la tensiuni cuprinse între 0 și 1 V, pe catod se obține un strat foarte subțire de oxid; la 1,5 V pe catod se depune un strat de oxid mult mai dens, a cărui masă medie este  $0,0053 \text{ g/cm}^2$ . La tensiunea de 2 V, masa stratului de oxid este de  $0,246 - 0,505 \text{ g/cm}^2$ ; creșterea tensiunii intensifică procesul de cataforeză și în consecință stratul de oxid de pe catod crește.

## 7.4 POTENȚIALE DE ELECTROD ÎN TOPITURI

Potențialul de electrod metal-topitura sării metalului este măsurat de diferența dintre potențialele chimice ale ionului în rețeaua cristalină a metalului și în topitura sării.

Deocamdată în electrochimia sărurilor topite nu există un electrod de referință unanim admis, așa cum există pentru soluțiile apoase electrodul de hidrogen. De aceea în topituri nu există încă nici potențiale de electrod unanim acceptate. Dar necesitățile științifice, precum și cele practice au impus compararea potențialelor de electrod din diversele sisteme de săruri topite, ceea ce a dus la obținerea de valori care diferă, la același sistem, după electrodul de referință ales. Dacă se alege același electrod de referință potențialele se pot calcula și compara fără mari dificultăți. Marele număr al electrozilor de referință complică însă mult problema atât practic cât și științific. De aceea, în perspectiva viitoarelor cercetări în electrochimia topiturilor, adoptarea unui electrod de referință trebuie să rămână în atenția oamenilor de știință.

O reprezentare aproximativă asupra mărimilor relative ale potențialelor, precum și asupra seriilor electrochimice, privind metalele cât și nemetalele în săruri topite, se poate obține pe baza potențialelor de descompunere.

Valori mult mai precise dau însă cercetările potențimetrice, relativ recente.

### 7.4.1 PROPRIETĂȚILE ELECTROZILOR DIN TOPITURI SALINE CLASIFICAREA ELECTROZILOR

Studiul proprietăților electrozilor este direct legat de elucidarea funcțiilor lor electrodice, adică a dependenței potențialului de natura ionilor care-l determină, temperatură, presiune, compoziția fazei gazoase și condensate. Această dependență este strâns legată de procesele de electrod care au loc la transformarea energiei chimice în energie electrică în semielementul galvanic dat precum și de starea electrodului la echilibru.

Clasificarea electrozilor se poate face în funcție de natura ionilor în raport cu care sînt reversibili. Pe baza acestui criteriu, distingem electrozi reversibili în raport cu ioni pozitivi, reversibili în raport cu ioni negativi și electrozi cu funcție de electrod mixtă.

În cea dintîi categorie intră electrozii metalici înconjurați de topitura care conține ionii metalului dat la o concentrație oarecare, precum și electrozii cu membrană, reversibili în raport cu ionii metalelor alcaline. Din a doua categorie fac parte electrozii de halogen, de oxigen (sau aer) și cîțiva electrozi refractari, funcționînd ca electrozi de oxigen. Electrozii avînd funcția de electrod mixtă sînt reversibili atât în raport cu ioni pozitivi cât și negativi. Aceștia sînt constituiți dintr-un fir de metal care nu trimite ioni proprii în topitură și servesc doar ca transmițători de electroni. Asemenea electrozi se realizează cu Pt, Au, W, Mo, precum și citeva materiale refractare avînd o bună conductibilitate electronică.

La studiul sau la alegerea electrozilor apar o serie de dificultăți în legătură cu agresivitatea mediului și greutățile de termostatare, în deosebi la temperaturi ridicate. Funcționarea electrozilor, în special a celor de referință, trebuie să fie legată de anumite cerințe exprese cum sînt: o bună reversibilitate, o bună reproductibilitate, stabilitatea potențialului în condiții identice de lucru (nepolarizabilitate) și o realizare experimentală simplă.

După cum se știe, potențialul  $\varepsilon$  al electrodului reversibil este o funcție termodinamică de concentrația  $c$ , presiunea  $p$  și temperatura  $T$ , adică

$$\varepsilon = f(c, p, T)$$

(7.6)

Pentru verificarea reversibilității reacției potențial-active a electrodului se poate recurge la măsurarea *FEM* a unei pile de concentrație. Pentru asemenea pile, funcționind fără transport, *FEM* se calculează cu formula cunoscută:

$$E = \frac{RT}{zF} \ln \frac{c_2}{c_1} \quad (7.7)$$

și trebuie să concorde cu datele experimentale. În cazul concordanței, electrodul este reversibil. Totuși trebuie avută în vedere și nereversibilitatea aparentă, când neconcordanța dintre concentrație și activitate se datorează formării de ioni complecși sau unei asocieri ionice. De aceea, la confecționarea electrozilor de referință în topituri se evită ionii generatori de complecși și cei care prezintă proprietăți polarizante accentuate. Aceste condiții sînt satisfăcute, de exemplu, de electrodul de Na. În practică, electrodul de Na a fost utilizat numai asociat cu o membrană de sticlă și în variante cînd Na pur a fost înlocuit cu un aliaj al acestuia (de exemplu cu Hg, Sn ș.a.). Domeniul de concentrație se alege astfel ca activitatea să poată fi considerată egală cu concentrația. Dacă în aceste condiții *FEM* a pilei de concentrație coincide cu cea calculată, nu există dubii asupra reversibilității electrodului. La electrozii de gaz (de exemplu Cl<sub>2</sub>, O<sub>2</sub>, H<sub>2</sub>), se verifică totodată și reversibilitatea lor în raport cu presiunea parțială a gazului.

Deoarece polarizarea electrozilor este legată de proprietățile lor chimice, de starea de agregare și proprietățile electrolitului, în unele cazuri este dificilă găsirea unui electrod nepolarizabil. Acest inconvenient se poate evita în parte prin mărirea sau reinnoirea suprafeței electrodului (depolarizare mecanică). Pe lîngă depolarizarea mecanică mai este posibilă și o depolarizare chimică sau electrochimică.

Folosirea într-una și aceeași experiență a mai multor electrozi de referință permite descoperirea celui care nu funcționează reversibil și de asemenea eliminarea erorilor experimentale, calculîndu-se o valoare medie a *FEM* din datele obținute.

## 7.4 1.1. Electrozi metalici

Utilizarea acestui tip de electrozi se bazează pe măsurătorile de *FEM* ale pilei galvanice Iacob-Daniell:

$$M_1/M_1^{z_1+} / M_2^{z_2+} / M_2.$$

La urmărirea polarizării catodice în timpul electrolizei ignee ca electrod de referință se alege același metal care se separă la catod. Printre cei mai utilizați s-au dovedit electrozii de Pb, Ag, Pt. Acesta din urmă, sub formă Pt-Pt<sup>2+</sup> s-a dovedit foarte util în studiile polarografice (Laitinen). La măsurătorile de acest gen este jenantă apariția potențialelor de la limita de separare a celor doi electroliți topiți (potențial de difuzie sau de joncțiune). Atunci însă cînd compozițiile electroliților din cele două semielemente nu diferă mult, cum este în cazul cînd una și aceeași sare servește drept solvent în ambele și se găsește în mare exces, valoarea potențialului de joncțiune este redusă și se poate neglija.

### 7.4.1.2 Electrozi de gaz

Din această categorie fac parte electrodul de oxigen și cei de halogeni. Electrodul de gaz constă dintr-o baghetă de metal inert sau de grafit, spălată (în topitură) de un curent de oxigen sau halogen gazos. În electrochimia topiturilor, dintre toți electrozii de halogen, cea mai mare răspîndire a primit-o electrodul de clor, reversibil în raport cu ionii Cl<sup>-</sup>. Condițiile de reversibilitate, ușor de realizat la acesta prin prelucrarea prealabilă scrupuloasă a baghetei de grafit, deshidratarea topiturii ionice și o polarizare anodică îndelungată, sînt mai greu de atins la electrozii de brom și de iod.

Electrodul de oxigen prezintă un interes deosebit pentru topiturile sărurilor oxigenate sau ale oxidilor. El se bucură de o situație specială întrucît, intră în alcătuirea pilelor de combustie fierbinți, care lucrează la temperatură mare. Deși construit încă din anul 1921 (E. Baur), electrodul de oxigen în topituri ionice nu a cunoscut pînă azi o prelucrare teoretică satisfăcătoare.

toare. După natura gazului care scaldă electrodul ( $O_2$  pur sau aer) și a materialului folosit pentru preluarea potențialului, se disting următoarele tipuri de electrozi:

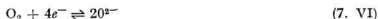
a) metale inerte (argint, aur, platină), scăldate de oxigen;

b) cărbune spălat de amestecul gazos de echilibru  $CO + CO_2$ , adică atunci când compoziția corespunde echilibrului:



c) metale inerte, aflate în echilibru cu topitură ionică și aer.

Pe electrodul metalic inert, scăldat de oxigen și scufundat în topitura ionică, se stabilește echilibrul:



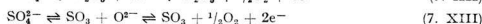
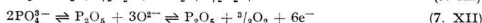
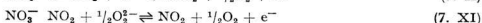
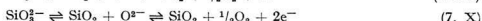
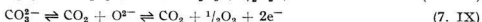
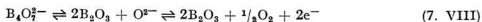
Dependența potențialului unui asemenea electrod de activitatea ionilor de oxigen din topitură se exprimă prin egalitatea:

$$\varepsilon = \varepsilon^\circ - \frac{0,059}{z} \lg a_{O^{2-}}. \quad (7.8)$$

La verificarea experimentală a acestei ecuații s-a găsit că valoarea lui  $z$  este foarte apropiată de 4, ceea ce constituie o dovadă pentru echilibrul  $O_2 + 4e^- \rightleftharpoons 2O^{2-}$ . Prezența ionilor  $O^{2-}$  în topiturile ionice poate rezulta de pe urma mai multor procese. Astfel, dacă în topitura ionică se solvă oxizi metalici, ionii  $O^{2-}$  provin din disocierea electrolitică a oxizilor; de exemplu:



Dacă electrodul de oxigen este scufundat într-o topitură conținând borați, carbonați, silicați, azotați, fosfați, sulfați sau alți anioni ce conțin oxigen, atunci prezența ionilor  $O^{2-}$  se explică prin echilibre de tipul:



Sînt posibile și echilibre de genul următor:



electrodul de oxigen va fi întotdeauna reversibil în raport cu asemenea săruri topite, iar dependența de concentrație a potențialului de electrod, determinată din activitatea ionilor de oxigen va fi legată de caracterul echilibrului ionic care-i generează.

### 7.4.1.3 Electrozi mieși

Un mare neajuns al electrozilor de oxigen, spălați cu oxigen (ca și al altor electrozi gazoși) îl constituie marea sensibilitate la presiunea parțială a oxigenului (sau a gazului în general). Aceasta din urmă depinde de mulți factori, printre care și viteza cu care gazul traversează electrodul. Greutatea stăpînirii condițiilor experimentale care să garanteze constanta potențialului de electrod la temperaturi ridicate, nu permite o precizie mai mare de  $\pm 0,005$  V în măsurătorile de *FEM*. Din acest punct de vedere, electrodul de platină aflat în echilibru

cu topitura salină și cu aerul prezintă un deosebit interes. În acest caz nu mai este necesară menținerea (artificială) a presiunii parțiale de oxigen, întrucât presiunea parțială a oxigenului atmosferei este constantă. Realizarea experimentală a unui asemenea electrod este extrem de simplă: un fir sau o plăcuță de platină, scufundată în topitura salină. S-a găsit că un asemenea electrod se supune unei funcții mixte de electrod (de metal alcalin, de halogen și de oxigen). În condiții determinate una din aceste funcții poate fi dominantă. Astfel, dacă platina metalică se înconjoară cu topitură salină constând dintr-un amestec de cloruri de diverse metale, inclusiv cloruri alcaline, atunci în funcție de condiții, se pot manifesta următoarele funcții de electrod:

- funcția metalului alcalin, în atmosferă de gaz inert (argon);
- funcția de halogen, în contact cu aerul atmosferic, în absența din topitura salină a combinațiilor oxigenate și în prezența unor cloruri topite;
- funcția de oxigen, în contact cu aerul atmosferic și în prezența unor combinații oxigenate topite. Comportamente oarecum similare manifestă și alte metale inerte, cum sînt Au, W, Mo. Electrozii realizați cu aceste metale se mai numesc și indiferenți. Electrozii indiferenți ideali nu generează ioni proprii în topitură. Ei constituie furnizori de electroni, astfel că la suprafața lor sînt posibile diverse reacții electrochimice. În prezența aerului potențialele lor nu sînt identice în topitură, diferențele depinzînd de compoziția și temperatura electrolitului și natura metalului. Potențiale apropiate prezintă perechile Au Pt și Mo W.

Electrozii indiferenți se întrebuințează ca electrozi de referință și ca electrozi indicatori la studiul solubilității metalelor în săruri topite.

#### 7.4.1.4 Electrozi cu membrană

Se cunosc două genuri de electrozi cu membrană, după cum în calitate de membrană se folosește sticlă sau porțelan.

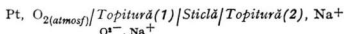
Ideea folosirii electrodului de sticlă a fost inspirată de electrochimia apoasă, unde el se folosește ca electrod reversibil de hidrogen, mult mai convenabil decît electrodul de platină-hidrogen. În mediu apos a fost studiată și funcția de sodiu a sticlei, în soluție de NaCl. În topitură însă, electrodul de sticlă este studiat numai ca electrod de Na.

Se disting electrozi de sticlă cu umplutură și fără umplutură. Ca umplutură se folosesc aliaje de Na (Hg-Na, Sn-Na, Pb-Na) sau amestecuri eutectice cum ar fi  $\text{CaCl}_2\text{-NaCl}$  și  $\text{SrCl}_2\text{-KCl-NaCl}$ . Ca metale de contact servesc Pt, Mo, Fe (pentru aliaje) sau Pt la amestecurile de săruri.

Cînd umplutura e un aliaj, potențialul de electrod se exprimă prin egalitatea:

$$\varepsilon = \varepsilon^\circ + \frac{RT}{\mathcal{F}} \ln \frac{a_{\text{Na}^+(\text{top})}}{a_{\text{Na}(\text{met. aliaj})}}. \quad (7.9)$$

Atunci cînd umplutura este un amestec de săruri topite, iar metalul de contact platină, electrodul este alcătuit din următorul semielement:



al cărui potențial este egal cu următoarea sumă a căderilor de potențial:

$$\varepsilon = \varepsilon_1 + \varepsilon_2 + \varepsilon_3, \text{ unde} \quad (7.10)$$

$$\varepsilon_1 = \varepsilon_1^\circ - \frac{RT}{2\mathcal{F}} \ln a_{\text{O}_2}, \quad (7.11)$$

$$\varepsilon_2 = \varepsilon_2^\circ + \frac{RT}{\mathcal{F}} \ln \frac{a_{\text{Na}^+(\text{sticlă})}}{a_{\text{Na}^+(\text{top1})}}, \quad (7.12)$$

$$\varepsilon_3 = \varepsilon_3^\circ + \frac{RT}{\mathcal{F}} \ln \frac{a_{\text{Na}^+(\text{top. 2})}}{a_{\text{Na}^+(\text{sticlă})}}. \quad (7.13)$$

Suma este de forma:

$$\varepsilon = \varepsilon^{\circ} - \frac{RT}{2\mathcal{F}} \ln a_{O^{2-}} + \frac{RT}{\mathcal{F}} \ln \frac{a_{Na^{+}(top2)}}{a_{Na^{+}(top1)}}, \quad (7.14)$$

sau

$$\varepsilon = \varepsilon^{\circ} - \frac{RT}{\mathcal{F}} (0,5 \ln a_{O^{2-}} - \ln a_{Na^{+}(top2)} + \ln a_{Na^{+}(top1)}) \quad (7.14 a)$$

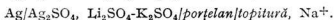
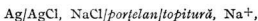
unde

$$\varepsilon^{\circ} = \varepsilon_1^{\circ} + \varepsilon_2^{\circ} + \varepsilon_3^{\circ}. \quad (7.15)$$

La presiune atmosferică și temperatură constante,  $a_{Na^{+}(top1)}$  și  $a_{Na^{+}(top2)}$  sînt constante, iar  $\varepsilon$  devine constant.

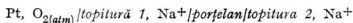
La baza elaborării electrodului de porțelan se găsește ideea unor asemănări dintre compozițiile și comportările sticlei și porțelanului. În compoziția porțelanului intră  $Na_2O$ , care la temperaturi ridicate prezintă o bună conductibilitate electrică.

Primii electrozi de referință din porțelan au fost destinați temperaturilor înalte și se pot simboliza în felul următor:



Atunci cînd argintul se găsește în stare topită ( $t > 960^{\circ}C$ ), contactul se realizează cu platina. Electrozii erau umpluți cu argon și închiși ermetic prin topirea ambelor capete ale tubului de porțelan. Potențialul de asimetrie (reproductibilitatea) electrozilor de Ag-porțelan menționați este de 5–10 mV pînă pe la  $700^{\circ}C$  și de 20–100 mV la temperaturi de  $1300^{\circ}C$ .

Următorul electrod de porțelan:

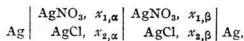


a fost experimentat în domeniul cuprins între  $550^{\circ}C$  și  $650^{\circ}C$ . Ca umplutură s-au folosit amestecurile eutectice de  $CaCl_2-NaCl$  și  $SrCl_2-KCl-NaCl$ , introduse într-un tub de porțelan, închis la capătul inferior, care se scufundă în topitura de studiat 2, ce conține ioni  $Na^{+}$ ; electrolitul din interiorul tubului, unde se găsește firul de platină, este în contact cu aerul atmosferic. Potențialul de asimetrie pentru un asemenea electrod variază cu timpul și de la o experiență la alta, cu valori cuprinse între 0 și 25 mV.

## 7.5. PILE GALVANICE CU ELECTROLIT TOPIT

Studiul pilelor galvanice cu electroliți topiți constituie una din direcțiile principale de cercetare în electrochimia topiturilor. Variația *FEM* în funcție de compoziție, temperatură sau alți factori este urmărită pentru a se obține date utile asupra unor procese de electrod cu importanță practică și teoretică. Se pot distinge pile cu joncțiune lichidă, pile de formare, foarte studiate și pile de combustie.

Principalele pile cu joncțiune lichidă sînt cele de concentrație și pilele Iacobson-Daniell. Un exemplu de pilă de concentrație este:



unde cu  $x_{i,\alpha}$  și  $x_{i,\beta}$  s-au notat fracțiile molare ale sărurilor de argint  $i$  în cele două compartimente electrodice  $\alpha$  și  $\beta$ . Diferența de potențial măsurată la bornele pilei se datorează pe de o parte diferenței de poten-

țial chimic a argintului din cele două compartimente și pe de altă parte potențialului de difuzie cauzat de gradientii de concentrație ce se manifestă în vecinătatea interfeței (joncțiune) dintre electroliți. Potențialul de difuzie existent între compartimentele electrodice  $\alpha$  și  $\beta$  legate între ele printr-o joncțiune lichidă, se poate calcula cu expresia (2.108).

Realizând ambele compartimente de electrod soluții diluate de  $\text{AgCl}$  în  $\text{AgNO}_3$ ,  $FEM$  a pilei se poate calcula aproximativ cu egalitatea:

$$E = \frac{RT}{\mathcal{F}} \frac{u_{\text{Cl}^-, \text{NO}_3^-}}{u_{\text{Ag}^+, \text{NO}_3^-}} - \frac{c_{\text{Cl}^-}^\alpha \cdot c_{\text{Cl}^-}^\beta}{c_{\text{Ag}^+}} \quad (7.16)$$

unde  $u_{\text{Cl}^-, \text{NO}_3^-}$  și  $u_{\text{Ag}^+, \text{NO}_3^-}$  reprezintă mobilitățile ionilor  $\text{Cl}^-$  și respectiv  $\text{Ag}^+$  raportate la cea a ionului  $\text{NO}_3^-$ .

Concordanța dintre datele experimentale și valorile calculate nu este întotdeauna satisfăcătoare la acest gen de măsurători.

În celălalt tip de pilă cu joncțiune lichidă, pila de tip I a c o b i-D a n i-e l l,  $FEM$  are la bază reacția redox întâlnită în secțiunea 5.1.3.3. Cel mai simplu exemplu este următorul:



Joncțiunea se realizează în diverse moduri: fie folosind capilare ce leagă cele două compartimente, fie discuri de sticlă sinterizată (frită), fie suprapunerea sării mai puțin dense peste cea mai densă. Rareori neglijabil, potențialul de difuzie este uneori apreciabil, cifrându-se la câteva sute de mV; acordul dintre valorile teoretice și cele măsurate experimental este sporadic, ceea ce explică evitarea acestui gen de pile în determinările unor mărimi termodinamice precise.

Interesul deosebit pe care-l suscită pilele de formare este justificat de concordanța mai bună între teorie și practică. Ele se întâlnesc la majoritatea proceselor electrochimice care cunosc o exploatare industrială, cum ar fi electroliza topiturilor de  $\text{NaOH}$ ,  $\text{NaCl}$ ,  $\text{LiCl}$ ,  $\text{CaCl}_2$ ,  $\text{MgCl}_2$ , a  $\text{Al}_2\text{O}_3$  dizolvat în criolită etc. Dar și cele mai simple pile de formare, a căror simbolizare este:



unde A este un metal, iar C un electrod de gaz, nu reproduc valorile teoretice decât în limitele a câtorva mV. S-a observat că, în general, neconcordanța, este cu atât mai pronunțată cu cât temperatura este mai ridicată. Tabelul 7.13 arată variația  $FEM$  cu temperatura, la pila



mult studiată și avînd poate cele mai bine caracterizate și mai reversibile potențiale de electrod în topitură. În ultimul șir figurează valorile calculate din date termodinamice.

În parte, responsabilitatea dezacordului revine electrodului de clor, a cărui depărtare de reversibilitate e cu atât mai pronunțată cu cât temperatura este mai ridicată.

Pile de formare mai complicate conțin amestecuri binare de săruri topite, care au un cation sau un anion comun. În acestea  $FEM$  este legată de

Variația cu temperatura a  $FEM$ ,  $E$ , a pilei  $Ag/AgCl/Cl_2$

E (mV)					Determinată de
la 500	600	700	800	900°C	
895,0	868,4	842,1	815,8	789,5	Senderoff și Mellors (1958)
898,3	869,0	841,1	814,7	789,8	Panish ș.c. (1958)
893,9	864,5	838,5	816,0	796,5	Leonardi și Brenet (1965)
890,8	863,4	835,9	808,3	780,7	Murgulescu și Sternberg (1957)
899,7	871,1	842,5	814,0	785,4	Salstrom (1934)
898,8	865,8	832,7	799,7	766,6	Stern (1956)
896	870	848	826	805	Din date termodinamice

variația de entalpie liberă molară parțială  $\Delta\mu_i$  a sării față de care electrozii sînt reversibili, prin cunoscuta ecuație:

$$\Delta\mu_i = -zFE \quad (7.17)$$

Dacă de exemplu în pila de formare:



electrozii sînt reversibili în raport cu AC, avem  $i = AC$ ; evident, este necesară alegerea unui metal anodic A mai nobil decît metalul B din sarea BC, pentru a se evita reacția de deplasare  $A + B^{z+} \rightarrow A^{z+} + B$ . Multe măsurători s-au efectuat în pilele galvanice realizate cu topitură alumo-criolitică, urmărindu-se influența asupra  $FEM$  a unor factori cum sînt natura electrozilor, compoziția electrolitului, temperatura.

Iată cîteva rezultate ale acestor măsurători efectuate în preajma temperaturii de 1000°C.

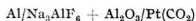
$FEM$  a pilei:



se stabilește la valoarea de 2,12 — 2,14 V și este în bun acord cu mărimea calculată din date termodinamice. Acest fapt atestă că procesul electro-motric activ constă în formarea  $Al_2O_3$ :



$FEM$  a pilei

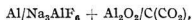


este de 1,10 — 1,11 V și coincide cu mărimea calculată din variația de entalpie liberă a reacției:





În cea de-a doua pilă,  $\text{CO}_2$  este electrochimic activ la anod. Aceeași *FEM* se atinge și de sistemul:



unde în locul platinei de la anod, figurează grafitul. Este adevărat că inițial *FEM* este mai ridicată (1,30 — 1,45 V) dar ea scade cu timpul, atingînd final 1,10 V. Cauza valorii ridicate a *FEM* de la începutul electrolizei se datorează oxigenului chemosorbit în bara de grafit (care servește drept anod) și care constituie agent electrochimic activ, determinant de potențial. Scăderea *FEM* la 1,10 V, denotă că reacția (7.XIX) devine electromotric activă, locul oxigenului de la anod fiind preluat de  $\text{CO}_2$  ce s-a format între timp.

Oxigenul adsorbit inițial în anodul de grafit formează compuși de tipul  $\text{C}_x\text{O}$ . Potențialul chimic al oxigenului care intră în alcătuirea complexilor  $\text{C}_x\text{O}$  este mai mare decît potențialul chimic al oxigenului legat în  $\text{CO}_2$  dar e mai mic decît potențialul chimic al oxigenului liber. Aceasta explică valoarea intermediară a *FEM* în pila cu electrod de grafit-oxigen, în momentul inițial, față de valorile *FEM* ale pilelor avînd anodul Pt,  $\text{CO}_2$  ( $E = 1,10$  V) și respectiv Pt,  $\text{O}_2$  ( $E = 2,12 - 2,14$  V).

Oxizii de tipul  $\text{C}_x\text{O}$ , avînd stabilități relativ coborîte, iau naștere în urma neomogenităților prezente pe suprafața electrodului de grafit. Acești oxizi nestabili față de  $\text{CO}_2$  se descompun treptat, cu formare de  $\text{CO}_2$ .

Cît timp există oxizii  $\text{C}_x\text{O}$ , reacția electromotric activă este



și corespunde reacției (7.XIX), după transformarea lor în  $\text{CO}_2$ .

Studiile efectuate asupra pilelor galvanice cu electrolit topit permit și elaborarea seriilor electrochimice, bazate pe potențialele de electrod, similar cu seria corespunzătoare din soluțiile apoase. Dar, așa cum s-a menționat, valorile particulare depind de electrodul de referință ales, astfel că o generalizare care să permită stabilirea unei singure serii nu este posibilă. Succesiunea din mediul apos este regăsită în general; metalele alcaline sînt mai active decît metalele tranziționale, dar metalele învecinate pot să-și schimbe locurile, în funcție de electrolit și de temperatură.

## 7.6. ELECTROLIZA ÎN TOPITURI. (ELECTROLIZA IGNEE)

### 7.6.1 GENERALITĂȚI

În tehnologie, electroliza ignee este folosită pentru obținerea metalelor ai căror oxizi nu pot fi reduși cu carbon sau dacă pot fi reduși procesul întîmpină dificultăți mari sau este foarte costisitor. Tot astfel se prepară și metalele care din diverse motive nu pot fi obținute prin electroliza soluțiilor apoase; asemenea metale sînt mai ales alcalinele, alcalino-pămîntoasele, apoi Al, Pd, U, Ti, Tl; se recomandă procese electrolitice în topitură și pentru prepararea metalelor rare, a Ta și a B.

Electroliza în topituri are multe puncte comune cu electroliza în soluții dar are și particularități specifice ei.

O primă deosebire fundamentală constă în aceea că topiturile nu necesită un mediu dizolvant pentru a se disocia. Din păcate, actualul stadiu de cunoștințe asupra stării topite nu ne oferă prea multe date structurale despre ea; se cunosc topituri provenite de la electroliți (puternic, mijlociu sau puțin disociați) și neelectroliți (care nu se disociază ionic). Dar, spre deosebire de soluții (apoase în special), gradul de disociere al electroliților topiți nu poate fi atît de simplu exprimat, deoarece în afara descompunerii în ioni, poate avea loc și fenomenul invers, al asocierii; or, identificarea și determinarea cantitativă a acestor specii este foarte dificilă. Apoi, atunci cînd un electrolit există individual în stare topită, orice fenomen datorat concentrării ionilor în timpul electrolizei, cum este de pildă polarizarea de concentrație, dispare.

Nu rareori și determinările de tensiune de descompunere, sînt perturbate de fenomene de depolarizare, din cauza cărora coturile de pe curbele intensitate-tensiune, devin indistincte. Fenomenele de depolarizare sînt adeseori generate de metalul depus catodic, solubil în electrolit; metalul difuzează spre anod sub formă de soluție, compuși de adiție, complecși ionici sau liberi, unde reacționează cu produșii reacției primare anodice. Impuritățile din electrolit pot provoca alte efecte de depolarizare. Astfel, de exemplu apa, absorbită din atmosferă, este una din cauzele principale și mai des întîlnite de erori, atît din cauza descompunerii la tensiune relativ scăzută, cît și din cauza fenomenului de hidroliză, deosebit de pronunțată din cauza temperaturii ridicate; în urma hidrolizei se formează noi substanțe, avînd tensiuni de descompunere diferite de aceea a electrolitului. Toate fenomenele acestea de depolarizare duc la creșterea curentului rezidual, a cărui intensitate nu mai este neglijabilă. De aceea, pentru a avea rezultate sigure, trebuie cunoscute nu numai tensiunea aplicată și intensitatea, ci și rezistența celulei, randamentele anodic și catodic, și produșii de electroliză; numai în acest mod se poate aprecia în ce măsură fenomenele de depolarizare denaturează rezultatele.

O altă deosebire dintre electroliza ignee și cea în soluții apoase (sau neapoase) constă în imposibilitatea descompunerii electrolitice a substanțelor avînd tensiunea de descompunere superioară tensiunii de descompunere a solventului. Or, cu puține excepții (de exemplu electroliza aluminei), solventul este absent în cazul topiturilor și prin urmare tensiunea de descompunere poate fi atinsă întotdeauna.

Electroliza în topituri este guvernată de legea lui Faraday deși, uneori valabilitatea ei este greu de demonstrat. Un fenomen particular care intervine cîte o dată în cursul electrolizei electroliților topiți, este așa numitul efect anodic (v. secț. 7.6.4.).

Substanțele care se pretează la electroliza termică în stare topită sînt clorurile, oxizii și hidroxizii. Dacă electrolitul nu este pur și constă dintr-un amestec de electroliți, se va depune în primul rînd metalul cel mai nobil. Temperatura de lucru în electroliza industrială a electroliților topiți este în mod normal superioară temperaturii de topire a metalului depus catodic; separarea metalului de electrolit constituie una din dificultățile electrolizei ignee.

Din cauza polarizării electrozilor, ca și la electroliza în soluție apoasă, tensiunea aplicată la bornele băii de electroliză trebuie să depășească *FEM* a pilei de formare alcătuită din produșii de electroliză și electrolitul dat.

În ultima vreme s-a acumulat un bogat material experimental referitor la tensiunea de descompunere a sărurilor topite, pure sau în amestecuri. S-a stabilit astfel că ea depinde de natura sării, de temperatură (scade cu ridicarea acesteia, v. fig. 7.11) și de compoziție (la amestecul de săruri).

În tabelul 7.14 figurează tensiunile de descompunere ale unor cloruri topite, în ordine descrescătoare.

Tabelul 7.14

Tensiunile de descompunere ale unor cloruri

Clorura	$T(^{\circ}\text{C})$	Tensiunea de descompunere (V)
CsCl	700	3,68
RbCl	700	3,62
BaCl <sub>2</sub>	700	3,62
SrCl <sub>2</sub>	800	3,41
KCl	768	3,58
LiCl	650	3,41
CaCl <sub>2</sub>	700	3,38
NaCl	877	3,35
MgCl <sub>2</sub>	700	2,51
MnCl <sub>2</sub>	700	1,89
AlCl <sub>3</sub>	277	1,90
ZnCl <sub>2</sub>	427	1,60
PbCl <sub>2</sub>	500	1,27
NiCl <sub>2</sub>	700	1,03
CoCl <sub>2</sub>	700	0,97
BiCl <sub>3</sub>	700	0,40

În figura 7.12 este ilustrată dependența de temperatură a *FEM* de polarizare la NaF topită, cuprinzând și domeniul de prescristalizare.

*FEM* de polarizare variază puțin atunci, când topitura se răcește de la 1040 — 1000 $^{\circ}\text{C}$  crește însă brusc temperatura de cristalizare a NaF (990 $^{\circ}\text{C}$ ), iar apoi scade brusc.

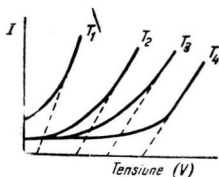


Fig. 7.11. Variația tensiunii de descompunere cu temperatura:  
 $T_1 > T_2 > T_3 > T_4$ .

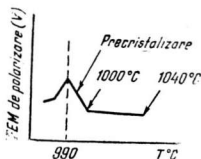


Fig. 7.12. Variația *FEM* de polarizare la electroliza ionică a NaF cu temperatura.

Cu cât topitura este mai apropiată de temperatura de cristalizare cu atât topitura este mai ordonată structural și deci mai apropiată de starea solidă. În apropierea temperaturii de cristalizare, în sarea topită își fac apariția mici centre ordonate alcătuite din ioni complecși mari și care constituie un stadiu intermediar între starea de topitură și cea cristalină. Descompunerea unor asemenea ioni este posibilă numai la tensiuni mai mari decât cele corespunzătoare ionilor simpli; astfel se explică creșterea *FEM* de polarizare în timpul precristalizării. Chiar în momentul cristalizării, mobilitatea ionilor scade brusc și în mod corespunzător, la temperaturi inferioare celei de cristalizare va scădea atât intensitatea curentului cât și tensiunea de la bornele celulei.

Delimarski și Grigorenko au comparat tensiunile de descompunere ale fluorurilor topite cu razele ionilor metalici (v.tab.7.15) ajungând la următoarele concluzii:

Tab el u l 7.15

Legătura dintre razele cationilor și tensiunile  
de descompunere ale unor fluoruri, măsurate  
la 1000°C și la temperaturile de topire ale fluorurilor

Fluorura	$r_M^{z+}$ (nm)	Tensiune de descompunere (V) (1000°C)	$T_f$ (°C)	Tensiunea de descompunere (V) (la $T_f$ )
LiF	0,078	2,20	870	2,55
NaF	0,098	2,76	992	2,78
KF	0,133	2,54	880	2,84
MgF <sub>2</sub>	0,078	2,65	1 390	2,26
CaF <sub>2</sub>	0,106	2,20	1 360	2,46
SrF <sub>2</sub>	0,127	2,31	1 400	2,51
BaF <sub>2</sub>	0,143	2,38	1 280	2,82

În grupă, creșterea  $r_M^{z+}$  cauzează o creștere a tensiunii de descompunere a fluorurii. Regularitatea este deosebit de pregnantă atunci când tensiunea de descompunere se compară la temperatura de topire a sărurilor (v. coloana IV).

Explicarea regularității rezidă în marea afinitate pentru electron a fluorului. Grație acestei caracteristici, fluorul va răpi cu atât mai ușor electroni de la atomii metalici și deci legătura va fi cu atât mai trainică cu cât este mai mare raza cationului.

#### 7.6.3 RANDAMENTUL DE CURENT LA ELECTROLIZA IGNEE.

##### FACTORI CARE INFLUENȚEAZĂ RANDAMENTUL DE CURENT

Procesul de electroliză în săruri topite se supune legii lui Faraday, dar din cauza proceselor secundare de la electrozi, cantitatea de substanță separată experimental este întotdeauna mai mică decât cea calculată.

Randamentul de curent este:  $r_I = m_{exp}/m_t$ , unde  $m_{exp}$  masa de substanță separată la electrod, iar  $m_t$  masa calculată cu legea lui Faraday pentru același consum de cantitate de electricitate.

Randamentul de curent se mai poate exprima și prin raportul cantităților de electricitate  $q_t$ , teoretic necesară pentru separarea a  $m$  g de substanță și  $q_{exp}$ , cea practic necesară pentru depunerea ei. Prin urmare,

$$\eta_I(\%) = \frac{q_t}{q_{exp}} \cdot 100 = \frac{m_{exp}}{m_t} \cdot 100. \quad (7.18)$$

Tabelul 7.16 reproduce randamentele de curent (la catod) în câteva procese de electroliză industrială.

Tabelul 7.16

**Randamentul catodic în câteva procese  
de electroliză ignee industrială**

Element depus	Electrolit	$\eta_I(\%)$
Na	NaOH	55,0
Mg	$MgCl_2 + KCl + NaCl$	75–80,0
Ca	$CaCl_2$	70,0
Al	$Al_2O_3 + Na_3AlF_6 + AlF_3 + CaF_2$	90–92

Abaterile de la legea lui Faraday se datorează unor cauze cum sînt: dizolvarea parțială a metalului depus în electrolit; posibilitatea depunerii catodice paralele a unor metale mai electropozitive sau chiar mai electronegative decît metalul dorit; pierderi mecanice în procesul de electroliză, cum ar fi de exemplu antrenarea de metal (Mg) în stratul de zgură (constînd din MgO); pierderi prin volatilizare.

Tabelul 7.17

**Solubilitatea metalelor din grupa II  
în clorurile proprii (900°C)**

Metal	$r_M^{2+}$ (nm)	Solubilitate (% mol)
Mg	0,065	1,2
Ca	0,099	16,0
Sr	1,113	20,0
Ba	1,135	30,0

Pentru majoritatea metalelor, obținute prin electroliză ignee, principale surse de pierderi și deci de abatere de la legea lui Faraday se datorează primelor două cauze.

S-a constatat că solubilitatea metalelor în săruri topite este favorizată de creșterea razei cationului (v. tab. 7.17).

Pentru cationi avînd raze ionice apropiate, solubilitatea crește cu numărul anionilor coordinați în jurul lor (v. tab. 7.18).

Tabelul 7.18

**Dependența solubilității de valența cationilor**

Metal	$M^{n+}$	Valența	Solub (% mol)
K	1,33	1	1
Sr	1,13	2	20
Ce	1,15	3	30

Lorenz (1905) a stabilit o relație între randamentul de curent  $r_I$  și intensitatea  $I$  a curentului de electroliză:

$$r_I = 100 - \frac{a}{j^{0,55}}, \quad (7.19)$$

unde  $a$  este o constantă.

Mai târziu, Drossbach stabilește următoarea dependență a  $r_I$  de densitatea de curent:

$$r_I = 1 - bi^{-0,55}, \quad (7.20)$$

unde  $i$  este densitatea de curent (în A/cm<sup>2</sup>), iar  $b$  o constantă. Se observă că o creștere a densității de curent produce o îmbunătățire a randamentului de curent.

Următoarea relație propusă de Rotinian, ia în considerare și alți factori, cum sînt distanța dintre electrozi  $l$ , temperatura  $T$  a băii și volatilitatea metalului separat la catod:

$$r_I = 1 - \frac{A \exp(-B/KT)}{iKlK}, \quad (7.21)$$

unde  $K$  este o constantă ce depinde de temperatură și forma electrolizorului, iar  $A$  și  $B$  constante legate de volatilitatea metalului.

Se poate afirma însă că, pînă în prezent, problema exprimării dependenței dintre randamentul de curent și diverșii factori care-l determină (temperatură, densitate de curent, distanța dintre electrozi, compoziția electrolitului, cantitatea de electrolit și de metal din baie, forma electrolizorului) nu a primit o soluție pe deplin satisfăcătoare, deși literatura conține multe date în această privință.

Ridicarea temperaturii electrolitului și a metalului, duce la micșorarea randamentului de curent, ceea ce se explică prin accentuarea interacțiunii chimice dintre metal și faza salină, în urma intensificării convenției și difuziei. Interacțiunea se soldează cu combinarea metalului cu produșii separați la anod. Ca exemplu, se poate cita electroliza oxidului de aluminiu dizolvat în criolită; randamentul de obținere al Al, în condiții de laborator, scade de la 95% cît este la 950°C. la numai 80% la 1000°C.

Din acest motiv, obținerea electrolitică a metalelor trebuie să se facă la cea mai joasă temperatură permisă de sistem. Dar, nici o temperatură prea coborîtă nu se poate alege din cauza creșterii vîscozității, soldată cu pierderi mecanice apreciabile.

Coborîrea temperaturii, fără a afecta fluiditatea electrolitului, se realizează de obicei prin adaos de săruri (cloruri sau fluoruri de metale alcaline sau alcalino-pămîntoase) conținînd cationi mult mai electronegativi decît metalul care trebuie depus. Aceste adaosuri nu coboară numai temperatura de topire a electrolitului ci acționează favorabil și asupra altor parametri fizico-chimici ai electrolitului; de exemplu micșorează solubilitatea metalului, ceea ce mărește randamentul de curent. Coborîrea temperaturii în procesul de electroliză este deosebit de importantă la prepararea metalelor care au o mare volatilitate.

Uneori însă, electroliza trebuie efectuată la temperaturi ridicate. Astfel, la prepararea electrolitică a Mg, din MgCl<sub>2</sub>, temperatura optimă a băii

este cuprinsă între 730 și 740°C și o coborîre a temperaturii ar cauza o micșorare a diferenței de densitate dintre metal și electrolit, ceea ce ar dăuna unei bune separări. De asemenea, coborîrea temperaturii îngreunează eliminarea clorului din cauza creșterii vîscozității, și facilitează recombinarea lui cu Mg, scăzînd astfel randamentul de curent.

În general, reținem că dependența randamentului de curent de temperatura băii de electroliză se exprimă printr-o curbă avînd un maxim.

Creșterea densității de curent produce în general o mărire a randamentului de curent și deci o atenuare a abaterilor de la legea lui Faraday, cauzate de pierderile în metal la electrodepunerea Al și Mg. La densități mici de curent poate avea loc doar reducerea parțială a metalului; în aceste condiții metalul nu se mai separă la catod, ci dimpotrivă se solvă energetic, după reacțiile:



sau



Figura 7.13 redă dependența randamentului de curent de densitatea de curent. Creșterea nu este identică din cauza diferențelor de solubilitate a celor 3 metale în clorurile respective; la 600°C solubilitățile sînt:

- Pb în  $PbCl_2$ :  $3,74 \cdot 10^{-4}$  at. g/mol;
- Zn în  $ZnCl_2$ :  $0,9 \cdot 10^{-6}$  at. g/mol;
- Cd în  $CdCl_2$ : 0,1814 at. g/mol.

Densitățile de curent aplicate la electroliza ignee industrială sînt mult mai mari decît densitățile din mediu apos: 0,75 — 1 A/cm<sup>2</sup> pentru Al și Mg (anodică) și pînă la 30 — 50 A/cm<sup>2</sup> pentru Ca și Be (densitate de curent catodică).

Dar o densitate de curent mult prea ridicată mărește căderea de tensiune din stratul de electrolit și cu aceasta polarizarea ohmică  $IR$ , și evident cheltuiala inutilă de energie electrică. În afară de aceasta, cu mărirea densității de curent catodice, crește corespunzător și densitatea anodică; or, în multe cazuri, chiar la densități anodice relativ mici, apare efectul anodic (v.sect.7.6.4) care deranjează mersul normal al electrolizei.

De asemenea, la densități de curent mult prea mari, este posibilă apariția unor procese secundare, cum ar fi depunerea și a altor metale decît cel dorit.

Cercetări efectuate asupra electrolizei amestecurilor de cloruri de Al, Na și K la  $T = 675^\circ C$  și cu o distanță între electrozi de 2,5 cm, au dus la rezultatele din figura 7.14. Randamentul  $\eta_I$  pentru Al crește cu  $i$  pînă la o valoare maximă, după care scade; scăderea apare cu atît mai devreme cu

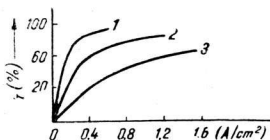


Fig. 7.13. Variația randamentului de curent cu densitatea de curent:  
1 —  $ZnCl_2$ ; 2 —  $PbCl_2$ ; 3 —  $CdCl_2$ .

cît conținutul în  $\text{AlCl}_3$  este mai mic. Explicația constă în depunerea parazită, alături de Al a unor cantități crescînde de Na.

Un comportament analog se constată și în băile de electroliză care conțin  $\text{MgCl}_2$  și  $\text{NaCl}$ .

Efectul distanței interelectrodice asupra randamentului de electroliză se poate explica prin solubilizarea metalului în electrolit și prin reacția acestuia cu produșii gazoși de la anod. De aceea, o dată cu mărirea distanței dintre electrozi, randamentul de curent crește. În figura 7.15 este prezentată variația lui  $\eta$  cu densitatea de curent și cu distanța dintre electrozi, la obținerea electrolitică a magneziului.

În figura 7.16 s-a reprezentat variația lui  $\eta$  în funcție de distanța dintre electrozi ( $i = \text{constant}$ ) la electroliza  $\text{PbCl}_2$  și  $\text{CdCl}_2$ .

Distanțele folosite în practică sînt de ordinul centimetrilor: 4 — 6 cm la obținerea aluminiului, 8 — 12 cm la electroliza magneziului și 6 — 8 cm la cea a litiului.

Trebuie să se sublinieze că o mărire peste o anumită limită a distanței dintre electrozi duce la mărirea pierderilor de energie electrică, atît prin polarizarea chimică cît și prin încălzirea electrolitului, ceea ce influențează negativ randamentul de curent.

După cum rezultă din condițiile de lucru ale electrolizorului industrial de aluminiu, mărirea intensității de curent, cu păstrarea constantă a temperaturii electrolitului, este posibilă prin micșorarea distanței dintre electrozi. Cum însă micșorarea randamentului din cauza pierderilor provocate de apropierea exagerată a electrozilor depășește creșterea lui prin mărirea intensității curentului, efectul global constatat este negativ și randamentul scade.

Compoziția electrolitului influențează în mod deosebit valoarea randamentului de curent. Întrucît una din cauzele esențiale ale abaterii randa-

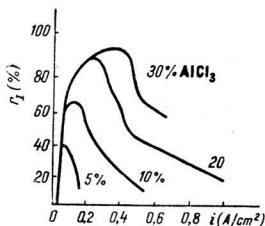


Fig. 7.14. Randamentul de curent la electroliza aluminiului din amestecul de cloruri de Al, K și Na.

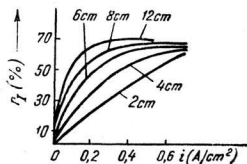


Fig. 7.15. Variația randamentului de curent cu densitatea de curent și distanța dintre electrozi.

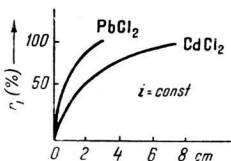


Fig. 7.16. Variația randamentului de electroliză cu distanța interelectrodică, la densitate de curent constantă.



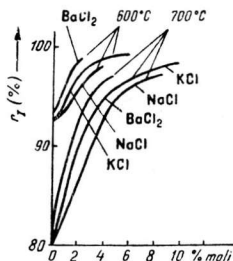


Fig. 7.17. Efectul adaosului de săruri asupra randamentului de curent.

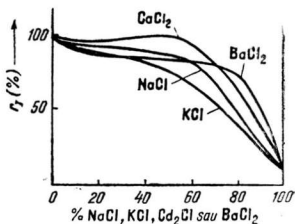


Fig. 7.18. Efectul adaosului de săruri asupra randamentului de curent la electroliza  $\text{MgCl}_2$ .

mentului de curent de la valoarea teoretică o constituie solubilizarea metalului în electrolit, urmată de oxidarea lui de către produșii de electroliză de la anod, este de dorit ca solubilitatea metalului în electrolit să fie minimă. Adaosul de săruri conținând cationi mult mai electronegativi în raport cu metalul ce trebuie depus, reduce solubilitatea acestuia din urmă și deci acționează favorabil asupra randamentului.

Astfel, de exemplu la electroliza  $\text{PbCl}_2$ , adaosul de KCl, NaCl sau  $\text{BaCl}_2$ , fără modificarea temperaturii mărește randamentul de curent. Chiar și o ridicare a temperaturii cu  $100^\circ\text{C}$ , nu modifică simțitor pe  $r_f$  atunci când conținutul de sare adăugată depășește o anumită concentrație (fig. 7.17).

Deosebit de pronunțată este influența pozitivă a adaosului de săruri în cazul unor săruri caracterizate prin randamente de curent joase. Astfel, Cd nu se poate obține prin electroliza  $\text{CdCl}_2$  pure; adaosul de KCl sau NaCl permite însă obținerea cadmiului cu un randament de curent relativ ridicat. Dimpotrivă, dacă densitatea de curent este mare, adaosul de electrolit străin peste o anumită limită poate provoca (din cauza depunerii paralele și a altor metale) o scădere a randamentului de curent. Aceasta se constată de pildă la electroliza  $\text{MgCl}_2$  cu adaos de KCl, NaCl,  $\text{CaCl}_2$  și  $\text{BaCl}_2$  (fig. 7.18). Adaosul de cantități mici, nu reduce simțitor randamentul de curent, deoarece acționează în sensul micșorării solubilității Mg în  $\text{MgCl}_2$ , iar cantitățile de K, Na, Ca sau Ba nepuse sînt neglijabile.

Dacă în cazul electrolizei  $\text{PbCl}_2$  adăionată de cloruri alcaline, depunerea alcalinelor este puțin probabilă, avînd în vedere potențialele de electrod net diferite:

$$-0,16 \text{ (K) și } +2,0 \text{ (Pb)},$$

în cazul  $\text{MgCl}_2$ , adăunată de cloruri alcaline în proporții apreciabile aceasta devine posibilă deoarece potențialul  $\text{Mg}$  (+0,75 V) este mult mai aproape de cel al alcalinelor.

La prepararea magneziului, randamentul de curent este mult îmbunătățit prin adaos de fluoruri superficial inactive ( $\text{NaF}$ ,  $\text{CaF}_2$  în concentrații de pînă la 1,5 – 2%). Grație acestor adaosuri micile picături de  $\text{Mg}$  se pot contopi și astfel metalul se separă mai ușor de electrolit, iar  $\eta_I$  este mărit.

S-ar părea că pentru a obține  $\text{Mg}$  cu un randament de curent cît mai mare, ar fi necesară creșterea concentrației de  $\text{MgCl}_2$  în electrolit. Dar, practic, conținutul de  $\text{MgCl}_2$  nu trebuie să depășească 15 – 18%, deoarece depășirea acestei limite cauzează o apreciabilă scădere a conductibilității electrice și o mărire a cantității de nămol (șlam) în urma hidrolizei  $\text{MgCl}_2$ . Aceasta mărește pierderile de  $\text{Mg}$  și pasivează catodul în urma depunerii pe acesta a unei pelicule de  $\text{MgO}$  și evident randamentul de curent scade. S-a stabilit de asemenea că limita inferioară a concentrației de  $\text{MgCl}_2$  din baia de electroliză este de 5 – 6% și dacă densitatea de curent catodic nu depășește 0,7 – 1,0 A/cm<sup>2</sup>, nu se înregistrează o scădere apreciabilă a randamentului de curent din cauza descărcării altor cationi. Compoziția electrolitului este de mare importanță și la prepararea electrolitică a aluminiului. Cercetările întreprinse în această direcție au dus la concluzia că pierderile de aluminiu sînt minime în topiturile care conțin  $\text{NaF}$  și  $\text{AlF}_3$  în raportul molar 2,5 – 2,6 : 1; randamentele de curent maxime corespund amestecului molar 2,6 – 2,7 : 1.

O creștere a concentrației aluminei în criolită are un efect favorabil randamentului de curent. O asemenea dependență este explicabilă prin aceea că depunerea ionilor  $\text{Na}^+$  este îngreunată de concentrația mare în  $\text{Al}^{3+}$  (fig. 7.19). La electroliza soluțiilor criolitice de alumină, prezența oxizilor  $\text{V}_2\text{O}_5$ ,  $\text{P}_2\text{O}_5$ ,  $\text{Fe}_2\text{O}_3$ ,  $\text{SiO}_2$  și  $\text{TiO}_2$ , componenți naturali (în concentrație mică) ai aluminei și deci ai nămolului anodic, mărește în mod esențial pierderile de aluminiu și coboară în mod corespunzător randamentul de curent. Dintre ei oxizii metalelor care au mai multe trepte de oxidare (de exemplu V și Ti) cauzează cele mai mari pierderi de aluminiu; găsindu-se în topitură sub formă de oxizi superiori, ei se pot reduce în prezența aluminiului, la oxizi inferiori. Aceștia din urmă se reoxidează în prezența aerului, la suprafața topiturii, apoi suferă o nouă reducere cu aluminiu ș.a.

Randamentul de curent este influențat și de forma electrolizorului. Toate celulele de electroliză, fie de laborator, fie industriale, se pot clasifica în următoarele două categorii:

— în formă de U;

— în formă de creuzet, unde anodul și catodul au poziție orizontală. Electrolizoarele de primul gen se utilizează la prepararea unor metale, cum sînt: Na, Li, și Mg, pornind de la săruri care se disociază în ioni simpli ( $\text{Na}^+$ ,  $\text{Li}^+$ ,  $\text{Mg}^{2+}$ ,  $\text{Cl}^- \dots$ ) și care migrează fie spre catod fie spre

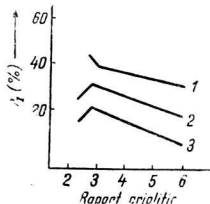


Fig. 7.19. Efectul raportului criolitic asupra randamentului de curent la electroliza aluminiului.

1 – 25% moli  $\text{Al}_2\text{O}_3$ ; 2 – 15% moli  $\text{Al}_2\text{O}_3$ ; 3 – 8% moli  $\text{Al}_2\text{O}_3$ .

anod, în funcție de natura sarcinii; în aceste electrolizoare spațiul anodic este separat de cel catodic printr-o diafragmă. Cel de al doilea tip de electrolizor se folosește atunci când același element se poate regăsi la ambii electrozi; ca exemplu poate servi electroliza aluminiului, în soluție criolitică de  $\text{Al}_2\text{O}_3$ , unde ionul  $\text{Al}^{3+}$  migrează spre catod, iar  $\text{AlF}_6^{3-}$  spre anod.

Grosimea stratului și volumul metalului și al electrolitului influențează de asemenea randamentul de curent. Așa, de exemplu, cu cât grosimea stratului de Al e mai mare, cu atât e mai joasă temperatura băii, pierderile de metal mai mici, și reacțiile secundare mai reduse, iar  $r_I$  mai mare. Pentru micșorarea pierderilor de metal, trebuie redus contactul superficial dintre metal și electrolit. În practica industrială acest lucru se realizează cu ajutorul unei căptușeli puternice pe pereții laterali ai băii. Asemenea căptușeli constituie și o bună termoizolare, capabilă să micșoreze pierderile de curent datorate transferului de căldură prin pereții laterali ai electrolizorului. În plus, căptușeala micșorează distribuția inegală a densității de curent în baie, nu lipsită de influență asupra randamentului de curent. În absența ei, la periferia catodului densitatea de curent ar fi mai mică decât în centrul lui, ceea ce ar produce pierderi apreciabile de metal la periferie.

În sfârșit, este esențial ca metalul depus la catod, aflat în stare topită, să fie polarizat la potențialul catodului, deoarece pierderile de metal, neîncărcat în electrolit, sînt de cîteva ori mai mari decât atunci cînd el este polarizat negativ. În practica de laborator, randamentul de curent se calculează din masa de metal depusă într-un interval de timp și cu o intensitate de curent cunoscută. Dar în condiții industriale, posibilitatea determinării randamentului de curent,  $r_I$  din cantitatea de metal scursă din baie, întîmpină greutăți și nu oferă precizia necesară, fiindcă baia electrolitică nu poate fi golită complet, fără a se deranja continuitatea producției.

Pearson și Weddington au stabilit o relație empirică între randamentul de curent și compoziția gazelor anodice (care conțin  $\text{CO}_2$ ) la prepararea electrolitică a Al:

$$r_I(\%) = 1/2(\% \text{CO}_2) + 50 \quad (7.22)$$

Dar, așa cum arată experiența, compoziția gazelor anodice se modifică neconținut între efectele anodice, astfel că relația de mai sus nu are decât un caracter aproximativ. În tot cazul, conform acestei relații, compoziția gazelor anodice ( $\% \text{CO}_2$ ) la electroliza ignee a soluției criolitice de alumina depinde de  $r_I$ : cu cât e mai mare  $r_I$ , cu atât mai mare este conținutul în  $\text{CO}_2$  al gazelor anodice, și cu atât e mai mică proporția de Al dizolvat în electrolit.

Pearson și Weddington prezintă următoarele date referitoare la băile industriale, pentru a ilustra dependența randamentului  $r_I$  de compoziția gazelor anodice (tab.7.19).

Relația dintre randament și compoziția gazelor anodice

No băi	$r_I(\%)$	Conținut $\text{CO}_2$ găsit în timpul electrolizei	$\text{CO}_2$ calculat în gazele anodice
1	85	69	71
2	82	62	66
3	72	32	45

Cantitatea experimental determinată de  $\text{CO}_2$  este mai mică decât cea calculată deoarece o parte din  $\text{CO}_2$  reacționează cu cărbunele anodic, după reacția de echilibru  $\text{CO}_2 + \text{C} \rightleftharpoons 2 \text{CO}$ , deplasată spre dreapta cu atât mai mult, cu cât temperatura din jurul anodului este mai mare.

Pentru evaluarea randamentului de curent,  $r_I$ , s-a mai recomandat și adăugarea a mici cantități de metale, cum sînt Cu, Mn etc., în calitate de indicatori; din modificarea concentrației lor se poate calcula cantitatea de metal și de solvent din baie și apoi  $r_I$ . Procesul n-a găsit aplicarea sub această formă, deoarece actualele metode de analiză nu sînt îndeajuns de precise pentru determinarea unor concentrații mici, iar adaosul de cantități mai mari prejudiciază puritatea metalului preparat electrolitic.

Belețki și Mașoveț au propus drept metal indicator, izotopul radioactiv  $^{60}\text{Co}$ . Concentrația de Co în Al necesară în acest scop nu depășește  $5 \cdot 10^{-6}\%$ . Cantitatea de metal prelucrată în timpul scurs între două luări de probă se calculează din determinări de radioactivitate.

#### 7.6.4 PROCESE DE ELECTROD LA ELECTROLIZA IGNEE

##### A SĂRURILOR. EFECTUL ANODIC

Efectul anodic se observă la electroliza ignee și are o deosebită importanță pentru electroliza topiturilor criolitice de alumină. La apariția efectului anodic tensiunea la borne crește brusc iar intensitatea de curent scade; prin aceasta la limita dintre electrolit și suprafața anodului înconjurat de electrolit apare un inel luminos de mici descărcări electrice. Bulele de gaz ale produșilor anodici, sînt reținute pe suprafața anodului, care se separă de electrolit sau, cu alte cuvinte, se observă o umectare defectuoasă a suprafeței anodului de către electrolit. Aceasta duce la creșterea concomitentă a densității de curent de la anod, deoarece nu toată suprafața anodului implantat în topitură, se găsește în contact cu aceasta. Cînd densitatea de curent la anod depășește o anumită valoare critică, apare efectul anodic.

Fenomenul poate fi evidențiat dacă se urmărește curba intensitate-tensiune la electroliza unei sări. Dacă intensitatea de curent este mărită treptat, se observă o creștere treptată de tensiune la bornele electrolizorului (dreapta *ab* de pe fig.7.20). În tot acest timp electroliza se desfășoară normal, pînă la atingerea unei valori oarecare maxime  $I_{cr}$ , corespunzătoare densității de curent anodice critice  $i_{cr}$ . Creșterea în continuare a intensității se soldează cu o creștere bruscă a tensiunii la valoarea  $V_{ea}$  cu o

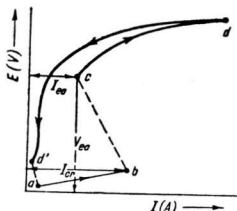


Fig. 7.20. Evidențierea efectului anodic.

curbei  $cd$ . Efectul anodic continuă să se manifeste și valori ale intensității (și tensiunii) mult mai mici decât cele inițiale; fenomenul este asemănător cu o histereză. La un moment dat, tensiunea scade brusc  $d'a$ , iar electroliza se continuă normal. Intensitatea de curent la care efectul anodic încetează este de obicei mai mică (de exemplu 0,05 – 0,10 A) decât valoarea la care apare fenomenul (0,25 – 0,3 A; valorile se referă la electroliza aluminiului cu anod de grafit).

Intensității critice, peste care apare efectul anodic, îi corespunde o densitate critică  $i_{cr}$ , definită prin raportul:

$$i_{cr} = \frac{I_{cr}}{s_a} \text{ A/cm}^2 \quad (7.23)$$

unde  $s_a$  este suprafața anodului aflată în contact cu electrolitul.

Valoarea densității critice depinde de o serie de factori; cum sînt: compoziția fazei topite și a fazei gazoase, prezența în electrolit a unor ioni superficiali activi, care modifică tensiunea interfazică la limita anod/electrolit, materialul anodului și temperatura sării topite.

Astfel, la electroliza cu anod de cărbune,  $i_{cr}$  este mai mare pentru clorurile alcaline topite decât pentru clorurile alcalino-pămîntoase. Apoi  $i_{cr}$  crește în seria halogenurilor alcaline de la  $\text{LiCl}(\text{LiF}) \rightarrow \text{NaCl}(\text{NaF}) \rightarrow \text{KCl}(\text{KF})$ , corespunzător cu micșorarea tensiunii interfazice a acestor săruri la limita topitură-cărbune;  $i_{cr}$  variază în același sens cu raza cationului, dar variază invers cu unghiul de racord (unghi marginal de umectare), după cum se vede în tabelul 7.20.

Grație valorilor mari ale lui  $i_{cr}$ , electroliza  $\text{NaCl}$ ,  $\text{KCl}$  și a  $\text{MgCl}_2$  se poate efectua la densități de curent inferioare celei critice.

Efectul anodic apare mai des la prepararea calciului din  $\text{CaCl}_2$ . Aceasta se explică printr-o mare tensiune interfazică la limita topitură/cărbune mai mare ca la clorurile alcaline. Ba mai mult, electroliza ignee a  $\text{CaCl}_2$  pure nici nu se poate efectua, deoarece de pe la  $i = 0,01 \text{ A/cm}^2$  efectul anodic se manifestă deja. De aceea, pentru desfășurarea normală a electrolizei (fără efect anodic), clorurii de calciu i se adaugă  $\text{KCl}$ , superficial activă, care coboară tensiunea interfazică, micșorează unghiul de racord și implicit ridică  $i_{cr}$ .

concomitentă scădere de intensitate de curent pînă la valoarea  $I_{ea}$  (porțiunea  $bc$ .) Acest moment corespunde apariției efectului anodic și se caracterizează prin descărcările în formă de arc la limita anod-electrolit. Prin creșterea ulterioară a intensității de curent tensiunea crește lent după curba  $cd$  și atinge valoarea limită a tensiunii sursei de curent.

Să urmărim procesul invers — de micșorare a intensității de curent. Coborîrea intensității produce o coborîre de tensiune, dar de această dată, după o altă curbă  $dd'$ , care se situează de obicei deasupra

Variația unghiului de racord cu natura sării  
și a electrodului

Sarea	$T(^{\circ}\text{C})$	electrod	unghi de racord ( $^{\circ}$ )	$i_{cr}$ (A/cm $^2$ )
KCl	800	cărbune	28	6,30
NaCl	850	cărbune	78	3,28
LiCl	650	cărbune	—	2,03
BaCl $_2$	1 000	cărbune	116	0,83
KF	850	cărbune	49	6,33
NaF	1 000	cărbune	75	4,12
LiF	850	cărbune	134	0,48
Na $_3$ AlF $_6$	1 000	cărbune	134	0,45
KCl	800	grafit	32	2,62
NaCl	850	grafit	102	1,80
LiCl	650	grafit	—	1,53
BaCl $_2$	1 000	grafit	124	0,56
Na $_3$ AlF $_6$	1 000	grafit	144	0,31

La electroliza topiturilor criolitice de alumina, densitatea de curent anodică este superioară lui  $i_{cr}$  corespunzătoare criolitei pure. În aceste topituri, o sărăcire în alumina înrăutățește umectarea anodului de către electrolit, valoarea  $i_{cr}$  se micșorează (0,4 — 0,5 A/cm $^2$ ) și apare efectul anodic, care dispare din nou la o ridicare a concentrației de Al $_2$ O $_3$ . Același efect favorabil, de creștere a lui  $i_{cr}$  îl manifestă și alți oxizi metalici adăugați criolitei (v.fig.7.21). S-a menționat că unghiul de racord și  $i_{cr}$  variază invers. În figura 7.22 acest lucru este ilustrat pentru amestecul de criolit + alumina.

Densitatea critică va fi cu atât mai mare cu cât sarea dată „udă” mai bine materialul din care e confecționat anodul. Măsurători de unghi de racord  $\theta$  efectuate în criolită, pe diverse sorturi de cărbune, platină și Al $_2$ O $_3$  au arătat că  $\theta$  este considerabil mai mic pe platină și Al $_2$ O $_3$  decât pe cărbune. Corespunzător cu aceasta la electroliza soluției criolitice de alumina cu anod de platină, densitatea critică este mult mai mare decât în cazul electrolizei cu anodi pe bază de carbon; pe aceștia din urmă  $i_{cr}$  e cuprinsă între 0,31 — 0,76 A/cm $^2$ .

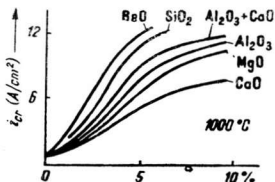


Fig. 7.21. Efectul adaosului de oxizi asupra densității de curent critică,  $i_{cr}$ .

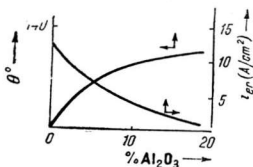


Fig. 7.22. Variația inversă a unghiului de racord  $\theta$  și a densității de curent critică  $i_{cr}$ .

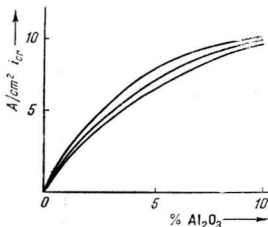


Fig. 7.23. Variația densității de curent critică,  $i_{cr}$ , cu concentrația de alumină, pe diverse sorturi de cărbune.

Curbele referitoare la diferiți anodi pe bază de carbon sînt relativ apropiate (fig.7.23) și, în domeniul de concentrație cuprins între 3 și 10%  $Al_2O_3$ , ele sînt redată satisfăcător de ecuația:

$$i_{cr}(A/cm^2) = i_{cr,0} + bp, \quad (7.24)$$

unde  $i_{cr,0}$  este densitatea critică în criolită pură, cu același anod,  $b$  — o constantă depinzînd de materialul anodului și  $p$  — concentrația procentuală în alumină a topiturii.

Densitatea de curent  $i_{cr}$  înregistrează valori ridicate pe metale, deoarece ele sînt foarte bine „udate” în general de topituri și în special de criolită. De

aceea pe metale, chiar la densități de curent mari, efectul anodic nu se sesizează.

S-a constatat că unghiul de racord este influențat pe lîngă natura electrodului, și de faza gazoasă în contact cu electrolizorul și de natura lichidului. Dependența lui  $i_{cr}$  de natura gazului în contact cu electrolizorul și compoziția electrolitului, este ilustrată de tabelul 7.21.

Tabelul 7.21

Variația intensității și a densității de curent critice cu natura gazului aflat în contact cu electrolizorul

Compoziția topiturii	Faza gazoasă	$I_{cr}$ (A)	$i_{cr}$ (A/cm²)
2,5 NaF : $AlF_3$ + 5% $Al_2O_3$	Ar	8,8	7,75
	N <sub>2</sub>	9,0	7,92
	CO <sub>2</sub>	9,2	8,10
	aer	9,4	8,25
2,5 NaF : $AlF_3$ + 3% $Al_2O_3$	Ar	8,2	7,22
	N <sub>2</sub>	8,6	7,56
	CO <sub>2</sub>	9,0	7,97
	aer	9,3	8,19

Din datele tabelului rezultă că în atmosferă de argon se obțin mărimile critice minime și în aer, cele maxime, fără ca variația lor să fie esențială. O acțiune mult mai pronunțată manifestă compoziția băii electrolitice. Așa de exemplu diferența dintre valorile  $i_{cr}$  corespunzătoare la o variație a conținutului în  $Al_2O_3$  de la 0 la 10% este mai mare de 10 A/cm².

În sfîrșit, trebuie să se menționeze și rolul temperaturii asupra unghiului de contact. La topiturile de criolită-alumină, ridicarea temperaturii cauzează o micșorare a unghiului de contact și prin urmare o mărire a densității de curent  $i_{cr}$ . Deci, ridicarea temperaturii reduce șansele de manifestare a efectului anodic.

Efectul anodic a constituit obiectul multor cercetări și apariția lui a primit diverse explicații, dintre care unele sînt redată în cele ce urmează.

O explicație mai degrabă **particulară**, referitoare la electroliza fluorurilor, în special a criolitei, are în vedere modificarea stării suprafeței anodice de către  $F_2$  degajat. Acesta fărîmîtează superficial anodul de cărbune, iar pulberea formată împiedică umectarea ulterioară a anodului de către electrolit. Apariția oxigenului în urma adaosului de  $Al_2O_3$  în electrolit facilitează îndepărtarea pulberii prin oxidarea ei la  $CO_2$ . Suprafața recăpătîndu-și capacitatea de umectare. Teoria este însă **inca**pabilă să explice îndepărtarea efectului anodic la electroliza unor cloruri de metale alcalino-pămîntoase, prin adaos de cloruri alcaline.

După o altă teorie, efectul anodic s-ar explica prin schimbarea încărcăturii electrostatice a a bulelor de gaz formate la anod. W a r t e n b e r g a presupus că semnul încărcăturii bulelor de gaz se modifică prin trecerea de la sarea pură la sarea conținînd oxizi. Gazele provenind din electroliti conținînd oxizi sînt încărcate pozitiv și de aceea se depărtează de anod repede. La dispariția oxizilor din electrolit, încărcătura bulelor se schimbă din + în -, ceea ce are ca efect reținerea lor pe suprafața anodului. Fenomenul mărește rezistența la trecerea curentului și cauzează efectul anodic. Mai tirziu însă K a b a n o v și F r u m k i n au arătat că fixarea bulelor de gaz pe suprafața anodului nu poate fi explicată prin forțe de natură electrostatică, ea depinzînd de tensiunea superficială sau interfazică de la limita gaz-anod solid-electrolit.

Efectul anodic poate fi cauzat de modificarea tensiunii superficiale la limita dintre electrolit și anod (modificarea umectării anodului de către electrolit). Această teorie este verificată experimental de multe cercetări.

Cercetările demonstrează că mărimea  $i_{cr}$  este dependentă de capacitatea electrolitului topit de a umecta suprafețe solide. Cu cît topitura udă mai bine suprafața anodului, cu atît e mai mică tensiunea superficială a sării topite la limita cu anodul, cu atît e mai ridicată  $i_{cr}$  și mai puțin probabilă apariția efectului anodic și reciproc.

La electroliza topiturii criolitice de alumînă, mecanismul acestui fenomen poate fi explicat mai amănunțit, în felul următor. Deoarece prezența aluminei în criolită topită determină coborîrea tensiunii superficiale interfazice la limita cu anodul de cărbune (în urma apariției ionilor  $O^{2-}$ ,  $AlO^+$ ,  $AlO_2^-$ ), rezultă că topiturile de criolită, care conțin o cantitate suficientă de alumînă dizolvată, vor uda bine suprafața anodului; de aceea electroliza poate fi efectuată cu densități de curent anodice destul de mari (0,8–1,0 A/cm<sup>2</sup>). În aceste condiții, bulele de gaz anodic se desprind cu ușurință de pe suprafața anodului și au tensiune superficială interfazică gaz/anod, mare (vezi fig. 7.24 a). Pe măsură ce electroliza progresează, concentrația de alumînă se micșorează, iar tensiunea superficială interfazică anod-electrolit se mărește o dată cu creșterea unghiului de racord; concomitent se reduce gradul de umectare al anodului de către electrolit. Din acest motiv bulele de gaz cresc în dimensiune și se vor desprinde mai greu de pe suprafața anodului (fig. 7.24 b). La un conținut oarecare, minim în alumînă, cînd densitatea de curent anodică atinge  $i_{cr}$ , tensiunea superficială interfazică electrolit/anod devine destul de mare pentru ca bulele de gaz să îndepărteze relativ ușor electrolitul de pe suprafața anodului, formînd o peliculă continuă de gaz, greu de îndepărtat.

Forma bulelor de gaz de pe suprafața anodului e determinată de raportul în care stau tensiunile interfazice, la limita solid-lichid ( $\tau_{s,l}$ ) și solid-gaz ( $\tau_{s,g}$ ), precum și la limita lichid-gaz ( $\tau_{l,g}$ ) (fig. 7.25–7.27).

Dacă topitura udă suprafața anodului mai bine decît gazul, atunci  $\tau_{s,g} > \tau_{s,l}$ , iar bulele de gaz de pe suprafața solidă vor avea forma indicată în figura 7.26 b. Dacă topitura udă slab suprafața solidă a anodului, atunci  $\tau_{s,g}$  se micșorează, devenind mai mic decît  $\tau_{s,l}$ , iar bulele de gaz vor avea forma indicată de figura 7.27 b.

Dacă topitura udă slab suprafața solidă a anodului ( $\theta > 90^\circ$ , fig. 7.26 a) atunci, după dezlipirea gazului, pe suprafața anodului, se păstrează un germe al bulei de gaz desprinse, care facilitează considerabil apariția unei noi bule. De asemenea, formarea bulei va fi favorizată și de forțele de adsorbție, deosebit de mari pe suprafața solidă slab umectată de topitură.

Adăugarea de noi cantități de alumînă se soldează cu coborîrea tensiunii superficiale interfazice electrolit-anod; electrolitul udă din nou

Gaz/solid



Fig. 7.24. Unghiuri de racord la interfața topitură-electrod.



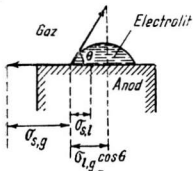


Fig. 7.25. Schema forțelor superficiale pe suprafața solidă.

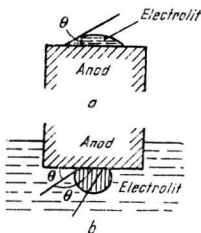


Fig. 7.26.

a - Umețarea suprafeței anodului de către electrolit; b - forma bulilor de gaz anodic la electroliza normală.

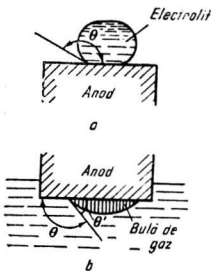


Fig. 7.27.

a - Umețarea suprafeței anodului de către electrolit și b - forma bulilor gazului anodic în timpul efectului anodic

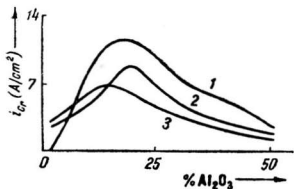


Fig. 7.28. Variația lui  $i_{cr}$  cu conținutul de alumina în topituri avind diverse raporturi criolitice.

bine suprafața anodului, iar pelicula continuă de gaz se destramă, restabilindu-se regimul de electroliză normal.

Pe figura 7.28 s-a reprezentat dependența lui  $i_{cr}$  de conținutul de alumina din electrolit, la raporturi criolitice de 3 (curba 1), 2,7, (2) și 2,2(3). Se observă că  $i_{cr}$  crește inițial, atinge un maxim, ca apoi să scadă. Maximul de pe curbe corespunde limitei de solubilitate a oxidului de aluminiu în criolită (1000°C). Scăderea ulterioară se datorează creșterii de tensiune superficială interfațială, provocată de  $Al_2O_3$  rămas nedizolvat (fig. 7.28).

Înrăutățirea umețării anodului de către electrolit sub influența excesului de alumina rămas nedizolvat se poate explica în felul următor. În acord cu concepțiile actuale, umețarea reprezintă o fixare prin adsorbție a lichidului pe straturile superficiale ale solidului. În procesul adsorbției, un mare rol joacă cimpul de forțe ce acționează între o particulă oarecare (cristal, moleculă etc.) de adsorbant și o particulă de substanță care se adsoarbe. De aceea, aici trebuie să se ia în considerare nu numai cimpul de forță de la suprafața adsorbantului (anod) ci și cel creat de particulele solide de  $Al_2O_3$ , dispersate în masa de topitură. Cimpul de forțe de la suprafața adsorbantului poate fi saturat de cimpurile de forță ale particulelor solide de  $Al_2O_3$ , slăbindu-se astfel intensitatea adsorbției lichidului pe suprafața anodului și înrăutățindu-se umețarea suprafeței solide, ceea ce în ultimă instanță duce la creșterea probabilității de apariție a efectului anodic.

## 7.6.6 ELECTROLIZA SĂRURILOR TOPITE CU ANOZI SOLUBILI. RAFINAREA ELECTROLITICĂ A ALUMINIULUI

Deosebiriile dintre procesele anodice în săruri topite depind în mare măsură de caracterul solubil sau insolubil al anodului în timpul electro-lizei.

La anozii solubili procesul constă în dizolvarea (oxidarea) metalului, sub influența curentului electric:



Lucrurile se complică atunci când anodul este alcătuit dintr-un aliaj. Dacă în aliajul anodului metalul în exces se găsește în aceeași fază cu ceilalți componenți metalici și deci nu formează combinații chimice sau soluții solide, solubilizarea anodului va începe cu metalul avînd potențialul cel mai negativ. Dacă două metale din componența anodului formează o soluție solidă, potențialul de solubilizare depinzînd de concentrația componenților, va avea o valoare intermediară potențialelor metalelor pure.

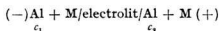
Rafinarea electrolitică a aluminiului constituie exemplu de proces tipic de electroliză ignee cu anod solubil. În acest caz aliajul lichid anodic constă din Al, Cu și alte metale accidental prezente sub formă de impuri-tăți. Elementele mult mai electropozitive decît Al (Cu, Fe, Si etc.) nu se solubilizează pînă la o anumită valoare a concentrației lor în aliajul anodic, în timp ce metalele cu potențial mult mai electronegativ, cum sînt: Na, Ca, Mg etc. trec în electrolit. Dacă nu se depășește o anumită densitate de curent și concentrația nu crește prea mult, K, Na, Ca, Mg nu se pot depune catodic și deci rămîn în electrolitul topit. Dimpotrivă, elementele mai nobile ca Al (Cu, Fe, Si, Zn) prezente în anod se vor concentra în aceasta, nedizolvîndu-se în electrolit. Dacă însă electrolitul conține ioniile acestor metale, ei se vor descărca imediat la catod, impu-rificînd Al.

În afară de valoarea potențialelor normale, la depunerea metalelor trebuie luate în considerare și dependența potențialului de concentrație, tempe-ratură și densitatea de curent; cu cît densitatea de curent și concentrația ionilor cu potențial negativ sînt mai mari, cu atît descărcarea lor se face mai ușor.

Tensiunea la bornele electrolizorului la rafinarea electrolitică a Al se compune din următoarele mărimi:

$$E = E_1 + E_2 + I \varphi \frac{l}{s} + \sum IR \quad (7.25)$$

unde  $E_1$  este *FEM* a pilei de tip amalgam:



unde  $c_1$  și  $c_2$  reprezintă concentrațiile aluminiului metalic în cei doi elec-trozi; evident,  $c_1 > c_2$ ;

$E_2$  este FEM a pilei de concentrație

$$\begin{aligned} & (+) \text{ Al/Al}^{3+}/\text{Al}^{3+}/\text{Al} (-) \\ & \quad c_1' > c_2' \\ & (\text{spațiu anodic}) \quad (\text{spațiu catodic}) \end{aligned}$$

FEM  $E_1$  apare de la începutul electrolizei, iar  $E_2$  apare o dată cu creșterea concentrației ionilor  $\text{Al}^{3+}$  de la anod, în urma căreia potențialul anodic față de electrolit devine mult mai pozitiv, în timp ce potențialul catodului, în urma micșorării concentrației  $\text{Al}^{3+}$  din jurul său, devine mult mai negativ;  $I\rho \frac{l}{s}$  este căderea de tensiune ohmică din electrolit, iar  $\Sigma IR$  căderea de tensiune din conductori și de la contacte.

Dacă în timpul rafinării electrolitice procesul anodic ( $\text{Al} \rightarrow \text{Al}^{3+} + 3e^-$ ) ar fi echilibrat energetic de procesul catodic ( $\text{Al}^{3+} + 3e^- \rightarrow \text{Al}$ ) atunci căderea de tensiune de la bornele electrolizorului ar fi determinată numai de căderea de tensiune din electrolit  $I\rho \frac{l}{s}$  și din conductori ( $\Sigma IR$ ). Explicând  $E_1$  și  $E_2$ , polarizarea totală de la polii electrolizorului se mai poate scrie și în felul următor:

$$E = \frac{RT}{3\mathcal{F}} \ln \frac{c_1}{c_2} \cdot \frac{c_1'}{c_2'} + I \left( \rho \frac{l}{s} + R \right). \quad (7.26)$$

$E_1$  crește cu temperatura și cu scăderea concentrației Al din aliajul anodic (fig. 7.29), iar  $E_2$  crește brusc cu densitatea de curent, în domeniul valorilor mici ale acesteia ( $\sim 0,1 \text{ A/cm}^2$ ); o creștere în continuare a densității de curent, influențează puțin valoarea lui  $E_2$  (fig. 7.30 și 7.31). Ridicarea temperaturii și agitarea electrolitului micșorează pe  $E_2$  (fig. 7.31), iar prelungirea procesului de electroliză îl face să crească (fig. 7.32 și 7.33).

Creșterea polarizării de concentrație cu durata procesului la o densitate de curent constantă, se explică prin modificarea concentrației ionilor din preajma electrozilor, imposibil de suprimat prin difuzie. În general polarizarea de la catod este de circa două ori mai mare decât la anod (fig. 7.32)

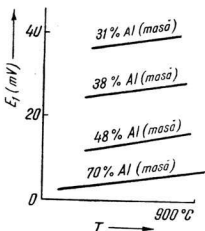


Fig. 7.29. Variația FEM,  $E_1$ , cu temperatura și cu concentrația de aluminiu din electrozi.

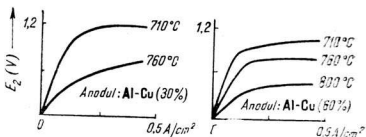


Fig. 7.30. Variația FEM,  $E_2$ , cu densitatea de curent, temperatura și compoziția anodului, în regim de electroliză fără agitare.

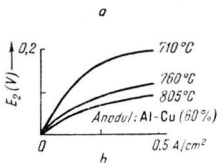
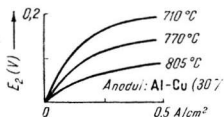


Fig. 7.31. Variația FEM,  $E_2$ , cu densitatea de curent, temperatura și compoziția anodului, în regim de agitare a electrolitului.

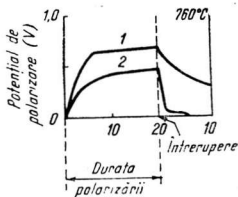


Fig. 7.32. Variația polarizării de concentrație cu timpul la 760°C

și (7.33). După întreruperea curentului potențialul anodului coboară brusc, iar după vreo 2 min se anulează. Supratensiunea de la catod (curba 1 fig.7.32) se micșorează mai lent; chiar după 10 min ea nu coboară sub 1/3 din valoarea inițială. Ridicarea temperaturii accelerează coborîrea supratensiunii de la catod, care rămîne totuși mai lentă decît cea de la anod (fig. 7.32 și 7.33).

Deoarece electrodul conține NaF,  $\text{AlF}_3$  și  $\text{BaCl}_2$ , care în topitură se găsesc ionizate la transportul curentului vor participa alături de  $\text{Al}^{3+}$  și ionii  $\text{Na}^+$ ,  $\text{Ba}^{2+}$ ,  $\text{F}^-$ ,  $\text{Cl}^-$  și  $\text{AlF}_6^{3-}$ . Spre catod, curentul electric va fi transportat de toți cationii ( $\text{Al}^{3+}$ ,  $\text{Ba}^{2+}$ ,  $\text{Na}^+$ ) însă avînd în vedere valoarea potențialului de depunere, se va descărca numai ionul  $\text{Al}^{3+}$ , în timp ce ionii  $\text{Ba}^{2+}$  și  $\text{Na}^+$  se aglomerează în spațiul catodic. La anod, principalul proces constă în ionizarea (dizolvarea) aluminiului, fiindcă celelalte procese anodice posibile cum ar fi descărcarea ionilor  $\text{Cl}^-$  și  $\text{F}^-$  necesită potențiale mult mai pozitive.

Din cauza îmbogățirii spațiului catodic cu ioni  $\text{Ba}^{2+}$ , există pericolul cristalizării  $\text{BaF}_2$ , produs greu fuzibil dacă temperatura coboară sub o anumită valoare. Formarea  $\text{AlCl}_3$ , în cantități mici, la anod, este responsabilă pentru pierderile de Al înregistrate în cursul procesului. În general, procesul de rafinare electrolitică a aluminiului se caracterizează printr-un randament de curent mare; din cauza oxidării a mici cantități de Al la suprafața electrolitului, randamentul catodic este mai mic decît cel anodic.

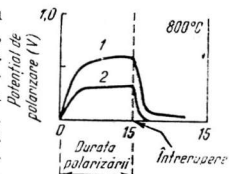


Fig. 7.33. Variația polarizării de concentrație cu timpul la 800 °C.

## 7.6.7 ELECTROLIZA IGNEE CU CATOD METALIC LICHID

Folosirea catozilor lichizi la obținerea unor metale și aliaje prezintă un mare interes teoretic și practic. Deosebit de important este procedeul pentru prepararea acelor metale care în stare pură se obțin foarte greu. Astfel, de exemplu, metalele alcaline se prepară electric cu un randament de curent mai mare pe catod lichid decât pe unul solid. Este bine cunoscut procedeul lui *Ashcroft*, foarte răspândit în Norvegia, de obținere a Na prin electroliza NaCl topite. Electroliza se efectuează în două băi îngemănate; într-o parte NaCl topit se electrolizează între anod de C și catod de Pb topit. Aliajul de Pb-Na format este trecut în cea de-a doua despărțitură, unde el constituie anodul băii care conține ca electrolit NaOH topit, la catod separându-se Na. Temperatura în prima despărțitură este de 770°C, iar în a doua de 330°C.

Unele aliaje ale magneziului se obțin cu un randament de curent superior atunci când catodul, lichid, este alcătuit din metalul care trebuie aliat cu Mg. O metodă de obținere a aliajului de Mg-Pb, cu ulterioara extracție a Mg a fost elaborată tot de *Ashcroft*. Ca electrolit se utilizează  $MgCl_2$ , tensiunea la borne este de 5 V, iar densitatea de curent catodic 1,6 A/cm<sup>2</sup>. Tensiunea la bornele compartimentului unde se separă Mg din aliaj este de numai 2 V; baia de electroliză lucrează cu un randament de curent de 85% și cu o investiție de energie de 18,7 kWh/kg metal.

*Weiner* a încercat obținerea aliajului de Al-Mg, folosind catod de Al topit. În laborator se poate utiliza un electrolizor din sticlă Jena greu fuzibilă, iar pentru scară industrială creuzete de grafit. Ca electrolit s-au utilizat carnalită deshidratată cu adaos de 2%  $CaF_2$ . Temperatura de lucru este cuprinsă între 600 și 640°C, densitatea de curent catodic 1,5 A/cm<sup>2</sup>,  $\eta = 90 - 92\%$ , iar consum energetic 15 kWh/kg de Mg. Procedeul permite obținerea de aliaje cu un conținut mai mare de 90% Mg.

## 7.6.8 ELECTROLIZA IGNEE CU OBȚINEREA DE METALE SOLIDE

Prin depunerea electrolitică a metalelor la catod în stare solidă, are loc cristalizarea lor. Dimensiunile și forma cristalelor depuse, precum și aspectul microscopic al depozitului depind de condițiile electrolizei și de compoziția electrolitului.

Viteza de depunere și caracterul depozitului metalic obținut în cursul electrolizei ignee depinde de o serie de factori; cum sînt: viteza de transport a ionilor spre catod, potențialul de depunere al metalului pe catodul dat, temperatura, densitatea de curent și viteza de fixare a atomilor în rețeaua metalică.

Cauza principală a vitezei limitate de creștere a cristalelor o constituie piedicile ce trebuie învinse de ionii care se depun, pentru a ajunge în zonele unde are loc dezvoltarea cristalelor. De obicei în jurul cristalelor

singulare, în timpul creșterii lor, apare o zonă de electrolit sărăcită în ionii metalului dat (strat de difuzie). Deficitul de ioni metalici din stratul de difuzie mărește neomogenitatea dezvoltării depozitului catodic în urma împrăstierii liniilor de forță ale curentului. De aceea, ionii metalici se vor depune pe acele părți ale suprafeței catodice în apropierea cărora concentrația lor este mai mare. Cu cât electrolitul sărăcește mai repede în ionii metalici în jurul cristalelor care se dezvoltă și cu cât mai des se dispersează liniile de forță ale curentului, cu atât depozitul va fi mai spongios (afinat) și mai microcristalin.

Cristalele care se dezvoltă pe catod se pasivează în timpul în care viteza de depunere a metalului se micșorează. Printre cauzele acestei pasivări, se pot menționa: formarea de pelicule de oxid; depunerea pe fețele cristalelor a unei pelicule subțiri de substanțe nemetale, insolubile în electrolit; adsorbția de substanțe superficial active etc.

Creșterea cristalelor este puternic influențată de densitatea de curent de la catod. Dacă electroliza se efectuează cu intensitate de curent constantă, densitatea de curent catodică se modifică treptat: prin apariția de noi cristale pe catod și dezvoltarea lor, se mărește suprafața activă, iar dacă intensitatea de curent este constantă, densitatea de curent scade progresiv. La scăderea sub o anumită limită a densității de curent, se manifestă pasivarea unor fețe ale cristalului, depunerea metalului continuând numai pe fețele active; în acest caz metalul care se depune se dezvoltă în formă de ace. Dacă intensitatea de curent se mărește, viteza de depunere depășește pe cea de pasivare, suprafața activă se dezvoltă mult, ceea ce produce o scădere corespunzătoare a densității de curent și regimul de electroliză revine la cel inițial.

Mărirea tensiunii aplicate cauzează o creștere rapidă a numărului de cristale de pe catod. Prin uimare, pasivarea catodului se poate evita și prin ridicarea tensiunii aplicate. De aceea, pentru a realiza o acoperire uniformă a catodului, acesta poate fi polarizat cu o mare densitate de curent, la începutul electrolizei. De această dată, numărul cristalelor care se formează pe catod depinde de starea superficială a electrodului: cu cât este mai activă, cu atât este mai mare numărul cristalelor care se formează.

Ridicarea temperaturii băii de electroliză pînă la o anumită valoare influențează favorabil viteza de formare a germenilor și de creștere a cristalelor. După atingerea unui maxim, se înregistrează o scădere a acestor viteze. Acțiunea favorabilă a temperaturii — pînă la o valoare determinată se explică prin accelerarea ionilor și micșorarea potențialului de descărcare. Efectul contrar, constatat după depășirea unei temperaturi determinate, se explică prin mărirea vitezei de dizolvare a micilor cristale depuse, care în anumite puncte depășește viteza lor de depunere.

Depunerea electrolitică a metalelor în stare solidă din săruri topite se întrebuințează în cazul obținerii unor metale greu fuzibile cum sînt Be, Ti și o serie de alte metale rare. Metalele greu fuzibile se pot obține pe cale electrolitică în stare de puritate mai avansată decît prin metodele termice, dar produșii obținuți electrolitic trebuie feriți de acțiunea oxigenului atmosferic. Tot pe cale electrolitică se pot depune din sărurile lor

topite, straturi subțiri și continue de metale greu fuzibile, pe alte metale de bază.

Electrodepunerea Be solid se poate realiza prin mai multe metode.

Astfel, unul din procedee utilizează ca electrolit următorul amestec de săruri:  $\text{BeF}_2 \cdot \text{NaF}$  și  $\text{BaF}_2$ , cea din urmă adăugându-se într-o proporție de 10 — 15%. Ca electrolizor se folosește un creuzet de grafit. În partea superioară a creuzetului se fixează un inel de oțel răcit cu apă și prevăzut cu clame pentru doi electrozi. Între aceștia se găsește catodul, care atinge doar suprafața topiturii și care în cursul electrolizei urcă lent. Catodul constă tocmai dintr-o baghetă de fier, prevăzută cu vîrf de Be și răcită cu apă, pe care se depune metalul. În timpul electrolizei, catodul se rotește în jurul său ceea ce determină o depunere uniformă a metalului. Procesul se desfășoară la 1200°C, în atmosferă de azot. Metalul depus se obține în stare de mare puritate, sub formă de cristale mari.

Recent a fost elaborat procedeul de obținere a Be metalic pur, prin electroliza  $\text{BeCl}_2$  în topitură de NaCl (Be li a e v). Electrolitul întrebuințat se apropie de compoziția eutecticului  $\text{BeCl}_2$ -NaCl și are o temperatură de topire de 215°C. Electroliza se efectuează la 350°C cu anod de grafit și catod de nichel, pe care Be se depune sub formă de cristale cu aspect solzos.

De l i m a r s k i și S k o b e ț au măsurat tensiunea de descompunere a eutecticului 51% (molar)  $\text{BeCl}_2$  + 49% (molar) NaCl, în funcție de temperatură, cu anod de grafit și catod de Pt. S-au obținut următoarele valori:

2,08 V, la 420°C;

1,99 V, la 600°C;

1,93 V, la 700°C.

Pentru obținerea de acoperiri galvanice cu Be s-au făcut studii asupra electrolitului  $2\text{BeO} \cdot 5\text{BeF}_2$ , în amestec cu cloruri și fluoruri ale metalelor alcaline și alcalino-pămîntoase.

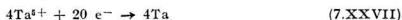
Pentru a aprecia proprietățile depozitului electrolitic de Be s-a recurs, în majoritatea cazurilor, la depunerea pe plăci de Cu. În cursul electrolizei, cuprul se acoperă cu un depozit asemănător oțelului, care aderă foarte bine pe metalul de bază, deoarece parțial se formează un aliaj cu Be. Cele mai bune depuneri s-au făcut la temperaturi cuprinse între 700 și 800°C, iar o densitate de curent ce poate oscila între 0,6 și 1 A/cm<sup>2</sup> fără să prejudicieze natura și calitatea depozitului de Be metalic. La o densitate catodică de 1 A/cm<sup>2</sup> și durata de cîteva minute se obține un depozit uniform de Be/Cu. Dacă procesul este prelungit (30 min sau mai mult) și densitatea de curent se mărește se obține un strat macrocristalin, slab aderent. Forma (macrocristalină) și aderența slabă se explică prin aceea că la densități de curent atît de mari viteza de depunere a Be depășește net viteza sa de difuzie în Cu. Depozite uniforme se realizează cu o intensitate de curent de 5 A, sub o tensiune de 3 V, pe o suprafață catodică de cupru avînd 50 cm<sup>2</sup>, timp de 10 min, la 750°C.

La 900°C, Be se depune din topitura de  $\text{BeF}_2$  +  $\text{BaCl}_2$ , și pe fier, și pe nichel, formînd și aici parțial, aliaje cu metalele de bază.

Pe Al sau duraluminu Be se depune sub formă de strat aproape negru, conferind acestora o duritate superficială pronunțată.

O serie de metale greu fuzibile se obțin sub formă de praf prin electro-liza sărurilor topite. Astfel, praful de Ta pur se obține prin electro-liza amestecului KCl (42%) + KF (43%) + K<sub>2</sub>TaF<sub>6</sub> (10%) și Ta<sub>2</sub>O<sub>5</sub>, aflat în stare topită. Alegerea materialului pentru electrolizor și anod constituie o mare dificultate; utilizarea anodului de grafit duce la impurificarea metalului cu carbon, ceea ce nu este de dorit. Ta<sub>2</sub>O<sub>5</sub> manifestă o influență pozitivă asupra electrolizei; în prezența sa, produs ieftin și accesibil, electroliza se desfășoară fără efect anodic și cu un mare randament de curent. Prezența clorurilor favorizează de asemenea creșterea randamentului de curent.

Asupra mecanismului de depunere electro-litică a Ta din topituri, există două puncte de vedere. Conform unuia, electro-liza are loc, în principal, prin reducerea tantalului pentavalent conform reacțiilor parțiale:



sau



global:



Alții explică reducerea Ta cu ajutorul potasiului, depus la catod și care apoi ar reduce ionii ce conțin Ta, pînă la forma finală de Ta metalic.

În același mod se pot obține Mo, W, Ti, Zr. Deși Mo și W se obțin de obicei prin reducerea oxizilor lor cu H<sub>2</sub> sau C, astăzi se insistă din ce în ce mai mult asupra preparării lor pe cale de electro-liză ignee.

Încă în 1925, W a fost obținut prin electro-liza Na<sub>2</sub>WO<sub>4</sub>, la 950°C, cu o densitate de curent de 0,15 A/cm<sup>2</sup> și cu un randament de curent de 60 — 80%. Produsul obținut (pulbere de W) conține 99,3% W.

Astăzi W se poate prepara prin electro-liza unor săruri complexe conținând fosfați și borați; compoziția electrolitului este 7 moli Na<sub>4</sub>P<sub>2</sub>O<sub>7</sub> + 3 moli NaPO<sub>3</sub> + 4 moli WO<sub>3</sub> + 15 moli NaCl; o capsulă de grafit servește drept catod și o bară de grafit, anod. Randamentul de curent  $\eta_I = 88\%$ ,  $i_{cat} = 0,35 \text{ A/cm}^2$ , iar temperatura 900°C.

Obținerea Ti metalic pe cale electro-litică din topituri a fost urmărită pe multe căi; diversele procedee prezintă unele neajunsuri, din care cauză nu se pot extinde la scară industrială.

C o r d n e r și W o r n e r recomandă un electrolit pe bază ne cloruri, în atmosferă de hidrogen. Ca dizolvant se întrebuițează amestecul eutectic de LiCl (60%) și KCl (40%). TiCl<sub>4</sub> se introduce într-un electrolizor închis ermetic, în care se reduce, cu hidrogen pînă la TiCl<sub>3</sub> prin dizolvarea ulterioară a TiCl<sub>3</sub> temperatura de topire coboară pînă la 343°C. Electro-liza se efectuează la 550°C cu catod de W, la tensiunea de 1 — 2 V și cu densitatea de curent de 6 A/cm<sup>2</sup>. Randamentul de curent este de 60%. Titanul, în stare de pulbere, astfel obținut este microcristalin.



În lucrări mai recente pentru electroliză, se recomandă amestecul  $K_2TiF_6 + NaCl$ .

Fe și Cu se pot acoperi cu Ti pe cale electrolitică, folosind anod solubil de Zn-Ti. Procesul se desfășoară la  $300^\circ C$  și cu densitatea de curent de  $0,5 A/cm^2$ .

La prepararea electrolitică a Zr se recomandă să se plece de la  $K_2ZrF_6$  adăugat de o clorură alcalină de K sau Na. Temperatura de topire a acestui amestec este de circa  $790^\circ C$ , temperatura de electroliză de  $850^\circ C$ , tensiunea  $3,5 - 4 V$  și densitatea de curent inițială  $2,5 - 4 A/cm^2$ . Randalamentul de curent  $60 - 64\%$ . Ca anod se folosește o capsulă de grafit, iar drept catod, o bară de oțel. Pentru a feri Zr obținut de oxidare, electroliza trebuie efectuată în atmosferă de argon. Metalul se depune sub formă de cristale mari argintii ( $0,3 - 0,5 mm$ ).

## Bibliografie

1. A. F. , Alabișev, M. F., Lantratov și A. G., Morașevski. *Reference Electrodes for Fused Salts*, Sigma Press, Washington, D. C., 1965
2. M., Blander (ed.), *Molten Salt Chemistry*, Interscience Publ., New York, London, Sidney, 1964, pp 535-606 și 681-733
3. Iu. K., Delimarski și D. F., Markov. *Electrochemistry of Fused Salts*, Sigma Press, Washington D. C., 1963
4. H., Eyring, D., Henderson și W., Jost. *Physical Chemistry vol. IX b, Electrochemistry*, Academic Press, New York, London, 1970, cap. 10
5. G. J., Janz. *Molten Salt Handbook*. Academic Press, New York, 1967
6. G., Morand și J., Hladik. *Electrochimie des sels fondus*. Masson, Paris, 1969, vol. 1 și 2

## ELECTROCHIMIA GAZELOR

## 8.1 APARIȚIA DESCĂRCĂRILOR ÎN GAZE

Dacă între electrozii  $A$  și  $C$ , plasați într-un gaz (fig. 8.1) se realizează o diferență de potențial, care se mărește treptat, curentul slab care apare inițial în circuit se va supune legii lui Ohm. Apariția acestui curent este legată de așa numita conductibilitate electrică inițială, condiționată de prezența în gaz a unor ioni, care se formează neîncetat sub acțiunea luminii, a razelor cosmice, a radioactivității. O creștere în continuare a gradientului de potențial se soldează cu dispariția proporționalității dintre  $V$  și  $I$  și curentul atinge o valoare cuasi-constantă, de saturație. Aceasta se întâmplă începând de la o valoare  $\mathcal{E}$  a gradientului de potențial pentru care ionii formați între electrozi și cei veniți din afara sint accelerați și izbutesc să ajungă la electrozi înainte de dispariția lor (descărcare pe electrozi). Fenomenul se numește descărcare neîntreținută, deoarece prin îndepărtarea factorilor de ionizare internă a gazului, curentul se anulează (fig. 8.2). La valori și mai mari ale gradientului de potențial,  $I$  începe din nou să crească. Valoarea  $\mathcal{E}$  la care  $I$  crește din nou depinde de natura gazului și e direct proporțională cu presiunea acestuia. Raportul  $\mathcal{E}/p$  numit gradient de potențial relativ exprimat de obicei în  $V/cm$  mm Hg este o caracteristică a gazului și se găsește în domeniul cuprins între 2 și 5 la gazele rare și urcă pînă la 20 pentru azot și aer. Mai departe, dacă se păstrează constant raportul  $\mathcal{E}/p$ , în domeniul situat la dreapta punctului  $B$  (fig. 8.2)  $I$  depinde exponențial de distanța dintre electrozi.

$$I = I_0 \exp(\alpha, x), \quad (8.1)$$

unde  $\alpha$  și  $I_0$  sînt constante pentru un gradient de potențial relativ dat;  $I_0$  este valoarea curentului pentru  $x = 0$ , iar  $\alpha$  este coeficientul de ionizare pentru electroni sau primul coeficient Townsend.

Creșterea exponențială a curentului se datorează acțiunii ionizante a electronilor care dobîndesc energii suficiente pentru a deveni și ei agenți de ionizare.

Fie un electron care se mișcă în sensul cîmpului; pe unitatea de lungime el generează un număr  $\alpha$  de perechi de particule încărcate (ioni + electroni). Electronii secundari vor genera

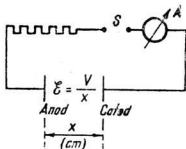


Fig. 8.1. Conductibilitatea electrică inițială a gazelor.

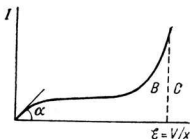


Fig. 8.2. Caracteristica  $I-\epsilon$  a unui gaz.

și ei perechi de ioni, în număr și mai mare, ceea ce duce la creșterea în lăvină a curentului de electroni. Dacă într-un punct  $x$  al spațiului dintre electrozi numărul de electroni în lăvină este  $n$ , atunci după un parcurs  $d$  în sensul cimpului, numărul lor va crește cu

$$dn = \alpha n dx \quad (8.2)$$

limitele de integrare sînt 0 și  $x$  pentru  $x$  și respectiv  $n_0$  și  $n$  pentru  $n$ . Deci :

$$\int_{n_0}^n dn = \alpha n \int_0^x dx. \quad (8.3)$$

De unde :

$$\ln \frac{n}{n_0} = \alpha x \quad \text{sau} \quad n = n_0 \exp(\alpha x). \quad (8.4)$$

Deoarece

$$I = ne_0 \quad \text{și} \quad I_0 = n_0 e_0,$$

unde  $e_0$  reprezintă totdeauna sarcina elementară, după înlocuirea în ecuația (8.4) se obține tocmai relația (8.1).

La deducerea expresiei (8.1) nu s-a ținut seama și de acțiunea ionilor pozitivi, care se mișcă în sens contrar electronilor. De fapt,  $\beta$ , coeficientul corespunzător acestui efect de ionizare numit și al doilea coeficient Townsend, este mult mai mic decît  $\alpha$ , dar pentru calcule precise este bine să se țină seama și de el; expresia corectă este :

$$I = I_0 \frac{(\alpha - \beta) \exp(\alpha - \beta)x}{\alpha - \beta \exp(\alpha - \beta)x}. \quad (8.5)$$

Coeficienții  $\alpha$  și  $\beta$  sînt dependenți de gradientul de potențial relativ,  $\mathcal{E}/p$  și de presiunea  $p$  :

$$\alpha = p \cdot f\left(\frac{\mathcal{E}}{p}\right), \quad (8.6)$$

sau

$$\frac{\alpha}{p} = f\left(\frac{\mathcal{E}}{p}\right). \quad (8.6a)$$

O relație analogă se poate scrie și pentru  $\beta$ . Funcția  $f$  este de formă exponențială :

$$\frac{\alpha}{p} = A \exp\left[-B\left(\frac{\mathcal{E}}{p}\right)\right], \quad (8.7)$$

unde  $A$  și  $B$  sînt constante.

Raportul  $\alpha/p$  are un sens fizic determinat : deoarece  $\frac{l}{p}$  este proporțional cu liberul parcurs mijlociu  $l$  al electronului,  $\alpha/p$  este proporțional cu  $\alpha/l$ , adică numărul mediu de perechi de ioni creați în sensul cimpului și de-a lungul drumului liber mijlociu. Egalitatea (8.7) arată că  $\alpha/p$  crește repede cu creșterea gradientului de potențial relativ. Cînd  $\mathcal{E}/p$  a atins valori destul de mari (de exemplu 20 V/cm mm Hg, pentru aer), în transportul curentului încep să participe particulele încărcate (ioni și electroni) secundare, iar intensitatea de curent crește (domeniul  $B$ , fig. 8.2). În zona  $B$  începe descărcarea obscură sau descărcarea lui Townsend, caracterizată printr-un curent relativ mic și prezența unei luminescențe slabe, datorată excitării moleculelor de către electronii accelerați de cîmp.

O mărire ulterioară a lui  $\mathcal{E}$  aduce cu sine creșterea curentului, la început mai lent ( $B$ ), iar apoi brusc la valori foarte mari determinate de rezistența interioară a tubului de descărcare și de mobilitatea purtătorilor de curenți, cu o paralelă luminescență vie a gazului. Fenomenul, care în aer la presiunea atmosferică se produce la  $\mathcal{E} = 3 \cdot 10^4$  V/cm, se numește aprinderea descărcării gazoase, sau străpungerea mediului gazos. După străpungere, descăr-

carea devine independentă sau autointreținută, deoarece ea însăși produce particulele încărcate necesare pentru transportul curentului; întreținerea ei nu mai reclamă acțiunea ionizantă internă.

După străpungere, conductibilitatea mediului gazos crește foarte mult, iar tensiunea la electrozi scade repede pînă la așa numita tensiune de ardere a descărcării. În funcție de o serie întreagă de condiții, descărcarea autointreținută poate avea forme care se deosebesc atît prin natura cit și prin caracterul proceselor elementare și a distribuției potențialului de-a lungul axei de descărcare. Principalele forme ale acestei descărcări sînt:

- *scînteia*, caracterizată printr-o presiune  $p \leq 1$  atm, distanță mare între electrozi și diferență de potențial,  $V$ , mare, dar sursa de curent este de putere mică (bobină de inducție);
- *descărcarea luminescentă*, caracterizată prin valori mijlocii ale rezistenței interioare și ale puterii curentului și
- *descărcarea în arc (arcul)* unde rezistența este mică, dar presiunea gazului și intensitatea sursei de curent sînt mari.

Descărcarea luminescentă se poate transforma treptat în arc, prin mărirea puterii curentului, prin micșorarea rezistenței interioare și prin mărirea presiunii.

În anumite condiții speciale este posibilă descărcarea independentă (autoîntreținută) încă de pe la valori ale tensiunii ce sînt insuficiente pentru străpungere totală. Aceasta se întîmplă în cîmpuri foarte neomogene, la electrozi avînd secțiunea mică (virfuri ascuțite, sirme subțiri); și se întîlnește la efectul *Corona* (fir de sîrmă, cilindru coaxial). Gradientul de potențial este mare la suprafața firului și se micșorează spre suprafața cilindrului proporțional cu  $d^{-2}$ , unde  $d$  este distanța de la fir la cilindru. În preajma firului  $E/p$  poate fi destul de mare pentru ca străpungerea să se realizeze, dar sub limita de străpungere la suprafața cilindrului. În jurul firului apare o luminescență, numită descărcarea independentă *Corona*.

Procese elementare care se desfășoară în diversele tipuri de descărcări sînt reflectate de caracteristicile tensiune — curent ale descărcării. În conductori lichizi sau solizi rezistența fiind independentă de intensitatea curentului, caracteristicile tensiune — curent, în acord cu legea lui Ohm, sînt liniare. Dimpotrivă la gaze, concentrația transportorilor de curent (ioni) depinde de mulți factori, și în primul rînd de intensitatea curentului. De aceea de multe ori curba caracteristică volt — amperică este ondulată (fig. 8.3).

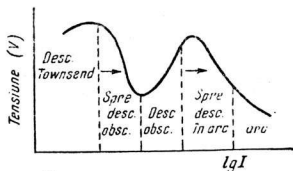


Fig. 8.3. Caracteristica descărcării în gaze.

## 8.2 SCÎNTEIA. REACȚII CHIMICE ÎN SCÎNTEIE

Scînteia se formează la presiuni mari ale gazului și la o tensiune de străpungere (disruptivă) mare. Datorită creșterii concentrației purtătorilor de sarcină în momentul străpungerii, intensitatea curentului crește și ea brusc la valori foarte mari. Dacă însă puterea sursei de curent este mică sau rezistența circuitului mare, creșterea de curent nu poate avea loc și descărcarea încetează. Prin întreruperea curentului tensiunea la electrozi crește din nou, pînă cînd se produce o nouă străpungere ș.a.m.d., astfel că procesul de trecere a curentului prin gaz are în acest caz un caracter discontinuu. Descărcarea apare ca un drum luminos în zig-zag (canale ale scînteii). Creșterea temperaturii gazului în scînteie este considerabilă, cifrindu-se la  $10\,000^{\circ}\text{C}$  și mai mult. Din cauza creșterii bruște de presiune în canalele scînteii, descărcarea e însoțită și de un efect sonor (pocnituri, trăsnet).

Descărcarea sub formă de scînteie a fost prima formă de descărcare în gaze folosită la realizarea și studierea unor reacții chimice. Se citează

reacțiile de sinteză a  $\text{NH}_3$ ,  $\text{NO}$ ,  $\text{HCN}$ ,  $\text{O}_3$ ; reacții de transformare și descompunere a hidrocarburilor ș.a. Dar caracterul acestor cercetări a fost mai mult calitativ, urmărindu-se doar scopul preparativ. Din cauza complexității interacțiunii dintre scînteie și diversele molecule reactante nici astăzi nu există o prelucrare cantitativă a acestora. Se știe însă că din cauza temperaturii foarte ridicate care ia naștere în canalele scînteii, moleculele gazoase se descompun în fragmente active (atomi și radicali), a căror recombinație ulterioară în zone mai reci duce la formarea de molecule noi.

### 8.3. DESCĂRCAREA LUMINESCENTĂ. REACȚII CHIMICE ÎN DESCĂRCAREA LUMINESCENTĂ

Descărcarea luminescentă care apare în tubul de descărcare după străpungere la presiune mică și la o rezistență interioară nu prea mică, se caracterizează printr-o distribuție a domeniilor (sau zonelor) luminoase și obscure după cum arată figura 8.4.

În figura 8.5 *a*, și *b* se indică profilul căderii de potențial,  $V$ , între electrozi și al gradientului de potențial  $\mathcal{E}$  de-a lungul distanței interelectrodice.

Cercetîndu-se intensitatea luminoasă a diverselor zone ale descărcării luminescente, compoziția spectrală a radiației luminoase, precum și distribuția potențialului și a gradientului de potențial, s-a tras concluzia că procesele de bază, esențial necesare pentru descărcarea staționară se desfășoară în domeniul din vecinătatea catodului.

Ionii pozitivi accelerați în domeniul căderii de potențial catodice bombardează suprafața catodului și smulg electroni din catod; acest bombardament constituie principala cauză a emisiei de electroni primari. Electronii

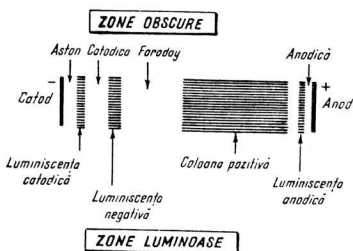


Fig. 8.4. Distribuția zonelor obscure și a celor luminoase în descărcarea luminescentă.

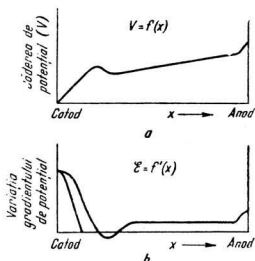


Fig. 8.5. Profilul căderii de potențial și al gradientului de potențial la descărcarea luminescentă.

primari au o energie inițială mică, astfel că nu pot nici excita și nici ioniza moleculele de gaz din tub. După ce parcurg în câmpul electric un spațiu a cărui lungime depinde de natura gazului, dobândesc suficientă energie pentru ca prin ciocniri să excite molecule de gaz. De aceea primul domeniu luminescent (catodic) este separat de catod prin domeniul obscur al lui A s t o n. Se știe însă că o dată cu creșterea energiei, probabilitatea excitării și ionizării moleculelor cu electroni trece printr-un maxim. Căpătînd accelerații și mai mari, electronii primari dobîndesc energii care depășesc pe cea corespunzătoare maximului de probabilitate de excitare; numărul de ciocniri eficace pentru excitare scade, paralel cu scăderea luminozității și apare zona obscură catodică. Pierzînd capacitatea de a excita moleculele, electronii dobîndesc capacitatea de a le ioniza. Dar, funcția de ionizare este esențial deosebită de funcția de excitare: ea crește monoton pînă la valori de 100 — 200 eV, în funcție de natura gazului. De aceea, în zona catodică obscură are loc o ionizare intensă a moleculelor de gaz, care duce la apariția de ioni pozitivi și electroni secundari a căror accelerare în câmpul electric cauzează noi excitații și ionizări, în urma cărora apar electroni terțiari ș.a.m.d.

Astfel se explică succesiunea de zone luminoase cu zone obscure. Dacă anodul se găsește destul de aproape de catod, sau nu există obstacole (pereți) care să limiteze descărcarea, domeniul obscur al lui F a r a d a y se poate întinde pînă la anod și numai în vecinătatea lui apare o zonă îngustă luminoasă anodică, legată de căderea de potențial anodică, necesară pentru atragerea (captarea) și difuzarea electronilor. De aceea electronii cad pe anod cu energii destul de mari pentru a excita moleculele.

Dacă însă distanța dintre anod și catod este destul de mare și descărcarea e limitată de pereții tubului, mai apare încă o zonă luminoasă, coloana pozitivă, a cărei întindere se poate stabili după voie, mărind distanța dintre electrozi și mărind diferența de potențial aplicată între aceștia. Apariția coloanei pozitive este pusă în legătură cu dispariția particulelor încărcate pe pereții tubului.

Constanța câmpului în coloana pozitivă a descărcării dovedește absența în acest domeniu a sarcinilor de volum și deci egalitatea concentrațiilor particulelor încărcate pozitiv și negativ. În același timp, buna conductibilitate electrică a ei este o mărturie a concentrației mari de particule încărcate (atingînd valori de ordinul  $10^{12}/\text{cm}^3$ ). Această stare a materiei gazoase, caracterizată printr-o mare cantitate de particule încărcate, unde concentrațiile particulelor pozitive și negative sînt egale, astfel că în ansamblu, ea apare neutră (sau pe alocuri cuasi — neutră) se numește plasmă. Prin natura sa, plasma prezintă proprietăți asemănătoare pe de o parte cu starea metalică, iar pe de altă parte cu soluțiile de electroliți. Asemănarea cu starea metalică constă în aceea că în raport cu electronii rapizi, care constituie principalii transportori de curent, ionii pozitivi, mult mai greoi, se pot considera imobili și asemănători cu ionii care ocupă nodurile din rețeaua cristalină. Deosebirea față de starea metalică constă în aceea că gazul electronic din plasmă nu este degenerat. Egalitatea concentrațiilor particulelor încărcate pozitiv și negativ, care se mișcă într-un mediu vîscos, seamănă plasma cu soluțiile de electroliți.

Între electronii plasmă au loc schimburi intense de energie, posibile grație mișcării lor în microcîmpurile ionilor pozitivi unii din electroni sînt accelerați, iar alții frînați de către aceste microcîmpuri. Aceste schimburi de energie stau la baza unei distribuții statistice a vitezelor electronilor, asemănător cu distribuția termică a lui  $M$  a  $x$  w e l l. De aceea este posibilă exprimarea așa-numitei temperaturi electronice a gazului electronic din plasmă, caracterizată prin energia cinetică medie a electronilor. Din cauza masei lor mici, a vitezei mari și a pierderilor neînsemnate de energie prin ciocniri, electronii plasmă posedă, la presiuni relativ mici, o energie medie superioară celorlalte particule din plasmă, cum sînt ionii și moleculele. Cu alte cuvinte, temperatura electronilor din plasma coloanei pozitive a descărcării luminescente poate depăși considerabil temperatura medie a gazului și atinge zeci de mii de grade față de temperaturile de zeci sau sute de grade ale gazului. În acest sens se vorbește despre așa — numitul caracter neizoterm al plasmă, caracteristic pentru descărcările în gaze avînd presiuni de ordinul mm sau zecimilor de mm Hg. Prin ridicarea presiunii schimbul energetic dintre electroni și particulele grele crește din cauza înmulțirii ciocnirilor, temperatura electronilor scade, dar cea a gazului crește și plasma poate deveni izotermă; temperatura se poate egala pentru electroni, ioni și molecule, în plasma arcului. Dacă rolul coloanei pozitive în descărcarea luminescentă este neglijabil, în schimb importanța ei practică pentru chimie și în tehnica iluminatului este foarte mare.

Reacțiile chimice care se desfășoară sub acțiunea temperaturilor înalte sînt însoțite de o scădere a entalpiei libere  $G$  și evoluează pînă la starea de echilibru caracterizată prin valoarea minimă a lui  $G$ . De exemplu, pentru atingerea unui grad de disociere de 0,5 la presiunea de  $10^{-3}$  atm (0,76 mm Hg.) hidrogenul gazos trebuie încălzit pînă la  $2\ 600^\circ\text{K}$ . Amestecul gazos obținut, conținînd 66% moli de hidrogen atomic, va avea  $G$  minim, adică se va găsi în echilibru; la temperatura de  $800^\circ\text{K}$  amestecul de echilibru al hidrogenului nu conține decît  $\sim 10^{-8}\%$  atomi de hidrogen. Folosind descărcarea luminescentă disocierea totală a moleculelor  $\text{H}_2$  se poate atinge, la aceeași temperatură de  $800^\circ\text{K}$ . Obținerea unor concentrații atomice superioare este posibilă în descărcarea luminescentă și pentru alte specii, cum sînt  $\text{O}_2$ ,  $\text{Cl}_2$ ,  $\text{H}_2\text{O}$ ,  $\text{NH}_3$ ; hidrocarburile se pot descompune în radicali liberi, iar  $\text{NO}$  se poate sintetiza din elemente etc. Din punct de vedere termodinamic posibilitatea obținerii unor produși în concentrații supraechivalente echilibrului este legată de neomogenitatea termică a plasmă.

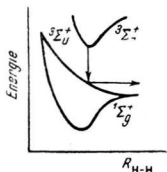


Fig. 8.6. Activarea disocierii moleculei  $\text{H}_2$  prin descărcare luminiscentă.

Energia conținută de gazul electronic poate fi preluată pentru activarea procesului chimic în moduri ce diferă de la o reacție la alta. În particular, disocierea moleculei  $\text{H}_2$  se pare că are la bază următorul mecanism (fig.8.6). Prin ciocnirea cu electronii, molecula  $\text{H}_2$  trece din starea normală de singlet  $1\Sigma_g^+$  în stare de triplet  $3\Sigma_g^+$ . Pentru aceasta electronul trebuie să posede energia minimă de 11,4 eV, ceea ce corespunde la  $85\ 000^\circ\text{K}$ . Întrucît procesul spontan invers este interzis de regula de selecție, din starea de triplet molecula va efectua tranziția ad-

misă pe nivelul nestabil  $^3\Sigma_u^+$ , se disociază în atomi normali și radiază excesul de energie sub formă de spectru continuu în ultraviolet.

Wood a fost cel care a obținut pentru întâia oară (1920) atomi de H cu ajutorul descărcărilor luminescente. În figura 8.7 este schițată aparatura folosită în acest scop; ea constă dintr-un tub de descărcare din sticlă, lung de 2m, electrozi de aluminiu lucios. Intensitatea curentului este cuprinsă între 0,3 și 0,4 A. Hidrogenul era introdus la presiuni  $p \leq 1$  mm Hg, cu viteza de 2—3 l/s. Atomii formați în descărcare se pot recombina în molecule practic numai pe pereți; de aceea, dacă aceștia se dezactivează în privința recombinației prin adsorbire de  $H_2O$  sau un strat de  $H_3PO_4$ , atomii H se pot extrage din descărcare și păstra pentru utilizări ulterioare timp de circa o secundă.

Pe aceeași cale este posibilă obținerea de O, Cl și de radicali simpli ca -OH din  $H_2O$ ,  $-CH_3$  din  $CH_4$  ș.a.; de asemenea se pot obține compuși ca  $H_2O_2$ ,  $O_3$ , NO.

Pentru obținerea NO, descărcarea luminescentă se efectuează la presiuni mult mai mari ( $\sim 100$  mm Hg):



Calculul termodinamic arată că prin ridicarea temperaturii concentrația de echilibru a NO crește și trece printr-un maxim, a cărei valoare depinde de compoziția gazului inițial și presiune. În cazul aerului (4. vol.  $N_2$ : 1 vol.  $O_2$ ) la  $p$  de 100 mm Hg, concentrația de echilibru maximă este de aproximativ 3% (volum) NO și corespunde la 3 000°K. În descărcarea luminescentă în regim staționar și pentru aceleași condiții, [NO] este 11,3% (vol.).

## 8.4 DESCĂRCAREA ÎN ARC. REACȚII ÎN ARC

Dacă se mărește intensitatea curentului în descărcarea luminescentă, după un anumit timp începe să crească și densitatea curentului la catod. Aceasta din urmă crește și mai mult dacă simultan se ridică și presiunea, ceea ce cauzează o paralelă micșorare a secțiunii transversale a descărcării. Ca urmare cantitatea de energie care atinge unitatea de suprafață de lucru a catodului crește și o dată cu aceasta și temperatura catodului. Dacă suprafața este mică, catodul devine în întregime incandescent, iar dacă suprafața este mare, pe el apare o pată incandescentă din care pornește o descărcare în arc (arc cu catod fierbinte). Procesele care au loc pe asemenea catodi fierbinți (incandescenți) diferă net de cele de pe catodul rece din descărcarea luminescentă. Dacă în descărcarea luminescentă emisiile electronice a catodului era datorată în principal bombardamentului ionilor pozitivi accelerați de căderea de potențial catodică, la descărcarea în arc

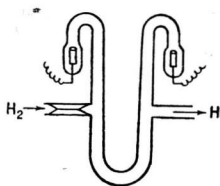


Fig. 8.7. Tub de descărcare folosit la disocierea hidrogenului molecular.



emisia electronică a catodului este preponderent de natură termoelectronică; trecerea de la descărcarea luminescentă la cea în arc cu catod fierbinte este determinată de temperatura catodului. De aceea răcirea puternică a catodului (curent de apă) poate opri trecerea, obținându-se descărcarea luminescentă chiar și la presiuni apropiate de cea atmosferică și intensități apreciabile de curent.

Nu este exclus însă nici un alt mecanism de emisie electronică a catodului. Astfel, la mari densități de curent și la densități sau presiuni mari de gaz sau vapori, întinderea domeniului căderii de potențial catodice poate deveni atât de restrânsă încât  $\delta$  poate atinge valori de  $10^6$  V/cm, suficiente pentru a elibera electronii din metal. Această emisie autoelectronică duce la descărcarea în arc cu catod rece și se obține deosebit de ușor cu un metal volatil (Hg).

Pentru scopuri practice, ca și la descărcarea luminescentă, prezintă importanță coloana pozitivă, a cărei întindere este și cea mai mare din toată descărcarea. Plasma ei poate fi de asemenea neizotermă. Dar, la creșterea intensității de curent, crește și concentrația electronilor și apare astfel posibilitatea ionizării treptate. De aceea compensarea pierderii de particule încărcate din plasmă se poate realiza prin electroni mult mai lenți, deci la temperaturi electronice mai joase. Cu alte cuvinte, pentru a păstra starea staționară a plasmelor sînt acum suficiente cîmpuri mai slabe, acceleratoare de electroni deci gradienti de potențial mult mai mici; pe caracteristica tensiune-curent, se observă scăderea de tensiune, ce survine la mărirea intensității de curent (fig.8.3). Pe de altă parte, prin mărirea intensității de curent și ridicarea presiunii, concomitent cu scăderea temperaturii electronilor are loc încălzirea gazului, care este legată de înmulțirea numărului de ciocniri dintre electroni și molecule de gaz și de transferul de energie de la electroni în cîmpul electric al plasmelor, la moleculele de gaz. De aceea temperatura electronilor scade, iar cea a moleculelor de gaz crește. La o intensitate de curent și la presiuni destul de ridicate plasma coloanei pozitive poate deveni izotermă; valoarea pe care o poate atinge temperatura este de  $6\,000^\circ$ . Dar la această temperatură sursa principală de particule încărcate devine ionizarea termică a gazului, la care mulțimea de electroni și ioni se formează prin ciocniri între molecule (sau atomi) și nu prin ciocniri molecule-electroni. După instalarea regimului de echilibru este posibilă calcularea gradului de ionizare  $\alpha$ .

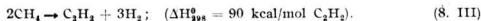
Astfel, pentru reacția de ionizare



se poate scrie constanta

$$K_p = \frac{\alpha^2}{1 - \alpha} p; \quad (8.8)$$

Cea mai importantă utilizare practică a arcului izoterm, în condiții de presiune ridicată o constituie electrocracarea metanului la acetilenă, care decurge după reacția globală:



Procesul se desfășoară în arc de curent constant. Metanul pătrunde în reactor cu presiunea de 1,5 atm, cu un debit de 2 800 m<sup>3</sup>/h, imprimându-i-se prin proiectare tangențială, la intrarea în reactor, o mișcare circulară (fig. 8.8). Puterea arcului se menține la 7 000 V × 1 000 A; lungimea electrodului pămintat, tubular și răcit cu apă (2) este de 1 m. La electrodul tubular are loc contactul dintre arc și gaz și se desfășoară în principal reacția de cracare. Conversia CH<sub>4</sub> după o trecere este de ~ 50%, produșii de reacție conținând: 13% C<sub>2</sub>H<sub>2</sub>, 1% C<sub>2</sub>H<sub>4</sub>, 50% H<sub>2</sub> și 30% CH<sub>4</sub> nereacționat.

Deoarece C<sub>2</sub>H<sub>2</sub> nu este stabilă la temperaturi înalte, încăperea 5, unde se culeg produșii de reacție, se răcește la circa 150°C prin pulverizare cu apă. Alături de concentrația mare în acetilenă, consumul relativ mic de energie în arc (10 kWh/kg C<sub>2</sub>H<sub>2</sub>) este un indice tehnico-economic avantajos; el este apropiat de consumul de energie în procedeul de obținere a C<sub>2</sub>H<sub>2</sub> din CaC<sub>2</sub>. Însă ținând cont de o serie de avantaje ale metodei, obținerea C<sub>2</sub>H<sub>2</sub> prin electrocracare revine în general mai ieftină decât prin procedeul de carbid. Coeficienți economici încă și mai buni se pot obține la prelucrarea prin metoda arcului a altor hidrocarburi saturate cum sînt C<sub>2</sub>H<sub>6</sub>, C<sub>3</sub>H<sub>8</sub> și amestecul acestora cu CH<sub>4</sub>.

Pentru realizarea în bune condiții a reacției de electrocracare a CH<sub>4</sub> și a altor hidrocarburi în arcuri de temperaturi ridicate, este necesară respectarea unei serii de condiții, printre care se menționează: un timp de reacție de ordinul 10<sup>-3</sup>s, viteza liniară a gazului de circa 1 000 m/s și o răcire rapidă a produșilor de reacție.

Energia specifică, definită prin raportul dintre cantitatea de energie dezvoltată de descărcare și cantitatea de substanță care pătrunde în arc, într-un interval de timp dat, este o mărime importantă pentru determinarea gradului de transformare. Ea se exprimă prin kWh/m<sup>3</sup> gaz (în condiții normale) sau kWh/l și se simbolizează prin  $P/V$ , unde  $P$  este puterea descărcării, iar  $V$  volumul de substanță intrat în arc, în decurs de o oră. La electrocracarea metanului valoarea optimă a energiei specifice este de 2,5 kWh/m<sup>3</sup> CH<sub>4</sub>.

## 8.5 CINETICA ELECTROCRACĂRII CH<sub>4</sub>

Cinetica reacțiilor în descărcări electrice a fost bine studiată în cazurile următoarelor reacții endoterme:

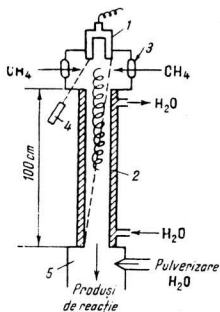
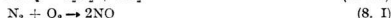


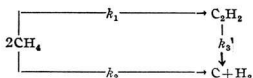
Fig. 8.8. Electrocracarea metanului:

1 — electrod; 2 — electrod tubular răcit cu apă; 3 — admisia metanului; 4 — electrod auxiliar de aprindere; 5 — încăpere răcită cu apă.

În prima etapă între anii 1920 și 1930 s-au făcut încercări pentru a evidenția analogia dintre reacțiile gazelor în descărcări și electroliza din soluții; s-a dat și o lege a echivalenței electrochimice, asemănătoare legii lui Faraday de la soluții, dar care a fost părăsită, din cauza deosebirilor fundamentale ce există între ele. Astfel, la electroliza obișnuită, masa descompusă depinde de intensitatea curentului și în nici un caz de distanța dintre electrozi, cu care e proporțională masa de substanță transformată în descărcări electrice. Tot proporțional cu această distanță se modifică și căderea de tensiune. De aici concluzia că viteza reacțiilor chimice din descărcările electrice este proporțională cu puterea  $P$  a descărcării.

Studiile de cinetică a reacțiilor din descărcări au relevat dificultățile legate de imposibilitatea practică a determinării timpului de reacție. Problema se poate rezolva prin introducerea în ecuațiile cinetice a unei mărimi proporționale cu timpul și anume, reciproca vitezei volumice de scurgere a gazului prin vasul de reacție,  $\frac{1}{V}$ .

După cum indică experiența, la electrocracarea  $\text{CH}_4$ , pe lângă reacția principală de formare a  $\text{C}_2\text{H}_2$  se desfășoară o serie întreagă de alte reacții ducând la produși nesaturați, printre care etilena deține locul principal, sau chiar la descompunerea hidrocarburilor în elemente. Însă, într-o primă aproximație cinetică de transformare a  $\text{CH}_4$  și de acumulare a  $\text{C}_2\text{H}_2$  se poate considera independentă de mecanismele reacțiilor și desfășurându-se după schema:



Conform schemei  $\text{CH}_4$  participă la două reacții paralele, iar  $\text{C}_2\text{H}_2$  este produs intermediar în altele două, succesive. Concentrația  $\text{C}_2\text{H}_2$  (sau gradul de conversie al  $\text{CH}_4$  în  $\text{C}_2\text{H}_2$ ) ar trebui să treacă printr-un maxim, ceea ce experiența confirmă. Valorile vitezelor specifice de ordinul întâi  $k_1$ ,  $k_2$  și  $k_3$  nu depind de puterea  $P$  a arcului. Pentru deducerea ecuației cinetice, să considerăm o zonă de reacție avînd formă cilindrică (fig.8.9) prin care pătrund dinspre stînga  $n_{0,\text{CH}_4}$  moli de metan. Să ne imaginăm în acest cilindru un strat foarte subțire, a cărui traversare de către cei,  $n_{\text{CH}_4}$ , moli de metan în intervalul de timp  $dt$  se soldează cu micșorarea numărului de moli de  $\text{CH}_4$  la  $n_{\text{CH}_4} - dn_{\text{CH}_4}$ . Viteza globală de transformare a  $\text{CH}_4$  în acest strat se scrie:

$$-\frac{dn_{\text{CH}_4}}{dt} = (k_1 + k_2)Pn_{\text{CH}_4}, \quad (8.9)$$

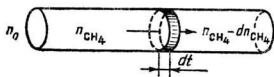


Fig. 8.9. Zonă cilindrică de reacție la electrocracarea metanului.

iar viteza de acumulare a  $\text{C}_2\text{H}_2$  este:

$$\frac{dn_{\text{C}_2\text{H}_2}}{dt} = \frac{1}{2} k_1 P n_{\text{CH}_4} - k_3 P n_{\text{C}_2\text{H}_2}, \quad (8.10)$$

deoarece se consideră directă proporționalitatea între viteza reacției și

puterea  $P$ . Integrând ecuația (8.9) între 0 și  $t$ , respectiv  $n_{0,CH_4}$  și  $n_{CH_4}$ , se obține:

$$n_{CH_4} = n_{0,CH_4} \exp[-(k_1 + k_2)Pt] \quad (8.11)$$

sau încă:

$$n_{CH_4} = n_{0,CH_4} \exp[-(k_1 + k_2)P/V] \quad (8.12)$$

deoarece timpul de reacție,  $t$ , este invers proporțional cu viteza de scurgere a gazului; înlocuirea lui  $t$  cu  $\frac{1}{V}$  aduce și modificarea dimensiunilor constantelor  $k_1$  și  $k_2$ .

Printr-o transformare simplă, se poate exprima conversia globală a metanului:

$$\frac{n_{0,CH_4} - n_{CH_4}}{n_{0,CH_4}} \equiv \Delta = 1 - \exp[-(k_1 + k_2)P/V]. \quad (8.13)$$

Să introducem valoarea lui  $n_{CH_4}$  din ecuația (8.12) în ecuația (8.10) să integrăm și să facem aceeași transformare ca mai sus, în funcția primitivă obținută. Se ajunge astfel la gradul de conversie al  $CH_4$  în  $C_2H_2$ :

$$\frac{2n_{C_2H_2}}{n_{0,CH_4}} \equiv \gamma = \frac{k_1}{k_1 + k_2 - k_3} [1 - \exp(-k_1 - k_2 + k_3)P/V] \exp(-k_3P/V). \quad (8.14)$$

În sfârșit, este posibilă exprimarea consumului de energie pe  $m^3$  acetilenă luat în condiții normale; se poate arăta că:

$$\frac{P}{V} \frac{2}{\gamma} = \frac{2(k_1 + k_2 - k_3)P/V \exp(k_3P/V)}{k_1\{1 - \exp[-(k_1 + k_2 - k_3)P/V]\}} \text{ (kWh/m}^3 \text{ C}_2\text{H}_2\text{)} \quad (8.15)$$

În ecuațiile (8.13), (8.14) și (8.15) constantele  $k_1$ ,  $k_2$  și  $k_3$  apar la exponent alături de  $P/V$ . Deoarece exponentul este adimensional rezultă deci că  $[k_1] = [P/V]^{-1} = m^3/kWh$ ; dacă  $V$  se exprimă în  $m^3/h$  și  $P$  în  $kW$ . Se observă că dimensiunile constantelor de viteză  $k_i$  sînt diferite de ale constantelor de viteză din cinetica chimică obișnuită.

Să exprimăm ecuația (8.13) sub formă de serie a puterilor lui  $P/V$ :

$$\Delta = 1 - \exp[-(k_1 + k_2)P/V] = (k_1 + k_2) \frac{P}{V} - \frac{(k_1 + k_2)^2 \left(\frac{P}{V}\right)^2}{2!} + \frac{(k_1 + k_2)^3 \left(\frac{P}{V}\right)^3}{3!} \quad (8.17)$$

Dacă viteza curentului gazos este mare  $\frac{P}{V}$  este mic și puterile superioare ale lui se pot neglija, astfel că:

$$\Delta = (k_1 + k_2) \frac{P}{V}, \quad (8.18)$$

sau

$$k_1 + k_2 = \frac{V\Delta}{P}. \quad (8.19)$$

Deci  $(k_1 + k_2)$  este cantitatea de metan, exprimată în  $\text{m}^3/\text{h}$ , transformată de unitatea de putere sau, numărul de  $\text{m}^3 \text{CH}_4$  transformat de cantitatea de energie de 1 kWh.

La  $\frac{P}{V}$  mici,  $\Delta$  este direct proporțional cu  $P/V$ , coeficientul unghiular fiind  $k_1 + k_2$ .

Eremin a verificat relațiile (8.13), (8.14) și (8.15) la electrocararea  $\text{CH}_4 \rightarrow \text{C}_2\text{H}_2$ , pentru presiuni variind între 40 și 150 mm Hg, pentru intensități de curent între 0,5 și 5 A, și distanțe interelectrodice de 18 — 50 cm. Valorile constantelor de viteză determinate experimental sînt:

$$k_1 = 0,317 \text{ m}^3/\text{kWh};$$

$$k_2 = 0,026 \text{ m}^3/\text{kWh};$$

$$k_3 = 0,058 \text{ m}^3/\text{kWh}.$$

Suma  $k_1 + k_2$  numită eficiență energetică globală a descărcării în sensul transformării  $\text{CH}_4$  este de  $0,343 \text{ m}^3/\text{kWh}$ . Dacă presiunea crește pînă la 1 atm, eficiența energetică scade la  $0,196 \text{ m}^3/\text{kWh}$ .

Același efect îl are transformarea arcului în descărcarea luminescentă la intensități de curent prea mici și presiuni coborîte.

Trebuie menționat faptul că la Borzești electrocracarea metanului se efectuează la scară industrială după un procedeu elaborat de un colectiv condus de regretatul profesor clujean de chimie fizică, Aurel Ionescu.

În general, răspîndirea reactoarelor cu plasmă este legată de costul energiei electrice, care reprezintă circa 20% din costul total. Lipsa poluării, simplitatea reactoarelor, realizarea proceselor într-o singură etapă și obținerea unor produși foarte puri (în special în reactoarele cu inducție în domeniul frecvențelor radio, recent introduse), constituie avantaje care nu sînt neglijabile atunci cînd sînt confruntate cu prețul de cost.

## Bibliografie

1. E. N., Eremin. *Elementi gazovoi elektrohimii*. I-vo Moskovskovo Univ., Moskva, 1961.
2. V., Ibberson. *Chemical engineering in plasma*. New Scientist, **56** (821), 446, 1972.
3. G., Milazzo. *Electrochimie*. vol. 2. Cap. XII, Dunod, Paris, 1969.

## CONVERSIA ELECTROCHIMICĂ DE ENERGIE

### 9.1 DESPRE CONVERSIA DE ENERGIE

Lumea civilizată contemporană se caracterizează printr-un consum apreciabil de energie. Din producția mondială globală de energie, electricitatea deține astăzi mai bine de 20% și este în continuă creștere. Pentru producerea energiei sînt de o considerabilă importanță sursele primare de energie, cum sînt combustibilii fosili (cărbune, petrol, gaze naturale) energia solară și cea nucleară, a căror conversie în diverse forme utile activității umane, cunoaște o mulțime de filiere (v. fig. 9.1). Dintre acestea, toate variantele care conțin ca intermediar energia termică, sînt limitate principal la randamente mai mici; limitarea se poate exprima cantitativ prin raportul  $(T_2 - T_1)/T_2$ , unde  $T_2 (> T_1)$  reprezintă temperatura sursei la care se preia căldura ce urmează să se transforme în lucru mecanic, într-un proces ciclic, iar  $T_1$  temperatura sursei reci (de exemplu condensatorul turbinei). Chiar și cele mai perfecționate

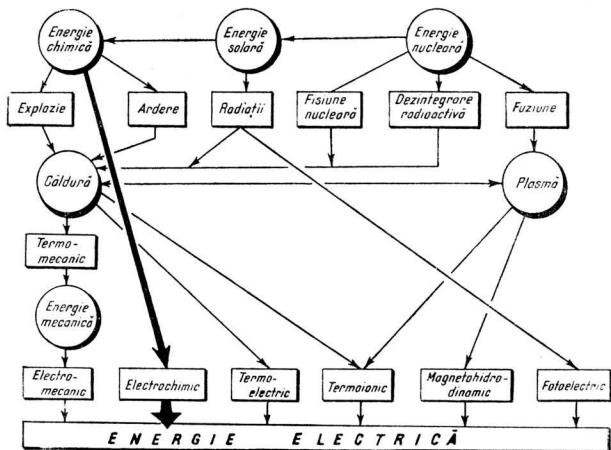


Fig. 9.1. Diverse filiere de conversie a energiilor primare în energie electrică.

motoare termice depășesc cu puțin randamentul de 0,4 (sau 40%). Peste această limitare nu trec nici convertizoarele directe de energie, cum sînt sistemele termoelectrice, termoionice sau magnetohidrodinamice.

Fără a parcurge vreo treaptă intermediară, transformarea energiei chimice în electricitate are loc direct în pilele electrochimice și se caracterizează printr-un randament net superior randamentelor observate în celelalte filiere de conversie a energiei; în unele el atinge valori apropiate de 80%.

În prezent, circa 85% din energia consumată de om provine din combustia termică a cărbunelui, a păcurii și a gazelor naturale. Dar acești combustibili fosili, formați printr-un proces care a durat milioane de ani se găsesc în cantitate limitată. De aici rezultă necesitatea examinării atente a modului în care se consumă rezerva terestră de combustibili fosili, a cărei epuizare se prevede într-o bună zi. În lumea contemporană se acreditează din ce în ce mai mult părerea că energia electrică de care are nevoie omul poate fi obținută și pe alte căi, mai rentabile și folosind surse de energie primară cum sînt energia solară, energia materialelor fisionabile, fuziunea nucleară etc. Aceasta ar permite folosirea combustibililor fosili la sintezele petrochimice, prin care se prepară substanțe plastice, textile, alimente etc. De asemenea este mult mai rentabilă conversia directă în energie electrică, prin combustie rece (electrochimică) a energiei chimice conținute în combustibilii fosili, în pilele de combustie.

În afară de aspectul raționalizării impus de arderea neîntreruptă a combustibililor fosili, mai există încă unul, de loc neglijabil, legat de poluarea mediului ambiant. De exemplu, gazolina și motorina folosite în motoarele cu ardere internă nu sînt arse în proporție de 100% la  $\text{CO}_2$ ; compușii organici incomplet arși sînt în număr de câteva duzini și includ în special compuși nesaturați. Alături de aceștia, sînt prezenți  $\text{CO}$ , oxizi ai azotului, ai sulfului și compuși ai plumbului (proveniți de la tetraetil plumbul adăugat pentru ruperea lanțurilor hidrocarbonate în cursul reacției de ardere a benzinei). Se știe că o parte din acești compuși organici participă sub efectul luminii, alături de oxizii de azot și  $\text{O}_3$ , la formarea fumului (fig. 9.2 și 9.3); de asemenea, există dovezi că anumite substanțe aflate în gazele de eșapament ale automobilelor, au acțiune cancerigenă. Concentrații deosebit de mari de fum se ating în regiunile lipsite de vînturi (de exemplu Los Angeles în California) și ocazional în unele orașe deasupra cărora se formează straturi de inversiune. Acestea sînt straturi de aer mai cald decît gazele de eșapament și care împiedică ridicarea și împrăștierea celor din urmă.

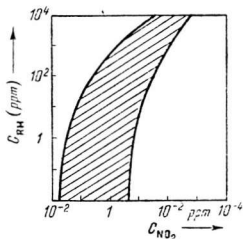


Fig. 9.2. Condiții favorabile în mediul ambiant, pentru formarea ozonului (zona hașurată).

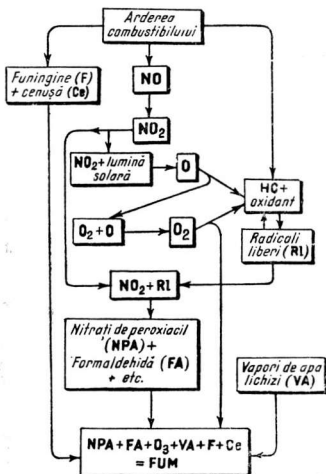
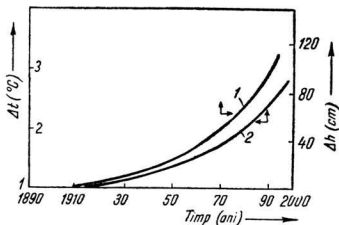


Fig. 9.3. Reprezentarea schematică a formării fumului în marile orașe, în urma arderii hidrocarburilor.

Fig. 9.4. Creșterea în timp a temperaturii atmosferei și a nivelului corespunzător al mărilor.



Deși în ultimii ani s-au propus o serie de soluții pentru reducerea concentrației gazelor nocive provenite din eșapamentele motoarelor cu ardere internă, problema este departe de rezolvare, deoarece ele nu vizează direct îmbunătățirea gradului de ardere a combustibilului și în plus grevează prețul de cost și reduc performanțele autovehiculului.

Consecințe neașteptate asupra temperaturii pământului are acumularea bioxidului de carbon în atmosferă. Se știe că temperatura atmosferei terestre este determinată de o serie de efecte care includ energia solară reflectată de pământ în spațiu. Cu cât concentrația de  $\text{CO}_2$  din atmosferă este mai mare, cu atât mai multă energie solară este reținută în atmosferă și deci cu atât mai puțină se pierde prin reflexie în spațiul cosmic. Energia astfel reținută se transformă în căldură. Păstrând celelalte condiții neschimbate, se prevede creșterea temperaturii atmosferei, ceea ce se și constată pentru perioade de timp relativ lungi, dacă se neglijează fluctuațiile de scurtă durată (fig. 9.4). Dacă actualul dezechilibru dintre producerea și consumul bioxidului de carbon, cauzat de arderea intensivă a combustibililor fosili se va menține, se prevede topirea unor cantități din ce în ce mai mari de gheață polară, soldată cu creșterea nivelului mărilor și oceanelor.

Problema poluării atmosferei cu produsele de ardere mai mult sau mai puțin completă a combustibililor fosili este foarte complexă; ea este prezentă nu numai în marile orașe, ca rezultat al arderii produșilor petrolieri în autovehicule, ci și în centrele industriale, unde producerea de energie (în special electrică) se realizează prin arderea de combustibili fosili în instalații fixe, imobile. Prevederile îndepărtate sînt extrem de dificile, din cauza lipsei unor date necesare, cum ar fi perioadele de existență ale compușilor nesaturați, evacuați de motoarele cu ardere internă, distribuția lor în atmosferă ș.a. Fără îndoială, modificări ale motoarelor cu ardere internă, ce se întrevăd în viitorul apropiat, vor reuși să micșoreze concentrația de compuși nesaturați, dar sînt greu de evaluat costul lor, repercusiunile asupra performanțelor motoarelor și măsura în care vor reuși să contracareze actualele tendințe de pe piața mondială.

## 9.2 CONVERSIA ELECTROCHIMICĂ DE ENERGIE

Conversia electrochimică de energie are o vechime de mai bine două milenii. Cele mai vechi pile cunoscute sînt cele fabricate de Partii care populus Mesopotamia în perioada cuprinsă între 250 î.e.n. și 224 e.n. Ele erau alcătuite dintr-un electrod cilindric de cupru avînd înălțimea de aproximativ 10 cm și diametrul de 2,5 cm, care conține electrolitul și un electrod central de fier, în formă de baghetă, fixat cu ajutorul unui dop de asphalt sau bitumen; pentru a le menține în stare verticală, pilele erau cimentate în vase mici de pământ ars. Se crede că ele serveau la aurirea prin galvanizare a giuvaerurilor.



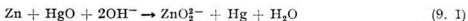
Reluată către sfârșitul secolului al 18-lea și începutul secolului al 19-lea, conversia electrochimică de energie marchează un mare progres și o largă răspândire grație cercetărilor efectuate de Galvani, Volta, Davy, Daniell, Iacobi ș.a.

Sursele electrochimice de energie se pot clasifica în primare, secundare și pile de combustie. În cele dintii energia electrică se produce pe seama unor reacțanți ce se găsesc în pilă în cantitate limitată, regenerarea lor prin electroliză neavînd loc; în pilele secundare, partenerii de reacție, consumați în timpul producerii energiei electrice (descărcare) se pot reface cu ajutorul unui proces de electroliză, numit încărcare; în sfârșit, în pilele de combustie partenerii de reacție sînt alimentați continuu la electrozi, în tot timpul cît ele se găsesc sub sarcină.

În pilele electrochimice are loc, așa cum s-a menționat la secțiunea 5.4.8.3, transformarea entalpiei libere de reacție  $\Delta G$  în energie electrică:

$$\Delta G = -z \mathcal{F} E. \quad (5.213)$$

Relația poate servi la calculul *FEM* a pilei, din date termodinamice tabulate. Pentru ilustrare, fie reacția electrochimică activă:



care are loc într-o pilă primară ai cărei electrozi sînt alcătuiți din zinc și oxid mercuric; aceasta din urmă se poate găsi amestecat cu grafit care joacă rolul de conductor electric. Ca electrolit, se folosește o soluție apoasă de KOH.

Reamintim că în condiții standard,

$$\Delta G^\circ = \Delta H^\circ - T \Delta S^\circ \quad (5.212 a)$$

și introducînd valorile entalpiilor standard și respectiv ale entropiilor standard corespunzătoare reacțanților și produșilor de reacție, se obține:

$$\Delta G^\circ = \sum_i \nu_i H_i^\circ - T \sum_i \nu_i S_i^\circ = -60,60 \text{ kcal} \cdot \text{mol}^{-1} = -253\,660 \text{ J} \cdot \text{mol}^{-1}.$$

Avînd în vedere că  $z = 2$ , *FEM* a pilei în condiții standard se găsește:

$$E^\circ = -\frac{\Delta G^\circ}{z \mathcal{F}} = \frac{-253\,660}{2 \times 96\,500} = 1,314 \text{ V.}$$

*FEM* standard se poate calcula și prin scăderea potențialelor de electrod. Reacțiile de electrod din pila (+) Hg, HgO/OH<sup>-</sup>/Zn (-) luată în discuție, sînt:



Scăzînd potențialele de electrod standard corespunzătoare, se obține următoarea *FEM* standard:

$$E^\circ = \epsilon_{\text{Hg/HgO}}^\circ - \epsilon_{\text{Zn}}^\circ = 1,314 \text{ V.}$$

Randamentul conversiei electrochimice de energie se caracterizează printr-o valoare teoretică :

$$r = \frac{W_{max}}{\Delta H} = \frac{\Delta G}{\Delta H} = 1 - \frac{T\Delta S}{\Delta H}, \quad (9.1)$$

unde  $W_{max}$  este traviulul util maxim înregistrat în reacția electromotric activă, însoțită de entalpia de reacție  $\Delta H$ . Din cauza depărtării de la reversibilitate a proceselor ce au loc pe electrozi, valoarea efectivă a randamentului scade la :

$$r_{ef} = 1 - \frac{T\Delta S}{\Delta H} - \frac{\eta_{tot}}{E}, \quad (9.2)$$

unde  $\eta_{tot}$  reprezintă polarizarea totală observată în pilă.

În cazul unor entropii de reacție pozitive, randamentul teoretic poate deveni mai mare decât 100% ( $\Delta H < 0$ ), deoarece o parte din căldura mediului ambiant se transformă în lucru util. Acest caz se poate realiza și practic, dar numai în reacții lipsite de interes tehnic.

O mărime importantă ce caracterizează compacitatea unei pile electrochimice este densitatea de energie electrică. Ea se poate calcula atât pentru unitatea de masă (densitate de energie masică) cât și pentru unitatea de volum (densitate de energie volumică). Pentru materialul catodic sau anodic, luate separat este caracteristică fie capacitatea masică  $L_g$  în Ah/kg, fie cea volumică  $L_v$ , în Ah/l; ele se calculează cu relațiile :

$$L_g = 10^3 \frac{z \mathcal{F}}{M} = \frac{26,8 \cdot 10^3 \cdot z}{M} \text{ A h/kg}, \quad (9.3)$$

și respectiv :

$$L_v = 10^3 \frac{z \mathcal{F} d}{M} = \frac{26,8 \cdot 10^3 \cdot z \cdot d}{M}, \quad (9.4)$$

unde  $M$  este masa atomică sau moleculară a materialului catodic sau anodic;  $d$  — densitatea sa (în kg/l);  $z$  — numărul de electroni schimbați în reacția de electrod, iar  $\mathcal{F}$  are semnificația cunoscută.

Dacă tensiunea,  $V$ , la bornele unei pile rezultate prin asocierea a doi electrozi este cunoscută, densitățile de energie masică  $W_g$  și volumică  $W_v$  proprii pilei, se calculează cu relațiile :

$$W_g = \frac{V}{\frac{1}{L_{g,a}} + \frac{1}{L_{g,c}}} \quad (9.5)$$

și respectiv :

$$W_v = \frac{V}{\frac{1}{L_{v,a}} + \frac{1}{L_{v,c}}}. \quad (9.6)$$

Cu indici  $a$  și  $c$  s-au simbolizat materialele anodic și respectiv catodic.

Valorile  $L_g$ ,  $L_v$  ale unor materiale active folosite ca anod sau catod, precum și mărimile  $W_g$  și  $W_v$  corespunzătoare câtorva pile rezultate prin asocierea unor materiale active catodice și anodice, figurează în tabelele 9.1 și 9.2.

Tabelul 9.1

Valorile capacităților masice ( $L_g$ ) și volumice ( $L_v$ )  
ale unor materiale active (25°)

	$L_g$ (Ah/kg)	$L_v$ (Ah/l)
<i>A. Materiale anodice</i>		
H <sub>2</sub>	26 590	2,19
Li	3 860	2 060
Mg	2 210	3 840
Al	2 980	8 040
Fe	1 440	11 330
Zn	820	5 850
Cd	477	4 120
Pb	259	2 930
<i>B. Materiale catodice</i>		
F <sub>2</sub>	1 410	2,19
O <sub>2</sub>	3 350	4,39
MnO <sub>2</sub>	308	1 550
CuO	674	4 370
Ag <sub>2</sub> O	231	1 650
Ag <sub>2</sub> O <sub>2</sub>	433	3 220
AgCl	187	1 040
HgO	248	2 760
PbO <sub>2</sub>	224	2 100

Tabelul 9.2

Densitatea de energie masică  $W_g$  și volumică  $W_v$   
a unor perechi de materiale catodice și anodice

Perechea de materiale active	Tensiunea (volți)	$W_g$ (Wh/kg)	$W_v$ (Wh/l)
H <sub>2</sub> -O <sub>2</sub>	1,23	3 660	1,80
Li -F <sub>2</sub>	5,92	6 120	13,0
Mg -AgCl	2,91 (al)*	502	2 380
Mg -HgO	2,79 (al)	621	4 480
Pb -PbO <sub>2</sub>	1,81 (ac)**	217	2 220
Zn -Ag <sub>2</sub> O	1,72 (al)	487	3 570
Zn -O <sub>2</sub>	1,65 (al)	1 090	7,23
Zn -MnO <sub>2</sub>	1,54 (al)	345	1 890
Zn -HgO	1,35 (al)	257	2 530

\* electrolit alcalin

\*\* electrolit acid

Pe lângă substanțele active, pila electrochimică mai conține electrolit, sisteme de separare a electrozilor, materiale de etanșare etc. Evident că atunci când substanțele potențial active nu sînt metale, sînt necesari electrozi inerți, pentru preluarea potențialului. Limitările în interacțiunea reciprocă a tuturor componentelor pilei restrîng mult sistemele ce se pretează la fabricare. Printre cele mai economice substanțe folosite ca anodi se menționează: Pb, Zn, Fe, Cd, Mg; iar ca materiale catodice: oxizi și săruri de Pb, Ni, Mn, Ag, Hg, Cu și  $O_2$ .

Substanțele active trebuie să aibă un preț de cost mic, să se caracterizeze printr-o mare capacitate și să confere pilei o mare densitate de energie; polarizarea globală măsurată în regim de funcționare trebuie să fie minimă. În schimb supratensiunea la descărcarea hidrogenului și oxigenului trebuie să fie mare la electrozii pilei, pentru a se evita descompunerea electro-litică a apei. O mică polarizare ohmică se obține cu electrozi buni conductori de electricitate sau, în cazul substanțelor active nemetalice, prin mărunțirea fină a lor. Este bine să se menționeze că pînă și în zilele noastre, prepararea pastelor active de la electrozii pilelor electrochimice constituie o operație ce conține o bună doză de empirism. Prin mărunțirea substanței se urmărește, de asemenea, obținerea unor suprafețe de contact mari și implicit densități de curent reale, mici.

Electrolitul trebuie să aibă o bună conductibilitate ionică pentru a reduce la minim polarizarea ohmică, o minimă acțiune corozivă asupra electrozilor, pentru ca autodescărcarea să nu devină prea pronunțată și să permită buna funcționare a pilei într-un larg domeniu de temperatură.

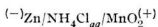
Sistemele separatoare, construite din masă plastică poroasă sau cauciuc poros, eventual rășini schimbătoare de ioni, au rolul de a evita scurtcircuitarea plăcilor pozitive și negative.

Dar din cauza unor procese ireversibile ce survin în funcționare, chiar și în cele mai fericite cazuri, atunci când toate condițiile de mai sus au fost satisfăcute, pilele electrochimice practice au densități de energie de cîteva ori mai mică decît valorile teoretice conținute în tabelele 9.1 și 9.2.

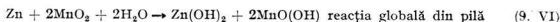
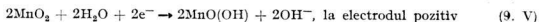
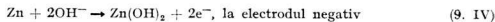
## 9. 3. PILE ELECTROCHIMICE PRIMARE

### 9.3.1 PILE PRIMARE USCATE

Cea mai răspîndită pilă primară uscată este pila *L e c l a n c h é*, de la a cărei prezentare la expoziția mondială din Paris (1867) de către inginerul *G e o r g e s L e c l a n c h é*, a trecut mai bine de un secol. În decursul acestei perioade pila a cunoscut transformări constructive esențiale, dar substanțele active au rămas aceleași, Zn și  $MnO_2$ , grație supratensiunii mari la degajarea hidrogenului pe cel dintîi și solubilității extrem de mici în electroliti și a unui preț de cost coborît al celui din urmă. Pila se poate simboliza prin lanțul electrochimic următor:



iar reacțiile ce au loc într-însa prin ecuațiile:



În realitate reacțiile din pilă sînt mult mai complexe, după cum demonstrează formarea unor compuși ca  $\text{ZnO} \cdot \text{Mn}_2\text{O}_3$ ;  $\text{Mn}_2\text{O}_3 \cdot \text{H}_2\text{O}$ ;  $\text{ZnO}$ ,  $\text{ZnCl}_2 \cdot 2\text{NH}_3$  și  $\text{ZnCl}_2 \cdot 4\text{Zn(OH)}_2$ .

După cum rezultă din schema de reacție de mai sus, la electrodul pozitiv are loc o creștere de  $\text{pH}$  în timpul funcționării pilei. Ea poate deveni periculoasă peste valoarea 5,2 din cauza precipitării hidroxidului de zinc în piroluzită, soldată cu blocarea porilor masei active de la electrodul pozitiv.

Dorința de perfecționare a pilelor *Leclanché* a stimulat cercetările asupra proprietăților piroluzitei, care prezintă mai multe modificări, a căror compoziție se abate de la proporția stoechiometrică  $\text{MnO}_2$ . Clasificarea după proveniență (naturală, activă, sintetică sau electrolică) este pur formală și nu corespunde structurii rețelei cristaline. Cu excepția modificării  $\beta\text{-MnO}_2$  toate celelalte modificări ale piroluzitei au un domeniu de omogenitate larg și care depinde de variația stării de oxidare a manganului și de transformarea ionilor  $\text{OH}^-$  în  $\text{O}^{2-}$ . Au fost studiate comportările unor electrozi preparați cu formele  $\alpha$ ,  $\beta$  și  $\gamma\text{-MnO}_2$ . În figura 9.5 este redată variația potențialului de echilibru la reducerea  $\alpha\text{-MnO}_2$ ; variația continuă inițială a potențialului, cu deficitul de oxigen din  $\text{MnO}_2$  reflectă reducerea în fază omogenă, *a*; limita inferioară a domeniului omogen este la  $\text{MnO}_{1,87}$ . Potențialul rămîne constant în domeniul bifazic *b*, unde analiza roentgenografică a pus în evidență hausmanitul ( $\text{Mn}_3\text{O}_4$ ) alături de  $\alpha\text{-MnO}_2$ . Dincolo de  $\text{MnO}_{1,89}$  reducerea se face din nou în faza omogenă. Spre deosebire de  $\alpha\text{-MnO}_2$ , reducerea modificărilor  $\beta$ -și respectiv  $\gamma\text{-MnO}_2$  se soldează cu prealabila transformare în formele  $\gamma$  și respectiv  $\alpha$  și ulterioara apariție a hausmanitului.

În figura 9.6 este schițată o secțiune într-o pilă uscată de tip *Leclanché*, variantă cilindrică, obișnuită. Menționăm că alegerea sortului de piroluzită constituie încă o „artă” a fabricantului; în general, se alege forma  $\gamma$  a mineralului, alături de produsul sintetic. Imobilizarea electro-

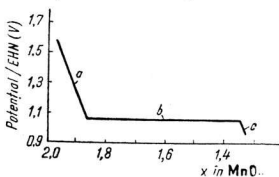


Fig. 9.5. Variația potențialului de echilibru în cursul reducerii  $\alpha\text{MnO}_2$ .

litului (soluție apoasă de  $\text{NH}_4\text{Cl}$  sau  $\text{KOH}$ ) se realizează cu amidon și făină de grâu. Pentru a evita ca electrodul de zinc (în formă cilindrică) să se consume în urma acțiunii corozive a atmosferei, el se izolează cu ajutorul unui ambalaj din carton, oțel sau masă plastică. În zona electro-litului se găsește membrana care separă cei doi electrozi, de cele mai multe ori confecționată din hîrtie; ea nu este indicată pe figură.

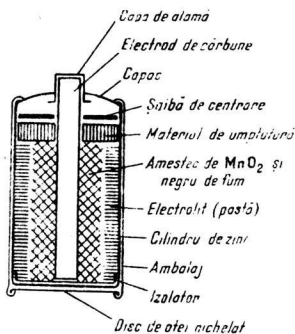


Fig. 9.6. Secțiune într-o pilă uscată Leclanché.

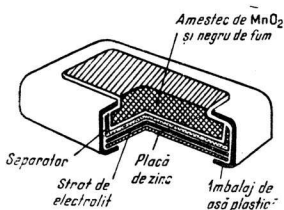
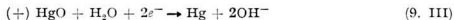
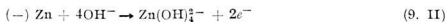


Fig. 9.7. Pilă Leclanché având forma plată.

Pentru legarea în serie, în baterie, adeseori se folosesc pile având forma plată, schițată în figura 9.7; legarea în serie se face prin simpla suprapunere a pilelor.

Dacă  $\text{MnO}_2$  din pila Leclanché alcalină este înlocuit cu  $\text{HgO}$ , se observă o îmbunătățire a densității volumice de energie  $W_v$ , ca urmare a unei capacități volumice  $L_v$  mai mari a  $\text{HgO}$  (v. tab. 9.1 și 9.2). Sistemul  $\text{Zn-KOH-HgO}$  era cunoscut ca sursă electrochimică de energie încă de pe la sfârșitul secolului al 19-lea, dar nu a primit o soluție tehnică pentru construirea în serie decât spre mijlocul secolului nostru, prin amalgamarea electrodului de zinc. Prin aceasta supratensiunea hidrogenului devine atât de mare încît degajarea hidrogenului gazos este suprimată.

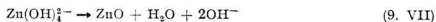
Reacțiile care se desfășoară la cei doi electrozi sînt:



Sau global:



Dacă în preajma electrodului de zinc se depășește produsul de solubilitate, precipită  $\text{ZnO}$ :



Pila este comercializată în formă cilindrică sau în formă de nasture; pulberea de amalgam de zinc presată constituie polul negativ, avînd o mare suprafață de reacție, iar amestecul de oxid roșu de mercur și grafit, presat, polul pozitiv al pilei. Între cei doi electrozi se așază electrolitul, o soluție de  $\text{KOH}$  40%, imobilizată fie în porii unor foi de hîrtie de filtru, fie

Caracteristicii experimentale ale unor pile uscate

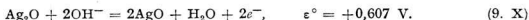
Pila	Reacția	Tensiunea la borne (V)	Densitate de energie		Prețul/ kWh
			masică (Wh/kg)	volumică (Wh/l)	
Leclanché	$\text{Zn} + 2\text{MnO}_2 \xrightarrow{(\text{NH}_4\text{Cl})} \text{ZnO} + \text{Mn}_2\text{O}_3$	1,25	50—60	100—120	1*
Leclanché alcalină	$\text{Zn} + 2\text{MnO}_2 \xrightarrow{(\text{KOH})} \text{ZnO} + \text{Mn}_2\text{O}_3$	1,1—1,2	80	210	2
Cu oxid mercuric	$\text{Zn} + \text{HgO} \xrightarrow{(\text{KOH})} \text{ZnO} + \text{Hg}$	1,1—1,3	80—100	270—370	5
Cu oxid de argint	$\text{Zn} + \text{AgO} \xrightarrow{(\text{KOH})} \text{ZnO} + \text{Ag}$	1,5	120—190	370	10

\* S-au exprimat prețuri relative, considerind ca etalon pila Leclanché normală (~800 lei/kWh).

în vată. Pentru a evita modificarea compoziției electrolitului în cursul descărcării pilei, acesta se saturează de la bun început cu ZnO. Oxidul roșu de mercur se introduce într-un mic exces față de oxidul de zinc, pentru a evita degajarea hidrogenului în pilă.

Prețul de cost relativ ridicat (v.tab.9.3) și fabricarea mai dificilă fac pila L e c l a n c h é preferată în comparație cu pila Zn-HgO și limitează aplicațiile acesteia din urmă. Ele se întrebuintează acolo unde există limitări de spațiu, în special în aparatele de ascultat folosite în corectarea surzeniei și la stimularea mușchilor inimii la cardiaci.

O densitate de energie și mai mare se obține în pilele în care polul pozitiv este înlocuit cu oxid de argint (v.tab.9.3); prețul ridicat limitează utilizarea lor la cazuri speciale. Masa activă a polului pozitiv se poate confecționa fie din  $\text{Ag}_2\text{O}$ , fie din  $\text{AgO}$ , dar din cauza solubilității considerabile a amândurora, realizarea unor separatori eficienți este foarte dificilă. Cu  $\text{AgO}$  se obține tensiunea la borne superioară, dar potențialul său de electrod este atât de ridicat încât poate descompune apa cu degajare de oxigen (v.fig.9.8):



De aceea,  $\text{AgO}$  se utilizează numai în acele pile în care electrolitul se adaugă puțin timp înainte de legarea lor în circuit.

În tabelul 9.3 figurează tensiunile la bornele pilelor uscate menționate mai sus, alături de densitățile de energie — masice și volumice; în ultima coloană se compară prețurile de cost, luind ca etalon prețul pilei L e c l a n c h é cu  $\text{NH}_4\text{Cl}$ .

Deși prețul energiei electrice produse de pilele uscate depășește cu mai bine de  $10^3$  ori prețul celei obținute de la rețea (v.tab.9.3), pilele uscate și în special pilele L e c l a n c h é prezintă o mare importanță economică. Ea provine din simplitatea manipulării și ușurința transportului lor. Volumul pilelor aflate în uz variază între  $0,1 \text{ cm}^3$  și  $1 \text{ m}^3$ , ceea ce corespunde

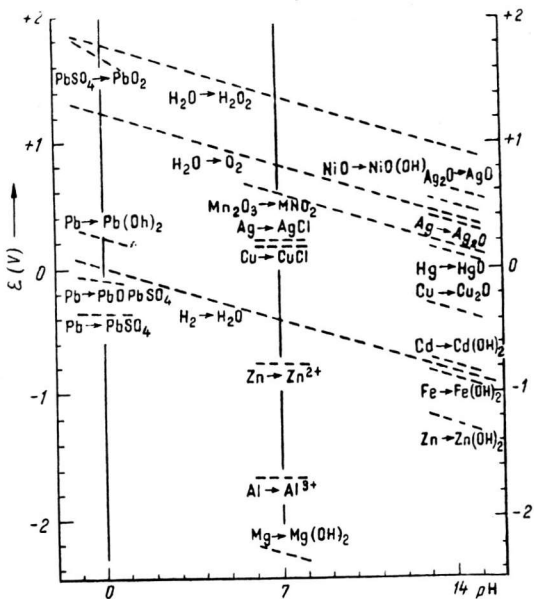


Fig. 9.8. Dependența unor potențiale de electrod (raportate la EHN) de pH.

la capacități disponibile variind între ordinul mAh și al  $10^4$  Ah și la puteri cuprinse între câțiva  $\mu$ W și câțiva MW. Aria utilizării lor este extrem de întinsă, acoperind domenii extrem de diferite, cum sînt acționarea jucăriilor, alimentarea aparatelor de radio și televiziune sau a magnetofoanelor tranzistorizate, a aparatelor de uz menajer, a aparatelor folosite pentru combaterea surzeniei, a ceasurilor, a instalațiilor de semnalizare sau chiar generarea de energie electrică în rachete. O aplicație remarcabilă găsesc micile pile L e c l a n c h é la stimularea băților inimii. În ultima vreme pilele cu oxid de mercur sînt preferate pilelor L e c l a n c h é. Ele alimentează un vibrator tranzistorizat, capabil să genereze într-un minut circa 80 impulsuri de 6 V și câțiva mA și durată de 2 ms. Stimulatorul se introduce prin operație în abdomen și se înlocuiește după 1 sau 2 ani.



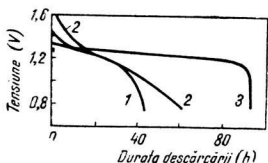


Fig. 9.9. Curbe de descărcare ale unor pile uscate: 1 — pilă Leclanché obişnuită; 2 — pilă Leclanché alcalină; 3 — pilă Zn/KOH/HgO.

Larga utilizare de care se bucură pilele Leclanché poate fi ilustrată prin producția mondială anuală, care este de ordinul miliardelor de bucăți.

În figura 9.9 sînt redată curbele de descărcare ale unor pile uscate de dimensiuni egale (diametru 14 mm, înălțimea 50 mm) cu un curent de 25 mA timp de 6 ore zilnic. Păstrarea constantă a tensiunii la borne vreme mai îndelungată, precum și o energie electrică mai mare, fac pilele cu oxid de mercur superioare în comparație cu pilele de tip Leclanché.

### 9.3.2 PILE PRIMARE CARE SE POT ACTIVA

Modificările din pilele primare survenite prin îmbătrînire, coroziune și autodescărcare, în cursul depozitării, cauzează limitări decisive în dezvoltarea unor pile. Totuși, reacțiile indezirabile se pot evita, dacă punerea în funcțiune a pilei (activarea ei) se face scurt timp înainte de utilizare. Activarea se face prin adăugarea sau regenerarea electrolitului, prin încălzirea pilei (activare termică) sau prin introducerea unui gaz (activare cu gaz).

Adeseori reacțiile parazite dintre electrolit și electrozii metalici constituie cauza unei reduse capacități de depozitare a pilelor. De aceea, în unele pile, electrolitul se adaugă numai înaintea folosirii. Activarea cu apă de mare, se poate aplica la următoarele sisteme:

Mg/apă de mare/CuCl  $E_B = 1,2 \text{ V}$ ;

Mg/apă de mare/AgCl  $E_B = 1,3 \text{ V}$ .

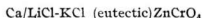
Al doilea sistem, deși pornește de la materii prime mai scumpe, prezintă avantajul unei tensiuni la borne mai mari și funcționează satisfăcător chiar și la temperaturi mai coborîte. Deoarece electrolitul nu trebuie introdus în timpul depozitării, densitatea de energie masică este relativ ridicată: 40 Wh/kg; cea volumică se cifrează la 70 Wh/l.

O pilă activată prin umplere, de un tip deosebit, aflată încă în faza de dezvoltare, este următoarea:

Mg/soluție NaCl/O<sub>2</sub> (Pt, Ni, Ag).

Prin schimbarea electrolitului și compensarea magneziului consumat, ea se poate activa de mai multe ori. Electrocul de magneziu poate fi adaptat la solicitări de mai lungă sau mai scurtă durată, prin aliere cu Al, Zn, Hg sau alte metale grele, iar soluției de 3 — 10% NaCl i se poate adăuga apă de conductibilitate, apă de rîu sau de mare. Folosind ca electrolit soluții de săruri de amoniu sau calciu, se poate asigura o funcționare la temperaturi de pînă la -10°C. Ca electrod de aer se utilizează nichel sau argint sub formă de plasă, pe care se fixează catalizatorul de platină sau argint cu ajutorul teflonului.

În pilele activate termic, toți componenții se găsesc la locurile lor. Electrolitul este un conductor solid la temperatura ordinară și pentru punerea în funcțiune a pilei, este necesară aducerea lui în stare topită. Pînă în prezent s-au dezvoltat puține asemenea sisteme, iar ca exemplu se poate cita pila:



În locul calciului se poate utiliza și magneziul, iar cromatul de zinc se poate substitui cu oxid de Fe, V sau W. După activarea termică, realizată prin încălzire la 400-600°C, pilele își pierd repede caracteristicile, din cauza autodescărării și a coroziunii. De aceea, ele se pot utiliza doar intervale de timp scurte, cuprinse între cîteva secunde și cîteva minute.

În pilele activate cu gaz formarea electrolitului are loc prin introducerea unei substanțe gazoase între electrozi. Dacă între aceștia se găsește o anhidridă acidă, prin suflarea de vapori de apă, pila se activează prin formarea unei soluții apoase de acid, care joacă rolul de electrolit. Formarea electrolitului devine posibilă și în urma reacției dintre amoniac gazos și  $\text{NH}_4\text{SCN}$  cristalină (prin formarea unei soluții de rodanură în amoniac) sau dintre  $\text{BF}_3$  gazos și  $\text{Ba(OH)}_2 \cdot 8\text{H}_2\text{O}$  solid; în acest din urmă caz se formează o soluție apoasă de  $\text{HBF}_4$  și acid boric. O pilă activată cu amoniac gazos, avînd ca electrozi Mg și  $\text{PbO}_2$ , este capabilă de sarcini de 35 — 60 mA/cm<sup>2</sup>, sub o tensiune de 1,5 V.

## 9.4 PILE SECUNDARE (ACUMULATOARE)

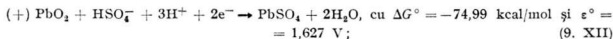
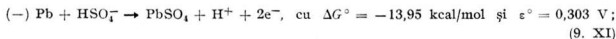
### 9.4.1 SISTEME CONVENȚIONALE

În practica zilnică a pătruns în uz un număr mic de acumulate; acestea sînt: acumulatorul cu plumb, acumulatorul Ni-Fe, Ni-Cd și  $\text{Ag}_2\text{O-Zn}$ . Ele sînt constituite prin asocierea unui electrod de specia întii cu altul de specia a doua, iar electrolitul este acid la cel dintii și alcalin la ultimele. Unele cunosc o tehnologie tradițională și faptul că reacția electromotric activă se desfășoară între substanțe comune și în electrolit apos, explică denumirea de acumulate convenționale ce au primit-o.

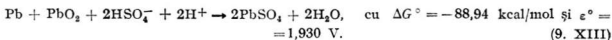
Acumulatorul cu plumb (P l a n t é, 1859) se simbolizează prin următorul lanț electrochimic:



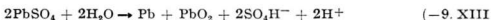
Reacțiile care se petrec la cei doi electrozi atunci cînd acumulatorul furnizează energie electrică (se descarcă) sînt:



sau global:



Reacțiile sînt reversibile, ceea ce permite regenerarea acumulatorului printr-un proces de electroliză. Pentru aceasta acumulatorul se leagă în paralel cu polii unei surse de curent continuu, cînd are loc reacția inversă:



Dacă acumulatorul nu funcționează în condiții standard, *FEM* se calculează cu expresia:

$$E = \left( 0,303 + \frac{RT}{2\mathcal{F}} \ln \frac{a_{\text{H}^+}}{a_{\text{HSO}_4^-}} \right) + \left( 1,627 + \frac{RT}{2\mathcal{F}} \ln \frac{a_{\text{H}^+} \cdot a_{\text{HSO}_4^-}}{a_{\text{H}_2\text{O}}^2} \right), \quad (9.7)$$

$$E = 1,930 + \frac{RT}{\mathcal{F}} \ln \frac{a_{\text{H}_2\text{O}}}{a_{\text{H}^+} a_{\text{HSO}_4^-}}.$$

unde  $a_i$  reprezintă activitatea speciei  $i$ . În acumulatorii cu plumb, folosiți în practică, concentrația acidului sulfuric este de circa 33% (în greutate), unde conductivitatea electrolitului este maximă, iar polarizarea ohmică minimă; la această concentrație *FEM* depășește cu puțin 2V. Valoarea teoretică a densității de energie masice este de 161 Wh/kg; în realitate nu se atinge nici o pătrime din aceasta, din cauza diluării acidului, din cauza adaosului de substanțe de încărcare a masei active de la electrozi, datorită balastului constituit de diversele componente inactive ale acumulatorului (bac, conductori etc) și a polarizării.

La încărcarea și descărcarea acumulatorului cu un curent constant, aceiași în ambele cazuri, tensiunea la borne variază după curbele 1 și 2 din figura 9.10. Dacă intensitatea curentului de descărcare este mai mare,

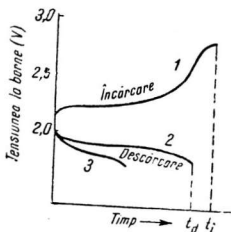


Fig. 9.10. Curbe de încărcare și descărcare la acumulator cu plumb:  
1, 2 — aceeași intensitate  $I_1$ ; 3 — intensitate  $I_3 > I_1$ .

se obține curba 3, inferioară curbei 2, din cauza unei polarizări mai pronunțate și a unei epuizări mai rapide a masei active de la electrozi.

Gradul de utilizare a sarcinii încărcate, așa numitul randament de încărcare  $\eta_i$ , se calculează cu ecuația:

$$\eta_i = \frac{t_d}{t_i}, \quad (9.8)$$

unde  $t_d$  și  $t_i$  reprezintă duratele de descărcare și respectiv încărcare. Dacă intensitatea curentului nu este aceeași la încărcare și descărcare,

$$\eta_i = \frac{t_d I_d}{t_i I_i}. \quad (9.9)$$

Randamentul de energie,  $r_W$ , se obține cu ajutorul relației :

$$r_W = \frac{\int_0^{t_d} I_d V_d dt}{\int_0^{t_t} I_t V_t dt} \quad (9.10)$$

unde  $V_d$  și  $V_t$  sînt tensiunile la bornele acumulatorului, la descărcare și respectiv încărcare. Valorile integralelor din relația (9.10) sînt proporționale cu mărimile suprafețelor definite de curbele de descărcare și încărcare, axele de coordonate și limitele de timp  $t_d$  și  $t_t$  din figura 9.10. La o descărcare de 20 de ore, densitatea de energie a acumulatorului se cifrează la 35 Wh/kg; ea poate scădea la numai 11 Wh/kg, în cursul unei descărcări brutale de 10 minute. În practică rareori se depășește 20% din densitatea de energie masică teoretică a acumulatorului (v.tab.9.4); tabelul conține și numărul de cicluri de încărcare-descărcare pe care le suportă acumulatorul cu plumb, în comparație cu alte acumuloare.

Tabelul 9.4

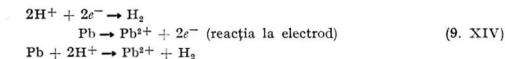
**Densități de energie masică  $W_g$ , teoretică și practică  
și numărul de cicluri de încărcare-descărcare  
suportate de diversele tipuri de acumuloare.**

Tipul de acumulator	Tensiunea la borne (V) la $I = 0$	$W_g$ (Wh/kg)	practic	Cicluri de încărcare-descărcare
		teoretică*		
Pb	2,0	161	10—35	500—1 500
Ni-Fe	1,6	250	25—35	—3 000
Ni-Cd	1,35	210	25—30	1 000—2 000
Ag-Zn	1,6	{220(Ag → Ag <sub>2</sub> O) 350(Ag → Ag <sub>2</sub> O <sub>2</sub> )	70—130	50
Ag-Cd	1,5	{156(Ag → Ag <sub>2</sub> O) 245(Ag → Ag <sub>2</sub> O <sub>2</sub> )	30—45	~200
			45—60	

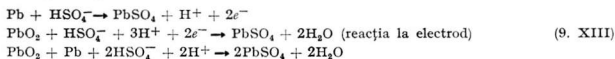
\* Încusiv masa electrolitului

S-a menționat că în cursul procesului de încărcare, la cei doi poli ai acumulatorului se reface Pb(—) și respectiv PbO<sub>2</sub>(+). Cînd procesul de regenerare a maselor active s-a terminat, începe electroliza apei; degajarea de hidrogen și oxigen la cei doi electrozi (Pb și respectiv PbO<sub>2</sub>) constituie un indiciu pentru sfîrșitul încărcării. După cum se observă din figura 9.8, degajarea hidrogenului pe electrodul de plumb și a oxigenului pe electrodul de bioxid de plumb sînt avantajoase din punct de vedere termodinamic. În realitate, obstacolele cinetice, soldate fenomenologic cu o mare supra-tensiune pentru aceste reacții indezirabile, explică funcționarea acumulatoru-lui de plumb. Totuși, eliminarea completă a reacțiilor parazite, nu este posibilă. O autodescărcare puternică este consecința descărcării hidroge-nului (polul negativ) și reducerii PbO<sub>2</sub> de către plumbul din matrița po-

lului pozitiv, care se suprapun peste reacțiile de electrod și determină formarea unor potențiale mixte; la polul negativ:



iar la polul pozitiv:



Reacția de descărcare a hidrogenului este catalizată de metalele nobile sau ionii acestora. De aceea, prezența accidentală a lor în acumulator poate compromite iremediabil buna lui funcționare.

O pierdere ireparabilă a capacității poate surveni în urma sulfatării electrozilor. Sulfatarea constă în îmbătrânirea  $\text{PbSO}_4$  care se formează la descărcarea și autodescărcarea acumulatorului; granulele de sulfat de plumb se măresc și devin mai greu oxidabile sau reductibile. Sulfatarea se poate minimiza printr-o exploatare îngrijită a acumulatorului.

Conform reacției (9.XIII), în cursul descărcării se consumă acid sulfuric, ceea ce determină scăderea densității electrolitului de la 1,26 g/cm<sup>3</sup>, cât este în stare de încărcare, la circa 1,10 în stare descărcată. Măsurarea densității electrolitului din acumulator oferă o cale comodă de apreciere a stării de încărcare a acestuia.

Electrozii, confecționați după diverse tehnologii, se găsesc fixați într-un bac de masă plastică sau ebonită rezistentă la acid și separați prin plăci de masă plastică poroasă, pentru a se evita scurt-circuitarea lor.

În figura 9.11 sînt redată cîteva tipuri de electrozi utilizați în acumulator cu plumb.

În plăcile pozitive de mare suprafață (fig.9.11 *a*) masa activă de  $\text{PbO}_2$  se formează pe lamelele de plumb, prin oxidare anodică. Plăcile în formă de grătar (fig.9.11 *b* și *c*) conțin pasta de masă activă gata formată în momentul livrării acumulatorului. Pentru formare, pasta care constă din oxid  $\text{PbO}$  cu conținut de 20 — 40% pulbere de plumb amestecată cu soluție diluată de  $\text{H}_2\text{SO}_4$ , încorporată în plăci se supune încălzirii iar apoi electrolizei în soluție de acid sulfuric (reducere pentru plăcile negative și oxidare pentru cele pozitive).

Deosebit de avantajoși, ca volum și masă, sînt electrozii blindați realizați în ultimii ani. Pentru prepararea lor, masa activă se încorporează în tuburi confecționate din țesături de masă plastică sau fibră de sticlă, puse în contact cu ajutorul unor bastonașe (centrale) de plumb (fig.9.11 *d*).

Plăcile din figura 9.11 *e* au formă de rețea cu ochiurile mari; din urmă sînt acoperite cu tablă de plumb ce conțin găuri fine.

Principala utilizare a acumulatorului cu plumb este la motoarele cu ardere internă; se mai folosește la acționarea unor automotoare de cale ferată și a unor electrocare, la alimentarea unor instalații de semnalizare, de alarmă, în laboratoare etc.

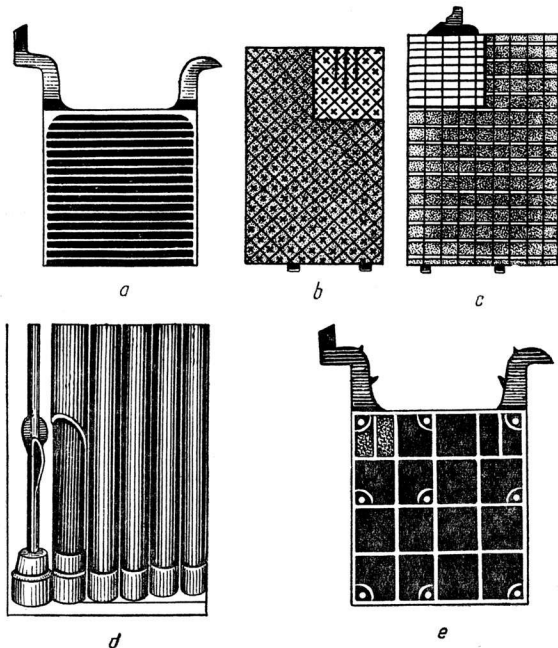


Fig. 9.11. Tipuri de electrozi utilizați în acumuloarele cu plumb:

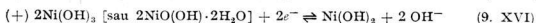
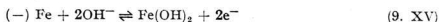
*a* — anod cu suprafață mare; *b* — anod în formă de rețea; *c* — catod în formă de rețea; *d* — plăci pozitive blindate; *e* — placă negativă cu depozit în „dulăpicare”.

Eforturile depuse pentru realizarea unor acumuloare robuste au dus la crearea acumuloarelor alcaline Ni-Fe și Ni-Cd (Edison și Jungner, la începutul secolului nostru). Ele au cunoscut o epocă de înflorire prin 1910, când electromobilul ajunsese la mare modă. Dezvoltarea rapidă ulterioară a motorului cu ardere internă a alungat electromobilul la muzeu, dar numai pentru câteva decenii; astăzi asistăm la un reviriment al tracțiunii electrice chemate să înlocuiască motorul cu ardere internă, care constituie sursă de poluare a aerului din marile orașe.

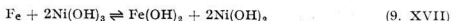
Bateriile alcaline Ni-Fe și Ni-Cd au păstrat o parte considerabilă în domeniul fabricării surselor electrochimice de energie electrică și au înre-

gistrat un avînt apreciabil în ultimii ani, după crearea variantei ermetic izolate de aerul atmosferic.

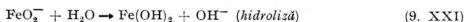
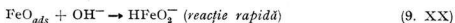
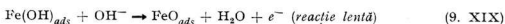
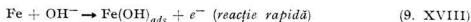
Reacțiile globale care au loc la electrozii acumulatorului Ni-Fe sînt următoarele:



sau global:



Se pare că dizolvarea fierului are loc prin intermediul stratului de oxigen adsorbit, format în urma descărcării ionilor  $\text{OH}^-$ . Hidroxidul adsorbit,  $\text{Fe(OH)}_{\text{ads}}$  și oxidul adsorbit  $\text{FeO}_{\text{ads}}$  reacționează mai departe cu formare de ioni  $\text{HFeO}_2^-$ , a căror hidroliză duce final la  $\text{Fe(OH)}_2$ :



În privința etapelor intermediare de la polul pozitiv, lucrurile sînt mai puțin clare; nu se știe dacă la încărcare din  $\text{Ni(OH)}_2$  se formează mai întîi un oxid de nichel (IV), care împreună cu  $\text{Ni(OH)}_2$  duce la  $\text{NiO(OH)}$  sau mai întîi  $\text{NiO(OH)}$  și apoi oxidul de nichel (IV) ușor reductibil.

Autodescărcarea prin degajarea de hidrogen gazos se explică la fel ca la acumulatorul acid cu plumb.

Avantajele acumulatorului alcalin asupra celui cu plumb sînt următoarele: — insensibilitate față de suprasolicitări mecanice și electrice (suportînd descărcare completă);

— suportă un mare număr de încărcări (v.tab.9.4);

— întreținere simplă.

Principalele dezavantaje de semnalat, ar fi:

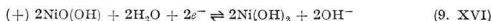
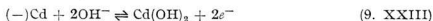
— tensiune la borne mai mică (1,35 — 1,65 V);

— randament mai mic;

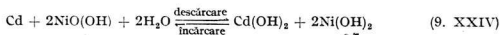
— preț de cost mai ridicat.

Utilizarea lor este preferată acolo unde există condiții grele de lucru, cum ar fi la iluminarea trenurilor și la acționarea locomotivelor din mine.

Pentru a face acumulatele utilizabile în orice condiții se cere evitat riscul vărsării electrolitului agresiv și eliminarea unor operații de întreținere și a unor pericole legate de acestea. Eforturile întreprinse în această direcție au dus la realizarea acumulatelelor închise ermetic (anii 1940—50). Unul din acumulatelele fabricate și în această variantă este acumulatorul alcalin Ni-Cd, în care au loc reacții globale cu totul asemănătoare celor din acumulatorul Ni-Fe, și anume:



sau global :



La acumulatorul neizolat de aerul atmosferic, gazul detonant ce se poate forma la supraîncărcare poate face acumulatorul să explodeze. Dacă hidroxidul de Cd de la polul negativ este în exces, se poate ajunge la situația în care la electrodul pozitiv, deja încărcat, începe degajarea oxigenului, înainte de reducerea completă a  $\text{Cd}(\text{OH})_2$  de la polul negativ. La o anumită valoare a presiunii, oxigenul pătrunde în porii electrodului de cadmiu, fără a se degaja din electrolitul imobil, aflat în capilarele separatorului microporos. La contactul trifazic oxigen-electrolit-electrod de cadmiu, reducerea oxigenului (și implicit oxidarea cadmiului) are loc cu o viteză mare și reacția de încărcare a electrodului de cadmiu este stinjenită, dacă nu compromisă.

Pericolul degajării gazoase există nu numai la supraîncărcare ci și la o descărcare exagerată. Din cauza unor fluctuații de calitate întâmplătoare, survenite în cursul fabricării, nu toate elementele unei baterii de acumulatorare posedă același grad de încărcare. Prin descărcarea prematură a unei pile dintr-o baterie de pile legate în serie, poate avea loc o inversare a polilor ei și, în urma electrolizei inițiate, să se formeze de asemenea gaz detonant. Acest dezavantaj poate fi evitat prin încorporarea în electrozi a unei cantități de masă antipolară. În acumulatorarele fabricate în zilele noastre, la electrodul de nichel se adaugă așa de mult  $\text{Cd}(\text{OH})_2$  (masă antipolară), încât chiar și în condiții de totală oxidare a cadmiului de la electrodul negativ, în electrodul pozitiv se mai găsește încă hidroxid de cadmiu neredus; prin aceasta degajarea hidrogenului este evitată. Degajarea eventuală a oxigenului nu mai afectează cadmiul de la electrodul negativ ci pe cel din masa antipolară conținută în electrodul de nichel.

Dacă descărcarea se face în proporție de 25%, viața acumulatorului este prelungită pînă la cîteva mii de cicluri de încărcare; în schimb, descărcări de 75% scurtează viața acumulatorului la numai cîteva sute de cicluri de încărcare.

Părțile componente ale unui acumulator izolat, avînd forma unui nasture, se văd în figura 9.12. Masele active se găsesc presate în coșulețe făcute din țesătură de sîrmă de nichel; un

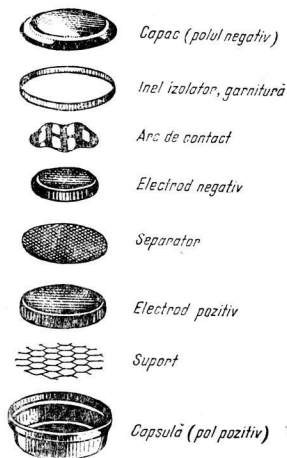


Fig. 9.12. Componentii unui acumulator izolat Ni-Cd.



disc separator imbibat cu electrolit realizează contactul electrolitic dintre acestea.

Aceste acumulatori se fabrică din 1953, au capacități variind între 4 m Ah și 30 Ah și se folosesc în tehnica sateliților și la alimentarea unor aparate independente de rețeaua de curent electric (v.tab. 9.4).

Sînt în curs cercetări pentru realizarea unor acumulatori de plumb izolate și ieftine, a căror utilizare la alimentarea unor televizoare portative pare a fi deosebit de atractivă.

Încercările de a face sistemul  $Zn-Ag_2O_2$ , întîlnit la pilele primare uscate, regenerabil prin încărcare, întîmpină dificultăți datorate, în principal, solubilității apreciabile a oxizilor de zinc în electrolit alcalin și a tendinței zincului de a forma dendrite în cursul procesului de încărcare, ceea ce duce la scurtcircuitarea internă a pilei. Utilizarea unor membrane separatoare semipermeabile pare să constituie o rezolvare parțială a problemei și sistemele practic realizate se caracterizează prin densități de energie relativ mari (v.tab.9.4). Dar prețul de cost ridicat și viața scurtă (~ 50 de cicluri de încărcare-descărcare) limitează aplicarea lor numai în scopuri speciale din domeniul militar și tehnica zborurilor spațiale.

#### 9.4.2 SISTEME NECONVENȚIONALE

Eforturile depuse pentru fabricarea de surse electrochimice de mare densitate de energie au îndreptat atenția cercetătorilor spre sisteme departate de cele convenționale sau devenite tradiționale în domeniul generării energiei electrice. Studiul teoretic al acestora din urmă a scos la iveală faptul că limitarea în obținerea de densități de energie mari se datorează folosirii apei ca solvent al electrolitului. Avînd o tensiune de descompunere de 1,23 V, apa nu poate servi ca solvent în pile dotate cu anodi de metale foarte active, cum sînt alcalinele și alcalino-pămîntoasele. Utilizarea unui solvent organic aprotic face posibilă confecționarea anodului dintr-un asemenea metal puternic reducător; asocierea lui cu o sare de metal tranzițional duce la realizarea unor surse electrochimice avînd densități de energie ce întrec cu mult performanțele surselor ce folosesc apa ca solvent. Acumulatori de genul  $Li-CuCl_2$  sau  $Li-NiCl_2$ , avînd ca electrolit o soluție de  $LiAlCl_4$  în carbonat de propilenă, permite obținerea unor densități masive de energie pînă la de două ori mai mari decît în acumulatorul  $Zn-Ag_2O_2$  care la rîndul său este net superior acumulatorului cu plumb. Apoi trebuie menționată și proprietatea lor de a funcționa într-un domeniu extrem de larg de temperatură:  $-40$  și  $+70^\circ C$  și respectiv  $-54^\circ$  și  $74^\circ C$ .

La alegerea diverselor părți constitutive ale pilelor cu solvenți organici trebuie satisfăcute o serie de cerințe. În privința anodului lucrurile sînt relativ simple, deoarece litiul este de departe cel mai bun pentru acest scop și în ciuda caracteristicilor sale energetice, el nu prezintă dificultăți deosebite de prelucrare. Litiul este un metal moale, maleabil și ușor ( $d = 0,53$ ); luciul în tăietură proaspătă dispare repede la contactul cu aerul atmosferei din cauza formării unui strat de azotură, carbonat și hidroxid. De aceea el trebuie nu numai păstrat, dar și prelucrat într-un mediu inert (de exemplu parafină).

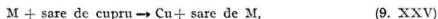
Densități de energii masice  $W_g$  ale unor reacții dintre litiu  
și o serie de depolarizanți

Depolarizantul (catodul)	Reacția	$W_g$ teoretic (Wh/kg)
S	$S + 2Li \rightarrow Li_2S$	3 000
CoF <sub>2</sub>	$CoF_2 + 2Li \rightarrow 2LiF + Co$	1 400
CoF <sub>3</sub>	$CoF_3 + 3Li \rightarrow 3LiF + Co$	2 280
CuCl <sub>2</sub>	$CuCl_2 + 2Li \rightarrow 2LiCl + Cu$	1 110
CuO	$CuO + 2Li \rightarrow Li_2O + Cu$	1 300
CuS	$CuS + 2Li \rightarrow Li_2S + Cu$	1 100
FeS	$FeS + 2Li \rightarrow Li_2S + Fe$	1 100
CrO <sub>3</sub>	$CrO_3 + 6Li \rightarrow 3Li_2O + Cr$	1 920
Ag <sub>2</sub> S	$Ag_2S + 2Li \rightarrow Li_2S + 2Ag$	500
AgO	$AgO + 2Li \rightarrow Li_2O + Ag$	1 090
As <sub>2</sub> O <sub>5</sub>	$As_2O_5 + 10Li \rightarrow 5Li_2O + 2As$	1 870
AgCl	$AgCl + Li \rightarrow LiCl + Ag$	600

Cercetările efectuate cu anozii de litiu, calciu sau magneziu în electroliți obținuți prin dizolvarea în acetonitril, dimetilformamidă, amestec de carbonați de etilenă (80%, masă) și propilenă a unor săruri ca AlCl<sub>3</sub>, MPF<sub>6</sub> (unde M = Li, Na, K), YPF<sub>6</sub> (unde Y = NH<sub>4</sub> sau o grupare organică de azot cuaternar), au arătat că sistemele conținând Ca și Mg se polarizează mai puternic și manifestă în circuit deschis, potențiale mult mai depărtate de valorile teoretice.

Așa cum se știe de la studiul generatorilor electrochimici primari, catodul (sau depolarizantul) este un solid asociat sau nu cu un conductor electronic inert, după cum depolarizantul nu este sau este conductor. În general catozii se confecționează prin mularea (sau comprimarea), eventual precipitarea substanței active pe un electrod suport, care are o rezistență mecanică apreciabilă și o bună conductibilitate electronică. În tabelul 9.5 sînt cuprinse energiile masice ( $W_g$ ) teoretice exprimate în Wh/kg, corespunzătoare citorva depolarizanți, asociați cu anodul de litiu. Se vede că, din punct de vedere energetic, sulful deține o poziție extrem de favorabilă. Dar utilizarea lui este imposibilă din cauza unei slabe conductibilități electronice, a solubilității sale în unii solvenți organici și datorită dificultăților întimpinate în încercările de suprimare sau atenuare a polarizării pe care o manifestă catozii construiți cu el.

În figura 9.13 s-au reprezentat energiile specifice masice,  $W$ , teoretice ale unor reacții.



pentru diverși anioni ai sării de cupru (fluorură, clorură, sulfat și sulfură), iar în figura 9.14 același parametru, dar pentru reacția



unde A este fluorură, clorură, sulfat, acetat și sulfură;  $x = 1$  și 2.

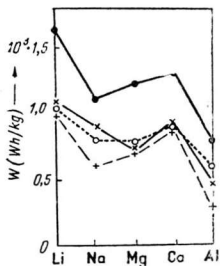


Fig. 9.13. Valoarea energiei specifice pentru reacția  $M + \text{sare de Cu} \rightarrow \text{Cu} + \text{sare de M}$ .

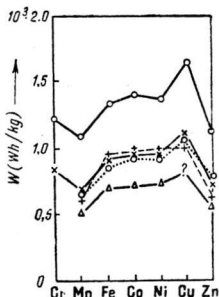


Fig. 9.14. Energia specifică teoretică pentru reacția:  $\text{Li}_2\text{A} + \text{M}$ , în funcție de metalul M de la catod.

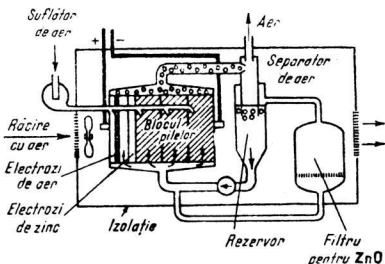
Din analiza figurilor rezultă pozițiile avantajoase ale litiului (anod) și respectiv ale sărurilor de cupru (catod). Pe figuri se observă și rolul deosebit pe care-l dețin fluorurile în comparație cu celelalte săruri, grație masei lor minime.

În ceea ce privește solventul și electrolitul, alegerea nu este tocmai atât de ușoară; fiind în permanent contact cu electrozii solventul trebuie să fie total indiferent față de aceștia. Inerția chimică a solventilor organici față de litiu este asigurată de absența hidrogenului mobil din moleculele lor; de aceea acizii, alcoolii, aminele, aldehydele și fenolii sînt excluși apriori din discuție. De asemenea, nu pot fi luate în considerare clase de substanțe cum sînt hidrocarburile alifactice nesaturate și nitrilii, pentru care litiul este catalizor de polimerizare.

O altă cerință esențială în selecționarea solventului este legată de conductibilitatea soluției obținute prin dizolvarea electrolitului (o sare anorganică); solventul trebuie să solve ușor și să ionizeze cît mai complet electrolitul ai cărui ioni transportă curentul în interiorul pilei. Astfel se explică preferința acordată unor solvenți organici avînd constante dielectrice mari și nefăcînd parte din categoriile prohibite, menționate mai sus, cum ar fi: nitrometanul ( $D = 36$ ), butiractona ( $D = 39$ ), carbonatul de propilenă, foarte mult căutat ( $D = 64$ ), dimetilsulfoxidul ( $D = 49$ ) ș.a.

Printre sursele electrochimice de energie neconvenționale acumulatorul zinc-aer cunoscut și într-o variantă de pilă galvanică primară, se bucură de un interes deosebit. Fabricat deocamdată pe scară limitată, el constituie un rival potențial al acumulatorilor larg răspîndite actualmente. Folosirea lui ca sursă de energie pentru echipament portativ, cum ar fi radiouri, magnetofone, aparate de filmat etc, cu un randament superior celui din acumulatorii cu plumb este promițător, deși dezavantajul auto-descărcării, încă nerezolvat satisfăcător, trage destul de greu în cumpănă. Deoarece randamentul de conversie a energiei chimice în electricitate poate

Fig. 9.15. Schema de funcționare a unei baterii de pile Zn-aer.



atinge valori de circa 50%, iar densitatea masică de energie se apropie de 180 Wh/kg, bateriile zinc-aer prezintă caracteristici ce le-ar face apte și la alimentarea unor electromobile.

Electrodul pozitiv este poros, iar substanța activă este oxigenul din aerul atmosferic, amintind prin funcționarea sa de electrodul echivalent din pilele de combustie (v.secțiunea 9.5). În figura 9.15 este redată schema de funcționare a unui acumulator Zn-aer; electrolitul alcalin circulă prin celulă, pentru a îndepărta oxidul de zinc format și a evita astfel pasivarea electrodului de zinc; oxidul de zinc este filtrat și depozitat, în timpul descărcării urmînd să reentre în circuit în timpul încărcării, cînd se reduce la zinc metalic. La electrodul de aer, în timpul încărcării se degajă oxigen, care se răspîndește în aer, iar în timpul descărcării are loc reducerea oxigenului din aerul atmosferic. Reacția globală electromotric activă este deci:



## 9.5 PILE DE COMBUSTIE

### 9.5.1 DEFINIȚIE ȘI ISTORIC

Cum s-a menționat (secț. 6.2), pilele de combustie sînt generatoare de energie electrică, alimentate continuu cu specie activă la electrozi. La electrodul de combustibil are loc oxidarea acestuia din urmă cu oxidantul alimentat la celălalt electrod. Printre cei mai obișnuiți combustibili se citează  $\text{H}_2$ ,  $\text{CH}_3\text{OH}$ ,  $\text{N}_2\text{H}_4$ , hidrocarburi,  $\text{CO}$  ș.a., iar ca oxidant oxigenul pur sau diluat (aer atmosferic) ș.a.

Cea mai bine studiată și mai răspîndită este pila hidrogen-oxigen ( $\text{H}_2$ - $\text{O}_2$ ), care a servit ca sursă de energie electrică și apă, pe capsulele trimise în cosmos în cadrul proiectelor *Gemini* și *Apollo*. În această pilă, procesul

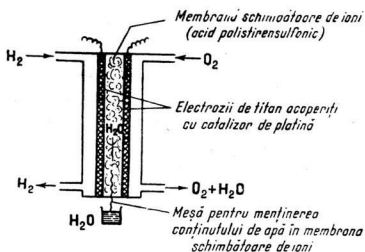


Fig. 9.16. Schema pilei de combustie  $H_2-O_2$ , folosită pe navele proiectului Gemini.

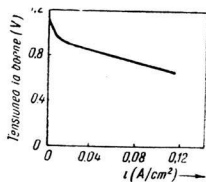


Fig. 9.17. Performanțele unei pile de combustie  $H_2-O_2$ .

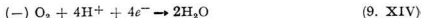
electromotric activ, invers electrolizei, constă în sinteza apei din elementele constitutive; reacția controlată, eliberează energie electrică și căldură în cantitate echivalentă cu entalpia liberă a reacției de formare a apei.

Figură 9.16 reproduce schema pilei de combustie  $H_2-O_2$  utilizată în proiectul Gemini. Între doi electrozi subțiri de titan acoperit cu catalizator de platină, se găsește un strat subțire de rășină schimbătoare de ioni alcătuită dintr-un amestec de acid polistirensulfonic, politrifluoroetilenă, plastifiant ș.a.; grosimea pilei nu depășește 0,5 mm.

În pilă au loc următoarele reacții:



și



Deoarece conductibilitatea electrică a membranei este puternic dependentă de conținutul de apă, acesta se reglează cu ajutorul unor meșe de drenaj sau de alimentare prin capilaritate (fig.9.16). Performanțele unui singur element (pilele se folosesc asamblate în baterii ce însumează zeci de elemente) sînt redată în figura 9.17. O mare pierdere de putere se datorează rezistenței membranei schimbătoare de ioni (polarizare ohmică) și supratensiunii manifestate de electrodul de oxigen. Bateria utilizată pe cea dintîi navă Gemini avînd oameni la bord, avea puterea medie de 900W și cea maximă de 2 KW. Sistemul furniza și 0,56 l de apă/kWh de energie electrică.

Ideea pilei de combustie datează de pe la începutul secolului trecut și se leagă de numele lui D a v y (1802), iar posibilitatea realizării ei a fost demonstrată în 1839 de G r o v e, care oxida hidrogen cu oxigen într-un voltmetru, cu paralela producere de energie electrică.

Problema electrozilor și a electrocatalizatorilor încorporați în aceștia a constituit temă centrală în cercetările consacrate pilelor de combustie. Încă prin 1889 se semnala scăderea activității catalitice a negrului de platină păstrat în contact cu electrolitii, iar prin 1913 costul electrozilor

era simțitor redus prin introducerea cărbunelui ca suport al electrocatalizatorului de platină.

Electrolizii topiți au fost încercați încă de prin a doua jumătate a secolului trecut, iar în 1894 O s t w a l d făcea propunerea, îndrăzneată pe acea vreme, de a înlocui mașinile termice cu pile electrochimice, în care cărbunele să fie oxidat la  $\text{CO}_2$ , iar oxigenul redus.

În al treilea și al patrulea deceniu al secolului nostru se înregistrează o scădere a interesului pentru pilele de combustie, din cauza părerii ce se formează în acel timp, că electrooxidarea combustibililor organici lichizi nu poate primi o soluție practică. Situația se schimbă după cel de al doilea război mondial și revirimentul este marcat de cercetările lui D a v i t i a n asupra electrolizilor solizi utilizați în pilele de combustie fierbinți alimentate cu hidrocarburi și de cercetările lui F.T. B a c o n asupra pilei  $\text{H}_2\text{-O}_2$  cu electrolit alcalin. Cererile de generatori de putere avînd masă redusă, destinați unor scopuri speciale, cum ar fi de exemplu navigația cosmică, imprimă un nou impuls cercetărilor și dezvoltării pilelor de combustie.

Tehnologia pilelor de combustie a marcat un progres însemnat prin introducerea electrozilor poroși cu dublu schelet (*DSK*), realizați de J u s t i, W i n s e l ș.a. pe suporturi de metale R a n e y și a electrozilor difuzivi de cărbune, în ai căror pori se găsește depus electrocatalizatorul; apoi trebuie amintite introducerea membranelor schimbătoare de ioni în calitate de electrolit în pilele  $\text{H}_2\text{-O}_2$  rece (v. mai sus) și apariția unor suporturi poroase de masă plastică, pe care se depun filme subțiri de metale, care joacă rolul dublu de colector de curent și electrocatalizor.

#### 9.5.2 CLASIFICARE. ELECTROLIȚI ȘI COMBUSTIBILI PILELOR DE COMBUSTIE

Pilele de combustie se clasifică în principal după două criterii, unul ia în considerare temperatura de funcționare, iar celălalt electrolitul utilizat. Clasificarea se poate face ținînd seama și de natura combustibilului (lichid sau gazos) sau de faptul că alimentarea se face direct cu combustibil sau cu produsul obținut după o prealabilă reformare catalitică a acestuia (pile directe și indirecte).

De cele mai multe ori și în special în cazul pilelor reci care funcționează la temperaturi  $< 100^\circ\text{C}$ , ca electrolit se utilizează o soluție apoasă de acid mineral ( $\text{H}_2\text{SO}_4$ ,  $\text{H}_3\text{PO}_4$ ) cînd pilele se numesc acide. Dacă electrolitul este o soluție apoasă de  $\text{KOH}$  pila este alcalină. Tot în domeniul temperaturilor joase pilele pot conține în locul electrolitului lichid o membrană schimbătoare de ioni. Aceasta este un material solid de natură organică sau minerală, saturată cu apă și constituită dintr-o rețea cristalină, în care există anumite centre de funcții acide sau bazice capabile să se schimbe cu anumiți ioni din soluție. Conductibilitatea membranei saturate cu apă este asigurată de ionii  $\text{H}^+$  și  $\text{OH}^-$  extrem de mobili. Principalul avantaj al pilelor cu membrană schimbătoare de ioni constă în posibilitatea eliminării apei (produs de reacție) prin exsudare, evitîndu-se inconvenientul diluării electrolitului de la pilele ce conțin soluții apoase de acid sau

hidroxid alcalin. Un dezavantaj esențial al lor este constituit de marea rezistență electrică, responsabilă de pierderi însemnate prin așa numita polarizare (sau supratensiune) ohmică.

Sărurile topite sînt excelente conductoare ionice și se utilizează ca electroliți în pilele calde. Pentru motive de stabilitate în funcționare, se preferă carbonații alcalini, cînd, de exemplu temperatura de lucru a pilei poate fi de 650°C, depășind cu puțin temperatura de topire a eutecticului ternar  $\text{Na}_2\text{CO}_3 + \text{K}_2\text{CO}_3 + \text{Li}_2\text{CO}_3$ .

Anumiți oxizi refractari prezintă la temperaturi foarte ridicate, chiar în stare solidă, o conductibilitate ionică, prin  $\text{O}^{2-}$ , apreciabilă. Această proprietate este exploatată în pilele de combustie fierbinți, care funcționează la temperaturi ceva mai mari de 1 000°C. Proprietățile acestor oxizi pot fi îmbunătățite prin realizarea unor amestecuri adecvate și a unor concentrații de goluri sau vacanțe în ioni  $\text{O}^{2-}$  ( $\text{O}^{2-}$ ) pentru a satisface cerinței de minimă conductivitate cationică și electronică; un exemplu poate constitui amestecul:  $[\text{ZrO}_2]_{0,85} [\text{CaO}]_{0,15} [\text{O}^{2-}]_{0,15}$  în care concentrația de goluri sau vacanțe în ioni oxigen este de 15%.

În general, electrolitul trebuie să posede o conductibilitate electronică neglijabilă și să fie greu permeabil la difuzia directă a oxigenului și combustibilului; dacă electrolitul este un conductor electronic, pila tinde să se descarce prin propriul său electrolit, iar dacă difuzia rapidă a oxigenului și a combustibilului este posibilă, are loc oxidarea parțială, neelectrochimică a celui din urmă, însoțită de o scădere a randamentului de funcționare a pilei. Rareori se întîmplă ca oxigenul să difuzeze prin electrolit pentru a provoca neplăceri. Totuși, în cazul unor combustibili ca metanolul, hidrazina sau amoniacul, care se găsesc dizolvați în electrolit și caracterizați prin viteze mari de difuzie în electrolit, se cer luate unele măsuri de precauție.

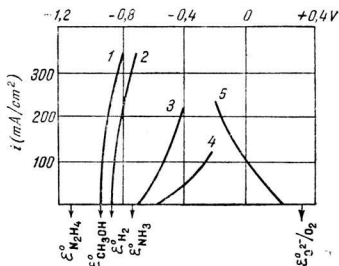
În majoritatea cazurilor oxidantul este oxigenul, pur sau diluat sub formă de aer. Rareori se folosesc oxidanți cum ar fi cloritul, clorul sau alte substanțe.

În privința combustibilului, posibilitatea de alegere este mult mai mare, în capul listei trebuie menționat hidrogenul, foarte studiat și reactiv. Neluînd în seamă pericolul inflamabilității, principalul dezavantaj al utilizării lui îl constituie imposibilitatea lichefierii, ceea ce pune probleme dificile legate de volumul sistemului și care poate constitui un handicap serios uneori. În unele aplicații militare acest dezavantaj a fost rezolvat prin folosirea hidrului de litium, care degajă hidrogen sub acțiunea apei.

Oxidul de carbon și mai ales hidrocarburile sînt actualmente mult mai puțin reactive decît hidrogenul, dar se folosesc cu succes la alimentarea pilelor calde cu carbonați topiți; caracteristicile teoretice ale cîtorva reacții de combustie cu hidrocarburi, figurează în tabela 9.6.

Metanolul este unul din rarii combustibili ce se pot compara, sub raportul curentului debitat, cu hidrogenul. Oxidarea lui se poate efectua atît în electrolit alcalin cît și acid, deși în cazul dinții există inconvenientul degradării în urma absorbției  $\text{CO}_2$  rezultat din reacția de oxidare. În figura 9.18 reactivitatea hidrogenului este comparată cu aceea a metanolului, amoniacului și hidrazinei, substanțe ce completează lista combustibililor mai frecvent studiați. Pe diagrama  $i$ - $\epsilon$  s-a trasat și curba de polari-

Fig. 9.18. Curbele de polarizare la oxidarea  $H_2$ ,  $N_2H_4$ ,  $NH_3$  și la reducerea oxigenului în mediu alcalin.



zare la reducerea oxigenului, iar prin săgeți s-au localizat potențialele normale standard de oxidare, calculate din date termodinamice. La compararea reactivității electrochimice trebuie luate în considerare pozițiile curbelor de polarizare experimentale în raport cu potențialele calculate. Se observă că deși potențialele normale ale metanolului și hidrazinei sînt mai negative decît potențialul normal al hidrogenului, densitățile de curent nu devin importante la primii decît la potențiale net superioare (mai pozitive) celor teoretice, tocmai din cauza reactivităților electrochimice mai reduse decît a hidrogenului (fig.9.18). Din acest motiv randamentul de oxidare al metanolului este de două ori mai mic decît al hidrogenului. Comparat cu avantajul utilizării unui combustibil lichid, inconvenientul ar fi minim dacă pila cu metanol ar fi mai ușor de realizat decît cea cu hidrogen. În realitate, electrozii de hidrogen sînt mai greu realizabili decît cei de metanol, dar construirea pilei alimentate cu metanol pune o serie de probleme destul de delicate.

Tabelul 9.6 conține unele date termodinamice, *FEM* și randamentele maxime,  $r$ , ale conversiei electrochimice de energie pentru cîteva reacții de pile de combustie.

Tabelul 9.6

**Entalpia liberă, entalpia, *FEM* și randamentul maxim  
al unor reacții electromotric active din pile de combustie**

Reacția	$\Delta G^\circ$ (kcal)	$-\Delta H^\circ$ (kcal)	$E$ (V)	$r = \frac{\Delta G}{\Delta H} \cdot 100(\%)$
$H_2 + 1/2O_2 \rightarrow H_2O$	56,69	68,32	1,229	83
$CH_4 + 2O_2 \rightarrow CO_2 + 2H_2O$	195,50	212,80	1,060	92
$C_3H_8 + 5O_2 \rightarrow 3CO_2 + 4H_2O$	503,90	530,61	1,093	95
$C_{10}H_{22} + 10 \frac{1}{2}O_2 \rightarrow 5CO_2 + 11H_2O$	1574,42	1632,33	1,102	97
$CH_3OH + 3/2O_2 \rightarrow CO_2 + 2H_2O$	168,95	182,61	1,222	93
$CO + 1/2O_2 \rightarrow CO_2$	61,45	67,63	1,333	91
$N_2H_4 + O_2 \rightarrow N_2 + 2H_2O$	144	144,8	1,570	99



Așa cum s-a menționat (secț.5.58) folosirea electrozilor poroși în sistemele de conversie electrochimică a energiei este justificată prin proprietatea acestora de a oferi o suprafață de reacție mult mărită pe unitate de volum. Aceasta este echivalentă și cu o densitate de curent aparentă mărită.

În cazul reactanților gazoși, așa cum se întâmplă cu unele pile de combustie, electrodul poros numit și electrod difuziv de gaz, este necesar și pentru crearea unei separări stabile între gaz și electrolit. Spre deosebire de aceasta, în pilele galvanice în care atît reactanții cît și produșii de reacție sînt solizi (de exemplu bateriile de buzunar) sau în pilele de combustie alimentate cu combustibil dizolvat în electrolit (pile directe cu metanol, amoniac sau hidrazină), electrodul, de asemenea poros, este complet imers în lichid. Cele două tipuri de electrozi sînt ilustrate în figura 9.19. Partea expusă către gaz a electrozilor difuzivi conține pori mai mari, pe cînd porii dinspre electrolit sînt mai fini, pentru a facilita menținerea echilibrului trifazic electrod-electrolit-gaz. Avantajul unui gradient al porilor în echilibrul trifazic este ușor de arătat cu ajutorul relației ce leagă raza,  $r_1$ , porilor fini și raza,  $r_2$ , porilor mari de presiune diferențială,  $\Delta p$ , de-a curmezișul electrodului:

$$\Delta p = 2\sigma \cos \theta \left( \frac{1}{r_1} - \frac{1}{r_2} \right), \quad (9.11)$$

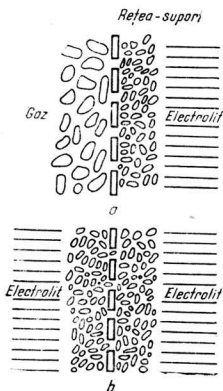


Fig. 9.19. Electrozi poroși:  
a — electrodul difuziv de gaz; b — electrodul imers în electrolit.

unde  $\sigma$  este tensiunea interfacială; iar  $\theta$  unghiul de racord. La echilibru, presiunea diferențială este egalată de presiunea capilară. Din ecuația (9.11) rezultă că presiunea diferențială variază invers proporțional cu raza porilor; cu cît diametrul porilor este mai mic, cu atît  $\Delta p$  suportat este mai mare, ceea ce este echivalent cu presiunea de alimentare a gazului și densitatea de curent debitată mai mari. Gradientul de porozitate pe direcția normală a electrodului se poate obține prin presarea de pulberi avînd granulații diferite pe cele două fețe ale rețelei suport (fig. 9.19 a); în aceste condiții limita fazei gazoase poate fi menținută la locul de întîlnire a celor două porozități diferite. Pe baza acestor fapte a reușit B a c o n să construiască în 1954 pila de combustie  $H_2-O_2$ , de mare presiune; structurile poroase, realizate prin presarea de pulbere de nichel de granulații diferite, aveau diametrele porilor fini de  $2 - 5 \mu$  și ale porilor mari de  $20 - 30 \mu$ .

Trebuie să se menționeze că dacă  $\Delta p$  este mai mică decât presiunea capilară, electrolitul poate „înneca” porii electrodului, iar dacă  $\Delta p$  depășește presiunea capilară, se creează condiții pentru barbotarea gazului în electrolit. Prin urmare, condiția unei funcționări normale a electrodului se poate exprima prin inegalitatea:

$$\frac{2\sigma \cos \theta}{r_2} < p_g - p_e < \frac{2\sigma \cos \theta}{r_1}, \quad (9.12)$$

unde  $p_g$  și  $p_e$  reprezintă presiunile gazului dinspre partea de unde se alimentează și respectiv dinspre partea electrolitului, iar  $r_1$  și  $r_2$  razele capilarelor fine și respectiv mari.

Referitor la separarea fazelor lichid-gaz, lucrurile nu trebuie înțelese simplist; dincolo de limita de separare a celor două structuri, înspre faza gazoasă, lichidul pătrunde sub formă de peliculă continuă foarte fină, avînd grosimea de ordinul 1  $\mu$ , de-a lungul pereților porilor mari. Tocmai în aceste zone au loc cele mai multe reacții și este transportată cea mai mare parte a curentului.

Dar gradientul de porozitate nu este singurul parametru capabil să determine menținerea cu succes a echilibrului trifazic din interiorul structurii poroase a electrodului. După cum se vede din ecuația (9.11), un tratament hidrofobizant al electrodului, de exemplu prin aplicarea unui strat subțire de teflon, menit să mărească  $\sigma$  și  $\theta$  pentru o valoare determinată a razei porilor, acționează tot în sensul măririi presiunii diferențiale.

Electrozii total imerși sînt mai simpli din punct de vedere mecanic. La aceștia, condiția ideală constă în completa pătrundere a electrolitului în porozitatea electrodului; este de dorit un mare procent de porozitate volumică, iar porii se preferă cît mai liberi de tensiuni și tortuozități. Dimensiunile particulelor trebuie în așa fel alese încît să se obțină un bun contact atît între ele cît și cu rețeaua suport, facilitînd conductibilitatea electronică în toată masa electrodului.

Electrodul ideal imers nu trebuie să aibă pori complet închiși pentru circulația electrolitului spre și dinspre faza lui de volum, deoarece reacția de electrod se desfășoară aproape exclusiv în pori, suprafața exterioară a electrodului fiind relativ mică în comparație cu cea internă, obținută prin însumarea porilor tuturor pereților capilari.

Viteza de reacție din porii electrodului, în orice punct, este dependentă de potențialul la interfață, densitatea de curent ce se scurge prin interfața electrod/electrolit; de concentrațiile speciilor reactante ce ajung în pori și, în largă măsură, de natura electrocatalizatorului depus pe electrod. Aceste condiții locale sînt guvernate la rîndul lor de transferul de masă al speciilor reactante și de transportul curentului spre un anumit punct și de la acest punct al interfeței spre altul. De aceea, pentru a completa caracterizarea a electrodului poros, este necesară cunoașterea distribuției reacției de electrod în masa electrodului.

În încheiere trebuie menționat că tendința generală în ultimii ani a fost pentru reducerea grosimii electrozilor poroși la numai cîteva zecimi de mm, indiferent că este vorba de electrozi fabricați prin presarea unor pulberi metalice, cărbune activat și catalizator sau prin amestecarea unor

compuși organici avînd rol de liant cu mase catalitice de mare activitate, pentru a obține electrozi flexibili. Cercetările efectuate în ultimul deceniu au permis reducerea substanțială a consumului specific de catalizator scump (platină, metale platinice sau aliaje ale acestora) la numai cîteva mg/cm<sup>2</sup>, precum și introducerea unor noi catalizatori, din a căror compoziție s-a eliminat parțial sau chiar total componentul platinic.

#### 9.5.4 CONCLUZII. RELAȚIA DINTRE CONVERSIA ELECTROCHIMICĂ DE ENERGIE ȘI ENERGIA NUCLEARĂ CA SURSĂ DE PUTERE

Una din tendințele certe de dezvoltare a activității de conversie a energiei o constituie utilizarea din ce în ce mai largă a energiei nucleare ca sursă de energie primară și transformarea ei în centrale nuclear-electrice în energie electrică. Se pune întrebarea dacă această activitate practică umană va afecta sau nu conversia electrochimică de energie? Întrebarea are mai multe aspecte a căror menționare va contribui la revelarea atît a laturii competitive cît și a celei de cooperare dintre cele două genuri de conversie de energie.

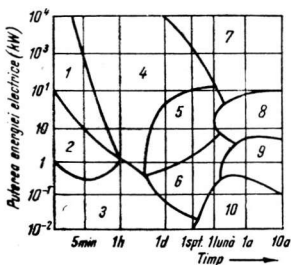
Fără îndoială, sursele de putere nucleare sau centralele nuclear-electrice (CNE) vor concura instalațiile mari, potențiale, de conversie electrochimică de energie, cum ar fi centralele de pile de combustie. Consumarea uraniului în CNE sau combustia electrochimică a gazelor naturale în pile de combustie constituie o chestiune ce depinde de profilul și resursele economiei locale într-o țară dată. Aproape jumătate din costul energiei electrice necesare în scopuri productive sau menajere îl reprezintă transportul ei prin conductori. S-au făcut calcule și s-a ajuns la concluzia că revine mai ieftină pomparea gazelor prin conducte decît transportul curentului electric prin conductori electrice, ceea ce a născut ideea distribuirii hidrogenului obținut prin radioliza apei spre punctele unde este nevoie de energie electrică, și conversia lui în electricitate fie prin combustie electrochimică în pile de combustie, fie prin combustie termică în termocentrale; avem de a face cu o filieră unde cele două tipuri de conversii sînt cooperante. Conversia în energie electrică a energiei chimice înmagazinate în gazele naturale și cărbuni trebuie considerată într-o lumină diferită de consumarea în același scop a rezervelor de petrol, deoarece acesta din urmă este mai folositor ca materie primă în industria petrochimică (prepararea de diverși compuși chimici folositori, ba chiar alimente).

În privința aplicațiilor celorlalte convertizoare electrochimice nu se întrevide competiția cu generatoarele de putere bazate pe energia nucleară decît în cazul unor stații mobile folosite în special la tracțiunea unor nave marine mari. Dacă necesarul de putere nu depășește 100 kW, conversia electrochimică poate fi însă concursată de alte filiere, a căror rentabilitate este puternic influențată de durata (fig.9.20) și de energia maximă ce se poate livra pentru masa minimă.

Se știe că energia nucleară se transformă în CNE în energie electrică prin intermediul energiei termice; energia termică a fisionii servește la încălzirea fluidului motor, care acționează asupra unor pistoane sau asupra paletelor unei turbine, energia mecanică astfel obținută transmițîndu-se

Fig. 9.20. Zonele de aplicabilitate ale diverselor convertizoare de energie, în funcție de timp și putere furnizată:

1 — turbine cu alimentare chimică; 2 — turbine chimice + baterii; 3 — baterii; 4 — mașini criogene  $H_2-O_2$ ; 5 — mașini criogene + pile de combustie; 6 — pile de combustie; 7 — sisteme nucleare dinamice (centrale, nuclear-electrice-CNE); 8 — CNE + Pile solare; 9 — colectoare de energie solară; 10 — pile fotovoltaice și radioizotopi.



unor motoare electrice. În secțiunea 9.2 s-a discutat dezavantajul legat de randamentul scăzut al filierelor obligate să adopte un intermediar termic.

În principiu, energia primară nucleară poate fi convertită în energie electrică, cu ajutorul convertizoarelor electrochimice, fără pierderi  $C a r n o t$ , deci cu randamente superioare, bucurându-se de toate avantajele unor condiții de temperatură relativ coborâtă și evitându-se dificultățile întâmpinate în reactorii nucleari de temperatură înaltă. Metoda ar permite utilizarea energiei nucleare pentru descompunerea unor substanțe cum ar fi de exemplu apa și recombinarea produșilor de descompunere (aici  $H_2$  și  $O_2$ ) în reactori electrochimici de tipul pilelor de combustie și ar constitui un sistem de pilă de combustie regenerată cu ajutorul energiei nucleare. Dacă toată energia radioactivă emisă de nucleele care se dezintegrează ar fi utilizată în producerea de specii radiolizate stabile, randamentul filierei ar fi limitat numai de randamentul pilei de combustie, care se poate cifra la  $\sim 75\%$ , aproape dublul celor mai bune randamente din CNE mari și mult mai mare decât dublul randamentelor din reactorii nucleari mici.

Dar, deși particulele rezultate din dezintegrarea nucleară disociază un număr mare de molecule prin trecerea lor într-un mediu oarecare (de exemplu o soluție ce conține anumite specii chimice), multe din fragmentele de disociere se recombina între ele, reducând simțitor randamentul radiolizei; din acest motiv, randamentul global nu ar depăși 10%. Filiera este încă în faza de dezvoltare inițială și una din variantele ei este schițată în figura 9.21.

Un ultim aspect, vrednic de menționat este legat de poluarea atmosferei prin combustia electrochimică a unor combustibili fosili. Este adevărat că produsul de oxidare completă al acestora este  $CO_2$ , dar cantitatea răspândită în atmosferă nu ajunge decât la  $1/3$  sau cel mult  $1/2$  din cantitatea diseminată în urma arderii combustibililor în motoarele cu ardere internă și în termocentrale pentru a genera aceeași energie. Nu trebuie neglijat nici faptul important că prin combustie electrochimică nu se obțin produși de combustie incompletă. Calculele arată că bioxidul de carbon răspândit în atmosferă prin combustia electrochimică nu modifică semnificativ situația încă vreo 30 — 100 ani. Între timp, proporția ce

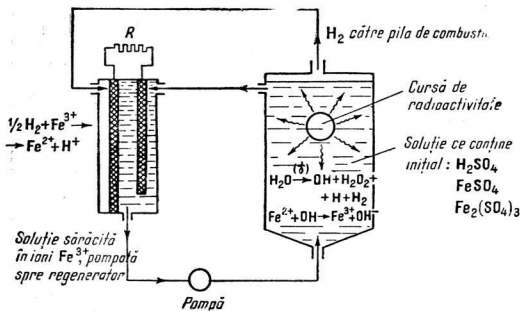


Fig. 9.21. Schema unei pile de combustie cu regenerare radiolitică.

revine energiei electrice de origine nucleară va crește simțitor, iar prețul electricității se va micșora, probabil și în urma introducerii fuziunii controlate. Abundența energiei electrice va facilita pătrunderea ei și în domeniile unde astăzi se folosesc încă generatoare termice de energie; transportul va deveni în întregime electrificat, din motive economice. La toate acestea va contribui în largă măsură conversia electrochimică de energie, care va asigura și posibilitatea stocării electricității din ce în ce mai puțin în sisteme clasice — convenționale, și din ce în ce mai des în acumulatori noi, cum sînt pilele AgZn, de combustie sau cele cu solvenți organici, caracterizate prin performanțe și parametri superiori.

## 9.6 PILE CU MEMBRANE SEMIPERMEABILE. BIOCURĂȚI

Dacă două soluții avînd concentrații diferite sînt separate cu o membrană semipermeabilă, de-a curmezișul membranei apare o cădere de potențial. Să considerăm o membrană permeabilă numai pentru anionii  $\text{Cl}^-$ . Diferența de potențial care ia naștere numită potențial de membrană  $\varepsilon_{mb}$  se poate calcula cu relația lui Nernst:

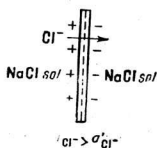


Fig. 9.22. Formarea potențialului de membrană.

$$\varepsilon_{mb} = 0,059 \lg \frac{a_{\text{Cl}^-}}{a'_{\text{Cl}^-}}, \quad (9.13)$$

unde  $a_{\text{Cl}^-}$  și  $a'_{\text{Cl}^-}$  sînt activitățile ionilor  $\text{Cl}^-$  din cele două soluții. Fața membranei aflată în contact cu soluția mai diluată se va încărca negativ (fig. 9.22). O însumare în serie a potențialelor de membrană se realizează prin alternarea unor membrane schimbătoare de cationi și anioni (M a n e c k e, 1952). Prin descărcare, concentrațiile soluțiilor se

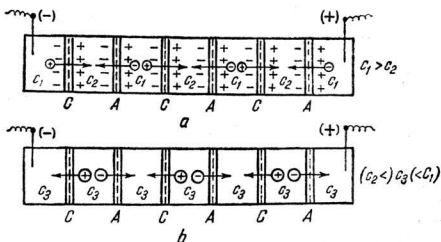


Fig. 9.23. Bateria de membrane legate în serie:  
a — în timpul descărcării și b — la începutul încărcării.

egalează; dimpotrivă, prin încărcare, concentrațiile se diferențiază din nou (fig. 9.23).

Densitățile de putere și de curent ale unor asemenea baterii de membrane se situează mult sub valorile obținute cu acumulatele convenționale.

Funcționarea pilor cu membrane schimbătoare de ioni permite explicarea producerii biocurenților în organismele animalelor. Potențialul de membrană este observabil și la membranele care delimitează celulele animale și care constituie o interfață lichid-gel sau lichid-lichid. Ele au grosimi cuprinse între 5 și 10 nm și sînt alcătuite din lipide și proteine superioare organizate. În celule și în mediul ambiant (interstițial) se găsesc soluții apoase de electroliți, avînd rezistivități de ordinul a 20 — 200  $\Omega/\text{cm}$ . Rezistivitățile membranelor de suprafață se cifrează la  $10^7 - 10^{10} \Omega/\text{cm}$  și sînt comparabile cu rezistivitățile semiconductorilor.

Lichidul celular și cel interstițial au compoziții chimice diferite. Astfel la celulele nervoase, ionii  $\text{Na}^+$  și  $\text{Cl}^-$  reprezintă  $> 90\%$  din speciile ionice din afara celulei și mai puțin de  $10\%$  în interiorul celulei, unde ionii  $\text{K}^+$  și unele specii ionice negative organice sînt preponderente. Acestea din urmă sînt prea voluminoase pentru a putea traversa membrana celulară, care este permeabilă numai pentru  $\text{Na}^+$ ,  $\text{K}^+$  și  $\text{Cl}^-$ . Măsurătorile experimentale arată că în interiorul celulelor în repaus concentrația ionilor  $\text{K}^+$  este de 30 de ori mai mare ca în exterior, unde în schimb concentrația ionilor  $\text{Na}^+$  este de 10 ori mai mare decît în interiorul celulei.

Din cauza diferențelor de mobilitate a speciilor ionice la traversarea membranei celulare, ionii  $\text{K}^+$  și  $\text{Cl}^-$  pot pătrunde mai ușor în celulă decît ionii  $\text{Na}^+$  și toți ionii anorganici sînt mai mobili în comparație cu ionii organici, mult mai mari. Acestor diferențe de mobilități sau permeabilități li se datorează curenții de difuzie diferiți, a căror rezultantă constituie curentul de membrană, asociat cu o diferență de potențial de membrană care la membranele celulelor normale este cuprins între 30 și 100 mV, valoarea particulară depinzînd de tipul celulei: + 90 mV pentru mușchi, 70 mV la celule nervoase, - 40 mV la celulele hepatice etc. Tot din același

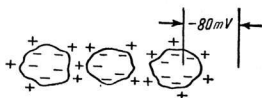


Fig. 9.24. Potențialul de membrană al celulelor vii, în stare de repaos. Potențialul exterior se consideră, arbitrar, zero.

lă. Această scurgere de ioni  $\text{Na}^+$  însoțită ne modificarea potențialului de membrană la circa  $+40 \text{ mV}$  se numește impuls nervos sau potențial de acțiune (fig. 9.25). Teoretic, aplicînd formula lui N e r n s t, potențialul ar trebui să se stabilească la  $+50 \text{ mV}$ , la  $25^\circ\text{C}$ , dar din cauza selectivității deficitare, el se fixează la  $+40 \text{ mV}$ . La fel se poate calcula și potențialul de membrană al celulei nervoase în stare de repaos, cînd se obține  $-87 \text{ mV}$ ; în realitate, din aceleași motive, și aici se măsoară o valoare mai mică (cca  $-70 \text{ mV}$ ).

După variația bruscă de potențial declanșată de impulsul nervos, în sistem ia naștere un proces care determină ionii de  $\text{Na}^+$  și  $\text{K}^+$  să traverseze membrana în sens opus gradientului de concentrație (transport activ) pînă cînd concentrațiile relative de cele două părți ale membranei se restabilesc la valoarea avută înainte de aplicarea excitantului extern.

Potențialul de acțiune apărut într-un anumit punct al nervului, schimbă caracteristicile membranei celulare într-un punct învecinat, determinînd fluxurile de ioni  $\text{Na}^+$  menționate; pe această cale se transmite fluxul nervos în nerv (fig. 9.25), baza comunicării dintre diversele părți ale corpului și creier.

S-a găsit că între densitatea de curent  $i_{\text{ion}}$  asociată cu traversarea membranei celulare de către ionii  $\text{Na}^+$  și potențialul de membrană există o relație exponențială:

$$i_{\text{ion}} = A \exp(B\varepsilon_{mb}). \quad (9.14)$$

Într-o serie de experiențe s-a găsit că  $B = 1/2 \mathcal{F}/RT$  așa cum ar rezulta dintr-o relație de tip B u t l e r - V o l m e r, ceea ce este de mare importanță pentru cercetările interfețelor membrană/lichid, care intervin în toate sistemele biologice. Mecanismul funcționării acestora constituie unul din cele mai importante fapte ale biologiei moleculare și constituie baza neurofiziologiei.

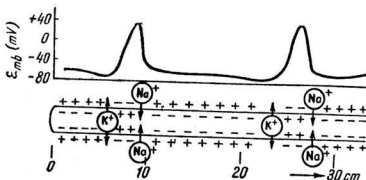
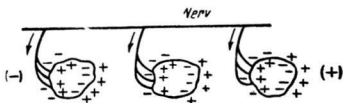


Fig. 9.25. Propagarea potențialului de acțiune de-a lungul unui nerv.

Fig. 9.26. Însurarea potențialelor prin excitare sincronă într-un pachet de celule.



Biocurenții ating puteri impresionante în organele electrice ale unor pești; anghila de apă dulce este capabilă să genereze un curent de 1 A sub o diferență de potențial ce atinge 700 V, pe cînd torpila electrică, trăind în mări și oceane avînd apa mai bună conductoare, se caracterizează prin curenți de intensitate mai mare (50 A) și diferențe de potențial mai mici. Curentul este generat în salve de sute sau mii de impulsuri avînd frecvența de 200 Hz. Șocurile electrice astfel produse constituie armă de atac și de apărare a peștelui sau mijlocul de orientare a lui.

Fiecare celulă a organului generator de electricitate este conectată unilateral la un nerv, care este responsabil atît pentru excitarea sincronă a celulelor cît și pentru preluarea și însurarea potențialelor de membrană ce iau naștere în ele (fig.9.26). Deoarece contribuția fiecărei celule este de 10 — 20 mA și circa 100 mV, valorile considerabile ale intensității și potențialului corespunzătoare curenților generați de pești provin de pe urma conexiunii în serie și paralel a sute și mii de asemenea celule.

Ca și în bateriile cu membrane schimbătoare de ioni în timpul generării de energie electrică concentrațiile ionice extra - și intercelulare se egalează; în ceea ce privește procesul de încărcare, așa numitul transport activ de ioni, nu se cunosc pentru moment decît ipoteze. Ionii  $K^+$  și  $Na^+$  sînt transportați și schimbați simultan în sens contrar de către un purtător de ioni din membrana celulară. Se pare că energia necesară pentru acest proces este furnizată de hidroliza enzimatică paralelă a unui compus organofosforic, bogat în energie, cum ar fi acidul adenozintrifosforic (ATP). S-a constatat că otrăvuri ale enzimelor, cum sînt azidele, cianurile și dinitrofenolul pot bloca și transportul activ.

## Bibliografie

1. V. S., Bagotski și Iu. B., Vasiliev. *Fuel Cells. Their Electrochemical Kinetics*, Consultant Bureau, New York, 1966
2. H., Eyring, D. Henderson și W., Jost (ed.). *Physical Chemistry*, vol. IX b, *Electrochemistry*, Academic Press, New York, London, 1970, cap. 9, 11.
3. S. U., Falk, A. J. Salkind. *Alkaline Storage Batteries*. J. Wiley, London, 1969
4. L. Oniciu. *Pile cu solvenți organici, surse de mare densitate de energie*. Studii și Cercet. de Chimie, **19**, 835, 1971
5. L., Oniciu. *Pile de combustie*. Editura Științifică, București, 1971
6. F., v. Sturm. *Elektrochemische Stromerzeugung*. Verlag Chemie, Weinheim, 1969.
7. K. R., Williams. *An Introduction to Fuel Cells*. Elsevier Publ. Co, London, 1966



Acid protic 129  
 Aciditate absolută 131  
 Acumulatori 449  
 Acumulatori neconvenționale 456  
 Adion 305 u  
 Aduct 128  
 Aliaje, electrodepunerea — 327 u  
 Alpert 222  
 Apa grea 371  
 Apollo, proiectul — 459  
 Arrhenius 7, 64, 128, 129  
 Ashcroft 420  
 Autodifuzia topiturilor 386  
 Autodisociere 130

Bacon 461, 464  
 Barker 291  
 Barlow 199  
 Baxendale 155  
 Bayard 222  
 Bazicitate absolută 131  
 Bernal și Fowler, teoria — 126  
 Berzelius 350  
 Berzins 289  
 Biocurenți 486  
 Bjerrum 63, 67, 108, 127  
 Boag 153  
 Bockris 199, 206, 217, 286, 294, 298  
 Boltzmann 33, 43 u  
 Born, teoria lui — 7 u  
 Bourgault 295  
 Bridička 235  
 Breiter 296  
 Brønsted, teoria lui — 128 u, 163  
 Brown 365

Buff 199  
 Butler 19, 199, 235, 470  
 Butler-Volmer, ecuația — 245 u, 273

Cahan 302  
 Calculatoarele și cinetica electrochimică 296  
 Capacitate diferențială 205  
     — integrală 205  
     — masică (anod, catod) 441 u  
     — volumică (anod, catod) 441 u  
 Capacitatea stratului dublu 203 u  
 Carnot 467  
 Centrale nucleare electrice 466  
 Clemmensen 362  
 Coeficient de activitate 70, 197  
     — de difuzie 74  
 Cohen 385  
 Compresibilitatea soluțiilor 32 u  
 Conductibilitate, determinarea experimentală 112  
     — în topituri saline 387 u  
     — echivalentă 83 u  
     — electrică, electroliți 80 u  
     — molară 81 u  
 Conductibilități ionice echivalente 87  
 Conductivitate 81 u  
 Constantă de aciditate absolută 131  
     — de aciditate intrinsecă 145  
     — de asociere 65 u  
     — de bazicitate absolută 131  
     — dielectrică 33 u  
 Conversia electrochimică de energie 437 u

- Conway 69, 126, 295, 365  
 Cordner 423  
 Coroziunea metalelor 339 u,  
   — viteza de — 340  
   — electrochimică, teoria — 343 u  
   — pe suprafețe omogene 346  
   — pe suprafețe chimic neomogene 348  
 Coulometru 237 u  
 Craig 238  
 Crum 365  
 Curenți locali 348  
  
**Dahms** 298  
**Daniell** 440  
 Daniell-Iacobi, pila 178, 180, 181  
 Davy 128, 380, 440, 460  
 Debye 111  
 Debye-Hückel, teoria 41 u, 66, 68 u,  
   101, 107, 210  
 Defecte de rețea 305  
 Degajarea oxigenului 338 u  
 Delahay 289, 291  
 Delimarski 422  
 Dendrite 314  
 Densitate de curent faradaică 288  
   — nefaradaică 288  
   — limită 274  
   — energie masică 441 u  
   — energie volumică 441 u  
   — de sarcină 43 u  
 Descărcare simultană, hidrogen și me-  
   tale 321 u  
   — metale 325 u  
 Descărcări în arc 431 u  
   — în gaze 425 u  
   — luminescente 428  
 Desnoyers 69  
 Desorbție chimică, mecanism 330 u.  
   — electrochimică 330 u  
 Devanathan 206, 333  
 Difuzia ionilor 72 u  
   — nestaționară 76 u  
   — staționară 72 u  
 Disc rotitor, electrod 279  
   — inel rotitor 280  
 Dislocare cristalină 313  
 Disociere ionică 6 u  
 Disproporționare (dismutare) 175  
 Distanță medie interionică 68  
  
 Dolin 235  
 Drossbach 405  
 Dzieciuch 365  
  
**Ecuatia Debye-Hückel-Onsager** 106 u  
**Edison** 453  
**Efect anodic** 411 u  
**Efect de conjugare (de rezonanță, mezo-**  
   **mer)** 146 u  
   — relaxare 102 u  
**Efectul frecvențelor înalte asupra con-**  
   **ductibilității** 111  
**Efect electroforetic** 102 u  
   — inductiv 146 u  
   — salin de precipitare 35 u  
   — salin de creștere a solubilității  
     35 u  
**Efecte sterice** 147  
**Efect tunel (electron)** 255  
   — Wien 112  
**Einstein, relația lui** 92  
**Electrochimia gazelor** 425 u  
**Electrocataliza** 297 u  
**Electrocinetice, fenomene** 210 u  
**Electrocracarea metanului** 433  
**Electrocristalizare** 304 u  
**Electrodepunerea metalelor** 304 u  
   — vopselelor 376  
**Electroforeză în topituri saline** 392  
**Electroliza, legile** 236 u  
   — apei grele 371  
   — ignee 400  
   — ignee catod-lichid 420  
   — solid 420  
**Electron hidratat** 152 u  
**Electroosmoza** 210  
**Electrosinteza organică** 363 u  
**Electrosorbție** 162, 212 u  
**Electrozi de referință (standard)** 169  
   — poroși 464 u  
   — redox 171  
   — cu membrană 185 u  
   — de chinhidronă 186 u  
   — de hidrogen 186 u  
   — de stibiu 187  
   — de sticlă 188  
   — ion-selectivi 189, 192  
   — DSK 461  
   — în topituri saline 394 u

- Elipsometria 294  
 Energie nucleară 466  
 Entalpie de adsorbție 222  
   — dizolvare 12  
   — hidratare 11 u  
   — solvatare 11 u  
   — liberă de activare 241 u  
   — liberă de solvatare 7 u  
 Entropie de solvatare 10  
 Erdey-Gruz 235, 243  
 Erman 361  
 Erşler 235  
  
 Fabricarea sticlei și electrochimia 377  
 Factor de activitate 50 u  
   — simetrie 242 u  
 Falk 121  
 Falkenhagen 111  
 Faraday 380, 401, 404, 406  
   — legile lui 236 u  
   — numărul lui 237 u  
 Fenomene de transport în topituri 385 u  
 Fichter 364  
 Fick, legile lui 72 u, 98, 283  
 Film de oxid pasiv 342  
 Flade, potențial 351 u  
 Fluorurarea electrochimică 374  
 Flux de difuzie 73 u  
 Formarea stratului protector 352  
 Forță electromotoare (FEM) 166 u, 177 u  
   — ionică 53  
 Frație de asociere 65 u  
 Franck 68 u  
 Frenkel 384, 388  
 Frumkin 198, 199, 208, 235, 249, 343  
   — izoterma lui 219 u, 232, 198  
 Fuoss 67  
  
 Gaikazian 199  
 Galvani 162 u, 440  
   — potențial — 162 u  
 Gemini, proiectul — 459  
 Gerischer 235, 281  
 Geske 235  
 Gibbs 198  
 Gibbs-Duhem, ecuația — 228  
 Gibbs-Helmholtz, relația — 179  
 Glasstone 365  
 Goldschmidt 365  
 Gottlieb 299  
 Gouy 42  
 Gouy-Chapman 198 u, 249  
 Grahame 198 u, 232  
 Griguère 121  
 Grove 460  
 Guggenheim 163  
  
 Hammett, ecuația lui 148, 149  
 Hart, 153  
 Hartley 150  
 Helmholtz, 164, 198 u, 248  
 Heyrovsky 275  
 Hickling 361, 365  
 Hidroliză 135 u  
 Hisinger 350  
 Hofer-Möst, reacția 364  
 Horiuti 235, 262  
  
 Iacobi 440  
 Încărcare (acumulatori) 450  
 Indicator 138 u  
 Industria clorosodică 370 u  
 Inhibitori de coroziune 356  
 Ionescu, Aurel — 435  
 Izoterme de adsorbție 213 u  
  
 Jortner 155  
 Jungner 453  
 Justi 461  
  
 Kambara 283  
 Karpaşev 388  
 Kirchhoff 80  
 Kirkwood 33  
 Kohlrausch, legea lui — 86, 91, 102, 105, 110, 113  
 Kolbe, sinteza — 295, 361, 363 u  
 Kobozev 297, 329  
 Kraus 152  
 Krilov 199  
  
 Lange 163  
 Langmuir 215, 224  
   — izoterma lui 216 u  
 Laplace, transformata 77 u  
 Lavoisier 128

- Leclanché 443 u  
 Levici 199  
 Lewis 53, 128  
 Liebig 128  
 Lippincott 366  
 Lippmann 227, 228, 229  
 Lorentz 405  
 Ludersdorf 361  
  
 Manecke 468  
 Maki 235  
 Mayer 69  
 Mc Donald 199  
 Melik 199  
 Metoda capacității 232  
   — culostatică 291 u  
   — electrocapilară 226 u  
   — galvanostatică 285 u  
   — potențiostatică 280 u  
   — de relaxare (perturbare) 270  
 Migrare ionică 80 u  
 Milner 42  
 Mobilități electrochimice 89 u, 116  
 Modelul ion-cuadrupol 24 u  
   — ion-dipol 18 u  
 Monblanova 297  
 Monocristal 315  
 Morse, ecuația 125, 250  
   — curbe 125, 250 u  
 Müller 206, 299  
  
 Nekrasov 329  
 Nernst, relația lui 166 u, 173, 190  
 Nernst-Einstein, relația lui 93  
 Newton, legea lui 88  
 Nor ionic 42 u  
 Nucleofilă, specie 129  
 Numere de hidratare 33 u  
   — solvatare 30 u  
 Număr stoechiometric 262  
   — de transport 95 u, 117 u  
   — de transport în topituri saline 389 u  
  
 Ohm, legea lui 81  
 Onsager 104, 112  
 Ordin de reacție 265 u  
 Osteryoung 296  
 Ostwald 128, 129  
  
 Parametru dimensional 56 u, 66  
 Parsons 199, 208  
 Pasișarea metalelor 350  
 Pauli 256  
 Pearson 410  
 Perechi ionice 65 u  
 pH 132 u, 185, 189  
 Pile de combustie 459 u  
   — electrochimice primare 443  
   — cu activare 448  
   — galvanice, termodinamice 177 u  
   — de concentrație 182 u  
   — în topituri saline 397 u  
   — standard 181 u  
   — locale 348 u  
   — cu membrane semipermeabile 468  
   — secundare (acumulatoare) 449  
*pK*, determinare experimentală 194  
 Planck-Henderson, ecuația lui — 101  
 Plan Helmholtz interior 198  
   — exterior 198, 248  
 Planté 449  
 Plasma 432  
 Poisson 44 u  
 Poisson-Boltzmann, ecuația 77  
 Polanyi 235  
 Polarizabilitate de deformare 38  
   — orientare 37  
 Polarografia 272, 275 u  
 Polielectroliți 151  
 Potențial de curgere 211  
   — difuzie 98 u, 184  
   — electrod absolut 165 u  
     — în topituri saline 393 u  
     — relative 166 u, 171  
   — de joncțiune 168  
   — de sedimentare 211  
   — de semiundă 277 u  
   — de suprafață 162 u  
   — electrochimic 163 u  
   — extern (Volta) 162 u  
   — de încărcare nulă 224, 226 u  
   — intern (Galvani) 162 u  
   — mixt 345  
   — real 164  
   — redox 171 u, 174  
 Pourbaix, diagrame 344 u, 358, 359

Prevenirea coroziunii 354 u  
— prin acoperire galvanică 357  
— prin polarizare catodică 359

Produs ionic 130  
— de solubilitate, determinare 195 u

Proskurin 232

Protonul în soluție 120 u

Quinke 198

Rafinarea electrolitică (aluminii) 417

Randamentul de curent la electroliza  
ignee 403  
— electrodepuneri metalelor 322

Randler 235

Raza norului ionic 48

Raze cristalografice 12

Reacția de descărcare a hidrogenului  
328 u  
— reducere a oxigenului 334 u

Reddy 294

Reflexie externă, metoda 292 u  
— totală atenuată, metoda — 292 u

Reinhold 361

RES, metoda 294

Rezistența interfeței 258

Rotinian 405

Samarțev 319

Schönbein 350

Schottky 384

Scînteia electrică, reacții chimice în —  
427

Secenov 35

Skobeț 422

Sörensen 132

Stern 198 u

Stillinger 199, 384

Stokes 92, 104

Stokes-Einstein, relația lui — 93

Strat de difuzie 273 u, 316

Strat dublu electric 198 u

Stromberg 388

Supratensiune 245 u  
— de activare 273  
— de concentrație 272 u  
— de descărcare a metalelor 317

Swinkles 217

Tachi 283

Tafel, ecuația 247 u  
— reprezentări 247 u

Tampon, amestec 135 u

Taylor 44

Tăria acizilor, factori determinanți 140 u

Temkin, izoterma 218

Tensiune de descompunere 402  
— superficială 214 u

Thomson 68, 99

Titrare conductometrică 115  
— potențiometrică 191 u

Topituri saline 380 u  
— modele 382 u

Transferul electronului prin interfață  
253

Transmisie directă, metoda — 294

Traud 341

Turnbull 385

Unghi de racord 416

Vagramiana 319

Van't Hoff 6, 141, 144

Vielstich 281

Viteza electroforetică 210

Viteze de migrare 89 u, 116  
— (migrare) absolute 89 u

Viscozitatea topiturilor saline 386

Volmer 235, 243, 470

Volta 162 u, 440  
— pila lui 179

Wagner 341

Walker 158, 365

Walden, regula lui 94, 108, 388

Weddington 410

Weyl 152

Wheatstone 112 u

Whitney 200

Wiesner 235

Wilson 112, 366

Winsel 461

Worner 423

Zone de solvatare (A, B) 17 u

Coli de tipar: 31  
Tiraj: 2850+120 ex. legate  
Apărut: 1974.



Întreprinderea Poligrafică Cluj  
Str. Brassai nr. 5—7  
Republica Socialistă România  
Comanda nr. 311/5231.